

# **مبادئ النظرية الكهرمغناطيسية**

بقلم  
ماري انطوانيت تونلا

سلسلة الكتب العلمية ||  
بالإشراف د. محمد ديس

## محتويات الكتاب

المقدمة ..... 11

### الجزء الأول:

### النظرية الكهرمغناطيسية

23	الفصل الأول: الكهرياء السكونية .....
23	1 - القوانين التجريبية - قانون كولون .....
25	2 - القوانين العامة للكهرياء السكونية .....
26	3 - قانون غاوس .....
28	4 - تطبيقات: المجال الكهربائي على سطوح المعادن والضغط الكهربائي .....
29	5 - القانون الثاني - تحديد الكمون الكهربائي .....
31	6 - حلول معادلة لابلاس ومعادلة بواسون .....
33	7 - معادلات بواسون والشروط الحدية .....
35	8 - تطبيقات .....
38	9 - الأجسام الكهرونافذة .....
41	10 - الأجسام الكهرونافذة وثنائيات القطب .....
42	11 - الاستقطاب والإزاحة الكهربائيان .....
45	تمارين .....

47	الفصل الثاني: المغناطيسية السكونية .....
47	1 - الحالات الدائمة permanent .....
49	2 - القوانين العامة للمغناطيسية .....
53	3 - ثنائي القطب المغناطيسي .....
56	4 - الأجسام المغناطيسية .....
58	5 - عزم طبقة مغناطيسية .....
61	تمارين .....
63	الفصل الثالث: المغناطيسية الكهربية .....
64	أ - التحريض الكهرمغناطيسي - تيار الإزاحة .....
68	ب - معادلات ماكسويل .....
73	ج - الطاقة الكهرمغناطيسية وتدفق الطاقة .....
77	د - الموجات الكهرمغناطيسية .....
90	هـ - المعادلات الكهرمغناطيسية في الأجسام غير المغناطيسية المتحركة ببطء .....
96	تمارين .....
99	الفصل الرابع: مصادر المجال الكهرمغناطيسي - نظرية لورنتز .....
100	1 - المجالات ودوال الكومون المجهرية للإلكترون .....
103	2 - تركيب الكترون لورنتز .....
	3 - .....
111	4 - معادلات القيم الوسطية ونظرية ماكسويل العيانية .....
	5 - تأويل المجالات في نظرية ماكسويل: .....
112	المعادلات الكهرمغناطيسية في حالة الأجسام الساكنة .....
114	6 - نظرية لورنتز والتحرك الكهربائي للأجسام المتحركة .....
120	تمارين .....

## الجزء الثاني:

### مبادئ ونتائج النسبية الخاصة

123	الفصل الخامس: مبدأ النسبية .....
125	أ - مبدأ النسبية قبل أينشتاين .....

145	ب - مبدأ النسبية الخاصة .....
171	<b>الفصل السادس: الصياغة الرباعية النسبية الخاصة</b> .....
171	1 - الفضاء الإقليدي غير الأصيل Improper في النسبية الخاصة .....
173	2 - الاصطلاحات المستعملة .....
174	3 - الصيغ المختصرة للفواصل التفاضلي $ds^2$ في النسبية الخاصة .....
178	4 - المتجهات الرباعية المكانية أو الزمانية أو المنعدمة .....
180	5 - ثبات الفاصل $ds^2$ ومجموعة الإزاحات في الفضاء الرباعي الاقليدي .....
183	6 - تحويلات لورنتز العامة والخاصة .....
184	7 - صيغة المعاملات في تحويل لورنتز العام .....
189	8 - تطبيق على تحويل لورنتز الخاص .....
190	9 - أمثلة .....
194	10 - قانون جمع السرّع وتحويل لورنتز العام .....
195	11 - تطبيق الحالة التي يكون فيها أحد الهياكل الاسنادية هيكلًا ذاتياً .....
199	<b>الفصل السابع: الحركيات النسبية</b> .....
199	أ - القانون النسبي لجمع السرّع .....
212	ب - انتشار الموجات والحركيات النسبية .....
225	<b>الفصل الثامن: علم التحريك النسبي</b> .....
225	أ - علم التحريك النسبي لجسيم نقطي .....
245	ب - علم التحريك النسبي للأجسام المتواصلة .....
252	ج - استعمال الإحداثيات المنحنية .....
261	<b>الفصل التاسع: الكهرومغناطيسية النسبية</b> .....
261	أ - الصيغة الموافقة للتغير لنظرية ماكسويل .....
288	ب - امتدادات نظرية ماكسويل .....
303	<b>الفصل العاشر: الإثباتات التجريبية للنسبية الخاصة</b> .....
304	أ - تباطؤ الساعات .....
313	ب - تغيير الكتلة مع السرعة .....
324	ج - تعادل الكتلة والطاقة .....

## الجزء الثالث:

## النسبية العامة

333 ..... الفصل الحادي عشر: النسبية العامة

333 ..... أ - قانون نيوتن للجاذبية

342 ..... ب - مبدأ التكافؤ واستعمال الفضاء غير الاقليدي

364 ..... ج - قانون أينشتاين للجاذبية

371 ..... الفصل الثاني عشر: توسعات النسبية العامة وبعض نتائجها

371 ..... أ - المعادلات التقريبية

ب - دراسة حل دقيق ولكن في حالة خاصة لمعادلات المجال:

401 ..... حل سفارتزشيلد

الفصل الثالث عشر: النظريات التوحيدية للكهرمغناطيسية والجاذبية

421 ..... الصفات المميزة لنظرية المجال البحث

421 ..... النظريات التوحيدية والنظريات غير الثنائية

422 ..... أ - النظريات التوحيدية

429 ..... ب - النظريات غير الثنائية

432 ..... ج - النظريات التوحيدية وغير الثنائية

## الجزء الرابع:

## ملحق في الرياضيات

437 ..... الفصل الرابع عشر: الاستدلال في الفضاء المتجهي الإقليدي

438 ..... أ - استعمال المحاور المستقيمة

429 ..... ب - استعمال الإحداثيات المنحنية

462 ..... تمارين

الفصل الخامس عشر: الاستدلال في التشكيلات القياسية غير الاقليدية

463 ..... وتطبيقه على فضاء ريمان

463 ..... 1 - الفضاء القياسي والفضاء الاقليدي المماس

464 ..... 2 - الارتباط التآلفي

466	3 - التمثيل من الدرجة الأولى
468	4 - التمثيل من الدرجة الثانية
469	5 - المتجهات والموترات المرتبطة بالتشكيلات القياسية
471	6 - الاشتقاق المكافئ
474	7 - الانتقال المتوازي المتجه
476	8 - شروط قابلية التكامل وتكوين الفضاء
481	9 - تقوس فضاء ريمان - موتر ريمان كريستوفل
488	10 - خصائص موتر ريمان - كريستوفل
	11 - الخطوط التقاصرية (الجيوديسية) في فضاء ريمان
491	الخطوط المستقيمة في الفضاء الإقليدي بالإحداثيات المقوسة
493	تمارين

## مقدمة

يهدف هذا الكتاب الى دراسة المبادئ التي هي أساس النظريات الكلاسيكية (التقليدية) classical والنسبية relativistic للمجال الكهرمغناطيسي electromagnetic field ومجال الجاذبية gravitation . فموضوعنا الأساسي في هذا الكتاب هو إزاء عَرَض مبسّط لنظرية ماكسويل Maxwell ولنظرية النسبية العامة general relativity وللرابط بينهما الذي هو نظرية النسبية الخاصة special relativity.

لقد حلّ تدريجياً خلال القرن الماضي مفهوم المجال المتواصل continuous محل فكرة التفاعل عن بعد action at a distance . ووضعت في ذلك الوقت النظرية الكهرمغناطيسية لتشمل جزءاً كبيراً من الفيزياء إذ إنها تفسر الظواهر الدائمة permanent مثل الكهرباء الساكنية (الكهرسكونيات) Electrostatics والمغناطيسية الساكنية Magnetostatics وكذلك الظواهر المتغيرة مع الزمن. وتتنبأ هذه النظرية بوجود الموجات الكهرمغناطيسية ومنها الموجات الضوئية.

ولقد بدأ أن معادلات ماكسويل لا تحافظ على صيغتها إذا ما كتبت في هيكلٍ إسناد frame مرتبطين بمشاهدين observers يتحرك أحدهما بالنسبة الى الآخر بحركة مستقيمة rectilinear motion وبسرعة ثابتة constant، وإذا استعمل مفهوم الزمن المطلق absolute time السائد في الميكانيك الكلاسيكي. ولقد كان هذا ذا أهمية بالغة إذ ظهرت سلسلة من التناقضات بين نتائج التجارب التي تناولت انتشار propagation الضوء ومبادئ الحركيات Kinematics الكلاسيكية (التقليدية).

ولقد حُسم هذا التناقض بين نظرية نيوتن Newton القديمة في الميكانيك والنظرية

الكهرمغناطيسية الجديدة لصالح هذه الأخيرة. ولا عجب في ذلك لأن الميكانيك جزء من الفيزياء يخضع دائماً لإمكانية إعادة النظر فيه على ضوء المستجدات التجريبية، ولا يُبنى على مبادئ معصومة. لذلك أُعيدت صياغة الميكانيك على مفاهيم أكثر دقة وواقعية لقضايا التطابق الزمني simultaneity والمكان space والزمان time استناداً الى نظرية النسبية الخاصة التي وضعها ألبرت أينشتاين A. Einstein عام 1905، بعد أن مهدت لها أعمال لورنتز Lorentz وبوانكاريه Poincaré. وتستطيع الحركة المبنية على نظرية أينشتاين أن تُفسر بطريقة بسيطة نتائج بعض التجارب مثل تجربة فيزو Fizeau المشهورة. ومن جهة ثانية يقبل علم التحريك Dynamics الجديد بمبدأ تعادل الطاقة energy والكتلة mass، متنبأً بوجود طاقة هائلة مخزونة داخل النواة الذرية.

إن النسبية الخاصة ليست نظرية للمجالات بالمعنى الكامل ولكنها الأساس الذي تُبنى عليه أية نظرية للمجالات سواء أكانت كلاسيكية أم كمومية quantum. أما نظرية ماكسويل الكهرمغناطيسية التي صيغت قبل 1905، فهي نظرية نسبية أي أنها ذات صيغة متفقة تماماً مع مبادئ النسبية الخاصة. فقد عُرفت فعلاً في أوائل القرن العشرين النظرية الكلاسيكية النسبية الكهرمغناطيسية. ولم تُعرف النظرية الكلاسيكية النسبية لحقل الجاذبية إلا عام 1916 عندما وضع أينشتاين نظرية النسبية العامة. حتى ذلك التاريخ كانت ظواهر الجاذبية تُفسر بقانون نيوتن للتفاعل عن بعد، مما أتاح صياغة ميكانيك الفلك بنجاح كبير رغم بعض الاختلافات النادرة والطفيفة مع التجربة. وأبرز هذه الاختلافات تقدّم نقطة الرأس perihelion لمسار trajectory كوكب عطارد Mercury.

ولكن نظرية نيوتن هذه للجاذبية الكونية لا تستند من الناحية المبدئية على نظرية للمجال مبنية على مبدأ وجود فعل action متواصل ينتشر من نقطة الى أخرى. ورغم كل المحاولات فقد بدا أن قانون نيوتن لا يُمكن استخلاصه من أية نظرية نسبية لمجال الجاذبية، خلافاً لقانون كولون Coulomb لتفاعل الشّحن الكهربائية الذي صيغ على نمط قانون نيوتن للجاذبية والذي يُمكن دمج في نظرية ماكسويل للمجال الكهرمغناطيسي.

ولقد استطاع أينشتاين أن يحقق هدفين معاً عندما طرح فرضية hypothesis التعداد المحلي local لقوة العطالة inertia force وقوة الجاذبية. فقد استطاع أولاً تعميم مبدأ النسبية ليشمل هياكل الاسناد المتسارعة accelerating بدلاً من حصره في هياكل الإسناد العطالية inertial frames (أي مراجع غاليليو galileo) كما هو



الحال في نظرية النسبية الخاصة. واستطاع ثانياً أن يفسر تطابق الكتلة الجاذبية gravitational mass والكتلة العَطَالِيَّة inertial mass الذي كان معروفاً تجريبياً دون إيجاد تفسير له.

إن أول نظرية للجاذبية صاغها أينشتاين عام 1911 كانت نظريةً إقليدية Euclidian، ولكنه استطاع أن يُثبت عام 1915 ان استعمال فضاء غير إقليدي يُتيح صياغة بسيطة لجال الجاذبية متفكراً مع نظرية النسبية، كما أنه يعطي تفسيراً محلياً لتطابق الكتلة الجاذبية والكتلة العَطَالِيَّة. وتصبح بذلك نظرية نيوتن في الجاذبية صيغة تقريبية approximate لنظرية أينشتاين النسبية. أما في الحالة الخاصة لجال جاذبية جسم كروي فإن نظرية أينشتاين تتيح إزالة التناقضات التي تظهر بين التجربة ونظرية نيوتن في الجاذبية.

حسب نظرية النسبية العامة تشكّل القوانين النسبية لجال الجاذبية الشروط التي تخضع لها بُنية structure الفضاء غير الإقليدي، مما يعطي ظواهر الجاذبية التفسير الأبسط والأكثر منهجية الذي يمكن تصوره. ولكن هذه الصياغة الهندسية geometrical تعزل الجاذبية بصورة مميزة عن بقية الفيزياء وبشكل خاص عن الكهرمغناطيسيات Electromagnetics وقد جرت محاولات لصياغة «نظريات موحدة Unified» بإيجاد تأويل هندسي مشابه لنظريتي الجاذبية والكهرمغناطيسية. ويكون ذلك بدمج مجال الجاذبية والمجال الكهرمغناطيسي بمجال واحد خاضع لمعادلات تشكّل الشروط التي تخضع لها بنية فلك غير إقليدي أكثر تعقيداً.

أما إذا أردنا نقل نظرية النسبية الى إطار النظريات الكمومية فإننا سوف نُجابه بصعوبات كبيرة. فليس هناك حالياً نظرية كمومية مُرضية تماماً لجال الجاذبية. وقد يكون تكميم quantization حقل الجاذبية غير ممكن. وقد تكون الصياغة الهندسية من الخصائص الحصرية للنسبية العامة. فتكون الجاذبية المستفيدة الوحيدة من هذه الصياغة المميزة. أما الظواهر الكهرمغناطيسية أو النووية فتبقى خارج هذا الإطار حتى وإن كانت تحدث في فضاء غير إقليدي. فهذه الظواهر تخضع لمعادلات خطية linear يمكن بالتالي أن تُطبّق عليها قواعد التكميم العادية.

في الواقع، إن الفصل بين الجاذبية والظواهر الفيزيائية الأخرى ليس أمراً مُرضياً. فإذا ما تحقّق هذا الفصل فلا يمكن أن نتنبأ بما ستكون عليه النظرية الشاملة للمجالات، ولكنها ستكون على الأرجح في أحد الاتجاهين التاليين:

- تطوير الرياضيات بشكل مناسب مما يتيح تكميم معادلات الجاذبية سواء أكانت

أو لم تكن إقليدية أو خطية. وهذا ما لم يتحقق حتى الآن بصورة مُرضية، ولكن أهمية هذا الاتجاه ستبرز إذا أمكن التنبؤ بنتائج تجريبية يمكن مقارنتها بالواقع. ولكن يظهر أن النتائج لتكميم موجات مجال الجاذبية لا تزال تنظيراً بحثاً. فالفائدة المحتملة لهذه الصياغة تبقى منهجية بشكل أساسي. وينطبق هذا على الوسائل التي يمكن أن تعتمد عليها نظرية كمومية وغير خطية يمكن أن تُصاغ لمجال الجاذبية.

- يمكن أن نتفق مع أينشتاين بأن التوصل إلى نظرية للمجال البحث قد يُعطي تفسيراً لبعض المسائل يكون أكثر عقلانية من بعض المفاهيم الشكلية في غالبيتها التي تتوصل إليها امتدادات النظرية الكمومية. وقد تكون الجسيمات التي هي نقط شاذة (فريدة) singular points في المجال ليست في الواقع منفصلة عن هذا المجال، بل يمكن استنتاج خصائصها وحركتها من معادلات المجال ذاتها. في هذه الحالة تكون الصيغة الدقيقة لهذه المعادلات غير خطية. وحتى إذا ما استطعنا بلوغ هذا الهدف، وهو لا يزال بعيداً حالياً، يبقى علينا أن نجد طريقة لتكميم الحقل المعمم أو على الأقل أن نجد تطويراً بديلاً مع بعض إمكانيات النجاح.

لقد أردت أن أشير هنا إلى الآفاق التي تظهر أمام نظرية مجال الجاذبية والصعوبات التي تعترضها. في الواقع إن هدف هذا الكتاب هو أكثر تواضعاً. إذ يكتفي بعرض المبادئ التي ساهمت بتطوير نظريتين مهمتين للمجالات الكلاسيكية: المجال الكهرومغناطيسي ومجال الجاذبية. وبما أن نظرية ماكسويل للمجال الكهرومغناطيسي هي جذور نظرية النسبية الخاصة، وبما أن النسبية العامة هي المدى الأبعد لنظرية النسبية الخاصة، فإن الكهرومغناطيسية والنسبية تشكلان المجموعة الأكثر تناسقاً وأهمية بين كل النظريات الفيزيائية.

يحتوي هذا الكتاب على ثلاثة أجزاء:

- الجزء الأول (الفصول I حتى IV) هو عرض لمبادئ النظرية الكهرومغناطيسية، ويشتمل على عرض مختصر للمعادلات الأساسية وتأويلها حسب نظرية ماكسويل ولورنتز للإلكترونات. وتخلص نظرية الكهرباء التحريكية Electrodynamics للأجسام المتحركة إلى الضرورة الملحة لنظرية النسبية الخاصة.

- الجزء الثاني (الفصول V حتى X) يبحث في مبادئ ونتائج النسبية الخاصة. لقد أردنا أن نبين كيف أن صياغة هذه النظرية جاءت تلبيةً لحاجة ماسة في الفيزياء بعد انعدام السبل الأخرى.

- الجزء الثالث (الفصول XI حتى XIII) يبحث في مبادئ النسبية العامة

ويتوسّع في بعض النواحي، خصوصاً تلك التي لها إثبات تجريبي والتي تجعل من هذه النظرية نظرية مجالات مميّزة.

- الجزء الأخير (الفصلان XIV و XV) يعرض ملحقاً رياضياً ضرورياً لاستيعاب الجزء الثالث من هذا الكتاب. فهو ليس إذاً تكملة للجزء الثالث بل مساعدة محتملة لفهمه.

هناك مؤلّفات عديدة نُشرت في السنوات الأخيرة حول النسبية الخاصة. نحاول في هذا الكتاب وضع تلك النظرية في إطارها الصحيح بين ما سبقها وما تبعها، أي النظرية الكهرمغناطيسية ونظرية النسبية العامة. ونهدف أيضاً إلى استخلاص الأفكار الأساسية والأبسط وراء هذه النظريات وإلى ربطها بالتجربة. إن أسس النظريات الكلاسيكية للمجالات تظهر تسلسلاً بديعاً للأفكار يفرضها الواقع وتوجّهها صياغة دقيقة وتؤيدها التجارب.

لقد بدا لنا أنه من الضروري أن نتفحص أصول وقيمة المبادئ التي تقود إلى الكهرياء التحريكية الكلاسيكية الحالية من جهة وإلى صياغة النظريات الموحّدة للكهرمغناطيسية والجاذبية من جهة أخرى. إن هذه الامتدادات النظرية لن نتطرق إليها إلا بإيجاز في هذا الكتاب وستكون موضوع أبحاث أخرى.

الجزء الأول

---

---

النظرية الكهرمغناطيسية

لقد توالت دراسة الظواهر الكهربائية والمغناطيسية خلال القرن التاسع عشر. قبل ذلك لم تُعرف في الفيزياء إلا قوى الجاذبية الكونية التي كان لها تطبيقات واسعة في علم الفلك. ولم تُصغ بدقة قوانين القوى الكهربائية والمغناطيسية إلا على يد كولون Coulomb وفاراداي Faraday. ثم تبين أن هذه القوى تظهر في مجالات أكثر مما يعتقد. فمن جهة توسّعت الكهرمغناطيسيات لتلتقي مع البصريات. ومن جهة أخرى ظهر أن قوى التفاعل بين الذرات داخل الجزيء molecule أي قوى الارتباط الكيميائي لها أصل كهربائي. ولقد سادت لمدة الفكرة القائلة أن جميع القوى لها جذور كهربائية. ولكن لدلت الظواهر النووية على وجود قوى أشد من القوى الكهربائية مع أنها تخضع لبعض القوانين المشابهة للقوانين الكهربائية. رغم ذلك فإن النظرية الكهرمغناطيسية تشمل عدداً كبيراً من الظواهر في الطبيعة.

لقد تطورت المبادئ التي تتحكم بالنظرية الكهرمغناطيسية باستمرار انطلاقاً من مفهوم التفاعل عن بعد الذي أدخله نيوتن في الفيزياء إلى مفهوم المجال الكهرمغناطيسي. ففي نظرية التفاعل عن بعد تتحدّد قوة التفاعل بين الجسيمات particles المشحونة كهربائياً بمواقع هذه الجسيمات فقط. هكذا صيغ قانون كولون. أما بمفهوم المجال الكهرمغناطيسي، فإن القوة المؤثرة على جسم اختبار تُحدّد بالمجال الكهرمغناطيسي بالقرب من هذا الجسم. وهذا المجال لا يمكن تحديده فقط بمواقع وسرع الجسيمات المختلفة في الوقت الذي تُقاس فيه القوة المؤثرة على جسم الاختبار.

لقد بدأت النظريات التي تستند إلى مبدأ التفاعل عن بعد بالتطور بعد تجارب

أورستد Oersted. وصاغ أمبير Ampere قوانين التأثيرات المغناطيسية الناتجة عن تيار current كهربائي، فافترض أن كل جزء من السلك الذي يمر به تيار كهربائي يولد قوة مغناطيسية متناسبة مع  $1/r^2$  تماماً مثل قوة كولون (قانون بيو Biot وسافار Savart).

وكان دور فاراداي حاسماً بدفع التأثيرات الكهرمغناطيسية نهائياً لتستند إلى مفهوم المجال الكهرمغناطيسي وذلك عندما أبرز الخصائص المهمة للأجسام الكهربائية والمغناطيسية والعازلة. فإذا وُضعت هذه الأجسام قرب شحن كهربائية تجري بداخلها تحولات، حدث فيها استقطاب polarization وساهمت بدورها في تكوين القوى الكهربائية المؤثرة على جسم الاختبار. لذلك يجب أن نفترض أن هناك خطوطاً للقوى force lines موجودة داخل الجسم، وأن عدد هذه الخطوط متناسب مع شدة القوة الكهرمغناطيسية. فكل جسم (والفراغ نفسه) عندما تخترقه خطوط القوى هذه يصبح ساحة لمجال كهرمغناطيسي. وقد اقتنع فاراداي عندما اكتشف ظواهر التحريض induction الكهرمغناطيسي عند تغير تدفق المجال المغناطيسي داخل دائرة كهربائية أنه يجب أن نعطي خطوط القوى الكهرمغناطيسية معنىً حقيقياً وملموساً. ثم صاغ غاوس Gauss مبادئ فاراداي بقالب رياضي، ووضع ماكسويل هذه القوانين بصيغتها النهائية بعد ذلك بثلاثين سنة.

وقد استند ماكسويل إلى أعمال غاوس والصيغة التي أعطاها لابلاس Laplace وبواسون Poisson لقانون كولون للتفاعل عن بعد كي يوضح قوانين المجال الكهرمغناطيسي الذي كان يوليه أهمية كبيرة في الفيزياء. ولكن نظرية ماكسويل تثبت أن التفاعلات الكهرمغناطيسية لا تنتشر بسرعة لا متناهية infinite وقد أكدت التجارب أن هذه السرعة تساوي سرعة الضوء. بذلك تصل نظرية المجالات الكهرمغناطيسية إلى نتيجة مختلفة تماماً عما نتوقع استناداً إلى نظرية التفاعل عن بعد، وهي أن التأثيرات الكهرمغناطيسية على جسم اختبار تُحدّد بمواقع وسُرْع الأجسام الكهربائية الأخرى في وقت سابق لوقت قياس تلك التأثيرات.

وتأخذ نظرية المجالات الكهرمغناطيسية أهمية خاصة لكونها تشمل البصريات بأكملها. فمن المعروف أنه في عصر نيوتن كانت الظواهر الضوئية تُفسّر استناداً إلى نظرية الجسيمات الضوئية التي اقترحها نيوتن أو في إطار نظرية الموجات الضوئية التي اقترحها هيغنز Huygens. في الحقيقة لم تكن تلك التفسيرات منفصلة تماماً. فقد كان نيوتن يعرف ظواهر التدخل interference والانعراج diffraction ويفسرها

بإدخال عنصر يتكرر زمنياً في سلوك الجسيمات الضوئية ذاتها فتمر بحالات مختلفة: حالة انعكاس reflection سهل ثم حالة نفاذ سهل<sup>(1)</sup> transmission. وقد كان نيوتن يعتقد أنه يجب أن نحافظ على نظرية الجسيمات الضوئية بغية تفسير الانتشار المستقيم للضوء وتكوين الظلال.

وتعطي نظرية هيغنز تفسيراً صحيحاً لظواهر انعكاس وإنكسار الضوء وذلك بافتراض تكوين موجبات wavelets كروية ثانوية تنبثق عن الموجة الكروية الأساسية. ولم تُفسر ظاهرة الانتشار المستقيم للضوء بطريقة واضحة إلا بعد اكتشاف يونغ و فريزل Fresnel.

وقد كان فريزل يعتقد أن الضوء لا ينتج عن اهتزازات vibrations طولية longitudinal كما كان سائداً بل عن اهتزازات عمودية transverse على اتجاه الانتشار. بذلك كان بالإمكان تفسير ظاهرة الإنكسار المزدوج double refraction. لكن وجود هذه الموجات بحد ذاتها يفترض وجود جسم يهتز يسمى الاثير ether. ولكن خصائص هذا الجسم كانت تبدو متناقضة فهو ذو جُسوء rigidity لا متناه، ولكن يسمح للأجسام أن تخترقه بسهولة كبيرة. وعندما بدأ ماكسويل بصياغة نظرية الكهرمغناطيسية كانت البصريات قد وصلت إلى هذا الحد. فجاءت نظريته الاندماجية لتحوّل البصريات عن إطارها الميكانيكي باهتزاز الأثير إلى اهتزاز المجال الكهرمغناطيسي ذاته. أما الانتشار المستقيم للضوء فهو نتيجة لكون طول الموجات البصرية قصيرة إلى درجة كبيرة.

وقد كان من المفروض أن يؤدي التوسع في نظرية الكهرباء التحريكية إلى إعادة النظر بمبادئ الحركات الكلاسيكية. ويعود الفضل إلى النسبية الخاصة لتوضيح نظرية ماكسويل الكهرمغناطيسية وإعطائها صفتها الحقيقية. أما انتشار الضوء فيأتي كحدود قصوى للحركة في الحركات النسبية الجديدة.

كذلك عندما أُوحت ازدواجية طبيعة الضوء وكجسيمات وموجات إلى لوي دو بروي Louis de Broglie بصياغة ميكانيك الموجات wave mechanics للجسيمات الثقيلة، لم يستطع الضوء أن يدخل في هذا الإطار الجديد إلا بصعوبة رغم أن

(1) في نظرية ميكانيكية للضوء مثل نظرية نيوتن يمكن أن تكون هذه الحالات المختلفة نتيجة لدوران هذه الجسيمات الضوئية ذات الشكل البيضوي على نفسها. فتتكرر هذه الحالات بشكل دوري Periodic مع هذه الحركة.

الضوء كان نموذجاً لميكانيك الموجات. فلم تُصنَّغ النظرية الكمومية والنسبية للفوتونات photons إلا متأخرة، ولم تتمكن الكهرباء التحريكية الكمومية أن تخضع للقواعد النسبية إلا بصعوبة رغم أنها كانت أساس النسبية الخاصة.

تبدو إذن النظرية الكهرمغناطيسية بالوقت ذاته نقطة ارتكاز ونظرية فريدة في النظريات الحديثة للمجالات. سنحصر بحثنا في ما يلي فقط بالتوسعات الكلاسيكية (التقليدية) لهذه المبادئ ونتائجها.



## الكهرباء السكونية Electrostatics

### 1 - القوانين التجريبية - قانون كولون

لقد صاغ كولون Coulomb عام 1780 قانون تفاعل الشحن الكهربائية electric charges عن بعد استناداً إلى التجربة. فأنت قوة التفاعل interaction بين الشحنتين  $q$  و  $q'$  بصيغة رياضية مشابهة لصيغة قوة الجاذبية بين جسمين كتلتها  $m$  و  $m'$  كما صاغها نيوتن أي متناسبة عكسياً مع مربع المسافة الفاصلة بينهما. فتكون شدة هذه القوة في الفراغ:

$$(I-1) \quad F = \frac{1}{\epsilon_0} \frac{qq'}{r^2}$$

حيث  $\epsilon_0$  هي ثابت constant تُحدّد قيمته تجريبياً وتتغير تبعاً للوحدة unit المستعملة لقياس الشحنة الكهربائية.

إن القوى التي هي بهذه الصيغة يمكن دائماً ربطها بدالة عددية scalar function.

$$(I-2) \quad V' = \frac{1}{\epsilon_0} \frac{q'}{r}$$

نسميها دالة الكمون الكهربائي electric potential الذي تكوّنه الشحنة  $q'$ . فتكون القوة المؤثرة على الشحنة  $q$ .

$$(I-3) \quad F = - q \text{ grad } V'$$

ويكون تأثير شِحن كهربائية عديدة  $q_1, q_2, \dots, q_{n-1}$  على شِحنة الاختبار  $q$  بقوة

$$(I-4) \quad F = -q \text{ grad } V'$$

حيث دالة الكمون لهذه الشِحن هي

$$(I-5) \quad V' = \frac{1}{\epsilon_0} \sum_{i=1}^{n-1} \frac{q_i}{r_i}$$

و  $\sqrt{\sum_p (x_p - x_p^{(i)})^2}$  وهي المسافة الفاصلة بين كلٍّ من الشِحن  $q_i$  الموجودة في النقطة ذات الإحداثيات  $(x_p^{(i)})$  وشِحنة الاختبار  $q$  الموجودة في النقطة ذات الإحداثيات  $x_p$  (حيث  $p = 1, 2, 3, \dots$ ).

إن دالة الكمون  $V'$  والمتجه  $\text{grad } V'$  - تتعلق بموقع شِحنة الاختبار  $q$  ولكن  $V'$  لا تشمل الكمون الكهربائي الذي تكوُّنه الشِحنة  $q$  ذاتها. وهو لا متناهٍ في موقع هذه الشِحنة  $x_p$ .

بشكل عام إذا كان هناك عدد من الشِحن الكهربائيّة  $q_i$  تكون دالة الكمون الكهربائي

$$(I-6) \quad V = \frac{1}{\epsilon_0} \sum_1^n \frac{q_i}{r_i}$$

ويكون المجال الكهربائي

$$(I-7) \quad E = -\text{grad } V$$

بحيث تكون القوة المؤثرة على شِحنة اختبار  $q$  موضوعة في هذا الموقع<sup>(1)</sup>

$$(I-8) \quad F = q E$$

(1) في الحقيقة أن دالة الكمون  $V$  في المعادلة (I-6) والدالة  $V'$  في المعادلة (I-5) ليستا متساويتين. وكذلك المجالان  $E$  و  $E'$  المحسوبان من هاتين الدالتين. وذلك لأن الدالة  $V$  تعني الكمون الذي تولّده جميع الشِحن الكهربائيّة. بينما  $V'$  تعني كمون جميع الشِحن ما عدا الشِحنة المتواجدة في النقطة حيث يُحسب الكمون. إن كمون هذه الشِحنة لا متناهي فيكون الكمون  $V$  لا متناهياً أيضاً. بينما  $V' =$

أما إذا كانت الشحنة الكهربائية موزعة توزيعاً متواصلاً داخل  $V$  فنأخذ حجماً صغيراً  $dV = d\xi d\eta d\zeta$ ، حول النقطة  $M$  ذات الإحداثيات  $(\xi, \eta, \zeta)$  ونستبدل عند حساب دالة الكمون الكهربائي الشحنة  $q$  بالشحنة  $\rho dV$  الذي يحتويها الحجم  $dV$ . وترمز إلى الكثافة الحجمية volumic density للشحن الكهربائية في النقطة  $M(\xi, \eta, \zeta)$ . فإذا كانت  $r$  هي المسافة الفاصلة بين النقطة  $M$  والنقطة  $p(x, y, z)$  حيث يُحسب الكمون، يجب أن نستبدل القوة (I-8) بكثافة القوة الكهربائية

(I-9)

$$F = \rho E = -\rho \text{grad } V$$

حيث تُحدّد دالة الكمون بالصيغة

(I-10)

$$V = \frac{1}{\epsilon_0} \int \frac{\rho}{r} dV$$

## 2 - القوانين العامة للكهرباء السكونية

من الممكن أن نستبدل قانون كولون للتفاعل عن بعد بالمعادلات (I-9) و (I-10) التي تدخل مفاهيم المجال والكمون الكهربائيين. ومن هاتين الصيغتين يمكن أن نستنتج القوانين الأساسية للكهرباء السكونية. ولكن هذه الطريقة تخالف الفكرة العامة التي هي وراء نظرية ماكسويل التي تستبعد التفاعل عن بعد ولا تقبل إلا بالتفاعل المحلي. إن نظرية ماكسويل تستند إلى خصائص الوسط التي تجري فيه

دائماً متناه. لذلك لا يمكن أن نقول إن  $V$  و  $V'$  تختلفان بكميات ضئيلة ولا يمكن إستبدال الوحدة بالأخرى. لكن عملياً لا يمكننا أن نعرف موقع الشحن الكهربائية إلا بصورة تقريبية. ولا يمكن أن نُحدّد إلا القيمة الوسطية mean value لدالة الكمون. فإذا أخذنا حجماً صغيراً  $dV$  حول الشحنة الكهربائية النقطية تكون القيمة الوسطية للكمون الذي تخلفه هذه الشحنة:

$$\frac{1}{\epsilon_0 V} \int_0^R \frac{q}{r} dV = \frac{3}{4\epsilon_0 \pi R^3} \int_0^R \frac{q}{r} 4\pi r^2 dr = \frac{3}{2\epsilon_0} \frac{e}{R}$$

وتكون مساهمة هذه الشحنة الكهربائية في الكمون الكهربائي العام صغيرة جداً إذا اتفقنا على تحديد الكمون والمجال الكهربائيين فقط خارج كُرّة شعاعها  $R$  حول الشحنة الكهربائية النقطية.

الظواهر الكهربائية أي الأثير والأجسام الكهرونافذة dielectrics ولكن التفاعل المحلي لا يُصاغ إلا بعلاقات رياضية محلية بشكل معادلات تفاضلية جزئية -partial differential equations. لذلك يجب استبدال الصيغة (I-10) لدالة الكمون بتحديد تدخل فيه المعطيات المحلية فقط. فنحصل هكذا على معادلات تفاضلية جزئية صالحة في كل الحالات، وتدخل فيها كميات لها معنى فيزيائي.

كما يمكن أن نستخرج من هذه المعادلات التفاضلية الجزئية معادلات تكاملية integral equations تتفق مع نتائج نظرية التفاعل عن بعد في بعض الحالات الخاصة مثل حالة السكون الكهربائي. هكذا يمكن أن نستنتج قانون كولون مثلاً من المعادلات التفاضلية الجزئية للمجال الكهربائي. ولكن نظرية التفاعل عن بعد لا تعتبر صحيحة إلا إذا كانت متفقة مع نظرية ماكسويل، أي إذا كانت صيغ التفاعل عن بعد تتفق مع الصيغ التكاملية التي يمكن استخلاصها من المعادلات المحلية لنظرية المجالات. لذلك يجب الإنطلاق دائماً من المعادلات المحلية للمجال الكهرومغناطيسي.

وفقاً للمبدأ الأساسي لنظرية ماكسويل، يحدث توزيع الشحن الكهربائية تغييراً في الفضاء المحيط بها، ويكون ذلك بتكوين المجال الكهربائي المحدد بالمتجه  $E$  المماس لخط القوى في كل نقطة من الفضاء. أما القوة التي تؤثر على شحنة الاختبار  $q$  فهي:

$$(I-8) \quad F = qE$$

نشير إلى أن  $q$  هي من مميزات شحنة الاختبار أما  $E$  فهو من خصائص الأجسام الأخرى. إستناداً إلى هذه المعادلة يمكن أن نحدد المجال الكهربائي لمجموعة من الأجسام في نقطة معينة من الفضاء بأنه القوة التي تؤثر على وحدة الشحن الكهربائية الموضوعة ساكنة في هذه النقطة.

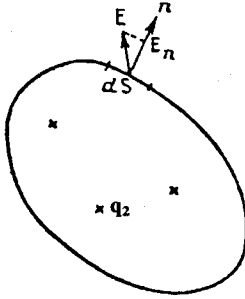
### 3 - قانون غاوس

لنفترض أن  $S$  هو سطح surface مغلق وأن  $dS$  هو جزء تفاضلي من هذا السطح. ليكن  $n$  متجه الوحدة unit vector العمودي على  $dS$  باتجاه خارج السطح. نحدد التدفق  $d\Phi$  للمجال الكهربائي  $E$  على  $dS$  بأنه  $E_n dS$  أي حاصل ضرب مساحة السطح التفاضلي  $dS$  بإسقاط المجال الكهربائي  $E_n$  على متجه الوحدة  $n$  في النقطة الوسطية من  $dS$ .

مبرهنة غاوس: إن تدفق المجال الكهربائي على السطح المغلق  $S$  المحيط بالحجم

$\mathcal{V}$  متناسب مع مجموع الشحن الكهربائية  $q_i$  بداخله.

$$(I-11) \quad \int E_n dS = \frac{4\pi}{\epsilon_0} \sum_1 q_i$$



الشكل 1 - تدفق المجال الكهربائي على سطح مغلق

يحدّد الثابت  $\epsilon_0$  دون التباس وحدة قياس الشحنة الكهربائية  $q$ . فإذا اخترنا electrostatic sys-  $\epsilon_0 = 1$  نحصل على ما يسمى نظام الوحدات الكهربائية الساكنة - (2) tem of units الذي يسهّل كتابة كثير من الصيغ<sup>(2)</sup>.

أما إذا كانت الشحن الكهربائية موزعة توزيعاً متواصلاً بكثافة حجمية  $\rho$  فيصبح قانون غاوس

$$(I-12) \quad \int_s E_n dS = \frac{4\pi}{\epsilon_0} \int_{\mathcal{V}} \rho d\mathcal{V}$$

ولكن قاعدة غرين Green الرياضية تتيح لنا أن نكتب

$$(I-13) \quad \int_s E_n dS = \int_{\mathcal{V}} \text{div } E d\mathcal{V}$$

فيتخذ قانون غاوس الصيغة المحلية:

$$(I-14) \quad \text{div. } E = \frac{4\pi}{\epsilon_0} \rho$$

(2) يُسهّل هذا النظام للوحدات بشكل خاص كتابة المعادلات في حالة التناظر الكروي spherical symmetry.

نشير هنا الى أن قانون غاوس هو قانون تجريبي يمكن التأكد من صحته مباشرة بقياس الشحن الكهربائية بواسطة اسطوانة فاراداي، والمجال الكهربائي بواسطة شحنة اختبار. والأهم من ذلك أن صحة هذا القانون مثبتة بإتفاق جميع نتائج مع التجربة ومنها طبعاً قانون كولون.

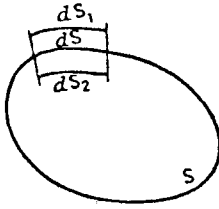
#### 4 - تطبيقات: المجال الكهربائي على سطوح المعادن والضغط الكهربائي.

لنفترض أن الشحن الكهربائية موزعة على سطح بكثافة سطحية  $\sigma$  (أي الشحنة الكهربائية في وحدة المساحة). لنكتب قانون غاوس على أسطوانة  $\Sigma$  قاعدتها سطحان تفاضليان  $dS_1$  و  $dS_2$  يقعان على جهتي الجزء التفاضلي  $dS$  من السطح المكهرب، وسطحها الجانبي عمودي على السطح المكهرب (أنظر الرسم 2) فنجد

$$(I-15) \quad \int_{\Sigma} E_n d\Sigma = \int_S (E_{n1} + E_{n2}) dS = \frac{4\pi}{\epsilon_0} \int_S \sigma dS$$

مما يعطي القاعدة

$$(I-16) \quad E_{n1} + E_{n2} = \frac{4\pi}{\epsilon_0} \sigma.$$



الشكل 2 - المجال الكهربائي على سطح معدن

يمكن أن نميز في تطبيق هذه القاعدة بين الحالات التالية:

أ - إذا كان السطح المكهرب سطح معدن في حالة التوازن الكهربائي يكون المجال الكهربائي منعدماً داخل المعدن أي  $E_{n1} = 0$ . فيكون المجال الكهربائي خارج المعدن وبالقرب منه عمودياً على السطح وبشدة.

$$(I-17) \quad E = \frac{4\pi\sigma}{\epsilon_0}.$$

ب - إذا كان الجزء  $dS$  من السطح نافذة صغيرة في سطح معدن أجوف يكون

المجال متواصلأ أي  $E_{n1} = E_{n2}$  لأن الكثافة  $\sigma$  منعدمة. مما يعني أن المجال الكهربائي داخل النافذة وخارجها هو بشدة

$$(I-18) \quad E' = \frac{2\pi\sigma}{\epsilon_0}$$

ج - لتتصور أن الجزء  $dS$  من سطح معدني مكهرب  $S$  قد فصل عن بقية السطح المغلق ولكنه أبقى في مكانه. المجال الكهربائي الإجمالي (I-17) بالقرب من  $dS$  هو مجموع المجال  $E''$  للسطح التفاضلي  $dS$  والمجال  $E'$  لبقية السطح والمحدد بالصيغة (I-18) مما يعني أن المجالين  $E'$  و  $E''$  هما بشدة واحدة وباتجاه واحد خارج السطح ولكنهما متعاكسان بداخله.

$$(I-19) \quad E' = E'' = \frac{2\pi\sigma}{\epsilon_0}$$

وتكون القوة الكهربائيّة  $dF$  التي تؤثر على الجزء  $dS$  الذي يحمل شحنة الإختبار  $\sigma dS$  ناتجة عن المجال  $E'$  فقط أي أنها

$$(I-20) \quad dF = \frac{2\pi\sigma}{\epsilon_0} \cdot \sigma dS.$$

مما يعني أن هناك ضغطاً كهربائياً<sup>(3)</sup>:

$$(I-21) \quad p = \frac{dF}{dS} = \frac{2\pi\sigma^2}{\epsilon_0}$$

فإذا قيس هذا الضغط بطريقة ميكانيكية يمكن أن نحدد قيمة المجال الكهربائي  $E$  بالوحدات الكهربائيّة السكونية ( $\epsilon_0 = 1$ ). هذا هو مبدأ جهاز مقياس الكهرباء المطلق absolute electrometer الذي ابتدعه لورد كلفن Lord Kelvin.

## 5 - القانون الثاني - تحديد الكمون الكهربائي

إذا تحرك جسم اختبار مشحون على مسار مغلق في مجال كهربائي يحصل على شغل work:

$$(I-22) \quad W = q \int E_1 dl$$

(3) تُشير إلى أن هذا الضغط هو نحو خارج الجسم المكهرب.

حيث  $E_1$  هو إسقاط المجال الكهربائي باتجاه الحركة.  
ولكن بما أن المسار مغلق يكون هذا الشغل منعدماً أي:

$$(I-23) \quad W = 0$$

لأي مسار مغلق. وهذا يعني أن الشغل الذي تحصل عليه الشحنة الكهربائية بين نقطتين ثابتتين لا تتغير قيمته بتغيير المسار الذي يسلكه الجسم بين هاتين النقطتين. وهذا يعني أيضاً أن الشغل  $dW$  بين نقطتين قريبتين هو تفاضلية كاملة total differential. والشرط الضروري والكافي لذلك هو:

$$(I-24) \quad \text{curl } E = 0$$

ومن المعروف في الرياضيات أن المجال  $E$  الذي يخضع لهذه المعادلة هو تدرج gradient دالة عددية تسمى الكمون الكهربائي  $V(x, y, z)$ .

$$(I-25) \quad E = - \text{grad } V$$

فيذا قابلنا المعادلتين (I-14) و (I-25) نحصل على معادلة بواسون Poisson.

$$(I-26) \quad \Delta V = - \frac{4 \pi}{\epsilon_0} \rho$$

حيث  $\Delta$  هي مؤثر operator لابلاس وصيغته في الإحداثيات الديكارتية Cartesian هي:

$$(I-27) \quad \Delta \equiv \frac{\partial^2}{\partial x^2} + \frac{\partial^2}{\partial y^2} + \frac{\partial^2}{\partial z^2}$$

أما في حال عدم وجود شحن كهربائية، فتتعدم الكثافة  $\rho$  وتصبح معادلة بواسون معادلة لابلاس.

$$(I-28) \quad \Delta V = 0$$



## 6 - حلول معادلة لابلاس ومعادلة بواسون

هناك عدد غير محدود من الحلول الممكنة للمعادلات التفاضلية الجزئية مثل معادلات لابلاس وبواسون. فالحل العام لمعادلة بواسون هو مجموع حل خاص للمعادلة الكاملة والحل العام لهذه المعادلة دون جانب ثانٍ أي معادلة لابلاس. فإذا كان هذا الحل العام يحتوي على عدد كافٍ من الثوابت الإختيارية يمكن أن نختار هذه الثوابت لإخضاع الحل لبعض الشروط الحدية boundary conditions.

### 1 - الحل الخاص لمعادلة بواسون

لنفترض أن  $S$  هو سطح يحدّ حجماً  $V$  ولنطبق قاعدة غرين الرياضية لمتجه اختياري  $F$  فنجد

$$(I-29) \quad \int_S F_n dS = \int_V \text{div. } F dV.$$

فإذا اخترنا متجهها  $F$  بالصيغة

$$F = \varphi \text{ grad } \psi - \psi \text{ grad } \varphi.$$

حيث  $\varphi$  و  $\psi$  دالتان عدديتان إختياريتان نجد:

$$(I-30) \quad \int_S (\varphi \text{ grad}_n \psi - \psi \text{ grad}_n \varphi) dS = \int_V (\varphi \Delta \psi - \psi \Delta \varphi) dV$$

وبشكل خاص إذا وضعنا  $\psi = \frac{1}{r}$  نجد

$$(I-31) \quad \int_S (\varphi \text{ grad}_n \frac{1}{r} - \frac{1}{r} \text{ grad}_n \varphi) dS = - \int_V \frac{\Delta \varphi}{r} dV$$

حيث أخذنا بعين الاعتبار أن:

$$\Delta \psi = \Delta \left( \frac{1}{r} \right) = 0.$$

لنفترض الآن أن السطح  $S$  المحيط بالحجم  $V$  هو كرة صغيرة مركزها في النقطة  $P$  وشعاعها  $R$  ولنحسب التكامل (I-31) على الحجم الذي هو خارج الكرة فنجد:

$$(I-32) \quad \int_R^\infty - \left( \frac{\varphi}{r^2} + \frac{1}{r} \frac{\partial \psi}{\partial r} \right) dS = - \int_V \frac{\Delta \varphi}{r} dV.$$

وإذا كانت  $\bar{\varphi}$  و  $\frac{\partial \bar{\varphi}}{\partial r}$  هي القيم الوسطية للدوال  $\varphi$  و  $\frac{\partial \varphi}{\partial r}$  على سطح الكرة يمكن أن نكتب

$$(I-33) \quad \left[ \frac{\bar{\varphi}}{R^2} + \frac{1}{R} \left( \frac{\partial \bar{\varphi}}{\partial r} \right) \right] \int_S dS = - \int_V \frac{\Delta \varphi}{r} dV$$

أي:

$$(I-34) \quad 4\pi\bar{\varphi} + 4\pi R \left( \frac{\partial \bar{\varphi}}{\partial r} \right) = - \int_V \frac{\Delta \varphi}{r} dV$$

وإذا كانت  $\varphi$  هي دالة الكمون  $V$  وفي حدود إنعدام شعاع الكرة  $R$  تصبح  $\bar{\varphi}$  مساوية تقريباً لقيمة الكمون  $V$  في النقطة  $P$  مما يعني أن:

$$(I-35) \quad 4\pi V = - \int_V \frac{\Delta V}{r} dV$$

فإذا افترضنا الآن أن دالة الكمون تخضع لمعادلة بواسون (I-26) خارج الكرة نجد الصيغة (I-10) أي:

$$(I-36) \quad V = \frac{1}{\epsilon_0} \int \frac{\rho}{r} dV$$

ب - لكتابة الحل العام لمعادلة لابلاس من المناسب أن نكتب هذه المعادلة في الإحداثيات الكروية فنجد:

$$(I-37) \quad \Delta \psi = \frac{1}{r^2} \frac{\partial}{\partial r} \left( r^2 \frac{\partial \psi}{\partial r} \right) + \frac{1}{r^2 \sin^2 \theta} \frac{\partial}{\partial \theta} \left( \sin \theta \frac{\partial \psi}{\partial \theta} \right) + \frac{1}{r^2 \sin^2 \theta} \frac{\partial^2 \psi}{\partial \varphi^2} = 0$$

حيث تحدّد الإحداثيات الكروية بما يلي:

$$(I-38) \quad x = r \sin \theta \sin \varphi \quad y = r \sin \theta \cos \varphi \quad z = r \cos \theta$$

يمكن كتابة الحل العام للمعادلة (I-37) كحاصل ضرب (جاء) ثلاثة دوال بالمتغيرات  $r$  و  $\theta$  و  $\varphi$  فنجد

$$(I-39) \quad \psi = \left( ar^l + \frac{b}{r^{l+1}} \right) P_l^m(\cos \theta) (C \sin m\varphi + D \cos m\varphi)$$

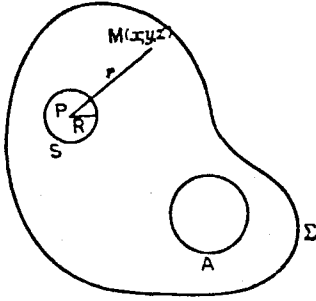
حيث  $a$  و  $b$  و  $C$  و  $D$  ثوابت تكامل والدوال  $P_l^m(\cos \theta)$  هي دوال لوجندر Legendre المتعددة الحدود. والحلول الأبسط هي:

(I-40) pour  $\iota = 0$   $m = 0$ ,  $\psi = a + \frac{b}{r}$

(I-41) pour  $\iota = 1$   $m = 0$ ,  $\psi = \left( ar + \frac{b}{r_2} \right) \cos \theta$ .

### 7 - معادلات بواسون والشروط الحدّية

تحدد الصيغة (I-36) دالة الكمون الكهربائي في أية نقطة  $P(\xi, \eta, \zeta)$  تبعاً للشحن الكهربائي الموزعة بكثافة  $\rho$  في منطقة غير محددة. ويمكن بطريقة مماثلة أن نحسب دالة الكمون في نقطة ثابتة  $P(\xi, \eta, \zeta)$  إذا كانت الشحن الكهربائيّة موزعة في منطقة يحدها سطح  $\Sigma$  مرسوم داخل معدن. لنفترض أن هناك عدداً من الأجسام المعدنية مثل  $A$  (انظر الرسم 3) ولتكن  $r$  المسافة بين النقطة  $P$  حيث نحسب الكمون الى النقطة المتجولة  $M(x, y, z)$ .



الشكل 3 - الجهد الكهربائي في نقطة  $P$  داخل منطقة يحدها السطح  $\Sigma$ .

لنحيط النقطة  $P$  بكرة صغيرة  $S$  شعاعها  $R$ . تبقى قاعدة غرين (I-29) مع الدالة  $\psi = \frac{1}{r}$  صالحة في هذه الحالة وكذلك الصيغة (I-31) التي تكتب كما يلي:

(I-42) 
$$\int_S \left( \varphi \operatorname{grad}_n \frac{1}{r} - \frac{1}{r} \operatorname{grad}_n \varphi \right) dS = - \int_V \frac{\Delta \varphi}{r} dV$$

ولكن في هذه الحالة يجب أن نحصر حساب التكامل في الحجم الذي هو داخل السطح  $\Sigma$  ما عد الكرة  $S$  المحيطة بالنقطة  $P$  حيث نحسب دالة الكمون. فإذا كانت الدالة  $\varphi$  تخضع لمعادلة بواسون داخل المعدن نجد للجانب الأيمن من المعادلة:

(I-43) 
$$- \int_V \frac{\Delta \varphi}{r} dV = \frac{4 \pi}{\epsilon_0} \int_V \frac{\rho}{r} dV$$

أما التكامل في الجانب الأيسر فيجب حسابه على السطوح التالية:

1 - السطح  $S$  المحيط بالنقطة  $P$ : نجد في الحدود  $R \rightarrow 0$  كما في المقطع السابق:

$$(I-44) \quad \int_S \left( \varphi \operatorname{grad}_n \frac{1}{r} - \frac{1}{r} \operatorname{grad}_n \varphi \right) dS \rightarrow 4\pi V.$$

2 - على سطح المعدن  $A$ : لنفترض أن على هذا السطح:

$$(I-45) \quad \frac{\partial \varphi}{\partial n} = \frac{4\pi\sigma}{\epsilon_0}$$

حيث  $n$  هو متجه اوحدة العمودي على سطح المعدن باتجاه الخارج. نشير هنا الى أن الكمون متساو على سطح المعدن حسب قواعد التوازن الكهربائي في المعادن. لتكن  $V_A$  قيمة الكمون  $\varphi$  على السطح  $A$  فنجد:

$$(I-46) \quad \int_S \left( \varphi \operatorname{grad}_n \frac{1}{r} - \frac{1}{r} \operatorname{grad}_n \varphi \right) dS \\ = -V_A \int_{\Omega} d\Omega - \frac{4\pi}{\epsilon_0} \int \frac{\sigma}{r} dS$$

حيث:

$$(I-47) \quad \int_{\Omega} d\Omega = - \int_S \operatorname{grad}_n \frac{1}{r} \cdot dS = \int_S \frac{dS}{r^2} \cos\theta \quad (\theta = \hat{r}, \hat{n})$$

$\Omega$  هي الزاوية المجسمة التي يرى بها الجسم المعدني  $A$  من النقطة  $M$ . فإذا كانت النقطة  $M$  خارج المعدن تنعدم هذه الزاوية المجسمة.

3 - على السطح الحدي  $\Sigma$ : نجد في هذه الحالة صيغة مشابهة للمعادلة (I-46) ولكن النقطة  $M$  هي الآن داخل  $\Sigma$  فتكون الزاوية المجسمة.

$$(I-48) \quad \Omega = - \int_S \operatorname{grad}_n \frac{1}{r} \cdot dS = 4\pi$$

ومن جهة ثانية إذا كانت دالة الكمون على السطح ثابتة بقيمة  $V_0$  نجد

$$(I-49) \quad \int \left( \varphi \operatorname{grad}_n \frac{1}{r} - \frac{1}{r} \operatorname{grad}_n \varphi \right) dS = 4\pi V_0 - \frac{4\pi}{\epsilon_0} \int \frac{\sigma_0}{r} dS$$

ولكن  $\left( \frac{\partial V}{\partial n} \right)_0 = 0 = \frac{4\pi\sigma_0}{\epsilon_0}$  فإذا وضعنا  $V_0 = 0$  واحلنا الصيغة (I-43) في

الجنب الأيمن للمعادلة (I-42) ثم الصيغ (I-44) و (I-46) و (I-49) في الجنب الأيسر للمعادلة ذاتها (I-42) نجد

$$(I-50) \quad \boxed{V = \frac{1}{\epsilon_0} \int \frac{\rho}{r} dV + \frac{1}{\epsilon_0} \int \frac{\sigma}{r} dS}$$

فإذا لم تكن هناك شحن كهربائية داخل المعدن ( $\rho = 0$ ) يمكن أن نكتب

$$(I-51) \quad V = \frac{1}{\epsilon_0} \int \frac{\sigma}{r} dS$$

وأخيراً إذا كانت الأجسام المعدنية صغيرة بحيث لا تتغير عملياً المسافة بين النقطة P، حيث نحسب الكمون، ونقطة متجولة من الجسم المعدني، يمكن أن نكتب

$$(I-52) \quad V = \frac{1}{\epsilon_0} \sum_i \frac{q_i}{r_i} \quad E = - \text{grad } V = \frac{1}{\epsilon_0} \sum_i \frac{q_i}{r_i^2}$$

في هذه الحالة إذا وضع جسم اختبار شحنته  $q'$  في النقطة P يخضع لقوة ميكانيكية

$$(I-53) \quad F = q' E = \frac{1}{\epsilon_0} q' \sum_i \frac{q_i}{r_i^2}$$

هكذا نستنتج قانون كولون من التحديد (I-50) أي بطريقة غير مباشرة من قانون غاوس. ويعني هذا أنه من الممكن إستخلاص قانون كولون دون افتراض وجود جسيمات نقطية ومنفصلة عن بعضها ومولدة الفعل عن بعد.

تاريخياً استُخلص قانون غاوس من قانون كولون، وكذلك استُخلصت جميع القوانين الأساسية للكهرباء السكونية. هكذا نجد أن أكثر المؤلفين «يثبتون» قانون غاوس انطلاقاً من فرضية وجود مجال كهربائي  $E = \frac{q}{r^2}$  مستخلص من قانون كولون. أما نحن فنعتبر أن المعادلة (I-12) هي القانون العام المثبت تجريبياً بذاته وبكل نتائجه ولكن لا يمكن إثباته. أما المعادلة (I-14) فهي الصيغة المحلية لهذا القانون ومنها نستخلص قانون كولون في الحالات الخاصة التالية:

- 1 - إذا إستطعنا كتابة صيغ تكاملية مثل (I-50) في حالة الكهرباء السكونية.
- 2 - في حالة الشحن الكهربائي المتناهية الصغر.

## 8 - تطبيقات

1 - الكمون الكهربائي الذي تكوّنه كرة معدنية موصّلة الى الأرض وموضوعة في مجال كهربائي خارجي:

لنفترض أن كرة معدنية شعاعها R موصلة الى الأرض grounded (أو الكتلة) وموضوعة في مجال كهربائي E متسق uniform. لنأخذ المحور Oz باتجاه هذا

المجال. ولنكتب الحل (I-41) لمعادلة لابلاس في الحالة الخاصة  $m = 0$ ,  $l = m$ .

$$(I-54) \quad \psi = \left( ar + \frac{b}{r^2} \right) \cos \theta$$

نحدد الثابتين  $a$  و  $b$  بفرض الشروط الحدية المناسبة لهذه المسألة. فعلى مسافة بعيدة عن الكرة ( $r \rightarrow \infty$ ) يكون المجال الكهربائي.

$$(I-55) \quad E = - \text{grad } V = - \frac{\partial V}{\partial z}$$

مما يعني أن

$$(I-56) \quad V = - Ez = - Er \cos \theta, \quad a = - E.$$

أما على الكرة فيكون الكمون:

$$(I-57) \quad V = 0$$

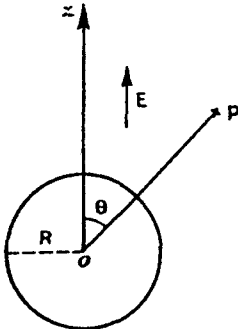
مما يعني إذا استعملنا (I-54) أن

$$- ER + \frac{b}{R^2} = 0, \quad b = ER^3.$$

فيكون الكمون في النقطة P

$$(I-58) \quad V = - \left( r - \frac{R^3}{r^2} \right) E \cos \theta,$$

حلاً لمعادلة لابلاس خاضعاً للشروط الحدية المفروضة.



الشكل 4 - كمون كرة ناقلة  
موضوعة في مجال كهربائي خارجي

2 - عزم ثنائي القطب الكهربائي Electric dipole moment

لنحسب الكمون الكهربائي الذي يكونه في نقطة P ثنائي القطب (+ q, - q).  
نختار المحور Oz باتجاه ثنائي القطب هذا (انظر الرسم 5) فنجد:

$$(I-59) \quad V = \frac{q}{\epsilon_0} \left( \frac{1}{r} - \frac{1}{r + d \cos \theta} \right)$$

أو

$$(I-60) \quad V \approx \frac{q d}{\epsilon_0 r^2} \cos \theta \approx - \frac{m_e}{\epsilon_0} \text{grad}_n \left( \frac{1}{r} \right) , \quad m_e = qd$$

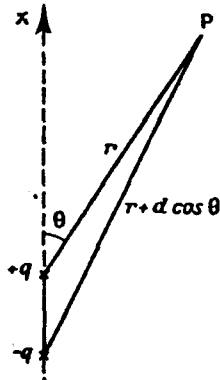
وإذا افترضنا أن المسافة d بين القطبين صغيرة بالمقارنة مع المسافة r الفاصلة بين الثنائي والنقطة n.P هو متجه الوحدة باتجاه الثنائي و  $m_e$  هو عزم ثنائي القطب الكهربائي.

أما إذا كان ثنائي القطب موضوعاً في مجال كهربائي متسق E باتجاه الثنائي فيكون الكمون الكهربائي الإجمالي للثنائي وللمجال الخارجي

$$(I-61) \quad V = - \left( r - \frac{m_e}{\epsilon_0 r^2 E} \right) E \cos \theta$$

إذ يضاف الى كمون الثنائي (I-60) كمون المجال الخارجي  $r E \cos \theta$ ، نشير هنا إلى أن الصيغة (I-61) تشبه الحل (I-41) لمعادلة لابلاس إذا وضعنا

$$(I-62) \quad a = - E , \quad b = \frac{m_e}{\epsilon_0} = q \frac{d}{\epsilon_0} .$$



الشكل 5 - مجال ثنائي القطب

وإذا قابلنا هذه النتيجة مع الصيغة (I-57) نستنتج أن الكرة الموصلّة الى الأرض والموضوعة في مجال كهربائي خارجي متسق تكون كموناً كهربائياً على مسافة بعيدة عنها تماماً كأنها ثنائي القطب بعزم  $m_e = qd$  متناسب مع  $E$

$$(I-63) \quad m_e = \epsilon_0 R^3 E = \alpha E, \quad \alpha = \epsilon_0 R^3$$

مما يعني أن الكرة الموصلّة الى الأرض والموضوعة في المجال الكهربائي الخارجي تُكتب عزماً ثنائياً كهربائياً. نقول إنها تصبح مستقطبة polarized بعزم  $qd = \epsilon_0 R^3 E$ .

### 9 - الأجسام الكهرفاذة

لقد أثبتت تجارب فاراداي عام 1831 أن فرق الكمون للوحتي مكثف كهربائي plates of a capacitor تقل إذا ما استبدلنا الهواء الفاصل بينهما بجسم كهرفاذ. مما يعني أن سعة capacity المكثف تزداد. لذلك يمكن أن نحدد عاملاً خاصاً factor لكل جسم كهرفاذ ( $x_e > 1$ ) وهو نسبة ثابت الكهرفاذية  $\epsilon$  للجسم الى ثابت كهرفاذية الخلاء  $\epsilon_0$ .

$$(I-64) \quad x_e = \frac{\text{ثابت كهرفاذية الجسم}}{\text{ثابت كهرفاذية الخلاء}} = \frac{\epsilon}{\epsilon_0}$$

إذا حصلت الظواهر الكهربائية في أجسام كهرفاذة بدلاً من الخلاء يجب تعديل القوانين العامة كما يلي:

- إستناداً الى تجارب فاراداي يجب تعديل القانون الأول الذي يعبر عن المحافظة على تدفق المجال الكهربائي. غير أنه من الممكن أن نفترض وجود مجال جديد  $D$  يخضع في الأجسام الكهرفاذة للقانون ذاته الذي يخضع له المجال  $E$  في الخلاء أي:

$$(I-65) \quad \int_S D_n dS = 4\pi \int_V \rho dV$$

مما يعني أيضاً الصيغة المحلية:

$$(I-66) \quad \boxed{\text{div. } D = 4 \pi \rho}$$



ويرتبط المجال  $D$  بالمجال  $E$  بالعلاقة

(I-67)

$$D = \epsilon E$$

وذلك لأن المجال الكهربائي بين لوحتي مكثف يفصل بينهما الجسم الكهرونافذ يقل بنسبة  $\epsilon$  عن المجال بين لوحتي المكثف ذاته إذا كان يحمل الشحنة الكهربائية ذاتها ولا يحتوي على الجسم الكهرونافذ.

- أما القانون الثاني (الذي يعبر عن أن شغل القوى الكهربائية على شحنة تنتقل بين نقطتين ثابتتين لا يختلف من مسار إلى آخر بين هاتين النقطتين) فيبقى صالحاً في حال وجود أجسام كهرونافذة. مما يعني أن المجال الكهربائي  $E$  يخضع سواء في الخلاء أو في الأجسام الكهرونافذة للقانون.

(I-68)

$$\text{curl } E = 0$$

الذي يعني أيضاً أن:

(I-69)

$$E = - \text{grad } V$$

ويسمى المجال  $D$  عادة مجال التحريض الكهربائي. وقد كان ماكسويل يسميه مجال الإزاحة displacement الكهربائي وذلك للشبه بين هذه الظواهر الكهربائية ونظرية المرونة (elasticity) في الأجسام الصلبة إذ إن القوة  $E'$  (المشابهة للمجال الكهربائي  $E$ ) والإزاحة  $D'$  (المشابهة لمجال الإزاحة الكهربائي  $D$ ) يرتبطان بعلاقة مشابهة للمعادلة (I-67) مع استبدال الثابت  $\epsilon$  بعكس معامل المرونة elasticity coefficient.

ونستنتج من العلاقة (I-66) أن

$$(I-70) \quad \text{div. } \epsilon E = 4\pi\rho$$

أي

$$(I-71) \quad \text{div. } \epsilon \frac{\partial V}{\partial n} = - 4\pi\rho$$

فيذا قابلنا هذه النتائج مع العلاقات (I-50) و (I-53) و (I-21) نجد ما يلي:

1 - يرتبط الكمون الكهربائي بكثافة الشحن الكهربائية إذا كانت  $\epsilon = C^{st}$  لا تتغير من نقطة الى أخرى بالعلاقة

$$(I-72) \quad V = \frac{1}{\epsilon} \int_V \frac{\rho dV}{r} + \frac{1}{\epsilon} \int_S \frac{\sigma dS}{r}$$

2 - قانون كولون للتفاعل بين شحنتين هو

$$(I-73) \quad f = \frac{1}{\epsilon} \frac{qq'}{r^2}$$

3 - الضغط الكهربائي على السطوح المشحونة هو

$$(I-74) \quad \rho = E_S \sigma \quad , \quad E_S = \frac{2\pi\sigma}{\epsilon}$$

فالضغط يقل إذا عما هو في الخلاء بالنسبة  $\frac{\epsilon}{\epsilon_0}$  إذا كانت الشحنة الكهربائية لا تتغير  $(\rho = \frac{2\pi\sigma^2}{\epsilon})$ ، أو يزيد عما هو في الخلاء بالنسبة ذاتها إذا كان المجال الخارجي لا يتغير  $(\rho = \frac{\epsilon}{2\pi} E_S^2)$ .

ستتيح لنا نظرية الأجسام الكهرنافذة الالتقاء بنظرية التيار الكهربائي، لذلك يجب أن نميز بين الشحن الكهربائية «الحقيقية» التي تظهر على سطوح المعادن والشحن «الوهمية» التي تتكون داخل الأجسام الكهرنافذة. ينجلي هذا التمييز بين النوعين من الشحن في النظرية الإلكترونية. فالشحن الوهمية ترتبط بالإلكترونات المقيدة، والشحن الحقيقية ترتبط بالإلكترونات الحرة. أما في ما يتعلق بظواهر التحريض الكهربائي، فإن الجسم الناقل كهربائياً يظهر كأنه جسم كهرنافذ ذو ثابت لا متناهٍ  $\epsilon$ . إن نظرية الأجسام الكهرنافذة التي تلعب دوراً أساسياً في نظرية ماكسويل قد عممت بشكل واسع نظرية الكهرباء السكونية في الفراغ أو الخلاء.

ولا بد من الإشارة هنا أن مفهوم الأجسام الكهرنافذة كما تصوره ماكسويل وكما عرضناه هنا لا يعني إلا الظواهر، لأنه على مستوى الإلكترونات ليس هناك الا شحن تتحرك في الفراغ. فمفهوم الأجسام الكهرنافذة ليس إلا نتيجة للمراقبة الإحصائية للأجسام، فهو تعميم عياني macroscopic للكهرباء السكونية في الخلاء. فإذا أردنا تفسيراً مجهرياً microscopic للظواهر الكهرمغناطيسية كما في نظرية لورنتز

Lorentz أو نظرية الفوتونات photons فإن ظواهر التحريض الكهرومغناطيسي تختفي ليبقى المجال الكهرومغناطيسي وحده يحمل معنى مجهرياً.

## 10 - الأجسام الكهرفاذة وثنائيات القطب

يتألف الجسم الكهرفاذ من مجموعة من ثنائيات القطب ذات عزم كهربائي متناسب مع شدة المجال الكهربائي الذي توضع فيه هذه الأجسام. ويكون ذلك بطريقتين:

1 - يمكن أن يتكون ثنائي القطب تحت تأثير المجال الكهربائي الخارجي ذاته. فجزئيات الجسم ليس لها عادة عزم كهربائي لأن الشحن الكهربائية تتوزع بداخلها بتناظر كروي. ولكن هذه الجزئيات تكتسب عزماً كهربائياً بتأثير مجال كهربائي خارجي إذ تتحرك الإلكترونات التي تحيط بالنواة تحت تأثير القوى الكهربائية الخارجية نحو سطح الجزيء الذي يبدو حينذاك كأنه كرة معدنية في حقل خارجي أي ثنائي القطب. ويكون العزم الكهربائي استناداً إلى نتائج المقطع الثامن.

$$(I-75) \quad qd = \alpha E \quad \text{مع} \quad \alpha = \epsilon_0 R^3$$

حيث  $R$  قريب من شعاع الجزيء. فإذا كان هناك عدد من الجزئيات يساوي  $N$  في الحجم  $V$  يكون العزم الكهربائي الثنائي في وحدة الحجم.

$$(I-76) \quad P = \frac{N}{V} qd = \frac{N}{V} \alpha E$$

وتسمى  $P$  كثافة الإستقطاب polarization density في الجسم الكهرفاذ.

2 - هناك أجسام كهرفاذة مؤلفة من جزئيات ذات عزم كهربائي ثنائي دائم أي حتى في غياب المجال الكهربائي الخارجي. وهذه هي حال جزئيات الغازات والسوائل المؤلفة من شاردة سلبية وشاردة إيجابية. فإذا لم يكن هناك مجال كهربائي خارجي تتجه هذه الجزئيات بشكل عشوائي ويكون عندها العزم الكهربائي الثنائي الوسطي منعدماً. ولكن إذا وضع هذا الجسم في مجال كهربائي خارجي، تدور هذه الجزئيات على نفسها لتتجه باتجاه هذا المجال فيكون العزم الكهربائي الوسطي باتجاه المجال الخارجي وتكون كذلك كثافة الإستقطاب.

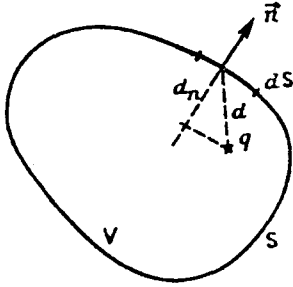
يظهر الفرق بين هذين النوعين من الأجسام في تغيير الاستقطاب مع درجة

الحرارة. ففي حالة الأجسام ذات العزم الكهربائي الدائم ينعدم العزم الكهربائي الإجمالي بسبب الاضطراب الحراري thermal agitation لجزيئات الجسم. ولكن إذا أخضع الجسم لتأثير مجال كهربائي خارجي يتكون عزم إجمالي متناسب عكسياً مع مربع درجة الحرارة المطلقة absolute temperature، أما في الحالة الثانية للإستقطاب أي في غياب العزم الكهربائي الدائم للجزيئات وتكوّنه تحت تأثير المجال الكهربائي الخارجي فلا تتغير كثافة الاستقطاب مع درجة الحرارة.

### 11 - الإستقطاب والإزاحة الكهربائيان

لنتفحص جسماً عازلاً  $\mathcal{V}$  يحيط به سطح مغلق  $S$ . ينتج الإستقطاب الكهربائي للجزيئات عن تحرك الشحن الكهربائية  $q$ . فإذا كان هناك عدد من الشحن يساوي  $\frac{N}{q}$  في وحدة الحجم تكون الشحنة الكهربائية المنتقلة الى السطح التفاضلي  $dS$  العمودي على متجه الوحدة  $n$  (أنظر الرسم 6)

$$(I-77) \quad dq = \frac{N}{q} qd_n dS.$$



الشكل 6 - تحرك الشحن الكهربائية واستقطاب الاجسام الكهروناظفة

حيث  $d_n$  هي مركبة الانتقال  $d$  على المتجه العمودي  $n$ . ولكن  $\frac{N}{q} qd$  تساوي العزم الكهربائي في وحدة الحجم أي كثافة الإستقطاب. فنكون الشحنة الكهربائية المنتقلة الى السطح  $S$ .

$$\int_S P_n dS.$$

وإذا كانت كثافة الشحن الكهربائية الوهمية داخل الحجم  $\mathcal{V}$  تساوي  $\rho'$  نجد

$$(I-78) \quad \int_S P_n dS = - \int_{\mathcal{V}} \rho' d\mathcal{V}.$$

ولكن قاعدة غرين الرياضية تعطي

$$(I-79) \quad \int_S P_n dS = \int_V \text{div. } P dV$$

فنستخلص من (I-78) العلاقة المحليّة.

$$(I-80) \quad \text{div. } P = - \rho'.$$

وإذا كان الحجم  $V$  يحتوي، إضافة إلى الجسم الكهرونافذ المستقطب، على شحن كهربائية حقيقية بكثافة  $\rho'$  يمكن أن نكتب المعادلة (I-14) التي هي نتيجة لقانون غاوس في الخلاء. ولكن باستعمال كثافة الشحن الاجمالية وثابت الكهرونافذ  $\epsilon_0$  نجد:

$$(I-81) \quad \text{div. } E = \frac{4 \pi}{\epsilon_0} (\rho + \rho').$$

وباستعمال (I-80) نكتب

$$(I-82) \quad \text{div. } E = \frac{4\pi\rho}{\epsilon_0} - \frac{4 \pi}{\epsilon_0} \text{div. } P$$

أو

$$(I-83) \quad \text{div. } (\epsilon_0 E + 4\pi P) = 4\pi\rho$$

فإذا قابلنا هذه النتيجة مع التحديد (I-66) للمجال  $D$  نجد:

$$(I-84) \quad \boxed{D = \epsilon_0 E + 4\pi P}$$

ومن جهة ثانية  $D$  و  $P$  متناسبان مع  $E$  إذ إن المعادلات (I-67) و (I-64) و (I-76) تعطي

$$(I-85) \quad D = \epsilon E = \chi_e \epsilon_0 E.$$

$$(I-86) \quad P = \frac{N\alpha}{V} \quad E = \chi_e \epsilon_0 E$$

حيث حددنا الطواعية الكهربائية electric susceptibility  $\chi_e$  بأنها:

$$(I-87) \quad \chi_e = \frac{1}{\epsilon_0} \frac{N\alpha}{V}.$$

أما المعادلة (I-84) فتعطي قيمة المعامل  $\chi_e$

(I-88)

$$\chi_e = 1 + 4 \pi \chi_e$$

نشير أن قيمة  $\alpha$  تتأثر بوجود الجزيئات القريبة. فإذا كان الجسم الكهرونافذ كثيفاً مثل الأجسام السائلة والصلبة تتغير قيمة الطواعية الكهربائية وبالتالي قيمة ثابت الكهرونافذ تبعاً للمعطيات التجريبية. أما العلاقة (I-84) فتبقى صحيحة ولكن ليس هناك علاقة تناسب بسيطة بين مجال التحريض الكهربائي  $D$  وكثافة الإستقطاب  $P$  والمجال الكهربائي  $E$

## تمارين

1 - لنفترض أن توزيعاً للشحن الكهربائي ذا تناظر كروي، إحسب الكثافة  $\rho(r)$  لهذه الشحن إذا كانت دالة الكمون الكهربائي

$$V = -\frac{1}{\epsilon_0} \frac{qe^{-\alpha r}}{r}$$

حيث  $\alpha$  و  $q$  ثابتان. إحسب قيمة الشحنة الكهربائية لجسيم نقطي point particle موضوع في المركز كي يعطي هذا الكمون.

2 - إحسب المجال الكهربائي لثنائي القطب الكهربائي.

3 - أ - إحسب المجال الكهربائي  $E_1$  داخل كرة من جسم كهرنافذ متجانس homogeneous موضوع في مجال كهربائي خارجي  $E_0$  متسق.

ب - أنظر في الحالات الخاصة التالية:

( $\alpha$ ) - إبعاد الجسم الكهرنافذ.

( $\beta$ ) - إستبدال الجسم الكهرنافذ بجسم ناقل للكهرباء.

ج - ما هي قيمة العزم الكهربائي الذي يمكن أن يعطي المجال الكهربائي ذاته الذي تعطيه الكرة المستقطبة؟

د - إحسب المجال الذي يتكون في الظروف ذاتها في تجويف كروي داخل جسم كهرنافذ. ما هي القيم الحدية لهذا المجال؟

## الحل:

أ - يستعمل للكمون الخارجي حل  $V$  بالصيغة (I-54) وتختار الثوابت  $a_1$  و  $b$  و  $\epsilon_1$  لتحقيق الشروط التالية:

$$E_0 = -\left(\frac{\partial V}{\partial z}\right)_{\infty}$$

مع  $(\varphi_1)_{r=R} = (V)_{r=R}$  وأخيراً مساواة المركبة العمودية للمجال التحريض الكهربائي.

$$\epsilon_0 \frac{\partial V}{\partial z} = \epsilon_1 \frac{\partial V}{\partial r} \text{ على سطح الكرة.}$$

ب - الحالات الخاصة يمكن الحصول عليها بوضع  $\epsilon_1 = \epsilon_0$  ثم  $\epsilon_1 = \infty$ .

ج - تستعمل العلاقة  $m_e = qd = \epsilon_0 b$ .

د - يجب استبدال  $\epsilon_0$  بـ  $\epsilon_1$  والعكس. يكون الحقل داخل التجويف ذا

$$\text{قيمة بين } E_0 \text{ و } \frac{\epsilon_1}{\epsilon_0} E_0.$$

4 - ما هو تأثير شحنة كهربائية  $+e$  على جسم كهرونافذ لا متناهٍ يحده سطح مستو؟

**الحل:**

يُحسب الكمون الناتج الشحنة  $+e$  والشحنة  $-e$  الموجودة في موقع الصورة (أي النقطة المتناظرة مع موقع الشحنة  $+e$  بالنسبة إلى سطح الجسم الكهرونافذ). ثم تكتب شروط التواصل continuity على السطح الفاصل بين الخلاء والجسم الكهرونافذ.



### المغناطيسية السكونية Magnetostatics

#### 1 - الحالات الدائمة permanent

##### قانون بيو Biot وسافار Savart التجريبي

يتكون المجال المغناطيسي بواسطة تيار كهربائي وهو شحن كهربائية متحركة أو بواسطة الأجسام المغنطة. سوف ندرس أولاً مغناطيس التيار الكهربائي لاستخلاص النموذج الذي نستعمله لفهم ثنائي القطب المغناطيسي الذي هو أساس بنية الأجسام المغنطة.

لا يكون المجال المغناطيسي مستقلاً عن المجال الكهربائي والعكس بالعكس إلا في الحالات الدائمة. أما في الحالات المتغيرة مع الوقت فإن كلاً من هذين المجالين يرتبط بالآخر. لدى دراسة المغناطيسية السكونية نحصر اهتمامنا في الحالات الدائمة البسيطة التي يتولد فيها المغناطيس عن تيارات كهربائية بشدة ثابتة  $i$ .

ينتج التيار الكهربائي المستمر direct current عن التحرك المنتظم لسلسلة متواصلة من الشحن الكهربائية. فإذا كانت كل شحنة تتحرك بسرعة  $v$  في سلك مقطعه  $dS$  تكون شدة التيار

$$(II-1) \quad \rho v_n dS = i$$

حيث  $v_n$  هي مركبة السرعة على الإتجاه العمودي على المقطع  $dS$ ، وإذا أخذنا جزءاً طوله  $dl$  من هذا السلك نجد:

$$(II-2) \quad id\ell = v_n \rho \, dS \, d\ell = q \cdot v$$

حيث  $q$  هي الشحنة الإجمالية في الجزء  $d\ell$  من السلك ذي الحجم  $dS \cdot dl$   
إذا حركنا شحنة كهربائية قرب تيار كهربائي أو قرب جسم ممغنط نلاحظ أن  
هذه الشحنة تخضع لقوة:

$$(II-3) \quad \boxed{F = q (v \wedge B)}$$

حيث  $B$  هو مجال التحريض المغنطيسي الذي يكوّنه التيار الكهربائي أو الجسم  
الممغنط. كذلك أي جزء  $d\ell$  من سلك كهربائي يمر فيه تيار شدته  $i$  وضع قرب تيارات  
أخرى أو أجسام ممغنطة يخضع لقوة

$$(II-4) \quad F = i (d\ell \wedge B)$$

إن مجال التحريض المغنطيسي  $B$  يمكن أن يكون حصيلة حركة شحنة كهربائية  
 $q'$  بسرعة  $v'$  أو حصيلة تيار كهربائي منتظم بشدة  $i'$  يمر في سلك طوله  $d\ell'$ . وقد  
أثبتت تجارب بيو وسافار أن هذا المجال هو:

$$(II-5) \quad B = \frac{q' (v' \wedge r)}{|r|^2} = \frac{i' (d\ell' \wedge r')}{|r|^2}$$

حيث  $r'$  هو المتجه الفاصل بين الشحنة  $q'$  أو الجزء الصغير من السلك  $d\ell'$  الى  
النقطة حيث يقاس المجال. وباستعمال التحديد (II-3) و (II-4) نجد أن القوة  
المغنطيسية لتفاعل شحنتين كهربائيتين  $q$  و  $q'$  تتحركان بسرعة  $v$  و  $v'$  أو لتفاعل  
تيارين  $i$  و  $i'$  في سلكين طولهما  $d\ell$  و  $d\ell'$  هي

$$(II-6) \quad F = \frac{qq'}{|r|^2} [v \wedge (v' \wedge r)] = \frac{ii'}{|r|^2} [d\ell \wedge (d\ell' \wedge r)]$$

حيث  $r$  هي المسافة بين شحنة الإختبار  $q$  أو الجزء  $d\ell$  من سلك الإختبار  
والشحنة  $q'$  أو الجزء  $d\ell'$  من السلك الكهربائي الذين يكونان المجال المغنطيسي.

لدى دراستنا الكهرباء السكونية وجدنا أنه يمكن أن نحسب المجال الكهربائي  
انطلاقاً من قانون كولون ولكن هذه الطريقة محدودة جداً. والأفضل هو أن نستعمل

دالة الكمون التي هي حل لمعادلات بواسون أو لابلاس، أي أن نستبدل العلاقات التكاملية (التي تعادل في بعض الحالات قانون التأثير عن بعد) بعلاقات محلية تأخذ شكل معادلات تفاضلية جزئية. سوف نكون بوضع مشابه عند دراسة المغنطيسية السكونية، فنجد أنه من الأنسب أن نصيغ علاقات محلية بشكل معادلات تفاضلية جزئية يمكن أن نستخلص منها القوانين الأساسية للمغنطيسية السكونية وبشكل خاص قانون بيو وسافار.

## 2 - القوانين العامة للمغنطيسية

**القانون الأول:** يتكون قرب تيار كهربائي أو جسم ممغنط تدفق للمجال المغنطيسي. تنطلق خطوط هذا المجال من الجسم الممغنط أو من الطبقة المغنطيسية magnetic shell (المعادلة للدائرة الكهربائية التي يمر بها التيار) وتعود إليه. وكل سطح مغلق لا يتقاطع مع الجسم الممغنط أو الطبقة المغنطيسية يلتقي حتماً مع أي خط للمجال المغنطيسي عدداً مزدوجاً من المرات ويكون التدفق الإجمالي للمجال المغنطيسي على هذا السطح المغلق منعدماً أي:

$$(II-7) \quad \int_S B_n dS = 0$$

مما يعني أن

$$(II-8) \quad \boxed{\text{div. } B = 0}$$

يحدّد المجال B التحريض المغنطيسي في الوسط المادي الذي ندرس فيه التأثيرات المغنطيسية. ومن الممكن أن ندخل مجالاً جديداً H نسميه المجال المغنطيسي ويحدّد بطريقة مشابهة للمعادلة (I-67) أي:

$$(II-9) \quad \boxed{H = \frac{B}{\mu}}$$

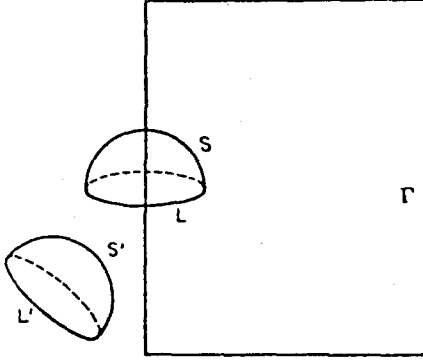
حيث  $\mu$  هي النفاذية المغنطيسية magnetic permeability للجسم. أما المجال H فهو القيمة الحدية للتحريض المغنطيسي في حال الفراغ. ورغم التشابه بين المعادلات (II-9) و (I-67)، سوف نرى أن المجال H مثل المجال D في الكهرباء السكونية ليس المجال الأولي في النظرية المغنطيسية. فالمجالان الأساسيان اللذان يدخلان مباشرة في النظرية المجهرية هما المجال الكهربائي E ومجال التحريض المغنطيسي B.

**القانون الثاني:** لنقارن انتقال شحنة كهربائية وانتقال شحنة مغناطيسية افتراضية. فإذا كان المسار  $L'$  مغلقاً يكون الشغل الإجمالي للمجال على هذا المسار منعدماً في كلتا الحالتين:

$$(II-10) \quad W_{L'} = 0.$$

ولكن إذا كان الانتقال على أحد خطوط المجال  $L$  لا يمكن أن ينعدم الشغل.

$$(II-11) \quad W_L \neq 0.$$



الشكل 7 -  
خطوط المجالات والمسارات المغلقة

فإذا قابلنا النتائج (II-10) و (II-11) يبدو أن خط القوة  $L$  لا يمكن أن ينغلق على نفسه لأن الشغل الناتج من الانتقال عليه ينعدم حسب قانون المحافظة على الطاقة: وهذا هو فعلاً حال خطوط القوى التي تكوّنها الشحن الكهربائية والأجسام المغناطيسية، فهي لا تنغلق على نفسها. وتكون المعادلة (II-10) صحيحة لأي مسار مغلق  $L'$  يحدد سطحاً  $S'$ ، لأن أي من هذه المسارات لا يمكن أن يكون خط قوة. لذلك يمكن أن نكتب:

$$(II-12) \quad W_{L'} = \int E_{L'} \cdot dL' = \int \text{curl}_n E \cdot dS' = 0$$

مما يعني أن

$$(II-13) \quad \boxed{\text{curl } E = 0, \quad E = \text{grad } V}$$

فالمجال يشق إذاً من دالة للكمون.

أما المجال المغنطيسي الذي يكونه تيار كهربائي فإنه ينغلق على نفسه. مما يعني أن المعادلة (II-11) صحيحة لبعض المسارات  $L$  وهي خطوط المجال. رغم ذلك يبقى قانون المحافظة على الطاقة صحيحاً من الناحية العملية لأنه لا يمكن أبداً نقل شحنة مغنطيسية واحدة. إن هذا الاختلاف بين المجال  $H$  والمجال  $B$  يعني أنه لا يمكن أن يشتق المجال المغنطيسي  $H$  من دالة للكمون مثل المجال الكهربائي. إذ إن المعادلة (II-12) تصبح:

$$(II-14) \quad W_L = \int H_L dL = \int \text{curl } H dS' \neq 0.$$

إذا كان المسار  $L$  واحداً من خطوط المجال المغنطيسي. ولكن استناداً إلى المعادلة (II-10) فإن الكمية  $\text{curl } H$  تنعدم على أي سطح  $S'$  لا يخترقه التيار الكهربائي ويحده المسار  $L'$ . ويعني هذا أن  $\text{curl } H$  لا يكون غير منعدم إلا في ملتقى السطح  $S$  مع السلك الكهربائي  $\Gamma$ . فكل سطح  $S$  محدود بخط للمجال  $L$  يجب أن يتقاطع مع السلك الكهربائي مرة واحدة على الأقل أو في عدد مفرد من النقاط. فإذا كان المسار  $L$  منغلقاً يجب أن يكون السلك الكهربائي  $\Gamma$  منغلقاً على نفسه أيضاً. فكل تيار كهربائي يشكل حتماً حلقة مغلقة. وهذا ما يعلل مبدأ ماكسويل بإدخال تيار الإزاحة الكهربائي displacement current في النظرية.

لنحسب الآن الشغل  $W_L$  في ملتقى السطح  $S$  والسلك  $\Gamma$ . لنضع

$$(II-15) \quad W_L = 4 \pi i$$

محددتين هكذا نظاماً للوحدات الكهرمغنطيسية لقياس التيار الكهربائي  $i$ . مما يتيح لنا كتابة المعادلة (II-14) بالصيغة

$$(II-16) \quad \int_L H_L dL = 4\pi \int_S I_n dS, \quad i = \int I_n dS$$

ترمز  $I_n$  هنا إلى مركبة كثافة التيار الكهربائي  $I$  في الإتجاه العمودي على المقطع  $dS$ . والصيغة المحلية للمعادلة التكاملية (II-16) هي

$$(1) \quad F = \frac{1}{\epsilon} \frac{qq'}{r^2}$$

إذا كتبنا بهذا الاختيار قانون كولون في وسط مادي ذي ثابت الكهروناظية  $\epsilon$  أي  $\epsilon_0 \neq 1$  إذا استعملنا الوحدة الكهرمغنطيسية للشحن الكهربائية  $q$  و  $q'$ .

(II-17)

$$\text{curl } H = 4\pi I$$

في كل نقطة من الفضاء فيها كثافة تيار  $I$  ومجال مغناطيسي  $H$ .

وإذا قارنا المعادلات (II-8) و (II-9) و (II-17) نجد أن مجال التحريض المغناطيسي  $B$  يخضع في الوقت ذاته للمعادلات التالية في حال الاستقرار المغناطيسي:

(II-18)

$$\text{div } B = 0, \text{ curl } B = 4\pi\mu I$$

مما يعني أن المجال  $B$  يمكن كتابته بالصيغة التالية:

(II-19)

$$B = \text{curl } A$$

حيث الكون المتجهي  $A$  يخضع استناداً إلى (II-18) إلى المعادلات<sup>(2)</sup>

(II-20)

$$\Delta A = -4\pi\mu I, \quad \text{div } A = 0$$

وهو بشكل خاص حال الحل:

(II-21)

$$A = \mu \int \frac{I}{r} d^3V$$

تحدد هذه الصيغة للحل إمكانية الاستقرار المغناطيسي<sup>(3)</sup> تماماً كما أن الحل

$$V = \frac{1}{\epsilon} \int \rho \frac{d^3V}{r} + \frac{1}{\epsilon} \int \frac{\sigma dS}{r}$$

(2) استناداً إلى (11-19) تكون المعادلة  $\text{div } B = 0$  مستوفاة بالتطابق إذا خضع الكون المتجهي  $A$  للمعادلة  $\text{div } A = 0$ . أما المعادلة  $\text{curl } B = 4\pi\mu I$  فتصبح.

$$\text{curl } \text{curl } A = \text{grad } \text{div } A - \Delta A = 4\pi\mu I.$$

أي  $\Delta A = -4\pi\mu I$  إذا استعملنا المعادلة  $\text{div } A = 0$ .

(3) يكون الفرق بين  $B$  وأي حل آخر  $B'$  للمعادلات (II-18) ذا صيغة توافقية harmonic محدودة في كل مكان. فتكون إذا منعومة بالتطابق، مما يعني أن قيمة المجال  $B$  محددة بطريقة لا إلتباس فيها في حالة الاستقرار المغناطيسي.

يحدد إمكانية الإستقرار الكهربائي في جسم كهرفاذ ومتشابه بثابت الكهرفاذية  $\epsilon$ .

تطبيق قانون بيو وسافار: لننظر الآن في الحالة الخاصة لتيار كهربائي شدته  $I$  يجتاز جزءاً من السلك وله  $d\ell$  ومقطعه متساو قيمته  $a$ . نجد في هذه الحالة:

$$(II-22) \quad I d^2V = I a d\ell = i d\ell$$

فتعطي الصيغة (II-21) الكون المتجهي  $dA$  الذي يكونه هذا الجزء من السلك

$$(II-23) \quad dA = \frac{\mu i}{r} d\ell$$

ولكن إذا استعملنا (II-19) نجد

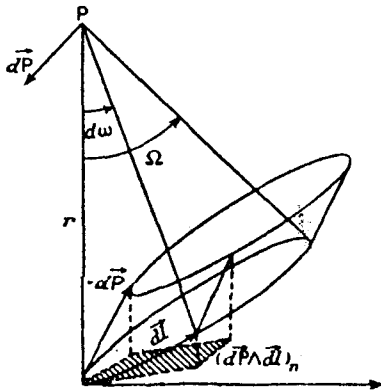
$$(II-24) \quad dB = \text{curl } dA = \frac{\mu i}{r} \text{curl } d\ell + \mu i \left[ \text{grad} \left( \frac{1}{r} \right) \wedge d\ell \right]$$

$$= \mu i \frac{d\ell \wedge r}{|r|^2}$$

وما هي إلا الصيغة (II-5) التي أثبتتها تجارب بيو وسافار. مما يعني أن هذا القانون يمكن استنتاجه من المعادلات التفاضلية الجزئية المحلية التي هي جزئياً نتيجة لمقارنة سلوك الشحن الكهربائي وسلوك الشحن المغنطيسية المفترضة.

### 3 - ثنائي القطب المغنطيسي

لنفترض أن دائرة كهربائية صغيرة مساحتها  $dS$  ترى من النقطة  $P$  في الفضاء تحت زاوية مجسمة  $\Omega$  (انظر الرسم 8). إذا انتقلت النقطة  $P$  مسافة  $dP$  تتغير الزاوية المجسمة بكمية  $d\Omega$  بحيث إن



الشكل 8 - تحديد  $\text{grad } \Omega$

$$(II-25) \quad d\Omega = \int d\omega \quad \text{مع} \quad \omega = - \frac{(dP \wedge d\ell)_n}{|r|} = \frac{(dP \wedge d\ell) \cdot r}{|r|^2}$$

وذلك لأن  $(dP \wedge d\ell)_n$  - هو إسقاط السطح التفاضلي المتوازي الأضلاع المكون من المتجهات  $-dP$  و  $d\ell$  على السطح المستوي العمودي على المتجه  $r$ . لذلك يمكن أن نكتب.

$$d\Omega = - \int \frac{(dP \wedge d\ell)r}{|r|^3} = - \int \frac{dP (d\ell \wedge r)}{|r|^3}$$

ولكن من جهة ثانية

$$(II-26) \quad d\Omega = \text{grad } \Omega \cdot dP$$

أي

$$(II-27) \quad \text{grad } \Omega = - \int \frac{d\ell \wedge r}{|r|^3}$$

فإذا قارنا هذه النتيجة مع الصيغة (II-24) يمكن أن نكتب

$$(II-28) \quad B = - \mu i \text{ grad } \Omega$$

مما يعني أن المجال  $B$  يشتق في هذه الحالة الخاصة من كمون عددي.

$$(II-29) \quad V = \mu i \Omega$$

وينتج عندئذ عن المعادلة (II-28) أن

$$(II-30) \quad \text{curl } B = 0$$

إن صيغة هذا الكمون العددي

$$(II-31) \quad (II-31) \quad V = \mu i \Omega = \frac{\mu i}{r^2} S' \cos \theta$$

تشبه تماماً صيغة الكمون الكهربائي لثنائي القطب الكهربائي

$V = \frac{1}{\epsilon} \frac{qd}{r^2} \cos \theta$  لذلك يمكن أن نعتبر هذه الدارة الكهربائية الصغيرة كأنها ثنائي القطب المغناطيسي بعزم  $iS$  ونسميها عندئذ الطبقة المغناطيسية magnetic



shell. وانطلاقاً من مفهوم الطبقة المغنطيسية يمكن أن نستخلص العلاقة (II-18).  
إذ يمكن أن نكتب استناداً إلى (II-28).

$$(II-32) \quad \int B_L dL = -\mu i \int d\Omega$$

فإذا كان المسار L يتقاطع مرة واحدة مع الطبقة المغنطيسية نجد

$$(II-33) \quad \int d\Omega = -4\pi$$

إذا كانت الزاوية المجسمة  $\Omega$  إيجابية. نستنتج إذاً المعادلة

$$(II-34) \quad \int B_L dL = 4\pi\mu i$$

أما في حال المسارات الأخرى  $L'$  التي لا تتقاطع مع الطبقة المغنطيسية فنجد

$$(II-35) \quad \int B_L dL' = 0$$

ولكن إذا استعملنا قاعدة ستوكس الرياضية والمعادلة (II-34) نحصل  
على

$$(II-36) \quad \int B_L dL = \int_S \text{curl}_n B dS = 4\pi \int_S \mu I_n dS$$

حيث  $I$  هي كثافة التيار الذي يخترق السطح  $S$  أي  $i = \int I_n dS$  بذلك نحصل على  
المعادلة التفاضلية الجزئية

$$(II-37) \quad \text{curl } B = 4\pi\mu I$$

وتسمى العلاقة (II-34) قانون أمبير Ampere، أما المعادلة (II-37) فهي الصيغة  
التفاضلية (أو المحلية) لهذا القانون. وبشكل خاص في الأماكن التي ليس فيها أي  
تيار كهربائي أي خارج السلك الكهربائي ( $I = 0$ ) نجد أن المجال  $B$  يخضع  
للمعادلة  $\text{curl } B = 0$ .

لقد استنتجنا في ما سبق قانون أمبير (المعادلة الثانية II-18) من القوانين العامة  
للمغنطيسية السكونية. أما هنا فجاء قانون أمبير كتطبيق لقانون بيو وسافار  
التجريبي. يتيح لنا قانون أمبير اعتبار أية دائرة كهربائية كطبقة مغنطيسية، كما  
يتيح لنا استنتاج القوانين العامة (II-18). ولكن هذه الطريقة في التحليل ليست

متفقة مع منهجية نظرية ماكسويل التي ترمي الى استبدال التفاعل عن بعد بمعادلات تفاضلية جزئية ومحلية. لذلك يمكن في التحليل اعتماد إحدى الطريقتين التاليتين:

1 - قبول فرضية أمبير أي اعتبار الدارة الكهربائية طبقة مغناطيسية أو ثنائي القطب المغناطيسي، ومنها نستنتج كما فعلنا في هذا المقطع القوانين العامة للمغناطيسية (II-18).

2 - القبول بالقانون الفرضي (II-17) الذي يستند الى وجود الشحن المغناطيسية وتحركها كما فعلنا في الكهرباء السكونية.

مهما يكن من أمر فإن هذه الفرضيات تبرر بنتائجها أي إثبات قانون بيو وسافار وتتطابق جميع نتائجها مع الواقع.

#### 4 - الأجسام المغناطيسية

كما تتألف الأجسام الكهرونافاذة من ثنائيات القطب الكهربائية كذلك تتألف الأجسام المغناطيسية من ثنائيات القطب المغناطيسية. ويمكن أن نميز بين ثلاثة أنواع من الأجسام المغناطيسية:

1 - هناك عدد من الأجسام لا يحتوي على ثنائيات القطب المغناطيسية الدائمة بل تتكون هذه الثنائيات بتأثير مجال مغناطيسي خارجي. لقد أعطينا تفسيراً لظواهر الاستقطاب الكهربائي للذرات في مجال كهربائي خارجي، وذلك بالافتراض أن الإلكترونات الذرية تستطيع التحرك قليلاً داخل الذرة لتعطيها عزمًا كهربائياً وتحولها الى ثنائيات القطب الكهربائية. كذلك إذا وضعت الذرة في مجال تحريض مغناطيسي خارجي B يتغير مع الوقت، يتولد تيار كهربائي داخل الذرة باتجاه يعطي عزمًا مغناطيسياً عكس المجال المغناطيسي الخارجي الذي أنتجه. فالأجسام التي يتكون فيها فقط عزم مغناطيسي معاكس لمجال التحريض المغناطيسي الخارجي تسمى أجساماً مغناطيسية مغايرة diamagnetic.

2 - كما أن هناك أجساماً مؤلفة من ذرات ذات عزم كهربائي دائم حتى بغياب مجال خارجي، كذلك هناك أجسام مؤلفة من ذرات ذات عزم مغناطيسي دائم. فإذا لم يكن هناك مجال تحريض مغناطيسي خارجي تكون حركة هذه الذرات باتجاه عشوائي ويكون العزم المغناطيسي الإجمالي منعدماً. أما إذا أخضعت هذه الأجسام لمجال مغناطيسي خارجي، فإن ثنائيات القطب المغناطيسية تدور على نفسها لتتجه باتجاه

المجال الخارجي. فيكون العزم المغنطيسي الإجمالي للجسم بهذا الاتجاه. هذه الأجسام هي أجسام مغنطيسية مسايرة paramagnetic. وهذا التمغنط يغطي، في حال وجوده، على النوع الأول من التمغنط الذي يحدث في كل الأجسام. وتتغير قيمة التمغنط المسامر مع الحرارة المطلقة تماماً كما هو حال العزم الكهربائي الواسطي للذرات. أما العزم المغنطيسي في الأجسام المغايرة التمغنط فلا يتغير مع درجة الحرارة.

إن وجود العزم المغنطيسي الدائم للذرات في حال عدم وجود مجال مغنطيسي خارجي يعود الى سببين لا يمكن استيعابهما تماماً الا في نطاق الميكانيك الكمومي:

أ - تدور الإلكترونات باستمرار حول النواة nucleus. ويمكن أن يكون هذا الدوران باتجاهات مختلفة مما يجعل العزم المغنطيسي الإجمالي لهذه الإلكترونات منعدماً. وهذا هو حال الأجسام المغنطيسية المغايرة. ولكن إذا لم تتعادل هذه التيارات يبقى هناك تيار إجمالي داخل الذرة. وقد افترض أمبير وجود هذا التيار لذلك يدعى تيار أمبير. ولكن مقدار العزم المغنطيسي الاجمالي وطبيعة هذا التيار الكهربائي يمكن تفسيرهما فقط بواسطة النظرية الكمومية quantum theory كما اقترح سومرفلد Sommerfeld.

ب - ولالإلكترونات أيضاً حركة دوران ذاتية تميزها. وينتج عن زخم الدوران الذاتي هذا (أو الدوامة spin) عزم مغنطيسي مما يعطي الذرة عزماً مغنطيسياً إضافياً ناتجاً عن دوامة الإلكترونات ذاتها. ففي حال الأجسام المغنطيسية المغايرة ينعدم كل من العزم المغنطيسي المداري orbital والعزم المغنطيسي الناتج عن الدوامة لمجموع الإلكترونات في الذرة. إن فرضية الإلكترون المغنطيسي الذي يدور حول نفسه وردت في النظريات الكمومية في أوائل عهدها ولكنها لم تحظ بتأويل كامل وصحيح إلا في نظرية ديراك Dirac النسبية.

ج - إن المغنطيسية الحديدية ferromagnetism هي حالة حدية وخاصة في الأجسام المغنطيسية المسايرة وليس لها تفسير مقبول إلا في النظرية الكمومية. ففي هذه النظرية يمكن أن تثبت أن ثنائيات القطب الدائمة ذات العزم الناتج مثلاً عن دوامة الالكترونات تخضع لقوة خاصة في الميكانيك الكمومي تسمى قوة التبادل ex-change force تدفع دوامة ذرتين أو جزيئين متجاورين ليتجها باتجاه واحد. مما يكون في بعض الأجسام مناطق مجهرية ذات عزم مغنطيسي كبير ناتج عن توحيد اتجاه دوامة الالكترونات في كل من هذه المناطق. فإذا لم يكن هناك مجال مغنطيسي خارجي يكون عزم كل من هذه المناطق متجهاً عشوائياً والعزم المغنطيسي الإجمالي

للجسم منعدياً. ولكن إذا أخضع هذا الجسم لمجال مغنطيسي خارجي يتجه عزم كل من المناطق باتجاه هذا المجال مما يعطي الجسم عزمًا مغنطيسياً كبيراً جداً. ويبلغ هذا العزم مداه الأعلى إذا كانت الدومة الاجمالية في جميع المناطق ذات اتجاه واحد ويسمى هذا الحد الأعلى عزم الإشباع saturation. فإذا أنقص المجال الخارجي حتى الإنعدام يقل العزم المغنطيسي للجسم ولكنه لا ينعدم بسبب نوع من الاحتكاك بين الجزيئات. وتسمى هذه الظاهرة البطاء المغنطيسي hysteresis، وهذا هو سبب وجود الأجسام ذات المغنطيس الدائم.

إن خصائص المغنطيسية الحديدية معقدة لأن العزم المغنطيسي ليس متناسباً مع المجال المغنطيسي كما هو حال الأجسام المغنطيسية المسيرة أو المغنطيسية المغايرة. أما إذا هبطت درجة الحرارة فإن المغنطيسية الحديدية تقل وتختفي إذا بلغت الحرارة درجة حرجة  $\theta$  تسمى نقطة كوري curie. وتحت هذه الحرارة الحرجة يكون التمغنط متناسباً مع  $(1/T - \theta)$ . أما في درجات الحرارة المرتفعة فإن الاضطراب الحراري يعارض توحيد اتجاه العزم المغنطيسي لمختلف المناطق.

## 5 - عزم طبقة مغنطيسية

### النفاذية والطواعية المغنطيسيتان

في الأجسام المغنطيسية المغايرة أو المغنطيسية المسيرة يكون العزم المغنطيسي متناسباً مع مجال التحريض المغنطيسي. لنفترض أن  $M$  هو العزم المغنطيسي في وحدة الحجم أي كثافة التمغنط، وأن هذا العزم يساوي عزم طبقة مغنطيسية تكونها دائرة كهربائية يجتاها تيار كهربائي بشدة  $j$ :

$$(II-38) \quad \int_L M_L dL = \int_S \text{curl } M dS = j = \int_S j_n dS, \quad j = \int_S J_n dS$$

مما يعني أن

$$(II-39) \quad \text{curl } M = J$$

ولكننا أثبتنا أن المجال  $B$  في الحالة الدائمة يخضع للمعادلة<sup>(4)</sup>

$$(II-40) \quad \text{curl } B = 4\pi\mu_0 I$$

(4) من الواضح أنه يجب أن نأخذ هنا  $\mu = \mu_0$  إذ إن ثنائيات القطب المغنطيسية هي في الفراغ.

حيث ترمز  $I$  الى شدة التيار الكهربائي الذي يخرج من السطح  $S$  الذي يحده الخط المغلق  $L$ . فإذا كان الوسط المادي غير مغنطيسي تكون الدارة الكهربائية  $\Gamma$  بعزم مغنطيسي  $iS$  وبشدة تيار  $i$  ترتبط الى كثافة التيار  $I$  بالعلاقة  $i = \int I_n dS$ . وهذا التيار هو نتيجة للحركة العادية للشحن الكهربائية داخل السلك الناقل للكهرباء. أما في حال وسط مادي مغنطيسي فهناك تيار إضافي بكثافة  $J$  ناتج عن الإستقطاب المغنطيسي لهذا الجسم تماماً، كما أن هناك تيار نقل وتياراً ناتجاً عن الاستقطاب الكهربائي في الأجسام الكهرونافاذة. نجد إذاً العلاقة:

$$(II-41) \quad \text{curl } B = 4\pi\mu_0 (I+J).$$

ولكن إستناداً الى المعادلة (II-39)

$$(II-39) \quad \text{curl } M = j.$$

مما يعطينا العلاقة

$$(II-42) \quad \boxed{\text{curl } H = 4\pi I}$$

حيث حددنا المجال المغنطيسي  $H$  بالصيغة

$$(II-43) \quad H = \frac{B}{\mu_0} - 4\pi M.$$

فالمجال المغنطيسي  $H$  يدخل هنا تماماً كما دخل المجال  $D$  في الكهرباء السكونية. فنجد في كل الحالات

$$(II-44) \quad \boxed{B = \mu_0 (H + 4\pi M)}$$

ولكن كثافة التمكنظ  $M$  متناسبة مع المجال  $B$  في الأجسام المغنطيسية المسايرة والمغايرة

$$(II-45) \quad M = aB$$

ومن جهة أخرى استناداً إلى (II-9)

$$(II-46) \quad B = \mu H.$$

فيذا قابلنا المعادلات (II-44) و (II-45) و (II-46) نجد

$$(II-47) \quad \mu = \mu_0 (1 + 4\pi a\mu)$$

ومن المناسب أن نحدد النفاذية المغناطيسية

$$(II-48) \quad \chi_m = \frac{\mu}{\mu_0}$$

والطواعية المغناطيسية

$$(II-49) \quad \chi_m = \frac{M}{H}$$

وهذه الأخيرة إيجابية إذا كان الجسم مغناطيسياً مسائراً وسلبية إذا كان الجسم مغناطيسياً مغائراً.

ومن جهة أخرى تكون النفاذية المغناطيسية  $\chi_m$  قريبة دائماً من I بينما الطواعية المغناطيسية  $\chi_m$  أصغر كثيراً من I سواء أكان الجسم مغناطيسياً مسائراً أو مغائراً (خلافاً لذلك يمكن أن تكون الطواعية الكهربائية  $\chi_m$  أكبر من I).

وإذا قابلنا المعادلات (II-45) و (II-46) يمكن أن نكتب

$$(II-50) \quad \chi_m = a\mu.$$

وتكتب المعادلة (II-48) إذا أخذنا بعين الإعتبار العلاقات (II-47) و (II-50).

$$(II-51) \quad \chi_m = 1 + 4\pi \chi_m$$

## تمارين

1 - إحسب الكمون المتجهي  $A$  خارج وداخل سلك مستقيم شعاعه  $R$  يجتازه تيار بكثافة  $I$ . إستنتج قيمة المجال المغنطيسي خارج وداخل السلك.

الحل:

خذ اتجاه المحور  $oz$  باتجاه محور السلك ( $I = J_z, A = A_z$ ) أكتب (II-20) باستعمال  $r = \sqrt{x^2 + y^2}$  وبحساب التكامل تجد دالة الكمون المتجهي  $A = C_1 Lr + C_2 - \pi \mu I r^2$ .

أ - خارج السلك  $I = 0$  فينتج عن الشرط (II-15) أن  $C_1 = 2\mu i$ .

ب - داخل السلك الشروط الثلاثة:  $C = 0$  (كي يكون الكمون المتجهي دائماً متناهيًا) و  $\pi R^2 I = i$  و  $A_{int} = A_{ext}$  تقودنا الى الصيغة:

$$A = -2\mu i \left[ LR + C_2 - \frac{1}{2} \left( 1 - \frac{r^2}{R^2} \right) \right]$$

إستنتج من (II-19) ومن (أ) و (ب) أن

$$|H|_{ext} = \frac{2i}{r}, \quad |H|_{int} = 2i \frac{r}{R^2}.$$

2 - إحسب شدة واتجاه المجال المغنطيسي  $H$  الناتج عن دوران كرة مشحونة حول محورها. إفترض أن شعاع الكرة هو  $R$  وأن الشحن الكهربائية هي على سطحها بكثافة سطحية  $\sigma$ . إثبت أن المجال  $H$  لا يتغير داخل الكرة.

3 - يسير إلكترون شحنته  $e$  على دائرة شعاعها  $r$  بسرعة  $v$ . إحسب عزمه المغنطيسي. إثبت أن هذا العزم المغنطيسي متناسب مع الزخم الزاوي للإلكترون. إحسب العزم المغنطيسي إذا كان الزخم الزاوي بقيمة  $\frac{h}{2\pi}$ .

## المغناطيسية الكهربائية (الكهرمغناطيسية)

### Electromagnetism

لقد بدأ حتى أوائل القرن الماضي أن الكهرباء السكنوية والمغناطيسية السكنوية تشملمان مجموعتين مختلفتين من الظواهر. ولكن أظهرت دراسة المجال المغناطيسي لتيار كهربائي، لأول مرة، علاقة بين التأثيرات التي تصدر عن أجسام مغناطيسية وتلك التي تصدر عن حركة الشحن الكهربائي (تجارب أورستد). وحوالي سنة 1830 أجرى فاراداي سلسلة تجارب لإثبات عكس ظاهرة أورستد. فقد كان يعتقد أن بإمكان التأثير المغناطيسي أن يولد تياراً كهربائياً. في حال صحة هذه الفكرة يكون بإمكان التحريض المغناطيسي الناتج عن تيار كهربائي في دارة أولى أن يولد تياراً كهربائياً في دارة ثانية مجاورة. في الواقع لقد وجد فاراداي أن التيار في الدارة الثانية المسمى تيار التحريض الكهربائي لا ينتج عن مجرد وجود التيار الأول بل عن تغيراته. إذ إن التيار الثانوي يظهر فقط عند وصل أو قطع التيار الأولي أي عند أي تغيير في تدفق المجال المغناطيسي الذي يكوّنه التيار الأولي في سلك ثانوي مجاور.

إن ظهور قوى كهربائية محرّكة electromotive force تحت تأثير مجال التحريض المغناطيسي تفرض صياغة رياضية لقوانين الظواهر الكهربائية والمغناطيسية وقانون فاراداي الجديد. وقد حقق ماكسويل ذلك بعد عدة سنوات، إذ صاغ مجموعة معادلات تفاضلية جزئية تعبر عن جميع قوانين الكهرمغناطيسية بطريقة مرضية. وقد بدأ أن معادلات ماكسويل تحتوي على حد term جديد ضروري لتأمين تناسقها. وقد فسر ماكسويل هذا الحد بأنه تيار الإزاحة الذي يفرض على كل دارة كهربائية أن تكون مغلقة. وقد أثبتت التجارب فعلاً وجود تيار الإزاحة هذا بمقدار ما جاء في نظرية ماكسويل. وإضافة إلى تفسيرها لجميع الظواهر الكهربائية



والمغناطيسية المعروفة عندئذ، كانت معادلات ماكسويل تتنبأ بوجود موجات كهرمغناطيسية. وكانت النظرية الكهرمغناطيسية الجديدة تمتد لتشمل أيضاً البصريات.

إن اتساع مدى النظرية الكهرمغناطيسية ونجاحها كانا كبيرين الى درجة تفضيلها على الحركية الكلاسيكية عند ظهور تناقض بينهما من الناحية النظرية والتجريبية. وقد كانت هذه النظرية الإندماجية تفترض ضمناً حركيات نسبية. مما أتاح فيما بعد صياغة نظرية النسبية الخاصة.

## أ - التحريض الكهرمغناطيسي - تيار الإزاحة

### (1) قانون فاراداي التجريبي

إن المجال المغناطيسي الناتج عن تيار بشدة دائمة يدخل في نطاق الظواهر الدائمة. أما إذا تغيرت شدة التيار أو تحركت الدارة الكهربائية، يتغير المجال المغناطيسي في كل نقطة من الفضاء فتوصف هذه الحالات بالمتغيرة. وتدخل هذه الحالات في نطاق نظرية ماكسويل إذا كانت هذه التغيرات بطيئة بمعنى أن مدتها كبيرة إذا قيست بالمدة اللازمة لانتشار الاضطرابات الكهرمغناطيسية في الجهاز المستعمل. وهذا الشرط يتحقق في حالات عديدة سندرسها الآن.

إذا تغير مجال التحريض المغناطيسي قرب دائرة كهربائية، يظهر في هذه الدارة تيار كهربائي بسبب تكون قوة كهربائية محرّكة تحريضية، وتبين التجربة أن مقدار القوة المحركة هذه متناسب مع سرعة تغير تدفق مجال التحريض المغناطيسي في الدارة أي:

$$(III-1) \quad e = - \frac{d}{dt} = \int_s B_n ds$$

حيث  $e$  هي القوة المحركة الكهربائية في الدائرة. وتساوي  $e$  شغل المجال الكهربائي حول الدارة أي:

$$(III-2) \quad \int_L E_L dL = \int_s \text{curl } E ds$$

مما يتيح لنا كتابة الصيغة المحلية أو التفاضلية لقانون فاراداي التجريبي

$$(III-3) \quad \frac{\partial B}{\partial t} = - \text{curl } E.$$

ولكن المجال B يشتق من كمون متجهي A وفق المعادلة

$$(III-4) \quad B = \text{curl } A.$$

نستنتج من المعادلات (III-3) و (III-4) أن دوران curl المتجهين  $E$  و  $-\frac{\partial A}{\partial t}$  متساو، مما يعني أن الفرق بينهما هو تدرج دالة عددية  $\psi$  أي

$$(III-5) \quad \boxed{E = -\frac{\partial A}{\partial t} - \text{grad } \psi}$$

## (2) تيار النقل و تيار الإزاحة

1 - تيار النقل: يتكون التيار الكهربائي نتيجة لحركة الشحن الكهربائية في جسم ناقل للكهرباء بتأثير المجال الكهربائي E الذي يشتق من دالة الكمون V.

$$(III-6) \quad E = \text{grad } V.$$

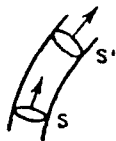
فإذا كان الجسم الناقل سلكاً نحدد شدة التيار بأنها:

$$(III-7) \quad i = \frac{dq}{dt}$$

أي الشحنة الكهربائية التي تجتاز مقطع السلك خلال وحدة الزمن. ويمكن أن نحدد كثافة التيار في نقطة معينة من الفضاء بأنها شدة التيار الذي يجتاز وحدة المساحة إذا وضعت عمودياً على اتجاه حركة الشحن. وتظهر التجربة صحة قانون أوم Ohm وهو أن كثافة التيار متناسبة مع المجال الكهربائي E. ويتميز كل جسم ناقل بمقاومية  $\rho_c$  resistivity أو ناقلية  $\sigma_c = 1/\rho_c$  conductivity بحيث يكتب قانون أوم كما يلي:

$$(III-8) \quad \boxed{E = \rho_c I \text{ أو } I = \sigma_c E.}$$

في حالة الدوام الكهربائي يتساوى تدفق التيار الكهربائي الداخل من السطح S



الشكل 9 - الحالة الدائمة والمحافظة على الشحن

والتدفق الخارج من  $S'$ . فتبدو الشحن الكهربائية كأنها سائل غير ضغوط ونعبر عن هذا بالمعادلة:

$$(III-9) \quad \text{div } \mathbf{I} = 0.$$

وهي الصيغة المحلية لقانون المحافظة على الشحن الكهربائية.

2 - تيار الإزاحة الكهربائي: يمكن ألا تكون شدة التيار (III-7) لدائرة كهربائية مغلقة نتيجة لتأثير قوة كهربائية محرّكة بل نتيجة لتفريغ مكثف كهربائي. فتعني  $dq$  عندئذ التغير في شحنة لوحتي المكثف خلال الوقت  $dt$  ولكن في هذه الحالة يبدو التيار كأنه في دارة غير مغلقة (بين لוחتي المكثف).

وقد افترض ماكسويل أنه ليس هناك في الحالة الثانية دارة غير مغلقة إذ إن خطوط المجال تنغلق دائماً على نفسها. لذلك يجب أن نعتبر أن قانون غاوس يبقى صحيحاً في حال تفريغ مكثف كما في حالة الدوام الكهربائي. ولكن المجال  $D$  بين لوحتي المكثف يرتبط بالشحنة  $q$  في اللوحتين بالعلاقة:

$$(III-10) \quad \int D_a dS = 3\pi q$$

أي:

$$(III-11) \quad \text{div } D = 4\pi p$$

وكما في المعادلة (III-7) يمكن أن نحدد تيار الإزاحة الكهربائي

$$(III-12) \quad i' = \frac{dq}{dt} = \int I'_n dS$$

حيث حددنا كثافة تيار الإزاحة بأنها:

$$(III-13) \quad \boxed{I' = \frac{1}{4\pi} \frac{dD}{dt}}$$

فإذا كان الجسم بالوقت ذاته ناقلاً بناقلية ( $\sigma_c$ ) وكهرونافاذاً بثابت ( $\epsilon$ ) يجب أن نحدد التيار بأنه:

$$(III-14) \quad I_e = I + \frac{1}{4\pi} \frac{dD}{dt} = \sigma_c E + \frac{\epsilon}{4\pi} \frac{dE}{dt}$$

فيصبح قانون المحافظة على الشحن الكهربائية

$$(III-15) \quad \text{div } I_e = 0$$

### 3 - إدخال تيار الإزاحة في معادلات المجالات

لقد كتبنا المعادلة:

$$(III-16) \quad \text{curl } H = 4\pi I$$

إستناداً الى قانون أمبير، وترمز هنا  $I$  الى شدة تيار النقل في الدارة. فإذا استعملنا هذه المعادلة في حالة تفريغ مكثف نجد:

$$(III-17) \quad \text{div curl } H = 4\pi \text{div } I = 0$$

مما يعني أن الدارة مغلقة وهو غير صحيح. وقد افترض ماكسويل أن المعادلة (III-16) تبقى صحيحة في كل الحالات شرط أن نستعمل كثافة التيار العام  $I_e$  أي مجموع تيار النقل  $I$  وتيار الإزاحة  $I'$ .

في الحالات الدائمة ينعدم تيار الإزاحة  $I' = 0$  فنجد قانون أمبير العادي. أما في الحالات المتغيرة (مثل حالة تفريغ المكثف) فنكتب:

$$(III-18) \quad \text{curl } H = 4\pi I_e$$

مع

$$(III-19) \quad \text{div } I_e = \text{div } (I + I') = 0.$$

مما يعني إستناداً الى المعادلات (III-13) و (III-11) أن:

$$(III-20) \quad \text{div } I = \frac{1}{4\pi} \text{div } \frac{dD}{dt} = - \frac{\partial \rho}{\partial t}.$$

## ب - معادلات ماكسويل

## (3) نظام الوحدات

نظام الوحدات الكهربائية سنتيمتر - غرام - ثانية CGS هو النظام الذي توضع فيه:

$$(III-21) \quad \epsilon_0 = 1.$$

في جميع المعادلات السابقة. أما نظام الوحدات الكهرمغناطيسية CGS فهو النظام الذي توضع فيه:

$$(III-22) \quad \mu_0 = 1.$$

فوحدة الشحن الكهربائية مثلاً في نظام الوحدات الكهربائية ( $\epsilon_0 = 1$ ) تختلف عن الوحدة في نظام الوحدات الكهرمغناطيسية ( $\mu_0 = 1$ ).

غير أنه من المناسب أحياناً أن نستعمل نظاماً مختلطاً وذلك باستعمال وحدات كهربائية للكميات E و D و  $\epsilon$  ووحدات كهرمغناطيسية للكميات H و B و  $\mu$ . لنضع مؤشراً (e) للكميات المقيسة بوحدات كهربائية ومؤشراً (m) للكميات المقيسة بوحدات كهرمغناطيسية فنجد العلاقة التالية:

$$(III-23) \quad \frac{q(e)}{q(m)} = \frac{j(e)}{j(m)} = \frac{\rho(e)}{\rho(m)} = c.$$

حيث c عدد ثابت. ولكن إذا قابلنا صيغ القوى الكهربائية والمغناطيسية:

$$(III-24) \quad |F| = q |E| = \frac{1}{\epsilon} \frac{q^2}{r^2}, \quad F = q (v \wedge B)$$

في النظامين نجد النسب التالية:

$$(III-25) \quad \frac{E(e)}{E(m)} = \frac{1}{c} \frac{\epsilon(e)}{\epsilon(m)} = c^2 \frac{D(e)}{D(m)} = c$$

$$\frac{B(e)}{B(m)} = \frac{1}{c} \frac{\mu(e)}{\mu(m)} = \frac{1}{c^2} \frac{H(e)}{H(m)} = c$$

إستناداً إلى العلاقات  $B = \mu H$  و  $D = \epsilon E$  وقانون أمبير (III-18).

## 4) العلاقات الأساسية

من المناسب، قياساً على صيغة كثافة تيار الإزاحة الكهربائي

$$(III-26) \quad I' = \frac{1}{4\pi} \frac{\partial D}{\partial t}$$

أن نحدد كثافة تيار الإزاحة المغنطيسي

$$(III-27) \quad J' = \frac{1}{4\pi} \frac{\partial B}{\partial t} = J_m.$$

وتمثل الكثافة  $J'$  كامل التيار المغنطيسي  $J_m$  لأنه ليس هناك شحن مغنطيسية حرة تولد تيار نقل مغنطيسي مشابهاً لتيار النقل الكهربائي  $I$ .

فيذا استعملنا النظام المختلط للوحدات تكتب المعادلات (III-3) و (III-18) بالصيغ التالية:

$$(I) \quad \begin{cases} a) \quad \text{curl } H = 4\pi J_e \\ b) \quad \text{curl } E = -4\pi J_m \end{cases}$$

حيث وضعنا:

$$(II) \quad \begin{cases} a) \quad J_e = \frac{I}{c} + \frac{1}{4\pi c} \frac{\partial D}{\partial t} & D = \epsilon E \\ b) \quad J_m = \frac{1}{4\pi c} \frac{\partial B}{\partial t} & I = \sigma_c E \\ & B = \mu H \end{cases}$$

ونتيجة للمعادلات (I) نجد:

$$(I') \quad \begin{cases} a) \quad \text{div } J_e = 0 \\ b) \quad \text{div } J_m = 0. \end{cases}$$

ومن جهة ثانية تكتب المعادلات (III-11) و (III-4) لمجالي التحريض الكهربائي والمغنطيسي كما يلي:

$$(III) \begin{cases} a) \operatorname{div} D = 4\pi\rho \\ b) \operatorname{div} B = 0. \end{cases}$$

المعادلة (III-a) هي نتيجة لقانون غاوس، أما (III-b) فتعني أنه ليس هناك شحن مغناطيسية. أخيراً إذا أخذنا بعين الإعتبار التحديدات (II) تكون المعادلات (I') نتيجة للمعادلات (III) إذا خضعت كثافة تيار النقل I وكثافة الشحن الحقيقية  $\rho$  لمعادلة استمرارية الشحن الكهربائية.

$$(III') \operatorname{div} I + \frac{\partial \rho}{\partial t} = 0$$

تُشكل المعادلات (I) و (II) و (III) القوانين الأساسية التي تخضع لها جميع الظواهر الكهرومغناطيسية.

### 5) الكمون الكهرومغناطيسي

لقد رأينا لدى دراستنا الظواهر السكونية أنه يمكن اشتقاق المجال الكهربائي E ومجال التحريض المغناطيسي B من كمون عددي V وكمون متجهي A أي:

$$(III-28) \quad E = \operatorname{grad} V, \quad B = \operatorname{curl} A$$

ومن جهة ثانية لقد أثبتت لنا ظواهر التحريض أن المجال الكهربائي E يصبح في حالة الظواهر المتغيرة:

$$(III-29) \quad E = - \frac{\partial A}{\partial t} - \operatorname{grad} \Psi.$$

فيذا قابلنا هذه النتائج واستعملنا نظام الوحدات المختلطة يمكن أن نربط المجالات E و B الى دوال الكمون V و A في حالات الظواهر المتغيرة كما يلي:

$$(IV) \begin{cases} a) E = - \frac{1}{c} \frac{\partial A}{\partial t} - \operatorname{grad} V \\ b) B = \operatorname{curl} A. \end{cases}$$

فتصبح المعادلات (I) و (III)

$$(V) \quad \begin{cases} \text{a) } \text{curl } H = 4 \pi J_e \\ \text{b) } \text{div } D = 4\pi\rho \end{cases}$$

(6) معادلات الانتشار - دوال الكون المتأخرة

لنفترض أن ثابت الكهرنافذ  $\epsilon$  والنفاذية المغنطيسية  $\mu$  ثابتان. ولنحسب انطلاقاً من المعادلات (IV) الكميات  $\text{curl } B + \frac{\mu\epsilon}{c} \frac{\partial E}{\partial t} - \text{div } E$  فنجد إذا أخذنا بعين الإعتبار المعادلات (V) والتحديدات (II)

$$(VI) \quad \begin{cases} \frac{\mu\epsilon}{c^2} \frac{\partial^2 A}{\partial t^2} - \Delta A = \frac{4 \pi}{c} \mu I, \\ \frac{\mu\epsilon}{c^2} \frac{\partial^2 V}{\partial t^2} - \Delta V = \frac{4 \pi}{\epsilon} \rho \end{cases} \quad \Delta = \frac{\partial^2}{\partial x^2} + \frac{\partial^2}{\partial y^2} + \frac{\partial^2}{\partial z^2}$$

إذا فرضنا على دوال الكون  $V$  و  $A$  شرط لورنتز

$$(VII) \quad \frac{\mu\epsilon}{c} \frac{\partial V}{\partial t} + \text{div } A = 0$$

تسمى المعادلات (VI) معادلات دالمبير d'Alembert وتتيح حساب دوال الكون

 $V$  و  $A$ .

من المعروف أن لمعادلة بواسون

$$(III-30) \quad \Delta \phi = 4\pi\rho$$

حلاً خاصاً بصيغة:

$$(III-31) \quad \phi = \int_V \frac{\rho}{\epsilon r} d^3V$$



وهذا يعني أن الشحنة الكهربائية  $\rho dV$  في الحجم التفاضلي  $dV$  حول النقطة  $M$  ( $\xi, \eta, \zeta$ ) من الفضاء تكون في النقطة  $P(x, y, z)$  الكون التفاضلي

$$(III-32) \quad d\phi = \frac{1}{\epsilon} \frac{\rho}{r} dV$$

حيث  $r$  هي المسافة الفاصلة بين الحجم  $dV$  (أي النقطة  $M$ ) والنقطة  $P$ . الكون في (III-32) هو حل لمعادلة لابلاس ما عدا في النقطة  $r = 0$ . ومجموع دوال الكون (III-32) لكل الأحجام  $dV$  هو حل لمعادلة دالمبير (VI) إذا لم تؤخذ الكثافة  $\rho$  في الزمن ذاته  $t$  الذي يحسب فيه الكون بل في الزمن  $t - \frac{r}{c}$ . فنكون حينئذ الشحنة الكهربائية في الحجم  $dV$ .

$$\rho \left( \xi, \eta, \zeta, t - \frac{r}{c} \right) dV$$

ويكون كمنها في النقطة  $P(x, y, z)$  يساوي  $dV \left( \xi, \eta, \zeta, t - \frac{r}{c} \right) \frac{\rho}{r}$  هذا هو الكون الذي يتكون في النقطة  $P$  في الوقت  $t$  لأن  $\frac{r}{c}$  هي تماماً الوقت اللازم لوصول تأثير الشحن الكهربائية من النقطة  $M$  الى النقطة  $P$ . فتكون دالة الكون الإجمالية:

$$(III-33) \quad V = \int_{\mathcal{V}} \frac{\rho}{\epsilon r} \left( \xi, \eta, \zeta, t - \frac{r}{c} \right) dV = \int_{\mathcal{V}} \frac{(\rho) t - \frac{r}{c}}{\epsilon r} dV.$$

وكذلك يكون الكون المتجهي

$$(III-34) \quad A = \int_{\mathcal{V}} \frac{\mu(i) t - \frac{r}{c}}{r} dV.$$

هذه الصيغ للدوال  $V$  و  $A$  هي حلول لمعادلات الإنتشار (VI) وتسمى الحلول المتأخرة أو دوال الكون المتأخرة لأن تأثير الشحنة الكهربائية الموجودة في النقطة  $M$  يظهر متأخراً في النقطة  $P$ . ويعود ذلك الى أن التأثيرات الكهرمغناطيسية التي تكونها شحنة كهربائية تنتشر بسرعة محدودة انطلاقاً من الشحنة.

ومن جهة ثانية إن حل معادلة بواسون في منطقة محدودة من الفضاء هو<sup>(1)</sup>:

(1) يُطابق هذا الحل الصيغة (1-72) إذا وضعنا

$$\Delta \phi = 4\pi\rho, \quad \frac{\partial \phi}{\partial n} = -4\pi\sigma \int, \quad \phi \cdot \text{grad}_n \left( \frac{1}{r} \right) = 4\pi V_0$$

وإذا فترضنا اعتباطياً أن الكون  $V_0$  مُتعدم على السطح المحيط بالنقطة.

$$(III-35) \quad \varphi = -\frac{1}{4\pi} \int_V \frac{\Delta\phi}{r} dV - \frac{1}{4\pi} \int_S \left[ \varphi \cdot \text{grad}_n \left( \frac{1}{r} \right) - \frac{1}{r} \text{grad}_n \varphi \right] dS$$

وذلك إذا أخذنا بعين الاعتبار الشروط الحدية.

ومن الممكن أن نثبت<sup>(2)</sup> أن حل معادلات دالمبير في منقطة محدودة هو

$$(III-36) \quad \varphi = -\frac{1}{4\pi} \int_V \left[ \frac{\Delta\phi - (1/c^2) (\partial^2 \phi / \partial t^2)}{r} \right]_{t-\frac{r}{c}} dV \\ + \frac{1}{4\pi} \int_S \frac{1}{r} \left\{ \left[ \frac{1}{c} \left( \frac{\partial\phi}{\partial t} \right)_{t-\frac{r}{c}} + \frac{\phi(t-\frac{r}{c})}{r} \right] \cos(n,r) + \left( \frac{\partial\phi}{\partial n} \right)_{t-\frac{r}{c}} \right\} dS.$$

التكامل الأول من هذه الصيغ ينتج من الشحن الكهربائية في الحجم. أما التكامل الثاني فينتج من توزيع الشحن على السطح. والتكامل الأخير هو الذي يلعب دوراً مهماً في البصريات. إذ يتيح صياغة رياضية لمبدأ هيغنز القائل بأن كل جزء من صدر الموجة wave front الكروية الأولية يبدو كأنه مصدر source للضوء بيت موجبة ثانوية تنتشر حسب الصيغة (III-36).

### ج - الطاقة الكهرمغنطيسية وتدفق الطاقة

#### (7) كثافة الطاقة الكهربائية والمغنطيسية

إن طاقة منظومة مؤلفة من شحنتين كهربائيتين  $q_1$  و  $q_2$  على مسافة  $r_{12}$  الواحدة عن الأخرى تساوي:

$$(III-37) \quad W_{12} = \frac{q_1 q_2}{\epsilon_0 r_{12}}$$

(2) انظر مثلاً في الصفحة 171 من [6] Slater. Electromagnetism

أما الطاقة الكهربائية لمنظومة مؤلفة من  $n$  من الشحن فهي:

$$(III-38) \quad W_{ij} = \frac{1}{2} \sum_{i \neq j}^n \frac{q_i q_j}{\epsilon_0 r_{ij}} .$$

حيث الجمع يكون لكل المؤشرات  $i$  و  $j$  ما عدا  $i = j$  وذلك لأن الشحنة الكهربائية لا تؤثر على نفسها. نشير أيضاً أن الطاقة الإجمالية  $W$  هي نصف مجموع الطاقات لكل الأزواج  $W_{ij}$  كي لا تحسب طاقة التفاعل  $W_{ij} = W_{ji}$  مرتين. ويمكن أن نكتب أيضاً:

$$(III-39) \quad W = \frac{1}{2} \sum_i q_i V_i$$

حيث  $V_i$  هو الكمون الذي تكوّنه في موقع الشحنة  $q_i$  جميع الشحن الأخرى:

$$(III-40) \quad V_i = \sum_{i \neq j}^n \frac{q_j}{\epsilon_0 r_{ij}}$$

أما إذا كانت الشحن موزعة توزيعاً متواصلاً بكثافة  $\rho$  فتكون الطاقة الكهربائية

$$(III-41) \quad W_e = \frac{1}{2} \int_V \rho V dV .$$

لنحسب هذه الطاقة تبعاً للمجال الكهربائي ومجال التحريض الكهربائي

$$(III-42) \quad E = - \text{grad } V, \quad \text{div } D = 4\pi\rho$$

فنكتب الطاقة كما يلي:

$$(III-43) \quad \begin{aligned} W_e &= \frac{1}{8\pi} \int_V V \text{div } D dV \\ &= \frac{1}{8\pi} \int_V [\text{div } (VD) - D \cdot \text{grad } V] dV \\ &= \frac{1}{8\pi} \int_V E \cdot D dV + \frac{1}{8\pi} \int_S VD_n dS. \end{aligned}$$

ولكن التكامل الثاني يكتب أيضاً:

$$(III-44) \quad D_n = \frac{\partial D}{\partial n} = -4\pi\sigma. \quad \text{لأن } \frac{1}{8\pi} \int_S VD_n dS = -\frac{1}{2} \int_S V\sigma dS$$

وتنعدم قيمة هذا التكامل إذا كان السطح  $S$  يحد حجماً لا متناهيماً. فتصبح الطاقة عملياً<sup>(3)</sup>

$$(III-45) \quad W_c = \frac{1}{8\pi} \int_V E \cdot D \, dV$$

وتعني هذه الصيغة أن كثافة الطاقة الكهربائية في حالة السكون هي:

$$(III-46) \quad u_c = \frac{1}{8\pi} E \cdot D = \frac{1}{8\pi} \epsilon E^2$$

حيث استعملنا العلاقة  $D = \epsilon E$  (إذا كانت صحيحة).

أما حساب الطاقة المغنطيسية فأكثر تعقيداً<sup>(4)</sup>. نفترض هنا ببساطة أن المقارنة مع الكهرباء في حالة السكون مقبولة. فتكون كثافة الطاقة المغنطيسية:

$$(III-47) \quad u_m = \frac{1}{8\pi} B \cdot H = \frac{1}{8\pi} \mu H^2$$

حيث استعملنا العلاقة  $B = \mu H$  (إذا كانت صحيحة). ولكن من الواضح أن هذه الصيغة لا يمكن استعمالها لحساب الطاقة المغنطيسية الداخلية للأجسام المغنطيسية التي لا يمكن تحديد قيمتها. ولكن يمكننا استعمالها لحساب الطاقة الخارجية للأجسام المغنطيسية. وفي الحالة الخاصة لجال يكون تيار كهربائي تكون الطاقة المغنطيسية الإجمالية  $W_m = \int u_m dV$  حيث يمكن حساب كثافة الطاقة  $u_m$

(3) من الممكن أن نحصل على الصيغة ذاتها إذا حسبنا الشغل اللازم لتجميع الشحن الكهربائية تبعاً وبطريقة عكوسة reversible. فإذا جلبت هذه الشحن من نقطة لا متناهية البعد حيث ينعدم الكون إلى جسم موصل غير مشحون أصلاً فإننا نعطي هذا الجسم شحنة تتغير من صفر إلى  $q$  وكوئنا يتغير من صفر إلى  $V$  بالتدرج. نستطيع إذا أن نفترض أن شحنة الجسم هي  $qa$  وكوئونة هو  $Va$  حيث  $a$  عدد يتغير من صفر إلى واحد خلال عملية النقل. الشغل اللازم لزيادة  $a$  بكمية  $da$  هو

$$d\tau = qda \cdot V$$

فتكون الطاقة الكهربائية النهائية للجسم المشحون

$$W_c = qV \int_0^1 ada = \frac{1}{2} qV.$$

ومنها نستنتج باستعمال (III-42) و (III-44) أن طاقة جسم كهربائي هي

$$W_c = \frac{1}{8\pi} \int_V E \cdot D \, dV$$

(4) أنظر المقاطع (2.14) إلى (2.18) من [7] J.A. straton, Electromagnetic Theory

تبعاً لقيمة التيار الكهربائي. وتثبت التجربة فعلاً صحة التحديد (III-47)<sup>(5)</sup>.

وفي الحالة العامة لمجال كهرمغناطيسي نفترض أن الطاقتين الكهربائية والمغناطيسية تضافان الى بعضهما دون تغيير متبادل في قيمتهما فتكون الطاقة الكهرمغناطيسية الإجمالية.

$$(III-48) \quad u = \frac{1}{8\pi} (E \cdot D + H \cdot B) = \frac{1}{8\pi} (\epsilon E^2 + \mu H^2)$$

ويمكن أن نتحقق من أن هذه الصيغة تستوفي شرط المحافظة على الطاقة.

### 8) متجه بوينتنگ

لقد حسبنا في المقطع السابق الطاقة الكهرمغناطيسية في حالة السكون الكهربائي والمغناطيسي. وتبقى الصيغة (III-48) صالحة في الحالات المتغيرة مع الزمن. لإثبات ذلك نحدد المتجه:

$$(III-49) \quad S = \frac{1}{4\pi} (E \wedge H)$$

المسمى متجه بوينتنگ Poynting الذي يخضع دائماً للمعادلة:

$$(III-50) \quad \begin{aligned} 4\pi \operatorname{div} S &= H \operatorname{curl} E - E \operatorname{curl} H \\ &= -H \left( \frac{\partial B}{\partial t} \right) - E \left( \frac{4\pi I}{c} + \frac{1}{c} \frac{\partial D}{\partial t} \right) \\ &= -H \left( \frac{\partial \mu H}{\partial t} \right) - E \left( \frac{\partial \epsilon E}{\partial t} \right) - \frac{4\pi I}{c} E. \end{aligned}$$

أي:

$$(III-51) \quad \operatorname{div} S = -\frac{1}{8\pi} \frac{\partial}{\partial t} (\mu H^2 + \epsilon E^2) - \frac{I \cdot E}{c}$$

(5) إذا استعملنا (III-47) مثلاً في حساب طاقة دارة ذات تحريض ذاتي self-induction أو دارتين بتحريض متبادل mutual induction نحصل على قيم تتفق مع التجربة.

وإذا استعملنا الصيغة (III-48) نحصل على معادلة بوينتنغ التالية

$$(III-52) \quad \frac{1}{c} \frac{\partial u}{\partial t} + \text{div } S = \frac{I \cdot E}{c}$$

وهي معادلة استمرارية الطاقة الكهرمغنطيسية. فالحد الأول  $\frac{1}{c} \frac{\partial u}{\partial t}$  هو الزيادة في الطاقة المخزونة في وحدة الحجم. وفي الجانب الثاني من المعادلة تمثل  $-\frac{I \cdot E}{c}$  الطاقة المهذورة سواء كحرارة في الجسم أو كزيادة في الطاقة الحركية للجسيمات داخل الجسم. لتفسير الحد  $\text{div } S$  نحسب تكامله على كامل حجم الجسم فنجد باستعمال قاعدة غرين تدفق المتجه  $S$  على سطح الجسم الخارجي. مما يعني أن المتجه  $S$  يمثل تدفق الطاقة أي كمية الطاقة التي تخترق عمودياً سطحاً مساحته وحدة المساحة خلال وحدة الزمن.

#### د - الموجات الكهرمغنطيسية

##### 9) معادلات إنتشار المجالات

لقد كان التنبؤ بوجود الموجات الكهرمغنطيسية من أهم إنجازات نظرية ماكسويل. وتحدد هذه النظرية سرعة انتشار هذه الموجة بقيمة متفقة مع التجربة.

فاستناداً الى المعادلات (I) و (II) يمكن أن نكتب:

$$(III-53) \quad \begin{aligned} \text{curl curl } E &= - \frac{\mu}{c} \frac{\partial}{\partial t} (\text{curl } H) \\ &= - \frac{\mu}{c^2} \frac{\partial}{\partial t} \left( 4\pi I + \frac{\partial D}{\partial t} \right) \\ &= - \frac{4\pi\mu}{c^2} \frac{\partial I}{\partial t} - \frac{\mu\epsilon}{c^2} \frac{\partial^2 F}{\partial t^2} \end{aligned}$$

$$(III-54) \quad \begin{aligned} \text{curl curl } H &= \frac{4\pi}{c} \text{curl } I + \frac{\epsilon}{c} \frac{\partial}{\partial t} (\text{curl } E) \\ &= \frac{4\pi}{c} \text{curl } I - \frac{\epsilon\mu}{c^2} \frac{\partial^2 H}{\partial t^2} \end{aligned}$$

وباستعمال المعادلة التوافقية

$$(III-55) \quad \text{curl curl } A = \text{grad div } A - \Delta A.$$

يمكن أن نكتب المعادلات (III-53) و (III-54) بالصيغ التالية:

$$(III-56) \quad -\Delta E + \frac{4\pi}{\epsilon} \text{grad } \rho = -\frac{4\pi}{c^2} \mu \frac{\partial I}{\partial t} - \frac{\mu\epsilon}{c^2} \frac{\partial^2 E}{\partial t^2}$$

$$(III-57) \quad -\Delta H = \frac{4\pi}{c} \text{curl } I - \frac{\mu\epsilon}{c^2} \frac{\partial^2 H}{\partial t^2}$$

وبافتراض غياب الشحن الكهربائية ( $\rho = 0$ ) وباستعمال قانون أوم:

$$(III-8) \quad I = \sigma_c E$$

وبعد أخذ المعادلات (III-8) و (I)<sub>b</sub> بالحسبان نجد معادلات الانتشار:

$$(III-58) \quad \frac{\mu\epsilon}{c^2} \frac{\partial^2 E}{\partial t^2} - \Delta E + \frac{4\pi\sigma_c}{c^2} \mu \frac{\partial E}{\partial t} = 0.$$

$$(III-59) \quad \frac{\mu\epsilon}{c^2} \frac{\partial^2 H}{\partial t^2} - \Delta H + \frac{4\pi\sigma_c}{c^2} \mu \frac{\partial H}{\partial t} = 0$$

نستنتج مما سبق أن كلاً من المجالين E و H يخضع لمعادلة الانتشار:

$$(III-60) \quad \boxed{\frac{\epsilon\mu}{c^2} \frac{\partial^2 a}{\partial t^2} - \Delta a + \frac{4\pi\sigma_c}{c^2} \mu \frac{\partial a}{\partial t} = 0}$$

التي تصبح في حالة الانتشار في وسط غير ناقل للكهرباء:

$$(III-61) \quad \square a = 0, \quad \square = \frac{1}{c^2} \frac{\partial^2}{\partial t^2} - \Delta a = 0.$$

### 10) الموجات المستوية plane waves

للمعادلات (III-60) حل خاص بالصيغة:

$$(III-62) \quad a = a_0 e^{i\omega t - \gamma^2 z}$$

يمثل موجة مستوية تنتشر باتجاه المحور Oz. فإذا أحلنا هذه الصيغة محل a في المعادلة (III-60) نجد القيمة المعقدة complex للثابت  $\gamma$  للثابت:

$$(III-63) \quad \gamma = \pm i \frac{\omega}{c} \sqrt{\left(\epsilon - \frac{4\pi\sigma_c}{\omega}\right) \mu}$$

التي تصبح في حالة جسم غير ناقل ( $\sigma_c = 0$ )

$$(III-64) \quad \gamma = \pm \frac{i \omega}{c} \sqrt{\epsilon \mu}$$

فيكتب الحل بالصيغة:

$$(III-65) \quad a = e^{i\omega} \left( 1 \pm \frac{z}{u} \right)$$

حيث وضعنا

$$(III-66) \quad \boxed{u = \frac{c}{\sqrt{\epsilon \mu}} = \frac{c}{n}}$$

مع:

$$(III-67) \quad n = \sqrt{\epsilon \mu} = \sqrt{\chi_e \chi_m}$$

لأن  $\epsilon_0 = \mu_0 = 1$  في النظام المختلط للوحدات:

$$(III-68) \quad \epsilon = \epsilon_0 \chi_e, \quad \mu = \mu_0 \chi_m$$

ومن جهة ثانية نستنتج من معادلة الإنتشار ذاتها (III-60) أن سرعة انتشار الموجات المستوية  $V$  تخضع للمعادلة

$$(III-69) \quad \frac{\epsilon \mu}{c^2} = \frac{1}{V^2}$$

وكما يظهر في صيغة الموجات المستوية (III-65) تحدد سرعة الطور  $u$  الوقت

$$\phi = \omega \left( t - \frac{z}{u} \right) \quad t = \frac{z + k\lambda}{u}$$

قيمه من جديد أي دورة الاهتزاز  $T = \frac{\lambda}{u}$ .

أما الثابت  $c$  الذي يظهر في المعادلة (III-66) فهو كما رأينا في المقطع الثالث نسبة الوحدات الكهرمغنطيسية والوحدات الكهربائية CGS أي:

$$c = \frac{q_e}{q_m} = \frac{[Q]_m}{[Q]_e}$$



ولكن استناداً للمعادلة (III-69) تمثل  $c$  سرعة انتشار العوارض الكهرمغناطيسية في الخلاء. إذ إننا نجد في هذه الحالة:

$$(III-70) \quad V_0 = \frac{c}{\sqrt{\epsilon_0 \mu_0}} = c$$

لأن  $\epsilon_0 = \mu_0 = 1$  في النظام المختلط للوحدات.

فنظرية ماكسويل تفرض إذا تساوي سرعة الموجات الكهرمغناطيسية المستوية في الخلاء  $V_0$  وسرعة الطور  $u_0$  ونسبة الوحدات الكهربائية والكهرمغناطيسية.

**الموجات الكهرمغناطيسية والموجات الضوئية** لقد كانت سرعة الضوء في الهواء (أي تقريباً في الخلاء) معروفة بدقة كبيرة في عصر ماكسويل. فقد استعملت لقياس هذه السرعة مصادر غير أرضية (تجارب رومر Römer وبرايلي Bradley) أو مصادر أرضية (تجارب فيزو Fizeau وفوكو Foucault وميكلسون Michelson). وقد أصبحت أخيراً هذه السرعة معروفة بدقة كبيرة جداً<sup>(6,7)</sup>. وتقاس مباشرة في هذه التجارب السرعة  $V$  لإشارات ضوئية<sup>(8)</sup> هرتزية<sup>(9)</sup> أو أشعة غاما<sup>(10)</sup> أو سرعة الطور  $u$  لموجات هرتزية<sup>(11,12,13,14)</sup> أو ضوئية<sup>(15,16,17,18,19)</sup>. فالمعروف أن سرعتي  $u$  و  $V$  متساويتان إذا لم يكن الجسم مشتتاً dispersive. وقد كانت القياسات الأكثر دقة باستعمال الفجوة الطنانة resonant cavity (اسن<sup>(11)</sup> Essen وهنسن بول<sup>(20)</sup>)

BIRGE. Rep. Prog. Phys., 8, 1941 P.90; BERGSTRAND- Handbuch der Physik., (6) XXIV, 1956, p.1. O. COSTA de BEAUREGARD. Revue des questions Scientif, 1957, p.5.

E. BERGSTRAND. N.P.L., Rec. Dev. Stand. London., 1952, p.75. (7)

E. BERGSTRAND. Arkiv. för. Physik., 2, 1950, p.119. (8)

C.I. ASLAKSON. Proc. Am. Soc. Civ. Eng., 77, 1951, p.1; Trans. Amer geophys. (9) Un., 32, 1951, p.813.

CLELAND JASTRAM. Phys. Rev., 84, 1951, p.271. (10)

L. ESSEN, A.C. GORDON-SMITH. Proc. Roy. Soc., 194, 1943, p.348; 204, 1950, (11) p.260; Nature, 175, 1955, p.793.

CULSHAW. Proc. Phys. Soc., B66, 1953, p.597. (12)

K.D. FROOME. Proc. Roy. Soc., 213, 1952, p.123, 223; 1954, p.195. (13)

E.F. FLORMAN. Journ. of Res. N.B.S. 54, 1955, p.335. (14)

D.H. RANK, RUTH VAN DER SLUIS. Phys. Rev., 86, 1952, p.799; J. Opt. Soc. (15) Amer., 42, 1952, p.693.

NETHERCOT KLEIN TOWNES. Phys. Rev., 86, 1952, p.798. (16)

D.H. RANK, SHEARER, WIGGINS. Phys. Rev., 94, 1954, p.575. (17)

D.H. RANK, BENNETT, BENNETT. Phys. Rev., 100, 1955, p.993. (18)

D.H. RANK, GUENTHER, SHEARER. J. Opt. Soc. America, 47, 1957, p.148. (19)

HANSEN-BOL. Phys. Rev., 80, 1950, p.298. (20)

(Hansen-Bol) أو الدليل الموجي wave-guide (فروم<sup>(13)</sup> Froome وفلورمان<sup>(14)</sup> Florman) أو الطيفيات Spectroscopy تحت الحمراء أو الهرتزية (رانك<sup>(17,18)</sup> وبلايلر<sup>(21)</sup> Plyler). نذكر أخيراً القياسات التي تستعمل طريقة الرادار (اسلاكسون<sup>(9)</sup> Aslakson) وطريقة مقياس المسافات الأرضية geodimeter البصري (برغستراند<sup>(8)</sup> Bergstrand). وهذه الطريقة الأخيرة هي تحديث لطريقة العجلة المسننة التي ابتدعها فيزو Fizeau إذ تستعمل الشعاع الضوئي المستقطب الذي يمكن تقطيعه بواسطة خلية كر Kerr بتردد عال جداً. والقيمة المعتمدة حالياً لسرعة الضوء هي:

$$V_0 \# 299.790 \pm 1 \text{ km/sec.}$$

نوضح هنا أن أكثر هذه الأساليب في قياس سرعة الضوء تكون عملياً بقياس طول الموجة ودورة الموجة الكهرمغنطيسية، وهي أدق بكثير من قياس طول الموجة الضوئية بالمقارنة مع المتر. فيبدو إذاً أنه من الممكن بل من المفضل أن نفترض أن قيمة  $V_0$  هي ما تعطيه أدق التجارب الحالية وأن نربط بهذه الطريقة بين وحدة الطول ووحدة الوقت. فإذا قسنا واحدة منهما نستطيع أن نحدد الأخرى.

ومن جهة أخرى لقد جرى قياس النسبة  $c$  للوحدات CGS الكهربائية والمغنطيسية لأول مرة عام 1864<sup>(22)</sup> (وبر Weber وكوهلروش Kohlrausch) وذلك بمقارنة فرق الكمون الكهربائي المقيس في كل من نظامي الوحدات. ففي نظام الوحدات الكهربائية يحدد فرق الكمون نتيجة لقياس يجري بواسطة مقياس الشحنة الكهربائي Electrometer، أما في نظام الوحدات الكهرمغنطيسية فيقاس فرق الكمون مباشرة بواسطة مقياس كهتردينامومي Electrodynamometer ويمكن أن نقيس سعة مكثف كهربائي. وتعطى أدق القياسات الحديثة بهذه الطريقة

$$c = 299.790 \text{ Km/s.}$$

إن تطابق قيم  $V_0$  و  $c$  التجريبية يجعلنا نفكر أن الظواهر الضوئية تخضع لمعادلات ماكسويل التي تقود نظرياً الى هذا التطابق. مما يعني أن الموجات الضوئية هي جزء صغير من الموجات الكهرمغنطيسية.

في الواقع إن الترابط بين الظواهر الضوئية والكهرمغنطيسية كان متوقعاً منذ

E.K. PLYLER. J. Opt. Soc. Amer., 44, 1954, p.507.

(21)

W. Weber et R. Kohlrausch. Ostwalds Klassiker der exakten Wissenschaften, 1856, n°2.

(22)

زمن بعيد. فقد أثبتت تجارب فاراداي أن اتجاه إستقطاب حزمة ضوئية يتغير بتأثير المجال المغناطيسي. ولم تحظ هذه الظاهرة الا بتفسير نوعي. وما وجد لها تفسير كمي إلا بعد اكتشاف ظاهرة زيمان Zeeman بعد ذلك بخمسين عاماً، إذ تبين أن دوران اتجاه الإستقطاب هو حالة خاصة من ظاهرة زيمان<sup>(23)</sup>.

ولقد أثبت هرتز Hertz تجريبياً أن الظواهر الضوئية ما هي إلا ظواهر كهرمغناطيسية. فقد استطاع أن يولد موجات كهرمغناطيسية بواسطة التفريغ الكهربائي المتذبذب الحاصل بين مسريين electrode كهربائيين موصولين الى كرتين كبيرتين ذواتي كمن مرتفع. فيتولد عن هذه الإهتزازات الكهربائية موجات كهرمغناطيسية ذات تردد عال. وقياس هذا التردد يتفق مع قاعدة طومسون Thomson.

$$T = \frac{1}{\nu} = 2\pi \sqrt{LC}.$$

وقد ثبت أن الموجات الكهرمغناطيسية تتداخل وتنعرج ولها خصائص استقطاب تماماً مثل الموجات الضوئية. وقد أتاح إنتاج موجات كهرمغناطيسية متناهية القصر الإقتراب من الموجات فوق البنفسجية وبالتالي دمج الموجات الضوئية بالموجات الهرتزية دمجاً كاملاً.

ومن البديهي أن المعادلة (III-66) أي:

$$(III-71) \quad u = \frac{c}{n}$$

ليست صحيحة الا للأجسام الكهرنافذة (العازلة) تماماً ( $\sigma_c = 0$ ). أما إذا كان الجسم الكهرنافذ مشتتاً فإن المعادلة (III-71) ليست صحيحة إلا للموجات الأحادية اللون monochromatic فهي إذاً حالة حدية. سوف نرى في المقطع التالي ماذا يحل بهذه العلاقة في حال جسم قليل التشتت إذا كان تردد الموجات متقارباً.

إن النفاذية المغناطيسية لأكثر الأجسام شفافية هي قريبة من 1. في هذه الحالات تصبح الصيغة (III-67).

$$(III-72) \quad n^2 = \epsilon$$

(23) إن ظاهرة زيمان تعود مثل المغناطيسية المغايرة إلى التحولات التي يحدثها المجال المغناطيسي في حالة دوران الإلكترونات داخل ذرات بعض الأجسام. فتضيف إلى الدوران الأساسي للإلكترون دورانا ثانوياً باتجاه متسق وسرعة زاوية  $\omega_2 = \frac{-e}{4 m c} H$ . وهذا الدوران يُضاف إلى الدوران بسرعة  $\pm \omega$  التي تدور بهما مركبتا الضوء المستقطب دائرياً.

وقد اثبت ماكسويل إتفاق هذه الصيغة مع التجربة للغازات ولبعض الأجسام العازلة (الكبريت sulfur والبارافين paraffin). وفي حالات كثيرة (تجربة بولتزمان Boltzman على أكسيد الكربون) يمكن تحديد قرينة index الانكسار n من قياس كهربائي للثابت  $\epsilon$ . وفي أغلب الأحيان يتغير الثابت  $\epsilon$  بسرعة تبعاً لطول الموجة وتستقر قيمته إذا كان طول الموجة كبيراً<sup>(24)</sup> وقد ثبتت في الواقع صحة علاقة ماكسويل للموجات الهرتزية. ولكن حتى في هذه الحالة الحدية تبقى بعض الأجسام الكهرنافذة مشتتة. لذلك يجب الرجوع الى نظرية ماكسويل ليس للأجسام الكهرنافذة تماماً (وهي الأجسام التي تتميز بالثابتين  $\epsilon$  و  $\mu$  وبمجال الإزاحة الكهربائي) ولكن للأجسام شبه الناقلة أي التي يكون فيها تيار نقل بناقلية  $\sigma_c$ . في تلك الأجسام تظهر دائماً ظاهرتا امتصاص absorption وتشتت انتقائيتين بسبب ظواهر الطنين وتتغيران تبعاً للفرق بين تردد الموجة الساقطة على الجسم والتردد الذاتي للإلكترونات داخل الجسم.

### 11) رزمة موجات wave packet

لنفترض أن موجتين أحاديتي اللون بسعة واحدة  $a_0$  amplitude ولكن بترددين متقاربين  $\nu + d\nu$  و  $\nu - d\nu$  (أي بسرعة زاوية  $\omega + d\omega$  و  $\omega - d\omega$ ) تتراكبان، ولنفترض أن سرعة الطور في جسم مشتت هي  $u - du$  و  $u + du$  لهاتين الموجتين، فتكون الموجة الإجمالية

$$(III-73) \quad A = a_0 e^{i(\omega+d\omega)\left(t - \frac{z}{u+du}\right)} + a_0 e^{i(\omega-d\omega)\left(t - \frac{z}{u-du}\right)}$$

$$\approx a_0 e^{i\left[\omega t + id\omega - \frac{z}{u} d\omega - \frac{\omega z}{u} \left(i - \frac{du}{u}\right)\right]}$$

$$+ a_0 e^{i\left[\omega t - id\omega + \frac{z}{u} d\omega - \frac{\omega z}{u} \left(i + \frac{du}{u}\right)\right]}$$

حيث أهملنا حاصل ضرب (جداء)  $d\omega$  و  $du$  المتناهي الصغر فنجد إذاً:

(24) نذكر بالعلاقات الأساسية للموجات بين التردد الزاوي  $\omega$  والتردد  $\nu$  والدوران T وطول الموجة  $\lambda$  وسرعة الطور u

$$\omega = 2\pi\nu ; T = \frac{1}{\nu} = \frac{\lambda}{u}$$

$$(III-74) \quad A \approx 2a_0 \cos \left( t d\omega - \frac{z}{u} d\omega + \frac{\omega z}{u^2} du \right) e^{i\omega \left( t - \frac{z}{u} \right)}$$

$$\approx 2a_0 \cos 2\pi \left( t dv - \frac{z}{u} dv + \frac{v z}{u^2} du \right) e^{i\omega \left( t - \frac{z}{u} \right)}$$

بذلك يمكن أن نكتب:

$$(III-75) \quad A \approx 2a_0 \cos 2\pi dv \left( t - \frac{z}{U} \right) e^{i\omega \left( t - \frac{z}{u} \right)}$$

حيث

$$(III-76) \quad \frac{1}{U} = \frac{1}{u} - \frac{v}{u^2} \frac{d u}{d v} = \frac{d}{d v} \left( \frac{v}{u} \right)$$

أي:

$$(III-77) \quad \frac{1}{U} = \left( \frac{d}{d v} \frac{1}{\lambda} \right)$$

أو:

$$(III-78) \quad U = \frac{d v}{d \left( \frac{1}{\lambda} \right)}$$

هكذا يبدو تراكب موجتين بذات السعة ولكن بترددين متقاربين كموجة بتردد  $v$  ولكن بسعة تتغير مع الوقت بتردد  $dv$  وبسرعة طور  $U$ . نقول أن التراكب يعطي موجة مضمنة modulated ترددها ثابت  $v$  ولكن سعتها تتغير بتردد  $dv$ . وهذا صحيح أيضاً في حالة تراكب عدد كبير من الموجات بترددات متقاربة (رُزمة موجات wave packet). وتسمى  $U$  سرعة المجموعة (group velocity)، وهي سرعة انتشار سعة الموجة وبالتالي سرعة انتقال الطاقة التي تحملها الموجة الإجمالية. بينما سرعة الطور للموجة الاجمالية تبقى  $u$  دون تغيير.

إستناداً الى المعادلة (III-75) نجد:

$$(III-79) \quad - \frac{\pi}{2} < 2\pi dv \left( t - \frac{z}{U} \right) \leq \frac{\pi}{2}$$

أي:

$$(III-80) \quad Ut - \ell \leq z \leq \ell + Ut$$

حيث وضعنا:

$$(III-81) \quad \ell = \frac{U}{4dv}$$

مما يعني أن رزمة الموجات تمتد على منطقة من المحور Oz محدودة بالنقط  $U - \ell$  و  $U + \ell$ . فيكون امتداد رزمة الموجات  $2\ell$ .

في الحالة الخاصة لجسم غير مشتمت تكون السرعة  $u$  واحدة لكل أطوال الموجات  $\lambda$ . نجد إذاً استناداً الى (III-76).

$$(III-82) \quad \frac{d u}{d v} = \frac{u^2}{v} \left( \frac{1}{u} - \frac{1}{U} \right) = 0$$

أي:

$$(III-83) \quad u = U$$

فتكون سرعة المجموعة مساوية لسرعة الطور. هذا الشرط مستوفى طبعاً في حالة انتشار الموجات الكهرمغنطيسية في الفراغ (الخلاء).

لقد افترضنا في التحليل السابق أن  $\frac{d v}{v} \leq 1$ ، ولكن استناداً الى المعادلة (III-81) يمكن أن نكتب:

$$(III-84) \quad \ell = \frac{U}{4dV} = \frac{1}{4d \left( \frac{1}{\lambda} \right)} = - \frac{\lambda^2}{4d\lambda}$$

مما يعني أن:

$$(III-85) \quad \frac{\ell}{\lambda} = - \frac{\lambda}{4d\lambda} = \frac{v}{4dv} \geq 1$$

إذاً كي يكون التحليل السابق صحيحاً، يجب أن يكون امتداد رزمة الموجات أكبر بكثير من طول الموجة. في هذه الحالة تتحرك رزمة الموجات دون تشويه وتكون سعتها دالة مترددة تنتشر بسرعة  $U$ .

لتكن  $n$  قرينة إنكسار جسم مشتمت لطول الموجة  $\lambda_0$  في الفراغ.

$$(III-86) \quad \lambda_0 = \frac{u}{v}, \quad u = \frac{c}{n}$$

ولكن استناداً إلى المعادلة (III-78):

$$(III-87) \quad U = \frac{dv}{\left(\frac{1}{d\lambda}\right)} = \frac{d\left(\frac{u}{\lambda_0}\right)}{d\left(\frac{1}{\lambda_0}\right)}$$

$$= u - \lambda_0 \frac{du}{d\lambda_0} = u \left(1 - \frac{\lambda_0}{u} \frac{du}{d\lambda_0}\right) = u \left(1 + \frac{\lambda_0}{n} \frac{dn}{d\lambda_0}\right)$$

إذ إن:

$$(III-88) \quad \frac{d u}{u} = - \frac{d n}{n} .$$

إذا أخذنا بعين الاعتبار (III-86). وتكتب أيضاً المعادلة (III-87) كما يلي:

$$(III-89) \quad U = \frac{c}{n} \left(1 + \frac{\lambda_0}{n} \frac{dn}{d\lambda_c}\right).$$

إذا كان الضوء مؤلفاً من مجموعة موجات أحادية اللون فأى قياس لسرعة الموجة يعطي سرعة المجموعة  $U$  التي هي أيضاً سرعة انتقال الطاقة الضوئية. فإذا كان الجسم غير مشتمت أو قليل التشتمت (مثل الهواء مثلاً) يعطي هذا القياس عملياً سرعة الطور لأن:

$$(III-90) \quad U = u = \frac{c}{n} .$$

أما في حالة الأجسام المشتمة (مثل كبريت الكربون) فتثبت التجربة صحة (III-89) وليس (III-90).

## 12) الموجات الكروية Spherical waves

نستطيع كتابة معادلات ماكسويل في الإحداثيات الكروية وإيجاد صيغ طولها. سنكتفي هنا بدراسة حالة خاصة فقط.

تخضع دالة الكمون الكهربائي  $V$  لمعادلة الانتشار في الخلاء (الفرغ). ( $\mu_0 = \epsilon_0$ ). (= 1). أما في غياب الشحن الكهربائية فتصبح هذه المعادلة:

$$(III-91) \quad \square V \equiv \frac{1}{c^2} \frac{\partial^2 V}{\partial t^2} - \Delta V = 0.$$

إستناداً الى المعادلة (VI)<sub>b</sub>. وإذا استعملنا الإحداثيات الكروية

$$(III-92) \quad x = r \sin \theta \cos \varphi, \quad y = r \sin \theta \sin \varphi, \quad z = r \cos \theta,$$

نجد لاية دالة عددية V

$$(III-93) \quad \Delta V = \frac{1}{r^2} \frac{\partial}{\partial r} \left( r^2 \frac{\partial V}{\partial r} \right) + \frac{1}{r^2 \sin \theta} \frac{\partial}{\partial \theta} \left( \sin \theta \frac{\partial}{\partial \theta} \right) \\ + \frac{1}{r^2 \sin^2 \theta} \frac{\partial^2 V}{\partial \varphi^2}$$

يمكن أن نكتب حلولاً خاصة للمعادلة (III-91) بالصيغة

$$(III-49) \quad V = R(r) \Theta(\theta) \Phi(\varphi) e^{i\omega t}.$$

وفي حالة التناظر الكروي لا تتغير V مع الزوايا  $\theta$  و  $\varphi$  بل مع r و t فقط. فتكتب معادلة الإنتشار (III-91) بالصيغة

$$(III-95) \quad \frac{1}{c^2} \frac{\partial^2}{\partial t^2} (rV) - \frac{\partial^2 (rV)}{\partial r^2} = 0$$

ذات الحلول

$$(III-96) \quad V = \frac{f\left(t \pm \frac{r}{c}\right)}{r}$$

حيث f هي دالة اختيارية. وتمثل هذه الصيغة موجة كروية بسيطة. والإشارة (-) في هذه الصيغة تتناسب مع الموجات التي تنتشر باتجاه تزايد r. أما الإشارة (+) فتتناسب مع الموجات التي تنتشر باتجاه تناقص r. أخيراً يمكن أن نختار f بالصيغة التوافقية البسيطة.

$$(III-97) \quad f\left(t - \frac{r}{c}\right) = a_0 e^{i\omega\left(t - \frac{r}{c}\right)}$$

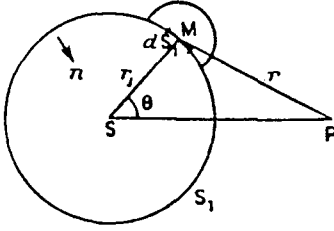
فتكون دالة الكمون الذي تكونه في النقطة P (r, t) من الفضاء شحنة كهربائية موضوعة في أصل origin المحاور

$$(III-98) \quad V(r, t) = a_0 \frac{e^{i\omega\left(t - \frac{r}{c}\right)}}{r}$$



لنفترض الآن حسب مبدأ هيغنز Huygens أن موجة كروية تصدر عن S ليصبح شعاعها  $r_1$  في الوقت  $t = 0$ . عن كل نقطة M من هذه الكرة تنبعث موجة يصبح شعاعها  $ct$  في الوقت  $t$ . فيكون غلاف جميع هذه الموجات سطحاً كروياً مركزه S وهو صدر الموجة في الوقت  $t$ . يتناسب الاضطراب Perturbation في النقطة P الذي يكونه الجزء  $dS_1$  من الكرة مع مساحة هذا الجزء. ولكن استناداً إلى المعادلة (III-98) يكون الكمون في  $(M(r_1t))$ .

$$(III-99) \quad V(r_1, t) = a_0 \frac{e^{i\omega(t - \frac{r_1}{c})}}{r_1}$$



الشكل 10- مبدأ هيغنز

أما الكمون في النقطة P على مسافة r من M فهو

$$(III-100) \quad V\left(t - \frac{r}{c}\right) = a_0 \frac{e^{i\omega\left(t - \frac{r+r_1}{c}\right)}}{r_1}$$

وهو حل لمعادلة دالمبير فيكتب إذاً بالصيغة (III-36). فإذا أخذنا بعين الإعتبار الشروط الحدية نجد

$$(III-101) \quad V = -\frac{1}{4\pi} \int \left[ \frac{\Delta V - \frac{1}{c^2} (\partial^2 V / \partial t^2)}{r} \right]_{t-\frac{r}{c}} d^3V$$

$$+ \frac{1}{4\pi} \int \frac{1}{r} \left\{ \left[ \frac{1}{c} \left( \frac{\partial V}{\partial t} \right)_{t-\frac{r}{c}} \right. \right.$$

$$\left. \left. + \frac{V\left(t - \frac{r}{c}\right)}{r} \right] \cos(n, r) + \left( \frac{\partial V}{\partial n} \right)_{t-\frac{r}{c}} \right\} dS$$

ولكن باستعمالنا الصيغة (III-100) نجد :

$$(III-102) \quad \frac{\partial V(t - \frac{r}{c})}{\partial t} = i\omega \frac{a_0 e^{i\omega(t - \frac{(r+r_1)}{c})}}{r_1}$$

$$(III-103) \quad \frac{\partial V(t - \frac{r}{c})}{\partial n} = -a_0 \cos(n, r_1) \left( \frac{1}{r_1} + \frac{i\omega}{c} \right) \frac{e^{i\omega[t - \frac{(r+r_1)}{c}]}}{r_1}$$

فإذا أحلنا هذه الصيغ في المعادلة (III-101) يمكن أن نكتب

$$(III-104) \quad V = \frac{1}{4\pi} \int \frac{a_0 e^{i\omega(t - \frac{(r+r_1)}{c})}}{rr_1}$$

$$\left[ \left( \frac{1}{r} + \frac{i\omega}{c} \right) \cos(n, r) - \left( \frac{1}{r_1} + \frac{i\omega}{c} \right) \cos(n, r_1) \right] dS$$

لنفترض الآن أن  $r$  و  $r_1$  تفوق كثيراً طول الموجة وهو حال الموجات الضوئية دائماً. فتكتب الصيغة (III-104) كما يلي:

$$(III-105) \quad V = \int \frac{ia_0}{2\lambda r_1 r} e^{i\omega(t - \frac{r+r_1}{c})} [\cos(n, r) - \cos(n, r_1)] dS \quad \text{مع } \omega = \frac{2\pi c}{\lambda}$$

ولكن  $a_0 \frac{e^{i\omega(t - \frac{r_1}{c})}}{r_1}$  هي السعة  $a_1$  للموجة الساقطة على النقطة M.

فإذا انبعثت موجة بهذه السعة من النقطة M تولد في النقطة P اضطراباً كهرمغنطيسياً

$$(III-106) \quad \int \left( \frac{a_1 dS_1}{r} \right)_{t - \frac{r}{c}} = \int \frac{a_0}{rr_1} e^{i\omega[t - \frac{r+r_1}{c}]} dS, \quad r = MP.$$

هذه هي تقريباً النتيجة التي وصلنا إليها في المعادلة (III-105). ولكن مبدأ هيغنز لا يعطي العامل التصحيحي Correction factor.

$$\frac{i}{2\lambda} [\cos(n, r) - \cos(n, r_1)]$$

الذي يدل على أن سعة الموجات التي تصل الى النقطة P تتغير تبعاً للزوايا التي يكوّنها المتجهان  $r$  و  $r_1$  مع المتجه الأحادي  $n^{(25)}$  العمودي على صدر الموجة الأولية. وهي متناسبة عكسياً مع طول الموجة.

تتيح المعادلة (III-106) حل مسائل الإنعراج diffraction العادية. وتبدو كتطبيق لمبدأ هيغنز. إن حل معادلة دالمبير يعطينا الصيغة الرياضية الدقيقة لمبدأ هيغنز والتصحيحات الضرورية لهذا المبدأ.

### هـ - المعادلات الكهرمغناطيسية في الأجسام غير المغناطيسية المتحركة ببطء.

#### (13) مبدأ تطبيق نظرية ماكسويل في حالات الحركة

في تطبيقنا لمفاهيم ماكسويل على الحالات الدائمة وشبه الدائمة إفترضنا دائماً أن الأجسام في حالة السكون rest، وأهملنا دراسة المجالات التي تكون فيها الأجسام ناقلة أو كهرونافاذة (عازلة) متحركة.

غير أن دراستنا للحالات المتغيرة أظهرت أن ظاهرة التحريض الكهرمغناطيسي تنتج عن التغير في التدفق الناتج عن تغير شدة التيار الكهربائي أو عن حركة الدارات الكهربائية التي يجتاها تيار ثابت أو حركة الأجسام المغناطيسية. فتكافؤ هذه الأسباب لتوليد قوى كهربائية محرّكة مثبت تجريبياً ونعبر عنه بقانون فاراداي.

$$(III-1) \quad e = - \frac{d}{dt} \int_S B_n dS,$$

يمكن أن تنتج تغيرات الكمية  $B_n dS$  مع الزمن عن تغيرات شدة التيار أو مواقع الأجسام المغناطيسية التي تولد المجال B أو عن تغيرات  $dS$ . غير أننا لا نعلم ما إذا كان المجال المغناطيسي يؤثر على دارة كهربائية أو الأجسام الكهرونافاذة بذات الطريقة سواء أكانت ساكنة أو متحركة. في الواقع تختلف جذرياً في هذا الموضوع آراء هرتز

(25) إذا كان صدر الموجة  $S_1$  كروياً نجد  $\cos(n, r_1) = -1$  فيعطي الحساب التقريبي للتكامل (III-105)

بطريقة دارات فريزل  $V = Ae^{i\omega(t - \frac{R}{c})}$  (حيث  $R = SP$ ). وتمثل هذه الصيغة الكون الذي يكوّنة المصدر S مباشرة في النقطة P مما يعلل مبدأ هيغنز. وحساب التكامل (III-105) في حالة وجود حواجب screens بشقوق slits بين النقطتين S و P يعطي تقديراً صحيحاً لصور الإنعراج diffraction.

ولورنتز Lorentz وأينشتاين. سنتفحص أولاً الظواهر التجريبية التي تستوجب تفسيراً.

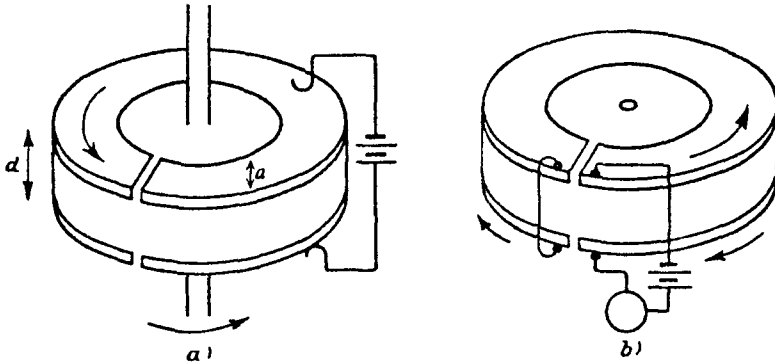
### 14) تحريك جسم ناقل أو كهرنافذ في المجال الكهربائي

1 - لقد قام بالتجارب الأولى على تحريك الأجسام الناقلة في المجال الكهربائي رولاند H.A. Rowland عام 1875 ثم أكدتها تجارب إيشنوالد Eichenwald. وترتكز هذه التجارب على مقارنة الظواهر المغنطيسية الناتجة عن الدوران الرتيب لطبق معدني مشحون بكثافة سطحية  $\sigma$  بالظواهر الناتجة عن تيارات بكثافة  $I$  تدور في طبق ثابت. وتتطابق النتائج إذا كانت الكثافات  $\sigma$  و  $I$  ترتبط بالعلاقة.

$$I = \sigma V \quad \text{(III-107)}$$

التي تعني، كما في الفصل الثاني، تعادل تيار النقل وتيار الحمل convection الناتج عن حركة الجسم الناقل.

2 - لقد قام روننتغن W. C. Rontgen بالتجارب الأولى على تحريك الأجسام الكهرنافذة (العازلة) في المجال الكهربائي عام 1885<sup>(26)</sup> ثم أكدتها تجارب إيشنوالد عام 1903<sup>(27)</sup> وقد استعمل إيشنوالد مكثفاً كهربائياً مؤلفاً من حلقتين معدنيتين ومسطحتين بهما شقان دقيقان ويفصل بينهما عازل من المطاط (انظر الرسم 11) ويدور المطاط حول المحور  $zz'$  ويمكن جعل الحلقتين تدوران مع المطاط أو لا. كثافة الشحن الكهربائي على الحلقتين هي



الشكل 11- تجارب روننتغن وايشنوالد

W. C. RÖNTGEN. Ann. d. Phys. 35, 1888, 268.

(26)

A. EICHENWALD. Ann. d. Phys. 11, 1903, 1 et 421.

(27)

$$(III-108) \quad \sigma_p = \frac{\epsilon V}{4\pi d} = \frac{\epsilon E}{4\pi}$$

وهذه هي أيضاً كثافة الشحن (بإشارة معكوسة) على سطح المطاط العازل. فإذا تحرك المطاط وحده بسرعة  $V$  نتوقع أن نحصل على تيار حمل بكثافة

$$(III-109) \quad i = \frac{\epsilon E}{4\pi} aV = \frac{\epsilon V}{4\pi d} aV$$

حسب نتائج المقطع السابق. لكن تجارب رونتغن أثبتت أن التيار الكهربائي هو:

$$(III-110) \quad i = \frac{(\epsilon - 1)}{4\pi d} Vav = \frac{(\epsilon - 1)}{4\pi} Ea V.$$

كما لو أن كثافة الشحن الكهربائية على سطح الجسم الكهرونافذ المتحرك هي

$$(III-111) \quad \sigma_i = (\epsilon - 1) \frac{E}{4\pi}$$

أي كما لو أن المجال الكهربائي  $E$  استُبدل بالمجال

$$(III-112) \quad E' = \left(1 - \frac{1}{\epsilon}\right) E.$$

أما إذا دارت الحلقتان مع المطاط كما في تجربة إيشنوالد، فيكون التيار الإجمالي مجموع التيار الناتج عن حركة  $\sigma_p$  و  $\sigma_i$  -- فإذا استعملنا نتائج تجارب رونتغن تكون كثافة هذه الشحن (III-108) و (III-111). مما يعني أن شدة التيار هي:

$$(III-113) \quad (\sigma_p - \sigma_i) av = \frac{\epsilon E}{4\pi} av - \frac{(\epsilon - 1)}{4\pi} Eav = \frac{E}{4\pi} av.$$

أي:

$$(III-114) \quad i = (\sigma_p - \sigma_i) va = \frac{E}{4\pi} va = \frac{V}{4\pi d} va.$$

وشدة التيار هذه لا تتغير مع قيمة ثابت الكهرونافذية. لقد أثبتت التجارب صحة هذه التوقعات المستندة إلى نتائج تجارب رولاند. وكان إيشنوالد يقيس انحراف إبرة مغناطيسية نتيجة لهذا التيار. وفي التجربة الثانية كان يثبت الحلقتين ويقيس شدة تيار النقل الذي يسبب انحراف الإبرة المغناطيسية ذاته (انظر الرسم 11). وقد كانت النتيجة لا تتغير مع طبيعة الجسم الكهرونافذ ومنفقة مع الصيغة (III-114).

15) تحريك جسم ناقل أو كهرنافذ في مجال مغنطيسي

1 - لقد كان تحريك الأجسام الناقلة في مجال مغنطيسي موضوع تجارب فاراداي المعروفة (حركة دارة بين قطبي مغنطيس). وهذا هو مبدأ الدينامو والمولدات الكهربائية.

2 - لقد كان تحريك الأجسام الكهرنافذة في مجال مغنطيسي موضوع تجارب ويلسون<sup>(28)</sup> H. A. Wilson. فقد استعمل جسماً كهرنافذاً بشكل أسطوانة مجوفة وبسماكة  $a$  موضوعة بين قطبي مغنطيس. وكانت الصفحتان الداخلية والخارجية للجسم الكهربائي مغطّاتين بطبقتين معدنيتين موصولتين الى طرفي مقياس الشحنة الكهربائي.

من المعروف أن شحنة كهربائية  $q$  موضوعة في مجال مغنطيسي  $B$  تخضع لقوة لورنتز (انظر المقطع II-3).

$$(II-3) \quad F = q \left[ \frac{v}{c} \wedge B \right]$$

مقيسة بنظام الوحدات المختلط. كما لو أنها في مجال كهربائي

$$(III-115) \quad E = \left[ \frac{v}{c} \wedge B \right].$$

وفي تجربة ويلسون إذا دارت الاسطوانة العازلة حول محورها المتوازي مع المجال المغنطيسي يتكون مجال كهربائي بالاتجاه الشعاعي للاسطوانة. فإذا كانت الاسطوانة معدنية يكون فرق الكمون الكهربائي بين صفحتيها  $V = aE$ . أما إذا كانت عازلة فتظهر كثافة استقطاب  $P$  بحيث إن:

$$(III-116) \quad D = \epsilon E = E + 4\pi P$$

أي:

$$(III-117) \quad P = \left( \frac{\epsilon - 1}{4\pi} \right) E = \left( \frac{\epsilon - 1}{4\pi} \right) \left[ \frac{v}{c} \wedge B \right].$$

وقد أظهر قياس كثافة الشحن على صفحتي الاسطوانة العازلة وبواسطة مقياس الشحنة الكهربائي أن هذه الكثافة تساوي تماماً

$$(III-118) \quad \sigma = \left( \frac{\epsilon - 1}{4\pi} \right) \left[ \frac{v}{c} \wedge B \right].$$

وهي تتفق مع الكثافة التي يحدثها مجال كهربائي  $E' = \left(1 - \frac{1}{\epsilon}\right) E$  بدلاً من  $E$ . فالمجال  $E'$  الأصغر من  $E$  أو بعبارة أفضل كثافة الاستقطاب  $P$  هي التي تولد الشحنة الكهربائية في الأجسام الكهروناقلة المتحركة في مجال مغناطيسي.

### 16) فرضيات هرتز ولورنتز

سنبحث في الفصل الخامس تجارب الضوء في الأجسام المتحركة (تجارب دوبلر Doppler وفيزو وزيمان). وسنرى أنها كانت تقود إلى القبول بمبدأ تكافؤ هياكل الإسناد التي تتحرك بسرعة ثابتة الواحد بالنسبة إلى الآخر ولكن بسرعة أقل بكثير من سرعة الضوء (بحيث أنه يمكن إهمال الكميات  $v^2/c^2$  وذلك قبل صياغة نظرية النسبية الخاصة. وهذا المبدأ كان يعبر عنه إما بفرضية الانسحاب translation (الجر) الكامل لموجات الضوء مع الأجسام المتحركة (التي طرحها ستوكس) أو بفرضية الانسحاب الجزئي (التي طرحها فرينل).

ولقد أراد هرتز أن يعمم فرضية ستوكس لتشمل جميع الظواهر الكهرمغناطيسية فافتراض أن تأثير ماكسويل الذي يرتبط به المجالان  $E$  و  $H$  ومجالا التحريض  $D$  و  $B$  يتحرك تماماً مع المادة (الجر الكامل) ولكن التجارب التي عرضناها في المقطعين السابقين أظهرت عدم صحة نظرية هرتز<sup>(29)</sup>. إذ إن مجال التحريض الكهربائي  $D$  مثلاً يكتب بالصيغة

$$D = E + 4\pi P.$$

فكثافة الاستقطاب  $P$  ترتبط بوجود الوسط المادي مما يعني أنها تنتقل تماماً مع الجسم بينما المجال  $E$  لا يُسحب مطلقاً مع الجسم. وهذه النتائج تفسر بصورة طبيعية بواسطة نظرية لورنتز المجهريّة المبنية على فرضية الأثر الثابت. فالمجالان المجهريان  $e$  و  $h$  اللذان يدخلان في تحديد المجالين العيانيين  $E$  و  $B$  يرتبطان بالأثر الثابت. بينما كثافة الاستقطاب الكهربائي  $P$  وكثافة العزم المغناطيسي  $M$  يتحركان تماماً مع المادة المتحركة. مما يعني أن المجالين العيانيين  $D$  (المرتبط بالمجال  $E$

(29) نظرية هرتز تقود إلى موازنة كاملة بين تيارات رونتنغن ورولاندر في تجربة إيشنوالد. خلافاً لنتائج هذه التجربة (للتوسع في هذا الموضوع يرجع إلى الصفحات 387 و 397 من بلوش [2] L. Bloch.

والكثافة  $(P)$  و  $H$  (المرتبط بالمجال  $B$  والكثافة  $M$ ) يتحركان جزئياً مع المادة. فكل شيء يحدث كما لو أن المجال  $E$  مثلاً يستبدل بالمجال  $E' = \left(1 - \frac{1}{\epsilon}\right) E$  استناداً الى التجارب المذكورة أعلاه. هكذا تتيح فرضية لورنتز الإلتقاء مع نتائج فرضية فرينل في البصريات المستندة الى انسحاب جزئي في حالات السرعة الخفيفة للأجسام على الأقل ( $0 \ll c$ ).

نكتفي هنا بهذا التحليل الوصفي لنظريات تستند الى أسس تجاوزتها نظرية النسبية الخاصة ونتائجها. ولكنه كان لا بد من التعرض لها لتبيان الأسس الفيزيائية المنطقية والتجريبية لنظرية اينشتاين. فسرى أن نظريات ماكسويل ولورنتز تقود طبيعياً الى النسبية الخاصة.



## تمارين

## 1 - انطلاقاً من صيغ الموجات المستوية (III-62)

$$E = E_0 e^{i\omega t - \gamma^2} \quad , \quad H = H_0 e^{i\omega t - \gamma^2} \quad (i = \sqrt{-1})$$

إثبت العلاقات بين مركبات المجالين E و H وذلك بإحلال هذه الصيغ في المعادلات (I) و (II) و (III). إثبت ما يلي:

- المجالان E و H مستعرضان Transverse (أي  $E_z = H_z = 0$ )

- المجالان E و H متعامدان ويرتبطان بالعلاقات:

$$\frac{E_x}{H_y} = - \frac{E_y}{H_x} = \pm \sqrt{\frac{\mu}{\epsilon - \frac{4\pi\sigma_c}{\omega}}}$$

## 2 - لننظر في تعديل لمعادلات ماكسويل بحيث يدخل فيها الكمون الكهرمغناطيسي V و A (وهو مجال ميزوني meson أو فوتوني مع فوتون ثقيل)

$$\text{curl } H = \frac{e}{c} \frac{\partial E}{\partial t} + k_0^2 A, \quad \text{div } E = k_0^2 V$$

$$\text{curl } E = - \frac{\mu}{c} \frac{\partial H}{\partial t}, \quad \text{div } H = 0.$$

ونفترض أن هذا التعديل طفيف بمعنى أن  $(k_0^2 \ll 1)$  حيث  $k_0$  ثابت. إثبت أن لهذه المعادلات حلاً بصيغة موجات مستوية ولكن بمجال كهربائي ذي مركبة طولية ( $E_z \neq 0$ ) longitudinal. إثبت استناداً إلى هذه المعادلات شرط لورنتز بين دوال الكمون (نشير إلى أن هذا الشرط مفروض مسبقاً في نظرية ماكسويل) إثبت معادلات الإنتشار.

3 - إثبت أن الموجة المستوية  $E = E_0 e^{i\omega t - \gamma^2}$  التي هي حل للمعادلة (III-58) هي حل أيضاً للمعادلة

$$\left( \tau = \frac{1}{\omega} \right) \quad \epsilon' = \epsilon - 4\pi\sigma_c \tau \quad \text{مع} \quad \frac{\mu \epsilon'}{c^2} \frac{\partial^2 E}{\partial t^2} - \Delta E = 0$$

إثبت أنه يمكن كتابة E بشكل موجة توافقية مخمدة damped

$$E = E_0 e^{-\frac{p'z}{\tau}} e^{\frac{1}{\tau} (t - \rho z)}$$

مع

$$p = \frac{1}{u} = \frac{n}{c}, \quad p' = \frac{k}{c}$$

حيث  $k = \frac{2\pi\mu\sigma c\tau}{n}$  هو معامل الإمتصاص في الجسم.

### مصادر المجال الكهرمغناطيسي - نظرية لورنتز

لقد جاءت نظرية لورنتز<sup>(1)</sup> عام 1892 بعد التجارب العديدة التي أظهرت في أواخر القرن التاسع عشر الطبيعة الجسيمية corpuscular للمادة والكهرباء. فإذا استعملنا فرضية البنية الذرية للمادة لفهم بعض الظواهر المعروفة مثل الكهولة (التحليل الكهربائي) Electrolysis نصل حتماً إلى أن الكهرباء غير متواصلة. فأية شحنة كهربائية تساوي الشحنة الأساسية  $e$  عدداً صحيحاً من المرات. ويمكن قياس الشحنة الأساسية مباشرة أو غير مباشرة.

فالقياس المباشر يكون بتحديد شحنة النقط الدقيقة المتساقطة بين لوحتي مكثف كهربائي (مليكان<sup>(2)</sup> Millikan وإرنهافت<sup>(3)</sup> Ehrenhaft وريجينر<sup>(3)</sup> Regener) أو بقياس الشحنة التي تحملها أشعة  $\alpha$  المنبعثة من الراديوم c (ريجينر<sup>(4)</sup> Regener<sup>(5)</sup>).

أما القياسات غير المباشرة المعروفة في عصر لورنتز فقد كانت تستند إلى معرفة

---

(1) Cf. H.A. LORENTZ. The Theory of Electrons. Leipzig 1916. - W. Gerlach. Hand. d. Phys. 22-II-2 (Berlin 1933): - L. Reosenfeld. Theory of Electrons. Amsterdam 1951. - R. Becker. Théorie des électrons. Paris Alcan.

A. MILLIKAN. - Phys. Rev., 1913, 136; Phys. Rev., 14, 1913, 796. (2)

E. REGENER. Z. f. Phys. 39, 1926, 247. (3)

E. REGENER. Berl. Ber. 1909, 948. (4)

(5) نُشِير أيضاً إلى قياس  $e$  باستعمال ظاهرة شروت Schrott  
W. SCHOTTKY. Ann. d. Phys. 65, 1918, 541; 68, 1922, 157.

عدد أفوغادرو Avogadro الذي كان يحدد بمعرفة ثابت بولتزمان أي استناداً إلى نتائج النظرية الحركية Kinetic theory للغازات. وقد كانت هذه القياسات موضوع أساليب عديدة طبقت على الحركة البراونية Brownian motion وطورها كثيرون ومنهم جان بيرين Jean Perrin.

فإذا استعملنا ثابت فاراداي  $F = 96\,600\text{ C}$  نجد أن الشحنة الكهربائية الأساسية هي:

$$e = \frac{96\,600}{N} = 4.77 \times 10^{-10} \text{ u.e.s CGS}$$

حيث  $N$  هو عدد أفوغادرو.

ومن جهة ثانية، إن قياس انحراف الأشعة المهبطية في مجال كهربائي ومغناطيسي مشترك يتيح قياس النسبة  $\frac{e}{m}$ . فإذا مرت جسيمات من نوع واحد وبسرع متنوعة ولكن باتجاه واحد في مجالين كهربائي ومغناطيسي متوازيين ومتعامدين على الاتجاه الأساسي للجسيمات فإنها تنحرف وتتوزع على خط قطعي مكافئ Parabolic.

$$\frac{y^2}{x} = \frac{1}{2} \frac{e}{m} \frac{H^2}{c^2} \frac{\ell^2}{E}$$

ففي حالة الأشعة المهبطية نجد دائماً النسبة ذاتها

$$\frac{e}{m} = 1.76 \times 10^7 \text{ u.e.m. CGS}$$

## 1 - المجالات ودوال الكمون المجهرية للإلكترون

يفرض وجود الإلكترونات إعادة صياغة للنظرية تستند إلى المجالات المجهرية التي تكونها هذه الشحن الكهربائية. فوصف المجال الكهرمغناطيسي يجب أن يستند إلى خصائص تحرك الشحن الكهربائية في الفراغ (الخلا). وبناء على هذه المعلومات يجب تفسير تكوين المجالات الكهرمغناطيسية ومجالات التحريض وخصائصها التي تدخل في نظرية ماكسويل.

يفترض لورنتز أن وجود الشحنة الكهربائية وحركتها يتيحان معرفة المجالين المجهرين  $e$  و  $h$  المرتبطين بالشحنة. أما مجال التحريض فهما ظاهرة إجمالية، أي تتعلق بالجسم ككل ولا تدخل في تحليل الظواهر الأساسية. لنفترض أن  $\rho$  هي كثافة

الشحن الكهربائية وأن  $v$  هي سرعة هذه الشحن. إن النوع الوحيد الممكن للتيار الكهربائي في هذه النظرية هو تيار النقل الناتج عن حركة الإلكترونات.

تفترض نظرية لورنتز أن الإلكترونات تتحرك في أثير ثابت وأن معادلات شبيهة بمعادلات ماكسويل تربط بين  $e$  و  $h$  و  $\rho$  و  $\rho v$ . فتصبح معادلات ماكسويل (I) و (II) و (III).

$$(IV-1) \quad \text{curl } h = \frac{4\pi}{c} \rho v + \frac{1}{c} \frac{\partial e}{\partial t}$$

$$(IV-2) \quad \text{curl } e = - \frac{1}{c} \frac{\partial h}{\partial t}$$

$$(IV-3) \quad \text{div } e = 4\pi\rho$$

$$(IV-4) \quad \text{div } h = 0$$

أما كثافة القوة التي تؤثر على الشحن فهي

$$(IV-5) \quad f = \rho \left[ e + \frac{1}{c} [v \wedge h] \right]$$

هذه القوى التي تؤثر على الإلكترون ذاته يجب أن توازن قوى أخرى إذا كان الإلكترون غير نقطي والا فلن يكون مستقراً stable بل ينفجر. نشير<sup>(6)</sup> هنا إلى أن المعادلات الأساسية لنظرية الإلكترونات (IV-1) إلى (IV-5) هي معادلات بين المجالات وكميات متواصلة. فمميزات الجسيم لا تظهر مباشرة ووجودها بحد ذاته يكون موضع تساؤل إذا كانت القوة (IV-5) وحدها تلعب دوراً في النظرية.

أما صيغ كثافة الطاقة وتدفق الطاقة المتعلقة بالإلكترون فيمكن كتابتها استناداً لنظرية ماكسويل.

$$(IV-6) \quad u = \frac{1}{8\pi} (e^2 + h^2)$$

$$(IV-7) \quad s = \frac{1}{4\pi} [e \wedge h].$$

(6) انظر في الصفحة 39 من [1] R. BECKER.

ويمكن أن ننطلق من الصيغة (IV-5) لحساب كثافة القوة  $f$  تبعاً للمجالين  $e$  و  $h$ .  
فإذا استعملنا الصيغ (IV-3) للكثافة  $\rho$  و (IV-1) للتيار  $pv$  والمعادلة (IV-2) نجد  
المركبات التالية للقوة

$$(IV-8)_1 \quad f_x = -\frac{1}{c} \frac{\partial s_x}{\partial t} + \frac{\partial}{\partial x} T_{xx} + \frac{\partial}{\partial y} T_{xy} + \frac{\partial}{\partial z} T_{xz}$$

$$(IV-8)_2 \quad f_y = -\frac{1}{c} \frac{\partial s_y}{\partial t} + \frac{\partial}{\partial x} T_{yx} + \frac{\partial}{\partial y} T_{yy} + \frac{\partial}{\partial z} T_{yz}$$

$$(IV-8)_3 \quad f_z = -\frac{1}{c} \frac{\partial s_z}{\partial t} + \frac{\partial}{\partial x} T_{zx} + \frac{\partial}{\partial y} T_{zy} + \frac{\partial}{\partial z} T_{zz}$$

حيث وضعنا

$$(IV-9) \quad T_{pq} = \frac{1}{4\pi} \begin{vmatrix} e_x^2 + h_x^2 - \frac{1}{2}(e^2 + h^2) & e_x e_y + h_x h_y & e_x e_z + h_x h_z \\ e_x e_y + h_x h_y & e_y^2 + h_y^2 - \frac{1}{2}(e^2 + h^2) & e_y e_z + h_y h_z \\ e_x e_z + h_x h_z & e_y e_z + h_y h_z & e_z^2 + h_z^2 - \frac{1}{2}(e^2 + h^2) \end{vmatrix}$$

إذا حسبنا تكامل المعادلة (IV-8) على الحجم  $\mathcal{V}$  مع التحديدات

$$(IV-10) \quad F = \int f d\mathcal{V}, \text{ و } S = \int s d\mathcal{V},$$

نجد مثلاً

$$(IV-11) \quad F_x = -\frac{1}{c} \frac{\partial s_x}{\partial t} + \int [T_{xx} \cos(n, x) + T_{xy} \cos(n, y) + T_{xz} \cos(n, z)] dS,$$

وعلاقتين مشابهتين للمركبتين  $F_y$  و  $F_z$ .

إذا افترضنا أن القوى الكهرمغناطيسية هي الوحيدة، تكون  $F$  القوة الإجمالية التي تؤثر على الحجم  $\mathcal{V}$ . وتساوي تغير زخم المادة  $P^{(m)}$  داخل الحجم  $\mathcal{V}$  في وحدة الزمن حسب قانون نيوتن. فنكتب إذًا:

$$(IV-12) \quad F = \frac{dP^{(m)}}{dt}, \quad P^{(m)} = (P_x^{(m)}, P_y^{(m)}, P_z^{(m)}).$$

وإذا وضعنا:

$$(IV-13) \quad \mathbf{p}^{(r)} = \frac{\mathbf{S}}{c} \quad \text{و} \quad \mathbf{P}^{(r)} = \int \mathbf{p}^{(r)} d^3V, \quad \mathbf{P}^{(r)} = P_x^{(r)}, P_y^{(r)}, P_z^{(r)}$$

نجد استناداً إلى (IV-11)

$$(IV-14) \quad \frac{d}{dt} (P_x^{(m)} + P_x^{(r)}) \\ = \int_S (T_{xx} \cos(n, x) + T_{xy} \cos(n, y) + T_{xz} \cos(n, z)) dS$$

ومعادلتين مشابهتين للمركبتين على المحاور Oz و Oy.

تمثل  $T_{pq}$  الضغط الكهرمغناطيسي. وتعتبر المعادلة (IV-14) عن قانون المحافظة على الزخم العام.  $P^{(m)}$  يمثل زخم المادة و  $P^{(r)}$  يمثل زخم الإشعاع ومجموعهما هو الزخم العام للحجم  $V$ . تمثل إذاً الكمية.

$$(IV-15) \quad \mathbf{p}^{(r)} = \frac{\mathbf{S}}{c} = \frac{1}{4\pi c} [\mathbf{e} \wedge \mathbf{h}].$$

كثافة الزخم في الحجم  $V$  الناتج عن وجود المجال الكهرمغناطيسي الجهري  $\mathbf{e}$  و  $\mathbf{h}$ .

## 2 - تركيب إلكترون لورنتز

إن أبسط فرضية لتركيب الإلكترون هي أنه يشبه كرة مشحونة شعاعها محدود. النظريات الأولى هفيسايد Heaviside<sup>(7)</sup>، سيرل Searle، طومسون J. J. Thomson وأبراهام Abraham كانت تفترض أن الإلكترون كروي وصلب. إستناداً إلى المعادلة (IV-13) تكون كثافة زخم المجال الكهرمغناطيسي الذي يكوّنه هذا الإلكترون.

$$(IV-15) \quad \mathbf{h} = \frac{1}{c} [\mathbf{v} \wedge \mathbf{e}]^{(8)}. \quad \text{مع} \quad \mathbf{p}^{(r)} = \frac{\mathbf{S}}{c} = \frac{1}{4\pi c} [\mathbf{e} \wedge \mathbf{h}]$$

نجد إذاً:

$$(IV-16) \quad \mathbf{p}^{(r)} = \frac{1}{4\pi c^2} [\mathbf{e} \wedge (\mathbf{v} \wedge \mathbf{e})] = \frac{1}{4\pi c^2} (\mathbf{v} \cdot \mathbf{e}^2 - \mathbf{e} (\mathbf{v} \cdot \mathbf{e}))$$

(7) سنرى أن هذا النموذج الذي توسّع فيه أبراهام خصوصاً لا يتفق مع نتائج النسبية الخاصة.

(8) في الواقع يجب أن نستبدل المجال  $\mathbf{e}$  بالمجال النسبي  $\mathbf{e}'$  الناتج عن حركة الشحن. ولكن الفرق بين هذين المجالين متناسب مع  $\beta = \frac{v}{c}$  (انظر المقطع 3). فيكون هذا الفرق صغيراً جداً في أغلب الحالات وهذا ما سنفترضه في ما يلي.

فإذا كانت حركة الإلكترون باتجاه  $oz$  ( $v = v_z = v$ ) نجد

$$(IV-17) \quad p_z^{(r)} = \frac{v}{4\pi c^2} (e_x^2 + e_y^2)$$

ويكون زخم المجال الكهرمغناطيسي العام

$$(IV-18) \quad P_z^{(r)} = \frac{v}{4\pi c^2} \int_V (e_x^2 + e_y^2) dV.$$

ولكن إذا كان توزيع الشحن الكهربائية داخل الإلكترون ذا تناظر كروي نجد:

$$(IV-19) \quad e_x^2 + e_y^2 = \frac{2}{3} e^2$$

وإذا استعملنا الإحداثيات الكروية يمكن أن نكتب:

$$(IV-20) \quad e = \frac{q}{r^2}, \quad dV = 4\pi r^2 dr.$$

لنفترض أن شحنة الإلكترون  $q$  موزعة على سطح كرة شعاعها  $r_0$  الذي يمثل شعاع الإلكترون. عندما ينعدم المجال الكهربائي داخل هذه الكرة، يجب حساب التكامل (IV-18) في الفضاء خارج الكرة فنجد إذاً:

$$(IV-21) \quad P^{(r)} = \frac{v}{4\pi c^2} \int_{r_0}^{\infty} \frac{2}{3} \frac{q^2}{r^4} \cdot 4\pi r^2 dr = \frac{2v q^2}{3c^2 r_0}.$$

وبما أن  $P^{(r)}$  هو الزخم تكون كتلة الإلكترون

$$(IV-22) \quad m_0 = \frac{2q^2}{3c^2 r_0}$$

وتسمى  $m_0$  «كتلة الإلكترون الكهرمغناطيسية». ولكن هذا التحديد لا يحمل أي معنى عملي إلا إذا كان قياس شعاع الإلكترون  $r_0$  ممكناً. كما يمكن أن نعتبر العلاقة (IV-22) تحديداً للشعاع  $r_0$  تبعاً لقيم  $q$  و  $m_0$ .

$$(IV-23) \quad r_0 = \frac{2q^2}{3c^2 m_0} \simeq 1.9 \times 10^{-13}$$

وبالتحديد يمثل  $r_0$  شعاع الجسيم إذا اعتبرنا أن كل كتلته ذات أصل كهرمغناطيسي. ونعلم أن هذه المسافة تحدد منطقة من الفضاء حيث لا يمكن كتابة القواعد العادية للكهرمغناطيسية الا ببعض التحفظات.



ومن جهة ثانية يمكن أن نحسب طاقة الجسيم وهو ساكن استناداً الى المعادلة (IV-6) باعتبارها الطاقة الاجمالية للمجال الكهرومغناطيسي فنجد:

$$(IV-24) \quad U_0 = \frac{1}{8\pi} \int_V e^2 dV = \frac{1}{8\pi} \int_{r_0}^{\infty} \frac{q^2}{r^4} \cdot 4\pi r^2 dr = \frac{q^2}{2r_0} .$$

وإذا قارنا النتائج (IV-22) و (IV-24) نحصل على العلاقة

$$(IV-25) \quad m_0 = \frac{4}{3} \frac{U_0}{c^2} .$$

التي تربط بين كتلة وطاقة الجسيم في حال السكون.

يجب الا نفاجاً بالفرضية القائلة بأن لكتلة الجسيم جذوراً كهرومغناطيسية إذ إن حركة الجسيم تولد مجالاً مغناطيسياً. فإذا خففنا سرعته مثلاً ينتج عن تغيرات المجال المغناطيسي مجال كهربائي يسبب حسب قواعد التحريض المعروفة تسريعاً acceleration للجسيم. فتخفيف سرعة الإلكترون يولد إذاً قوى عطالية تعود بسببها الى التحريض الكهرومغناطيسي.

غير أن فرضية الجذور الكهرومغناطيسية للكتلة التي تبدو معقولة لا يمكن تأكيدها (أو رفضها) تجريبياً. إذ إن ذلك يتطلب قياساً للشعاع  $r_0$ . ومن جهة ثانية فإن المعامل  $4/3$  في المعادلة (IV-25) هو اعتباطي لأنه يتركز على فرضية معينة لتوزيع الشحنة الكهربائية داخل الإلكترون.

ولقد استبدلت لاحقاً نظرية أبراهام عن الإلكترون الصلب بنظرية بوشير Bücherer ولورنتز عن الإلكترون ذي الشكل المتبدل، إذا افترضنا أن الإلكترون المتحرك بسرعة  $v$  يتقلص باتجاه الحركة بالنسبة  $\frac{1}{\sqrt{1-\beta^2}}$  حيث  $\beta = \frac{v}{c}$ . وهذه الفرضية التي أوحى بها نتائج تجربة ميكلسون Michelson وثيقة الصلة بمفاهيم النسبية الخاصة. ولن نحاول تحليلها هنا إذ إننا سنخلص إليها لاحقاً بطريقة أكثر إقناعاً. (انظر المقطع II من الفصل الخامس). نشير هنا فقط الى حد تختلف نتائج لورنتز عن نتائج أبراهام.

لنفترض أن الإلكترون يتحرك باتجاه oz بسرعة  $v$  وأن كثافة الشحن بداخله هي  $\rho_0(X, Y, Z)$  إذا كان ساكناً. لدى الحركة تصبح هذه الكثافة:

$$(IV-26) \quad \rho(xyz) = \frac{1}{\sqrt{1-\beta^2}} \rho_0 \left( x, y, \frac{z}{\sqrt{1-\beta^2}} \right)$$

تقود هذه الفرضية الى أن كثافة الزخم الكهرمغناطيسي باتجاه oz هي:

$$(IV-27) \quad p_z^{(r)} = \frac{v}{4\pi c^2 \sqrt{1-\beta^2}} (e_x^2 + e_y^2)$$

ويحساب مشابه لما سبق نجد أن الزخم الإجمالي هو:

$$(IV-28) \quad P^{(r)} = \frac{v}{4\pi c^2 \sqrt{1-\beta^2}} \int_{r_0}^{\infty} \frac{2}{3} \frac{q^2}{r^4} \cdot 4\pi r^2 dr = \frac{2}{3} \frac{v}{c^2} \frac{q^2}{r_0 \sqrt{1-\beta^2}}$$

مما يعني أنه يجب استبدال الصيغة  $P = m_0 v$  للزخم بالصيغة

$$(IV-29) \quad p^{(r)} = \frac{m_0 v}{\sqrt{1-\beta^2}}$$

شرط أن نضع كما في (IV-25)

$$(IV-25) \quad m_0 = \frac{2}{3} \frac{q^2}{c^2 r_0} = \frac{4}{3} \frac{U_0}{c^2}$$

ثبتت التجربة صحة الصيغة (IV-29) وليس  $P = m_0 v$  المستخلصة من فرضية أبراهام. فإذا أعدنا النظر بانحراف جسيمات مشحونة في مجال كهربائي ومغناطيسي مشترك وإذا افترضنا صحة صيغة لورنتز (IV-29) نجد أن الجسيمات تتوزع على الخط

$$(IV-30) \quad \frac{y^2}{x} = \frac{1}{2} \frac{e}{m} \frac{H^2}{c^2} \frac{\ell^2}{E} \sqrt{1 - \left( \frac{v^2}{c^2} \right)}$$

يزداد افتراق هذه الصيغة عن مثيلتها  $\frac{y^2}{x} = \frac{1}{2} \frac{e}{m} \frac{H^2}{c^2} \frac{\ell^2}{E}$  المبنية على العلاقة  $P = m_0 v$  كلما اقتربت سرعة الجسيم من سرعة الضوء. وتتفق النتائج التجريبية تماماً مع الصيغة (IV-30) (أنظر المقطع 2 من الفصل العاشر).

ومن جهة ثانية إذا كان الإلكترون تحت تأثير قوة  $F$  نجد استناداً الى الصيغة (IV-29).

$$(IV-31) \quad P = v/(v^2) \quad \text{مع} \quad F = \frac{d p}{d t}$$

فإذا جزأنا  $F$  الى مركبة باتجاه  $v$  ومركبة متعامدة مع  $v$  نجد

$$(IV-32) \quad F = F_\ell + F_t = \frac{d v}{d t} f(v^2) + 2v f'(v^2) \cdot v \cdot \frac{d v}{d t}$$

أي:

$$(IV-33) \quad F_\ell = \left( \frac{d v}{d t} \right)_\ell [f(v^2) + 2v^2 f'(v^2)] = \left( \frac{d v}{d t} \right)_\ell \frac{d P}{d v}$$

$$(IV-34) \quad F_t = \left( \frac{d v}{d t} \right)_t f(v^2) = \left( \frac{d v}{d t} \right)_t \frac{P}{v}$$

فتكون المركبات الطولية والمستعرضة للقوة  $F_\ell$  و  $F_t$  متناسبة مع المركبات المماثلة للتسريع.

$$\gamma_t = \left( \frac{d v}{d t} \right)_t \quad \text{و} \quad \gamma_\ell = \left( \frac{d v}{d t} \right)_\ell$$

شرط أن نستعمل كتلة عطالية مختلفة في كل حالة. لذلك يمكن أن نحدد «الكتلة الطولية» بـ:

$$(IV-35) \quad m_\ell = \frac{d P}{d v} = \frac{m_0}{(1 - \beta^2)^{3/2}}$$

والكتلة المستعرضة» بـ:

$$(IV-36) \quad m_t = \frac{P}{v} = \frac{m_0}{\sqrt{1 - \beta^2}}$$

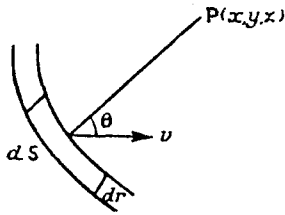
في الواقع ستغير النسبية الخاصة هذه النتائج لأن القوة لن تحدد بالصيغة  $F = m\dot{v}$  كما سنرى. وتبقى علاقة لورنتز (IV-29) التي تؤكدتها التجربة وحدها صحيحة مع النسبية الخاصة. غير أنه لن يكون لها التأويل الذي أعطي لها هنا. فقد ظن أولاً أن الكتلة الكهرمغناطيسية المحددة بالعلاقة (IV-25) تتغير وحدها مع السرعة بينما الكتلة الميكانيكية تبقى بدون تغيير. وقد عقد الأمل على تجارب تصوير طيف spectrography الكتلة للفصل بين المساهمات الكهرمغناطيسية والمساهمات الميكانيكية في تكوين الكتلة.

وقد كان مفترضاً أن يؤدي تأكيد التجارب لصحة صيغة لورنتز الى الاستخلاص أن كل كتلة الجسيم لها أصل كهرومغناطيسي. عندئذ يجب استبعاد وجود كتلة ميكانيكية وزوجية أساسية

$\phi$  و  $A$  والتي ماكسويل وهرتز للكومون الذي يكونه في الوقت  $t$  وفي النقطة  $P(x, y, z)$  الجزء من الحجم  $dV = d\xi d\eta d\zeta$  الذي يحتوي على كثافة شحن كهربائية  $\rho(\xi, \eta, \zeta, t - \frac{r}{c})$  وكثافة تيار  $\rho v(\xi, \eta, \zeta, t - \frac{r}{c})$  لحساب التكاملات (IV-42) و (IV-43) لدوال تحسب في أزمنة مختلفة  $t - \frac{r}{c}$  نستعمل الطريقة التالية التي اقترحها بلانك Planck. لنفترض أن كرة مركزها النقطة  $P(x, y, z)$  تصغر تدريجياً بحيث إن سطحها يخترق بالتوالي كل المنطقة  $dV$ . يمر هذا السطح في الزمن  $t - \frac{r}{c}$  في النقطة  $M(\xi, \eta, \zeta)$  حيث الكثافة  $\rho$  وشدة التيار  $\rho v$ . يجمع هذا السطح بالتوالي مساهمات مختلف المناطق في الفضاء للكومون المكون في النقطة  $P$ .

بين الأوقات  $\tau$  و  $\tau + d\tau$  يكون شعاع هذه الدائرة بين  $r = c(t - \tau)$  و  $r' = r - cd\tau$ . لناخذ الجزء من الحركة الكروية ذي السماكة  $dr$  والمساحة  $ds$  (أنظر الرسم 12) تحمل الحلقة الكروية الشحنة الكهربائية<sup>(9)</sup>.

$$(IV-44)_1 \quad \int \rho(x, y, z, \tau) ds dr$$



ولكن هذه الشحن تتحرك بسرعة  $v$  سواء نحو داخل الكرة أو خارجها. والشحنة التي تخترق سطح الكرة خلال الوقت  $d\tau$  هي:

الشكل 12- طريقة حساب دالتي ماكسويل-هرتز للكومون

$$(IV-44)_2 \quad \int \rho ds \cdot v \cos \theta \cdot d\tau = \int \rho \frac{(\mathbf{v} \cdot \mathbf{r})}{r} ds d\tau = \int \rho \frac{(\mathbf{v} \cdot \mathbf{r})}{cr} ds dr.$$

فتكون الشحنة الكهربائية التي جمعها السطح الكروي المتحرك خلال الوقت  $d\tau$

(9) التكامل (IV-44) لا يتغير كثيراً بين الوقت  $t$  والوقت  $\tau + d\tau$  وينعدم هذا التغير في الحدود  $dr \rightarrow 0$ .

الفرق بين (IV-44)<sub>1</sub> و (IV-44)<sub>2</sub> أي

$$(IV-45) \quad q = \int \rho \left[ 1 - \frac{(\mathbf{v} \cdot \mathbf{r})}{cr} \right] ds dr$$

ولكن الصيغة

$$(IV-46) \quad \rho \left[ 1 - \frac{(\mathbf{v} \cdot \mathbf{r})}{cr} \right]$$

تمثل الشحنة dq الموجودة داخل الحجم  $dV = ds dr$  شرط أن تكون المساحة ds كبيرة جداً بالمقارنة مع dr. في هذه الحالة يكون تدفق الشحن خلال dr صغيراً جداً بالمقارنة مع التدفق خلال ds مما يعني أن:

$$(IV-47) \quad \rho dV = \frac{dq}{1 - \frac{(\mathbf{v} \cdot \mathbf{r})}{cr}}$$

فتكتب الصيغ (IV-42) و (IV-43) كما يلي:

$$(IV-48) \quad A = \frac{1}{c} \int \frac{v dq}{\left[ r - \frac{(\mathbf{v} \cdot \mathbf{r})}{c} \right]_{t - \frac{r}{c}}}$$

$$(IV-49) \quad \phi = \int \frac{dq}{\left[ r - \frac{(\mathbf{v} \cdot \mathbf{r})}{c} \right]_{t - \frac{r}{c}}}$$

وإذا كانت الشحنة الكهربائية صغيرة جداً تكون الكميات  $r - \frac{\mathbf{v} \cdot \mathbf{r}}{c}$  تقريباً ثابتة في المنطقة التي حجمها  $r_0^3$  تقريباً. فيمكن عندئذ أن نكتب

$$(IV-50) \quad A = \frac{qv}{c \left[ r - \frac{\mathbf{v} \cdot \mathbf{r}}{c} \right]_{t - \frac{r}{c}}}$$

$$(IV-51) \quad \phi = \frac{q}{c \left[ r - \frac{\mathbf{v} \cdot \mathbf{r}}{c} \right]_{t - \frac{r}{c}}}$$

تسمى هاتان الدالتان للكمون الذي يكوّنه الإلكترون دالتي لينارد - فيشرت

Liénard Wiechret. وتتيح هاتان الصيغتان حساب المجالات الكهرمغناطيسية باستعمال العلاقتين.

$$(IV-52) \quad E = - \text{grad } \phi - \frac{1}{c} \frac{\partial A}{\partial t}$$

$$(IV-53) \quad H = \text{curl } A$$

فتجد الصيغ التالية<sup>(10)</sup> إنطلاقاً من المعادلتين (IV-50) و (IV-51)

$$(IV-54) \quad E = E_1 + E_2 \quad H = H_1 + H_2$$

حيث:

$$(IV-55) \quad E_1 = \frac{a(1 - \beta^2)}{\left(r - \frac{\mathbf{r} \cdot \mathbf{v}}{c}\right)^2} \left(\mathbf{r} - \mathbf{v} \frac{r}{c}\right), \quad H_1 = \frac{\mathbf{v}}{c} \wedge E_1$$

$$(IV-56) \quad E_2 = \frac{q}{\left(r - \frac{\mathbf{r} \cdot \mathbf{v}}{c}\right)^3 c^2} \left[\mathbf{r} \wedge \left(\mathbf{r} - \frac{\mathbf{v}}{c} r\right) \wedge \frac{\partial \mathbf{v}}{\partial t}\right], \quad H_2 = \frac{\mathbf{r}}{r} \wedge E_2$$

يرمز المجالان  $E_1$  و  $H_1$  الى مجالي الإلكترون إذا كانت سرعته ثابتة إذ يكون هذا الإلكترون مجالين ينقلهما معه. بينما المجالان  $E_2$  و  $H_2$  يتعلقان فقط بحالات السرعة المتغيرة فيرتبطان إزداً بظواهر التسريع أو كبح السرعة. نشير الى أن  $E_2$  و  $H_2$  يتناقضان مثل  $\frac{1}{r}$  على مسافة بعيدة عن الشحنة بينما  $E_1$  و  $H_1$  يتناقضان أسرع من ذلك مثل  $1/r^2$  مما يعني أن  $E_2$  و  $H_2$  هما الغالبان بعيداً عن الشحنة الكهربائية. نشير أيضاً الى أن  $E_2$  و  $H_2$  متعامدان على اتجاه الإنتشار  $\mathbf{r}$  وهي خصائص مميزة للموجة الكهرمغناطيسية الكروية المرتبطة بالحركات المسرعة للشحن الكهربائية.

لدى دراستنا لنظرية ماكسويل أخذنا بعين الاعتبار خصائص الإلكترونات مما أتاح لنا تفسير ظواهر استقطاب الأجسام الكهرونافاذة وتمغنط الأجسام المغناطيسية. من المؤكد أن نظرية ماكسويل تبدو أكثر وضوحاً إذا استُخلصت خصائص الأجسام الكهرونافاذة والمغناطيسية من خصائص الشحن والتيارات. غير أن النظريات الكاملة لظواهر الإستقطاب والتمغنط لا بد أن تدخل فيها حركة الإلكترونات داخل

(10) إرجع مثلاً إلى الصفحة 72 من [1] R. BECKER.

الذرات. ولكن هذه المسائل التي بحثت في البدء استناداً الى نماذج كلاسيكية للإلكترونات مرتبطة بالنواة بقوى مرنة لا يمكن دراستها فعلاً إلا في نطاق الميكانيك الكومومي. سنكتفي هنا باستخلاص نظرية ماكسويل من مبادئ نظرية لورنتز.

#### 4 - معادلات القيم الوسطية ونظرية ماكسويل العيانية.

تنطبق المعادلات (IV-1) و (IV-2) و (IV-3) و (IV-4) على المجالين الجهريين  $h$  و  $e$  خارج الإلكترونات وداخلها كما يفترض لورنتز. تنطبق هنا هذه المعادلات في منطقة كبيرة الى درجة احتواء عدد كبير من الجزيئات ولكنها صغيرة الى درجة يمكن فيها اعتبار المجالات  $E$  و  $H$  و  $D$  و  $B$  لا تتغير من نقطة الى أخرى في هذه المنطقة. إذ إن هذه المجالات تتغير ببطء على مسافات تضاهي شعاع الجزيئات. بهذه الحالة يمكن أن نستبدل التغيرات heterogeneity الجهري من نقطة الى أخرى بالتواصل الظاهري.

لحساب القيمة الوسطية لكمية فيزيائية  $A$  في النقطة  $P(x, y, z)$  والوقت  $t_1$  نحيط هذه النقطة بكرة صغيرة شعاعها  $a$  وحجمها  $V$ . فتكون القيمة الوسطية

$$(IV-57) \quad \bar{A} = \frac{1}{2\tau} \frac{1}{V} \int_{-\tau}^{+\tau} \int_V A(x + \xi, y + \eta, z + \zeta, t + \theta) d\xi d\eta d\zeta d\theta$$

حيث يحسب التكامل داخل الكرة وفي الفترة الزمنية  $t - \tau, t + \tau$ . ويمكن أن نثبت أن مشتق القيمة الوسطية هو القيمة الوسطية للمشتق أي:

$$(IV-58) \quad \frac{\partial \bar{A}}{\partial t} = \bar{\frac{\partial A}{\partial t}}, \quad \frac{\partial \bar{A}}{\partial x^p} = \bar{\frac{\partial A}{\partial x^p}}$$

هكذا يمكننا أن نكتب انطلاقاً من المعادلات الجهرية (IV-1) حتى (IV-4) المعادلات التالية للقيم الوسطية

$$(IV-59) \quad \text{curl } \bar{H} - \frac{1}{c} \frac{\partial \bar{E}}{\partial t} = \frac{4\pi}{c} \bar{\rho v}$$

$$(IV-60) \quad \text{curl } \bar{E} + \frac{1}{c} \frac{\partial \bar{H}}{\partial t} = 0$$

$$(IV-61) \quad \text{div } \bar{E} = 4\pi \bar{\rho}$$

$$(IV-62) \quad \text{div } \bar{H} = 0.$$

شرط ألا يكون الجسم قليل الكثافة (متخلخل) rarefied والا يكون طول الموجة قصيراً جداً.

## 5 - تأويل المجالات في نظرية ماكسويل المعادلات الكهرومغناطيسية في حالة الأجسام الساكنة.

لنفترض أن الجسم ساكن بالنسبة إلى الأثير وأن سرعة الإلكترونات بالنسبة إلى هذا الجسم الساكن هي  $v$ .

أ - في حالة الأجسام الناقلة تكون كثافة الشحن  $\rho$  وكثافة تيار النقل الكهربائي  $I$  حسب المعادلات

$$(IV-63) \quad \rho = (\bar{\rho})_1 = nq$$

$$(IV-64) \quad I = (\overline{\rho v})_1 = nqv \quad \left( n = \frac{N}{V} \right)$$

ويكون تيار النقل نتيجة لوجود الإلكترونات الحرة في المعدن.

ب - في الأجسام الكهروناقلة لا ينتج عن حركة الإلكترونات أية شحنة إضافية إجمالية للجزيء بل يكتسب عزمًا كهربائياً ثنائي القطب (المقطع 10 من الفصل الأول) مما يعطي الجسم كثافة استقطاب.

$$(IV-65) \quad P = nqd.$$

وهذا الاستقطاب يكون شحنة  $\int P_n dS$  على سطح الجزيء، وكما رأينا في الفصل الأول توازن هذه الشحنة السطحية الشحنة  $\int \rho' dV$  - ذات الكثافة  $\rho'$  داخل الجزيء. نجد إذاً:

$$(IV-66) \quad \int P_n dS = \int \text{div } P dV = - \int \rho' dV.$$

مما يعني أن هناك شحنة كهربائية إضافية بكثافة حجمية

$$(IV-67) \quad \rho' = (\bar{\rho})_2 = - \text{div } P.$$

ومن جهة ثانية إذا تغيرت كثافة الإستقطاب  $P$  مع الوقت يتولد تيار تحريض

$$(IV-68) \quad (\overline{\rho v})_2 = \frac{\partial P}{\partial t}.$$

فالكثافات  $(\bar{\rho v})_2$  و  $(\bar{\rho})_2$  تمثل مساهمة الشحن الكهربائية الموجودة في الجسم



الكهرونافذ (العازل). وتسمى هذه «الشحن الوهمية» وتنتج عن الإلكترونات المقيدة في الجسم الكهرونافذ.

ج - أخيراً هناك عدد من الجزيئات ذات عزم مغناطيسي يمكن تفسيره في النظريات الكمومية. ينتج عن ذلك كثافة تمغنط.

$$(IV-69) \quad M = nm$$

حيث  $m$  هو العزم المغناطيسي لكل جزيء يشبه لوحة مغناطيسية بتيار حمل  $J'$  داخل الجزيء بحيث إن

$$(IV-70) \quad \int m_1 d\ell = J'$$

أي:

$$(IV-71) \quad \int \text{curl } \mathbf{m} dS = \int J' dS$$

مما يعني أن

$$(IV-72) \quad \text{curl } \mathbf{m} = J'.$$

هكذا يمكن أن نحدد تيار حمل داخل الجسم المغناطيسي بـ:

$$(IV-73) \quad (\overline{\rho v})_3 = nJ' = c \text{ curl } M$$

حيث استعملنا نظام الوحدات المختلط. نجد إذاً القيم الوسطية التالية

$$(IV-74) \quad \overline{\rho} = (\overline{\rho})_1 + (\overline{\rho})_1 + (\overline{\rho})_2 = \rho - \text{div } P$$

$$(IV-75) \quad \overline{\rho v} = (\overline{\rho v})_1 + (\overline{\rho v})_2 + (\overline{\rho v})_3 = I + \frac{\partial P}{\partial t} + c \text{ curl } M$$

لنحدد المجالين العيانيين  $E$  و  $B$  بأنهما

$$(IV-76) \quad \overline{E} = E, \quad \overline{H} = B,$$

فنكتب المعادلات من (IV-59) الى (IV-62) إذا استعملنا القيم الوسطية.

$$(IV-77) \quad \text{curl } B - \frac{1}{c} \frac{\partial E}{\partial t} = 4\pi \left( \frac{I}{c} + \frac{\partial P}{c \partial t} + \text{curl } M \right)$$

$$(IV-78) \quad \text{curl } \mathbf{E} = - \frac{1}{c} \frac{\partial \mathbf{B}}{\partial t}$$

$$(IV-79) \quad \text{div } \mathbf{E} = 4\pi\rho - 4\pi \text{ div } \mathbf{P}$$

$$(IV-80) \quad \text{div } \mathbf{B} = 0.$$

لنحدد الآن المجالين  $\mathbf{D}$  و  $\mathbf{H}$  بأنهما

$$(IV-81) \quad \mathbf{D} = \mathbf{E} + 4\pi\mathbf{P}$$

$$(IV-82) \quad \mathbf{H} = \mathbf{B} - 4\pi\mathbf{M}.$$

فنكتب المعادلتين (IV-77) و (IV-79) كما يلي:

$$(IV-83) \quad \text{curl } \mathbf{G} = 4\pi \frac{\mathbf{I}}{c} + \frac{1}{c} \frac{\partial \mathbf{D}}{\partial t}$$

$$(IV-84) \quad \text{div } \mathbf{D} = 4\pi\rho$$

وتكون المعادلات (IV-78) و (IV-80) و (IV-83) و (IV-84) مطابقة تماماً لمعادلات ماكسويل العيانية (مجموعات المعادلات (I) و (II) في الفصل الثالث). ولا بد من الإشارة إلى أن المجال الكهربائي  $\mathbf{E}$  ومجال التحريض المغنطيسي  $\mathbf{B}$  (ليس المجال المغنطيسي  $\mathbf{H}$ ) يحددان مباشرة بالقيم الوسطية للمجالات المجهريّة. لذلك يجب اعتبار مجال التحريض المغنطيسي  $\mathbf{B}$  بأنه النّد للمجال الكهربائي  $\mathbf{E}$ .

## 6 - نظرية لورنتز والتحرك الكهربائي للأجسام المتحركة

لنفترض الآن أن المادة تتحرك بسرعة  $u$  نعتبرها ثابتة (لا تتغير من نقطة إلى أخرى على مسافات تضاهي كبر الجسيمات). فإذا كانت السرعة  $u$  تقل كثيراً عن سرعة الضوء<sup>(11)</sup>.

$$(IV-85) \quad u \ll c$$

نستطيع أن نطبق قاعدة جمع السرعة كما في الميكانيك الكلاسيكي فنجد:

$$(IV-86) \quad \mathbf{v} = \mathbf{u} + \mathbf{v}'$$

(11) وهذا هو حال سرعة الأرض على مدارها حول الشمس 30 كلم/ث.

$$(IV-87) \quad \overline{\rho v} = \overline{\rho u} + \overline{\rho v'}$$

تكتب كثافة التيار  $\overline{\rho v}$  كما رأينا أعلاه بالصيغة التالية:

$$(IV-88) \quad \overline{\rho v'} = (\rho v')_1 + (\rho v')_2 + (\rho v')_3 = I' + \frac{d\rho'}{dt} + c \operatorname{curl} M'$$

شرط أن نقيس  $I'$  و  $\frac{\partial P'}{\partial t}$  و  $\operatorname{curl} M'$  بواسطة أجهزة منتقلة مع المادة المتحركة. ولكن تيار التحريض  $(\overline{\rho v'})_2 = \frac{d\rho'}{dt}$  يحدد بالتكامل

$$(IV-89) \quad \int_S (\overline{\rho v'})_n dS = \frac{d}{dt} \int_S P_n dS$$

فنجد استناداً الى القواعد العادية لحساب المتجهات<sup>(12)</sup>

$$(IV-90) \quad \frac{d}{dt} \int_S P'_n dS = \int_S \left( \frac{\partial P'}{\partial t} + \operatorname{curl} [P' \wedge u] + u \operatorname{div} P' \right)_n dS.$$

مما يعني أن:

$$(IV-91) \quad (\overline{\rho v'})_2 = \frac{dP'}{dt} = \frac{\partial P'}{\partial t} + \operatorname{curl} [P' \wedge u] + u \operatorname{div} P'.$$

(12) لإثبات ذلك ننطلق من العلاقة:

$$(1) \quad \frac{d}{dt} \int P_n dS = \int \frac{\partial P_n}{\partial t} dS + \int \frac{P_n}{dt} [(dS)_{t+dt} - (dS)_t]$$

لنطبق قاعدة غرين للحجم الذي يحده السطح  $d\Sigma$  المؤلف من السطح  $(dS)_{t+dt}$  والسطح  $(dS)_t$  والسطح الجانبي الذي هو مجموع السطوح الصغيرة  $d\sigma = dl \wedge u dt$  التي تشكلها الأجزاء  $dl$  من محيط  $dS$  عند حركتها بسرعة  $u$  خلال الوقت  $dt$ . فنجد:

$$(2) \quad \int P_n (dS)_{t+dt} - \int P_n (dS)_t + \int P \cdot [dl \wedge u dt] = \int \operatorname{div} P dV$$

أي:

$$(3) \quad \int P_n (dS)_{t+dt} - \int P_n (dS) = \int \operatorname{div} P dV + \int [P \wedge lu] dl dt \\ = dt \int u \operatorname{div} P dS + dt \int \operatorname{curl} [P \wedge u] dS$$

فإذا استعملنا نظرية ستوكس Stokes لحساب الحد الأخير وأحللنا الصيغة (3) في المعادلة (1) نحصل على المعادلة (IV-90).

فتكتب معادلتا القيم الوسطية (IV-59) و (IV-61) بالصيغ

$$(IV-92) \quad \text{curl } \mathbf{B} - \frac{1}{c} \frac{\partial \mathbf{E}}{\partial t} = \frac{4\pi}{c} \left( \mathbf{I} + \frac{\partial \mathbf{p}'}{\partial t} + \text{curl} [\mathbf{p}' \wedge \mathbf{u}] \right. \\ \left. + \mathbf{u} \text{ div } \mathbf{P}' + c \text{ curl } \mathbf{M}' + \overline{\rho \mathbf{u}} \right)$$

$$(IV-93) \quad \text{div } \mathbf{E} = 4\pi\rho - 4\pi \text{ div } \mathbf{p}'$$

حيث  $\mathbf{P}'$  و  $\mathbf{M}'$  تمثلان كثافتي الاستقطاب والتمغنت المرتبطتين بهيكل الإسناد المتحرك مع المادة. فإذا وضعنا

$$(IV-94) \quad \mathbf{D} = \mathbf{E} + 4\pi\mathbf{P}'$$

$$(IV-95) \quad \mathbf{H} = \mathbf{B} - 4\pi\mathbf{M}'$$

يمكن أن نكتب

$$(IV-96) \quad \text{curl } \mathbf{H} - \frac{1}{c} \frac{\partial \mathbf{D}}{\partial t} = \frac{4\pi}{c} \left( \mathbf{I} + \rho \mathbf{u} + \text{curl} [\mathbf{P}' \wedge \mathbf{u}] \right)$$

$$(IV-97) \quad \text{div } \mathbf{D} = 4\pi\rho.$$

لأنه استناداً الى المعادلة (IV-74) يمكن أن نكتب

$$(IV-98) \quad \overline{\rho \mathbf{u}} = \rho \mathbf{u} - \mathbf{u} \text{ div } \mathbf{P}'.$$

لنحدد الآن الكثافتين  $\mathbf{P}$  و  $\mathbf{M}$  في هيكل إسناد المشاهد بالصيغ التالية

$$(IV-99) \quad \mathbf{M}' - \mathbf{M} = - \left[ \frac{\mathbf{P}' \wedge \mathbf{u}}{c} \right]$$

$$(IV-100) \quad \mathbf{P}' - \mathbf{P} = \left[ \frac{\mathbf{M}' \wedge \mathbf{u}}{c} \right]$$

فنستطيع أن نحدد المجال المغنطيسي  $\mathbf{H}_1$  الذي يرتبط بالمجال  $\mathbf{B}$  وكثافة التمغنت

$M$  وأن نحدد مجال التحريض الكهربائي  $D_1$  الذي يرتبط بالمجال الكهربائي  $E$  وكثافة الإستقطاب  $P$  بالعلاقتين المعروفتين

$$(IV-101) \quad B = H_1 + 4\pi M$$

$$(IV-102) \quad D_1 = E + 4\pi P$$

فتأخذ المعادلتان (IV-83) و (IV-84) الصيغة التالية

$$(IV-103) \quad \text{curl } H_1 - \frac{1}{c} \frac{\partial D}{\partial t} = \frac{4\pi}{c} (I + \rho u)$$

$$(IV-104) \quad \text{div } D = 4\pi \rho.$$

لقد حصل مينكوفسكي Minkowski على هاتين المعادلتين بطريقة مختلفة. لكن المجال  $H_1$  والكثافة  $P'$  يمثلان المجال المغنطيسي وكثافة الإستقطاب بالنسبة للمُشاهد الثابت في نظرية مينكوفسكي ويلعب هذا الدور المجال  $H$  وكثافة الإستقطاب  $P$  في نظرية لورنتز ولكن الفرق بين  $H$  و  $H_1$  مثلاً هو

$$(IV-105) \quad H_1 - H = 4\pi (M' - M) = - \frac{4\pi}{c} [P' \wedge u]$$

وهي كمية صغيرة بالنسبة الى المجال ذاته إذا كانت السرعة  $u$  أقل بكثير من سرعة الضوء  $c \gg u$ .

قوة لورنتز: تُكتب قوة لورنتز تبعاً للمجالين الجهريين  $e$  و  $h$  بالصيغة

$$(IV-106) \quad \boxed{f = q \left( e + \frac{1}{c} [v \wedge h] \right)}$$

فإذا استعملنا القيم الوسطية ثم المجالين  $E$  و  $B$  استناداً الى المعادلتين (IV-76) نجد

$$(IV-107) \quad f = q \left( E + \frac{1}{c} [v \wedge B] \right)$$

وإذا استعملنا قاعدة جمع السرعة (IV-86) نجد

$$(IV-108) \quad f = q \left( E + \frac{1}{c} [u \wedge B] + \frac{1}{c} [v' \wedge B] \right).$$

لنفترض أن الشحنة  $q$  تجرها المادة بحركتها ( $v' = 0$ ) فتظهر كأنها في مجال كهربائي  $E'$  مرتبط بهيكل الاسناد المتحرك بقيمة محددة بالمعادلة

$$(IV-109) \quad f = q E' = q \left( E + \frac{1}{c} (u \wedge B) \right).$$

مما يعني أن

$$(IV-110) \quad E' = E + \frac{1}{c} [u \wedge B].$$

ولكننا نستطيع دائماً أن نكتب في هيكل الإسناد المتحرك

$$(IV-111) \quad D' = \epsilon E' = E' + 4\pi P'$$

أي:

$$(IV-112) \quad P' = \frac{\epsilon - 1}{4\pi} E'.$$

وباستعمال (IV-110) نجد

$$(IV-113) \quad P' = \frac{\epsilon - 1}{4\pi} \left[ E + \frac{1}{c} [u \wedge B] \right].$$

لننظر في الحالة الخاصة لجسم غير مغناطيسي. إستناداً إلى العلاقة (IV-100) مع  $M' = 0$  نجد  $P' = P$ . ومن معادلات لورنتز (IV-94) و (IV-96) نستنتج أن

$$(IV-114) \quad \text{curl } B = \frac{1}{c} \frac{\partial E}{\partial t} + \frac{4\pi}{c} (I + \rho u + \frac{\partial P}{\partial t} + \text{curl } [P \wedge u])$$

وتكون كثافة التيار الإجمالية الناتجة عن حركة الجسم الكهرونافذ المشحون (باستعمال المعادلتين (IV-91) و (IV-114)).

$$(IV-115) \quad I + \rho u + \frac{\delta p}{\delta t} + \text{curl } [P \wedge u] = u (\rho - \text{div } P) + \frac{dP}{dt} + I.$$

وإذا حصرنا اهتمامنا بالحالات الدائمة كما هي الحال في تجارب رونتغن وإيشنوالد تصبح كثافة تيار الحمل في التجربة الأولى التي يتحرك بها الجسم الكهرونافذ مع اللوحتين المعدنيتين

$$(IV-116) \quad u (\rho - \text{div } P)$$

أما في التجربة الثانية التي يكون فيها الجهاز بكامله ساكناً مع تيار توصيل، تكون كثافة التيار  $I$ . فإذا عملنا لجعل هذين التيارين متساويين (بتغيير مقاومة الدائرة الخارجية) نجد:

$$(IV-117) \quad i = \int_S u (\rho - \text{div } P) dS.$$

وإذا استعملنا المعادلة (III-108) ومعطيات الرسم 11 يكون التيار الإجمالي  $i = \int IdS$  مجموع تيار الحمل

$$(IV-118) \quad i_1 = \int u p dS_1 = u p \cdot ad = au \sigma_p = au \frac{\epsilon E}{4\pi}$$

وتيار رونتنغن

$$(IV-119) \quad i_2 = - \int u \text{div } P \cdot dS_2 = - \int u \text{div } P \text{ adx} \\ = - au \int \frac{\partial P}{\partial x} dx = - au |P|$$

حيث  $P$  متوازية مع محور الدوران في معادلة إيشنوالد. فنجد إذاً باستعمال (IV-112)

$$(IV-120) \quad i_2 = - au \frac{(\epsilon - 1)}{4\pi} E.$$

ويكون التيار الإجمالي بشدة:

$$(IV-121) \quad i = i_1 + i_2 = au \frac{E}{4\pi} = au \frac{V}{4\pi d}.$$

وهي مطابقة لنتيجة تجربة إيشنوالد. إن كثافة التيار الناتجة عن حركة جسم كهربائياً مستقطب هي

$$(IV-122) \quad I = - u \text{div } P = - u \frac{(\epsilon - 1)}{4\pi} E.$$

ويسمى أيضاً هذا التيار تيار رونتنغن. يجب إذاً أن نستبدل تيار الحمل  $i = - u$  بتيار رونتنغن  $\frac{a \epsilon}{4\pi} E$  في جميع التجارب التي يتحرك فيها جسم كهربائياً بسرعة قليلة ( $\frac{u}{c} \ll 1$ ). ويعني هذا أن نستبدل المجال  $E$  بالمجال

$$E' = \left(1 - \frac{1}{\epsilon}\right) E$$

وهذا ما أثبتته تجارب رونتنغن وايشنوالد وولسون.

إن استبدال المجال  $E$  بالمجال  $E'$  قد يعني الانسحاب الجزئي للمجالات (أي جر الأثير الكهرومغناطيسي) مع المادة المتحركة، فلتقي هكذا استنتاجات لورنتز مع فرضية فريزل عن الانسحاب الجزئي للأثير. في الواقع أن التفسير الذي تقترحه نظرية لورنتز يختلف عن ذلك تماماً. فإدخال المجال  $E'$  ما هو إلا طريقة ملائمة لتفسير المعادلة (IV-122) والتيار رونتنغن يرتبط باستقطاب الجسم الكهرونافذ حسب نظرية لورنتز. فالكثافتان  $P$  و  $M$  اللتان تميزان الأجسام الكهرونافذة والأجسام المغناطيسية هما اللتان يجرهما الجسم مع حركته بينما الأثير يبقى ساكناً تماماً. وسنعود إلى هذه النتيجة في دراستنا للنسبية الخاصة (المقطع الخامس من الفصل الخامس).

لقد نجحت نظرية ماكسويل - لورنتز باعطاء تفسير صحيح لتجارب كهترحريرية الأجسام المتحركة بسرعة قليلة أي تلك التي يمكن فيها أن نهمل  $u^2/c^2$  فإذا أخذنا بعين الاعتبار فقط الكميات المتناسبة مع  $u/c$  (الدرجة الأولى) يمكن أن نبقى على صيغة معادلات ماكسويل وجعلها متفقة مع فرضيات لورنتز في ما يتعلق بخصائص مصادر المجالات الكهرومغناطيسية.

ومن جهة ثانية تقود دراسة تركيب هذه المصادر إلى مفهوم الكتلة المتغيرة مع السرعة. هذا المفهوم المثبت تجريبياً يوحي بأن للكتلة جذوراً كهرومغناطيسية إذا استعملنا مفاهيم ما قبل النسبية، كأن تتحول خصائص المصادر إلى معطيات كهرومغناطيسية بحتة.

لقد نجحت نظرية ماكسويل - لورنتز عند اكمالها بالإبقاء على فكرة التفاعل المحلي والإنتشار بسرعة محدودة وبربط النظرية الكلاسيكية للمجالات بوجود المصادر. ومن جهة ثانية تبدو خصائص هذه المصادر كأنها معطيات ليست غريبة تماماً عن المجال. فتبدو كل الظواهر (ما عدا الجاذبية) كأنها تقتصر على تأثيرات كهرومغناطيسية حسب نظرية ماكسويل. والتوليف *synthesis* الذي حاولت عبثاً تحقيقه نظريات التفاعل عن بعد يجب أن يتمحور الآن حول مفهوم المجال. ومعادلات ماكسويل - لورنتز ذات الصيغة النسبية (قبل اكتشافات النسبية الخاصة) هي أساس نظرية كلاسيكية للمجال رغم بعض التأويلات التي تستند إلى مفاهيم ما قبل النسبية.



## تمارين

- 1 - يتحرك إلكترون في مجال مغناطيسي متسق H باتجاه oz:
- أ - إثبت أن المسار حلزوني spiral محوره باتجاه oz.
- ب - إسقاط هذا المسار على السطح المستوي xoy هو دائرة. إحسب شعاعها تبعاً لقيمة e/m والسرعة الابتدائية v والمجال H.
- ج - افترض أن السرعة الابتدائية هي باتجاه ox. إحسب الإنحراف deviation الحاصل على شاشة عمودية على ox وموضوعة على مسافة ℓ من مصدر الإلكترون.

الحل:

- 1 - استعمل صيغة لورنتز

$$f = e \left[ \frac{v}{c} \wedge H \right] \left( m\ddot{x} = \frac{e}{c} \dot{y}H, m\ddot{y} = -\frac{e}{c} \dot{x}H, \ddot{z} = 0 \right)$$

استعمل المتغيرة  $\xi = x + iy$  لكتابة المعادلة  $\ddot{\xi} = -i\omega \dot{\xi}$

مع  $\omega = \frac{eH}{mc}$  إثبت أن الحل هو

$$\dot{\xi} = \dot{\xi}_0 e^{-i\omega t}, \xi = \xi_0 + \frac{\dot{\xi}_0}{i\omega} (1 - e^{-i\omega t}).$$

- ب - إسقاط المسار على السطح المستوي xoy هو دائرة

$$x = x_0 + \frac{1}{\omega} (\dot{y}_0 [1 - \cos \omega t] + x_0 \sin \omega t),$$

$$y = y_0 - \frac{\dot{x}_0}{\omega} (1 - \cos \omega t) + \frac{\dot{y}_0}{\omega} \sin \omega t$$

شعاع الدائرة هو:

$$R = \frac{v}{\omega} = \frac{vmc}{eH} \quad \text{أو} \quad R^2 = \frac{\dot{x}_0^2 + \dot{y}_0^2}{\omega^2}$$

ج - من الصيغة  $(\dot{x} + i \dot{y}) = (\dot{x}_0 + i \dot{y}_0) e^{-i\omega t}$  إستنتج أن

$$\dot{x} = \dot{x}_0 \cos \omega t + \dot{y}_0 \sin \omega t \quad \dot{y} = \dot{y}_0 \cos \omega t - \dot{x}_0 \sin \omega t$$

في حالة السرعة الابتدائية باتجاه  $ox$  ( $\dot{x}_0 = v, \dot{y}_0 = 0$ ) تقود معادلات الحركة ( $m \frac{d^2 x}{dt^2} = 0, m \frac{d^2 y}{dt^2} = 0$ ) للإلكترون بعد خروجه من المجال المغنطيسي إلى

$$\frac{dx}{dt} = v \cos \omega t \approx v, \quad \text{و} \quad \frac{dy}{dt} = v \sin \omega t \approx v\omega t$$

أي:

$$x \approx vt \quad y = -\frac{v\omega t^2}{2} = \frac{v\omega}{2} \left(\frac{\ell}{v}\right)^2 = \frac{1}{2} \frac{e}{mc} \frac{H\ell^2}{v}$$

2 - أدرس مسار إلكترون في مجال كهربائي ومجال مغنطيسي متوازيين وعموديين على سرعته الابتدائية

$$(H = H_z, E = E_z, v = v_x).$$

3 - أدرس مسار الكترون في مجال كهربائي ومجال مغنطيسي متعامدين ( $E = E_x, H = H_y$ ). إثبت أن المسار هو دحروجي cycloidal اذا انطلق الإلكترون من أصل المحاور في الوقت  $t = 0$  بدون سرعة ابتدائية. (الدحروج هو خط منحني ترسمه نقطة في دائرة تتدحرج على سطح مستوي).

4 - يكون سيكلوترون cyclotron مجالاً مغنطيسياً بشدة 20 000 غاوس. ما هي السرعة الزاوية لدوران بروتون في هذا المجال؟

## الجزء الثاني

---

مبادئ ونتائج النسبية الخاصة

## مبدأ النسبية

### أ - مبدأ النسبية قبل أينشتاين

#### 1 - مبدأ النسبية في الميكانيك الكلاسيكي

يفترض علم تحريك (ديناميكا) نيوتن وجود فضاء مطلق «مستقل عن الأجسام الموجودة فيه» ووقت (زمن) مطلق universal يجري بطريقة متسقة Uniform. كون هذا الزمن مطلقاً يعني أن حركة هيكل الإسناد الفضائي لا تؤثر على المجرى الزمني للأحداث التي تحدث فيه. ومن الناحية العملية نعبر عن فرضية الزمن المطلق بكتابة تحويل الإحداثيات من هيكل إسناد إلى آخر بالصيغة

$$x_p = x'_p(x_q, t) \quad t' = t \quad p, q = 1, 2, 3.$$

أما مفهوم الفضاء المطلق فيبدو غامضاً. فإذا رجعنا إلى مبادئ الحركات الكلاسيكية يمكن أن ندرس حركة جسم صلب بالنسبة إلى هيكل إسناد يحدده جسم صلب آخر. ويمكن تبادل دور هذه الأجسام. فتكون معادلة الحركة النسبية واحدة إذا اخترنا أيّاً من هذه الأجسام الصلبة كهيكل إسناد. ففي الحركات الكلاسيكية تبادلية reciprocity كاملة في وصف حركة الأجسام وتخضع لمبدأ النسبية بأوسع معانيها. أما مفهوم الفضاء المطلق فيبدو بكل بساطة حاجة فكرية. فالفضاء المطلق هو الإطار الجامد الذي تجري فيه حركة الأجسام. ولكن لا يمكن تحديده عملياً بأي هيكل مميز. فهو ذو أهمية ما وراثية أو نفسية ولكنه لا يلعب أي دور في الحركات الكلاسيكية.

ولا يتخذ مفهوم الفضاء المطلق معنى فيزيائياً إلا في علم التحريك إذ يحد من صلاحية مبدأ النسبية. ويرتبط هذا المفهوم بإمكانية تحديد فئة مميزة من هياكل الإسناد وهي تلك التي تتحرك فيها الأجسام النقطية الحرة على خط مستقيم بسرعة ثابتة. هذه الهياكل تسمى «هياكل الإسناد العطالية» وإمكانية تحديد هذه الهياكل هي أساس مبدأ العطالة. فمفهوم الفضاء المطلق هو ضمانة لصحة مبدأ العطالة كما يقول أولر Euler.

عملياً ليس هناك الا هياكل إسناد عطالية بصورة تقريبية: فجردان المختبر هي هيكل إسناد عطالي للظواهر التي تجري فيه. وهيكل الإسناد الذي يكون أصل محاوره في مركز الكرة الأرضية وتكون محاوره باتجاه نجوم ثابتة هو هيكل إسناد عطالي (يُسمى هيكل إسناد غاليليو Galilean) للظواهر الأرضية. وباستعمال هذه الهياكل الإسنادية العطالية الخاصة والتقريبية تكونت قبل نيوتن الفكرة القائلة بوجود هيكل إسناد مثالي يكون فيه مبدأ العطالة صحيحاً بصورة دقيقة ومطلقة.

وإنطلاقاً من هيكل إسناد عطالي معين يمكن أن نحدد عدداً لا متناهياً من الهياكل العطالية. إذ إن كل هيكل إسناد يتحرك بالنسبة الى الهيكل الأول بسرعة ثابتة  $v$  هو هيكل إسناد عطالي. وترتبط الأحداثيات في هذه الهياكل بقاعدة تحويل غاليليو Galileo.

$$(V-1) \quad \boxed{x' = x - vt \quad t' = t.}$$

يتيح هذا التحويل حصر مبدأ النسبية في هياكل إسناد غاليليو (أي العطالية) فقط. فإذا كان جسم يتحرك على خط مستقيم وسرعة ثابتة بالنسبة الى المشاهد يمكن دائماً، بتحويل غاليليو مناسب، إيجاد هيكل إسناد عطالي يكون فيه الجسم ثابتاً. «يمكن أن يعتبر الجسم ذاته متحركاً أو ثابتاً وفقاً لطريقة تحديد موقعه» كما يقول ديكارت Descartes.

يتيح مبدأ العطالة إذاً أن نحدد في الميكانيك تكافؤ هياكل الإسناد العطالية المميزة أو بتعبير آخر نسبية السرعة. لكن مفاهيم هياكل الإسناد العطالية والحركة المتسقة ترتبط بحالة خاصة لا يتضح معناها الحقيقي إلا إذا اندمجت في علم تحريك نيوتن بشكل واضح.

يستند علم تحريك نيوتن الى تحديد القوة

$$(V-2) \quad f = m \frac{d v}{d t} = m \gamma$$

أو القانون الأشمل

$$(V-3) \quad f = \frac{d p}{d t} = \frac{d}{d t} (m v)$$

إذا كانت الكتلة  $m$  من الخواص الذاتية للجسيم النقطي المتحرك. حسب نيوتن يفسر دائماً ظهور التسريع بوجود حركة مطلقة: حركة مطلقة للمادة إذا كانت القوة حقيقية، أو حركة مطلقة لهيكل الاسناد إذا كانت القوة وهمية مثل قوة العطالة أو قوة كوريوليس Coriolis.

وتعني «صفة الوهمية» أن القوة يمكن إلغاؤها باختيار مناسب لهيكل الاسناد وأن تبديل الهيكل يعيد من جديد صلاحية قانون العطالة. في الواقع أن تطبيق قانون العطالة في الميكانيك ليس عملية سهلة كما يظن. فإذا لم يكن مطبقاً يمكن أن يعود ذلك الى اختيار سيء للهيكل وربما أيضاً الى وجود قوى نجهلها. يفترض ميكانيك نيوتن أنه يمكن دائماً تحديد الجسيم الحر أو بمعنى آخر تمييز القوى الحقيقية عن القوى الوهمية، وقد أظهر تحليل نظرية النسبية العامة عدم صحة هذه الفرضية.

إذا نجحنا بتعيين هيكل إسناد عطالي واحد يمكن أن نحصل على عدد لا متناه من هياكل الاسناد العطالية الأخرى حسب مبدأ النسبية. ويبقى القانون الأساسي لعلم التحريك على ما هو عليه إذا أجرينا تحويل غاليليو، ويحافظ على صيغته ذاتها في كل هياكل الاسناد العطالية.

## 2 - مبدأ النسبية في الكهرمغناطيسية

تشمل صلاحية مبدأ النسبية الميكانيك. ويمكن أن نتساءل إذا كان صالحاً في الأجزاء الأخرى من الفيزياء.

فقد طُرح هذا السؤال في البصريات كما يلي: لقد كان من البديهي حتى صياغة مبدأ النسبية الخاصة أن الموجة الكهرمغناطيسية المتناحية isotropic في جميع الجهات في هيكل إسناد معين لا يمكن أن تحافظ على هذا التناحي في هيكل ثان يتحرك بسرعة ثابتة  $v$  بالنسبة الى الهيكل الأول. ويعود ذلك الى قاعدة جمع السرعة في الميكانيك الكلاسيكي. فإذا كانت سرعة الموجة  $c$  في الهيكل الأول تصبح  $c \pm v$  في الهيكل الثاني إذا كانت تنتشر في اتجاه السرعة  $v$  أو في الإتجاه المعاكس. فالتناظر الكروي في جميع هياكل الاسناد يخالف إذاً مبدأ النسبية كما يصاغ في الميكانيك

الكلاسيكي. ويصبح من الممكن أن نستعمل تجربة ضوئية لتحديد الحركة الإجمالية لمصدر ومستقبل receiver الضوء بالنسبة إلى الأثير المفترض أنه ثابت. وإمكانية مخالفة الكهرمغناطيسية لمبدأ النسبية الكلاسيكية يعود مباشرة إلى كون معادلات ماكسويل لا تحافظ على صيغتها لدى استعمال تحويل غاليليو.

### 3 - الإمكانات التجريبية للكشف عن الحركة المطلقة بوسائل ضوئية

نقول إن انتقال جسم بالنسبة إلى الأثير بسرعة  $v$  يولد ظاهرة من الدرجة الأولى إذا كانت هذه الظاهرة تتغير مع السرعة المتناسبة مع  $\beta = \frac{v}{c}$  وتكون الظاهرة من الدرجة الثانية إذا كانت متناسبة فقط مع  $\beta^2$ . تتيح الوسائل التجريبية الضوئية بسهولة الكشف عن الظواهر من الدرجة الأولى ولا تتيح الكشف عن الظواهر من الدرجة الثانية إلا بصعوبة أكبر وفي بعض الحالات الخاصة فقط. إن سرعة الأرض على مسارها حول الشمس هي 30 كيلومتراً في الثانية. وخلال وقت قصير بالنسبة إلى مدة الدوران الكامل (أي سنة) يمكن أن نعتبر أن هذه الحركة على خط مستقيم وبسرعة ثابتة مع  $\beta = 1/10\ 000$

ونأمل أن نستطيع الكشف بوسائل ضوئية عن «رياح الأثير» المتحرك في السطح المستوي لهذا المسار، وبالتالي أن نحدد هيكل الاسناد المطلق الذي يكون فيه الأثير ساكناً. ولكن نشير إلى أن التجارب المعروفة إجمالاً التي تدرس الخصائص الضوئية للأجسام المتحركة لا تكشف عن رياح الأثير بظواهر من الدرجة الأولى.

1 - قياس مدة الذهاب والإياب للأشعة الضوئية: قد يبدو أنه يمكن بسهولة الكشف عن رياح الأثير بقياس سرعة الضوء  $c \pm v$  المنتشر باتجاه مسطرة صلبة متحركة بسرعة  $v$ . ولكن ليس هناك طريقة عملية لذلك، لأن كل الطرق التجريبية تفترض مزامنة synchronisation آلات ضبط الوقت على طول المسار الضوئي. وتستند عملياً على قياس مدة الذهاب والإياب للضوء<sup>(1)</sup> وهذا القياس يلغي تلقائياً كل

(1) لقد اقترحت بعض الطرق لقياس مدة إنتشار الضوء باتجاه واحد للكشف عن لا تناح محتمل في السرعة حسب إتجاه الضوء. لكن أكثر هذه الطرق غير صحيحة لأنها تفترض ضمنياً التناحي (أو اللاتناحي) الذي تحاول التجربة الكشف عنه. أما الطرق الصحيحة نظرياً فليست دقيقة لدرجة التأكد من النتيجة. ويمكن الرجوع في هذا الموضوع إلى

الظواهر من الدرجة الأولى<sup>(2)</sup>.

2 - ظاهرتا دوبلر Doppler والزيغ الفلكي aberration: من الظواهر المعروفة أكثر من غيرها نتيجة لحركة مصادر الضوء ظاهرتا دوبلر والزيغ الفلكي.

الظاهرة الأولى اكتشفها دوبلر عام 1842 وهي تغير تردد الموجات الضوئية نتيجة لحركة المصادر<sup>(3)</sup>.

(2) إذا كانت  $l$  المسافة التي قطعها الضوء، يكون الزمن الذي يستغرقه الضوء للذهاب والإياب

$$t = \frac{l}{c+v} + \frac{l}{c-v} = \frac{2lc}{c^2-v^2}$$

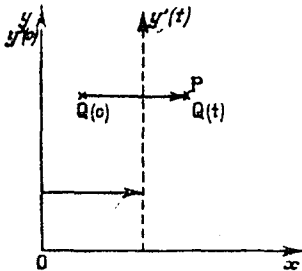
حيث  $v$  هي سرعة المصدر أو المشاهد التي نحاول أن نقيسها. فتكون السرعة الوسطية المقاسة للضوء

$$c' = \frac{2l}{t} = \frac{c^2 - v^2}{c} = c(1 - \beta^2)$$

ولا تختلف هذه عن  $c$  إلا بكمية من الدرجة الثانية  $\beta^2 c$ .

(3) Ch. Döppler - Abhand. Kgl. Bochmischen Gesell Wiss. (5) 2, 1841-42, 465-482.

تفسر ظاهرة دوبلر كما يلي:



الشكل 13 - ظاهرة دوبلر

لنفترض أن موجة مستوية تنتشر باتجاه Ox إنطلاقاً من O في الوقت الابتدائي. يكون عدد الموجات التي وصلت إلى النقطة P(x) المرتبطة بهيكل الاسناد S هو  $v(t - \frac{x}{c})$  في الوقت t. لنفترض أن هيكل إسناديا S' كان مطابقاً للهيكل S في الوقت الابتدائي t=0 وانفصل عنه كي يسير بسرعة v باتجاه Ox. يكون عدد الموجات التي وصلت إلى النقطة Q(x') في هيكل الاسناد S'.

$$v' \left( t - \frac{x'}{c} \right)$$

حيث  $v'$  و  $v$  هما تردد الموجة إذا قيس في الهيكلين الاسناديين S و S'. فإذا كانت النقطتان Q و P متطابقتين في الوقت t يجب أن يتطابق عدد الموجات أي:

$$= v \left( t - \frac{x}{c} \right) = v' \left( t - \frac{x'}{c} \right).$$



أما ظاهرة الزيف الفلكي فقد اكتشفها برادلي Bradley عام 1728 وهي التغيير في اتجاه الأشعة الضوئية نتيجة للحركة النسبية (أي حركة المصدر بالنسبة

= ولكن إحداثيات P و Q المتلاصقتين ترتبط بتحويل غاليليو أي:

$$x' = x - vt \quad x = x' + vt$$

نجد إذا:

$$v \left( t - \frac{x' + vt}{c} \right) = v' \left( t - \frac{x'}{c} \right).$$

وبشكل خاص إذا كانت  $x'$  منعدمة نجد  $v(1 - \beta) = v'$ . ليكن  $v_0$  التردد الذاتي لمصدر الضوء (أي في هيكل الاسناد S المرتبط بالمصدر).

1 - في الحالة السابقة أي حالة مشاهد مرتبط بهيكل إسناد متحرك  $S'$  يكون التردد  $v = v_0$  في S والتردد المقيس  $v' = v_0 (1 - \beta_{\text{obs}})$ .

2 - إذا كان المصدر المرتبط بهيكل إسناد  $S'$  هو المتحرك والمُشاهد ثابتاً يكون التردد في  $S' = v_0$  ويكون التردد المقيس:

$$v = \frac{v_0}{1 - \beta_{\text{source}}}$$

فليس هناك إذا عكسية في التردد المقيس بين حركة المشاهد  $v_1 = v_0 (1 - \beta)$  وحركة المصدر بالسرعة ذاتها ولكن بالإتجاه المعاكس:

$$\left( v_2 = \frac{v_0}{1 + \beta} \right)$$

ولكن الفرق بين هاتين الكميتين هو فقط من الدرجة الثانية أي متناسب مع  $\beta^2$ . ولا يمكن استعماله عملياً للكشف عن الحركة المطلقة:

$$v_2 - v_1 = v_0 \left\{ \frac{1}{1 + \beta} - (1 - \beta) \right\} = v_0 \frac{\beta^2}{1 + \beta}$$

3 - في الحالة العامة التي يتحرك فيها المصدر والمشاهد نجد:

$$v = v_0 \left( \frac{1 - \beta_{\text{obs}}}{1 - \beta_{\text{source}}} \right) \quad v - v_0 = v_0 \left( \frac{\beta_{\text{source}} - \beta_{\text{obs}}}{1 - \beta_{\text{source}}} \right).$$

فإذا كان المصدر والمشاهد يتحركان بسرعة واحدة ( $\beta_s = \beta_{\text{obs}}$ ) تختفي ظاهرة دوبلر. ولا تحدث هذه إلا إذا اختلفت السرعتان. ويكون عندئذ الفرق  $v - v_0$  بالدرجة الأولى بالنسبة للسرعة النسبية ( $\beta_s - \beta_{\text{obs}}$ ) (أي سرعة المصدر بالنسبة للمشاهد). أما السرعة المطلقة للمصدر والمشاهد (أي سرعتاهما بالنسبة إلى الوسط الذي تنتشر فيه الموجة) فلا تدخل في حساب ظاهرة دوبلر إلا في الدرجة الثانية.

للمشاهد<sup>(4)</sup>. عملياً يلاحظ مثلاً تغير في موقع صورة نجم ثابت لدى مراقبتها المستمرة طيلة عام كامل بواسطة مقراب telescope، إذ تسبب حركة الأرض على مدارها تغيراً متواصلاً في موقع الصورة فتتحرك على مسار بيضوي.

إن ظاهرتي دوبلر والزيغ الفلكي تسببان تغيرات من الدرجة الأولى في حركة المصدر بالنسبة للمشاهد. أما الحركة المطلقة (بالنسبة للأثير) فلا تسبب الا تغيرات من الدرجة الثانية. وهذه التغيرات صغيرة لدرجة أنها بقيت بعيداً عن متناول أدق التجارب حتى الفترة الأخيرة. إذ تمكن ستارك<sup>(5)</sup> من مشاهدة ظاهرة دوبلر لمصادر أرضية باستعمال أشعة قنوية أو موجبة canal rays ولكن قياس التأثيرات من الدرجة الثانية بواسطة ظاهرة دوبلر لم يتحقق إلا بتجارب إيفز Ives وستيلويل<sup>(6)</sup>.

ونشير هنا الى تجارب تستند الى تصور مسبق لظاهرتي دوبلر والزيغ الفلكي قام بها رومر<sup>(7)</sup> عام 1676 وبرادلي عام 1728 وبقيت مشهورة. وقد قيست في هذه

(4) ليس لإنحراف الأشعة الضوئية هذا علاقة بوجود جسم كاسر للأشعة (إذا مليء المنظار الفلكي ماء مثلاً).

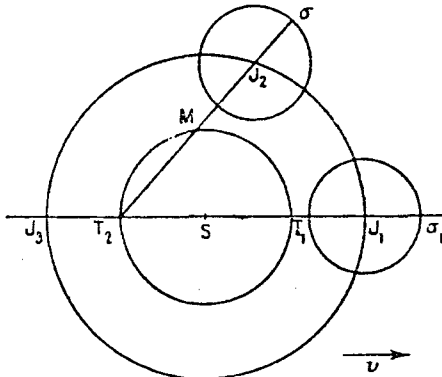
J. BRADLEY. Phil. Trans. 35, 1728, 637.

G.B. AIRY. Proc. Roy. Soc. London A 20. 1871, 35; 21 1873, 121; Phil. Mag. 43, 1872, 310.

S. Stark-Ann. d. Phys. 21, 1906, 40; J. Stark and K.Siegel Ann. d. Phys. 21, 1906, 457; S. Stark, W. Hermann, and. S. Kinoshita Ann. d. Phys. 21, 1906, 462. (5)

H.E. Ives and G.R. Stillwell Journ. of the optical Soc. of. America 28, 1938, 215. (6)

(7) موضوع تجارب رومر كان نوعاً من ظاهرة دوبلر. يستبدل فيها تردد موجات الضوء بتكرار خسوف أقمار الكوكب جوبيتر. يراقب هذا الخسوف أولاً عندما تكون الشمس والأرض وجوبيتر وقمره على خط مستقيم في المواقع  $S$  و  $T_1$  و  $J_1$  و  $\sigma_1$  (كما في الرسم 14) ثم بعد نصف عام في المواقع  $S$  و  $T_2$  و  $J_2$  و  $\sigma_2$ .



الشكل 14 - قياسات رومر

التجارب سرعة الضوء في انتشاره باتجاه واحد. إن اختفاء التأثيرات من الدرجة الأولى لرياح الأثير يجعل هذه التجارب قياساً لسرعة الضوء دون تدخل محتمل لسرعة ريح الأثير.

#### 4 - الظواهر من الدرجة الأولى

##### فرضية الانسحاب (الجر) الجزئي للضوء مع حركة الأجسام الشفافة

لتبيان الظواهر من الدرجة الأولى للحركة المطلقة يجب أن نعود الى التجارب التي يدخل فيها انسحاب محتمل للأثير والموجات الضوئية التي تنتشر فيه داخل الأجسام الشفافة<sup>(8)</sup>. وسواء أكان هذا الانسحاب كاملاً أو جزئياً فإن ريح الأثير تسبب ظواهر

و  $\sigma_2$ . الموقع الثاني  $J_2$  لجوبيتر قريب من الموقع الأول  $J_1$  لأن دورة جوبيتر حول الشمس تستغرق 12 عاماً. فتكون المسافة الإضافية التي اجتازها الضوء في الخسوف الثاني قريبة جداً من قطر مدار الأرض حول الشمس  $T_1 T_2 = \ell$ . فإذا افترضنا أن النظام الشمسي بكامله ثابت في الأثير ينتج عن ذلك تأخير موعد الخسوف بقيمة  $\ell/c$ . أما إذا كان النظام الشمسي متحركاً بسرعة  $v$  باتجاه  $T_2 T_1$  بالنسبة إلى الأثير يكون التأخير  $t_2 = \frac{\ell}{c+v}$  فيكون الفرق بين التأخيرين:

$$t_1 - t_2 = \ell \left( \frac{1}{c} - \frac{1}{c+v} \right) = \frac{\ell v}{c(c+v)} = \frac{\ell \beta^2}{v(1+\beta)} \approx \frac{\ell \beta^2}{v}$$

أي أنه من الدرجة الثانية (متناسب مع  $\beta^2$ ).

كذلك إذا قيس وقت خسوفين بعد ست سنوات أي عندما يكون جوبيتر في النقطة  $J_2$  يكون تأخير الخسوف الثاني  $t_3 = \frac{\ell}{c+v}$  إذا كان النظام الشمسي متحركاً بسرعة  $v$ . فنجد أيضاً الفرق بين التأخير في الموقعين  $J_1$  و  $J_3$ :

$$t_3 - t_2 = \ell \left( \frac{1}{c-v} - \frac{1}{c+v} \right) = \frac{2\ell v}{c^2 - v^2} = \frac{2\ell}{v} \frac{\beta^2}{1 - \beta^2}$$

وقد أشار ماكسويل في ما بعد إلى أن مراقبة حالات الخسوف المتتالية لأقمار جوبيتر تتبع مبدئياً سرعة النظام الشمسي بالنسبة إلى الأثير. لذلك تعتبر تجربة رومر قياساً تقريبياً لسرعة الضوء إلى الدرجة الأولى بالكمية  $\beta$  فتكون سرعة الضوء  $c = \ell/t_1$ .

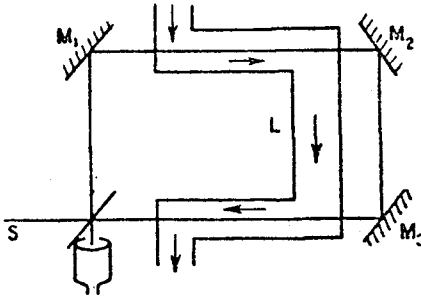
(8) لقد اقترح ستوكس عام 1845 فرضية أكثر جذرية تنص على أن الأجسام تسحب الأثير تماماً مع حركتها. فإذا كانت الأجسام تسحب الأثير بداخلها وبقربها المباشر انسحاباً كاملاً مع حركتها تجري الظواهر البصرية كأن الأثير ساكن تماماً. مما يعني استحالة كشف أي تأثير لرياح الأثير من أية درجة كان هذا التأثير. لكن صعوبات كبيرة اعترضت هذه الفرضية لتعليل ثبات اتجاه الأشعة الصادرة من النجوم وعدم تغير سرعتها لدى الانتقال من الأثير الثابت بين النجوم إلى الأثير المتحرك قرب سطح الأرض.

من الدرجة الأولى. من الممكن إذاً قياس الحركة المطلقة بتجارب على انتشار الضوء داخل الأجسام الشفافة. وقد أجريت تجارب عديدة منها تجارب أراغو Arago ثم فيزو وهوك Hoek ومسكارت Mascart وميكلسون وأخيراً زيمان 1914 وأعطت كلها نتائج سلبية<sup>(9)</sup>.

وقد كانت تجربة أراغو<sup>(10)</sup> عام 1818 الأولى من هذا النوع مستعملة انكسار الأشعة خلال تشكيل من العدسات. وأعطى فرينل في العام ذاته تفسيراً للنتيجة السلبية لهذه التجربة بافتراض الانسحاب الجزئي للأثير. فإذا كان الجسم الشفاف يتحرك بسرعة  $v$  ينسحب معه الأثير الذي في داخله بسرعة  $\alpha v$  حيث معامل الانسحاب  $\alpha$  يرتبط بقريئة الإنكسار  $n$  بالعلاقة

$$(V-4) \quad \alpha = 1 - \frac{1}{n^2}$$

وقد استخلص فرينل هذه القاعدة نظرياً من فرضيات حول التكوين الميكانيكي للأثير. ولم تكن هذه الاعتبارات مقنعة تماماً ولكنها كانت تعطي تفسيراً للنتيجة السلبية لتجربة أراغو وأيدها بقوة نتيجة تجربة فيزو<sup>(11)</sup> عام 1851 حول انسحاب الموجات الضوئية مع الماء المتحرك بسرعة داخل أنبوب  $L$  (انظر الرسم 15). فقد استنتج فيزو من قياس انتقال هدب fringe التداخل بين الموجتين الضوئيتين المنتشرتين في اتجاه حركة الماء والإتجاه المعاكس، أن الماء المتحرك يسحب الأثير جزئياً وفق قاعدة فرينل.



الشكل 15 - تجربة فيزو

(9) نذكر هنا تجربة قام بها فيزو على دوران اتجاه استقطاب الأشعة الضوئية لدى مرورها في كدسة من ألواح الزجاج. فقد ظن أولاً أنها تعطي نتائج ايجابية ولكن النتائج كانت سلبية تماماً عندما أعادها براس Brace عام (1905) وستراسر Strasser عام (1907).

(10) D. F. ARAGO. C.R. Acad.. Sc. 8, 1839; 36, 1853, 38.

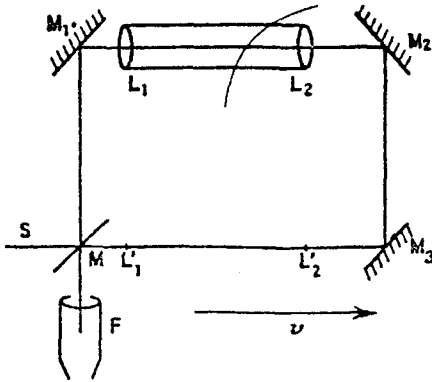
(11) H. FIZEAU. C.R. 33, 1851, 349; Ann. d. Phys. und. Chem. Erg. 3. 1853, 457.

A.A. MICHELSON et E.W. MORLEY. Amer. Journ. of. Science 31, 1886, 377.

وقد لقيت فرضية فريينل تأييداً أكثر دقة من تجربة زيمان<sup>(12)</sup> حول سرعة الضوء في مسطرة من بلورة الكوارتز quartz المتحركة بسرعة كبيرة وقد كانت هذه التجربة دقيقة لدرجة أن التشتت dispersion الضوئي كان يؤخذ بعين الإعتبار (انظر المقطع العاشر من الفصل السابع).

سوف نبين بدراستنا لتجربة هوك<sup>(13)</sup> المعادلة لتجربة فيزو كيف أن الانسحاب الجزئي للموجات الضوئية وفقاً لقاعدة فريينل يخفي تماماً أية ظاهرة من الدرجة الأولى لريخ الأثير.

في هذه التجربة (انظر الرسم 16) تسقط الأشعة المنبعثة عن S على مرآة نصف شفافة M تحت زاوية 45°. فتنقسم الموجة الضوئية الساقطة الى موجتين تسلك الأولى المسار  $M_1 M_2 M_3$  والثانية المسار المعاكس. وتنعكس على هذه المرايا تحت 45° لتتداخل عند وصولها الى المنظار F.



الشكل 16 - تجربة هوك

يتحرك هذا الجهاز بكامله مع حركة الأرض على مدارها حول الشمس بسرعة  $v$ . فإذا وضعنا في  $L_1 L_2$  أنبوب ماء لتنتشر فيه الموجتان الضوئيتان، نسبب فرقا في وقت مسار الموجتين بتغير قيمته تبعا للإنسحاب المحتمل للأثير المائي مع تحرك الأنبوب  $L_1 L_2$  يتحرك الأرض.

فإذا كان الأثير المائي لا يتحرك أبداً مع حركة الماء تبقى الموجتان المنتشرتان في هذا الأثير تتحركان بسرعة ثابتة  $c_1$  بالنسبة للأثير الكوني وبسرعة  $c_1 \pm v$  بالنسبة للأرض. وعكس ذلك إذا كان الأثير المائي ينسحب انسحاباً كاملاً مع حركة الأرض

P. ZEEMAN. Amst. Versl. 23, 1914, 245; 24, 1915, 18. (12)

M. HOEK. Archives néerlandaises des Sciences exactes et naturelles 3, 1868, 180. (13)

تصبح سرعة الموجتين  $c_1 \pm v$  بالنسبة إلى الأثير الكوني الثابت ولكن بسرعة  $c_1$  بالنسبة إلى الأرض. وفي الحالة بين الحالتين لانسحاب الأثير سحباً جزئياً تكون سرعة الضوء بالنسبة إلى الأثير الكوني الثابت بين  $c_1$  و  $c_1 \pm v$  وبالنسبة إلى الأرض بين  $c_1 + v$  و  $c_1$ . فيمكن كتابتها كما يلي:

$$\begin{array}{ll} \text{بالنسبة إلى الأثير الثابت} & c_1 + \varphi \\ \text{بالنسبة إلى الأرض} & c_1 + \varphi - v \end{array}$$

حيث  $\varphi = \alpha v$  وقيمة مُعامل الانسحاب  $\alpha$  تتراوح بين الصفر (إذا لم يكن هناك انسحاب) وواحد (إذا كان الانسحاب كاملاً).

تجتاز الموجة الأولى المسار  $M M_1 M_2 M_3 M$  فيكون الوقت اللازم لعبور الماء بطول  $L_1 L_2 = \ell$  والهواء في الجزء المقابل  $L'_1 L'_2$ .

$$(V-5) \quad t_1 = \frac{\ell}{c_1 + \varphi - v} + \frac{\ell}{c + v}$$

وتجتاز الموجة الثانية المسار المعاكس  $M M_3 M_2 M_1 M$  فيكون الوقت اللازم لعبور الهواء في الجزء  $L'_1 L'_2$  والماء في الجزء  $L_1 L_2$ .

$$(V-6) \quad t_2 = \frac{\ell}{c + v} + \frac{\ell}{c_1 + \varphi + v}$$

والفرق بين الوقتين هو:

$$(V-7) \quad \Delta t = t_1 - t_2 = \ell \left\{ \frac{1}{c_1 + \varphi - v} + \frac{1}{c + v} - \frac{1}{c - v} - \frac{1}{c_1 - \varphi + v} \right\}$$

$$= 2\ell \left\{ \frac{-\varphi + v}{c_1^2 - (\varphi - v)^2} - \frac{v}{c^2 - v^2} \right\} =$$

$$= \frac{2\ell (v\varphi^2 - v^2\varphi - c^2\varphi + c^2v - v c_1^2)}{(c^2 - v^2) [c_1^2 - (\varphi - v)^2]}$$

$$= \frac{2\ell \left( \frac{\varphi^2}{c^2} - \beta \frac{\varphi}{c} - \frac{\varphi}{v} + 1 - \frac{1}{\beta^2} \right)}{v (1 - \beta^2) \left[ \left( \frac{c_1^2}{v} \right) - \left( 1 - \frac{\varphi}{v} \right)^2 \right]}$$

حيث حدّدنا قرينة الإنكسار بالقاعدة العادية:

$$(V-8) \quad n = \frac{c}{c_1} .$$

يمكن أن نكتب إذا الصيغة التقريبية:

$$(V-9) \quad \Delta t \approx \frac{2\ell}{\nu} \left( -\frac{\varphi}{\nu} - \frac{1}{n^2} + 1 \right) n^2 \beta^2$$

مما يعني فرقاً في طور الموجتين<sup>(14)</sup>

$$\begin{aligned} \Delta \varphi = \nu \Delta t &= \frac{c}{\lambda} \frac{2\ell}{\nu} n^2 \beta^2 \left( 1 - \frac{1}{n^2} - \frac{\varphi}{\nu} \right) \\ &= \frac{2\ell n^2}{\lambda} \left( 1 - \frac{1}{n^2} - \frac{\varphi}{\nu} \right) \beta. \end{aligned}$$

فإذا قبلنا بنظرية فريزل حول الانسحاب الجزئي<sup>(14)</sup>

$$(V-10) \quad \varphi = \nu \left( 1 - \frac{1}{n^2} \right)$$

تكون قيمة مُعامل الانسحاب

$$(V-4) \quad \alpha = 1 - \frac{1}{n^2}$$

ف نجد وفقاً للمعادلة (V-9) أن  $\Delta t = 0$  وبالتالي لا انتقال لهُدب التداخل. لذلك ليس هناك إمكانية لقياس أي تأثير لرياح الأثير من الدرجة الأولى (ومن الدرجة الأولى فقط) في تجارب من النوع السابق. مما يعني أن قاعدة فريزل<sup>(15)</sup> والتجارب العديدة التي أكدتها تقطع الأمل بقياس أي أثر من الدرجة الأولى لرياح الأثير. مما يعني أن الانسحاب الجزئي للأثير يعوّض تلقائياً عن أي أثر من هذا النوع. وقد خلصت أعمال مسكارت<sup>(16)</sup> وفلتمان<sup>(17)</sup> و Veltmann وبوتيه<sup>(18)</sup> Potier عام 1874 إلى تعميم هذه

(14) نشير إلى أن  $\Delta t$  هي من درجة  $\beta^2$  بينما الكمية التي تقاس أي انتقال هذب التداخل هي من درجة  $c\Delta t$  أي الدرجة الأولى  $\beta$ . أما في تجربة رومر مثلاً فالكمية المقاسة هي  $\Delta t$  أي الدرجة  $\beta^2$ . ولكن في تجربة فيزوكا في تجربة ميكلسون تقاس كميات  $c\Delta t = \Delta \ell$  حيث  $\Delta t$  هي من درجة  $\beta^2/c$  فتكون الظاهرة من درجة  $\beta^2$  أي الدرجة الثانية.

A.J. FRESNEL. Ann. de Chim. et de Phys. 9, 1818, 57. (15)

E. Mascart. Ann. Sc. Ec. Norm. Sup. (2) 1, 1872, 157; 3, 1874, 363. (16)

Traité d'optique (paris, 1893) Chap. XV p.38.

W. VELTMANN. Astr. Nachr. 75, 1810, 145; 76, 1870, 129; Ann. d. ph. u. ch. 150, (17) 1873, 491.

A. Potier. Journ. Phys. 3, 1874, 201. (18)

النتيجة (أي الفشل الأكيد لكل محاولة لقياس الحركة المطلقة بالنسبة إلى الأثير بوسائل ضوئية). والواقع أن هذا الرأي لا يعني إلا الظواهر من الدرجة الأولى ولكن مسكارت أشار إلى أنه من غير الممكن تمييز أي هيكل إسناد غاليلي خاص بإجراء تجارب ضوئية كما هو الحال بالنسبة إلى التجارب الميكانيكية.

## 5 - نظرية لورنتز في الإلكترونات والظواهر من الدرجة الأولى

### فرضية الأثير الثابت

إن النتائج السلبية للتجارب حول انتشار الضوء في الأجسام الشفافة يُمكن تفسيرها بفرضية الانسحاب الجزئي للأثير بمعامل انسحاب وفق قاعدة فرينل. وقد جاءت صياغة نظرية ماكسويل لتحافظ على هذه الفرضية. ورغم محاولة هرتز توسيع فرضية ستوكس في الانسحاب الكامل للأثير مع المادة المتحركة لتشمل النظرية الكهرومغناطيسية، فقد أثبتت التجارب<sup>(19)</sup> أنه يجب المحافظة على فرضية الانسحاب الجزئي للأثير مع المادة المتحركة وفقاً لقاعدة فرينل.

ولكن نظرية لورنتز في الإلكترونات أعطت تفسيراً مجهرياً لنظرية ماكسويل ونجحت بتوقع اختفاء كل أثر من الدرجة الأولى لريخ الأثير بالافتراض أن هذا الأثير ثابت تماماً<sup>(20)</sup>. وذلك لأن استخلاص معادلات ماكسويل من نظرية لورنتز صحيح ليس فقط في حالة الأجسام الثابتة بل أيضاً في حالة الأجسام المتحركة شرط أن تكون سرعتها صغيرة بالمقارنة مع سرعة الضوء بحيث يمكن إهمال الدرجة الثانية من  $\beta = \frac{v}{c}$ . لكن معادلات ماكسويل صيغت في حالة الأجسام الساكنة أي في حالة مُشاهد ساكن بالنسبة إلى الجسم وبالتالي متحرك بسرعة ثابتة بالنسبة إلى الأثير. وعكس ذلك تفترض معادلات لورنتز المجهرية أن الأثير ثابت وأن المشاهد ثابت في هذا الأثير بينما المادة (أي الإلكترونات) متحركة بالنسبة إليه. وتطابق النظريتين يعني أنه من المستحيل حتى الدرجة الثانية أن نكشف على أية حركة لها مسرعة ثابتة بالنسبة إلى الأثير بواسطة تجربة كهرومغناطيسية. فالتجارب على الزينج الفلكي بإدخال جسم كاسر للضوء (منظار فلكي يملأ ماء) مثلاً لا يمكن إلا أن تكون سلبية دون الحاجة إلى الافتراض أن الأثير يسحب جزئياً قرب المادة المتحركة. فتظهر تجربة فيزو إذاً النتيجة التالية: رغم أن الأثير ساكن تماماً هناك انسحاب

(19) هذه التجارب هي دراسة تحرك الأجسام الكهرونافاذة (العازلة) في المجال الكهربائي (رونتغن 1885 وايشنوالد 1903) أو في مجال مغناطيسي (ويلسون).

H. A. LORENTZ. The Theory of Electrons. Leipzig. 1916.

(20)



جزئي للموجات الكهرمغناطيسية<sup>(21)</sup> المنتشرة داخل الجسم المتحرك بمعامل انسحاب  $\alpha$  حسب قاعدة فرينل<sup>(22)</sup>.

(21) بتعبير أدق يبقى المجال الكهرمغناطيسي ساكناً مع الأثير ولكن كثافات الاستقطاب  $P$  والتمغناط  $M$  تسحب مع المادة. مما يسبب تغيراً في سرعة الانتشار وقرائن الانكسار في الأجسام المتحركة. انظر الصفحة 389 و 456 من [2] L. Bloch.

(22) يمكن اثبات ذلك بالمثل التالي الذي أعطاه ماكس بورن في الصفحة 200 من المرجع [10]:

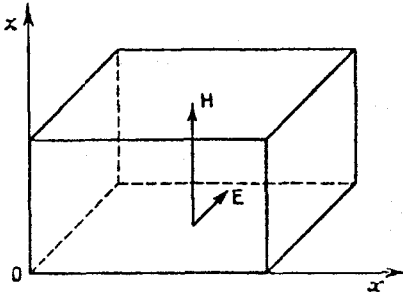
M. Born (La théorie de la relativité et ses bases physiques).

لنفترض أن جسماً عازلاً يتحرك باتجاه Ox بسرعة  $v$  وأن موجة كهرمغناطيسية تنتشر فيه بالاتجاه ذاته. يكون المجال الكهربائي  $[E_y]$  والمجال المغناطيسي  $(H_z)$  المميزان لهذه الموجة متعامدين على هذا الاتجاه (انظر الرسم 17). ينتج عن تحرك المجال المغناطيسي مجال انتقاء كهربائي إضافي ناتج عن كثافة الاستقطاب  $P$  الذي تسحبه المادة معها. ويكون مجال الانتقال الكهربائي هذا باتجاه Oy وكما بينت تجربة ولسون بقيمة:

$$(1) \quad D = \epsilon E' = (\epsilon - 1) v H.$$

$$(2) \quad E' = \frac{\epsilon - 1}{\epsilon} v H$$

فيكون هناك مجال كهربائي إضافي



الشكل 17 - سحب موجة مستوية مع جسم كهرنافذ متحرك

وليس  $E' = v H$  كما لو أن الأثير داخل الجسم الكهرنافذ يسحب تماماً مع حركة الجسم وتؤكد تجربة ولسون صحة العلاقة (2) في حال جسم كهرنافذ دائرة.

والقيمة  $\frac{\epsilon - 1}{\epsilon}$  لمعامل انسحاب الأثير مع المادة المتحركة التي تعطيها نظرية ماكسويل تتفق تماماً

مع القيمة التي اقترحها فرينل لأسباب أقل اقناعاً. لأن نظرية ماكسويل تعطي  $\epsilon = n^2$  (انظر III.72) فنجد:

$$\frac{\epsilon - 1}{\epsilon} = \frac{n^2 - 1}{n^2} = 1 - \frac{1}{n^2} = \alpha.$$

وهي صيغة فرينل. ولكن في نظرية لورنتز لا ينسحب الأثير جزئياً بل الإلكترونات الموجودة في صلب المادة. للحسابات المفصلة إرجع إلى الصفحة 290 من:

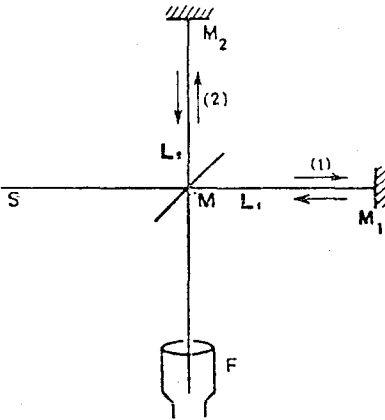
R. Becker. Théorie des électrons [1]

## 6 - الظواهر من الدرجة الثانية

بعد صياغة نظرية لورنتز أصبح الأمل بكشف ربح الأثير مرتبطاً بإمكانية قياس ظواهر من الدرجة الثانية<sup>(23)</sup>. وهذا كان هدف تجربة ميكلسون<sup>(24)</sup> عام 1881 ثم تجربة ميكلسون Michelson ومورلي Morley<sup>(25)</sup>.

### تجربة ميكلسون

إستعمل ميكلسون جهاز تداخل كما في الرسم 18: الضوء المنبعث من S ينقسم إلى موجتين بواسطة مرآة نصف شفافة، الشعاع الأول يخترق المرآة M وينعكس على المرآة  $M_1$  ثم على المرآة M فيتبع إذاً المسار  $SMM_1MF$ . أما الشعاع الثاني فينعكس على المرآة M ثم على المرآة  $M_2$  ثم يخترق M فيكون مساره  $SMM_2MF$ . تتداخل الموجتان وتُراقب هدب التداخل بواسطة منظار F. ويوضع الجهاز بأكمله على قاعدة عائمة على الزئبق مما يتيح توجيهها بسهولة.



الشكل 18 - تجربة ميكلسون

1 - يوجّه الجهاز بحيث يكون الذراع  $L_1$  الذي طوله  $l_1$  في اتجاه حركة الأرض بالنسبة إلى الأثير. فيكون الوقت اللازم كي يجتاز الشعاع الأول المسار  $MM_1M$ .

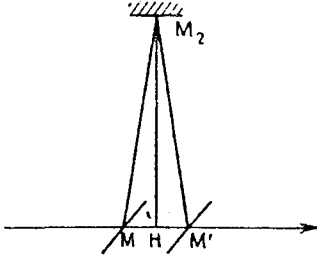
(23) يعود ذلك إلى أن استنتاج معادلات ماكسويل من نظرية لورنتز صحيح فقط حتى الدرجة الأولى ضمناً استناداً إلى التحريك الكهربائي للأجسام المتحركة. (المقطع السادس من الفصل الرابع).

A. A. Michelson. Amer: Journ. of. Science 22, 1881, 20. (24)

A.A. Michelson et E.W. Morley 34, 1887, 333. (25)

$$(V-11) \quad t_1 = \frac{\ell_1}{c+v} + \frac{\ell_1}{c-v} = \frac{2\ell_1}{c} \frac{1}{1-\beta^2}$$

أما الشعاع الثاني فيتبع حقيقة المسار  $MM_2M'$  (انظر الرسم 19) لأن الجهاز بكامله يتحرك مع الأرض.  $M'$  هو موقع المرآة  $M$  تماماً بعد الوقت  $t_2$  اللازم للشعاع الثاني كي ينتشر من المرآة  $M$  إلى المرآة  $M_2$  ثم يعود إلى المرآة  $M$ . فتكون المسافة بين الموقعين:



$$MM' = v t_2$$

الشكل 19 -

فيكون طول المسار الفعلي للضوء:

$$MM_2 + M_2M' = 2\sqrt{\ell_2^2 + \left(\frac{v t_2}{2}\right)^2} = \sqrt{4\ell_2^2 + v^2 t_2^2}$$

ويكون الوقت الذي يستغرقه الشعاع الثاني:

$$(V-12) \quad t_2 = \frac{MM_2 + M_2M'}{c} = \sqrt{\frac{4\ell_2^2}{c^2} + \beta^2 t_2^2}$$

لأن سرعة الضوء بالاتجاهين  $MM_2$  و  $M_2M'$  لا تختلف كثيراً عن السرعة  $c$  في اتجاه الذراع  $L^2$  العمودي على اتجاه انتقال الجهاز مع حركة الأرض. نستخلص إذاً من العلاقة (V-12) أن:

$$(V-13) \quad t_2^2 (1 - \beta^2) = \frac{4\ell_2^2}{c^2}$$

أو:

$$(V-14) \quad t_2 = \frac{2\ell_2}{c} \frac{1}{\sqrt{1-\beta^2}}$$

فيكون الفرق في الوقت الذي يستغرقه الشعاعان:

$$(V-15) \quad \Delta_1 t = t_2 - t_1 = \frac{2}{c} \left( \frac{\ell_2}{\sqrt{1-\beta^2}} - \frac{\ell_2}{1-\beta^2} \right).$$

2 - يُدار الجهاز 90° كي تتبادل أدوار الذراعين  $L_1$  و  $L_2$  فيصبح الذراع  $L_2$  باتجاه حركة الأرض ويستغرق الآن الشعاعان الوقتين:

$$(V-16) \quad t'_2 = \frac{2 \ell_2}{c} \frac{1}{1 - \beta^2} \quad t'_1 = \frac{2 \ell_1}{c} \frac{1}{\sqrt{1 - \beta^2}}$$

ويكون الفرق بينهما:

$$(V-17) \quad \Delta_2 t = t'_2 - t'_1 = \frac{2}{c} \left( \frac{\ell_2}{1 - \beta^2} - \frac{\ell_1}{\sqrt{1 - \beta^2}} \right)$$

ينتج عن ذلك الدوران انتقال في موقع هُذب التداخل متناسب مع:

$$(V-18) \quad \Delta t = \Delta_2 t - \Delta_1 t = \frac{2}{c} (\ell_1 + \ell_2) \left( \frac{1}{1 - \beta^2} - \frac{1}{\sqrt{1 - \beta^2}} \right).$$

أي تقريباً:

$$(V-19) \quad \Delta t \approx \frac{2}{c} (\ell_1 + \ell_2) \left[ (1 + \beta^2) - \left( 1 + \frac{\beta^2}{2} \right) \right] = \frac{(\ell_1 + \ell_2)}{c} \beta^2$$

كل فرق في الوقت يساوي دورة كاملة  $\tau = \frac{\lambda}{c}$  يُحدث انتقالاً في موقع الهدب مساوياً المسافة بين هُذين متتاليين. ويحدث ذلك إذا:

$$(V-20) \quad \ell_1 + \ell_2 \approx \frac{\lambda}{\beta^2} \quad \text{أي:} \quad \Delta t \approx \tau$$

أي:

$$(V-21) \quad \ell_1 + \ell_2 \approx 5.10^2 \text{ cm} = 50 \text{ m}$$

إذا استعملنا موجة طولها  $\lambda \approx 5.10^{-5}$  سنتيمتر إذ إن سرعة الأرض هي  $v \neq 30$  سنتيمتر (أي أن  $\beta \neq \frac{1}{10000}$ ). ومن الممكن تحقيق ذلك باستعمال الانعكاسات المتكررة على المرايا. ويمكن تطوير دقة هذه القياسات للتوصل إلى قياس سرعة محتملة لا تتعدى 1.5 كلم/ثانية لرياح الأثير كما فعل كندي Kennedy<sup>(27)</sup> عام 1926

(26) ترمي عملية التبادل هذه إلى إلغاء تأثير الفرق المحتمل بين طول الذراعين.

R. J. KENNEDY. Proc. Nat. Acad., 12, 1926, 621.

(27)

والينغزورث Illingsworth<sup>(28)</sup> عام 1927 وبيكارد Piccard وستاهل Stahel<sup>(29)</sup> عام 1928 وجوس Joos<sup>(30)</sup> عام 1930.

لقد كانت نتيجة تجارب ميكلسون سلبية تماماً وكذلك نتائج جميع التجارب التي أعادت تجربة ميكلسون مع تحسين كبير في دقتها<sup>(31)</sup>. وقد أكدت هذه النتائج السلبية تجارب مختلفة قام بها تروتون Trouton ونوبل Noble<sup>(32)</sup> عام 1903، وتروتون Trouton ورائكين Rankine<sup>(33)</sup> عام 1908 وشاز Chase<sup>(34)</sup> عام 1927 وتوماشك Tomashek<sup>(35)</sup> عام 1927 بدقة تصل إلى إمكانية قياس 4 أو 5 كيلومتر/ ثانية.

هكذا تبدو فرضية الأثير الثابت التي هي أساس نظرية لورنتز صحيحة في ظواهر الدرجة الأولى وخاطئة في ظواهر الدرجة الثانية. ويمكن تفسير نتيجة تجربة ميكلسون السلبية بفرضية الانسحاب الكامل للأثير مع الوسط المتحرك (هرتز) وبفرضية تغيير سرعة الضوء نتيجة لحركة المصدر<sup>(36)</sup> (ريتز Ritz) ولكن الفرضية الأولى الصعبة القبول نظرياً تتناقض مع ظاهرة الرنين الفلكي وتجربة فيزو. أما الثانية فتناقضها نتائج دراسة النجوم المزدوجة وتجربة توماشك. فسرعة الضوء تبدو عكس ذلك ثابتة لا تتغير مع سرعة مصدرها (دوسيتير de Sitter<sup>(37)</sup> عام 1912) أو حركة الأجسام القريبة منه (لودج Lodge<sup>(38)</sup> عام 1892).

K.K. ILLINGSWORTH. Phys. Rev. 30, 1927, 692. (28)

A. PICCARD et E.STAHEL. Naturwiss., 14, 1926, 935; 15, 1928, 25. (29)

G. Joos. Ann. d. Phys., 7, 1930, 385. (30)

(31) مع ذلك نشير إلى نتيجة إيجابية نوعاً ما (ومخالفة للتوقعات) أشار إليها ميلر ولكن نتائج التجارب التي تلتهما أسقطت تماماً هذه النتيجة الإيجابية.

D.C. Miller. Rev. Mod. Phys. 5, 1933, 203.

(32) كانت ترمي هذه التجربة لتبيان دوران مكثف كهربائي مؤلف من لوحين معلقين تحت تأثير ربح الأثير.

F.T. TROUTON et H.R. NOBLE. Proc. Roy. Soc. 72, 1903, 132.

F.T. TROUTON et A. RANKINE. Proc. Roy. Soc. 80, 1908, 420. (33)

C.T. CHASE. Phys. Rev., 30, 1927, 516. (34)

R. TOMASHEK. Ann. d. Phys., 73, 1924, 105; 78, 1925, 743; 80, 1926, 509; 84, 1927, 161. (35)

W. RITZ. Ann. de Chimie et de physique., 13, 1908, 145. (36)

W. de SITTER. Phys. Z. 14, 1913, 429 et 1267. (37)

O. LODGE. London Transaction. A. 184, 1909, 826. (38)

### 7 - فرضية فيتزجيرالد ولورنتز

لقد نجح فيتزجيرالد (39) ولورنتز (40) بانقاذ نظرية الاثير الثابت شرط القبول بظاهرة جديدة وهي أن «الأجسام المتحركة بسرعة ثابتة تتقلص بنسبة  $\sqrt{1 - \beta^2}$  باتجاه حركتها».

وتفسر هذه الفرضية نتيجة تجربة ميكلسون السلبية، لأنه يجب استبدال  $\ell_1$  وهو طول الذراع باتجاه الحركة بالطول  $\ell_1 \sqrt{1 - \beta^2}$  في حساب  $t_1$ . فنجد:

$$(V-22) \quad t_1 = \frac{2\ell_1}{c} \frac{\sqrt{1 - \beta^2}}{1 - \beta^2} = \frac{\ell_1}{\ell_2} t_2$$

مما يعطي:

$$(V-23) \quad \Delta_1 t = \frac{2}{c} (\ell_2 - \ell_1) \frac{1}{\sqrt{1 - \beta^2}} = \Delta_2 t$$

إن فرضية التقلص بنسبة  $\sqrt{1 - \beta^2}$  تنطبق أيضا على أجهزة القياس مما يجعل أية تجربة للكشف عن ربح الأثير تعطي نتيجة سلبية ليس فقط في الدرجة الأولى بل في كل الدرجات تلقائياً.

من الممكن الظن أن هذا التقلص هو بدوره ظاهرة يمكن قياسها وتصوير تجارب للكشف عنها، فقرينة انكسار جسم صلب مثلاً تتغير نتيجة لحركته. لكن المحاولات التجريبية حول هذا الموضوع التي قام بها زائلي (41) Rayleigh وبراس (42) Brace كانت سلبية بدورها. وكذلك كانت تجارب تروتون ورانكين (43) حول المقاومة الكهربائية للأسلاك الناقلة وتجارب وود Wood وتومليسون Tomlison وإيسكس (44) Essex حول

Cf. O. LODGE. London Transaction. A. 184, 1893, 727. (39)

H. A. LORENTZ. Amest. Verh. Akad. v. wer. 1, 1892, 74. (40)

Lord RAYLEIGH. - Does motion through the ether cause double refraction (Phil. Mag. (41) 4, 1902, 678).

D.B. BRACE. - On double refraction in matter moving through the ether (Phil. Mag. (42) 1904, 317).

F.T. TROUTON et A.O.RANKINE. - On the electrical resistance of moving matter (43) (Proc. Roy. Soc., 80, 1908, 420).

A.B. WOOD, G.A. TOMLISON et L. ESSEX. - The effect of the Fitzgerald- lorentz (44) contraction on the frequency of longitudinal vibration of a rod (Proc. Roy. Soc., 158, 1937, 606).

قياس تردد ارتجاج مسطرة من الكوارتز.

لذلك يجب الافتراض أن تأثيرات هذا التقلص يحجبها تأثير آخر للحركة وهو زيادة في كتلة الجسم. تماماً كما كانت تحجب تأثيرات ربح الأثير ظواهر أخرى. وفي الواقع أن تغيراً متلازماً للطول والكتلة حسب القواعد:

$$(V-24) \quad \ell = \ell_0 \sqrt{1 - \beta^2}$$

$$(V-25) \quad m = \frac{m_0}{\sqrt{1 - \beta^2}}$$

يقود إلى استحالة الكشف عن تأثيرات الحركة المستقيمة بسرعة ثابتة في أية ظاهرة ضوئية.

ولكن الصيغة (V-25) التي يمكن استخلاصها طبيعياً من علم التحريك النسبي (التي صاغها لاحقاً أينشتاين) يمكن استخلاصها أيضاً من فرضية تقلص الطول إذا طبقت على الإلكترون ذاته. لذلك يمكن التساؤل ما إذا كان الشرط (V-24) الضروري لتعليل النتيجة السلبية لتجربة ميكلسون كافياً أيضاً كي تكون كل الظواهر الكهرمغناطيسية مستقلة تماماً عن الحركة المستقيمة بسرعة ثابتة للهيكل الإنشائية المستعملة لدراستها.

وقد أثبت لورنتز وبصورة مستقلة بوانكاريه Poincaré أنه يجب أيضاً أن نحدّد الوقت في كل هيكل اسناد غاليلي<sup>(45)</sup>. فإذا كان الهيكل الأول يتحرك بسرعة  $v$  مستقيمة وثابتة باتجاه Ox بالنسبة إلى الهيكل الثاني يجب التحويل من هيكل إلى آخر حسب القاعدة:

$$(V-26) \quad x' = \frac{x - vt}{\sqrt{1 - \beta^2}} \quad t' = \frac{t - \frac{\beta}{c} x}{\sqrt{1 - \beta^2}}$$

كي تكون معادلات ماكسويل مستقلة تماماً عن هيكل الاسناد الذي تُصاغ فيه. وتحدّد العلاقات (V-26) قاعدة لتحويل الإحداثيات يُسمى تحويل لورنتز ويستخلص أيضاً من فرضيات أينشتاين التي سندرسها في ما يلي.

(45) نعني بالهيكل الإنشائية الغاليلية أنظمة المحاور المستقيمة (الأنظمة الديكارتية) المتحركة الواحدة بالنسبة للآخرى بحركة مستقيمة وبسرعة ثابتة (وطبعاً ليس الهيكل المرتبطة بقواعد تحويل غاليليو). ولا يتفق هذان التحديدان إلا في حالة الميكانيك الكلاسيكي (التقليدي).

إذا قبلنا بنظرية لورنتز في الإلكترونات والمعادلة (V-25) التي تستخلص منها نستنتج من قاعدة التحويل (V-26) أن معادلات ماكسويل تحافظ على صيغتها في كل هياكل الإسناد الغاليلية وبالتالي أنه من المستحيل الكشف عن الحركة المطلقة بالنسبة إلى الأثير بواسطة أية تجربة كهرمغناطيسية. فتكرس إذا نظرية لورنتز نظرية الأثير الثابت. وبالوقت ذاته تحكم بالإخفاق كل تجربة كهرمغناطيسية تهدف إلى الكشف عن الأثير تجريبياً.

## ب - مبدأ النسبية الخاصة

### 8 - فرضية أينشتاين الأساسية

يبنى الميكانيك الكلاسيكي على الفرضية التالية:

#### 1 - تتكافأ جميع هياكل الإسناد الغاليلية في وصف الحركة.

فإذا قبلنا أيضاً صلاحية قانون تحويل غاليليو ينتج عن هذه الفرضية قانون جمع السرعة في الميكانيك الكلاسيكي. ولهذا القانون اللازمة corollary التالية:

#### I - تنتشر سرعة الضوء من هيكل إسناد إلى آخر.

ولكن التجارب التي أجريت في دراسة التحريك الكهربائي الكلاسيكي قادت إلى النتيجة التالية<sup>(46)</sup>.

#### II - ينتشر الضوء في الفراغ بالتناحي في كل الاتجاهات مهما كانت حركة المصدر، وسرعته هي ثابت مطلق c في جميع الهياكل الإسنادية الغاليلية.

لقد حاولت النظريات الأولى للأثير أن تزيل التناقض بين الفرضيات (I) و (II)

(46) نشير هنا مع O. Costa de Beauregard إلى أن التجارب لا تستبعد الإمكانات التالية:

أ - أن تتغير سرعة الضوء تبعاً لسرعة ربح الأثير (ولكن ليس تبعاً لإتجاهها)

ب - أن تتغير سرعة الضوء تبعاً لإتجاه سرعة ربح الأثير وذلك في حال انتشاره باتجاه واحد.

الإمكانية الأولى رغم أنها قليلة الاحتمال لا تتعارض مع مبدأ النسبية الخاصة. أما الثانية فلا يمكن التأكد من صحتها انظر الصفحة 15 من المرجع [II]:

O. Costa de Beauregard. La Relativité Restreinte [II]

وبذلك تكون فرضية النسبية الخاصة والتي تنص على أن انتشار الضوء بالتناحي في كل الاتجاهات في حال انتشاره في اتجاه واحد وباستقلال عن حركة المصدر غير مفروضة حصراً بالتجربة، ولكنها الفرضية الأبسط التي تعطي تفسيراً للتجارب وتسمح ببناء نظرية متماسكة تتفق كل توقعاتها ونتائجها مع التجربة.



وذلك بتجزئ سرعة الضوء بالنسبة إلى الأثير إلى جزئين:

- سرعة الأثير الذي هو داخل الأجسام الشفافة أو الأجسام الكهرنافذة بالنسبة إلى الأثير الكوني.
- سرعة الضوء بالنسبة إلى الأثير الذي هو داخل الأجسام الشفافة.

الجزء الأول من سرعة الضوء أدى إلى تحديد معامل انسحاب مناسب، أما الجزء الثاني فهو ثابت. ومجموع الجزئين يجعل الهياكل الاسنادية الغاليلية متكافئة ولكن حتى الدرجة الأولى فقط (ضمننا) من التقارب.

أما فرضية تقلص الأجسام وتمدد الفترات الزمنية التي اقترحها لورنتز فتقود عكس ذلك إلى تكافؤ الهياكل في كل درجات التقارب. ولكن ذلك يعود إلى نوع من التشوه distortion المناسب في قياسات الأجسام المتحركة. وكما قال بورن يعود هذا التكافؤ إلى نوع من «الخداع البصري».

في الواقع ليس هناك خلاف بين الفرضيات I و II بل بين I' و II. لأن قانون جمع السرعة في الميكانيك الكلاسيكي يفترض صحة تحويل غاليليو الذي يؤمن صلاحية القانون الأساسي لعلم التحريك في كل هياكل الاسناد الغاليلية. أما فرضية تناسي انتشار الضوء في كل الاتجاهات وثبات سرعته فيفترض صحة تحويل لورنتز الذي يؤمن صلاحية معادلات ماكسويل في كل الهياكل الاسنادية الغاليلية.

لذلك يتحتم الاختيار بين هذين التحويلين أي:

- 1 - قبول الصلاحية المطلقة لقوانين نيوتن وتحويل غاليليو الذي يحافظ على صيغتها في جميع الهياكل الإسنادية الغاليلية. عندئذ يجب افتراض وجود ظواهر جديدة في التحريك الكهربائي تقود إلى معادلات لورنتز وبوانكاريه (V-24) و(V-25) وتؤمّن بنوع من التوازن صلاحية معادلات ماكسويل في كل الهياكل وعدم إمكانية الكشف عن الأثير.
- 2 - أو قبول صلاحية معادلات لورنتز وبوانكاريه وبشكل عام تحويل لورنتز الذي يقود إلى صلاحية معادلات ماكسويل في كل الهياكل. ولكن ذلك يفرض إعادة صياغة للحركيات وعلم التحريك.

لحسم هذا الصراع بين الحركيات والبصريات، اختارت النسبية الخاصة البصريات لتتخذ منها نموذجاً لصياغة الميكانيك النسبي<sup>(47)</sup>. وكان هذا بصياغة

(47) لقد كان هذا الاختيار طبيعياً لأن البصريات هي الأكثر دقة «والأكثر هندسية بين العلوم الفيزيائية، كما =

مبدأ أي النسبية الخاصة اللذين ظهرا أولاً وشكلياً في نظريات لورنتز وبوانكاريه.

- I - هناك تكافؤ بين جميع هياكل الإسناد الغاليلية، وهذا التكافؤ ليس فقط لصياغة قوانين الميكانيك بل كل الفيزياء.
- II - ينتشر الضوء في الفراغ بتناحٍ في جميع الإتجاهات وسرعته ثابت مطلق
- .c

يُستخلص هذان المبدآن من قواعد لورنتز وبوانكاريه. ولكن أصالة نظرية أينشتاين كانت بالإثبات أنهما يرتبطان بتحليل صحيح لمفاهيم المكان والزمان وأنهما يقودان إلى الصلاحية المطلقة لقانون تحويل لورنتز الذي يعبر ليس عن الظواهر بل عن خصائص أساسية للمكان والزمان.

فقد أثبت أينشتاين<sup>(48)</sup> عام 1905 أن تقلص الطول وفق قاعدة لورنتز ليس اصطناعياً بل هو نتيجة لتحليل دقيق لمفهوم التطابق الزمني أجراه على ضوء المبدأ الثاني أي مبدأ انتشار الضوء في الفراغ بسرعة ثابتة ومطلقة (أي مستقلة عن هيكل الاسناد الغاليلي المستعمل).

## 9 - انتقاد مفهوم التطابق الزمني

لقد كانت الفيزياء قبل أينشتاين تعتبر أن مفهوم التطابق الزمني عن بعد ذا معنى بديهي. ولكن التأكد العملي من التطابق الزمني في موقعين مختلفين A و B تفصل بينهما مسافة  $l$  يفترض وجود آلتين لضبط الوقت متزامنتين synchronised في هاتين النقطتين. ولكن ضبط التزامن أو التأكد منه لا يتم إلا باستعمال إشارة. وبما أن الإشارات الكهرومغناطيسية هي الأسرع يكون التصحيح الناتج عن وقت الانتشار هو الأقل باستعمالها.

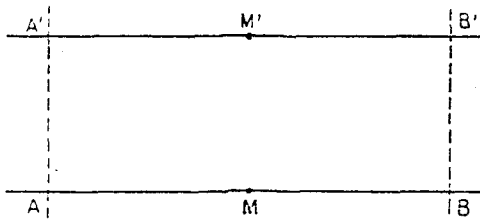
- 1 - إذا كانت النقطتان A و B في هيكل الاسناد ذاته (الذي نفترضه ساكناً) لا يمكن أن نحدّد تطابقاً زمنياً مطلقاً بل نسبياً وذلك كما يلي: يكون حدثان في النقطتين A و B متطابقين زمنياً إذا كانت إشارتان قد انطلقتا من A و B مع

= يقول كوستا دو بورغارد في الصفحة 15 من المرجع [11]، نشر أيضاً إلى أن الحركية وعلم التحريك هما من العلوم الفيزيائية ويجب أن يتأثرا بتقدمها. فصياغتهما بطريقة جامدة لا تتفق مع المنهجية العلمية.

A. EINSTEIN. Ann. d. phys., 17, 1905, 891. Jahrb. d. Radioaktivitat und Elektronik, 4, (48) 1907, 411.

الحدثين تصلان في الوقت ذاته إلى مُشاهد في  $M$  التي هي منتصف  $AB^{(49)}$ .  
أما إذا كانت  $A$  و  $B$  متحركتين بالسرعة الثابتة ذاتها يبقى التحديد السابق صحيحاً ولا يأخذ المُشاهد في هذا الهيكل المتحرك هذه الحركة بعين الاعتبار. وهذا ما يجري عملياً في حالة تبادل الإشارات الضوئية بين المُشاهدَيْن في هيكل إسناد معين لأن الحركة المطلقة لهذا الهيكل بالنسبة إلى الأثير لا يمكن الكشف عنها أو قياسها بأيّة طريقة.

2 - إذا استعملنا الاصطلاح السابق لتحديد التطابق الزمني في هيكل اسناد غاليلي معين من السهل أن نثبت أن هذا التطابق ليس صحيحاً في هيكل إسناد غاليلي ثانٍ. لذلك نتخذ المثل الذي أعطاه أينشتاين عن خط حديدي  $AB$  يتحرك قطاراً  $A'B'$  بسرعة  $v$ . يتطابق منتصف القطار  $M'$  مع منتصف الخط  $M$  لدى وصول الإشارتين المنبعثتين من طرفي القطار إلى النقطة  $M$ . فيعتبر المشاهد الواقف على الأرض أن الحدثين في  $A$  و  $B$  متطابقين زمنياً. أما المُشاهد على متن القطار الموجود في  $M'$  فإنه يتحرك مع القطار نحو  $B$  فيلتقط إشارة  $B$  قبل إشارة  $A$ . وبما أن التطابق الزمني للإشارتين إلى منتصف  $A'B'$  هو المعيار الوحيد للتطابق للزمن نستنتج أن التطابق حسب المشاهد  $M$  لا يعني التطابق حسب المشاهد  $M'$ . وذلك لأن كلاً من المشاهدين يمكن أن يؤكد عن صواب أن هيكل إسناده الذاتي ثابت بينما هيكله الثاني يتحرك وذلك لأنه ليس من تجربة تكشف عن حركة هيكل اسناد بالنسبة إلى آخر.



إذاً ليس هناك تطابق زمني مطلق<sup>(50)</sup>. هذه النتيجة تستبعد فرضية الزمن المطلق وبالتالي صحة قاعدة تحويل غاليليو.

الشكل 20

(49) يشير أينشتاين إلى أن القول بأن الضوء الذي يستغرق الوقت ذاته لقطع المسافتين  $AM$  و  $BM$  هو اصطلاح لا يوضح شيئاً من خصائص الضوء. أما تحديد التطابق الزمني المُطلق فيفرض التأكد من أن الضوء يستغرق الوقت ذاته لقطع المسافتين  $AM$  و  $BM$  أي أن نملك وسيلة لقياس الوقت (أينشتاين).

(50) لقد توصل بوانكاريه إلى هذه النتيجة. لكنه لم يذهب بعيداً إلى حد الاستبعاد النظري للإشارات المتطابقة زمنياً أو استخلاص النتائج المنطقية لتحديد التطابق الزمني بطريقة فيزيائية بحتة.

H. POINCARÉ. La valeur de la Science, p. 35. La mesure du temps. Rev. Meta. et Morale VI, 1.28. p.1

### 10 - تحويل لورنتز

يمكن أن نستخلص تحويل لورنتز من المبدأ الثاني للنسبية الخاصة أي أن سرعة الضوء متناهية في كل الاتجاهات وتساوي  $c$  في كل هياكل الاسناد الغاليلية.

لنتفحص عن قرب كيف يبدو الانتشار الكهرمغناطيسي في هيكلين إسناديين غاليليين  $S$  ( $oxyz$ ) و  $S'$  ( $o'x'y'z'$ ) وفق نظرة أينشتاين. فإذا كانت سرعة الضوء تساوي  $c$  في الهيكلين تكون الصيغ

$$(V-27) \quad ds^2 = - dx^2 - dy^2 - dz^2 + c^2 dt^2$$

$$(V-28) \quad ds'^2 = - dx'^2 - dy'^2 - dz'^2 + c^2 dt'^2$$

إيجابية في حالة حركة جسم مادي بسرعة  $v < c$  ومنعدمة في حالة انتشار موجة ضوئية. يمكن إذا أن نكتب:

$$(V-29) \quad ds'^2 = f(xyzt) ds^2$$

ويمكن أن نثبت<sup>(51)</sup> استناداً إلى تبادلية الهيكلين الاسناديين أن:

$$(V-30) \quad f(xyzt) = k = 1$$

فتعود المسألة إذا إلى إيجاد صيغة تحويل الإحداثيات بحيث ان:

$$(V-31) \quad ds'^2 = ds^2$$

أي تلك التي تحول الفضاء الإقليدي ذا الأبعاد الأربعة إلى نفسه. وحل هذه المسألة معروف جيداً وهو بالتحويلات الخطية linear والمتعامدة orthogonal في الفضاء الرباعي<sup>(52)</sup>.

لتبسيط المسألة ندرس الحالة الخاصة التي تكون  $v$  سرعة  $S'$  ( $o' x' y' z'$ ) بالنسبة  $S$  ( $oxyz$ ) والمحاور  $ox'$  و  $o'x'$  متوازية وباتجاه واحد. بسبب التناظر حول

(51) إرجع مثلاً إلى الصفحة 8 من [19] Vol. II :

J. CHAZY. La théorie de la Relativité et la Mécanique Céleste.

(52) إن اقتراح الفضاء الرباعي للمكان والزمان يعود إلى بوانكاريه:

H. POINCARÉ. Rend. Pal., 12, 1906, 129.

H. MINKOWSKI. Raum und Zeit. Phys. Zs. 10, 1909, 104.

Ox يكون التحويل الخطي والمتعامد بالصيغة التالية:

$$(V-32) \quad x' = g(v)(x - vt) , \quad y' = y , \quad z' = z , \quad t' = h(v)t - \ell(v)x$$

أما المعادلة التطابقية (V-31) فتعطي العلاقات التالية:

$$(V-33) \quad \left( \frac{\partial x'}{\partial x} \right)^2 - c^2 \left( \frac{\partial t'}{\partial x} \right)^2 = 1$$

$$(V-34) \quad \frac{1}{c^2} \left( \frac{\partial x'}{\partial x} \right)^2 - \left( \frac{\partial t'}{\partial t} \right)^2 = -1$$

$$(V-35) \quad \frac{\partial x'}{\partial x} \frac{\partial x'}{\partial t} - c^2 \frac{\partial t'}{\partial x} \frac{\partial t'}{\partial t} = 0.$$

وإذا أحلنا في هذه المعادلات المشتقات الجزئية المستخلصة من (V-32) نجد أن:

$$(V-36) \quad g(v) = h(v) = \frac{\pm 1}{\sqrt{1 - \beta^2}}$$

$$(V-37) \quad \ell(v) = g(v) \frac{v}{c^2}$$

وعلينا أن نختار الإشارة (+) في هذه الصيغ كي تتطابق المحاور الثلاثة في الوقت الابتدائي.

فتكون قواعد التحويل (وهي تلك التي توصل إليها لورنتز انطلاقاً من فرضيات مختلفة تماماً) كما يلي:

$$(V-38) \quad \left\{ \begin{array}{l} x' = \frac{x - vt}{\sqrt{1 - \beta^2}} \quad (1) \\ y' = y \quad (2) \\ z' = z \quad (3) \\ t' = \frac{t - \frac{\beta}{c} x}{\sqrt{1 - \beta^2}} \quad (4) \end{array} \right.$$

أو القواعد العكسية

$$(V-39) \quad \left\{ \begin{array}{l} x = \frac{x' + vt'}{\sqrt{1 - \beta^2}} \quad (1) \\ y = y' \quad (2) \\ z = z' \quad (3) \\ t = \frac{t' + \frac{\beta}{c} x'}{\sqrt{1 - \beta^2}} \quad (4) \end{array} \right.$$

التحويلات (V-38) و (V-39) في الحالة الخاصة التي تكون فيها السرعة النسبية للهيكل النسبية  $v$  باتجاه أحد المحاور تُسمى تحويلات لورنتز الخاصة. إن النتائج التي حصل عليها لورنتز وبوانكاريه تُستخلص بسهولة من قواعد التحويل هذه. سوف نطلق عبارة هيكل لورنتز الاسنادية على الهياكل المرتبطة بقواعد تحويل من نوع (V-38) و (V-39) أو تعميماتها.

11 - نتائج قواعد التحويل

1 - تقلص الطول

لنفترض أن مسطرة ساكنة في الهيكل الاسنادي  $S'$  ومتوازية مع المحور  $O'x'$  يكون طولها في هذا الهيكل

$$(V-40) \quad \ell_0 = x'_1 - x'_2$$

أما في الهيكل الاسنادي  $S$  فنحصل على طولها بتحديد إحداثيات طرفيها  $x_1$  و  $x_2$  في الوقت ذاته في الهيكل  $S$ . فنجد استناداً إلى المعادلة (V-38)<sub>1</sub> إذا أخذنا  $\Delta t = 0$  أن طول هذه المسطرة  $\ell$  كما يقيسه المشاهد في  $S$  هو:

$$(V-41) \quad \ell = x_1 - x_2 = (x'_1 - x'_2) \sqrt{1 - \beta^2} = \ell_0 \sqrt{1 - \beta^2} < \ell_0$$

فتبدو المسطرة المتحركة مع الهيكل الاسنادي  $S'$  أقصر إذا شوهدت من الهيكل  $S$ . وعكس ذلك إذا كانت مسطرة طولها  $\ell_0$  ساكنة في  $S$  يكون طولها في هذا الهيكل الاسنادي الذاتي

$$(V-42) \quad \ell_0 = x_1 - x_2$$

يرى مشاهد في  $S'$  أن أحداثيات طرفيها في الوقت ذاته ( $\Delta t' = 0$ ) هي  $x'_1$  و  $x'_2$  وإستناداً إلى (V-39)<sub>1</sub> يكون طول المسطرة:

$$(V-43) \quad \ell' = x'_1 - x'_2 = (x_1 - x_2) \sqrt{1 - \beta^2} = \ell_0 \sqrt{1 - \beta^2} < \ell_0$$

فيجد المشاهد  $S'$  أيضاً أن المسطرة الثابتة في  $S$  تبدو أقصر.

يعني هذا أن طول مسطرة يكون أكبر في الهيكل الاسنادي المرتبط بها (أي هيكلها الاسنادي الذاتي). أما إذا قيس في هيكل آخر فتبدو كأنها متقلصة بنسبة  $\sqrt{1 - \beta^2}$ . وهذا التقلص لا يمكن تفسيره كتأثير لرياح الأثير أي نتيجة للحركة الحقيقية بالنسبة إلى هيكل اسناد مُطلق. فهي ظاهرة متبادلة بين الهياكل الاسنادية: إذا كان مشاهدان يحملان مسطرتين متساويتين ثم يحرك واحد منهما بالنسبة إلى الآخر فإن كلا منهما يرى أن مسطرة الآخر أقصر من المسطرة التي يحملها. فتقلص الطول هو إذاً نتيجة للحركة النسبية. ويستخلص مباشرة من تحويل لورنتز ولا يحتاج إلى آية فَرُضية إضافية حول تكوين المادة<sup>(53)</sup>.

## 2 - تمدد الفترات الزمنية

كذلك لنفترض أن حدثين وقعا في الزمنين  $t'_1$  و  $t'_2$  في الموقع ذاته في  $S'$  فتكون الفترة الزمنية  $t'_2 - t'_1$  في  $S'$ . أما في  $S$  فنجد استناداً إلى المعادلة (V-39)<sub>4</sub>

$$(V-44) \quad t_1 - t_2 = \frac{t'_1 - t'_2}{\sqrt{1 - \beta^2}} > t'_1 - t'_2$$

(53) لقد كانت فرضية التقلص في أعمال فينيز جيرالد نتيجة لقوى تأثير الأثير على الأجسام المتحركة. فكان من المفترض أنها تحدث تشوهات مطلقة أي مستقلة عن الهيكل الاسنادي المستعمل. أما لورنتز فقد حاول أن يربط بين هذه القوى وتفاعلات عامة بين الجزيئيات. ولا يمكن كشف عدم تناسق هذا التقلص تجريبياً بسبب تغيرات الفترات الزمنية والكتلة اللازمة لها. فهي نوعاً ما ذات طابع مطلق.

وبعد انتقادات أينشتاين لم يعد التقلص يعتبر نتيجة لقوى معينة. فهو مرتبط موضوعياً (أي باستقلالية عن المشاهد) بالهيكل الاسنادي المستعمل. وهو ليس ظاهرياً لأنه لا يمكن مقابلته بحقيقة أخرى مميزة لكونه ظاهرة قابلة للتبادل بين الهياكل الاسنادية. فمفاهيم الطول أو الأبعاد هي إذاً نسبية بطبيعتها. وتنتج بموضوعية مباشرة من نسبية التوافق الزمني عن بعد في هيكلين إسناديين غاليليين. لمزيد من المعلومات حول هذا الموضوع يرجع إلى الهياكل الاسنادية المتعددة المذكورة في كتاب [8] H. Arzelis الصفحة 105.

أي أن كل الظواهر في المرجع  $S'$  تبدو للمشاهد في الهيكل الاسنادي  $S$  متباطئة بالنسبة  $\sqrt{1 - \beta^2}$ .

وعكس ذلك إن الفترة الزمنية  $t_1 - t_2$  المقاسة في المكان ذاته في  $S$  ( $x = 0$ ) تبدو في  $S'$  كأنها استناداً إلى المعادلة<sup>4</sup> (V-38)

$$(V-45) \quad t'_1 - t'_2 = \frac{t_1 - t_2}{\sqrt{1 - \beta^2}} > t_1 - t_2$$

أي أن الظواهر في الهيكل الاسنادي  $S$  تبدو للمشاهد في الهيكل  $S'$  أبطأ بنسبة  $\frac{1}{\sqrt{1 - \beta^2}}$ <sup>(54)</sup>

(54) يمكن هنا أن ندخل تحليلاً مفيداً للترتيب الزمني للحوادث وإمكانية ارتباطها سببياً (ارجع إلى الصفحة 99 من [8] H. Arzelíés).

أ - لا يمكن لحدثين متطابقين زمنياً في موقعين مختلفين  $A$  و  $B$  في  $S_0 \equiv S'$  وتفصل بينهما مسافة  $\ell_0$  أن يرتبطا بعلاقة سببية (لأن هذه العلاقة تفترض أن يكون الفاصل الزمني بين الحدثين  $t_0 \geq \frac{\ell_0}{c}$ ). ويكون الحال كذلك إذا شوهد الحدثان في هيكل إسناد  $S$ ، لأن حدثين متطابقين في  $S_0 \equiv S'$  (أي  $t' = t_0 = 0$ ) يبدوان في  $S$  (استناداً إلى V - 39) مفصولين بمسافة وفترة زمنية.

$$\ell = \frac{\ell_0}{\sqrt{1 - \beta^2}} \quad t = \frac{\beta \ell_0}{c \sqrt{1 - \beta^2}} \quad \frac{\ell}{t} = \frac{c}{\beta} > c.$$

ب - يمكن لحدثين  $A(t'_A)$  و  $B(t'_B)$  في نقطتين مختلفتين في  $S_0 \equiv S'$  على مسافة  $AB = \ell_0$  وفترة زمنية  $t_0 = t'_B - t'_A$  أن يرتبطا بعلاقة سببية إذا  $u_0 = \frac{\ell_0}{t_0} \leq c$  فنجد أيضاً في الهيكل الاسنادي اللورنتزي  $S$ :

$$\mu_0 \leq c \text{ إذا } \mu = \frac{\ell}{t} = \frac{\ell_0 + vt}{t_0 + \frac{v}{c^2} \ell_0} = \frac{\mu_0 + v}{1 + \frac{v\mu_0}{c^2}} \leq c$$

عندئذ يتتابع الحدثان  $A$  و  $B$  بالترتيب الزمني ذاته في الهيكلين ويمكن أن يرتبطا بعلاقة سببية.

ج - لا يمكن لحدثين  $A(t'_A)$  و  $B(t'_B)$  في نقطتين مختلفتين من  $S_0 \equiv S'$  على مسافة  $AB = \ell_0$  وفترة زمنية  $t_0 = t'_B - t'_A > 0$  أن يرتبطا بعلاقة سببية إذا  $u_0 = \frac{\ell_0}{t_0} > c$  فنجد في الهيكل الإسنادي اللورنتزي  $S$  استناداً إلى (V - 39)

$$t = t_B - t_A = \frac{t_0 + \frac{v}{c^2} \ell_0}{\sqrt{1 - \beta^2}} = t_0 \frac{1 + \frac{v}{c^2} u_0}{\sqrt{1 - \beta^2}}$$



## 3 - لازمة لتقلص الطول: تغيرُ الزوايا والأحجام

لنفترض أن خطأ مستقيماً OM يرتبط بالهيكل الاسنادي S ذي الأصل  $O(x_0, y_0)$  بحيث إن OM هو في السطح المستقيم xOy ويشكل مع Ox زاوية  $\angle Ox, OM = \alpha$

تخضع كل نقطة من هذا الخط إذا أخذت في الوقت ذاته ( $\Delta t = 0$ ) إلى المعادلة:

$$(V-46) \quad y - y_0 = (x - x_0) \operatorname{tg} \alpha.$$

لتحديد انحدار هذا الخط في الهيكل الاسنادي اللورنتزي S' يقيس مشاهد ثابت في هذا الهيكل إحداثيات النقطتين  $M(x, y)$  و  $O(x_0, y_0)$  في الوقت ذاته  $t'$  في S' (أي  $\Delta t' = 0$ ) ويعني هذا طبعاً أوقاتاً مختلفة في S<sup>(55)</sup>. فنجد استناداً إلى التحويل (V-39) مع  $\Delta t' = 0$

$$(V-47) \quad x - x_0 = \frac{x' - x'_0}{\sqrt{1 - \beta^2}}, \quad y - y_0 = y' - y'_0$$

مما يعني أن انحدار الخط في الهيكل الاسنادي S' هو:

$$(V-48) \quad (\operatorname{tg} \alpha') \Delta t' = 0 = \frac{y' - y'_0}{x' - x'_0} = \frac{\operatorname{tg} \alpha \Delta t = 0}{\sqrt{1 - \beta^2}} > (\operatorname{tg} \alpha) \Delta t = 0$$

وأقل قيمة له هي في الهيكل الاسنادي الذاتي.

= ومن الممكن مثلاً عكس الترتيب الزمني أي جعل  $t < 0$  رغم أن  $t_0 > 0$  والشرط لذلك هو:

$$u_0 (-v) > c^2 \quad \text{أي} \quad \frac{1 + \frac{v}{c^2} \mu_0}{\sqrt{1 - \beta^2}} < 0$$

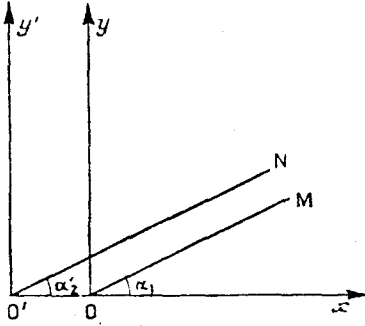
حيث  $v$  هي سرعة S بالنسبة  $S_0 \equiv S'$ . وهذا الشرط ممكن تحقيقه لأن الحدثين لا يرتبطان بعلاقة سببية في الهيكل الإسنادي الذاتي (يمكن أن  $u_0 > 0$ ) أنظر في الصفحة 101 من المرجع [8] لمثل على هذه الامكانية أعطاه إسكلانغون Esclangon.

(55) نستخلص من ذلك أن مقارنة القياسات التي ترمي إلى تحديد انحدار خط في الفضاء ليس له المعنى المطلق الذي كان في النظريات ما قبل النسبية. إذ إننا نقابل في الحقيقة معطيات لا يمكن أن تكون متطابقة زمنياً في الهياكل الاسنادية S و S'. بشكل عام لا يمكن أن نحافظ على المفهوم الكلاسيكي للجسم الصلب. فتظهر نتائج كل عملية قياس كرسوم تخطيطية diagrams في المكان والزمان في كل هيكل إسناد لورنتزي. ونكتفي هنا بمقارنة «لقطات خاطفة» في المقاطع  $t = c^t$  أو  $t' = c^{t'}$  من المكان والزمان. إرجع إلى الصفحة 120 من [18] J.L. Synge.

كذلك لنحسب الزاوية بين الخط OM المرتبط بالهيكل الاسنادي S والخط O'N المرتبط بالهيكل الاسنادي S' كما في الرسم 21. فإذا افترضنا أن هذين الخطين هما في السطح xOy يمكن أن نكتب معادلتيهما كما يلي:

$$(V-49) \quad y_1 = x_1 \operatorname{tg} \alpha_1 \quad (\Delta t = 0) \quad S \quad \text{في} \quad OM$$

$$(V-50) \quad y'_2 = x'_2 \operatorname{tg} \alpha'_2 \quad (\Delta t' = 0) \quad S' \quad \text{في} \quad O'N$$



الشكل 21- التغييرات في الزوايا

واستناداً إلى المعادلة (V-48) يجد المشاهد في الهيكل S' أن انحدار OM هو:

$$(V-51) \quad (\operatorname{tg} \alpha_1) \Delta t' = 0 = \frac{(\operatorname{tg} \alpha_1) \Delta t = 0}{\sqrt{1 - \beta^2}}$$

وإذا كان انحدار هذين الخطين متساوياً في هيكليهما الاسناديين الذاتيين أي نجد:  $(\alpha'_2)_{\Delta t' = 0} = (\alpha_1)_{\Delta t = 0}$

$$(V-52) \quad \frac{y'_2}{x'_2} = (\operatorname{tg} \alpha'_2) \Delta t' = 0 = (\operatorname{tg} \alpha_1) \Delta t = 0 < \frac{\operatorname{tg} \alpha_1 \Delta t = 0}{\sqrt{1 - \beta^2}} = (\operatorname{tg} \alpha'_1) \Delta t = 0 = \frac{y'_1}{x'_1}$$

وبطريقة مشابهة نجد في الهيكل الاسنادي S

$$(V-53) \quad \frac{y_1}{x_1} = (\operatorname{tg} \alpha_1) \Delta t = 0 = (\operatorname{tg} \alpha'_2) \Delta t' = 0 < \frac{(\operatorname{tg} \alpha'_2) \Delta t' = 0}{\sqrt{1 - \beta^2}} = (\operatorname{tg} \alpha_2) \Delta t = 0 = \frac{y_2}{x_2}$$

وذلك يعني أن الخطين OM و O'N اللذين يشكّلان في هيكليهما الإسناديين الذاتيين الزاوية ذاتها  $\alpha$  مع المحور Ox ليسا متوازيين في أي من الهيكلين S و S'.

وينتج مباشرة مما سبق أن شكل جسم معين يختلف من هيكل إسناد لورنتزي إلى آخر. فإذا كان شكله كروياً بشعاع R في  $S_0$  أي:

$$(V-54) \quad x_0^2 + y_0^2 - z_0^2 = R^2$$

يظهر بشكل بيضوي في هيكل إسناد لورنتزي آخر متحرك بسرعة  $v$ . إذ نجد استناداً إلى (V-39) المعادلة التالية:

$$(V-55) \quad \frac{x^2}{\sqrt{1 - \beta^2}} + y^2 + z^2 = R^2$$

بشكل عام يكون حجم جسم أكبر ما يكون إذا قيس في هيكله الإسنادي الذاتي.

## 12 - الوقت الذاتي

الوقت الذاتي  $\tau$  هو الوقت المقيس بساعة ثابتة في الهيكل الإسنادي. فتكون الفترة التفاضلية من الوقت الذاتي للهيكل الإسنادي S مرتبطة بالفترة  $dt$  في الهيكل S بالعلاقة

$$(V-56) \quad d\tau = dt \sqrt{1 - \beta^2}$$

أي  $d\tau < dt$ . مما يعني أن:

$$(V-57) \quad d\tau^2 = dt^2 \left\{ 1 - \frac{1}{c^2} \left[ \left( \frac{dx}{dt} \right)^2 + \left( \frac{dy}{dt} \right)^2 + \left( \frac{dz}{dt} \right)^2 \right] \right\}$$

$$= \frac{1}{c^2} [c^2 dt^2 - dx^2 - dy^2 - dz^2] = \frac{1}{c^2} ds^2$$

وبما أن الصيغة

$$(V-58) \quad ds^2 = c^2 d\tau^2$$

لا تتغير في تحويلات لورنتز نستنتج أن الوقت الذاتي  $ds = \frac{1}{c} d\tau$  لا يتغير أيضاً.

### 13 - التمثيل الهندسي لتحويل لورنتز

يمكن تبين التشابه بين إحاثيات المكان والزمان في تحويل لورنتز باستعمال التمثيل الهندسي التالي:

نكتفي هنا بتمثيل الاحداثيات  $x^1$  و  $x'^1$  على المحاور المتوازية مع سرعة التحويل. فإذا طبقنا القواعد (V-38) و (V-39) على  $x = x^1$  و  $ct = x^0$  نجد

$$(V-59) \quad x'^1 = \frac{x^1 - \beta x^0}{\sqrt{1 - \beta^2}} \quad x^1 = \frac{x'^1 + \beta x'^0}{\sqrt{1 - \beta^2}}$$

$$x'^0 = \frac{-\beta x^1 + x^0}{\sqrt{1 - \beta^2}} \quad x^0 = \frac{\beta x'^1 + x'^0}{\sqrt{1 - \beta^2}}$$

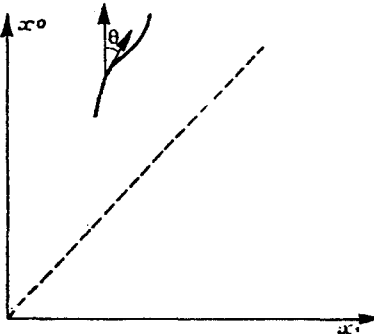
تمثل حركة جسيم نقطي بخط الكون  $x^0 = f(x^1)$  (انظر الرسم 22) ويشكل الخط المستقيم المماس tangent على هذا الخط مع محور الوقت زاوية  $\theta$ .

$$(V-60) \quad \text{tg } \theta = \frac{d x^1}{d x^0} = \frac{1}{c} \frac{d x}{d t} = \beta \leq 1.$$

مما يعني أن:

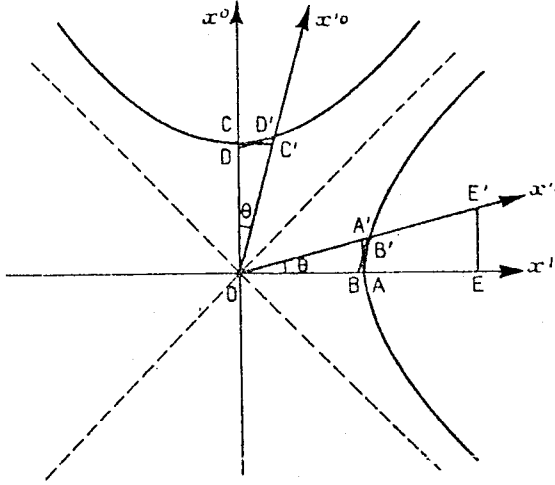
$$\theta \leq 45.$$

وفي الحدود نجد خطاً مستقيماً بانحدار 45 أي  $\beta = 1$  ويمثل هذا الخط مساراً محتملاً للأشعة الضوئية.



الشكل 22- اتجاه مسار جسيم نقطي

وإذا استعملنا القواعد (V-59) يمكن أن نحدّد وضع المحورين  $(x^1, x'^0)$  للهيكل الاسنادي  $S'$  بالنسبة إلى المحورين  $(x^1, x^0)$  للهيكل  $S$ . ونشير إلى أن لهذين المحورين أصلاً واحداً، وأن المحور  $Ox'^0$  يحدّد بالمعادلة  $x'^1 = 0$  أي  $x^1 = \beta x^0$  استناداً إلى التحويل. ويعني هذا أن المحور  $Ox'^0$  يشكل مع  $Ox^0$  زاوية  $\theta$  تحدّد قيمتها بالمعادلة  $\tan \theta = \beta$  وأن المحور  $Ox'^1$  يشكل الزاوية ذاتها مع المحور  $Ox^1$  (انظر الرسم 23).



الشكل 23- الرسم التخطيطي  
لتقلص الطول وتمدد الزمن

## 1 - نسبة التطابق الزمني

في الهيكل الاسنادي  $S(x^0, x^1)$  جميع الأحداث على المحور  $Ox$  متطابقة زمنياً ولكنها متتابعة في الهيكل  $S'(x'^0, x'^1)$  لأن إسقاطاتها على المحور  $Ox'^0$  مختلفة.

وعكس ذلك ان الاحداثيات المتطابقة زمنياً في  $S'$  أي الموجودة على المحور  $Ox'^1$  ليست كذلك بالنسبة إلى مشاهد في  $S$  لأن إسقاطاتها على المحور  $Ox^0$  مختلفة وبشكل خاص أن الحدث  $E'$  الذي يقع في الوقت  $t' = 0$  (أي  $x'^0 = 0$ ) يقع في النقطة  $E$  في  $S$  أي في الوقت  $t = \frac{EE'}{c}$

## 2 - تقلص الطول

لنرسم القطعين الزائدين المترافقين:

$$(V-61) \quad (x^1)^2 - (x^0)^2 = 1 \quad (x^1)^2 - (x^0)^2 = -1.$$

الأول يقطع المحور  $Ox^1$  في النقطتين  $A$  و  $A_1$  ( $x^1 = \pm 1$ ) والمحور  $Ox'^1$  في النقطتين  $B'$  و  $B'_1$  ( $x'^0 = 0; x'^1 = \pm 1$ ) لأن إحداثيات هاتين النقطتين  $x^1 = \frac{\pm 1}{\sqrt{1 - \beta^2}}$  و  $x^0 = \frac{\pm \beta}{\sqrt{1 - \beta^2}}$  وتخضع للمعادلة  $(x^1)^2 - (x^0)^2 = 1$ .

أما الخط الثاني فيقطع المحور  $Ox^0$  في النقطتين  $C$  و  $C_1$  ( $x^0 = \pm 1$ ) والمحور  $Ox'^0$  في النقطتين  $D'$  و  $D'_1$  ( $x'^1 = 0, x'^0 = \pm 1$ ) وإحداثيات هاتين النقطتين هي  $x^1 = \frac{\pm \beta}{\sqrt{1 - \beta^2}}$  و  $x^0 = \frac{\pm 1}{\sqrt{1 - \beta^2}}$  وتخضع للمعادلة  $(x^1)^2 - (x^0)^2 = -1$ .

لنفترض أن مسطرة بوحدة الطول متمثلة بالمقطع  $OA = 1$  وثابتة في الهيكل الإسنادي الأول. يسلك الطرف  $O$  خط الكون  $Ox^0$  والطرف  $A$  خط الكون  $AA'$  المتوازي مع  $Ox^0$ . ويسجل مشاهد في الهيكل الإسنادي الثاني المواقع للطرفين في الوقت نفسه في هذا الهيكل، فيجد الطول:

$$OA' < OB' = 1$$

ويجد أن معيار الطول المتحرك أقصر من معيار الطول الثابت في هيكله الإسنادي.

وعكس ذلك إذا كان معيار الطول  $OB' = 1$  ثابتاً في الهيكل الإسنادي الثاني ويسلك طرفاه خطي الكون المتوازيين  $Ox'^0$  و  $B'B$ . فإذا سجل مشاهد في الهيكل  $S$  المواقع للطرفين في الوقت ذاته في  $S$  أي  $x^0 = 0$  يجد الطول:

$$OB < OA = 1$$

أي أنه يجد أن طول المعيار المتحرك أقل من طول المعيار الثابت في هيكله الإسنادي.

### 3 - تمدد الفترات الزمنية

تمثل ساعة ثابتة في الموقع  $x^1 = 0$  من الهيكل الإسنادي  $S$  بنقطة تسلك المحور  $Ox^0$  مع مرور الوقت. فإذا كانت دورة عقرب الساعة تمثل وحدة الوقت تنتقل النقطة التي تمثل الساعة من  $O$  إلى  $C$  ( $OC = 1$ ). أما الساعة الثانية في الهيكل الإسنادي  $S'$  والتي تلاصق الساعة الأولى في الوقت  $x^0 = OC = 1$  فإنها تمثل في الهيكل الإسنادي  $S'$  بالنقطة  $C'$  من المحور  $Ox'_0$  ( $x'^1 = x^1 = 0$ ) والتي يحددها الخط  $CC'$  المتوازي مع  $Ox^1$  (لأن الخط  $CC'$  يمثل الوقت  $x^0 = 1$  في  $S$ ). فيمثل  $OC'$  مدة زمنية

$$OC' < OD' = 1$$

مما يعني أن مُشاهد S يستنتج أن ساعة S' الملاصقة لساعته في المكان لم تُدِرْ عقاربها بعد دورة كاملة بينما ساعته دارت دورة كاملة. أي أن ساعة S' تتباطأ.

وعكس ذلك تمثل ساعة ثابتة في الهيكل الاسنادي S' بنقطة تسلك المحور  $Ox'^0$  ويكون عقربها قد دار دورة كاملة (وحدة الوقت) عندما تكون في النقطة D' التي تلاصق النقطة D من الهيكل S ( $x^1 = x'^1 = 0$ ) بحيث إن DD' متوازية مع  $Ox'_1$  الذي يمثل الزمن  $x'^0 = 1$  في S'. ولكن:

$$OD < OC = 1.$$

مما يعني أن عقرب ساعة S عندما تمثل بالنقطة C لم يُكمل بعد دورته. فيستنتج أيضاً المشاهد المرتبط بالهيكل S' أن ساعة S تتباطأ.

بتعبير آخر، إن الساعة المتحركة تبدو أبطأ من الساعة الثابتة مما يعني أن الحركة تُسبب تمدد الفترات الزمنية. وقد أوضح لانجفان P.Langevin توسُّع هذه النتيجة التي بدت متناقضة وقتئذٍ.

في الواقع أن التقلص المتبادل للطول والتمدد المتبادل للفترات الزمنية يصبحان طبيعيين عند التخلي عن فكرة التطابق الزمني المطلق. أما إذا قبلنا ضمناً بهذه الفكرة فإننا نُقاد إلى تحولات غير متبادلة للمكان والزمان في الهياكل الاسنادية الغاليلية أي إلى رفض مبدأ النسبية.

## 14 - صيغ أخرى لتحويل لورنتز الخاص

### 1 - الإحداثيات الحقيقية:

يمكن أن نكتب التحويل (V-59) بصيغة تظهر التناظر بين الإحداثيات  $x^0$  و  $x^1$ . لذلك نحدده كما يلي:

$$\beta = \text{th } \varphi$$

أي:

$$(V-63) \quad \text{ch } \varphi = \frac{1}{\sqrt{1 - \beta^2}}, \quad \text{sh } \varphi = \frac{\beta}{\sqrt{1 - \beta^2}}$$

فيكتب التحويل (V-59) بالصيغة التالية:

$$(V-64) \quad \begin{aligned} x'^1 &= x^1 \operatorname{ch} \varphi - x^0 \operatorname{sh} \varphi & x^1 &= x'^1 \operatorname{ch} \varphi + x'^0 \operatorname{sh} \varphi \\ x'^0 &= -x^1 \operatorname{sh} \varphi + x^0 \operatorname{ch} \varphi & x^0 &= x'^1 \operatorname{sh} \varphi + x'^0 \operatorname{ch} \varphi \end{aligned}$$

## 2 - الإحداثيات التخيلية:

لنحدد الإحداثيات الرابعة حسب منكوفسكي Minkowski

$$(V-65) \quad x^4 = ict$$

والزاوية التخيلية  $\psi$  بحيث إن:

$$i\beta = \operatorname{th} \psi$$

أي:

$$(V-66) \quad \cos \psi = \frac{1}{\sqrt{1 - \beta^2}}, \quad \sin \psi = \frac{i\beta}{\sqrt{1 - \beta^2}}$$

فيكتب التحويل (V-59) بالصيغة التالية:

$$(V-68) \quad \begin{aligned} x'^1 &= x^1 \cos \psi + x^4 \sin \psi & x^1 &= x'^1 \cos \psi - x'^4 \sin \psi \\ x'^4 &= -x^1 \sin \psi + x^4 \cos \psi & x^4 &= x'^1 \sin \psi + x'^4 \cos \psi \end{aligned}$$

وتمثل هذه الصيغة دوراناً في السطح  $(x^1 \text{ O } x^4)$  للمحاور بزاوية تخيلية  $\psi$ . ونشير أنه استناداً إلى المعادلات (V-62) و (V-66).

$$(V-69) \quad \psi = i \varphi$$

## 15 - تحويل لورنتز العام - طريقة مولر C. Moller

يرمي تحويل لورنتز (أنظر المقطع الثالث) إلى إيجاد العلاقة بين الإحداثيات في الهيكل الإسنادي S والهيكل الإسنادي S' يتحرك بالنسبة إلى S بسرعة ثابتة (هياكل إسناد غاليلية). وذلك بالافتراض أن سرعة الضوء في الفراغ متساوية في كل هياكل

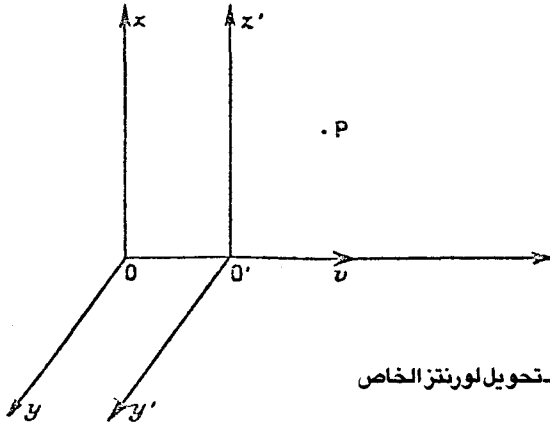


الإسناد. وهذا يقود إلى مساواة الكمية  $ds^2$  في كل هياكل الإسناد اللورنتزية.

لقد افترضنا حتى الآن أن السرعة النسبية للهياكل هي باتجاه المحور  $Ox$  وأن محاور الهياكل متوازية. فيكون التحويل حسب القواعد (V-38) و (V-39) أو (V-64) و (V-68) (تحويل لورنتز الخاص).

1 - لنبقَ الآن في الحالة الخاصة لتحويل خاص بسرعة متوازية مع  $Ox$  (الرسم 24). من الممكن كتابة العلاقات الأربع (V-38) بعلاقتين اتجاهيتين لذلك نحدد موقع نقطة  $P$  في الهيكلين الإسناديين  $S$  و  $S'$  بالمتجهين:

$$(V-70) \quad \mathbf{r} = (x, y, z) \quad , \quad \mathbf{r}' = (x', y', z')$$



الشكل 24 - تحويل لورنتز الخاص

ونحدد سرعة  $S'$  بالنسبة إلى  $S$  بالمتجه  $\mathbf{v} (v_x, 0, 0)$  فنكتب القواعد (V-38) بالعلاقتين الاتجاهيتين:

$$(V-71)_1 \quad \mathbf{r}' = \mathbf{r} + \mathbf{v} \left[ \left( \frac{\mathbf{r} \cdot \mathbf{v}}{v} \right) \left( \frac{1}{\sqrt{1 - \beta^2}} - 1 \right) - \frac{t}{\sqrt{1 - \beta^2}} \right]$$

$$(V-71)_2 \quad t' = \frac{t - \left( \frac{\mathbf{r} \cdot \mathbf{v}}{c^2} \right)}{\sqrt{1 - \beta^2}}$$

إذ إننا نحصل فعلاً على (V-38) بكتابة مركبات (V-71)<sub>1</sub> على المحاور  $Ox$  و  $Oy$  و  $Oz$  أي باستبدال  $\mathbf{r}$  بالمركبات  $(x, y, z)$  و  $\mathbf{v}$  بالمركبات  $(v_x, 0, 0)$ .

وكذلك يمكن كتابة القواعد العكسية (V-39) بالعلاقتين الإتجاهيتين

$$(V-72)_1 \quad r = r' + v' \left[ \left( \frac{r' \cdot v'}{v^2} \right) \left( \frac{1}{\sqrt{1 - \beta^2}} - 1 \right) - \frac{t'}{\sqrt{1 - \beta^2}} \right]$$

$$(V-72)_2 \quad t = \frac{t' - \left( \frac{r' \cdot v'}{c^2} \right)}{\sqrt{1 - \beta^2}}$$

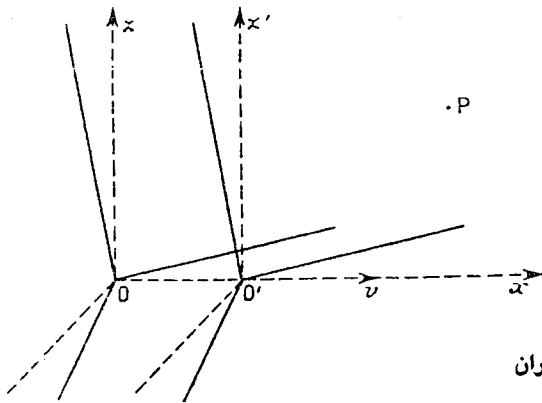
حيث  $V' = -V$  تمثل سرعة S بالنسبة إلى  $S'$ . فإذا اعطينا المركبات  $r', y', z'$  و  $v'$  المركبات  $-v_x, 0, 0$  نحصل على القواعد (V-39) للتحويل الخاص.

2 - لنحول الآن الهيكلين الاسناديين S و  $S'$  بدوران فضائي واحد (الرسم 25) في هذه الحالة تتحول المتجهات  $r$  و  $r'$  و  $v$  و  $v'$  بالطريقة ذاتها وتبقى العلاقات (V-71) و (V-72) صحيحة ولكن سرعة التحويل من S إلى  $S'$  هي الآن:

$$(V-73) \quad V = (v_x, v_y, v_z)$$

ومن  $S'$  إلى S هي:

$$v' = (-v_x, -v_y, -v_z)$$



الشكل 25-تحويل لورنتز مع دوران

نستخلص إذاً من العلاقات الإتجاهية (V-71) قواعد التحويل الأربع التالية الصالحة في الحالة العامة لسرعة تحويل  $v$  بأي اتجاه بالنسبة إلى المحاور:

$$(V-74)_1 \quad x' = x + \frac{\alpha v_x}{v^2} [v_x x + v_y y + v_z z - c^2 t (1 + \sqrt{1 - \beta^2})]$$

$$(V-74)_2 \quad y' = y + \frac{\alpha v_y}{v^2} [v_x x + v_y y + v_z z - c^2 t (1 + \sqrt{1 - \beta^2})]$$

$$(V-74)_3 \quad z' = z + \frac{\alpha v_z}{v^2} [v_x x + v_y y + v_z z - c^2 t (1 + \sqrt{1 - \beta^2})]$$

$$(V-74)_4 \quad t' = t - \frac{1}{c^2 \sqrt{1 - \beta^2}} [v_x x + v_y y + v_z z - c^2 t (1 - \sqrt{1 - \beta^2})]$$

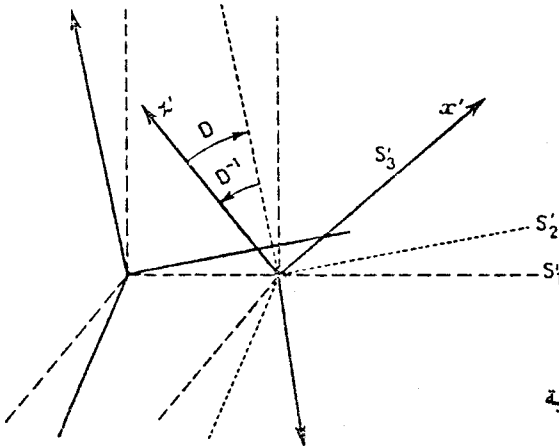
حيث وضعنا:

(V-75)

$$\alpha = \frac{1}{\sqrt{1 - \beta^2}} - 1.$$

أما التحويل المعاكس فنحصل عليه من المعادلات (V-74) بتبادل  $x, y, z$  و  $x', y', z'$  والسرعة  $v_x, v_y, v_z$  والسرعة  $-v_x, -v_y, -v_z$ .

3 - لنحول الآن الهيكلين الاسناديين  $S$  و  $S'$  انطلاقاً من الوضع الأصلي (الرسم 24) بدوران فضائي مختلف لكل منهما. ويعادل هذا تحويل الهيكل  $S'$  بمفرده بدوران فضائي  $D^{-1}$  انطلاقاً من وضع الرسم 25. فيصبح اتجاه المحاور كما في الرسم 26 (الخطوط المتواصلة).



الشكل 26-تبدل المراجع الغاليلية  
التحويل العام

إن قاعدة التحويل الأخيرة (V-71)<sub>2</sub> لا تتبدل ولكن الصيغة (V-71)<sub>1</sub> تبقى صحيحة شرط تحويل المتجه الجديد  $r'$  في  $S'_3$  بالدوران المعاكس  $D$  (الذي يعيد الهيكل الاسنادي  $S'_3$  إلى وضعه الأصلي  $S'_2$  في الرسم 25) فنجد:

$$(V-76) \quad Dr' = r + v \left[ \frac{\alpha}{v^2} (r \cdot v) - \frac{t}{\sqrt{1 - \beta^2}} \right]$$

ومن جهة أخرى السرعة  $v'$  للهيكل  $S$  بالنسبة إلى  $S'$  تصبح  $Dv'$  في هذا الدوران المعاكس. ولكنها (كما في الرسم 24) تساوي عندئذ  $-v$  أي:

$$(V-77) \quad Dv' = -v$$

فإذا حولنا جانبي المعادلة (V-76) بالدوران  $D^{-1}$  نجد قانون التحويل:

$$(V-78)_1 \quad r' = D^{-1} r - v' \left[ \frac{\alpha}{v'^2} (r \cdot v) - \frac{t}{\sqrt{1 - \beta^2}} \right]$$

$$(V-78)_2 \quad t' = \frac{t - \left( \frac{r \cdot v}{c^2} \right)}{\sqrt{1 - \beta^2}}$$

حيث:

$$(V-75) \quad x = \frac{1}{\sqrt{1 - \beta^2}} - 1$$

وبطريقة مشابهة نحصل على قواعد التحويل المعاكس انطلاقاً من الرسم 25 بدوران  $D^{-1}$  يخضع له الهيكل الاسنادي  $S$  وليس الهيكل  $S'$ . فنجد:

$$(V-79)_1 \quad r = D^{-1} r' - v \left[ \frac{\alpha}{v^2} (r' \cdot v') - \frac{t'}{\sqrt{1 - \beta^2}} \right]$$

$$(V-79)_2 \quad t = \frac{t' - \left( \frac{r' \cdot v'}{c^2} \right)}{\sqrt{1 - \beta^2}}$$

4 - أخيراً إذا افترضنا أن أصول الهياكل الإسنادية S و S' لا تتطابق في الوقت  $t = t' = 0$  يجب أن نستبدل r' و t' بالكميات:

$$(V-80) \quad r'_1 = r' + a' \quad , \quad t'_1 = t' + \theta'$$

حيث a' و  $\theta'$  ثابتان. ولكن:

$$(V-81) \quad \Delta r'_1 = \Delta r' \quad , \quad \Delta t'_1 = \Delta t'$$

بحيث تكون جميع قواعد التحويل السابقة صالحة للفرق بين إحداثيات حدثين المحدد بالكميات  $\Delta r$  و  $\Delta t$  في S و  $\Delta r'_1$  و  $\Delta t'_1$  في S'.

هكذا يكون التحويل العام بين هياكل الإسناد حصيلته:

— تحويل خاص للورنتز.

— دوران فضائي.

— انسحاب فضائي translation وتغيير في أصل الوقت.

ويكتب هذا التحويل بالصيغة (V-79) و (V-80). ويمكن التأكد بأن هذا التحويل يحافظ على الكمية  $ds^2$  أي:

$$(V-82) \quad ds^2 = c^2 dt^2 - dr^2 = c^2 dt'^2 - dr'^2 = ds'^2$$

تحدد الصيغ (V-78) و (V-79) تحويل لورنتز العام الذي يربط بين الهياكل الإسنادية للورنتزية بشكل عام لأية سرعة مع أي دوران للمحاور.

سنعود لاحقاً (في الفصل VI المقطع 7) إلى صيغة الموتر لتحويل لورنتز العام.

## 16 - تغير الهيكل الإسنادي الذاتي لجسم متحرك محيرة الساعات أو المحيرة الميقاتية <sup>(56)</sup> Clock paradox

تتيح مبادئ النسبية الخاصة المعبر عنها بتحويل لورنتز مقارنة الظواهر الفيزيائية في هيكليين إسناديين غاليليين. ومن هذه الهياكل الهيكل الإسنادي الذاتي للجسم وهو الهيكل الذي يرتبط بالجسم ويتحرك معه باستمرار. ويتيح تحويل

(56) يمكن الرجوع إلى الصفحة 258 من [16] C. Moller.

Cf. P. Langevin. L'évolution de l'espace et du temps (Scientia, X, 1911, P. 31).

لورنتز مقارنة الظواهر في الهيكل الاسنادي الذاتي وأي هيكل آخر. كما يثبت هذا التحويل أن هناك عكسية كاملة في وصف الظواهر. وتقود هذه العكسية بالضبط إلى نسبية الحركة.

ولن يكون الحال كذلك إذا أردنا مقارنة الأطوال والفترات الزمنية بواسطة مساطر أو ساعات انتقلت واحدة منها على الأقل من هيكل إسنادي ذاتي غاليلي إلى آخر.

لنفترض مثلاً أن مسطرة طولها  $\ell_0$  في هيكلها الاسنادي الذاتي الغاليلي S تسرع لفترة قصيرة كي تنطلق بعد ذلك بسرعة  $v$  بالنسبة إلى S. فإذا كانت  $v$  ثابتة يكون الهيكل الذاتي الجديد S' متحركاً بسرعة  $v$  بالنسبة إلى S ويكون طول المسطرة  $\ell'_0$  في S' وطولها في S حسب قاعدة تقلص الطول  $\ell = \ell'_0 \sqrt{1 - \beta^2}$ . من الواضح أن  $\ell$  (أو  $\ell'_0$ ) لا يمكن مقارنتها ب  $\ell_0$ . وإذا أعيدت المسطرة للسكون في S (بإخضاعها لتسريع فجائي جديد مثلاً) يصبح طولها  $\ell_{00}$  في S. وقد يكون الطول  $\ell_{00}$  مختلفاً عن  $\ell_0$  لأن  $\ell_{00}$  تنتج عن إخضاع المسطرة مرتين للتسريع مما يعني تغييراً لهيكلها الذاتي يمنع العكسية بين الهياكل الاسنادية وبالتالي بين الكميات الفيزيائية المقاسة فيها<sup>(57)</sup>.

وتقود مقارنة ساعات بدلت واحدة منها على الأقل هيكلها الاسنادي الذاتي بواسطة تسريع معين إلى نتائج مشابهة.

لنفترض أن ساعة A مرتبطة بالهيكل S وأخرى A' مرتبطة بالهيكل S' تتباطأ الساعة A' عن الساعة A إذا قرأت في الهيكل S حسب القاعدة:

$$\begin{aligned} (V - 83) \quad (\Delta t)_S - (\Delta t')_{S(\Delta x' = 0)} &= (\Delta t)_S - (\Delta t)_S \sqrt{1 - \beta^2} \\ &= (\Delta t)_S (1 - \sqrt{1 - \beta^2}) \end{aligned}$$

وهذه الظاهرة قابلة للانعكاس بمعنى أن الساعة A تتباطأ أيضاً عن الساعة A' إذا قرأت في الهيكل S'.

(57) يمكن أن نبحث في هذا المجال مسائل التوقف والانطلاق المفاجيء في الحركة. وتوجد بعض الأمثلة في:

The Fitzgerald - Lorentz contraction: some paradoxes and their resolution (W. H. Mac

GREAA. Proc. Roy Dublin Soc., 26, 1952, 27).

$$(V - 84) \quad (\Delta t)_{S'} - (\Delta t)_{S'(\Delta x = 0)} = (\Delta t')_{S'} - (\Delta t')_{S'} \sqrt{1 - \beta^2}$$

$$= (\Delta t')_{S'} (1 - \sqrt{1 - \beta^2})$$

لنفترض الآن أن الساعتين A و A' كانتا في الهيكل الاسنادي ذاته S. تسرع فجأة الساعة A' لتنتقل بسرعة v. فتصبح A' مرتبطة خلال وقت  $\Delta t'$  إلى الهيكل الاسنادي S'. ثم تخضع A' لتبطين مفاجيء لتعود إلى الهيكل الأصلي S. فإذا كانت مدة التسريع والتبطين قصيرة جداً نستخلص لدى مقارنة A' و A أن A' متأخرة عن A كما نقرأ في المعادلة (V - 83) وليس العكس.

ولكن المقارنة بين A و A' تتم بالنهاية في الهيكل الاسنادي الذاتي S ذاته. وثبت أن نتيجة التجربة لا يمكن انعكاسها، ففي الهيكل المرتبط باستمرار إلى الساعة A' (المميز بالتالي S' في بدء ونهاية التجربة) تكون النتيجة النهائية (V - 83) هي الصحيحة طبعاً (إذ إن S' يطابق عندئذ S) وليست النتيجة (V - 84).

ولقد أشار أينشتاين نفسه إلى هذه «المحيرة» التي تبدو كأنها تتيح معرفة أي من الساعتين قد تحركت خلافاً لمبادئ النسبية. في الواقع أن هذه المحيرة تخرج من نطاق النسبية الخاصة إذ تدخل تسريعاً يتيح معرفة أي من الساعتين أخضعت له فتغير هيكلها الاسنادي الذاتي خلال التجربة.

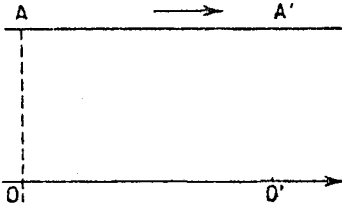
وينطبق هذا التناقض أيضاً على التجربة المسماة «مسافر لانجفان»، إذ إن تباطؤ الساعة A' يظهر بتقدم أقل في سن المسافر. فالتسريع والتبطين اللذان يغيران الهيكل الاسنادي الذاتي في بدء ونهاية الرحلة هما اللذان يجعلان هذه الظاهرة غير قابلة للإنعكاس.

ويمكن توضيح هذه النتائج باستعمال ظاهرة دوبلر Doppler الطولية<sup>(58)</sup>. لنفترض أن A يرسل إشارات بتردد  $\nu_0$  في هيكله الاسنادي الذاتي S وذلك في اتجاه Ox. تبدو هذه الإشارات لمسافر A' متوجه بسرعة v من O إلى O' كأنها بتردد<sup>(59)</sup>.

(58) ترجع ظاهرة دوبلر الطولية إلى حصيلية ظاهرة دوبلر غير النسبية  $\nu = \nu_0 (1 \pm \beta \cos \theta)$  التي تبلغ مداها الأعلى في الحالة الطولية ( $\cos \theta = 1$ ) فتكون  $\nu = \nu_0 (1 \pm \beta)$  والتصحيحات النسبية. أما ظاهرة دوبلر المستعرضة فهي نسبية بحتة إذ إن الظاهرة غير النسبية تختفي تماماً عندئذ ( $\cos \theta = 0$ ). فهي إذا نتيجة مباشرة لتأخر الساعات المتحركة (انظر الفصل العاشر) وأيضاً المرجع [8] الصفحة 146.

(59) انظر الفصل العاشر المقطع الأول وخصوصاً المعادلة (X - 15).

$$(V - 85) \quad v_a = v_0 \sqrt{\frac{1 - \beta}{1 + \beta}} > v_0$$



الشكل 27-

في الهيكل الاسنادي الذاتي  $S'_a$  للمسافر  $A'$ . وفي العودة تصبح السرعة  $v$  - فيصبح تردد الإشارات التي يلتقطها:

$$(V - 86) \quad v_r = v_0 \sqrt{\frac{1 + \beta}{1 - \beta}} > v_0$$

إذ إن هيكل  $A'$  الذاتي  $S'_r$  هو هيكل إسناد غاليلي جديد.

فإذا كان  $N$  عدد الإشارات المرسلة و  $N_a$  و  $N_r$  عدد الإشارات الملتقطة نجد العلاقات:

$$(V - 87) \quad N = N_a + N_r, \quad \frac{N_a}{v_a} = \frac{N_r}{v_r}$$

مما يعطي إذاً:

$$(V - 88) \quad N_a = \frac{N}{1 + \frac{v_r}{v_a}} \quad N_r = \frac{N}{1 + \frac{v_a}{v_r}}$$

بمقارنة الوقت اللازم للمسافر  $A'$  كي يذهب من  $O$  إلى  $O'$  ثم للعودة إلى  $O$  (بعد تسريعين وتبطيئين) نجد في الهيكل الاسنادي  $S$ .

$$\Delta t = \frac{N}{v_0}$$

وفي الهيكل  $S'_a$  ثم الهيكل  $S'_r$ :

$$(V - 89) \quad \Delta t' = \frac{N_a}{v_a} + \frac{N_r}{v_r} = \frac{2N}{v_a + v_r} \\ = \frac{N}{v_0} \sqrt{1 - \beta^2} = \Delta t \sqrt{1 - \beta^2}$$



وتتم المقارنة أخيراً في الهيكل الاسنادي S المطابق للهيكل S' بعد توقفه. فليس هناك إذا عكسية بل هناك نقص أكيد في مدة رحلة A' يساوي:

$$(V - 90) \quad \Delta t - \Delta t' (1 - \sqrt{1 - \beta^2})^{(60)}$$

تدخل في هذه المسألة تسريعات تجعلها إذا في نطاق النسبية العامة. إن النسبية العامة ليست فقط تعميماً رياضياً يجلب معه تكملة اختيارية نوعاً ما لمبادئ النسبية الخاصة، بل امتداداً لا غنى عنه لإيجاد صياغة لبعض المسائل التي تطرحها الحركيات وعلم التحريك في النسبية الخاصة دون إيجاد الحلول الدقيقة لها.

(60) نشير إلى أننا نصل إلى النتيجة ذاتها إذا افترضنا أن مصدر الضوء يرافق المسافر A. انظر في الصفحة 135 من المرجع [8] H. ARZELIES.

## الصياغة الرباعية للنسبية الخاصة

### 1 - الفضاء الإقليدي غير الأصل Improper في النسبية الخاصة

نعبر عن القانون الأساسي للنسبية الخاصة (أي تساوي سرعة الضوء في جميع هياكل الإسناد الغاليلية) بثبات (لا تغير) <sup>(1)</sup> Invariance الصيغة التربيعية Quadratic الأساسية:

$$(VI-1) \quad ds^2 = c^2 dt^2 - dx^2 - dy^2 - dz^2.$$

فتكون هذه الصيغة ثابتة في تحويلات لورنتز العامة.

وتتميز الصيغة (VI-1) الفاصل Interval التفاضلي لفضاء إقليدي ذي أربعة أبعاد مسنود إلى نظام محاور مستقيمة متعامدة ومنظمة Orthonormalized. والحالة الخاصة  $ds^2 = 0$  تتميز انتشار الموجة الضوئية المنطلقة من أصل المحاور في الزمن الابتدائي. غير أن الفضاء ذا الصيغة الأساسية (VI-1) هو فضاء إقليدي غير أصل، بمعنى أن أي متجه حقيقي غير صفري Non zero في هذا الفضاء ليس حتماً ذا تنظيم إيجابي Positive norm (أي طول إيجابي).

إن جميع تحويلات الإحداثيات التي تسمح بتطبيق مبادئ النسبية الخاصة تتعلق بمحاور إحداثيات متعامدة ومنظمة. وإذا استعملنا إحداثيات حقيقية في فضاء إقليدي غير أصل فإن شروط التناظم normalization تختلف بالطبع عما هي عليه في فضاء إقليدي أصل proper. ومن الممكن أن نستعمل شكلياً صياغة

(1) نطلق صفة الثبات (اللاتغير) على الكميات التي لا تتغير في تحويلات المراجع.

إقليدية أصيلة باللجوء إلى الإحداثيات التخيلية (انظر الفصل الخامس المقطع السابع). والفائدة من هذه الوسيلة هي إعادة الصيغة الأساسية (VI-I) إلى صيغة إهليلجية Elliptic أي مجموع أربع أرقام مربعة وبذلك نتحاشى التمييز بين التغيرات (التغيرُ الموافق) Covariance والتغيرات المخالف Contravariance (انظر الفصل الرابع عشر). ولكن سيئة هذه الطريقة تنتج من إدخال إحداثيات تخيلية تبدو وكأنها بعيدة نوعاً ما عن الوسيلة الطبيعية لصياغة القوانين النسبية.

أما إذا أبقينا على الإحداثيات الحقيقية فتبقى الصيغة الأساسية (VI-1) زائدية القطع hyperbolic (--- +) مما يفرض شرط تناظم بالصيغة (VI-28) والتمييز بين التغيرات والتغيرات المخالف. وفي هذه الحالة يظهر أننا لا نربح كثيراً بالاستعمال الحصري للمحاور المتعامدة التي تخضع لشرط التناظم (VI-28)، إذ إن الشرط لا يبسط الصياغة كثيراً بل قد يبدو من المفيد أحياناً أن نستعمل محاور منحنية بشكل عام دون التمييز بين الصيغة الأساسية الإهليلجية أو الزائدية القطع لأن ذلك يرتبط بنظام الإحداثيات المعتمد. سوف نتوسع بدراسة هذه الطريقة في الفصل الرابع عشر الجزء A (ملحق في الرياضيات).

إن استعمال المحاور المنحنية واسع أكثر مما يجب كي ندرس تحويلات لورنتز (التي تنحصر فقط في المحاور المتعامدة والمنظمة) ولكنه يشملها كحالة خاصة. نحصل إذاً على تحويلات لورنتز باختبار مناسب لشرط التناظم حسب نوع الإحداثيات المستعملة. وهذه الشروط تحصر تحويلات المحاور المنحنية بالتحويلات بين هياكل الاسناد ذات المحاور المتعامدة والمنظمة وتقود إلى الصياغة الرباعية المناسبة لتحويل لورنتز.

أما حسنة استعمال المحاور المنحنية فإنها تتيح إدخال مختلف الحالات الخاصة المتعلقة بالإختيارات الممكنة للإحداثيات أي مختلف شروط التناظم. وتكون التقيدات المستخلصة منها واضحة في كل حالة.

ومن جهة أخرى من السهل تعميم استعمال المحاور المنحنية (الفصل الرابع عشر الجزء A) إلى نظام الإحداثيات المنحنية Curved (الفصل الرابع عشر الجزء B). وهذا يقودنا دون صعوبة إلى الفضاء غير الإقليدي بإحداثيات منحنية التي يصبح محتملاً علينا استعمالها<sup>(2)</sup>. بذلك يمكن أن نكتب قوانين موافقة للتغير Covariant في

(2) في الفضاء غير الإقليدي لا يمكن إلا استعمال الإحداثيات المؤسدة إذا كانت المنطقة واسعة (الفصل الخامس عشر) ولا يمكن استعمال المحاور المستقيمة إلا محلياً فقط.

آية تحويلات للإحداثيات وفق مبادئ النسبية المعممة.

ملاحظة: ليس هناك ما يفرض استعمال أنظمة المحاور المتعامدة والمنظمة لدراسة الظواهر في فضاء إقليدي رُباعي، فمن الممكن استعمال المحاور المنحنية (الفصل الرابع عشر الجزء A) أو المقوسة (الفصل الرابع عشر الجزء B). وفي هذه الحالة يجب التمييز طبعاً بين التغيرات والتغيرات المخالف. وفي حالة استعمال الاحداثيات المنحنية يجب إدخال مفهوم الاشتقاق موافق التغير Covariant derivative، بيد أن استعمال أنظمة الإحداثيات هذه (التي يمكن أن تكون مريحة أو حتى لا يمكن الاستغناء عنها لحل بعض المسائل) يبقى اختيارياً في حالة الفضاء الإقليدي. بتعبير آخر ليس من مانع أبداً من استعمال نظام محاور متعامدة ومنظمة في منطقة واسعة من هذا الفضاء الإقليدي.

## 2 - الاصطلاحات المستعملة

### 1 - المؤشرات

المؤشرات اليونانية  $(\mu, \nu, \rho, \sigma)$  تأخذ القيم (1, 2, 3, 4) إذا كنا نستعمل الإحداثيات  $x^1 = x$  و  $x^2 = y$  و  $x^3 = z$  و  $x^4 = ict$  أو القيم (1, 2, 3, 0) إذا كنا نستعمل الإحداثيات الحقيقية  $x^1 = x$  و  $x^2 = y$  و  $x^3 = z$  و  $x^0 = ct$ ، بينما المؤشرات اللاتينية  $p, q, r, s$  تأخذ فقط القيم (1, 2, 3).

### 2 - اصطلاح الجمع

نعتمد الإصطلاح التالي للجمع: إذا تكرر مؤشراً معين مرتين في حاصل ضرب كميات فيزيائية، مرة مكتوب في الأعلى ومرة مكتوب في الأسفل يعني ذلك جمع حاصل الضرب هذا لجميع قيم المؤشر المذكور. فهذا المؤشر ليس له قيمة معينة بل يرمز إلى الجمع فقط ونسميه «مؤشراً صامتاً». لتخفيف كتابة الصيغ الرياضية نستغني تماماً عن العلامة العادية للجمع  $\sum$ . وكمثل عن ذلك نكتب في نظام الإحداثيات  $(x^1, x^2, x^3, x^0)$ .

$$A_{\mu}B^{\mu} = A_1B^1 + A_2B^2 + A_3B^3 + A_0B^0$$

$$A_pB^p = A_1B^1 + A_2B^2 + A_3B^3$$

## 3 - تمثيل المتجهات والموترات

نستعمل الرمز  $A$  لتمثيل متجه في الفضاء الثلاثي الإقليدي ومركبات هذا المتجه هي:

$$A_x = A_1 \quad , \quad A_y = A_2 \quad , \quad A_z = A_3$$

أي باختصار  $A_\rho$  مع  $\rho = 1, 2, 3$ .

أما في الفضاء الرباعي فنستعمل أيضا الرمز  $A$  للمتجه. ومركباته هي:

$$(A_{ict} = A_4 \text{ أو } A_{ct} = A_0 \quad , \quad A_x = A_3 \quad , \quad A_y = A_2 \quad , \quad A_x = A_1$$

أي باختصار  $A_\mu$  مع  $\mu = 1, 2, 3, 0$  (أو  $\mu = 1, 2, 3, 4$ )

نشير هنا إلى أن المركبات الثلاث للمتجه في الفضاء الثلاثي ليست حتماً المركبات الثلاث الأولى للمتجه في الفضاء الرباعي (أي مركبات الفضاء لهذا المتجه الرباعي). فهذا صحيح مثلاً في حالة الإحداثيات المتمثلة بالمتجه الرباعي  $x^\mu = (x, x^0)$  ولكنه ليس صحيحاً في حالة السرعة  $v$ .

3 - الصيغ المختصرة للفواصل التفاضلي  $ds^2$  في النسبية الخاصة

## 1 - استعمال الإحداثيات التخيلية

إذا حددنا الإحداثيات الرباعية

(VI-2)

$$x^1 = ix \quad x^2 = iy \quad x^3 = iz \quad x^4 = ct$$

نكتب الصيغة الأساسية (VI-1) كما يلي:

$$(V - 3) \quad ds^2 = (dx^1)^2 + (dx^2)^2 + (dx^3)^2 + (dx^4)^2 = \sum_{\mu} (dx^{\mu})^2$$

$$\mu = 1, 2, 3, 4$$

وهي الفاصل التفاضلي في الفضاء الإقليدي الرباعي ذو الإحداثيات المتعامدة والمنظمة.

فإذا حددنا المحاور المستقيمة بواسطة أربعة متجهات رباعية أحادية  $e_\mu$  ( $e_1, e_2, e_3, e_4$ ) يمكن أن نحدد المتجه  $ds$  بأنه:

$$(VI-4) \quad ds = e_1 dx^1 + e_2 dx^2 + e_3 dx^3 + e_4 dx^4$$

فيكون الجداء العددي  $ds \cdot ds = ds^2$  متطابقاً مع الصيغة (VI-3) شرط أن تكون للمتجهات  $e_\mu$  الخاصتان التاليتان:

— التعامد:

$$(VI-5) \quad e_\mu \cdot e_\nu = 0 \quad \mu \neq \nu \quad \text{إذا}$$

— التناظم:

$$(VI-6) \quad e_\mu^2 = 1$$

ويمكن أن نكتب الشرطين (VI-5) و (VI-6) بصيغة واحدة:

$$(VI-7) \quad (e_\mu \cdot e_\nu) = \delta_{\mu\nu}$$

حيث تحدّد رموز كرونكر Kronecker كما يلي:

$$(VI-8) \quad \delta_{\mu\nu} = \begin{cases} 1 & \mu = \nu \quad \text{إذا} \\ 0 & \mu \neq \nu \quad \text{إذا} \end{cases}$$

باختبار الإحداثيات (VI-2) واستعمال المحاور المتعامدة والمنظمة حسب العلاقة (VI-7) يمكن استخلاص الصيغة الأساسية  $ds^2$  من الصيغة العامة المماثلة لمحاور منحنية (انظر الفصل الرابع عشر المقطع A).

$$(VI-9) \quad ds^2 = g_{\mu\nu} dx^\mu dx^\nu,$$

بوضع:

$$(VI-10) \quad \boxed{g_{\mu\nu} = \delta_{\mu\nu}}$$

في هذه الحالة تكون المركبات الموافقة للتغير مساوية للمركبات المخالفة للتغير لأي متجه رباعي.

$$(VI-11) \quad A_\mu = g_{\mu\nu} A^\nu = \delta_{\mu\nu} A^\nu = A^\mu$$

أخيراً تصبح الصيغ (16 - XIV) للجداء العددي للمتجهين A و B ولنظيم المتجه A (18 - XIV) كما يلي:

$$(VI-12) \quad A \cdot B = g_{\mu\nu} A^\mu B^\nu = \sum_\mu A^\mu B^\mu$$

$$(VI-13) \quad |A|^2 = g_{\mu\nu} A^\mu A^\nu = \sum_\mu (A^\mu)^2 \quad (3)$$

تحدّد أحياناً الاحداثيات الرباعية كما يلي:

$$(VI-14) \quad \boxed{x^1 = x \quad x^2 = y \quad x^3 = z \quad x^4 = ict}$$

فتصبح الصيغة الأساسية:

$$(VI-15) \quad ds^2 = - \sum_\mu (dx^\mu)^2, \quad \mu = 1, 2, 3, 4$$

ونحصل على هذه الصيغة إذا استعملنا محاور مستقيمة محددة بالمتجهات الأحادية  $e_\mu$  المنظمة حسب القاعدة:

$$(VI-16) \quad (e_\mu \cdot e_\nu) = - \delta_{\mu\nu}$$

بدلاً من (VI-7). والصيغة المختصرة للصيغة الأساسية  $ds^2$  تستخلص من الصيغة العامة (VI-9) إذا أخذنا:

$$(VI-17) \quad \boxed{g_{\mu\nu} = - \delta_{\mu\nu}}$$

عند استعمال نظام المحاور هذا، يجب التمييز بين المركبات الموافقة للتغير والمركبات المخالفة للتغير التي ترتبط بالعلاقة

$$A_\mu = g_{\mu\nu} A^\nu = - \delta_{\mu\nu} A^\nu = - A^\mu$$

وتكتب صيغ الجداء العددي للمتجهين A و B ولنظيم المتجه A بالصيغ:

(3) رغم المظهر لا تعني هذه الصيغة أن تنظيم متجه غير صفري هو دائماً إيجابي كما هو الحال في حالة الفضاء الإقليدي الأصيل لأن المركبات ليست كلها حقيقية.

$$|A|^2 = \sum_p (A^p)^2 + (A^4)^2 = (A^4)^2 - (A_x)^2 - (A_y)^2 \geq 0.$$

$$(VI-19) \quad (A \cdot B) = g_{\mu\nu} A^\mu B^\nu = - \sum_{\mu} A^\mu B^\mu$$

$$(VI-20) \quad |A|^2 = g_{\mu\nu} A^\mu A^\nu = - \sum_{\mu} (A^\mu)^2$$

## 2 - استعمال الإحداثيات الحقيقية

لنحدد الإحداثيات الرباعية كما يلي:

$$(VI-21) \quad \boxed{x^1 = x \quad x^2 = y \quad x^3 = z \quad x^0 = ct}$$

فتكتب الصيغة الأساسية (VI-1):

$$(VI-22) \quad ds^2 = (dx^0)^2 - \sum_{\rho} (dx^\rho)^2 \quad \rho = 1, 2, 3$$

أي أن الصيغة الأساسية زائدية القطع، ونحصل عليها باختيار نظام محاور مستقيمة ومحددة بالمتجهات الأحادية  $e_\mu$  ( $e_1, e_2, e_3, e_0$ ) بحيث إن:

$$(VI-23) \quad ds = e_1 dx^1 + e_2 dx^2 + e_3 dx^3 + e_0 dx^0$$

ويكون الجداء العددي  $ds \cdot ds = ds^2$  مطابقاً للصيغة (VI-22) إذا كانت للمتجهات  $e_\mu$  الخاصتان التاليتان:

— التعامد:

$$(VI-24) \quad (e_\mu \cdot e_\nu) = 0 \quad \mu \neq \nu \quad \text{إذا}$$

— التناظم:

$$(VI-25) \quad e_0^2 = 1 \quad , \quad e_\rho^2 = -1 \quad , \quad \rho = 1, 2, 3$$

ويمكن كتابة هذين الشرطين بالشكل التالي:

$$(VI-26) \quad (e_\mu \cdot e_\nu) = \eta_{\mu\nu} \quad \text{حيث}$$

$$(VI-27) \quad \eta_{\mu\nu} = \begin{vmatrix} -1 & & & \\ & -1 & & \\ & & -1 & \\ & & & +1 \end{vmatrix}$$



وتتيح الشروط (VI-26) أن نكتب الصيغة الأساسية  $ds^2$  بالشكل المختصر (VI-22) أي بنظام إحداثيات حقيقية. وتستنتج الصيغة (VI-22) من الشكل العام (VI-9) إذا وضعنا:

$$(VI-28) \quad \boxed{g_{\mu\nu} = \eta_{\mu\nu}}$$

مما يجعل المركبات الموافقة للتغير والمخالفة للتغير مختلفة ومرتبطة بالعلاقة:

$$(VI-29) \quad A_\mu = g_{\mu\nu} A^\nu = \eta_{\mu\nu} A^\nu$$

أي:

$$(VI-30) \quad A_\rho = \eta_{\rho\nu} A^\nu = -\delta_{\rho\nu} A^\nu = -A^\rho$$

$$(VI-31) \quad A_0 = \eta_{0\nu} A^\nu = \delta_{0\nu} A^\nu = A^0$$

ويكتب الجداء السلمي لمتجهين رباعيين  $A$  و  $B$  ونظم المتجه  $A$  بالصيغ التالية:

$$(VI-32) \quad A \cdot B = g_{\mu\nu} A^\mu B^\nu = A^0 B^0 - \sum_\rho A^\rho B^\rho \quad \rho = 1, 2, 3.$$

$$(VI-33) \quad |A|^2 = g_{\mu\nu} A^\mu A^\nu = (A^0)^2 - \sum_\rho (A^\rho)^2.$$

ويمكن التأكد استناداً إلى الصيغ (VI-13) و (VI-20) و (VI-33) أن نظم متجه حقيقي غير صفري ليس حتماً إيجابياً فالفضاء الرباعي للنسبية الخاصة هو إقليدي غير أصيل.

#### 4 - المتجهات الرباعية المكانية أو الزمانية أو المنعدمة:

يكون المتجه الرباعي  $A$  مكانياً أو زمانياً أو منعدماً إذا كان نظيمه إيجابياً أو سلبياً أو صفرياً على التوالي. لنختر نظام إحداثيات حقيقية مع نظم وفقاً للمعادلة (VI-28) فنجد النظم التالي للمتجه  $A$  استناداً إلى (VI-33):

$$(VI-34) \quad |A|^2 = g_{\mu\nu} A^\mu A^\nu = (A^0)^2 - \sum_\rho (A^\rho)^2 \geq 0$$

فيكون المتجه  $A$ :

$$(A^0)^2 > \sum_\rho (A^\rho)^2 \quad |A|^2 > 0 \quad \text{زمانياً إذا:}$$

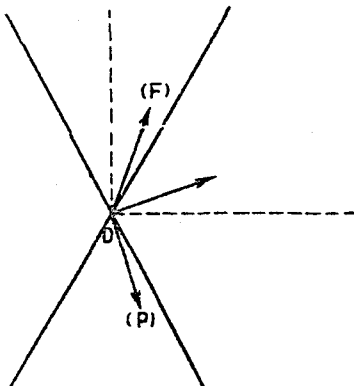
ومكانياً إذا:  $|A|^2 < 0$   $(A^0)^2 < \sum_p (A^p)^2$ .

ومنعدماً إذا  $|A|^2 = 0$   $\sum_p (A^p)^2 = (A^0)^2$ .

وبشكل خاص نجد أن الفاصل  $ds^2$  إيجابي في حالة جسيم يتحرك بسرعة أقل من سرعة الضوء. مما يعني أن الخط المماس على مسار الجسيم يخضع للعلاقة  $(dx^0)^2 - \sum_p (dx^p)^2 > 0$  أي أن المتجه  $ds$  هو زمني. فهو إذاً داخل المخروط المحدد بالمعادلة  $ds^2 = 0$  والمسمى مخروط الضوء. وترجع هذه التسمية إلى أن مسارات الإشارات الضوئية المنتشرة بسرعة  $v = c$  تخضع بالضبط للمعادلة  $ds^2 = 0$  أي أنها مرسومة على هذا المخروط.

يُقسَم مخروط الضوء الفضاء الرباعي إلى منطقتين: الأولى هي داخل المخروط وتخضع للعلاقة  $(ds^2 > 0)$ ، أي جميع المتجهات الرباعية هي زمانية. يكون رأس هذا المخروط أصل محاور الإحداثيات وتكون راسماته Generatrix أو Generators هي مسارات الإشارات الضوئية المنبعثة من أصل المحاور. وتقسّم هذه المنطقة إلى قسمين (أنظر الرسم 28): الجزء الأعلى (F) والجزء الأدنى (P). يشمل الجزء الأعلى المتجهات الزمانية ذات المركبة  $A^0$  الإيجابية، إنه منطقة المستقبل. أما الجزء الأدنى فيشمل المتجهات الزمانية ذات المركبة  $A^0$  السلبية، إنه منطقة الماضي.

أما المنطقة الثانية فهي التي تقع خارج مخروط الضوء وتتميز بالعلاقة  $(ds^2 < 0)$  وتشمل المتجهات المكانية.



الشكل 28- مخروط الضوء.

## 5 - ثبات الفاصل $ds^2$ ومجموعة الإزاحات في الفضاء الرباعي الإقليدي

سنبحث عن التحويلات التي تنقل من نظام محاور متعامد ومنظم بالشروط (VI-10) أو (VI-17) أو (VI-28) إلى نظام آخر متعامد ومنظم بالشروط ذاتها دون أي تغيير في وحدة الطول.

— في حال استعمال إحداثيات تخيلية بمحاور متعامدة ومنظمة حسب الشروط (VI-10) ( $g_{\mu\nu} = \delta_{\mu\nu}$ ) أو الشروط (VI-17) ( $g_{\mu\nu} = -\delta_{\mu\nu}$ ) تكون الصيغة الأساسية حسب (VI-3) أو (VI-15). لذلك يجب تأمين الشرط:

$$(VI-35) \quad \sum_p (dx^p)^2 = \sum_p (dx'^p)^2$$

— في حال استعمال إحداثيات حقيقية ( $x^0 = ct$ ) مع شروط التناغم (VI-28) أي ( $g_{\mu\nu} = \Gamma_{\mu\nu}$ ) تكون الصيغة الأساسية حسب (VI-22) لذلك يجب تأمين الشرط:

$$(VI-36) \quad \sum_p (dx^p)^2 + (dx^0)^2 = - \sum_p (dx'^p)^2 + (dx'^0)^2 .$$

وثبات هذه الصيغة للفاصل  $ds^2$  يكون بواسطة التحويلات التي تشكل مجموعة الإزاحات displacements في الفضاء الإقليدي أو الإقليدي غير الأصلي. وتشمل هذه المجموعة:

1 - الانسحابات translations في المكان والزمان وتحدد بالتحويلات:

$$(VI-37) \quad x'^{\mu} = x^{\mu} + a^{\mu} \quad (a^{\mu} = c^{ie})$$

وينتج عنها:

$$(VI-38) \quad dx'^{\mu} = dx^{\mu} .$$

2 - الاستبدالات substitutions الخطية والمتعامدة للفضاء الرباعي الإقليدي أو الإقليدي غير الأصلي إستناداً إلى (23 - XIV) وتكون هذه الإستبدالات بالصيغ التالية:

$$(VI-39)_1$$

$$e'_{\mu} = a^{\nu}_{\mu} e_{\nu} \quad e_{\mu} = a^{\nu}_{\mu} e'_{\nu}$$

$$(VI-39)_2$$

$$x'^{\mu} = a^{\mu}_{\nu} x^{\nu} \quad x^{\mu} = a^{\mu}_{\nu} x'^{\nu}$$

حيث تخضع المعاملات  $a_\mu^p$  و  $a_p^\nu$  لعلاقات التعامد (ارجع إلى (XIV - 28).

$$(VI-40) \quad a_\mu^p \cdot a_p^{\nu'} = a_{\mu'}^p \cdot a_p^\nu = \delta_\mu^\nu$$

ويجب أيضاً أن نحافظ على علاقات التعامد للمحاور في التحويل. ومهما كان التنظيم نستخلص قانون ثبات الجداء السُّلَمِي (رجوعاً إلى الفصل XIV).

$$(VI-41) \quad g'_{\mu\nu} = (e'_\mu \cdot e'_\nu) = (e_\mu \cdot e_\nu) = g_{\mu\nu}$$

أي الشرط (XIV - 70):

$$(VI-42) \quad a_\mu^p g_p^\lambda = a_{\lambda'}^p g_{\mu p}$$

أ - إذا كانت المحاور متعامدة ومنظمة بالعلاقات  $g_{\mu\nu} = \delta_{\mu\nu}$  أو  $g_{\mu\nu} = -\delta_{\mu\nu}$  نجد استناداً إلى (VI-42):

$$(VI-43) \quad a_\mu^{\lambda'} = a_{\lambda'}^{\mu'}$$

إن التحويل (VI-39) يقود دائماً واستناداً إلى (VI-40) إلى العلاقة:

$$(VI-44) \quad \sum_p a_\mu^p a_p^{\nu'} = \delta_{\mu\nu}'$$

ب - إذا كانت المحاور متعامدة ومنظمة حسب  $g_{\mu\nu} = \eta_{\mu\nu}$  يعطي الشرط (VI-42) العلاقات التالية:

$$(VI-45) \quad a_p^{q'} = a_p^q, \quad a_0^{\nu'} = a_0^\nu, \quad a_p^{\nu'} = -a_p^\nu, \quad a_0^{\nu'} = -a_0^\nu$$

ملاحظة: إذا اخترنا الإحداثية الرباعية  $x^4 = ict$  تكون المعاملات  $a_p^4$  و  $a_4^p$  حقيقية و  $a_4^p$  و  $a_p^4$  تخيلية بحتة. فنجد استناداً إلى المعادلة (VI-40).

$$(VI-46) \quad (a_4^p)^2 = 1 - \sum_p (a_p^4)^2 \geq 1$$

أما إذا اخترنا الإحداثية الرباعية الحقيقية  $x^0 = ct$  تكون كل المعاملات  $a_\mu^p$  و  $a_p^\mu$  حقيقية. فنجد استناداً إلى (VI-40) و (VI-45) أن:

$$(VI-47) \quad (a_0^p)^2 = 1 + \sum_p (a_p^0)^2 \geq 1$$

ومنها نستنتج أن:

(VI-48)

$$a_0^0 \geq 1 \quad \text{أو} \quad a_4^4 \geq 1$$

وذلك إذا استبعدنا التحويلات من النوع  $a_0^0 \leq -1$  ويعني الشرط (VI - 48) أن التحويلات (VI-39) تؤلف مجموعة group. لنكتب التحويلين من  $x$  إلى  $x'$  ثم من  $x'$  إلى  $x''$ .

$$(VI-49) \quad x'^{\mu} = a_{\nu}^{\mu'} x^{\nu} \quad , \quad x''^{\mu} = a_{\nu}^{\mu''} x'^{\nu}$$

فيكون التحويل مباشرة من  $x$  إلى  $x''$

$$(VI-50) \quad x''^{\mu} = a_{\nu}^{\mu''} a_{\rho}^{\nu'} x^{\rho} = a_{\rho}^{\mu''} x^{\rho'}$$

أحد تحويلات المجموعة بمعاملات:

$$(VI-51) \quad a_{\rho}^{\mu''} = a_{\nu}^{\mu''} a_{\rho}^{\nu'}$$

وبالخصائص ذاتها التي للمعاملات  $a_{\rho}^{\mu'}$  و  $a_{\rho}^{\mu''}$

لكي تشكل التحويلات (VI-49) مجموعة يجب أن تحتوي بشكل خاص على تحويل التطابق Identity transformation وهذا ما يجعل المعامل  $a_0^0$  يخضع للشرط (VI-48).

ويمكن أن نثبت انطلاقاً من الشرط (VI-48) أن المركبة الرابعة  $A^0$  لمتجه رباعي زماني ( $A^2 > 0$ ) تحافظ على إشارتها في الاستبدالات الخطية والمتعامدة من هذا النوع. مما يعني أن إشارة هذه المركبة لا تتغير عند استبدال هيكل إسناد غاليلي بأخر. فيكون المتجه  $dx$  بشكل خاص متجه زماني لأن  $ds^2 > 0$  إذا كانت السرعة  $v$  أقل من سرعة الضوء  $c$ . فالمركبة  $dx^0$  الإيجابية في منطقة المستقبل تحافظ على إيجابيتها في أي تحويل من النوع السابق أي استبدال هيكل إسناد غاليلي بأخر. ويعني هذا أن الوقت يجري بالاتجاه ذاته في جميع الهياكل الاسنادية الغاليلية ذات المعنى الفيزيائي (أي  $ds^2 > 0$  أو  $v < c$ ).

هكذا يزيد الشرط  $a_0^0 \geq 0$  فرضية جديدة إلى تعادل أدوار إحداثيات المكان والزمان المعبر عنه بالعلاقات (VI-39)، وهي عدم قابلية الوقت للإنعكاس.

## 6 - تحويلات لورنتز العامة والخاصة

رأينا أن مجموعة الاستبدالات في الفضاء الإقليدي الرباعي تحافظ على قيمة الصيغة الأساسية  $ds^2$ ، فتؤمن تكافؤ هياكل الاسناد الغاليلية، إضافةً إلى أنها تحافظ على اتجاه جريان الوقت (بفضل المعادلة 48 - VI). هذه هي مجموعة تحويلات لورنتز العامة.

ومن المهم أن نشير هنا إلى أن تحويلات لورنتز دون دوران لا تشكل وحدها مجموعة إذا كانت سرعة التحويل باتجاهات مختلفة<sup>(4)</sup> بالنسبة إلى المحاور. وذلك لأن حصيلة تحويلين للورنتز بدون دوران  $S_1 \rightarrow S_2 \rightarrow S_3$  هي تحويل للورنتز  $S_1 \rightarrow S_3$  ولكن بدوران D لمحاور الفضاء. لإثبات ذلك يكفي أن نشير إلى أن حصيلة التحويلات  $S_1 \rightarrow S_2$  و  $S_2 \rightarrow S_3$  المعبر عنها بالقواعد من نوع  $(V - 71)_1$  هو تحويل  $S_1 \rightarrow S_3$  من نوع  $(V - 78)_1$  ومن جهة ثانية إذا كانت  $V_{(ij)}$  سرعة الهيكل الاسنادي  $S_i$  بالنسبة إلى الهيكل  $S_j$  نجد:

$$V_{(12)} = -V_{(21)} \quad V_{(23)} = -V_{(32)} \quad \text{ولكن} \quad DV_{(31)} = -V_{13}$$

تشكل هذه الظاهرة المسماة بمبادرة توماس<sup>(5)</sup> Thomas precession تعبيراً حركياً عن الخاصة التالية لتحويلات لورنتز: إذا كان أحد التحويلين السابقين  $(S_2 \rightarrow S_3)$  مثلاً تحويلاً تفاضلياً يظهر الدوران D كمبادرة دائرية لمحاور S بالنسبة  $S_3$  والسرعة الزاوية لهذه المبادرة متناسبة مع:

$$\frac{[V_{(12)} \wedge V_{(12)}]}{V_{(12)}^2}$$

أما تحويلات لورنتز الخاصة فهي حالة خاصة من التحويلات دون دوران تكون فيه محاور الهيكلين متوازية وسرعة التحويل باتجاه أحد المحاور.

أما تحويلات لورنتز العامة فيمكن دائماً اعتبارها حصيلة التحويلات التالية:

1 - انسحاب مكاني بحت: يقود إلى ثبات الكمية:

$$(VI-52) \quad d\sigma^2 = dx^2 + dy^2 + dz^2$$

V. Lalan, C.R.Ac. Sc., 203, 1936, 1491; Bull. soc. Math. Fr. 65, 1937, 98. — A METZ (4)

C.R.Ac. Sc., 237, 1953, 29.

L.W. Thomas, Phil. Mag., 3, 1927, 1.

(5)

وتعني هذه التحركات تغييراً في أصل المحاور ودوراناً لهذه المحاور بشكل عام.

2 - انسحاب زمني: أي تبديل أصل الوقت.

3 - تحويل خاص للورنتز: أي تبديل هيكل اسناد بأخر بحيث تكون المحاور متوازية وباتجاه واحد وسرعة التحويل  $v$  باتجاه أحد المحاور ( $ox$ ).

وفعالاً يمكن دائماً بواسطة انسحاب رباعي أن نجعل أصل الهيكلين الاسناديين  $S(xyz)$  و  $S'(x'y'z')$  متطابقاً في الوقت الابتدائي  $t = t' = 0$  في كلا الهيكلين. ويمكن أن نجعل محاورهما  $ox$  و  $ox'$  باتجاه السرعة  $v$  بواسطة دوران مكاني في كل من الهيكلين. وكذلك يمكن بواسطة دوران الهيكل  $S'$  حول  $ox'$  أن نجعل المحاور  $oy'$  و  $oz'$  متوازية (وباتجاه واحد) مع المحاور  $oy$  و  $oz$  بالتوالي. فنجد أنفسنا أمام تحويل خاص للورنتز. ويمكن اعتبار هذا التحويل دوراناً للفضاء الرباعي لا يغير السطوح  $xoy$  و  $xoz$  (المطابقة للسطوح  $x'oy'$  و  $x'oz'$ ) بحيث إن:

$$y' = y \quad z' = z$$

فهي إذا دوران في السطح التخيلي ( $x^1ox^4$ ) بالصيغة:

$$(V - 68) \quad \begin{aligned} x'^1 &= x^1 \cos \psi + x^4 \sin \psi \\ x'^4 &= x^4 \cos \psi - x^1 \sin \psi \end{aligned}$$

فتكون هذه التحويلات محددة بالزاوية التخيلية  $\psi$  المرتبطة بدورها بسرعة التحويل  $\beta$  بالعلاقة  $\beta = \text{tg } \psi$ .

بتعبير آخر يمكننا دائماً أن نستبدل أي تحويل عام للورنتز بتحويل خاص يضاف إليه تحرك مكاني بحت (أي إزاحة مكانية ودوران مكاني) يحافظ على الصيغة  $ds^2$  للفضاء الثلاثي و انسحاب اختياري للوقت (أي تبديل أصل الوقت).

ومن المفهوم أنه في حالة التحويلات الخاصة للورنتز (وفي هذه الحالة فقط) تكون حصيلة تحويلين  $S_1 \rightarrow S_2 \rightarrow S_3$  تحويلاً  $S$  من النوع ذاته.

## 7 - صيغة المعاملات في تحويل لورنتز العام

يحدد تحويل لورنتز العام بالقواعد (VI-39) أي:

(VI-39)<sub>1</sub>

(VI-39)<sub>2</sub>

$$\begin{aligned} e_\mu &= a^\nu{}'_\mu e'_\nu & e'_\mu &= a^\nu{}_\mu e_\nu \\ x^\mu &= a^\mu{}_\nu x'^\nu & x'^\mu &= a^\mu{}'_\nu x^\nu \end{aligned}$$

بحيث إن

$$(VI-40) \quad a_{\mu}^{p'} a_{p'}^{\nu} = a_{\mu}^p, a_{\rho}^{\nu'} = \delta_{\mu}^{\nu}$$

شرط أن تخضع هذه المعاملات لعلاقة المحافظة على  $g_{\mu\nu}$  أي:

$$(VI-42) \quad a_{\mu}^{p'} g_{p\nu} = a_{\nu}^{p'} g_{\mu p}$$

لنظام محاور منظم حسب إحدى الطرق السابقة.

أ - إذا  $g_{\mu\nu} = \pm \delta_{\mu\nu}$  (حالة الإحداثيات التخيلية) يصبح الشرط (VI 42):

$$(VI-42)_a \quad a_{\mu}^{\nu'} = a_{\nu}^{\mu'}$$

ويأخذ الشرط (VI-40) الصيغة التالية:

$$(VI-40)_a \quad \sum_p a_{\mu}^{p'} a_{\nu}^{p'} = \sum_p a_{\nu}^p a_{\mu}^p$$

ب - إذا  $g_{\mu\nu} = \eta_{\mu\nu}$  (حالة الإحداثيات الحقيقية) يصبح الشرط (VI-42):

$$a_{\mu}^{p'} \eta_{p\nu} = a_{\nu}^{p'} \eta_{\mu p}$$

أي:

$$(VI-42)_b \quad a_{p'}^q = a_{q'}^p, a_0^{p'} = a_0^p, a_{\rho}^{q'} = -a_0^{p'}, a_{p'}^0 = -a_0^p$$

ونكتب (VI-40) بالصيغة:

$$(VI-40)_b \quad \sum_r a_r^{p'} a_r^{q'} - a_0^{p'} a_0^{q'} = \delta_{pq}$$

$$- \sum_r a_0^r a_0^r + (a_0^0)^2 = 1, \quad - \sum_r a_r^p a_0^r + a_0^p a_0^0 = 0$$

سنكتفي في هذا المقطع باستعمال الإحداثيات الحقيقية فتكون التحويلات خاضعة للعلاقات (VI-42)<sub>b</sub> و (VI-40)<sub>b</sub>.

لنرجع إلى الصيغة (V - 78) للتحويل العام للإحداثيات الذي اثبتناه في الفصل الخامس. فإذا كتبناه باستعمال المركبات  $x^{\mu}$  ( $x = x^p, x^0 = ct$ ) نجد:



$$(V - 78)_1 \quad x'^{\rho} = D^{-1} x^{\rho} + D^{-1} v^{\rho} \left\{ \frac{\alpha}{v^2} (x \cdot v) - \frac{x^0}{c \sqrt{1 - \beta^2}} \right\}$$

$$(V - 78)_2 \quad x'^0 = \frac{x^0 - \left( \frac{x \cdot v}{c} \right)}{\sqrt{1 - \beta^2}}$$

مع:

$$(VI-53) \quad v = (v^{\rho}) \quad , \quad v_{\rho} = -v^{\rho} \quad , \quad v^2 = \sum_{\rho} (v^{\rho})^2$$

$$(VI-54) \quad x \cdot v = \sum_r x^r v^r = -x^r v_{\rho}$$

وأيضا:

$$(V - 75) \quad \boxed{\alpha = \frac{1}{\sqrt{1 - \beta^2}} - 1}$$

إن الكميات  $v^{\rho} = \frac{dx^{\rho}}{dt}$  ليست المركبات الفضائية لمتجه رباعي لأن  $dt$  تتغير من هيكل إسناد إلى آخر. أما الكميات  $u^{\mu} = \frac{dx^{\mu}}{ds}$  فهي مركبات متجه رباعي لأن  $ds$  لا تتغير من هيكل إسناد إلى آخر. وترتبط هذه المركبات بالسرعة العادية  $v$  بالعلاقات:

$$(VI-55) \quad \mu^{\rho} = \frac{dx^{\rho}}{ds} = \frac{dx^{\rho}}{dt} \frac{dt}{ds} = \frac{v^{\rho}}{c \sqrt{1 - \beta^2}}$$

$$u^0 = \frac{dx^0}{ds} = c \frac{dt}{ds} = \frac{1}{\sqrt{1 - \beta^2}}$$

ويمكن أيضا أن نكتب  $(V - 78)_1$  و  $(V - 78)_2$  كما يلي:

$$(VI-55)_1 \quad x'^{\rho} = D^{-1} x^{\rho} - D^{-1} u^{\rho} \left\{ a \left( \frac{1 - \beta^2}{\beta^2} \right) x^r u_r + x^0 \right\}$$

$$(VI-55)_a \quad x'^0 = x^0 u_0 + x^{\rho} u_{\rho}$$

لنفترض أن معاملات الدوران الفضائي  $D^{-1}$  هي  $\alpha^q$  بمعنى أن:

$$(VI-56) \quad D^{-1} x^{\rho} = \alpha^q x^{\rho}$$

فإذا قارنا هذه الصيغة مع (VI-39)<sub>2</sub> التي تكتب أيضاً:

$$(VI-56)_1 \quad x'^p = a_{\nu}^{p'} x^{\nu} = a_{\nu}^{p'} x^q + a_0^{p'} x^0$$

$$(VI-56)_2 \quad x'^0 = a_{\nu}^{0'} x^{\nu} = a_{\nu}^{0'} x^q + a_0^{0'} x^0$$

ومع (VI-55) نحصل على:

$$(VI-57) \quad a_{\nu}^{p'} = a_{\nu}^{q'} = \alpha_{\nu}^p - \alpha \left( \frac{1 - \beta^2}{\beta^2} \right) \alpha_r^p u^r u_{\nu} = a_{\nu}^p - \frac{\alpha}{\nu^2} \alpha_r^p \nu^r \nu_{\nu}$$

$$(VI-58) \quad a_0^{p'} = -a_{\nu}^{0'} = -\alpha_r^p u^r, \quad a_0^{0'} = -a_{\nu}^p = u_{\nu}$$

وتختصر هذه النتيجة في الجدولين التاليين (بصيغة مصفوفات (matrices)).

$$(VI-59)_1 \quad a_{\mu}^{\nu'} = \begin{vmatrix} \alpha_r^1 \gamma_1^r & \alpha_r^2 \gamma_1^r & \alpha_r^3 \gamma_1^r & -u^1 \\ \alpha_r^1 \gamma_2^r & \alpha_r^2 \gamma_2^r & \alpha_r^3 \gamma_2^r & -u^2 \\ \alpha_r^1 \gamma_3^r & \alpha_r^2 \gamma_3^r & \alpha_r^3 \gamma_3^r & -u_3 \\ -\alpha_r^1 u^r & -\alpha_r^2 u^r & -\alpha_r^3 u^r & u^0 \end{vmatrix}$$

$$(VI-59)_2 \quad a_{\mu}^{\nu'} = \begin{vmatrix} \alpha_r^1 \gamma_1^r & \alpha_r^1 \gamma_2^r & \alpha_r^1 \gamma_3^r & \alpha_r^1 u^r \\ \alpha_r^2 \gamma_1^r & \alpha_r^2 \gamma_2^r & \alpha_r^2 \gamma_3^r & \alpha_r^2 u^r \\ \alpha_r^3 \gamma_1^r & \alpha_r^3 \gamma_2^r & \alpha_r^3 \gamma_3^r & \alpha_r^3 u^r \\ u^1 & u^2 & u^3 & u^0 \end{vmatrix}$$

(VI-60)

حيث وضعنا:

$$\gamma_p^r = \partial_p^r + \frac{\alpha}{\beta^2} (1 - \beta^2) u^r u^p = \partial_p^r + \frac{\sqrt{1 - \beta^2}}{\beta^2} (1 - \sqrt{1 - \beta^2}) u^r u^p$$

أو:

$$\gamma_p^r = \partial_p^r + \frac{\alpha}{\nu^2} \nu^r \nu^p$$

أو استناداً إلى (VI-57) و (VI-58) و (V-75). تشير إلى أن المؤشر الأسفل للمعاملات  $a_{\mu}^{\nu}$  و  $a_{\mu}^{\nu'}$  يدل على أسطر المصفوفات (VI-59) بينما المؤشر الأعلى يدل على الأعمدة.

ملاحظة: في حالة تحويل لورنتز دون دوران (انظر الفصل الخامس المقطع 15)

نجد:

$$(VI-61) \quad \alpha_p^q = \delta_p^q$$

وتكتب العلاقات (VI-57) و (VI-58) كما يلي:

$$(VI-62) \quad a_p^{q'} = a_p^q = \delta_p^q + \frac{a}{v^2} v^p v^q, \quad a_0^{0'} = a_0^0 = \frac{1}{\sqrt{1 - \beta^2}} = u_0$$

$$(VI-63) \quad a_0^{p'} = -a_p^0 = -\frac{v^p}{c\sqrt{1 - \beta^2}} = -u^p,$$

$$a_p^{0'} = -a_0^p = -\frac{v^p}{c\sqrt{1 - \beta^2}} = -u^p$$

أي:

$$(VI-64) \quad a_{\mu}^{\nu'} = \begin{vmatrix} \gamma_1^1 & \gamma_1^2 & \gamma_1^3 & -u^1 \\ \gamma_2^1 & \gamma_2^2 & \gamma_2^3 & -u^2 \\ \gamma_3^1 & \gamma_3^2 & \gamma_3^3 & -u^3 \\ -u^1 & -u^2 & -u^3 & u^0 \end{vmatrix}$$

$$a_{\mu}^{\nu} = \begin{vmatrix} \gamma_1^1 & \gamma_1^2 & \gamma_1^3 & u^1 \\ \gamma_2^1 & \gamma_2^2 & \gamma_2^3 & u^2 \\ \gamma_3^1 & \gamma_3^2 & \gamma_3^3 & u^3 \\ u^1 & u^2 & u^3 & u^0 \end{vmatrix}$$

### 8 - تطبيق على تحويل لورنتز الخاص

في حالة تحويل لورنتز الخاص

$$(VI-65) \quad v = v^1, \quad v^2 = v^3 = 0$$

تكون قيمة المعاملات (VI-62) و (VI-63) غير المنعدمة.

$$(VI-66) \quad \begin{aligned} a_1^{1'} &= a_{1'}^1 = 1 + \alpha = \frac{1}{\sqrt{1 - \beta^2}}, \\ a_2^{2'} &= a_{2'}^2 = a_3^{3'} = a_{3'}^3 = 1 \\ a_0^{1'} &= a_{1'}^0 = \frac{-\beta}{\sqrt{1 - \beta^2}}, \quad a_1^{0'} = -a_{0'}^1 = \frac{-\beta}{\sqrt{1 - \beta^2}}, \\ a_0^{0'} &= a_{0'}^0 = \frac{1}{\sqrt{1 - \beta^2}} \end{aligned}$$

وتتفق هذه القيم مع تلك التي يمكن استخلاصها مباشرة من التحويل الخاص إذا كتب بالصيغة (V - 64). فإذا وضعنا  $\beta = \text{th}\varphi$  نجد:

$$(VI-67) \quad a_{\mu}^{v'} = \begin{vmatrix} \text{ch}\varphi & 0 & 0 & -\text{sh}\varphi \\ 0 & 1 & 0 & 0 \\ 0 & 0 & 1 & 0 \\ -\text{sh}\varphi & 0 & 0 & \text{ch}\varphi \end{vmatrix}$$

$$a_{\mu}^{v} = \begin{vmatrix} \text{ch}\varphi & 0 & 0 & \text{sh}\varphi \\ 0 & 1 & 0 & 0 \\ 0 & 0 & 1 & 0 \\ \text{sh}\varphi & 0 & 0 & \text{ch}\varphi \end{vmatrix}$$

ملاحظة: إذا اعتمدنا الإحداثيات التخيلية (VI-14) مع  $x^4 = ict$  وإذا وضعنا  $\text{tg}\psi = i\beta$  تعطينا الصيغ (V - 68) في حالة التحويل الخاص القيم التالية للمعاملات  $a_{\mu}^{v'}$  و  $a_{\mu}^{v}$ .

$$(VI-68) \quad a_{\mu}^{\nu'} = \begin{vmatrix} \cos\psi & 0 & 0 & \sin\psi \\ 0 & 1 & 0 & 0 \\ 0 & 0 & 1 & 0 \\ -\sin\psi & 0 & 0 & \cos\psi \end{vmatrix}$$

$$a_{\mu}^{\nu} = \begin{vmatrix} \cos\psi & 0 & 0 & -\sin\psi \\ 0 & 1 & 0 & 0 \\ 0 & 0 & 1 & 0 \\ \sin\psi & 0 & 0 & \cos\psi \end{vmatrix}$$

## 9 - أمثلة

1 - تحويل متجه A: لنستعمل الإحداثيات الحقيقية فنجد:

$$(VI-69) \quad A'^{\mu} = a_{\nu}^{\mu'} A^{\nu} \quad , \quad A'_{\mu} = a_{\mu}^{\nu'} A_{\nu}$$

أي قانون تحويل المركبات الموافقة للتغير

$$(VI-70)_1 \quad A'^p = a_q^{p'} A^q + a_0^{p'} A^0 = \alpha_r^p \gamma_q^r A^q - \alpha_r^p u^r A^0$$

$$(VI-70)_2 \quad A'^0 = a_p^{0'} A^p + A_0^{0'} A^0 = - \sum_p u^p A^p + u^0 A^0$$

وقانون تحويل المركبات المخالفة للتغير:

$$(VI-71)_1 \quad A'_p = a_p^q A_q + a_p^{0'} A_0 = \sum_p \alpha_r^p \gamma_q^r A_q + a_p^p u^r A^0$$

$$(VI-71)_2 \quad A'_0 = a_0^p A_p + a_0^{0'} A_0 = u^p A_p + u^0 A_0$$

أ - في الحالة الخاصة لتحويل لورنتز دون دوران نجد استناداً إلى (VI-61):

$$(VI-72)_1 \quad A'^p = \left[ \delta_p^q + \sum_q \frac{\alpha}{\beta^2} (1 - \beta^2) u^p u^q \right] A^q - u^p A^0$$

$$(VI-72)_2 \quad A'^0 = - \sum_p u^p A^p + u^0 A^0 \quad \left( \alpha = \frac{1}{\sqrt{1 - \beta^2}} - 1 \right)$$

$$(VI-73)_1 \quad A'_p = \left[ \delta_p^q + \frac{\alpha}{\beta^2} (1 - \beta^2) u^p u^q \right] A_q + u^p A_0$$

$$(VI-73)_2 \quad A'_0 = u^p A_p + u^0 A_0$$

ب - وفي حالة تحويل لورنتز الخاص بحيث إن:

$$(VI-74) \quad u = u^1 = \frac{v^1}{c\sqrt{1-\beta^2}} = \frac{\beta}{\sqrt{1-\beta^2}}, \quad u^2 = u^3 = 0$$

$$u^0 = \frac{1}{\sqrt{1-\beta^2}}$$

نجد استناداً إلى (VI-72) و (VI-73):

$$(VI-75) \quad A'^1 = \frac{A^1 - \beta A^0}{\sqrt{1-\beta^2}}, \quad A'^2 = A^2, \quad A'^3 = A^3,$$

$$A'^0 = \frac{A^0 - \beta A^1}{\sqrt{1-\beta^2}}$$

$$(VI-76) \quad A'_1 = \frac{A_1 + \beta A_0}{\sqrt{1-\beta^2}}, \quad A'_2 = A_2,$$

$$A'_3 = A_3, \quad A'_0 = \frac{A_0 + \beta A_1}{\sqrt{1-\beta^2}}$$

نشير أيضاً إلى أن التحويل المعاكس هو:

$$(VI-77) \quad A^1 = \frac{A'^1 + \beta A'^0}{\sqrt{1-\beta^2}}, \quad A^2 = A'^2, \quad A^3 = A'^3,$$

$$A^0 = \frac{A'^0 + \beta A'^1}{\sqrt{1-\beta^2}}$$

$$(VI-78) \quad A_1 = \frac{A'_1 - \beta A'_0}{\sqrt{1-\beta^2}}, \quad A_2 = A'_2,$$

$$A_3 = A'_3, \quad A_0 = \frac{A'_0 - \beta A'_1}{\sqrt{1-\beta^2}}$$

ومن المفهوم أن (VI-75) و (VI-76) والتحويل المعاكس (VI-77) و (VI-78) يمكن استخلاصها من المعاملات (VI-66) و (VI-67) للتحويل الخاص<sup>(6)</sup>.

(6) نستنتج من (VI-68) قواعد التحويل في حالة الإحداثية الرابعة التخيلية ( $x^4 = ict$ ):

$$= A'^1 = \frac{A^1 + i\beta A^4}{\sqrt{1-\beta^2}}, \quad A'^2 = A^2, \quad A'^3 = A^3, \quad A'^4 = \frac{A^4 - i\beta A^1}{\sqrt{1-\beta^2}}$$

2 - قانون تحويل موتر متخالف التناظر  $A^{\mu\nu}$ 

نجد استناداً إلى قانون تحويل الموترات <sup>(7)</sup> أن:

$$(VI-79) \quad A'^{\mu\nu} = a_{\rho}^{\mu'} a_{\sigma}^{\nu'} A^{\rho\sigma} \quad , \quad A'_{\mu\nu} = a_{\mu}^{\rho} a_{\nu}^{\sigma} A_{\rho\sigma}$$

أي:

$$(VI-80)_1 \quad A'^{\mu q} = \frac{1}{2} (a_r^{\mu'} a_s^{q'} - a_s^{\mu'} a_r^{q'}) A^{rs} - (a_0^{\mu'} a_r^{q'} - a_r^{\mu'} a_0^{q'}) A^{r0}$$

$$(VI-80)_2 \quad A'^{p0} = \frac{1}{2} (a_r^{\mu'} a_s^{0'} - a_s^{\mu'} a_r^{0'}) A^{rs} + (a_s^{\mu'} a_0^{0'} - a_0^{\mu'} a_s^{0'}) A^{r0}$$

واستناداً إلى (VI-59)<sub>1</sub> و (VI-60) تكون:

$$(VI-81)_1 \quad A'^{pq} = \alpha_m^p \alpha_n^q \left[ A^{mn} - \frac{\alpha}{\beta^2} (1 - \beta^2) u_r (u^n A^{mr} + u^m A^{rn}) + A^{n0} u^m - A^{m0} u^n \right]$$

$$(VI-81)_2 \quad A'^{p0} = \alpha_m^p \left[ A^{ms} u_s + A^{m0} u_0 + u^m u_r A^{r0} - \frac{\alpha}{\beta^2} (1 - \beta^2) u^m u_r u_0 A^{r0} \right]$$

أما قانون تحويل المركبات الموافقة للتغير فهو:

$$(VI-81)_3 \quad A'_{pq} = \frac{1}{2} (a_p^r a_q^s - a_p^{s'} a_q^{r'}) A_{rs} + (a_p^r a_q^0 - a_p^0 a_q^r) A_{r0}$$

$$A'_1 = \frac{A_1 + i\beta A_4}{\sqrt{1 - \beta^2}} \quad , \quad A'_2 = A_2 \quad , \quad A'_3 = A_3 \quad , \quad A'_4 = \frac{A_4 - i\beta A_1}{\sqrt{1 - \beta^2}} =$$

ومن القواعد المعاكسة:

$$A^1 = \frac{A'^1 - i\beta A'^4}{\sqrt{1 - \beta^2}} \quad , \quad A^2 = A'^2 \quad , \quad A^3 = A'^3 \quad , \quad A^4 = \frac{A'^4 + i\beta A'^1}{\sqrt{1 - \beta^2}}$$

$$A_1 = \frac{A'_1 - i\beta A'_4}{\sqrt{1 - \beta^2}} \quad , \quad A_2 = A'_2 \quad , \quad A_3 = A'_3 \quad , \quad A_4 = \frac{A'_4 + i\beta A'_1}{\sqrt{1 - \beta^2}}$$

(7) انظر المقطعين 4 و 5 من الفصل الرابع عشر.

$$(VI-81)_4 \quad A'_{p0} = \frac{1}{2} (a_p^r, a_{0'}^s = a_p^s, a_{0'}^r) A_{rs} + (a_p^r, a_{0'}^0 - a_p^0, a_{0'}^r) A_{r0}$$

أي استناداً إلى (VI-59)<sub>2</sub> و (VI-60):

$$(VI-82)_1 \quad A'_{pq} = \sum_r a_p^r a_q^r \left[ A_{rs} - \frac{\alpha}{\beta^2} (1 - \beta^2) (A_{rn}u_s - A_{sn}u_r) u^n \right. \\ \left. - (A_{r0}u_s - A_{s0}u_r) \right]$$

$$(VI-82)_2 \quad A'_{p0} = \sum_r a_p^r \left[ u^s A_{rs} + u^0 A_{r0} + u^m u_r A_{m0} - \frac{\alpha}{\beta^2} (1 - \beta^2) \right. \\ \left. u_r u^m u^0 A_{m0} \right]$$

أ - في حالة تحويل دون دوران نجد:

$$(VI-83)_1 \quad A'^{pq} = A^{pq} - \frac{\alpha}{\beta^2} (1 - \beta^2) u_r (u^q A^{pr} - u^p A^{qr}) \\ + A^{q0} u^p - A^{p0} u^q$$

$$(VI-83)_2 \quad A'^{p0} = A^{ps} u_s + A^{p0} u_0 + \frac{\alpha}{\beta^2} (1 - \beta^2) u^p u_r A^{r0}$$

$$(VI-84)_1 \quad A'_{pq} = A_{pq} - \frac{\alpha}{\beta^2} (1 - \beta^2) u^s (u_q A_{ps} - u_p A_{qs}) \\ + (u_p A_{q0} - u_q A_{p0})$$

$$(VI-84)_2 \quad A'_{p0} = A_{pr} u^r + A_{p0} u^0 + \frac{\alpha}{\beta^2} (1 - \beta^2) u^r u_p A_{r0}$$

ب - أما في حالة تحويل خاص بحيث إن:

$$(VI-85) \quad u^1 = u = \frac{\beta}{\sqrt{1 - \beta^2}}, \quad u^2 = u^3 = 0$$

فنجد:

$$(VI-86) \quad A'^{1q} = \frac{A^{1q} - \beta A^{0q}}{\sqrt{1 - \beta^2}}, \quad A'^{23} = A^{23} \\ A'^{0p} = \frac{A^{0p} - \beta A^{1p}}{\sqrt{1 - \beta^2}}, \quad A'^{10} = A^{10}, \quad p \neq 1$$



أما قانون تحويل المركبات المخالفة للتغيير فهو:

$$(VI-87) \quad A'_{1q} = \frac{A_{1q} + \beta A_{0q}}{\sqrt{1 - \beta^2}}, \quad A'_{23} = A_{23}$$

$$A'_{0p} = \frac{A_{0p} + \beta A_{1p}}{\sqrt{1 - \beta^2}}, \quad A'_{01} = A_{01}, \quad p \neq 1$$

### 10 - قانون جمع السرع وتحويل لورنتز العام

لنفترض أن  $S$  و  $S'$  هيكلان إسناديان غاليليان وأن جسماً نقطياً يتحرك بسرعة  $v = \frac{dx}{dt}$  بالنسبة إلى  $S$  و  $v' = \frac{dx'}{dt'}$  بالنسبة إلى  $S'$ . لتكن  $\omega$ ، اتقاء لأي التباس، سرعة  $S'$  بالنسبة إلى  $S$  ولتكن:

$$(VI-88) \quad \beta = \frac{\omega}{c}$$

إنطلاقاً من العلاقة الأساسية:

$$(VI-89) \quad ds^2 = c^2 dt^2 - \sum_p (dx^p)^2 = c^2 dt'^2 - \sum_p (dx'^p)^2$$

نستنتج أن:

$$(VI-90) \quad 1 - \frac{v^2}{c^2} = \left( \frac{dt'}{dt} \right)^2 \left( 1 - \frac{v'^2}{c^2} \right)$$

مع:

$$(VI-91) \quad v^p = \frac{dx^p}{dt}, \quad v'^p = \frac{dx'^p}{dt'}, \quad v^2 = \sum_p (v^p)^2, \quad v'^2 = \sum_p (v'^p)^2.$$

ومنها إذاً:

$$(VI-92) \quad \frac{dt'}{dt} = \sqrt{\frac{1 - \frac{v^2}{c^2}}{1 - \frac{v'^2}{c^2}}}$$

ولكن تحويل الإحداثيات:

$$(VI-93) \quad x'^{\mu} = a^{\mu}_{\nu} x^{\nu}, \quad x^{\mu} = a^{\mu}_{\nu} x'^{\nu}$$

يكتب أيضاً:

$$(VI-94)_1 \quad x'^0 = a_p^{0'} x^p + a_0^{0'} x^0, \quad x^0 = a_p^0 x'^p + a_0^0 x'^0$$

$$(VI-94)_2 \quad x'^p = a_q^{p'} x^q + a_0^{p'} x^0, \quad x^p = a_q^p x'^q + a_0^p x'^0$$

مما يعطينا:

$$(VI-95)_1 \quad \frac{d x'^0}{d x^0} = \frac{dt'}{dt} = a_p^{0'} \frac{v^p}{c} + a_0^{0'},$$

$$\frac{d x^0}{d x'^0} = \frac{dt}{dt'} = a_p^0 \frac{v'^p}{c} + a_0^0,$$

$$(VI-95)_2 \quad \frac{d x'^p}{d x^0} = a_q^{p'} \frac{v^q}{c} + a_0^{p'}, \quad \frac{d x^p}{d x'^0} = a_q^p \frac{v'^q}{c} + a_0^p,$$

فنجد إذاً باستعمال (VI-92) و (VI-95) أن:

$$(VI-96) \quad \frac{dt'}{dt} = a_p^{0'} \frac{v^p}{c} + a_0^{0'} = \frac{1}{a_p^0 \frac{v'^p}{c} + a_0^0} = \sqrt{\frac{1 - \frac{v^2}{c^2}}{1 - \frac{v'^2}{c^2}}}$$

ومن جهة ثانية نستنتج من (VI-95)<sub>2</sub> أن:

$$(VI-97) \quad \frac{v'^p}{c} \sqrt{\frac{1 - \frac{v^2}{c^2}}{1 - \frac{v'^2}{c^2}}} = a_q^{p'} \frac{v^q}{c} + a_0^{p'},$$

$$\frac{v^p}{c} \sqrt{\frac{1 - \frac{v'^2}{c^2}}{1 - \frac{v^2}{c^2}}} = a_q^p \frac{v'^q}{c} + a_0^p.$$

## 11 - تطبيق الحالة التي يكون فيها أحد الهياكل الإسنادية هيكلاً ذاتياً

أ - لنفترض الآن أن  $S'$  هو الهيكل الإسنادي الذاتي لجسيم نقطي مما يعني

أن:

$$(VI-98) \quad v_{(1)}^p = 0, \quad v_{(1)} = \omega$$

حيث  $\omega$  هي سرعة  $S'$  بالنسبة إلى  $S$  فنجد باستعمال (VI-96) أن :

$$(VI-99) \quad a_{0'}^{0'} = \frac{1}{\sqrt{1-\beta^2}}, \quad a_{p'}^{0'} \frac{v_{(1)}^p}{c} = -\frac{\beta^2}{\sqrt{1-\beta^2}}$$

ومنها نستخلص أن :

$$(VI-100) \quad a_{p'}^{0'} = \frac{-v_{(1)}^p}{c\sqrt{1-\beta^2}} = -u^p$$

وأيضاً استناداً إلى (VI-97) نجد

$$(VI-101) \quad \frac{v_{(1)}^p}{c\sqrt{1-\beta^2}} = a_{0'}^{p'}$$

$$(VI-102) \quad a_{q'}^{p'} \frac{v_{(1)}^q}{c} = -a_{0'}^{p'}$$

ب - لنفترض الآن أن  $S$  هو الهيكل الاسنادي الذاتي للجسيم أي

$$(VI-103) \quad V_{(2)} = 0, \quad v'_{(2)} = \omega' = -D^{-1}\omega = -D^{-1}v_{(1)} = -D^{-1}v$$

حيث  $\omega'$  هي سرعة الهيكل  $S$  بالنسبة إلى  $S'$ . فنجد إذاً انطلاقاً من (VI-96) :

$$(VI-104) \quad a_{0'}^{0'} = \frac{1}{\sqrt{1-\beta^2}},$$

$$a_{p'}^{0'} = -\frac{v_{(2)}^p}{c\sqrt{1-\beta^2}} = \frac{D^{-1}v^p}{c\sqrt{1-\beta^2}} = \frac{\alpha_q^p v^q}{c\sqrt{1-\beta^2}} = \alpha_q^p u^q$$

وانطلاقاً من (VI-97) :

$$(VI-105) \quad a_{0'}^{p'} = \frac{v_{(2)}^p}{c\sqrt{1-\beta^2}} = u'^p_{(2)} = -D^{-1}u^p = -\alpha_q^p u^q$$

$$(VI-106) \quad a_{q'}^{p'} \frac{v'^q}{c} = -a_{0'}^{p'}$$

وإذا أحلنا قيمة  $a_0^p$  في المعادلة (VI-105) في المعادلة (VI-102) وأحلنا قيمة  $a_0^p$  في المعادلة (VI-106) نجد:

$$(VI-107) \quad a_q^{p'} \frac{v'^1}{c} = \alpha_q^p u^q$$

$$(VI-108) \quad a_q^{p'} \frac{v'^q}{c} = -u^p$$

وحلول هذه المعادلات بالنسبة إلى  $a_q^{p'}$  و  $a_q^p$  هي:

$$(VI-109) \quad a_q^{p'} = \alpha_q^p + \frac{\alpha}{v^2} \alpha_r^p v^r v^q$$

$$(VI-110) \quad a_q^{p'} = a_q^p + \frac{\alpha}{v^2} \alpha_r^q v^r v^p$$

للتأكد من ذلك نضع الصيغة (VI-109) في المعادلة (VI-107) فنجد:

$$(VI-111) \quad a_q^{p'} \frac{v^q}{c} = a_q^p \frac{v^q}{c} + \frac{\alpha}{v^2} \alpha_r^p v^r \left( \frac{v^2}{c} \right) = (1 + \alpha) \alpha_q^p \frac{v^q}{c}$$

$$= \frac{\alpha_q^p v^q}{c \sqrt{1 - \beta^2}} = \alpha_q^p u^q$$

ونضع الصيغة (VI-110) في المعادلة (VI-108) فنجد:

$$(VI-112) \quad a_q^{p'} \frac{v'^q}{c} = \sum_q \left( \alpha_p^q \frac{v'^q}{c} + \frac{\alpha}{v^2} \alpha_r^q v^p v^r \frac{v'^q}{c} \right)$$

$$= D^{-1} \frac{v'^p}{c} + \sum_r \frac{\alpha}{v^2} (D^{-1} v'^r) v^p \frac{v^r}{c}$$

$$= -\frac{v^p}{c} - \frac{\alpha}{v^2} v^p \left( \frac{v^2}{c} \right) = -\frac{v^p}{c} (1 + \alpha)$$

$$= -\frac{v^p}{c \sqrt{1 - \beta^2}} = -u^p$$

حيث:

$$(V - 75) \quad \alpha = \frac{1}{\sqrt{1 - \beta^2}} - 1$$

فتكون المعادلات (VI-107) و (VI-108) صحيحة بالتطابق.

هكذا تكون لمعاملات تحويل لورنتز العام القيم الواردة في المعادلة (VI-57) أي في المصفوفات (VI-59). وقد حصلنا سابقاً على هذه الصيغ باستعمال نتائج الفصل الخامس أي بتعميم التحويل الخاص حسب طريقة مولر. أما في هذا المقطع فقد حصلنا عليها (بالصيغ VI - 109 و VI - 110) بتطبيق قواعد التحويل في الحالة الخاصة التي يكون فيها الهيكل S (أو S') هو الهيكل الاسنادي الذاتي. إن القواعد العامة لجمع السُّرع تقود حتماً إلى الحلول التي تدخل في التحويلات العامة للورنتز.

## الحركيات النسبية

### أ - القانون النسبي لجمع السرع

نستعمل دائماً في ما يلي الإحداثيات الحقيقية:

$$(VII-1) \quad x^1 = x, \quad x^2 = y, \quad x^3 = z, \quad x^0 = ct$$

ونحدّد نقط الفضاء الرباعي الإقليدي غير الأصيل بالنسبة إلى أربعة محاور مستقيمة محدّدة بأربع متجهات أحادية  $e_\mu$  أي  $(e_1, e_2, e_3, e_0)$  متعامدة ومنظمة حسب القاعدة:

$$(VII-2) \quad g_{\mu\nu} = (e_\mu \cdot e_\nu) = \eta_{\mu\nu}$$

حيث:

$$(VII-3) \quad \eta_{\mu\nu} = \begin{vmatrix} -1 & & & \\ & -1 & & \\ & & -1 & \\ & & & 1 \end{vmatrix}$$

فيكون الفاصل الأساسي الرباعي بالصيغة الأساسية:

$$(VII-4) \quad ds^2 = c^2 dt^2 - dx^2 - dy^2 - dz^2 = (dx^0)^2 - \sum_p (dx^p)^2, \\ (p = 1, 2, 3).$$

## (I) المتجه الرباعي للسرعة

إن مركبات السرعة العادية لجسيم نقطي

$$(VII-5) \quad v^p = \frac{dx^p}{dt}$$

لا تتحول مثل المركبات الفضائية لمتجه رباعي لأن  $dt$  ليست ثابتة في التحويل. لذلك نستبدل السرعة (VII-5) بالمتجه الرباعي ذي المركبات

$$(VII-6) \quad \bar{u}^\mu = \frac{dx^\mu}{d\tau}, \quad (\mu = 1, 2, 3, 0.)$$

حيث  $d\tau$  هو الزمن (الوقت) التفاضلي الذاتي للجسيم وهو ثابت في التحويل.

ونستعمل أيضاً المتجه الرباعي المسمى السرعة الكونية universe velocity

$$(VII-7) \quad u^\mu = \frac{dx^\mu}{ds} = \frac{\bar{u}^\mu}{c}$$

لأن:

$$(VII-8) \quad ds^2 = c^2 d\tau^2$$

استناداً إلى المعادلة (V - 58). ومن جهة ثانية فإن:

$$(VII-9) \quad ds^2 = c^2 dt^2 - \sum_p (dx^p)^2 \\ = c^2 dt^2 \left[ 1 - \frac{1}{c^2} \sum_p \left( \frac{dx^p}{dt} \right)^2 \right] = c^2 dt^2 (1 - \beta^2)$$

مما يعطي:

$$(VII-10) \quad \frac{dt}{d\tau} = \frac{1}{\sqrt{1 - \beta^2}}$$

فإذا أحلنا هذه النتيجة في الصيغة (VII-7) نجد:

$$(VII-11) \quad u^\mu = \frac{dx^\mu}{ds} = \frac{1}{c\sqrt{1 - \beta^2}} \frac{dx^\mu}{dt}$$

فترتبط مركبات السرعة الكونية  $u^p$  و  $u^0$  بمركبات السرعة العادية  $v^p$  بالعلاقات:

$$(VII-12)_1 \quad u^p = \frac{v^p}{c\sqrt{1-\beta^2}}$$

$$(VII-12)_2 \quad u^0 = \frac{1}{\sqrt{1-\beta^2}}$$

وتخضع لشروط التناظم:

$$(VII-13) \quad u_\mu u^\mu = (u^0)^2 - \sum_p (u^p)^2 = \frac{1 - \sum_p \left(\frac{v^p}{c}\right)^2}{1 - \beta^2} = 1$$

## (2) - قانون تحويل السرعة

لنفترض أن سرعة جسيم هي  $v$  في هيكل الإسناد الغاليلي  $S$ . فنكون سرعته الكونية  $u^\mu = \frac{dx^\mu}{ds}$  بالصيغ (VII-12) تبعاً لقيمة المركبات  $v^p = \frac{dx^p}{dt}$  للسرعة العادية. فإذا انتقلنا إلى هيكل إسناد غاليلي  $S'$  يتحرك بسرعة  $\omega$  بالنسبة إلى  $S$  (مع  $\beta = \frac{\omega}{c}$ ) تتحوّل الكميات  $u^\mu$  مثل مركبات متجه رباعي أي:

$$(VII-14) \quad u'^\mu = a^\mu_\nu u^\nu = a^\mu_q u^q + \alpha^\mu_0 u^0 \quad \left( \begin{array}{l} \mu, \nu = 1, 2, 3, 0 \\ p, q = 1, 2, 3 \end{array} \right)$$

وعكس ذلك:

$$(VII-15) \quad u^\mu = a^\mu_\nu u'^\nu = a^\mu_q u'^q + a^\mu_0 u'^0$$

ف نجد إذاً للمركبات الفضائية  $\mu = p = 1, 2, 3$  ثم للمركبة الرابعة  $\mu = 0$  مستعملين الصيغة (VII-12) ما يلي:

$$(VII-16)_1 \quad \frac{v'^p}{c\sqrt{1-\frac{v'^2}{c^2}}} = a^{p'}_q \frac{v^q}{c\sqrt{1-\frac{v^2}{c^2}}} + a^{p'}_0 \frac{1}{\sqrt{1-\frac{v^2}{c^2}}}$$

$$(VII-16)_2 \quad \frac{1}{c\sqrt{1-\frac{v'^2}{c^2}}} = a^{0'}_q \frac{v^q}{c\sqrt{1-\frac{v^2}{c^2}}} + a^{0'}_0 \frac{1}{\sqrt{1-\frac{v^2}{c^2}}}$$



والعلاقة العكسية استناداً إلى (VII-15) تكون:

$$(VII-17)_1 \quad \frac{v^p}{c \sqrt{1 - \frac{v^2}{c^2}}} = a_{q'}^p \frac{v'^q}{c \sqrt{1 - \frac{v'^2}{c^2}}} + a_{0'}^p \frac{1}{\sqrt{1 - \frac{v'^2}{c^2}}}$$

$$(VII-17)_2 \quad \frac{1}{\sqrt{1 - \frac{v^2}{c^2}}} = a_{q'}^0 \frac{v'^q}{c \sqrt{1 - \frac{v'^2}{c^2}}} + a_{0'}^0 \frac{1}{\sqrt{1 - \frac{v'^2}{c^2}}}$$

ومن قواعد التحويل (VII-16)<sub>2</sub> و (VII-17)<sub>2</sub> نستخلص مباشرة<sup>(1)</sup>:

$$(VII-18) \quad a_{q'}^0 \frac{v'^q}{c} + a_{0'}^0 = \frac{1}{a_{q'}^0 \frac{v'^q}{c} + a_{0'}^0} = \sqrt{\frac{1 - \frac{v^2}{c^2}}{1 - \frac{v'^2}{c^2}}}$$

فإذا استعملنا هذه النتيجة نستطيع كتابة (VII-16)<sub>1</sub> و (VII-17)<sub>1</sub> من جديد بالصيغ:

$$(VII-19) \quad \frac{v'^p}{c} = \frac{a_{q'}^p \frac{v^q}{c} + a_{0'}^p}{a_{r'}^0 \frac{v^r}{c} + a_{0'}^0}$$

$$(VII-20) \quad \frac{v^p}{c} = \frac{a_{q'}^p \frac{v'^q}{c} + a_{0'}^p}{a_{r'}^0 \frac{v'^r}{c} + a_{0'}^0}$$

### (3) تحويل لورنتز والقاعدة العامة لجمع السرعة

لقد حصلنا بتطبيق تحويل لورنتز للمتجه الرباعي  $u^\mu$  على العلاقة بين السرعة  $v$  لجسيم في الهيكل الإسنادي  $S$  وسرعته  $v'$  في الهيكل الإسنادي  $S'$  بالصيغ التالية:

(1) لقد حصلنا على هذه العلاقة في الفصل السادس بحساب مشتقة علاقة لورنتز:

$$\frac{dt'}{dt} = a_{p'}^0 \frac{v^p}{c} + a_{0'}^0 = \frac{1}{a_{p'}^0 \frac{v^p}{c} + a_{0'}^0} = \sqrt{\frac{1 - \frac{v^2}{c^2}}{1 - \frac{v'^2}{c^2}}}$$

$$(VII-21) \quad v' = \varphi(v, a_{\mu}^{v'})$$

$$(VII-22) \quad v = \varphi(v', a_{\mu}^{v'})$$

حيث المعاملات  $a_{\mu}^{v'}$  و  $a_{\mu}^{v}$  تحدّد التحويل من S إلى S' وبالعكس. وفي الحالة الخاصة التي يكون فيها أحد الهيكلين S و S' هو الهيكل الاسنادي الذاتي  $S_0$  للجسيم، تحدّد هذه المعاملات التحويل من S إلى  $S_0$  ومن S' إلى  $S_0$ .

— فنجد إذا أخذنا  $S' \equiv S_0$ :

$$v'_{(1)} = 0 \quad , \quad v_{(1)} = \omega$$

— وإذا أخذنا  $S \equiv S_0$ :

$$v_{(2)} = 0 \quad , \quad v'_{(2)} = \omega' = -D^{-1} \omega$$

من الممكن إذاً تحديد المعاملات  $a_{\mu}^{v'}$  و  $a_{\mu}^{v}$  تبعاً للسرعة  $\omega$  لهيكل بالنسبة إلى الآخر وذلك بالنظر إلى الحالات الخاصة للمعادلات (VII-21) و (VII-22) بطريقة مناسبة. وهذا ما قمنا به في الفصل السادس حيث وجدنا

$$(VII-23) \quad a_{\mu}^{v'} = f_{(S' = S_0)}(v_{(1)}, v'_{(1)}) = f'_0(v = \omega, v'_{(1)} = 0)$$

$$(VII-24) \quad a_{\mu}^{v} = f_{(S = S_0)}(v_{(2)}, v'_{(2)}) = f_0(v'_3 = -D^{-1}\omega, v_2 = 0)$$

وهذه القيم (VI - 101) و (VI - 110) لمعاملات تحويل لورنتز العام.

فإذا أحلنا قيم هذه المعاملات في الصيغ (VII-21) و (VII-22) نجد:

$$(VII-25) \quad v' = \varphi(v, f'_0(w))$$

$$(VII-26) \quad v = \varphi(v', f_0(-D^{-1}w)).$$

لنحقق عملياً الصيغة الأخيرة بإحلال القيم في الصيغتين (VI - 59) و (VI - 60) لمعاملات التحويل في المعادلات (VII-19) و (VII-20) فنجد<sup>(2)</sup>:

(2) في كل قواعد جمع السرعة سنحتفظ بـ  $\omega$  كرمز لسرعة الهيكل الاسنادي S' بالنسبة إلى الهيكل الاسنادي S مع  $\left(\beta = \frac{\omega}{c}\right)$ . وذلك لتحاكي أي التباس مع السرعة  $v$  و  $v'$  التي ترمز إلى سرعة الجسيم في الهياكل S و S'.

$$(VII-27) \quad \frac{v'^p}{c} = \frac{a_r^p \gamma_q^r \frac{v^q}{c} - \alpha_r^p u^r}{-\sum_m u^m \frac{v^m}{c} + u^0}$$

$$(VII-28) \quad \frac{v^p}{c} = \frac{\sum_q \alpha_q^p \gamma_r^q \frac{v'^r}{c} + u^p}{\sum_m a_s^m u^s \frac{v'^m}{c} + u^0}$$

حيث<sup>(3)</sup>:

$$(VII-29) \quad \gamma_p^r = \delta_p^r + \frac{\sqrt{1-\beta^2}}{\beta^2} (1 - \sqrt{1-\beta^2}) u^r u^p$$

$$= \delta_p^r + \frac{(1 - \sqrt{1-\beta^2}) w^r w^p}{v'^2 \sqrt{1-\beta^2}}$$

1 - فإذا كان تحويل لورنتز بدون دوران، نقوم بإحلال القيم (VI - 62) و (VI - 63) لمعاملات التحويل في الصيغ (VII-28) و (VII-27) فنجد:

$$(VII-30) \quad \frac{v'^p}{c} = \frac{\left( \gamma_q^p \frac{v^q}{c} - u^p \right) \sqrt{1-\beta^2}}{1 - \sum_m \frac{v^m \omega^m}{c^2}}$$

$$= \frac{\frac{v^p}{c} \sqrt{1-\beta^2} + \frac{\omega^p}{c} \left[ \sum_q \frac{\omega^q v^q}{\omega^2} (1 - \sqrt{1-\beta^2}) - 1 \right]}{1 - \sum_n \frac{v^m \omega^m}{c^2}}$$

$$(VII-31) \quad \frac{v^p}{c} = \frac{\left( \sum_q \gamma_p^q \frac{v'^q}{c} + u^p \right) \sqrt{1-\beta^2}}{1 + \sum_m \frac{v'^m \omega^m}{c^2}}$$

$$= \frac{\frac{v'^p}{c} \sqrt{1-\beta^2} + \frac{\omega^p}{c} \left[ \sum_q \frac{\omega^q v'^q}{\omega^2} (1 - \sqrt{1-\beta^2}) + 1 \right]}{1 + \sum_m \frac{v'^m \omega^m}{c^2}}$$

$$(3) \quad \text{نذكر بأن: } u^p = \frac{\omega^p}{c\sqrt{1-\beta^2}}, \quad u^0 = \frac{1}{\sqrt{1-\beta^2}}, \quad \left( \beta = \frac{\omega}{c} \right)$$

ويمكن أن نكتب أيضاً هذه الصيغ باستعمل المتجهات الثلاثة  $v$  و  $v'$  و  $W$ :

$$(VII-32) \quad v' = \frac{v \sqrt{1 - \beta^2} + W \left[ \frac{V \cdot W}{\omega^2} (1 - \sqrt{1 - \beta^2}) - 1 \right]}{1 - \frac{V \cdot W}{c^2}}$$

$$(VII-33) \quad v = \frac{v' \sqrt{1 - \beta^2} + W \left[ \left( \frac{V' \cdot W}{\omega^2} \right) (1 - \sqrt{1 - \beta^2}) + 1 \right]}{1 + \frac{V' \cdot W}{\omega^2}}$$

2 - أخيراً في الحالة الخاصة التي تكون فيها السرعة النسبية للهياكل الاسنادية باتجاه المحور (ox) وتكون محاور الهياكل متوازية يجب إحلال قيم  $a_{\mu}^{v'}$  و  $a_{\mu}^v$  المتعلقة بتحويل لورنتز الخاص في المعادلات (VII - 19) و (VII - 20). فنجد إذا أخذنا بعين الاعتبار قيم الصيغة (VI - 66).

$$(VII - 34) \quad v'_x = \frac{v_x - \omega}{1 - \frac{\beta}{c} v_x}, \quad v'_y = \frac{v_y \sqrt{1 - \beta^2}}{1 - \frac{\beta}{c} v'_x},$$

$$v'_z = \frac{v_z \sqrt{1 - \beta^2}}{1 - \frac{\beta}{c} v'_x}, \quad \left( \beta = \frac{\omega}{c} \right)$$

أو العلاقات العكسية:

$$(VII - 35) \quad v_x = \frac{v'_x + \omega}{1 + \frac{\beta}{c} v'_x}, \quad v_y = \frac{v'_y \sqrt{1 - \beta^2}}{1 + \frac{\beta}{c} v'_x}, \quad v_z = \frac{v'_z \sqrt{1 - \beta^2}}{1 + \frac{\beta}{c} v'_x}$$

ونحصل أيضاً مباشرة على هذه القواعد انطلاقاً من القواعد<sup>(4)</sup> (VII - 32) و (VII - 33) بوضع:

(4) يمكن أن نستخلص مباشرة قواعد جمع السرع في حالة تحويل لورنتز الخاص، أو يمكن أن نستخلص من التحويل:

$$= \quad x' = \frac{x - \omega t}{\sqrt{1 - \beta^2}}, \quad y' = y, \quad z' = z, \quad t' = \frac{t - \frac{\beta}{c} x}{\sqrt{1 - \beta^2}} \quad \left( \beta = \frac{\omega}{c} \right)$$

$$(VII - 36) \quad W = \omega_x \quad , \quad \omega_y = \omega_z = 0$$

#### 4) قيمة واتجاه السرعة

أ - لنرجع إلى الصيغ<sub>1</sub> (VI - 59) و<sub>2</sub> (VI - 59) التي تحدد قيمة معاملات التحويل  $a_0^0$ ، و  $a_0^{0'}$  و  $a_q^0$ ، و  $a_q^{0'}$ ، فإذا أحلنا هذه القيم في المعادلة (VII - 18) نجد:

$$(VII - 37) \quad - \sum_q \frac{\mu^q v^q}{c} + u^0 = \frac{1}{\sum_q \alpha_r^q u^r \frac{v'^q}{c} + u^0} = \sqrt{\frac{1 - \frac{v^2}{c^2}}{1 - \frac{v'^2}{c^2}}}$$

لنحصر اهتمامنا الآن بالتحويلات دون دوران، فنكتب المعادلة (VII - 37) كما يلي:

$$(VII - 38) \quad \frac{1 - \frac{V \cdot W}{c^2}}{\sqrt{1 - \beta^2}} = \frac{\sqrt{1 - \beta^2}}{1 + \frac{V' \cdot W}{c^2}} = \sqrt{\frac{1 - \frac{v^2}{c^2}}{1 - \frac{v'^2}{c^2}}}$$

لنربّع هذه العلاقات ولنضرب الجانب الأيمن للمعادلة بالجانب الأيسر فنجد:

$$\frac{dt'}{dt} = \frac{1 - \frac{\beta}{c} v_x}{\sqrt{1 - \beta^2}} \quad \text{أي} \quad dt' = \frac{dt - \frac{\beta}{c} dx}{\sqrt{1 - \beta^2}} =$$

أن =

مما يعطي:

$$v'_x = \frac{dx'}{dt'} = \frac{dx'}{dt} \frac{dt}{dt'} = \left( \frac{v_x - \omega}{\sqrt{1 - \beta^2}} \right) \frac{\sqrt{1 - \beta^2}}{1 - \frac{\beta}{c} v_x}$$

$$v'_y = \frac{dy'}{dt'} = \frac{dy'}{dt} \frac{dt}{dt'} = v_y \frac{\sqrt{1 - \beta^2}}{1 - \frac{\beta}{c} v_x},$$

$$v'_z = \frac{dz'}{dt'} = \frac{dz'}{dt} \frac{dt}{dt'} = \frac{v_z \sqrt{1 - \beta^2}}{1 - \frac{\beta}{c} v_x},$$

$$(VII - 39) \quad \frac{1 + \frac{V' \cdot W}{c^2}}{1 - \frac{V \cdot W}{c^2}} = \frac{1 - \frac{v'^2}{c^2}}{1 - \frac{v^2}{c^2}} = \frac{1 - \beta^2}{\left(1 - \frac{V \cdot W}{c^2}\right)^2}$$

$$= \frac{\left(1 + \frac{V' \cdot W}{c^2}\right)^2}{1 - \beta^2}$$

ونستخلص العلاقة التالية:

$$(VII - 40)_1 \quad v^2 = c^2 \left[ 1 - \frac{\left(1 - \frac{v'^2}{c^2}\right) (1 - \beta^2)}{\left(1 + \frac{V' \cdot W}{c^2}\right)^2} \right]$$

والعلاقة العكسية:

$$(VII - 40)_2 \quad v'^2 = c^2 \left[ 1 - \frac{\left(1 - \frac{v^2}{c^2}\right) (1 - \beta^2)}{\left(1 - \frac{V \cdot W}{c^2}\right)^2} \right]$$

كما يمكن أن نستخلص هذه العلاقات أيضاً من الصيغ (VII - 32) و (VII - 33).

ولتكن  $\theta$  زاوية  $v$  مع  $OX$  و  $\theta'$  زاوية  $v'$  مع  $OX'$  ولندرس التحويل الخاص الذي تكون فيه المحاور  $OX'$  و  $OX$  متوازية مع السرعة  $w$ . وتحدّد  $\theta'$  بالعلاقات:

$$(VII - 41) \quad \text{tg } \theta' = \frac{\sqrt{v_y'^2 + v_z'^2}}{v'_x}$$

$$(VII - 42) \quad \sin \theta' = \frac{\sqrt{v_y'^2 + v_z'^2}}{v'} \quad , \quad \cos \theta' = \frac{v'_x}{v'}$$

فنجد هكذا:

$$(VII - 43) \quad v^2 = \frac{v'^2 + \omega^2 + 2v'\omega \cos \theta' - \left(\frac{v'\omega}{c} \sin \theta'\right)^2}{\left(1 + \frac{v'\omega}{c^2} \cos \theta'\right)^2}$$

$$(VII - 44) \quad v'^2 = \frac{v^2 + \omega^2 + 2v\omega \cos \theta - \left( \frac{v \cdot \omega}{c} \sin \theta \right)^2}{\left( 1 - \frac{v \cdot \omega}{c^2} \cos \theta \right)^2}$$

ب - لنحصر إهتمامنا بالتحويل الخاص ولنختار المحاور بحيث تكون السرعة  $v'$  في السطح  $xoy$  ( $v'_z = 0$ ) فنجد أيضاً  $v_z = 0$  باستعمال (VII - 35)، مما يعني أن السرعة  $v$  هي أيضاً في السطح  $xoy$ . وإذا كانت  $\theta$  و  $\theta'$  زوايا السرعة  $v$  و  $v'$  مع  $ox$  يمكن أن نكتب العلاقات (VII - 41) و (VII - 42) بعد استعمال التحويل في الصيغة (VII - 34) كما يلي:

$$(VII - 45) \quad \operatorname{tg} \theta' = \frac{v'_y}{v'_x} = \frac{v_y \sqrt{1 - \beta^2}}{v_x - \omega} = \frac{v \sqrt{1 - \beta^2} \sin \theta}{v \cos \theta - \omega}$$

$$(VII - 46) \quad v' \sin \theta' = v'_y = \frac{v_y \sqrt{1 - \beta^2}}{1 - \frac{\beta}{c} \frac{v_x}{v_x}} \quad , \quad v' \cos \theta' = \frac{v_x - \omega}{1 - \frac{\beta}{c} \frac{v_x}{v_x}}$$

ونستخلص من المعادلة (VII - 45) أن:

$$(VII - 47) \quad \operatorname{tg} \theta' = \frac{\sqrt{1 - \beta^2} \sin \theta}{\cos \theta - \frac{\omega}{v}}$$

وهذه العلاقة تقود بدورها إلى:

$$(VII - 48) \quad \sin \theta' = \frac{\sqrt{1 - \beta^2} \sin \theta}{\left( \left( 1 + \frac{\omega^2}{v^2} - \frac{2\omega}{v} \cos \theta - \beta^2 \sin^2 \theta \right)^{\frac{1}{2}} \right)}$$

$$\cos \theta' = \frac{\cos \theta - \frac{\omega}{v}}{\left( 1 + \frac{\omega^2}{v^2} - \frac{2\omega}{v} \cos \theta - \beta^2 \sin^2 \theta \right)^{\frac{1}{2}}}$$

ومن جهة ثانية إذا حسبنا مربع جانبي المعادلتين (VII - 46) وجمعناهما نجد:

$$(VII - 49) \quad v'^2 = \frac{v_y^2 (1 - \beta^2) + (v_x - \omega)^2}{\left( 1 - \frac{\beta}{c} \frac{v_x}{v_x} \right)^2}$$

أي:

$$(VII - 50) \quad v' = v \frac{\left[ 1 + \frac{\omega^2}{v^2} - \frac{2\omega}{v} \cos \theta - \beta^2 \sin^2 \theta \right]^{\frac{1}{2}}}{1 - \frac{\beta v}{c} \cos \theta}$$

كما يمكن أن نكتب هذه العلاقة الأخيرة بالصيغة:

$$(VII - 51) \quad v' = v \frac{\left[ \left( \frac{\beta c}{v} - \cos \theta \right)^2 - (1 - \beta^2) \sin^2 \theta \right]^{\frac{1}{2}}}{1 - \frac{\beta v}{c} \cos \theta}$$

أما العلاقة العكسية التي تحدّد السرعة  $v$  تبعاً للسرعة  $v'$  الزاوية  $\theta'$  فهي:

$$(VII - 52) \quad v = v' \frac{\left[ 1 + \frac{\omega^2}{v'^2} + \frac{2\omega}{v'} \cos \theta' - \beta^2 \sin^2 \theta' \right]^{\frac{1}{2}}}{1 + \frac{\beta v'}{c} \cos \theta'}$$

### 5) السرعة القصوى

نستنتج من قانون جمع السرعة أن سرعة الضوء في الفراغ  $c$  هي السرعة القصوى. ويعني ذلك أن نتيجة جمع سرعتين أصغر من  $c$  هي أصغر من  $c$ . ويمكن إثبات ذلك من العلاقة (VII - 40) التي تعطي  $v < c$  إذا كانت  $v' < c$  و  $\omega < c$ . أما إذا جمعنا سرعتين إحداهما على الأقل تساوي  $c$  فإن النتيجة تكون  $c$ .

نشير إلى أن وجود السرعة القصوى  $c$  لا يتحتم إلا إذا كان تحويل لورنتز للسرعة صالحاً، أي أن يكون للسرعة معنى حسب التحديد العادي وأن تكون مبادئ النسبية معمولاً بها.

أ - يكون ذلك في حالة حركة أجسام مادية أو بشكل عام عند انتشار مختلف أنواع الطاقة. ولا ينطبق هذا مثلاً على سرعة الطور phase velocity للموجات الكهرومغناطيسية التي يمكن أن تفوق  $c^{(5)}$ . أما سرعة المجموعة التي هي أيضاً سرعة

(5) سرعة الطور phase velocity التي تدخل في معادلة الانتشار  $\frac{1}{u^2} \frac{\partial^2 \varphi}{\partial t^2} = \frac{\partial^2 \varphi}{\partial x^2}$

هي كميات متجانسة مع السرعة ولكنها لا تحدد بصيغة مشابهة لـ (VII-5).



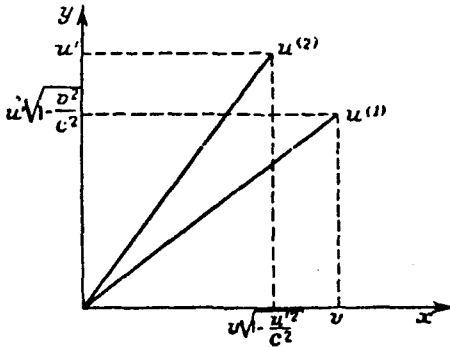
انتقال الطاقة فهي دائماً أقل من  $c^{(6)}$  (أنظر المقطع 10 من هذا الفصل).

ب - يجب أن يكون الهيكل الاسنادي غالباً حقاً. وهذا لا ينطبق مثلاً على حركة مجرة في هيكل إسناد مجرة أخرى. فإن وصف هذه الحركة يصطدم بصعوبات كبيرة في ما يتعلق بمفهوم المسافة<sup>(7)</sup> والوقت الكوني المطلقين. فالسرع النسبية لمجرتين تتناسب مع المسافة الفاصلة بينهما (قانون هوبل Hubble) واستناداً للتحديدات المستعملة يمكن أن تفوق هذه السُرعة سرعة الضوء  $c$ .

فإذا تمسكنا بمبادئ وتحديدات النسبية الخاصة تكون السرعة دائماً متجهاً رباعياً زمانياً ولا يمكن أن تتعدى قيمتها سرعة الضوء  $c$ .

### 6) التباين في أدوار السرعة النسبية وسرعة الانسحاب

إذا بدلنا أدوار السرعة النسبية  $V'$  وسرعة الانسحاب  $W$  دون تغيير قيمتهما أو اتجاههما تتغير قيمة السرعة الإجمالية  $V$ .



الشكل 29 -

للتبسيط نفترض أن  $V'$  هي باتجاه  $oy$  ( $v'_y = V'$ ,  $v'_x = v'_z = 0$ ) وأن  $W$  هي باتجاه  $ox$  فنجد استناداً إلى الصيغة (VII - 35) أن:

$$(VII - 53) \quad v_x^{(1)} = \omega, \quad v_y^{(1)} = v' \sqrt{1 - \frac{\omega^2}{v'^2}}$$

Cf. SOMMERFELD. Phys. Zeit, 8, 1907, 841, 33, p.413; Ann. Phys., 44, 1914, (6)

177. - L. BRILLOUIN, Ann. Phys., 44, 1914, 303; Comptes Rendus du Congrès International de l'Electricité, II, 1932, 753.

Cf. G.C. MAC VITTIE, General Relativity and Cosmology (N.-Y.1956), pp.147 à 153. (7)

أما إذا كانت  $V'$  هي الآن سرعة الانسحاب للهيكل الاسنادي  $S'$  بالنسبة إلى  $S$  (وهي دائماً باتجاه  $oy$ ) و  $W$  هي السرعة النسبية للجسم في الهيكل الاسنادي  $S'$  (دائماً باتجاه  $ox$ ) يجب أن نبدل في الصيغ (VII - 53) السرعة  $v'$  و  $\omega$  والمحاور  $ox$  و  $oy$  فنجد:

$$(VII - 54) \quad v_y^{(2)} = v' \quad , \quad v_x^{(2)} = \omega \sqrt{1 - \frac{v'^2}{c^2}}$$

فتكون قيمة السرعة الإجمالية ذاتها في الحالتين:

$$(VII - 55) \quad v^2 = v'^2 + \omega^2 - \frac{v'^2 \omega^2}{c^2}$$

أما اتجاهها فيتغير إذا لم تكن السرعة  $V'$  و  $W$  باتجاه واحد.

### 7 الحالة الخاصة لجمع السرعة المتوازية

إذا كانت السرعة النسبية  $V'$  في  $S'$  متوازية مع سرعة الانسحاب تصبح الصيغ (VII - 35) أبسط. في هذه الحالة تكون:

$$(VII - 56) \quad v'_y = v'_z = 0 \quad , \quad v'_z = v'$$

فتعطي العلاقات (VII - 35)

$$(VII - 57) \quad v = \frac{v' + \omega}{1 + \frac{v'\omega}{c^2}}$$

وإذا وضعنا كما في المعادلة (V - 66):

$$(VII - 58) \quad \operatorname{tg}\psi = i \frac{v}{c} \quad , \quad \operatorname{tg}\psi_1 = \frac{i\omega}{c} \quad , \quad \operatorname{tg}\psi_2 = \frac{iv'}{c}$$

تكتب المعادلة (VII - 57) كما يلي:

$$(VII - 59) \quad \operatorname{tg}\psi = \frac{\operatorname{tg}\psi_1 + \operatorname{tg}\psi_2}{1 - \operatorname{tg}\psi_1 \operatorname{tg}\psi_2} = \operatorname{tg}(\psi_1 + \psi_2)$$

لنفترض الآن أن  $\beta = \frac{\omega}{c}$  و  $\beta' = \frac{v'}{c}$  صغيرتان بالمقارنة مع 1، فتصبح السرعة الاجمالية

$$(VII - 60) \quad v \approx (\omega + v') (1 - \beta\beta')$$

ولا تختلف عن الصيغة الكلاسيكية إلا بالحد  $\beta\beta'$ .

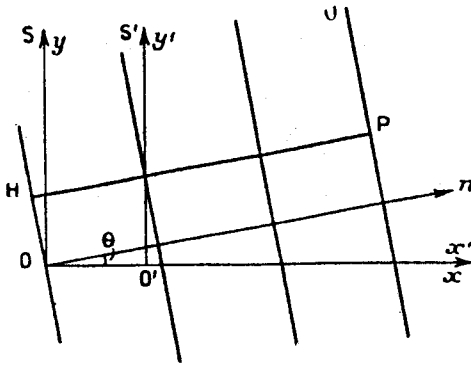
وبشكل خاص إذا وضعنا  $v' = \frac{c}{n}$  (مع  $n > 1$ ) نجد استناداً إلى المعادلة (VII - 60) الصيغة التقريبية:

$$(VII - 61) \quad v \approx \left( \omega + \frac{c}{n} \right) \left( 1 - \frac{\omega}{nc} \right) \approx \frac{c}{n} + \omega \left( 1 - \frac{1}{n^2} \right)$$

حيث أهملنا الكميات المتناسبة مع  $\frac{1}{c^2}$ . هذه هي صيغة فيزو التي أثبتناها هنا باستعمال قانون جمع السرعة للفوتونات المتحركة بسرعة  $\frac{c}{n}$  حيث ترمز  $n$  إلى قرينة انكسار الجسم.

### ب - انتشار الموجات والحركات النسبية

(8) انتشار موجة مستوية في أجسام كاسرة للضوء متحركة بسرعة ثابتة الواحدة بالنسبة إلى الأخرى



الشكل 30- انتشار موجة مستوية في الهيكل الاسنادية الغاليلية S و S'

لنفترض أن موجة مستوية تنتشر في جسم قرينة انكساره  $n$ . نختار محاور الإحداثيات بحيث يكون السطح  $xOy$  عمودياً على صدور الموجة المستوية. سرعة صدر الموجة أي سرعة الطور<sup>(8)</sup> هي  $u$  في الهيكل الاسنادي  $S$  و  $u'$  في الهيكل  $S'$ . لنفترض أن الهيكل  $S'$  يتحرك بسرعة  $\omega$  بالنسبة إلى  $S$  باتجاه المحور  $Ox$  وأن الهيكلين الاسناديين يتطابقان في الوقت  $t = 0$ .

إن صدر الموجة الذي يمر في أصل المحاور  $O$  في الوقت  $t = 0$  يصل إلى النقطة  $P$  في الوقت (الزمن)

$$(VII-62) \quad t_0 = \frac{PH}{u} = \frac{xcos\theta + ysin\theta}{u}$$

(8) نرّمز إلى سرعة الطور بالحرف  $u$  و  $u'$  كما في الفصل الثالث. ومن السهل أن نميز بين سرعة الطور  $u$  والمتجه الرباعي  $u$  الذي لا يظهر عملياً إلا بمركباته  $u^x = dx^x/ds$ .

كما يقاس في الهيكل الاسنادي S. فيكون عدد الموجات التي يتلقاها المشاهد في P حتى الوقت t مساوياً لـ :

$$(VII-63) \quad \nu(t - t_0) = \nu \left( t - \frac{x \cos \theta + y \sin \theta}{u} \right)$$

وهذا العدد لا يتغير من هيكل إسناد غاليلي إلى آخر. فإذا استعملنا الهيكل الاسنادي S' تكون إحداثيات النقطة P x' و y' ويصبح الوقت t'. مما يعطينا علاقة المطابقة:

$$(VII-64) \quad \nu' (t' - t'_0) = \nu(t - t_0)$$

أي:

$$(VII-65) \quad \nu \left( t - \frac{x \cos \theta + y \sin \theta}{u} \right) = \nu' \left( t' - \frac{x' \cos \theta' + y' \sin \theta'}{u'} \right)$$

فإذا استعملنا قانون تحويل لورنتز يمكن أن نستبدل x و y و t بقيمها بالنسبة إلى x' و y' و t' :

$$(VII-66) \quad x = \frac{x' + \omega t'}{\sqrt{1 - \beta^2}}, \quad y = y', \quad t = \frac{t' + \frac{\beta}{c} x'}{\sqrt{1 - \beta^2}}, \quad \left( \beta = \frac{\omega}{c} \right)$$

في المعادلة التطابقية فتكون معامل x' و y' و t' متساوية في جانبي هذه المعادلة، لأن مساواة عدد الموجات في الهيكلين الاسناديين صحيح في أي نقطة P وفي أي وقت t. فنجد العلاقات التالية:

$$(VII-67) \quad \frac{\nu}{\sqrt{1 - \beta^2}} - \frac{\omega \nu \cos \theta}{u \sqrt{1 - \beta^2}} = \nu'$$

$$(VII-68) \quad \frac{\beta \nu}{c \sqrt{1 - \beta^2}} - \frac{\nu \cos \theta}{u \sqrt{1 - \beta^2}} = - \frac{\nu' \cos \theta'}{u'}$$

$$(VII-69) \quad \frac{\nu \sin \theta}{u} = \frac{\nu' \sin \theta'}{u'}$$

ونستخلص منها قانون تحويل اتجاه الموجة:

$$(VII-70) \quad \text{tg } \theta' = \frac{\sqrt{1 - \beta^2} \sin \theta}{\cos \theta - \frac{\beta u}{c}}$$

أي

$$(VII-71) \quad \sin \theta' = \frac{\sqrt{1 - \beta^2} \sin \theta}{\sqrt{\left(\frac{\beta u}{c} - \cos \theta\right)^2 + (1 - \beta^2) \sin^2 \theta}}$$

$$(VII-72) \quad \cos \theta' = \frac{\cos \theta - \frac{\beta u}{c}}{\sqrt{\left(\frac{\beta u}{c} - \cos \theta\right)^2 + (1 - \beta^2) \sin^2 \theta}}$$

ومن جهة أخرى نستخلص قانون تحويل سرعة الطور

$$(VII-73) \quad u' = \frac{u - \beta c \cos \theta}{\sqrt{\left(\frac{\beta u}{c} - \cos \theta\right)^2 + (1 - \beta^2) \sin^2 \theta}}$$

سنرى في الفصل العاشر أن هذه العلاقات تعبر عن قانون ظاهرة دوبلر النسبية وعن ظواهر الزينغ.

ونشير هنا إلى أن العلاقات (VII-70) و (VII-73) هي ذاتها قوانين تحويل السرعة  $v$  لجسيم نقطي كما في الصيغ (VII-47) و (VII-51) شرط أن نضع:

$$(VII-74) \quad \frac{u}{c^2} = \frac{1}{v}$$

هكذا يستخلص قانون تحويل سرعة الطور  $u$  من قانون تحويل السرعة  $v = \frac{c^2}{u}$  للجسيم المقترن بهذه الموجة<sup>(9)</sup>. أما في الحالة الخاصة  $v = c$  فتكون سرعة الطور للموجة المقترنة:

$$(VII-75) \quad u = \frac{c^2}{v} = c$$

أي سرعة الجسيم ذاته.

(9) هذه الخاصة تعطي إقتران الموجة بالجسيم صيغة نسبية. لكل جسيم يتحرك بسرعة  $v$  موجة مقترنة، سرعة الطور فيها  $u = \frac{c^2}{v}$  أي بطول موجة:

$$\lambda = \frac{u}{v} = \frac{c^2}{v} \frac{h}{W} = \frac{h}{mv}$$

إذا كانت طاقة الموجة  $W = hv = mc^2$  (انظر الفصل الثامن).

9) مبدأ هيغنز والنسبية الخاصة<sup>(10)</sup>

لنفترض الآن أن موجة كروية مركزها أصل المحاور  $O'$  في الهيكل الاسنادي  $S'$  تنتشر في وسط له قرينة انكسار  $n$  ساكن في الهيكل  $S'$ ، وسرعة انتشار الموجة الضوئية في هذا الوسط أي في الهيكل الاسنادي  $S'$  هي  $V'$  وهي أيضاً سرعة الطور في هذا الهيكل:

$$(VII-76) \quad V' = u' = \frac{c}{n}$$

تشكل هذه الموجة في الوقت  $t'$  كرة شعاعها  $r' = u't'$  في الهيكل الاسنادي  $S'$  أي أن إحداثيات نقطتها تخضع للمعادلة:

$$(VII-77) \quad x'^2 + y'^2 + z'^2 - u'^2 t'^2 = 0$$

لندرس هذه الموجة في الهيكل الاسنادي  $S$  المطابق للهيكل  $S'$  في الزمن الابتدائي  $t = 0$  والذي يتحرك بسرعة  $W$  بالنسبة إلى  $S'$ . نختار المحاور بحيث تكون  $W$  في اتجاه  $Ox'$  فترتبط إحداثيات النقطة  $P(x', y', z', t')$  في الهيكل الاسنادي  $S'$  بإحداثياتها  $(x, y, z, t)$  في الهيكل الاسنادي  $S$  بالعلاقات (VII-66) وتكون معادلة صدر الموجة في الوقت  $t$ .

$$(VII-78) \quad \frac{(x - at)^2}{b} + y^2 + z^2 - bu'^2 t^2 = 0$$

حيث وضعنا:

$$(VII-79) \quad a = \omega \frac{1 - \frac{u'^2}{c^2}}{1 - \frac{\beta^2 u'^2}{c^2}} \quad b = \frac{1 - \beta^2}{1 - \frac{\beta^2 u'^2}{c^2}} \quad \left( \beta = \frac{\omega}{c} \right)$$

نحصل على المعادلة (VII-78) باستبدال  $(x', y', z', t')$  بقيمها وفق الصيغة (VII-66) تبعاً لـ  $(x, y, z, t)$  في المعادلة (VII-77)، وتمثل المعادلة (VII-78) مجسماً إهليلجي الشكل في الحالة  $n > 1$  (أو  $u' < c$ ). إذ إن في هذه الحالة

$$(VII-80) \quad 0 < a < c \quad , \quad 0 < b < 1.$$

لنتفحص الآن إنتشار مويجة صادرة عن النقطة  $P'_0(x'_0, y'_0, 0)$  من صدر الموجة في

(10) نستعمل هنا طريقة مولر C.Moller المرجع (16) الصفحة 58.

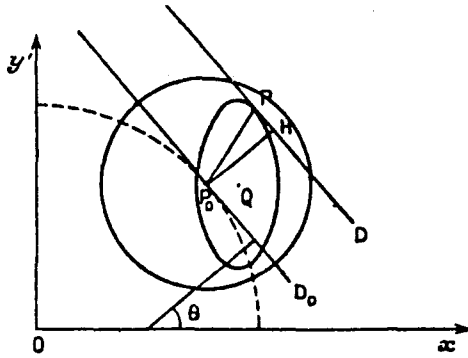
الوقت  $t_0$ . في الوقت  $t_0 + \Delta t$  تشكل هذه الموجة كرة صغيرة في الهيكل الاسنادي  $S'$ . تقاطع هذه الكرة مع السطح  $xoy$  هو دائرة معادلتها هي:

$$(VII-81) \quad (x' - x'_0)^2 + (y' - y'_0)^2 - u'^2 \Delta t'^2 = 0.$$

ومركزها هو في النقطة  $(x'_0, y'_0)$  التي تصدر منها الموجة.

أما في الهيكل الاسنادي  $S$  فيكون تقاطع السطح  $xoy$  مع الموجة الصادرة عن النقطة ذاتها  $P_0(x_0, y_0)$  قطعاً إهليلجياً معادلته (استناداً إلى (VII-78))

$$(VII-82) \quad f(x, y) \equiv \frac{(x - x_0 - a\Delta t)^2}{b} + (y - y_0)^2 - bu'^2 \Delta t^2 = 0.$$



الشكل 31- انتشار موجة كروية  
في هيكلين اسناديين غاليليين

فيكون نصف طول المحاور لهذا القطع الإهليلجي  $bu'\Delta t$  للمحور الصغير باتجاه  $Ox$  و  $\sqrt{b} u'\Delta t$  للمحور الكبير باتجاه  $Oy$ . مما يعني أن هذه الموجات الإهليلجية أرق باتجاه الحركة. ومن جهة ثانية مركز هذه الموجات وهو النقطة  $Q(x_0 + a\Delta t, y_0)$  لا يتطابق مع النقطة  $P_0$  حيث صدرت والتي تبقى مركز الموجات الكروية في الهيكل الاسنادي  $S'$ . وتتحرك النقطة  $Q$  بسرعة  $a$  في اتجاه الحركة.

لنفترض الآن أن موجة مستوية تنتشر باتجاه عمودي على السطح  $xoy$  فيكون تقاطع السطح  $xoy$  مع صدر الموجة الذي يمر في مصدر الموجة  $P_0$  خطاً مستقيماً  $D_0$ . ويشكل الخط العمودي على  $D_0$  زاوية  $\theta$  مع  $Ox$  في الهيكل الاسنادي  $S$  فتكون معادلة  $D_0$  في الهيكل  $S$ .

$$(VII-83) \quad x_0 \cos \theta + y_0 \sin \theta = c^i e$$

أما في الهيكل الاسنادي  $S'$  فإن الخط العمودي على صدر الموجة  $D_0$  يشكل مع  $Ox'$

زاوية  $\theta'$ . وترتبط الزاوية  $\theta$  بالزاوية  $\theta'$  بالعلاقة العكسية للمعادلة (VII-70) أي:

$$(VII-84) \quad \operatorname{tg}\theta = \frac{\sqrt{1 - \beta^2} \sin\theta'}{\cos\theta' + \frac{\beta u'}{c}}$$

لنفترض أن الخط المستقيم  $D_0$  يمر في الوقت  $t$  بالنقطة  $P_0(x_0y_0)$  التي تصدر عنها الموجات. فإذا طبّقنا مبدأ هيغنز في الهيكل الاسنادي  $S'$  نجد أن الخط  $D'$  الذي نحصل عليه من  $D_0$  بانتقال  $u'\Delta t'$  (حيث  $u'$  هي سرعة الطور في  $S'$ ) ما هو إلا غلاف envelope الدوائر (VII-81).

فإذا كان مبدأ هيغنز متفقاً مع متطلبات النسبية الخاصة يجب أن يكون الخط المستقيم  $D$  الذي نحصل عليه من  $D_0$  بانتقال  $u\Delta t$  (حيث  $u$  هي سرعة الطور في  $S$ ) غلاف فصيلة القطع الإهليلجي  $E$  المحدّد بالمعادلة (VII-82).

لنفترض أن  $P$  هي نقطة تماس القطع الإهليلجي مع الغلاف  $D$  فتكون المسافة  $P_0P$  هي حاصل  $\Delta t$  بسرعة انتشار الموجة  $V$ :

$$(VII-85) \quad P_0P = V\Delta t$$

أي:

$$(VII-86) \quad x - x_0 = V_x\Delta t \quad , \quad y - y_0 = V_y\Delta t$$

حيث  $x$  و  $y$  هي إحداثيات النقطة  $P$  في الهيكل الاسنادي  $S$ .

ومن جهة ثانية نحصل على غلاف فصيلة القطع الإهليلجي من الصيغ (VII-82) و (VII-83) بتغيير الإحداثيات  $x_0$  و  $y_0$ ، فتكون معادلة هذا الغلاف:

$$(VII-87) \quad \frac{\partial f}{\partial x_0} \sin\theta - \frac{\partial f}{\partial y_0} \cos\theta = 0.$$

حيث  $\frac{\partial f}{\partial x_0}$  و  $\frac{\partial f}{\partial y_0}$  يمكن حسابهما من الصيغة (VII-82) فنجد المعادلة:

$$(VII-88) \quad (x - x_0 - a\Delta t) \sin\theta - b(y - y_0) \cos\theta = 0$$

تشكّل المعادلات (VII-82) و (VII-83) و (VII-88) تمثيلاً وسيطياً parametric representation لغلاف فصيلة القطع الإهليلجي  $E$  فإذا نجحنا بإلغاء الثابت  $x_0$  و  $y_0$  بين هذه المعادلات الثلاث نحصل على معادلة الغلاف بالصيغة:



$$(VII-89) \quad x \cos\theta + y \sin\theta = c't + [a + u' \sqrt{b^2 + btg^2\theta}] \Delta t \cos\theta.$$

تعطي هذه الصيغة المسافة  $P_0H$  بين صدري الموجة  $D$ ,  $D_0$ :

$$(VII-90) \quad P_0H = [a + u' \sqrt{b^2 + btg^2\theta}] \Delta t \cos\theta$$

وإذا كانت  $u$  هي سرعة الطور للموجة المستوية في  $S$ ، تكون هذه المسافة أيضاً  $u\Delta t$  فنجد بالمقابلة مع (VII-90):

$$(VII-91) \quad [a + u' \sqrt{b^2 + btg^2\theta}] \cos\theta = u$$

نستبدل في هذه المعادلة الكميات  $a$  و  $b$  و  $\cos\theta$  و  $tg^2\theta$  بصيغها المستخرجة من (VII-79) و (VII-84) فنجد:

$$(VII-92) \quad u = \frac{(u' + \beta c \cos\theta')}{\sqrt{\left(\frac{\beta u'}{c} + \cos\theta'\right)^2 + (1 - \beta^2) \sin^2\theta'}}$$

أي العلاقة العكسية للمعادلة (VII-73).

ومن جهة ثانية تخضع  $x_0$  و  $y_0$  للمعادلات (VII-82) و (VII-88). فإذا أخذنا بالاعتبار الصيغ (VII-86)، تكتب هذه المعادلات بالصيغة:

$$(VII-93) \quad (V_x - a)^2 \frac{\Delta t^2}{b} + V_y^2 - bu'^2 \Delta t^2 = 0$$

$$(VII-94) \quad (V_x - a) \Delta t \sin\theta - bV_y \Delta t \cos\theta = 0$$

ومنها نستخرج:

$$(VII-95) \quad V_x = a + \frac{u' \sqrt{b}}{\sqrt{b + tg^2\theta}}, \quad V_y = \frac{u' \sqrt{b} \, tg\theta}{\sqrt{b + tg^2\theta}}$$

وإذا أخذنا بالاعتبار (VII-79) و (VII-84) و (VII-76) نحصل على المعادلات التالية التي تحدد قانون التحويل  $V \rightarrow V'$  بسرعة انتشار الأشعة الضوئية حسب مبدأ هيغنز:

$$(VII-96) \quad V_x = \frac{V'_x + \omega}{1 + \frac{\beta V'_x}{c}}, \quad V_y = \frac{\sqrt{1 - \beta^2} V'_y}{1 + \frac{\beta V'_x}{c}}$$

تتطابق قاعدة تحويل سرعة الانتشار (VII-96) مع قاعدة تحويل سرعة الجسيمات (VII-35). ففي حالة موجة مستقيمة أحادية اللون، تنتشر في جسم يتحرك بسرعة  $\omega$  بالنسبة إلى  $S$  وله قرينة انكسار  $n$ ، وتتحوّل سرعة الانتشار من هيكل إسناد إلى آخر تماماً مثلما تتحوّل سرعة الجسيمات  $v$  و  $v'$  في الهياكل الاسنادية  $S$  و  $S'$  وفقاً للصيغ (VII-32) و (VII-33). يكفي إذاً أن نستبدل في هذه العلاقات سرعة الجسم  $v$  و  $v'$  بسرعة الانتشار  $V$  و  $V'$  أخذين بعين الاعتبار أن:

$$(VII-97) \quad V' = \frac{c}{n}$$

### 10) سرعة الانتشار<sup>(ii)</sup> وسرعة الطور

في الأجسام الكاسرة للضوء بقرينة انكسار  $n$  تكون سرعة انتشار موجة مستوية مختلفة عن سرعة الطور  $u$  بشكل عام.

أ - إستناداً إلى (VII-73) يمكن أن نكتب صيغة سرعة الطور  $u$  تبعاً لقيمة  $u'$  والزاوية  $\theta$ .

$$(VII-98) \quad u = \frac{u' \left( 1 - \frac{\omega^2}{c^2} \right)^{\frac{1}{2}} \left[ 1 - \frac{\omega^2}{c^2} + \frac{\omega^2}{c^2} \left( 1 - \frac{u'^2}{c^2} \right) \sin^2 \theta \right]^{\frac{1}{2}} + \omega \left( 1 - \frac{u'^2}{c^2} \right) \cos \theta}{1 - \frac{\omega^2}{c^2} u'^2}$$

فإذا كانت سرعة الطور  $u' = \frac{c}{n}$  في الهيكل الاسنادي الذاتي  $S'$  المتحرّك للجسم نجد:

$$(VII-99) \quad u = \frac{\frac{c}{n} \left( 1 - \frac{\omega^2}{c^2} \right)^{\frac{1}{2}} \left[ 1 - \frac{\omega^2}{c^2} + \frac{\omega^2}{c^2} \left( 1 - \frac{1}{n^2} \right) \sin^2 \theta \right]^{\frac{1}{2}} + \omega \left( 1 - \frac{1}{n^2} \right) \cos \theta}{1 - \frac{\omega^2}{c^2 n^2}}$$

(11) نعني بسرعة الانتشار سرعة الإشارة  $V$ . ويمكن أن تكون هذه سرعة صدر الموجة أو سرعة المجموعة (أي سرعة انتشار سعة مجموعة الموجات) أو سرعة الطاقة (أي سرعة انتشار منجّه بوينتنغ). وندرس في المقطع 10 سرعة صدر الموجة ولكن عملياً تتعادل التحديدات المختلفة لسرعة الإشارة في أكثر الحالات العادية.

وإذا أهملنا الكمية  $\frac{\omega^2}{c^2}$  بالمقارنة مع 1 نجد:

$$(VII-100) \quad u \approx \frac{c}{n} + \omega \left( 1 - \frac{1}{n^2} \right) \cos \theta.$$

ب - أما سرعتنا الانتشار  $V$  و  $V'$  للموجة المستوية في الهيكلين الاسنادين  $S$  و  $S'$  فترتبطان بعلاقة مشابهة لتلك التي تربط سرعتي جسم  $v$  و  $v'$  وفي الهيكلين الاسنادين كما أثبتنا في المقطع السابق. وللمقارنة مع (VII-98) نكتب صيغة  $V$  تبعاً لقيم  $V'$  و  $\theta$  انطلاقاً من العلاقة (VII-50):

$$(VII-101) \quad V = \frac{V' \left( 1 - \frac{\omega^2}{c^2} \right)^{\frac{1}{2}} \left[ 1 - \frac{\omega^2}{c^2} - \frac{\omega^2}{V'^2} \left( 1 - \frac{V'^2}{c^2} \right) \sin^2 \theta \right]^{\frac{1}{2}} + \omega \left( 1 - \frac{V'^2}{c^2} \right) \cos \theta}{1 - \frac{V'^2 \omega^2}{c^4} - \frac{\omega^2}{c^2} \left( 1 - \frac{V'^2}{c^2} \right) \sin^2 \theta}$$

ولكن سرعة الانتشار في الهيكل الاسنادي الذاتي  $S'$  للجسم هي  $V' = \frac{c}{n}$  فتكون سرعة الانتشار في  $S$

$$(VII-102) \quad V = \frac{\frac{c}{n} \left( 1 - \frac{\omega^2}{c^2} \right)^{\frac{1}{2}} \left[ 1 - \frac{\omega^2}{c^2} - \frac{\omega^2 n^2}{c^2} \left( 1 - \frac{1}{n^2} \right) \sin^2 \theta \right]^{\frac{1}{2}} + \omega \left( 1 - \frac{1}{n^2} \right) \cos \theta}{1 - \frac{\omega^2}{c^2 n^2} - \frac{\omega^2}{c^2} \left( 1 - \frac{1}{n^2} \right) \sin^2 \theta}$$

وإذا أهملنا  $\frac{\omega^2}{c^2}$  بالمقارنة مع 1 نجد أيضاً:

$$(VII-103) \quad V \approx \frac{c}{n} + \omega \left( 1 - \frac{1}{n^2} \right) \cos \theta$$

تثبت مقارنة الصيغ (VII-98) و (VII-101) و (VII-102) و (VII-99). تختلف قيمة سرعة الانتشار  $V$  في أي هيكل إسناد غاليلي إجمالاً عن قيمة سرعة الطور  $u$ . ولكن تتساوى القيم التقريبية (VII-100) و (VII-103) إذا أهملنا الكميات  $\frac{\omega^2}{c^2}$ . بيد أن سرعة الانتشار  $V$  وسرعة الطور  $u$  تتطابقان في الحالتين التاليتين:

1 - في حالة الانتشار في الفراغ ( $n = 1$ ): إذ إن العلاقة (VII-76) تقود إلى تساوي السرعتين مع  $c$  في المرجع  $S'$ .

$$(VII-104) \quad V' = u' = c.$$

ولكن في الحالة ( $n = 1$ ) يكون قانون تحويل سرعة الطور وقانون تحويل سرعة الانتشار متطابقين. إستناداً إلى مبادئ النسبية الخاصة تكون سرعة الطور متساوية مع سرعة الانتشار في الفراغ وذلك في جميع الهياكل الاسنادية الغاليلية. ونتأكد من هذه الخاصة إذا وضعنا  $n = 1$  في العلاقات (VII-99) و (VII-102) فنجد مباشرة في أي هيكل إسناد غاليلي:

$$(VII-105) \quad V = u = c$$

ويشير مولر C.Moller إلى الفرق بين هذه النتيجة وتلك التي يمكن استخلاصها من نظرية مستندة إلى مفهوم الفضاء المطلق<sup>(12)</sup>. في نظرية كهذه تتساوى سرعة الطور مع سرعة الانتشار في هيكل مميز مرتبط بالآثير الساكن. أما في الهياكل الاسنادية الأخرى فتكون هاتان السرعتان مختلفتين. وتصل النسبية الخاصة إلى نتيجة مختلفة تماماً بسبب مبدئها بالذات والذي يفترض أن الضوء ينتشر بالتناحي وبالسرع  $c$  في كل الهياكل الاسنادية الغاليلية. فتكون صدور الموجة كروية في كل الهياكل  $S$  و  $S'$  المستعملة.

2 - في حالة الانتشار في جسم ذي قرينة انكسار  $n$  يتحرك بالاتجاه العمودي على صدر الموجة المستوية ( $\theta = 0$ ): إذ نستنتج من (VII-73) أو من (VII-96) أن  $V' = \frac{c}{n}$  مما يعطي:

$$(VII-106) \quad u = V = \frac{\frac{c}{n} \pm \omega}{1 \pm \frac{\omega}{n c}}$$

أي إذا أهملنا الكميات المتناسبة مع  $1 < \frac{1}{c^2}$

$$(VII-107) \quad u = V \approx \left( \frac{c}{n} \pm \omega \right) \left( 1 \mp \frac{\omega}{n c} \right) \approx \frac{c}{n} \pm \left( 1 \mp \frac{1}{n^2} \right).$$

نجد إذا قاعدة فيزو. ففي تجربة فيزو نجمع سرعتين متوازيتين: سرعة الضوء في جسم ذي قرينة انكسار  $n$  أي  $V = \frac{c}{n}$  وسرعة انسحاب الجسم  $\omega$ . فنحصل على النتيجة التقريبية (VII-107) وهذا ما أثبتته التجربة.

(12) انظر الصفحة 61 من المرجع [16]. إذا  $u' = c$  تكون  $a = 0$  و  $b = 1$ . يكون عندئذ متجه بوينتنغ (الذي يحدد تدفق كثافة الطاقة والمرتبطة نتيجة لذلك بسرعة الانتشار) عمودياً على الموجة المستوية تماماً مثل سرعة الطور وذلك في كل المراجع العطالية.

وتعود قاعدة فيزو، حسب نظرية فريزل، إلى الانسحاب الجزئي للأثير. أما في نظرية لورنتز فتعود إلى انسحاب الموجات (التحريض والاستقطاب) في أثير ثابت. أما هنا فتبدو كنتيجة مباشرة لنظرية أينشتاين. فهي نتيجة لتحليل سينمائي بسيط ولا يلزم لذلك أية فرضية عن تكوين المادة<sup>(13)</sup>.

نشير إلى أن قرينة الانكسار  $n$  في المعادلة (VII-107) هي  $n(v')$  المتغيرة مع تردد الموجة  $v'$  في الهيكل الإسنادي الذاتي للجسم  $S'$  المتحرك بسرعة  $\omega$ . وهذه القرينة تختلف عن القرينة  $n(v)$  حيث  $v$  يقاس في هيكل المشاهد  $S$ . إذ إننا نجد استناداً إلى (VII-67) و (VII-68):

$$(VII-108) \quad v' = \frac{v \sqrt{1 - \beta^2}}{1 + \frac{\omega}{u'} \cos \theta'}$$

أي إذا وضعنا  $u' = \frac{c}{n}$  وأهملنا  $\beta^2 = \frac{\omega^2}{c^2}$ .

$$(VII-109) \quad v' = \frac{v \sqrt{1 - \beta^2}}{1 + n\beta \cos \theta'} \simeq v (1 - n\beta \cos \theta')$$

نستنتج من هذه العلاقة أن:

$$(VII-110) \quad n(v') = n(v) + \frac{d n}{d v} dv = n(v) - \frac{d n}{d v} v\beta n \cos \theta'$$

$$= n(v) \left[ 1 - \frac{d n}{d v} v\beta \cos \theta' \right]$$

$$(VII-111) \quad \frac{1}{n(v')} = \frac{1}{n(v)} \left( 1 + \frac{d n}{d v} v\beta \cos \theta' \right)$$

وإذا أحلنا هذه النتيجة في (VII-107) نجد الصيغة التقريبية:

$$(VII-112) \quad v = \frac{c}{n} + \left[ 1 - \frac{1}{n^2} + \frac{v}{n} \frac{d n}{d v} \right] \omega \cos \theta'.$$

(13) يؤكد هذا التنوع في تفسير القاعدة ذاتها والتجربة ذاتها قول بوانكاريه: ليس في الفيزياء تجارب نهائية لها حقيقة مطلقة. فتفسر هذه التجارب بتنوع مع الفرضيات المستعملة لصياغة الفيزياء.

وقد أثبت زيمان هذه النتيجة بقياس سرعة انتشار الضوء  $V$  في مسطرة كوارتز متحركة وقد أظهر بذلك ظاهرة التشتت كما في المعادلة (VII-112).

سندرس في الفصل العاشر تفسير ظاهرة دوبلر وظواهر الزيغ<sup>(14)</sup> التي هي أيضاً نتائج مباشرة للحركيات النسبية.

## علم التحريك النسبي

### 1 - علم التحريك النسبي لجسيم نقطي

#### (1) الزخم والطاقة والكتلة الذاتية لجسيم نقطي

يحدّد زخم (كمية حركة) جسيم نقطي في الميكانيك الكلاسيكي (التقليدي) بأنه :

$$(VII-1) \quad P_N = m_0 V$$

حيث  $V(v^1, v^2, v^3)$  هو متجه سرعة الجسيم و  $m_0$  هي الكتلة العطالية للجسيم. في النظرية النسبية لا تشكّل الكميات  $P_N$  و  $V$  مركبات الفضاء لمتجه رباعي ويجب استبدال الصيغة (VIII-1) بتحديد جديد.

نستعمل الإحداثيات الحقيقية  $(x^1, x^2, x^3, x^0 = ct)$  بمحاور متعامدة ومنظمة حسب العلاقة (VI - 28)

$$(VIII-2) \quad g_{\mu\nu} = (e_\mu \cdot e_\nu) = \eta_{\mu\nu}$$

التي تقود إلى الصيغة الأساسية

$$(VIII-3) \quad ds^2 = (dx^0)^2 - \sum_p (dx^p)^2.$$

انطلاقاً من السرعة الكونية للجسيم

$$(VIII-4) \quad \bar{u}^\mu = \frac{dx^\mu}{d\tau} \quad \text{أو} \quad u^\mu = \frac{\bar{u}^\mu}{c} = \frac{dx^\mu}{ds} \quad \left( u^0 = \frac{dt}{d\tau} \right)$$

نحدد المتجه الرباعي للزخم بأنه:

$$(VIII-5) \quad P_\mu = m_0 \bar{u}^\mu = m_0 c u^\mu, \quad (u^\mu u_\mu = 1)$$

حيث المركبات  $u^\mu$  ترتبط بالسرعة العادية بالعلاقات:

$$(VIII-6) \quad u^p = \frac{v^p}{c \sqrt{1 - \beta^2}}, \quad u^0 = \frac{1}{\sqrt{1 - \beta^2}}, \quad \left( \beta = \frac{v}{c} \right)$$

وترمز  $m_0$  هنا إلى «الكتلة الذاتية» وهي كمية مميزة للجسيم. ويمكن أن نكتب أيضاً استناداً إلى الصيغ (VIII-5) و (VIII-6):

$$(VIII-5)_1 \quad P_q = m_0 \bar{u}^q = \frac{m_0 v^q}{\sqrt{1 - \beta^2}} = m v^q$$

$$(VIII-5)_2 \quad P^0 = m_0 \bar{u}^0 = m_0 c u^0 = \frac{m_0 c}{\sqrt{1 - \beta^2}} = mc$$

حيث وضعنا:

$$(VIII-7) \quad m = \frac{m_0}{\sqrt{1 - \beta^2}}$$

إذا كانت السرعة خفيفة ( $\beta \ll 1$ ) تعود  $m$  إلى قيمتها غير النسبية  $m_0$ ، كما أن التحديد النسبي  $(VIII-5)_1$  يصبح التحديد غير النسبي (VIII-1) لذلك نحدد  $m_0$  بأنها الكتلة الذاتية أو كتلة الجسيم في حالة السكون.

واستناداً إلى الصيغة (VIII-5) يخضع المتجه الرباعي  $P^\mu$  لعلاقة التناظر<sup>(4)</sup>.

$$(1) \quad \text{نثبت أن التحديد } p = mv \text{ مع } m = \frac{m_0}{\sqrt{1 - \beta^2}} \text{ يقود إلى قانون حفظ الزخم العام استناداً إلى قواعد}$$

تحويل لورنتز، لذلك ندرس مثلاً تصادم جسيمين نقطيين. وعكس ذلك يمكن أن نثبت أن قانون حفظ

$$\text{الزخم وتحديد زخم الجسيم بالصيغة } v = v(m_0, v) \text{ يقود إلى التحديد } m = \frac{m_0}{\sqrt{1 - \beta^2}} \text{ إذا قبلنا}$$



$$(VIII-8) P_{\mu}P^{\mu} = (P^0)^2 - \sum_q (P^q)^2 = \frac{m_0^2 c^2}{1-\beta^2} \left( 1 - \sum_q \frac{(v^q)^2}{c^2} \right) = m_0^2 c^2$$

وإذا وضعنا:

$$(VIII-9) \quad P = (P^1, P^2, P^3) \quad \text{مع} \quad P^2 = \sum_q (P^q)^2 = \sum_q (P^q)^2$$

يمكن أن نكتب:

$$(VIII-10) \quad (P^0)^2 = P^2 + m_0^2 c^2.$$

لنضع:

$$(VIII-11) \quad \frac{W}{c} = P^0 = \frac{m_0 c}{\sqrt{1-\beta^2}} = mc$$

أو:

$$(VIII-12) \quad \boxed{W = \frac{m_0 c^2}{\sqrt{1-\beta^2}} = mc^2}$$

وتكتب المعادلة (VIII-10):

$$(VIII-13) \quad \boxed{\frac{W^2}{c^2} = P^2 + m_0^2 c^2}$$

سنرى في ما يلي أن الكمية في W المحددة بالصيغة (VIII-12) لا تختلف عن طاقة الجسم الحركية T إلا بكمية ثابتة.

$$(VIII-14) \quad W_0 = m_0 c^2$$

نسميها الطاقة الداخلية للجسيم. وتساوي W هيكل إسناد الجسيم الذاتي  $W_0$ . ( $\beta = 0$ )

## (2) قوة منكوفسكي

القانون الأساسي لعلم التحريك النسبي:

يستند علم تحريك نيوتن للجسيمات على القانون الأساسي

$$(VIII-15) \quad f_{(N)} = \frac{dP_{(N)}}{dt} = m_0 \frac{dv}{dt}$$

ومنه نستخلص القانون:

$$(VIII-16) \quad \frac{d}{dt} \left( \frac{1}{2} m_0 v^2 \right) = (f_{(N)} \cdot v)$$

الذي يعبر عن حفظ الطاقة والقائل بان التغير dT في الطاقة الحركية:

$$(VIII-17) \quad T = \frac{1}{2} m_0 v^2$$

يساوي الشغل  $f \cdot v dt = f dl$  للقوى الخارجية المؤثرة على الجسيم.

ولكن الصيغة (VIII-15) ليست نسبية لأن الكمية  $f_{(N)}$  لا تشكل المركبات الفضائية لمتجه رباعي عند إجراء تحويل لورنتز. وذلك لأن الوقت التفاضلي dt ليس ثابتاً في هذا التحويل. نقول إن قانون الصيغة (VIII-15) ليس موافقاً للتغير ولصيغة قانون بديل موافق للتغير عند إجراء تحويل لورنتز يجب أن نستبدل السرعة v بالمتجه الرباعي للسرعة الكونية du والوقت التفاضلي dt بالوقت التفاضلي الذاتي dτ الذي هو ثابت في التحويل. فنحصل على قوة منكوفسكي F وهي متجه رباعي.

$$(VIII-18) \quad \boxed{F = \frac{dP}{d\tau} = m_0 \frac{du}{d\tau}}$$

ومركباتها هي:

$$(VIII-19) \quad F_\mu = \frac{dP^\mu}{d\tau} = m_0 \frac{du^\mu}{d\tau} = m_0 c \frac{du^\mu}{d\tau}$$

أو:

$$(VIII-20) \quad F^\mu = m_0 c \frac{dx^\mu}{d\tau} = m_0 c^2 u^\mu \frac{dx^\mu}{dx^0}$$

وإذا حسبنا الجداء العددي  $F_\mu u^\mu$  نجد بعد أخذ الصيغة (VIII-5) (أو العلاقة  $u^\rho \bar{u}_\rho = c^2$  بالحسبان أن:

$$(VIII-21) \quad F_\mu u^\mu = 0 \quad \text{أو} \quad F_\mu \bar{u}^\mu = 0$$

نستنتج من العلاقات (VIII-19) و (VIII-6) الصيغ التالية للمركبات  $F^\mu$ :

$$(VIII-22)_1 \quad F^p = m_0 c \frac{du^p}{d\tau} = m_0 \frac{d t}{d \tau} \frac{d}{dt} - \frac{v^p}{\sqrt{1 - \beta^2}}$$

$$= \frac{m_0}{\sqrt{1 - \beta^2}} \frac{d}{dt} \frac{v^p}{\sqrt{1 - \beta^2}}$$

$$(VIII-22)_2 \quad F^0 = m_0 c \frac{du^0}{d\tau} = m_0 c \frac{d t}{d \tau} \frac{d}{dt} \frac{1}{\sqrt{1 - \beta^2}}$$

$$= \frac{m_0 c}{\sqrt{1 - \beta^2}} \frac{d}{dt} \frac{1}{\sqrt{1 - \beta^2}}$$

لنحدد  $f$  بأنه المتجه الثلاثي ذو المركبات  $(f^1, f^2, f^3)$ :

$$(VIII-23) \quad f^a = m_0 \frac{d}{dt} \frac{v^a}{\sqrt{1 - \beta^2}}$$

التي تصبح مطابقة لمركبات قوة نيوتن إذا أهملنا  $\beta^2$  بالمقابلة مع 1. فنجد باستعمال الصيغة (VIII-23) والتحديد (VIII-5)<sub>1</sub>:

$$(VIII-24) \quad \boxed{f = \frac{d P}{d t}}$$

وباستعمال (VIII-22)<sub>1</sub> نجد:

$$(VIII-25) \quad \boxed{F^p = \frac{f^p}{\sqrt{1 - \beta^2}}}$$

ومن جهة ثانية نجد استناداً إلى الصيغ (VIII-21) و (VIII-6) و (VIII-25):

$$(VIII-26) \quad F_0 u^0 = -F_p u^p = \frac{-f_p v^p}{c(1 - \beta^2)}$$

ومن ثم:

$$(VIII-27) \quad F_0 = \frac{-f_p v^0}{c \sqrt{1 - \beta^2}} = \frac{f \cdot v}{c \sqrt{1 - \beta^2}} \quad f = (f^1, f^2, f^3)$$

وإذا قارنا هذه النتيجة مع الصيغة (VIII-22)<sub>2</sub> للمركبة  $F^0$  نستنتج العلاقة التالية:

$$(VIII-28) \quad (f \cdot v) = \frac{d}{dt} \frac{m_0 c^2}{\sqrt{1 - \beta^2}} = \frac{dW}{dt}$$

حيث استعملنا التحديد (VIII-12).

لنرجع الآن إلى تحديد الزخم بالمعادلة (VIII-5)<sub>1</sub> أي:

$$(VIII-29) \quad p = (p^1, p^2, p^3) = (P^1, P^2, P^3) \quad \text{مع} \quad p = mv$$

فيكتب القانون الأساسي (VIII-24) كما يلي:

$$(VIII-30) \quad f = \frac{dp}{dt} = \frac{dm}{dt} v + m \frac{dv}{dt}$$

ولكن إذا أحلنا (VIII-7) بالمعادلة (VIII-28) نجد:

$$(VIII-31) \quad \frac{dm}{dt} = \frac{f \cdot v}{c^2}$$

وإذا وضعنا هذه النتيجة في المعادلة (VIII-30) نجد:

$$(VIII-32) \quad m \frac{dv}{dt} = f - \left( \frac{f \cdot v}{c^2} \right) v.$$

هكذا عندما يتحرك جسيم تحت تأثير قوة لا يكون التسارع متناسباً مع القوة

إجمالاً. ولا يكون ذلك إلا إذا كانت القوة متوازية أو متعامدة على السرعة

$$^{(2)} [(f \cdot v) = 0]$$

(2) هذا هو حال حركة جسيم مشحون في مجال مغناطيسي  $H$ . إذ تكون القوة  $[v \wedge H] = \frac{q}{c} f$ . يمكن عندئذ أن نكتب قانون نيوتن:

$$f = m \frac{dv}{dt}$$

## 3) تعادل الكتلة والطاقة

إذا قابلنا القاعدة النسبية:

$$(VIII-28) \quad (f \cdot v) = \frac{dW}{dt}$$

مع نتائج الصيغة (VIII-16) الصالحة في الميكانيك الكلاسيكي نستنتج أنه يمكن أن نحدّد الطاقة الحركية للجسيم بالصيغة:

$$(VIII-33) \quad T = \frac{m_0 c^2}{\sqrt{1 - \beta^2}} + c^{ie}$$

وتصبح هذه الصيغة في حدود السرعة الخفيفة ( $\beta \ll 1$ ):

$$(VIII-34) \quad T = m_0 c^2 + \frac{1}{2} m_0 v^2 + \dots + c^{ie}.$$

فنجِد النتيجة (VIII-17) إذا وضعنا:

$$(VIII-35) \quad c^{ie} = - m_0 c^2.$$

وتصبح الطاقة الحركية للجسيم:

$$(VIII-36) \quad T = \frac{m_0 c^2}{\sqrt{1 - \beta^2}} - m_0 c^2$$

أو استناداً إلى الصيغ (VIII-7) و (VIII-12) و (VIII-14) تساوي T.

$$(VIII-37) \quad T = (m - m_0) c^2 = W - W_0$$

$$(VIII-38) \quad m = m_0 + \frac{T}{c^2}$$

مما يعني أن الكمية:

$$(VIII-12) \quad W = \frac{m_0 c^2}{\sqrt{1 - \beta^2}} = mc^2$$

هي مجموع الطاقة الحركية للجسيم والكمية الثابتة  $W_0 = m_0 c^2$  التي يمكن اعتبارها الطاقة الداخلية للجسيم.

كتلة الجسم في حالة السكون  $m_0$  تعادل الطاقة  $\frac{W_0}{c^2}$  وعكس ذلك كل طاقة ذاتية  $W_0$  تعادل كتلة ذاتية.

$$(VIII-39) \quad m_0 = \frac{W_0}{c^2}$$

أما زخم الجسم المتحرك بسرعة  $v$  فهو:

$$(VIII-40)_1 \quad P^q = p^q = \frac{m_0 v^q}{\sqrt{1 - \beta^2}} = \frac{W_0}{c^2} \frac{v^q}{\sqrt{1 - \beta^2}}$$

$$(VIII-40)_2 \quad P^0 = \frac{m_0 c}{\sqrt{1 - \beta^2}} = \frac{W_0}{c} \frac{1}{\sqrt{1 - \beta^2}}$$

ويسمى قانون أينشتاين لمعادلة الطاقة والنقل (1905) أيضاً قانون عطالة الطاقة.

وبشكل خاص، إذا انبعث عن جسم حر ( $v = cte$ ) إشعاع بطاقة  $E = hv$  تصبح كتلته  $m'$ . فإذا كتبنا في الهيكل الاسنادي الذاتي ( $P = 0$ ) قانون حفظ الطاقة:

$$(VIII-41) \quad W_0 = W'_0 + E_0$$

نجد:

$$(VIII-42) \quad m_0 = m'_0 + \frac{E_0}{c^2}$$

إذا أخذنا بالحسبان الصيغة (VIII-13) والشرط  $p = 0$ . وتعني هذه النتيجة أن قانون حفظ الكتلة ليس صالحاً في علم التحريك النسبي، بل يبقى فقط قانون حفظ الطاقة. أما التغير في الكتلة الذاتية:

$$(VIII-43) \quad \Delta m'_0 = m_0 - m'_0 = \frac{E_0}{c^2}$$

فيساوي الطاقة المنبعثة (مقسومة على  $c^2$ ) ويُستنتج من قانون حفظ الطاقة.

(4) تحويل السرعة والكميات التحريكية الأساسية (الزخم، الطاقة، القوة) في تحويل لورنتز:

أ - إذا كانت السرعة الكونية لجسيم  $\bar{u}^\mu = cu^\mu$  في هيكل الاسناد S يكون زخمه:

$$(VIII-45) \quad P^\mu = m_0 \bar{u}^\mu = m_0 c u^\mu.$$

أما في الهيكل الاسنادي S' المتحرك بسرعة W بالنسبة إلى S فيكون:

$$(VIII-44) \quad P'^\mu = m_0 \bar{u}'^\mu = a^{\mu f}_v m_0 \bar{u}^\nu = a^{\mu f}_v P^\nu$$

والعلاقة العكسية هي:

$$(VIII-45) \quad P^\mu = a^{\mu}_\nu P'^\nu$$

وبالتفصيل نجد قانون تحويل الزخم والطاقة:

$$(VIII-44)_1 \quad p'^q = a^{q'}_r p^r + a^{q'}_0 \frac{W}{c}$$

$$(VIII-44)_2 \quad \frac{W'}{c} = a^{0'}_r p^r + a^{0'}_0 \frac{W}{c}.$$

وعكس هذا التحويل هو:

$$(VIII-45)_1 \quad P^q = a^q_r P'^r + a^q_0 \frac{W'}{c}$$

$$(VIII-45)_2 \quad \frac{W}{c} = a^0_r P'^r + a^0_0 \frac{W'}{c}.$$

لإيجاد التحويل من هيكل إلى آخر نحل محل المعامل  $a^{\nu\prime\prime}_\mu$  و  $a^{\mu\prime\prime}_\nu$  القيم المناسبة لتحويل لورنتز. ففي تحويل لورنتز العام نستعمل  $(VI - 57)_1$  و  $(VI - 57)_2$  وفي تحويل لورنتز دون دوران نستعمل  $(VI - 62)$  و  $(VI - 63)$ ، وفي تحويل لورنتز الخاص نستعمل  $(VI - 66)$ . نجد مثلاً في حالة التحويل دون دوران:

$$(VIII-46)_1 \quad p' = p + W \left\{ \frac{\alpha}{W^2} (p \cdot W) - \frac{W}{c^2 \sqrt{1 - \beta^2}} \right\}, \quad \beta = \frac{W}{c}$$

$$(VIII-46)_2 \quad W' = \frac{W - (p \cdot W)}{\sqrt{1 - \beta^2}}$$

حيث وضعنا:

$$\alpha = \frac{1}{\sqrt{1 - \beta^2}} - 1$$

وفي حالة التحويل الخاص نجد:

$$(VIII-47)_1 \quad p'^1 = \frac{p^1 - \frac{W}{c^2} \omega}{\sqrt{1 - \beta^2}}, \quad p'^2 = p^2, \quad p'^3 = p^3$$

$$(VIII-47)_2 \quad W' = \frac{W - p^1 \omega}{\sqrt{1 - \beta^2}}$$

أما قواعد التحويل العاكس فنحصل عليها بتبادل  $p$  و  $p'$  من جهة  $v$  و  $v'$  من جهة أخرى واستبدال  $W$  ب  $-W$  في المعادلات (VIII-46) أو في (VIII-47).

ب - القوة: إذا انتقلنا من هيكل الإسناد  $S$  إلى هيكل الإسناد  $S'$  تصبح مركبات قوة منكوفسكي  $F^\mu$ .

$$(VIII-48) \quad F'^\mu = a_\nu^{\mu'} F^\nu = a_q^{\mu'} F^q + a_0^{\mu'} F^0$$

وباستعمال الصيغ (VIII-25) و (VIII-27) يمكن أن نكتب أيضا:

$$(VIII-49) \quad \frac{f'^p}{C \sqrt{1 - \frac{v'^2}{c^2}}} = a_q^{p'} \frac{f^q}{\sqrt{1 - \frac{v^2}{c^2}}} + a_0^{p'} \frac{(f \cdot v)}{c \sqrt{1 - \frac{v^2}{c^2}}}$$

ونجد باستعمال الصيغ (VI - 96) أو (VII - 18):

$$(VIII-50) \quad f'^p = \frac{a_q^{p'} f^q + a_0^{p'} \left( \frac{f \cdot v}{c} \right)}{a_r^{0'} \frac{v^r}{c} + a_0^{0'}}$$

وبشكل خاص إذا أطلنا في هذه المعادلة القيم (VI - 62) و (VI - 63) للمعامل  $a_\mu^{p'}$  الموافقة لتحويل لورنتز دون دوران نجد<sup>(3)</sup>:

(3) نحصل أيضا على (VIII - 51) انطلاقاً من  $f' = \frac{dp'}{dt'}$  حيث يرتبط الزخم  $p'$  بالزخم  $p$  بالعلاقة (VIII - 44). وفي الجانب الأيمن نستعمل  $\frac{d}{dt} = \frac{dt'}{dt} \frac{d}{dt'}$  مع  $\frac{dt'}{dt}$  بالصيغة (VI - 92).



$$(VIII-51) \quad f' = \left\{ f + W \left[ \frac{\alpha}{W^2} (f \cdot W) - \frac{f \cdot v}{c^2 \sqrt{1 - \beta^2}} \right] \right\} \frac{\sqrt{1 - \beta^2}}{1 - \left( \frac{W \cdot v}{c^2} \right)}$$

حيث  $\beta = \frac{\omega}{c}$ .

أخيراً في حالة تحويل لورنتز الخاص نستعمل القيم في الصيغة (VI - 66) للمعامل  $a_{\mu}^{\nu'}$  في المعادلة (VIII-50) أو نستبدل في الصيغة (VIII-51) المتجه  $W$  بالمتجه ذي المركبات  $\omega^1$  و  $\omega^2 = \omega^3 = 0$  فنجد:

$$(VIII-52) \quad f'^1 = \frac{f^1 - \beta \left( \frac{f \cdot v}{c} \right)}{1 - \frac{\beta v^1}{c}}, \quad f'^2 = \frac{f^2 \sqrt{1 - \beta^2}}{1 - \frac{\beta v^1}{c}}, \quad f'^3 = \frac{f^3 \sqrt{1 - \beta^2}}{1 - \frac{\beta v^1}{c}}$$

أما القواعد العكسية فتستنتج من التحويل:

$$(VIII-53) \quad F^{\mu} = a_{\nu}^{\mu}, F^{\nu}$$

الذي يقود إلى المعادلة:

$$(VIII-54) \quad f^p = \frac{a_q^p, f'^q + a_0^p, \left( \frac{f' \cdot v'}{c} \right)}{a_r^0, \frac{v'^r}{c} + a_0^0}$$

التي يمكن كتابتها أيضاً مباشرة من المعادلات (VIII-51) و (VIII-52) بتبادل  $f'$  و  $f$  من جهة  $v$  إلى  $v'$  من جهة أخرى واستبدال  $W$  ب  $-W$ .

### 5) مجموعات الجسيمات الحرة

#### أ - الطاقة والزخم والثقل الذاتي لمجموعة من الجسيمات الحرة

لنفترض أن مجموعة من الجسيمات عددها  $n$  لا تتفاعل في ما بينها. نحدّد زخم وطاقة المجموعة بأنها مجموع زخم وطاقة الجسيمات.

$$(VIII-55) \quad P = \sum_i P_{(i)}, \quad W = \sum_i W_{(i)}$$

فيذا طبقنا العلاقة (VIII-33) على طاقة كل جسيم نجد

$$(VIII-56) \quad W = \sum_i (T_{(i)} + m_{0(i)} c^2) = T + m_0 c^2$$

حيث وضعنا:

$$(VIII-57) \quad T = \sum_i T_{(i)} \quad , \quad m_0 = \sum_i m_{0(i)}.$$

نحدّد الهيكل الاسنادي الذاتي للمجموعة بأنه الهيكل  $S_0$  الذي يتعدم فيه الزخم العام<sup>(4)</sup>.

$$(VIII-58) \quad P_{(0)} = 0.$$

لنفترض أن مركز الكتلة لهذه الجسيمات يتحرك بسرعة ثابتة  $v$  بالنسبة إلى هيكل إسناد المشاهد  $S$ .  $v$  هي إذا سرعة هيكل الاسناد  $S_0$  بالنسبة إلى  $S$ . فنجد استناداً إلى المعادلة (VIII-45) حيث  $S'$  هي الآن  $S_0$ .

$$(VIII-59)_1 \quad p^q = a_r^q, \quad p'^r + a_0^q p'^0 = a_0^q, \quad \frac{W_0}{c}$$

$$(VIII-59)_2 \quad p^0 = a_r^0, \quad p'^r + a_0^0 p'^0 = a_0^0, \quad \frac{W_0}{c}$$

لأن  $p'^r = p^{(0)r} = 0$  و  $p'^0 = \frac{W_0}{c}$  في هيكل الاسناد  $S_0 \equiv S'$ . ومن جهة ثانية إذا كان  $S'$  هو هيكل الاسناد الذاتي أي:

$$\frac{d x'^r}{d x'^0} = \frac{v'^r}{c} = 0$$

$$(4) \quad \text{هذا الاختيار ممكن دائماً لأن } -\sum_i (m_{0(i)} c^2) < 0 \text{ إذا } n > 1.$$

وذلك لأن:

$$p^2 - \frac{W^2}{c^2} = \left(p + \frac{W}{c}\right) \left(p - \frac{W}{c}\right) = \sum_i \left(p_{(i)} - \frac{W_{(i)}}{c}\right) \sum_i \left(p_{(i)} + \frac{W_{(i)}}{c}\right).$$

ولكن دائماً:

$$\left(p_{(i)} - \frac{W_{(i)}}{c}\right) \left(p_{(i)} + \frac{W_{(i)}}{c}\right) = -m_{0(i)} c^2 < 0 \text{ لأن } p_{(i)} - \frac{W_{(i)}}{c} < 0$$

فينتج عن ذلك أن:

$$\sum_i \left(p_{(i)} - \frac{W_{(i)}}{c}\right) \sum_i \left(p_{(i)} + \frac{W_{(i)}}{c}\right) < \sum_i \left(p_{(i)} - \frac{W_{(i)}}{c}\right) \sum_i \left(p_{(i)} + \frac{W_{(i)}}{c}\right) = \sum_i p_{(i)}^2 - \frac{W_{(i)}^2}{c^2}$$

وأخيراً:

$$p^2 - \frac{W^2}{c^2} < \sum_i p_{(i)}^2 - \frac{W_{(i)}^2}{c^2} = -\sum_i (m_{0(i)} c^2) < 0$$

نجد كما في (VI - 101)<sup>(6)</sup>:

$$(VIII-60) \quad a_{0'}^q = a_{0'}^0 \frac{v^q}{c}$$

مما يجعل المعادلة (VIII-59) تُكتب:

$$(VIII-61) \quad p^q = a_{0'}^0 \frac{W_0}{c^2} v^q, \quad W = a_{0'}^0 W_0.$$

لنضع:

$$(VIII-62) \quad M = a_{0'}^0 \frac{W_0}{c^2}$$

فتُكتب العلاقات (VIII-61)

$$(VIII-63) \quad p^q = Mv^q, \quad W = Mc^2.$$

ولكن استناداً إلى الصيغة (VI - 100):

$$(VIII-64) \quad a_{0'}^0 = \frac{1}{\sqrt{1 - \beta^2}}$$

نجد:

$$(VIII-65) \quad M = \frac{W_0}{c^2 \sqrt{1 - \beta^2}} = \frac{W}{c^2}$$

هكذا نحدّد الكتلة الذاتية لمجموعة الجسيمات  $\sum_1$  بأنه:

$$(VIII-66) \quad M_0 = \frac{W_0}{c^2}$$

(5) وذلك لأن:

$$dx^q = a_{0'}^q dx'^r + a_{0'}^q dx'^0, \quad dx^0 = a_{0'}^0 dx'^r + a_{0'}^0 dx'^0$$

فإذا وضعنا  $\frac{d x'^r}{d x'^0} = 0$  لأن  $S'$  هو هيكل الإسناد الذاتي نجد:

$$\frac{dx^0}{dx'^0} = a_{0'}^0, \quad \frac{dx^q}{dx'^0} = \frac{dx^q}{dx^0} \frac{dx^0}{dx'^0} = a_{0'}^0 \frac{v^q}{c} = a_{0'}^q,$$

بحيث تصبح المعادلة (VIII-65):

$$(VIII-67) \quad M = \frac{M_0}{\sqrt{1 - \beta^2}}$$

عندئذ تقود التحديدات (VIII-66) و (VIII-56) إلى:

$$(VIII-68) \quad M_0 = m_0 + \frac{T_0}{c^2} .$$

ملاحظات:

أ - إذا كانت الجسيمات حرّة نجد:

$$(VIII-69) \quad f_{(i)} = \frac{dP_{(i)}}{dt} \equiv 0$$

فإذا افترضنا أن سرعة الجسيمات في هياكل الاسناد S و S' خفيفة بالنسبة لسرعة الضوء يكون الوقت الذاتي لكل جسيم مطابقاً تقريباً للوقت المحدد لكل هيكل إسناد S و S' نجد إذاً:

$$(VIII-70) \quad p = \sum p_{(i)} = c^{ie}$$

وأيضاً:

$$(VIII-71) \quad M = c^{ie} , \quad W = m_0 c^2 + T = c^{ie} .$$

تمثل W إذاً الطاقة الكاملة H لمجموعة الجسيمات وهي مجموع الطاقة الحركية T لكل الجسيمات يضاف إليها الطاقة الذاتية لكل الجسيمات. أما p فترمز إلى الزخم العام و M ترمز إلى الكتلة العامة للمجموعة من الجسيمات الحرة.

ب - العلاقة التالية هي دائماً صحيحة:

$$(VIII-72) \quad \boxed{M_0 > \sum_i m_{0(i)}} \quad \text{أي} \quad \boxed{M_0 - m_0 = \frac{T_0}{c^2} > 0}$$

أي أن الكتلة الذاتية لمجموعة الجسيمات تفوق مجموع الكتل الذاتية للجسيمات التي تؤلف المجموعة. والفرق ناتج عن الطاقة الحركية الداخلية للمجموعة وهي دائماً إيجابية.

ج - ومن المعادلات (VIII-63) و (VIII-67) نستخلص العلاقة:

$$(VIII-73) \quad p^2 - \frac{W^2}{c^2} = -M_0^2 c^2.$$

### ب - التصادم بين الجسيمات الحرّة - تعادل الكتلة والطاقة

لنفترض الآن أن تصادماً يجري بين مجموعة لجسيمات حرة  $\Sigma_1$  ومجموعة أخرى لجسيمات حرة  $\Sigma_2$ . لنفترض أيضاً  $p$  و  $p'$  و  $W$  و  $W'$  هي زخم وطاقة المجموعة  $\Sigma_1$  مقيسةً في هياكل الاسناد  $S$  و  $S'$  قبل التصادم. و  $p + \Delta p$  و  $p' + \Delta p'$  و  $W + \Delta W$  و  $W' + \Delta W'$  هي الكميات الفيزيائية ذاتها للمجموعة ذاتها  $\Sigma_1$  في الهياكل ذاتها  $S$  و  $S'$  ولكن بعد التصادم. بما أن تحويل لورنتز خطي يمكن أن نكتب قواعد التحويل للكميات  $\Delta W$  و  $\Delta P$  من الهيكل الاسنادي  $S$  إلى الهيكل  $S'$

$$(VIII-74)_1 \quad \Delta p^q = a_r^q, \Delta p'^r + a_0^q, \frac{\Delta W'}{c}$$

$$(VIII-74)_2 \quad \Delta \frac{W}{c} = a_r^0 \Delta p'^r + a_0^0, \frac{\Delta W'}{c}.$$

فإذا كان هيكل الاسناد  $S'$  مطابقاً لهيكل الاسناد الذاتي  $S_0$  بحيث إن:

$$(VIII-75) \quad \Delta p' = \Delta p_{(0)} = 0$$

أي إذا كان الزخم العام  $p' = \Sigma p'_{(1)}$  لا يتغير بالتصادم في الهيكل  $S_0$  نجد كما في المعادلة (VIII-59):

$$(VIII-76)_1 \quad \Delta p^q = a_0^q, \frac{\Delta W_0}{c} = a_0^0, \frac{\Delta W_0}{c^2} \quad v^q = \Delta M v^q$$

$$(VIII-76)_2 \quad \Delta W = a_0^0, \Delta W_0 = \Delta M \cdot c^2$$

حيث وضعنا:

$$(VIII-77) \quad \Delta M = a_0^0, \frac{\Delta W_0}{c^2} = \frac{\Delta W_0}{c^2 \sqrt{1 - \beta^2}} = \frac{\Delta W}{c^2}$$

ونجد أيضاً:

$$(VIII-78) \quad \Delta M = \frac{\Delta M_0}{\sqrt{1 - \beta^2}}$$

إذا وضعنا:

$$(VIII-79) \quad M_0 = \frac{W_0}{c^2}$$

فإذا قبلنا بمبدأ حفظ الطاقة والزخم يكون زخم المجموعة  $\Sigma_2$  قد ازداد بالكمية  $\Delta p$  وطاقتها قد ازدادت بالكمية  $\Delta W$ . ويعادل هذا إضافة جسيم إلى المجموعة  $\Sigma_2$  بكتلة ذاتية  $\Delta M_0$  وبسرعة  $v$  بالنسبة إلى  $S$ . ولكن استناداً إلى المعادلة (VIII-74).

$$(VIII-80) \quad (\Delta p)^2 - \left(\frac{\Delta W}{c}\right)^2 = (\Delta p')^2 - \left(\frac{\Delta W'}{c}\right)^2$$

إذا أخذنا بالحسبان العلاقات (VI - 45) بين المُعامل  $a_\mu^v$ . نجد إذاً في الهيكل الاسنادي الذاتي ( $\Delta p' = 0, \Delta W' = \Delta W_0 = c^2 \Delta M_0$ ) أيضاً:

$$(VIII-81) \quad (\Delta p)^2 - \left(\frac{\Delta W}{c}\right)^2 = -(\Delta M_0)^2 c^2.$$

### ج - تطبيق على حالة الفناء:

لنفترض أن جسيماً كتلته  $m_0$  يمكن أن يفنى تاركاً كمية من الطاقة  $W$ . ليكن  $S_0$  هيكل الجسيم الاسنادي الذاتي و  $S$  هيكل إسناد غاليلي آخر. تتألف الآن المجموعة  $\Sigma_1$  من جسيم واحد فنجد إذاً في الهيكل الاسنادي  $S_0$ :

$$(VIII-82) \quad \Delta p_{(0)} = 0, \quad \Delta W_0 = W_0$$

وفي الهيكل  $S$ :

$$(VIII-83) \quad \Delta p = p = \frac{m_0 v}{\sqrt{1 - \beta^2}}, \quad \Delta W = W = \frac{W_0}{\sqrt{1 - \beta^2}}.$$

فإذا أحلنا هذه القيم في المعادلة (VIII-76) نجد:

$$(VIII-84)_1 \quad \frac{m_0 v^4}{\sqrt{1 - \beta^2}} = a_0^0, \frac{W_0}{c^2} \quad v^4 = \frac{W_0}{c^2 \sqrt{1 - \beta^2}} \quad v^4$$

$$(VIII-84)_2 \quad W = a_0^0, W_0 = \frac{W_0}{\sqrt{1 - \beta^2}}.$$

وتكون هذه المعادلات صحيحة بالتطابق إذا:

$$(VIII-85) \quad W_0 = m_0 c^2$$

هكذا تقود إمكانية الفناء annihilation النسبي لجسيم مع توليد طاقة  $W$  (في إطار قانون حفظ الطاقة) إلى إسناد الطاقة الداخلية  $W_0 = m_0c^2$  إلى هذا الجسيم. وتثبت صحة هذه النتيجة جميع تجارب تحويل المادة إلى طاقة وتحويل الطاقة إلى مادة.

فالبيوزيترونات<sup>(6)</sup> (أي الإلكترونات الموجبة) يمكن أن تشكل مع الإلكترونات السالبة أزواجا يمكن أن تفنى تاركة وراءها إشعاعاً<sup>(7)</sup>. وعكس ذلك يمكن للإشعاع الكهرمغناطيسي أن يتحول إلى أزواج من الإلكترونات والبيوزيترونات<sup>(8)</sup>. تشاهد هذه الظواهر بشكل خاصة في الأشعة الكونية cosmic rays وتتوقعها نظرية ديراك وهي النظرية النسبية للإلكترونات ذات الدومة.

فإذا كانت  $E = h\nu$  هي طاقة الأشعة المنبعثة عن ظاهرة تحويل الأزواج  $e^+e^-$  إلى أشعة نجد استناداً إلى قانون حفظ الطاقة في هيكل الاسناد الذاتي  $S_0$ .

$$(VIII-86) \quad W_0 = 2m_0c^2, \quad W'_0 = 0 \quad \text{مع:} \quad W_0 = W'_0 + E_0$$

مما يعطينا العلاقة:

$$(VIII-87) \quad 2m_0c^2 = h\nu_0$$

بين كتلة الجسيم  $m_0$  والتردد frequency الذاتي للأشعة.

### 6) مجموعة الجسيمات المتفاعلة

لنفترض الآن أن الجسيمات تتفاعل، ولندرس حركة الجسيمات في الهياكل الاسنادية الغاليلية  $S$  و  $S'$  بحيث تكون سرعة كل جسيم في هذه الهياكل خفيفة بالنسبة إلى سرعة الضوء. في هذه الحالة يتطابق تقريباً الوقت الذاتي لكل جسيم مع الوقت المقاس في هيكل الاسناد ويكون التفاعل متغيراً تبعاً لمواقع الجسيمات ويتميز بدالة كمون  $V$ . فنجد بهذه الصورة التقريبية:

$$(VIII-88) \quad f_{(i)} = \frac{d}{dt} (mv)_{(i)} = - \frac{\partial V}{\partial x_{(i)}}$$

C.D. ANDERSON. Science, 76, 1932, 238; P.M.S. BLACKETT et G.P.S. OCCHIALI- (6)  
NI. Proc. Roy. Soc., A 139, 1933, 699.

P.A.M. DIRAC. The principles of quantum Mechanics. 3<sup>e</sup> éd. Oxford, 1947, 73. (7)

C.D. ANDERSON et NEDDERMEYER. Phys. Rev., 43, 1933, 1034; F. RASETTI, L. (8)

MEITNER et K. PHILIPP. Naturw., 21, 1933, 286; I. CURIE et F. JOLIOT. C.R., 196,  
1933, 158.

مما يعطينا:

$$(VIII-89) \quad \sum_i f_{(i)} v_{(i)} = \frac{d \sum_i \left( \frac{1}{2} m v^2 \right)_{(i)}}{dt} = - \frac{d V}{d t}$$

أي:

$$(VIII-90) \quad T + V = H = c^{ie}$$

إذا كانت الجسيمات بعيدة جداً بعضها عن بعض يختفي التفاعل وتصبح  $V$  ثابتة. نختار هذه الثابتة صفراً (أي  $V \infty = 0$ ) فتساوي الدالة  $H$  لجسيمات متباعدة الطاقة الحركية ( $H = T \infty$ )، أما إذا كانت الجسيمات مترابطة فتكون دالة الكمون سالبة دائماً أي أن  $f \cdot dx = -d V > 0$ . فتكون الطاقة الحركية  $T$  (استناداً إلى المعادلة (VIII-90)) متغيرة مع الوقت بشكل عام.

لنحدد الآن هيكلًا إسنادياً  $S_0$  بالميزات السابقة  $c \ll (v_i)_0$  وبحيث إن:

$$(VIII-91) \quad P_{(0)} = \sum_i p_{(i)(0)} = 0.$$

نجد في هيكل إسناد غاليلي آخر  $S$  (مع (VIII-59)) كما في  $v_i \ll c$ .

$$(VIII-92)_1 \quad p^a = a_0^a, P'^0 = a_0^0, \frac{W_0}{c^2} = a_0^0, v^a = \mu v^a$$

$$(VIII-92)_2 \quad \frac{W}{c} = a_0^0, p'^0 = a_0^0, \frac{W_0}{c} = \mu c$$

حيث وضعنا:

$$(VIII-93) \quad \mu = a_0^0, \frac{W_0}{c^2} = \frac{W_0}{c^2 \sqrt{1 - \beta^2}} = \frac{W}{c^2},$$

أي:

$$(VIII-94) \quad \mu = \frac{\mu_0}{\sqrt{1 - \beta^2}}$$

مع:

$$(VIII-95) \quad \mu_0 = \frac{W_0}{c^2} = m_0 + \frac{T_0}{c^2}$$



لكن الطاقة الحركية  $T$  (وبشكل خاص  $T_0$ ) ليست ثابتة بل تتغير مع الوقت وكذلك الثقل  $\mu_0$  المحدد بالصيغة (VIII-95). هكذا تكون الكميات  $\mu$  و  $\mu_0$  و  $p$  متغيرة مع الوقت ولا يمكن أن ترمز إلى الكتلة والزخم لمجموعة الجسيمات إذا كانت متفاعلة.

ومن الممكن أن نحدّد الزخم  $\pi$  للمجموعة إذا استبدلنا الطاقة:

$$(VIII-96) \quad W_0 = m_0c^2 + T_0$$

بالصيغة:

$$(VIII-97) \quad \Omega_0 = m_0c^2 + T_0 + V_0 = m_0c^2 + H_0$$

أي باستبدال الطاقة الحركية  $T_0$  بالكمية  $H_0$  و  $W_0$  بالكمية  $\Omega_0$  في المعادلات (VIII-95) و (VIII-92)، وذلك لأن الكمية (VIII-97) ثابتة مع الوقت استناداً إلى المعادلة (VIII-90) تتغير مع الوقت في حالة جسيمات متفاعلة. أما في حالة الجسيمات غير المتفاعلة فتتعدم  $V$  وتتطابق  $\Omega_0$  مع  $W_0$  فتصبح هذه ثابتة مع الوقت.

وبطريقة مشابهة للمعادلة (VIII-92) نحدّد الزخم العام في هيكل الاسناد  $S$  بأنه:

$$(VIII-98)_1 \quad \pi_q = a_0^0, v^q \frac{\Omega_0}{c^2} = \frac{(m_0c^2 + H_0) v^q}{c^2 \sqrt{1 - \beta^2}} = \frac{M_0 v^q}{\sqrt{1 - \beta^2}} = M v^q$$

والطاقة بأنها:

$$(VIII-98)_2 \quad \Omega = a_0^0, \Omega_0 = \frac{(m_0c^2 + H_0)}{\sqrt{1 - \beta^2}} = \frac{M_0c^2}{\sqrt{1 - \beta^2}} = Mc^2$$

حيث حدّدنا الكتلة  $M_0$  بأنها:

$$(VIII-99) \quad M_0 = m_0 + \frac{H_0}{c^2} .$$

بدلاً من (VIII-95). فتكون الكميات  $M_0$  و  $M$  و  $\pi^q$  و  $\Omega$  ثابتة مع الوقت. ويمكن أن نميز بين الحالتين التاليتين:

1 - إذا كان الجسم ثابتاً stable نجد دائماً:

$$(VIII-100)_1 \quad H_0 = T_0 + V_0 < 0.$$

هكذا يجب إمداد الجسم المؤلف من جسيمات مرتبطة بطاقة:

$$(VIII-101) \quad \Delta E = -H_0 > 0$$

كي يفتت إلى أجزائه. فنجد استناداً إلى (VIII-99):

$$(VIII-102)_1 \quad \boxed{M_0 < \sum_i m_{0(i)}} \quad \text{أو} \quad \boxed{\Delta m = m_0 - M_0 = \frac{\Delta E}{c^2} > 0}$$

أي أن الكتلة الذاتية للجسم أقل من مجموع الكتل الذاتية للجسيمات التي تكوّنه والفرق بينهما يسمى نقص الكتلة mass defect. وهذا هو حال النواة الذرية إذا كانت ثابتة: إذ تكون كتلة النواة أقل من مجموع كتل النُوَيَّات (البروتونات والنترونات) التي تكوّنها.

2 - إذا كان الجسم غير ثابت، نجد:

$$(VIII-100)_2 \quad H_0 = T_0 + V_0 > 0$$

فإذا تفتت هذا الجسم إلى أجزائه يعطي طاقة:

$$\Delta E = H_0 > 0$$

وفي هذه الحالة:

$$(VIII-102)_2 \quad \boxed{M_0 > \sum_i m_{0(i)}} \quad \text{أو} \quad \boxed{\Delta m = m_0 - M_0 = -\frac{\Delta E}{c^2} < 0}$$

هكذا إذا كانت النواة الذرية غير ثابتة تكون كتلتها أكبر من مجموع كتل النويات التي تؤلفها. يمكن عندئذٍ للنواة أن تتفتت إلى أجزائها محررة كمية من الطاقة تساوي  $\frac{\Delta E}{c^2}$ .

## ب - علم التحريك النسبي للأجسام المتواصلة

### (7) المعادلات غير النسبية للسوائل في أنظمة الإحداثيات المتعامدة:

لنفترض أن جسماً متواصلاً ذو كثافة كتلة  $\mu$  وسرعة  $v$  في كل نقطة  $P(x)$  من هذا الجسم. ترتبط  $v$  و  $\mu$  بمعادلة الاستمرار التي تنص على أن التغير في كتلة جزء  $dV$  من هذا الجسم يساوي تدفق كتلة المادة التي تخترق السطح  $dS$  المحيط بالحجم  $dV$ . مما يعطي:

$$(VIII-103) \quad \int_V \frac{\partial \mu}{\partial t} dV = - \int_S \mu v_n \cdot dS = - \int_V \text{div} (\mu v) dV$$

أو:

$$(VIII-104) \quad \frac{\partial \mu}{\partial t} + \text{div} (\mu v) = 0.$$

الجزء  $dV$  من هذا الجسم الذي يحتوي على الكتلة  $dm = \mu dV$  هو بحالة توازن equilibrium تحت تأثير القوى التالية:

#### 1 - القوة العطالية:

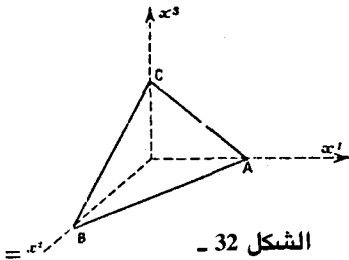
$$(VIII-105) \quad dm \cdot \gamma = \mu \gamma dV$$

حيث ترمز  $\gamma$  إلى متجه التسارع:

$$(VIII-106) \quad \gamma = (\gamma^1, \gamma^2, \gamma^3) \quad , \quad \gamma^r = \frac{\partial v^r}{\partial t}.$$

#### 2 - مجموع القوى الخارجية على الحجم $dV$ : وهي بالصيغة: $fdV$

3 - القوى السطحية: وهي قوى التفاعل (ضغط أو شد) بين أجزاء الجسم على جهتي السطح  $dS$  وهي بالصيغة  $pdS$ .. ويمكن أن نثبت أن المركبة  $P^r dS$  للقوى السطحية تكتب أيضاً<sup>(9)</sup>:



الشكل 32 -

(9) لذلك نأخذ مثلاً مجسماً رباعي الأوجه (انظر الرسم 32) وجوهره OBC و OCA و OAB و ABC تكتب على التوالي  $dS^{23} = \alpha_1 dS$  و  $dS^{31} = \alpha_2 dS$  و  $dS^{12} = \alpha_3 dS$  و  $ABC = dS$  حيث  $\alpha$  هو المتجه الأحادي العمودي على  $dS$ . القوى المؤثرة على الأوجه الأربعة هي:

$$-PdS, \quad \pi_{12} dS^{12}, \quad \pi_{31} dS^{31}, \quad \pi_{23} dS^{23}$$

$$(VIII-107) \quad P^r dS = p^{rq} d\sigma_q$$

حيث  $d\sigma_q$  تمثل مركبات متجه يساوي طوله مساحة السطح  $dS$  ويكون عمودياً عليه.  
إن شروط التوازن للحجم  $\mathcal{V}$  هي انعدام القوة الإجمالية على هذا الحجم وانعدام عزم هذه القوى في النقطة  $O$  مثلاً:

$$(VIII-108) \quad f^r d\mathcal{V} - p^{rq} d\sigma_q - \mu \gamma^r d\mathcal{V} = 0$$

فيذا استعملنا نظام إحداثيات متعامدة نجد:

$$(VIII-109) \quad \int_{\mathcal{V}} (f^r - \mu \gamma^r) d\mathcal{V} - \int_S p^{rq} d\sigma_q = 0$$

$$(VIII-110) \quad \int_{\mathcal{V}} [x^s (f^r - \mu \gamma^r) - x^r (f^s - \mu \gamma^s)] d\mathcal{V} - \int_S (x^s p^{rq} - x^r p^{sq}) d\sigma_q = 0.$$

وإذا حولنا التكامل على السطح إلى تكامل حجمي باستعمال قاعدة غرين نجد:

$$(VIII-111) \quad f^r - \mu \gamma^r - \partial_q p^{rq} = 0$$

= فتكون شروط التوازن لهذا الجسم:

$$\pi_{23} dS^{23} + \pi_{31} dS^{31} + \pi_{12} dS^{12} - PdS + fd\mathcal{V} = \mu \gamma^r d\mathcal{V}.$$

فيذا أخذنا الحدود  $\frac{d\sigma}{dS}$  منعدمة حين يصبح الجسم صغيراً جداً نجد شرط التوازن:

$$\alpha_1 \pi_{23} + \alpha_2 \pi_{31} + \alpha_3 \pi_{12} - P = 0$$

أي:

$$PdS = \pi_{23} dS^{23} + \pi_{31} dS^{31} + \pi_{12} dS^{12} = \frac{1}{2} \epsilon^{pqr} \pi_{pq} d\sigma_r$$

حيث وضعنا  $dS^{pq} = \epsilon^{pqr} d\sigma_r$  مع كرمز التبادلات، أي أن  $\epsilon^{\mu qr} = +1, -1, 0$  حسب ما تكون  $r, p, q$  تبادلاً مزدوجاً أو منفرداً للأعداد 1,2,3 أو أن يكون إثنان من المؤشرات  $p, q, r$  على الأقل متساويين. فتكون المركبات  $P^r dS$  للمتجه  $PdS$  دوال خطية بالكمية  $d\sigma_r$  وتكتب:

$$P^r dS = p^{rq} d\sigma_q$$

حيث وضعنا  $p^{rq} = \frac{1}{2} \epsilon^{rps} \pi_{ps}^q$  أنظر مثلاً:

لأن العلاقة (VIII-109) صحيحة لكل حجم  $V$ . فإذا أخذنا بعين الإعتبار العلاقة (VIII-111) نجد أن الشرط (VIII-1110) مستوفى دائماً إذا كان المتر  $p^{r^q}$  متناظراً:

$$(VIII-112) \quad p^{r^q} = p^{q^r}$$

### 8) المعادلات النسبية للأجسام المتواصلة:

لنستعمل نظام إحداثيات متعامداً ومرتبباً بالحجم  $dV$  (أي هيكل الاسناد الذاتي) فنجد:

$$(VIII-113) \quad v^q = 0$$

ولكن مشتقات  $v^q$  لا تنعدم بشكل عام.

لنعد إلى المعادلات غير النسبية للأجسام المتواصلة أي المعادلات (VIII-105) و (VIII-111) التي تدخل فيها كثافة الزخم.

$$(VIII-114) \quad p^q = \mu v^q$$

بحيث إن:

$$(VIII-115) \quad \frac{\partial v^q}{\partial t} = \mu \frac{\partial v^q}{\partial t} = \mu \gamma^q$$

استناداً إلى التحديد (VIII-106)، وتكتب أيضاً هذه المعادلات بالصيغ:

$$(VIII-116) \quad \frac{\partial \mu}{\partial t} + \partial_r p^r = 0$$

$$(VIII-117) \quad \frac{\partial p^r}{\partial t} + \partial_q p^{r^q} = f^r$$

في أية نظرية نسبية يتلقى الزخم مساهمة من كل أشكال الطاقة. سوف نكتفي هنا بأشكال الطاقة الميكانيكية مستبعدين مثلاً كل مساهمة كهرومغناطيسية. فيحتوي المتجه  $P^r$  للزخم على ما يلي:

$$- \text{الجزء السابق } p^r = \mu v^r$$

— الجزء الناتج عن التفاعلات داخل الجسم. فإذا تحرك السطح خلال الوقت  $dt$  مسافة  $v_r dl$  يكون شغل القوى السطحية

$$(VIII-118) \quad P^r dS \cdot v_r dl = p^{rq} d\sigma_q v^r dl.$$

مما يعني أن تدفق الطاقة خلال السطح  $dS$  هو  $-p^{rq}v_q$  ويعادل هذا زخماً مساوياً

$$-\frac{1}{c^2} p^{rq}v_q$$

من المناسب إذا أن نستبدل في المعادلات (VIII-116) و (VIII-117) المركبات  $p^r$  بالمركبات:

$$(VIII-119) \quad P^r = p^r - \frac{1}{c^2} p^{rq}v_q = \mu v^r - \frac{1}{c^2} p^{rq}v_q.$$

فنجد:

$$(VIII-120) \quad \frac{\partial \mu}{\partial t} + \partial_r \left( \mu v^r - \frac{1}{c^2} p^{rq}v_q \right) = 0 \quad (p, q, r = 1, 2, 3)$$

$$(VIII-121) \quad \frac{\partial}{\partial t} \left( \mu v^r - \frac{1}{c^2} p^{rq}v_q \right) + \partial_q p^{rq} = f^r.$$

نريد أن نكتب أولاً المعادلات النسبية للأجسام المتواصلة في هيكل الاسناد الذاتي أي الهيكل الذاتي تكون فيه السرعة:

$$(VIII-122) \quad u^p = 0, \quad u^0 = 1$$

ولكن الكميات  $u^\mu$  هي مركبات متجه منظم ( $u^\mu u_\mu = 1$ ) مما يعني أن في جميع الهياكل الاسنادية:

$$(VIII-123) \quad u_\mu \partial_\lambda u^\mu = 0$$

فنجد في هيكل الاسناد الذاتي إذا استعملنا الصيغة (VIII-123) أن:

$$(VIII-124) \quad \partial_\lambda u^p = \frac{1}{c} \partial_\nu v^p \quad \partial_\lambda u^0 = 0$$

نحدّد إذا المتجه  $F^\mu$  والموتر  $P^{\mu\nu}$  بالمركبات التالية في الهيكل الاسنادي الذاتي:

$$(VIII-125) \quad F^p = f^p, \quad F^0 = 0$$

$$(VIII-126) \quad P^{pq} = P^{0q}, \quad P^{p0} = P^{0p} = P^{00} = 0$$

هكذا يمكن أن نكتب إذا أخذنا الصيغة (VIII-122) بالحسبان:

$$(VIII-127) \quad P^{\mu\nu}u_\nu \equiv 0 \quad , \quad F^\mu u_\mu = 0$$

نلاحظ أن المعادلات (VIII-120) و (VIII-121) يمكن أن تكتب بمعادلة واحدة:

$$(VIII-128) \quad \boxed{\partial_\mu (\mu c^2 u^\mu u^\rho + P^{\mu\rho}) = F^\rho} \quad (\mu, \rho = 1, 2, 3, 0)$$

للتأكد من ذلك نضع أولاً  $\rho = r = 1, 2, 3$  فنجد:

$$(VIII / 129)_1 \quad \partial_q (\mu c^2 c^q u^r + p^{qr}) + \partial_0 (\mu c^2 u^r + P^{0r}) = f^r$$

ثم  $\rho = 0$  فنجد:

$$(VIII-129)_2 \quad \partial_r (\mu c^2 u^r + P^{r0}) + \partial_0 (\mu c^2 + P^{00}) = 0$$

أي إذا أخذنا بالحسبان المعادلات (VIII-122) و (VIII-124) و (VIII-126) المكتوبة في الهيكل الاسنادي الذاتي:

$$(VIII-130) \quad \partial_q P^{qr} + \mu \frac{\partial v^r}{\partial t} + \partial_0 P^{0r} = f^r$$

$$(VIII-131) \quad \mu c \partial_r v^r + \partial_r P^{r0} + c \frac{\partial \mu}{\partial t} + \partial_0 P^{00} = 0.$$

ولكن استناداً إلى (VIII-127):

$$(VIII-123) \quad \partial_\gamma (P^{\mu\nu}u_\nu) = 0$$

نجد إذا في الهيكل الاسنادي الذاتي:

$$(VIII-133) \quad \partial_\lambda P^{\mu 0} + \frac{P^{\mu q}}{c} \partial_\lambda v_q = 0$$

أي:

$$(VIII-134) \quad \partial_\lambda P^{r0} = - \frac{P^{rq}}{c} \partial_\lambda v_q \quad , \quad \partial_\lambda P^{00} = 0$$

إذا أحلنا الصيغ (VIII-134) في المعادلة (VIII-130) و (VIII-131) نجد أخيراً المعادلات (VIII-120) و (VIII-121).

لقد كتبنا المعادلة (VIII-128) في الهيكل الاسنادي الذاتي  $S_0$ . ولكن صيغتها

التي لا تتبدل في تحويل لورنتز تجعلها صالحة في أي هيكل. فهي إذا معادلة حركة الأجسام المتواصلة في جميع هياكل إسناد المحاور المتعامدة والمنظمة المستعملة في النسبية الخاصة.

أما المعادلات (VIII-120) و (VIII-121) فتُستخلص من (VIII-128) إذا استعملنا هيكل الإسناد الذاتي  $S_0$ . فهي إذا صالحة فقط في هذا الهيكل.

### (9) موثر الطاقة والزخم المادي

نحدّد الطاقة والزخم المادي للجسم بالصيغة:

$$(VIII-135) \quad M^{p\sigma} = \mu_0 c^2 u^p u^\sigma + P^{p\sigma}$$

يتعلق الموتر  $P^{p\sigma}$  بالتفاعلات داخل الجسم ويخضع استناداً إلى المعادلات (VIII-127) إلى:

$$(VIII-136) \quad P^{p\sigma} u_\sigma \equiv 0, \quad \partial_\lambda (P^{p\sigma} u_0) = 0.$$

فتكون حركة الجسم السائل وفقاً للمعادلات:

$$(VIII-137) \quad F^\sigma = \partial_p M^{p\sigma}.$$

فإذا أخذنا بالحسبان المعادلة (VIII-136) وشرط التناظر  $u^\mu u_\mu = 1$  نستنتج أن  $M^{p\sigma}$  تخضع دائماً للشروط التالية:

$$(VIII-138) \quad M^{p\sigma} u_\tau = \mu_0 c^2 c^p.$$

ومن جهة ثانية نستخلص أيضاً من (VIII-127) و (VIII-136) أن:

$$(VIII-139) \quad F^\sigma u_\sigma = u_\sigma \partial_p (\mu_0 c^2 u^p u^\sigma + P^{p\sigma}) = 0.$$

وإذا أخذنا بعين الاعتبار شروط التناظر:

$$(VIII-140) \quad u_\sigma u^\sigma = 1, \quad u_\sigma \frac{du^\sigma}{dx^p} = u^\sigma \frac{du_\sigma}{dx^p} = 0$$



يمكن أن نكتب المعادلة (VIII-139) بالصيغة التالية:

$$(VIII-141) \quad \mu_0 c^2 \partial_\rho u^\rho + u_0 \partial_\rho P^{\rho\sigma} = 0.$$

فإذا أحلنا هذه النتيجة في المعادلة (VIII-137) نجد:

$$(VIII-142) \quad F^\sigma = \partial_\rho (\mu_0 c^2 u^\rho u^\sigma + P^{\rho\sigma}) = \mu_0 c^2 u^\rho \partial_\rho u^\sigma + (\partial_\lambda^\sigma - u^\sigma u_\lambda) \partial_\rho P^{\rho\lambda}.$$

### 10 حالة سائل مثالي

نقول إن السائل مثالي إذا كان موتر الضغط يمكن أن يكتب بدالة عددية واحدة  $p$  نسميها الضغط الداخلي للسائل المثالي.

فإذا اعتمدنا نظام محاور مستقيمة ومتعامدة ومنظمة بحيث إن:

$$(VIII-2) \quad g_{\mu\nu} = (e_\mu \cdot e_\nu) = \eta_{\mu\nu}.$$

يمكن أن نكتب:

$$(VIII-143) \quad p^{rs} = -p\eta^{rs}$$

فتكون المركبات الوحيدة غير المنعدمة للموتر  $p^{rs}$  هي  $p^{11} = p^{22} = p^{33} = p$ . ونجد في الهيكل الاسنادي الذاتي استناداً إلى (VIII-126) أن:

$$(VIII-144) \quad P^{rs} = p^{rs} = -p\eta^{rs}, \quad P^{r0} = P^{0r} = P^{00} = 0.$$

أما في هيكل إسناد غاليلي آخر فنجد الموتر:

$$(VIII-145) \quad P^{\rho\sigma} = -p(\eta^{\rho\sigma} - u^\rho u^\sigma)$$

الذي يتطابق مع (VIII-144) في الهيكل الاسنادي الذاتي  $S_0$ . ويخضع الموتر  $P^{\mu\sigma}$  إلى المعادلة (VIII-136) بالتطابق.

فيكون موتر الطاقة والزخم في حالة جسم سائل مثالي استناداً إلى المعادلات (VIII-135) و (VIII-145) بالصيغة:

$$(VIII-146) \quad M^{\rho\sigma} = (\mu_0 c^2 + p) u^\rho u^\sigma - p\eta^{\rho\sigma}$$

ملاحظة: إذا كانت التفاعلات داخل الجسم صغيرة جداً يمكن إهمال الموتر  $P^{\mu\nu}$  فيصبح موتر الطاقة والزخم

$$(VIII-147) \quad M^{\rho\sigma} = \mu_0 c^2 u^\rho u^\sigma.$$

وفي الحالة الخاصة لجسم سائل مثالي يكون موتر الطاقة والزخم بالصيغة (VIII-147) إذا كان الضغط الداخلي معدوماً. فنجد عندئذ كما في العلاقة (VIII-20) واستناداً إلى (VIII-142)

$$(VIII-148) \quad F^\sigma = \mu_0 c^2 u^\rho \partial_\rho \mu^\sigma$$

### ج - استعمال الإحداثيات المنحنية

في الفضاء الرباعي الإقليدي غير الأصيل (فضاء منكوفسكي) يمكن وصف ظواهر علم التحريك والكهرمغناطيسية المتعلقة بمنطقة واسعة من الفضاء باستعمال نظام إحداثيات متعامدة ومنظمة حسب القاعدة (VIII-2). نحصل بهذه الطريقة على المعادلات التي كتبناها في أول هذا الفصل والتي سنكتبها في أول الفصل القادم. وتحافظ هذه المعادلات على صيغتها عند إجراء تحويل لورنتز.

ومن الممكن أيضاً (بل من المناسب أحياناً) أن نعتمد لهذا الفضاء الرباعي الإقليدي غير الأصيل نظام إحداثيات منحنية كالإحداثيات القطبية مثلاً. ومن البديهي أن تغيير الهياكل الإسنادية من هذا النوع لا يخضع للعلاقة (42 - VI) التي تميز مجموعة تحويلات لورنتز والتي تطبق فقط على الهياكل الإسنادية الغاليلية.

سوف نرى في الفصل الخامس عشر أن الصياغة الرياضية الصالحة للفضاء الإقليدي غير الأصيل في أي نظام إحداثيات يبقى صالحاً أيضاً دون تعديل كبير في الفضاء الريماني Riemannian. إن استعمال الإحداثيات المنحنية يصبح ضرورياً في حالة دراسة منطقة واسعة من الفضاء الريماني في حين أنه اختياري في حالة الفضاء الإقليدي. لذلك تُعرض عادة هذه الصياغة لدى دراسة النظريات غير الإقليدية. سوف نعطي في هذا الفصل صيغة معادلات علم التحريك إذا استعملنا الإحداثيات المنحنية في الفضاء الإقليدي. لتطبيق مبادئ النسبية الخاصة، أي تحويل لورنتز، على هذه الصياغة من المناسب طبعاً أن نكتبها أولاً في نظام محاور متعامدة ومنظمة. فنجد هكذا العلاقات التي حصلنا عليها في الأجزاء A و B من هذا الفصل.

### (11) مسار جسيم نقطي في نظام وحدات منحنية

لنحدّد في الفضاء الإقليدي نظاماً للإحداثيات المنحنية  $(y^\mu)$ . في كل نقطة في هذا الفضاء نحدّد هيكلاً إسنادياً طبيعياً  $e_\mu$  يتألف من المتجهات الأحادية المماسّة للخطوط  $y^\mu$ . نجد أنه من المناسب أن نستبدل في كل الصيغ السابقة المشتقات العادية بالمشتقات الموافقة للتغيّر (المحددة في الفصل العاشر الجزء 10).

لنفترض أن جسماً نقطياً يتحرك بحيث يكون موقعه معروفاً تبعاً لمتغيّر وسيطي  $\lambda$  (مرتبط بالوقت) نحدّد السرعة بالمتجه الرباعي:

$$(VIII-149) \quad u = \frac{dM}{d\lambda}$$

ذي المركّبات:

$$(VIII-150) \quad u^\mu = \frac{dy^\mu}{d\lambda}$$

أما تسارع الجسيم فهو:

$$(VIII-151) \quad \gamma = \frac{du}{d\lambda}$$

وبمركّبات:

$$(VIII-152) \quad \gamma^\mu = \frac{\nabla u^\mu}{d\lambda} = u^\rho \nabla_\rho u^\mu$$

حيث تمثل  $\nabla u^\mu$  المركّبات المخالفة للتغيّر للمتجه الرباعي  $du$  في هيكل الاسناد الطبيعي  $e^\mu$ . فنجد:

$$(VIII-153) \quad \gamma^\mu = \frac{d}{d\lambda} \left( u^\mu + \left\{ \begin{matrix} \mu \\ \nu\sigma \end{matrix} \right\} u^\nu dy^\sigma \right) = \frac{dy^\mu}{d\lambda} + \left\{ \begin{matrix} \mu \\ \nu\sigma \end{matrix} \right\} u^\nu u^\sigma$$

يتحرك الجسيم على خطٍ مستقيم في الفضاء الرباعي إذا كان تسارعه منعدماً. فتكون معادلة هذا الخط في نظام الإحداثيات المنحنية:

$$(VIII-154) \quad \frac{du^\mu}{d\lambda} + \left\{ \begin{matrix} \mu \\ \nu\sigma \end{matrix} \right\} u^\nu u^\sigma = 0.$$

أو:

$$(VIII-155) \quad \frac{d^2 y^\mu}{d\lambda^2} + \left\{ \begin{matrix} \mu \\ \nu\sigma \end{matrix} \right\} \frac{dy^\nu}{d\lambda} \frac{dy^\sigma}{d\lambda} = 0.$$

وهي صالحة في هيكل اسناد منحني. ومن الممكن أن نستعمل المسافة  $S$  على المسار أو الوقت  $t$  كمتغير وسيطي  $\lambda$ .

أما إذا كانت المحاور المستعملة مستقيمة (منحنية أو متعامدة) فتكون الكميات  $g_{\mu\nu}$  ثابتة والرموز  $\{p_{\mu\nu}\}$  منعدمة. فتصبح معادلة المسارات التي تخطها الجسيمات الحرة في نظام المحاور المستقيمة  $(x^\mu)$ .

$$(VIII-156) \quad \frac{d^2 y^\mu}{d\lambda^2} = 0.$$

وتحدد هذه المعادلات الحركة المستقيمة بسرعة ثابتة لجسم حر في هيكل الاسناد الغاليلي فتصبح:

$$(VIII-157) \quad \frac{d^2 x^p}{dt^2} = 0.$$

أما في نظام الإحداثيات المنحنية فتكون معادلة المسارات المستقيمة  $(\gamma^\mu = 0)$ :

$$(VIII-158) \quad \boxed{\frac{d^2 y^\mu}{d\lambda^2} + \{\mu_{\nu\sigma}\} \frac{dy^\nu}{d\lambda} \frac{dy^\sigma}{d\lambda} = 0} \quad \text{أو} \quad \boxed{u^\rho \nabla_\rho u^\mu = 0}$$

مما يعني أن هذه الخطوط المستقيمة هي أيضا الخطوط التقاصرية (الجيوديسية) في هذا الفضاء الإقليدي غير الأصيل.

## 12) القانون الأساسي لعلم تحريك الجسيمات النقطية

إذا كان جسيم نقطي خاضعا لقوة  $F$  تكون حركته خاضعة للمعادلة (VIII-18):

$$F = m_0 \frac{d\bar{u}}{d\tau} = m_0 c^2 \frac{du}{ds}$$

كما كتبناهما في المقطع الثاني. وتبقى هذه المعادلة صالحة في حال استعمال إحداثيات منحنية شرط استبدال التغيرات  $\nabla u^\mu$  بالتفاضل المطلق  $du^\mu$  فنجد:

$$(VIII-159) \quad F^\mu = m_0 c^2 \frac{\nabla u^\mu}{ds}$$

أي:

$$(VIII-160) \quad F^\mu = m_0 c^2 \frac{dy^p}{ds} \nabla_\rho u^\mu = m_0 c^2 u^\rho \nabla_\rho u^\mu.$$

ويمكن كتابة الصيغة (VIII-159) أيضاً بالصيغة:

$$(VIII-161) \quad F^\mu = m_0 c^2 \left( \frac{du^\mu}{ds} + \left\{ \begin{matrix} \mu \\ \nu\sigma \end{matrix} \right\} u^\nu \frac{dy^\sigma}{ds} \right)$$

أو:

$$(VIII-162) \quad \boxed{F^\mu = m_0 c^2 \left( \frac{d^2 y^\mu}{ds^2} + \left\{ \begin{matrix} \mu \\ \nu\sigma \end{matrix} \right\} \frac{dy^\nu}{ds} \frac{dy^\sigma}{ds} \right)}$$

بدلاً عن الخط المستقيم المحدد بالمعادلة (VIII-158) في نظام الإحداثيات المنحنية يخط الجسم الخاضع لقوة  $F$  مساراً خاضعاً للمعادلة (VIII-162). وبشكل خاص إذا كان الجسم مشحوناً وخاضعاً لمجال كهرومغناطيسي تكون القوة  $F^\mu$  قوة لورنتز المحددة بالصيغة (IX - 35)

### 13 حركة سائل متجانس - موتر المادة

يدخل في الصيغة (VIII-135) الموتر المتناظر من الرتبة الثانية والمسمى موتر المادة للطاقة والزخم:

$$(VIII-135) \quad M^{\rho\sigma} = \mu_0 c^2 u^\rho u^\sigma + P^{\rho\sigma}.$$

حيث  $\mu_0$  هي كثافة كتلة السائل المتجانس homogeneous و  $P^{\rho\sigma}$  هو موتر يتعلق بالتفاعلات (الضغط أو الشد) داخل السائل. ونجد كما في المعادلة (VIII-127):

$$(VIII-163) \quad P^{\rho\sigma} u_{\sigma} = 0.$$

فإذا أخذنا بعين الاعتبار التناظر  $u^\sigma u_{\sigma} = 1$  نستنتج كما في المعادلة (VIII-138) أن

$$(VIII-164) \quad M^{\rho\sigma} u_{\sigma} = \mu_0 c^2 c^\rho$$

وفي الحالة الخاصة لسائل مثالي يكون الموتر  $P^{\rho\sigma}$  بالصيغة

$$(VIII-165) \quad P^{\rho\sigma} = p(u^\rho u^\sigma - g^{\rho\sigma}).$$

التي هي تعميم للصيغة (VIII-145) وذلك باستبدال  $\eta^{\rho\sigma}$  (العائد لهيكل إسناد

غاليلي) بالموتر  $g^{\rho\sigma}$  (العائد للإحداثيات المنحنية بشكل عام). فنجد استناداً إلى الصيغة (VIII-135) أن:

$$(VIII-166) \quad M^{\rho\sigma} = (\mu_0 c^2 + p) u^\rho u^\sigma - p g^{\rho\sigma}$$

في حالة سائل مثالي يكون الشرط (VIII-163) مستوفى بالتطابق لأن الموتر  $P^{\rho\sigma}$  هو بالصيغة (VIII-165).

وتسبب القوة  $F^\mu$  التي يخضع لها كل حجم من السائل المتجانس حركة داخل هذا السائل خاضعة للمعادلة (VIII-137) في الإحداثيات المستقيمة. أما في الإحداثيات المنحنية فيجب استبدال المشتقات العادية بالمشتقات الموافقة للتغير فنجد:

$$(VIII-167) \quad F^\mu = \nabla_\rho M^{\mu\rho}$$

أي:

$$(VIII-168) \quad F^\mu = \mu_0 c^2 (u^\rho \nabla_\rho u^\mu + u^\mu \nabla_\rho u^\rho) + \nabla_\rho P^{\mu\rho}.$$

ولكن القوة الرباعية  $F^\mu$  تخضع كما في المعادلة (VIII-127) لعلاقة التعامد

$$(VIII-169) \quad F^\mu u_\mu = 0.$$

فيذا استعملنا هذه الخاصة في المعادلة (VIII-168) بالإضافة إلى العلاقات:

$$(VIII-170) \quad u_\mu u^\mu = 1 \quad , \quad u^\mu \nabla_\rho u_\mu = u_\mu \nabla_\rho u^\mu = 0.$$

نجد:

$$(VIII-171) \quad u_\mu \nabla_\rho P^{\mu\rho} + \mu_0 c^2 \nabla_\rho u^\rho = 0.$$

ومن جهة أخرى في حالة غاز مثالي تقود الصيغة (VIII-165) للموتر  $P^{\mu\rho}$  إلى المعادلة:

$$(VIII-172) \quad u_\mu \nabla_\rho P^{\mu\rho} = u_\mu \nabla_\rho P (u^\mu u^\rho - g^{\mu\rho}) = p \nabla_\rho u^\rho.$$

مما يعني أنه في حالة غاز مثالي تكون المعادلات (VIII-169) وبالنتيجة (VIII-171) مستوفاة إذا كانت معادلة الاستمرارية

$$(VIII-173) \quad \nabla_\rho u^\rho = 0$$

صحيحة.

#### 14) معادلات الحفظ ومعادلات الحركة

تتميز حركة السوائل المتجانسة بمجموعتين من المعادلات:

1 - معادلات الحفظ: وتستخلص من الصيغ السابقة بحساب تكامل الكثافة الثابتة في التحويل (ارجع إلى المقطع 11 من الفصل الرابع عشر)

$$(VIII-174) \quad \sqrt{-g} u_\mu F^\mu = \sqrt{-g} u^\mu \nabla_\rho M_{\mu}^\rho$$

على الأجزاء التفاضلية للحجم الرباعي للرباعي  $d\tau = dy^1 \wedge dy^2 \wedge dy^3 \wedge dy^0$  فنجد:

$$(VIII-175) \quad \int (u^\mu \nabla_\rho M_{\mu}^\rho) \sqrt{-g} d\tau = 0.$$

2 - معادلات الحركة: ونحصل عليها بواسطة الكثافة المتجهية الرباعية التي تكونها انطلاقاً من المعادلة (VIII-167):

$$(VIII-176) \quad \sqrt{-g} F^\rho = \sqrt{-g} \nabla_\rho M^{\rho\rho}$$

ثم بحساب التكامل على الحجم الثلاثي التفاضلي  $d^3V = dy^1 \wedge dy^2 \wedge dy^3$

تكتب إذا معادلات الحركة لسائل متجانس كما يلي

$$(VIII-177) \quad \int F_\rho \sqrt{-g} d^3V = \int (\nabla_\rho M^\rho_\rho) \sqrt{-g} d^3V = 0.$$

لكتابة هذه المعادلة بصيغ أخرى نستعمل المعادلة التوافقية  $M^\rho_\rho = g_{\rho\lambda} M^{\lambda\rho}$  الصالحة لأي موتر متناظر  $M^{\rho\sigma}$  فنجد:

$$(VIII-178) \quad \begin{aligned} \sqrt{-g} \nabla_\rho M^\rho_\rho &= \sqrt{-g} \left( \partial_\rho M^\rho_\rho - \left\{ \begin{matrix} \sigma \\ \rho\rho \end{matrix} \right\} M^\sigma_\sigma + \left\{ \begin{matrix} \rho \\ \sigma\rho \end{matrix} \right\} M^\sigma_\rho \right) \\ &= \partial_\rho M^\rho_\rho - \frac{\sqrt{-g}}{2} M^{\lambda\rho} (\partial_\rho g_{\rho\lambda} + \partial_\rho g^{\rho\lambda} - \partial_\lambda g^{\rho\rho}) \\ &= \partial_\rho M_{0\rho}^\rho - \frac{1}{2} M^{\lambda\rho\sigma} p g^{\lambda\rho} \end{aligned}$$

مع:

$$(VIII-179) \quad M_{\mu}^{\rho} = \sqrt{-g} M_{\mu}^{\rho} \quad , \quad M^{\lambda\rho} = \sqrt{-g} M^{\lambda\rho}.$$

وإذا أخذنا بعين الاعتبار المعادلة (VIII-178) تكتب معادلات الحركة (VIII-177) بالصيغة التالية:

$$(VIII-180) \quad \int F_p \sqrt{-g} dV = \int \left( \partial_{\rho} M_p^{\rho} - \frac{1}{2} M^{\lambda\rho} p_{g,\lambda\rho} \right) dV = 0.$$

(15) حالة خاصة: معادلات الحفظ ومعادلات الحركة لسائل مثالي

### 1 - معادلات الحفظ:

لننتقل من الصيغة (VIII-166) للمركبات  $M^{\rho\sigma}$  لموتر الطاقة والزخم المادي في حالة سائل مثالي. فنستنتج منها:

$$(VIII-181) \quad M_{\mu}^{\rho} = (\mu_0 c^2 + p) u_{\mu} u^{\rho} - p \delta_{\mu}^{\rho}.$$

وتكتب معادلات الحفظ (VIII-175) بالصيغة التالية:

$$(VIII-182) \quad \int \sqrt{-g} \left( \mu_0 + \frac{p}{c_2} \right) \nabla_{\rho} u^{\rho} d\tau = 0$$

بعد أخذ الشروط (VIII-170) بعين الإعتبار. فيتخذ التكامل في الصيغة (VIII-182) الصيغة التالية:

$$(VIII-183) \quad \int \sqrt{-g} \left( \mu_0 + \frac{p}{c_2} \right) \nabla_{\rho} u^{\rho} d\tau \\ = \int \partial_{\rho} \left( \mu_0 \sqrt{-g} u^{\rho} \right) d\tau + \int \frac{p}{c_2} \partial_{\rho} (\sqrt{-g} u^{\rho}) d\tau = 0$$

لنحسب هذا التكامل على الأنبوب الكوني الذي تشكله خطوط الحركة ويحده مقطعان  $\Sigma$  و  $\Sigma'$ . يمكن تحويل التكامل الأول في المعادلة (VIII-183) باستعمال قاعدة غرين ليصبح تدفق المتجه الرباعي  $\mu_0 \sqrt{-g} u^{\rho}$  من خلال السطح المغلق المحيط بالأنبوب الكوني والمؤلف من السطح الجانبي  $L$  للأنبوب والمقطعين  $\Sigma$  و  $\Sigma'$ . وإذا وضعنا:

$$(VIII-184) \quad dS_{\rho} = \frac{\sqrt{-g}}{6} \epsilon_{\rho\mu\nu\sigma} dy^{\mu} \wedge dy^{\nu} \wedge dy^{\sigma}$$



تكتب المعادلة (VIII-183) بالصيغة التالية:

$$(VIII-185) \quad \int_{L+\Sigma-\Sigma'} \mu_0 \sqrt{-g} u^p dS_p + \int \frac{p}{c_2} \partial_p (\sqrt{-g} u^p) d\tau = 0.$$

ولكن التكامل على السطح الجانبي  $L$  الذي تشكله خطوط الحركة لا يعطي أية مساهمة. وإذا انعدم الضغط الداخلي للسائل ( $p = 0$ ) تتحول المعادلة (VIII-185) إلى قانون حفظ الكتلة:

$$(VIII-186) \quad m = m'$$

حيث  $m$  و  $m'$  تمثلان الكتلة التي تخترق السطحين  $\Sigma$  و  $\Sigma'$  وتحددان كما يلي:

$$(VIII-187) \quad m = \int_{\Sigma} \mu_0 \sqrt{-g} u^p dS_p = \int_{\Sigma} \mu dS_0$$

إذا وضعنا:

$$(VIII-188) \quad \mu = \mu_0 \sqrt{-g} u^0.$$

## 2 - معادلات الحركة

نستخلص معادلات الحركة من المعادلات (VIII-180) باستبدال  $M_p^q$  بالصيغة التي يمكن استنتاجها من المعادلة (VIII-181). وفعلاً نجد انطلاقاً من الصيغة (VIII-106) أن:

$$(VIII-189) \quad \begin{aligned} \mathcal{M}_p^q &= \sqrt{-g} \left[ c^2 + \left( \mu_0 + \frac{p}{c_2} \right) u_p u^q - p \delta_p^q \right] \\ &= \sqrt{-g} \left[ c^2 \left( \mu_0 + \frac{p}{c_2} \right) v_p \frac{v^q (u^0)^2}{c^2} - p \delta_p^q \right] \end{aligned}$$

$$(VIII-190) \quad \begin{aligned} \mathcal{M}_p^0 &= \sqrt{-g} c^2 \left( \mu_0 + \frac{p}{c_2} \right) u_p u^0 \\ &= \sqrt{-g} c^2 \left( \mu_0 + \frac{p}{c_2} \right) \frac{v_p (u^0)^2}{c}. \end{aligned}$$

فيذا قارنا الصيغتين (VIII-189) و (VIII-190) يُمكن أن نكتب:

$$(VIII-91) \quad \mathcal{M}_p^q = \mathcal{M}_p^0 \frac{v^q}{c} - p \sqrt{-g} \delta_p^q.$$

فنجذ بهذه الطريقة:

$$(VIII-192) \quad \partial_p M_p^0 = \partial_0 M_p^0 + \partial_q M_p^q = \partial_0 M_p^0 + \frac{v^q}{c} \partial_q M_p^0$$

$$- \partial_p (\sqrt{-g}) = d_0 M_p^0 - \partial_p (\sqrt{-g}).$$

وتأخذ معادلة الحركة (VIII-180) الصيغة التالية

$$(VIII-193) \quad \int F_p \sqrt{-g} d^4V = \int d_0 M_p^0 d^4V - \int \partial_p (\sqrt{-g}) d^4V$$

$$- \frac{1}{2} \int M^{\lambda\rho} \partial_p f_{\lambda\rho} d^4V = 0.$$

ولا يعطي التكامل الثالث (الذي هو تباعد رباعي) أية مساهمة. فتكتب المعادلة (VIII-193) بالصيغة:

$$(VIII-194) \quad \int F_p \sqrt{-g} d^4V = \int \frac{d \mathcal{L}_p}{d t} d^4V - \frac{1}{2} \int M^{\lambda\rho} \partial_p g^{\lambda\rho} d^4V$$

حيث وضعنا:

$$(VIII-195) \quad \mathcal{L}_p = \frac{1}{c} M_p^0 = \sqrt{-g} \left( \mu_0 + \frac{p}{c^2} \right) v_p (u^0)^2$$

هكذا تبدو الكميات  $\mathcal{L}_p = \frac{1}{c} M_p^0$  كأنها زخم للمادة استناداً إلى معادلات حركة السائل المثالي المكتوب في نظام الإحداثيات المنحنية بشكل عام.

## الكهرمغناطيسية النسبية

### ١ - الصيغة الموافقة للتغير لنظرية ماكسويل

(1) المجال الكهرمغناطيسي - المؤثر الكهرمغناطيسي من الرتبة الثانية

نستعمل في ما يلي الإحداثيات الرباعية الحقيقية  $x^\mu$  ( $x^1 = x, x^2 = y, x^3 = z, x^0 = ct$ ) مستعملين محاور متعامدة ومنظمة وفق:

$$g_{\mu\nu} = \eta_{\mu\nu}$$

أي:

$$g_{pq} = g^{pq} = -\delta_{pq}, \quad g_{p0} = -g^{p0} = 0, \quad g_{00} = g^{00} = 1$$

نعيد كتابة معادلات ماكسويل

(I)

$$\begin{cases} \text{(a)} & \text{curl } \mathbf{H} - \frac{1}{c} \frac{\partial \mathbf{D}}{\partial t} = \frac{4\pi \mathbf{I}}{c} \\ \text{(b)} & \text{curl } \mathbf{E} + \frac{1}{c} \frac{\partial \mathbf{B}}{\partial t} = 0 \end{cases}$$

(III)

$$\begin{cases} \text{(a)} & \text{div } \mathbf{D} = 4\pi \rho \\ \text{(b)} & \text{div } \mathbf{B} = 0 \end{cases}$$

فإذا استعملنا الترميز

$$(IX-1) \quad \partial_p = \frac{\partial}{\partial x^p} \quad (P = 1, 2, 3) \quad , \quad \partial_0 = \frac{\partial}{\partial x^0} = \frac{1}{c} \frac{\partial}{\partial t}$$

وإذا أدخلنا المركبات التالية لكثافة التيار:

$$(IX-2) \quad \boxed{J_\mu = \left( -\frac{4\pi I}{c} \quad , \quad 4\pi\rho \right)}$$

نجد أن المجموعتين (I) و (III) لمعادلات ماكسويل تكتبان بالصيغة:

$$\begin{array}{l|l} \text{(a)} & \text{(b)} \\ \hline (I) \quad \partial_p H_q - \partial_q H_p - \partial_0 D_r = -J_r & \partial_p E_q - \partial_q E_p - \partial_0 B_r = 0 \\ (III) \quad \sum_p \partial_p D_p = J_0 & \sum_p \partial_p B_p = 0 \end{array}$$

حيث تشكل المؤشرات  $p, q, r$  تبديلاً دائرياً للقيم 1, 2, 3.

إذا أجرينا تحويل لورنتز الخاص:

$$(IX-3) \quad x'^1 = \frac{x^1 - \beta x^0}{\sqrt{1 - \beta^2}} \quad , \quad x'^2 = x^2 \quad , \quad x'^3 = x^3 \quad , \quad x'^0 = \frac{x^0 - \beta x^1}{\sqrt{1 - \beta^2}}$$

تحافظ المعادلات (I) و (III) على صيغتها أي أنها تكتب بالصيغة<sup>(1)</sup>:

(1) نثبت هنا كتمرين أن مجموعتي معادلات ماكسويل تحافظ على صيغتها عند إجراء تحويل لورنتز. فاستناداً إلى التحويل (IX-3) نكتب:

$$\partial_1 = \frac{\partial'_1 - \beta \partial'_0}{\sqrt{1 - \beta^2}} \quad , \quad \partial_2 = \partial'_2 \quad , \quad \partial_3 = \partial'_3 \quad , \quad \partial_0 = \frac{\partial'_0 - \beta \partial'_1}{\sqrt{1 - \beta^2}}$$

لأن:

$$\partial_\mu = \frac{\partial}{\partial x^\mu} = \frac{\partial}{\partial x^\lambda} \frac{\partial x'^\lambda}{\partial x^\mu} = \frac{\partial x'^\lambda}{\partial x^\mu} \partial'_\lambda$$

=

فنكتب المجموعتان (a) و (b) بالتفصيل كما يلي:

$$\begin{aligned}
 & \text{(a)} \\
 & \partial'_2 H_3 - \partial'_3 H_2 - \left( \frac{\partial'_0 - \beta \partial'_1}{\sqrt{1 - \beta^2}} \right) D_1 = -J_1 \\
 \text{(I)} \quad & \partial'_3 H_1 - \left( \frac{\partial'_1 - \beta \partial'_0}{\sqrt{1 - \beta^2}} \right) H_3 - \left( \frac{\partial'_0 - \beta \partial'_1}{\sqrt{1 - \beta^2}} \right) D_2 = -J_2 \\
 & \left( \frac{\partial'_1 - \beta \partial'_0}{\sqrt{1 - \beta^2}} \right) H_2 - \partial'_2 H_1 - \left( \frac{\partial'_0 - \beta \partial'_1}{\sqrt{1 - \beta^2}} \right) D_3 = -J_3 \\
 & \text{(b)} \\
 & \partial'_2 E_3 - \partial'_3 E_2 + \left( \frac{\partial'_0 - \beta \partial'_1}{\sqrt{1 - \beta^2}} \right) B_1 = 0 \\
 \text{(I)} \quad & \partial'_3 E_1 - \left( \frac{\partial'_1 - \beta \partial'_0}{\sqrt{1 - \beta^2}} \right) E_3 + \left( \frac{\partial'_0 - \beta \partial'_1}{\sqrt{1 - \beta^2}} \right) B_2 = 0 \\
 & \left( \frac{\partial'_1 - \beta \partial'_0}{\sqrt{1 - \beta^2}} \right) E_2 - \partial'_2 E_1 + \left( \frac{\partial'_0 - \beta \partial'_1}{\sqrt{1 - \beta^2}} \right) B_3 = 0 \\
 \text{(III)} \quad & \left( \frac{\partial'_1 - \beta \partial'_0}{\sqrt{1 - \beta^2}} \right) D_1 + \partial'_2 D_2 + \partial'_3 D_3 = J_0 \quad \left| \quad \left( \frac{\partial'_1 - \beta \partial'_0}{\sqrt{1 - \beta^2}} \right) B_1 + \partial'_2 B_2 + \partial'_3 B_3 = 0.
 \end{aligned}$$

فيذا افترضنا تحويل المجالات (IX-5) او التحويل المعاكس:

$$\begin{aligned}
 D_1 = D'_1, \quad D_2 &= \frac{D'_2 + \beta H'_3}{\sqrt{1 - \beta^2}}, \quad D_3 = \frac{D'_3 - \beta H'_2}{\sqrt{1 - \beta^2}} \\
 H_1 = H'_1, \quad H_2 &= \frac{H'_2 - \beta D'_3}{\sqrt{1 - \beta^2}}, \quad H_3 = \frac{H'_3 + \beta D'_2}{\sqrt{1 - \beta^2}} \\
 E_1 = E'_1, \quad E_2 &= \frac{E'_2 + \beta B'_3}{\sqrt{1 - \beta^2}}, \quad E_3 = \frac{E'_3 - \beta B'_2}{\sqrt{1 - \beta^2}} \\
 B_1 = B'_1, \quad B_2 &= \frac{B'_2 - \beta E'_3}{\sqrt{1 - \beta^2}}, \quad B_3 = \frac{B'_3 + \beta E'_2}{\sqrt{1 - \beta^2}}
 \end{aligned}$$

$$(I) \quad \partial'_p H'_q - \partial'_q H'_p - D'_r = -J'^r \quad \left| \quad \partial'_p E'_q - \partial'_q E'_p + \partial'_0 B'_r = 0 \right.$$

$$(III) \quad \sum_p \partial'_p D'_p = J'^0 \quad \left| \quad \sum_p \partial'_p B'_p = 0 \right.$$

فإذا كانت  $J$  ( $J_r, J_0$ ) تشكل مركبات متجه رباعي أي:

$$(IX-4) \quad J'_1 = \frac{J_1 + \beta J_0}{\sqrt{1 - \beta^2}}, \quad J'_2 = J_2, \quad J'_3 = J_3, \quad J'_0 = \frac{J_0 + \beta J_1}{\sqrt{1 - \beta^2}},$$

وإذا كان المجالان  $H$  و  $D$  من جهة والمجالان  $B$  و  $E$  من جهة ثانية يتحولان من هيكل إسناد إلى آخر كما يلي:

$$(IX-5)_1 \quad D'_1 = D_1, \quad D'_2 = \frac{D_2 - \beta H_3}{\sqrt{1 - \beta^2}}, \quad D'_3 = \frac{D_3 + \beta H_2}{\sqrt{1 - \beta^2}}$$

$$E'_1 = E_1, \quad E'_2 = \frac{E_2 - \beta B_3}{\sqrt{1 - \beta^2}}, \quad E'_3 = \frac{E_3 + \beta B_2}{\sqrt{1 - \beta^2}}$$

$$(IX-5)_2 \quad H'_1 = H_1, \quad H'_2 = \frac{H_2 + \beta D_3}{\sqrt{1 - \beta^2}}, \quad H'_3 = \frac{H_3 - \beta D_2}{\sqrt{1 - \beta^2}}$$

$$B'_1 = B_1, \quad B'_2 = \frac{B_2 + \beta E_3}{\sqrt{1 - \beta^2}}, \quad B'_3 = \frac{B_3 - \beta E_2}{\sqrt{1 - \beta^2}}$$

= نجد أنه لدى احلال هذه الصيغ في (I) و (III) نكتب هذه المجموعتان:

$$(a') \quad \left. \begin{aligned} (I) \quad \partial'_2 H'_3 - \partial'_3 H'_2 - \partial'_0 D'_1 + \beta \sum_p \partial'_p D_p &= -J_1 \sqrt{1 - \beta^2} \\ \partial'_3 H'_1 - \partial'_1 H'_3 - \partial'_0 D'_2 &= -J_2 \\ \partial'_1 H'_2 - \partial'_2 H'_1 - \partial'_0 D'_3 &= -J_3 \end{aligned} \right| \begin{aligned} (b) \quad \partial'_2 E'_3 - \partial'_3 E'_2 + \partial'_0 B'_1 - \beta \sum_p \partial'_p B'_p &= 0 \\ \partial'_3 E'_1 - \partial'_1 E'_3 + \partial'_0 B'_2 &= 0 \\ \partial'_1 E'_2 - \partial'_2 E'_1 + \partial'_0 B'_3 &= 0 \end{aligned}$$

$$(III) \quad \sum_p \partial'_p D'_p + \beta [(\partial'_2 H'_3 - \partial'_3 H'_2) - \partial'_0 D'_1] = J_0 \sqrt{1 - \beta^2}$$

$$\sum_p \partial'_p B'_p - \beta [(\partial'_2 E'_3 - \partial'_3 E'_2) + \partial'_0 B'_1] = 0.$$

فإذا قابلنا (a) (III) مع (a') (I) و (b') (III) مع (b') (I) نجد أخيراً (III) و (III) شرط أن تتحول الكميات  $J'$  وفق (IX-4).

نلاحظ أن قواعد التحويل  $(IX-5)_1$  و  $(IX-5)_2$  تتفق مع الصيغة (VI - 87) الخاصة بتحويل المؤثر المتخالف التناظر من الرتبة الثانية. لذلك يكفي أن نضع:

$$(IX-6) \quad H_p = \epsilon_{pqr} f^{qr} \quad , \quad D_p = f_{p0} = -f^{p0}$$

أي:

$$H_1 = f_{23} = f^{23} \quad , \quad H_2 = f_{31} = f^{31} \quad , \quad H_3 = f_{12} = f^{12}$$

$$D_1 = f_{10} = -f^{10} \quad , \quad D_2 = f_{20} = -f^{20} \quad , \quad D_3 = f_{30} = -f^{30}$$

ومن جهة ثانية

$$(IX-7) \quad B_p = \epsilon_{pqr} \varphi^{qr} \quad , \quad E'_p = \varphi_{p0} = -\varphi^{p0}$$

أي:

$$B_1 = \varphi_{23} = \varphi^{23} \quad , \quad B_2 = \varphi_{31} = \varphi^{31} \quad , \quad B_3 = \varphi_{12} = \varphi^{12}$$

$$E_1 = \varphi_{10} = -\varphi^{10} \quad , \quad E_2 = \varphi_{20} = -\varphi^{20} \quad , \quad E_3 = \varphi_{30} = -\varphi^{30}$$

كي يكون التحويل (IX-5) مطابقاً تماماً للتحويل (VI - 87). في المعادلات (IX-6) و (IX-7) تأخذ المؤشرات p, q, r القيم 1, 2, 3 و -1, +1  $\epsilon_{pqr}$  تبعاً لكون المؤشرات p, q, r تشكّل تبادلاً مزدوجاً أو منفرداً للأعداد 1, 2, 3 وينعدم  $\epsilon_{pqr}$  إذا كان إثنان من المؤشرات p, q, r متطابقين.

هكذا تدمج مركبات المجال المغناطيسي H ومجال التحريض الكهربائي D لتشكّل مركبات المؤثر المتخالف التناظر من الرتبة  $f_{\mu\nu}$ . كذلك تدمج مركبات المجال الكهربائي E والتحريض المغناطيسي B لتشكّل مركبات المؤثر المتخالف التناظر  $\varphi_{\mu\nu}$ . ويمكن أن نكتب التحديدات (IX-6) و (IX-7) بصورة جدول (مشابه للمصفوفات):

$$(IX-8) \quad f_{\mu\nu} = \begin{vmatrix} 0 & H_3 & -H_2 & D \\ -H_3 & 0 & H_1 & D_2 \\ H_2 & -H_1 & 0 & D_3 \\ -D_1 & -D_2 & -D_3 & 0 \end{vmatrix} \quad , \quad \varphi_{\mu\nu} = \begin{vmatrix} 0 & B_3 & -B_2 & E_1 \\ -B_3 & 0 & B_1 & E_2 \\ B_2 & -B_1 & 0 & E_3 \\ -E_1 & -E_2 & -E_3 & 0 \end{vmatrix}$$

باستعمال هذه الرموز تكتب المعادلة (I) (a) و (III) (a) بالشكل المبسط:

(M<sub>1</sub>)

$$\partial_\rho f^{\mu\rho} = J^\mu$$

$$\mu = 1, 2, 3, 0.$$

فإذا وضعنا  $\mu = p = 1, 2, 3$  نحصل على المعادلة (a) (I) وإذا وضعنا  $\mu = 0$  نحصل على المعادلة (a) (III).

ومن جهة ثانية تكتب المعادلات (b) (I) و (b) (III) بالصيغة:

(M<sub>2</sub>)

$$\partial_\rho \varphi_{\mu\nu} + \partial_\nu \varphi_{\rho\mu} + \partial_\mu \varphi_{\nu\rho} = 0$$

فإذا أخذنا أحد المؤشرات  $\mu, \nu, \rho$  صفراً نجد المعادلة (b) (I). وإذا أخذنا  $\mu, \nu, \rho$  تساوي 1,2,3 نجد المعادلة (b) (III).

أخيراً نستنتج مباشرة من المعادلة (M<sub>1</sub>) معادلة الاستمرارية:

(IX-9)

$$\partial_\mu J^\mu = 0$$

وهي مطابقة للمعادلة (III') في الفضاء الثلاثي التي تعبّر عن قانون حفظ الشحنة الكهربائية.

## 2) الكمون الكهرمغناطيسي

لنكتب من جديد المعادلات (IV) التي تربط بين المجالات E و B والكمون المغناطيسي.

$$(IV - a) \quad E = - \text{grad } V - \frac{1}{c} \frac{\partial A}{\partial t}$$

$$(IV - b) \quad B = \text{curl } A.$$

فإذا حدّدنا المركّبات  $\varphi_\mu$  بأنها:

$$(IX-10) \quad \varphi_\mu = (A, -V)$$

تكتب المعادلات (IV) بالصيغة:

$$(IX-11)_1 \quad E_p = \partial_p \varphi_0 - \partial_0 \varphi_p$$

$$(IX-11)_2 \quad B_p = \partial_q \varphi_r - \partial_r \varphi_q$$



حيث  $p, q, r$  هي تباديل دوراني للأعداد 1,2,3. فإذا استعملنا التحديدات (IX-7) يمكن أن ندمج المعادلتين  $(IX-11)_1$  و  $(IX-11)_2$  بمعادلة واحدة:

$$(M_3) \quad \boxed{\varphi_{\mu\nu} = \partial_\mu \varphi_\nu - \partial_\nu \varphi_\mu}$$

فإذا اخترنا  $\mu$  أو  $\nu$  صفراً نجد المعادلة  $(IX-11)_1$  وإذا اخترنا  $\mu$  و  $\nu$  غير منعدمتين نجد المعادلة  $(IX-11)_2$ .

فالكومون المتجهي  $A$  والكومون العددي (السلمي)  $V$  يشكلان متجهاً رباعياً  $\varphi_\mu$ . ونلاحظ أن هذا المتجه غير محدد تماماً. إذ إنه يمكن أن نزيد عليه التدرج الرباعي لدالة عددية (سلمية) اختيارية  $\psi$  لتكوين الكومون الرباعي الجديد:

$$(IX-12) \quad \bar{\varphi}'_\mu = \varphi_\mu - \partial_\mu \psi,$$

فلا يتغير موتر المجال الكهرمغناطيسي  $\varphi_{\mu\nu}$ . ويسمى تحويل الصيغة (IX-12) التحويل المعياري Gauge transformation. هكذا لا يحدّد الكومون إلا بإمكانية إجراء تحويل معياري.

### 3) معادلات ماكسويل وتحويل لورنتز العام

تكتب معادلات ماكسويل بإحدى هاتين الصيغتين المتعادلتين:

$$(M_1) \quad \partial_\rho f^{\mu\rho} = J^\mu$$

$$(M_2) \quad \partial_\rho \varphi_{\mu\nu} + \partial_\nu \varphi_{\rho\mu} + \partial_\mu \varphi_{\nu\rho} = 0$$

أو:

$$(M_1) \quad \partial_\rho f^{\mu\rho} = J^\mu$$

$$(M_2) \quad \varphi_{\mu\nu} = \partial_\mu \varphi_\nu - \partial_\nu \varphi_\mu$$

وذلك لأن التحديد  $(M_2)$  يقود إلى العلاقة  $(M_2)$  بين مركبات المجال  $\varphi_{\mu\nu}$ .

نستنتج من المعادلة  $(M_2)$ :

$$(IX-13) \quad \partial^\mu \varphi_{\mu\nu} = \square \varphi_\nu - \partial_\nu \partial^\mu \varphi_\mu$$

حيث:

$$\square = \partial^\rho \partial_\rho = \eta^{\rho 0} \partial_\rho \partial_0 = \partial_0^2 - \sum_p p_p^2.$$

وإذا كان الكمون الكهرمغناطيسي يخضع لشرط لورنتز (VII) أي<sup>(2)</sup>.

$$\partial^\mu \varphi_\mu = 0$$

تصبح المعادلة (IX-13)

$$\square \varphi_\nu = \partial^\mu \varphi_{\mu\nu}$$

وإذا كان الجسم قليل التشتت بثابت عزل  $\epsilon$  وسماحية  $\mu$  مغناطيسية  $\mu$  بمعنى أن  $\epsilon\mu = 1$  نجد  $f_{\mu\nu} = \frac{1}{\epsilon} f_{\mu\nu}$  وبالتالي تصبح المعادلة (IX-15) بعد استعمال المعادلة  $M_1$ .

$$(IX-16) \quad \square \varphi_\nu = -\mu J_\nu.$$

لنحسب  $\square \varphi_{\mu\nu}$  انطلاقاً من  $(M_3)$  ولنستعمل المعادلة (IX-16) نجد:

$$(IX-17) \quad \square \varphi_{\mu\nu} = -\mu (\partial_\mu J_\nu - \partial_\nu J_\mu).$$

من المناسب أحياناً استعمال المجال الثنوي dual (الثنائي)

$$(IX-18) \quad \varphi^{\mu\nu*} = \frac{1}{2} \epsilon^{\mu\nu\rho\sigma} \varphi_{\rho\sigma}, \quad \varphi_{\mu\nu}^* = -\frac{1}{2} \epsilon_{\mu\nu\rho\sigma} \varphi^{\rho\sigma}$$

مع:

$$(IX-19) \quad \epsilon_{\mu\nu\rho\sigma} = \epsilon_{\mu\nu\rho\sigma} = \begin{cases} +1 & \text{إذا كانت المؤشرات } \mu, \nu, \rho, \sigma \text{ تشكّل تبادلاً} \\ & \text{مزدوجاً للأعداد } 1, 2, 3, 0 \\ -1 & \text{إذا كانت المؤشرات } \mu, \nu, \rho, \sigma \text{ تشكّل تبادلاً} \\ & \text{مفرداً للأعداد } 1, 2, 3, 0 \\ 0 & \text{إذا كان إثنان من المؤشرات متساويين} \end{cases}$$

(2) شرط لورنتز  $\partial^\mu \varphi_\mu = \partial^\mu \bar{\varphi}_\mu = 0$  يحدّد دالة المعيار  $\psi$  نوعاً ما بفرض الشرط  $\square \psi = 0$ .

نجد:

$$(IX-20) \quad \begin{aligned} \varphi^{*23} = \varphi_{23}^* = \varphi_{10} = -\varphi^{10} , \quad \varphi^{*10} = -\varphi_{10}^* = \varphi_{23} = \varphi^{23} \\ \varphi^{*31} = \varphi_{31}^* = \varphi_{20} = -\varphi^{20} , \quad \varphi^{*20} = -\varphi_{20}^* = \varphi_{31} = \varphi^{31} \\ \varphi^{*12} = \varphi_{12}^* = \varphi_{30} = -\varphi^{30} , \quad \varphi^{*30} = -\varphi_{30}^* = \varphi_{12} = \varphi^{12} \end{aligned}$$

وتكتب المعادلة (M<sub>2</sub>) أيضاً بالصيغة:

$$(M_2)^* \quad \boxed{\partial_\rho \varphi^{*\mu\rho} = 0}$$

إذا أجرينا تحويل لورنتز العام

$$x^\mu = a^\mu_\nu x'^\nu , \quad x'^\mu = a^\mu_\nu x^\nu ,$$

حيث العامل الثابت  $a^\mu_\nu = \frac{\partial x^\mu}{\partial x'^\nu}$  و  $a^{\mu'}_\nu = \frac{\partial x^{\mu'}}{\partial x^\nu}$  يخضع للعلاقات المميزة لتحويلات لورنتز، تتحول الكميات:

$$\partial_\mu = \frac{\partial}{\partial x^\mu} = \frac{\partial}{\partial x'^\lambda} \frac{\partial x'^\lambda}{\partial x^\mu} = a^{\lambda'}_\mu \partial'_\lambda \quad \text{و } J_\mu \text{ و } \varphi_\mu$$

كمركبات متجهات رباعية. ومن جهة ثانية الكميات  $f^{\mu\nu}$  و  $\varphi_{\mu\nu}$  المرتبطة بالمجالات والتحريضات الكهرمغناطيسية وفقاً للمعادلة (VI - 86) و (VI - 87) تتحول مثل مركبات الموترات المتخالفة المتناظر من الرتبة الثانية أي:

$$(IX-21) \quad f_{\mu\nu} = \frac{1}{2} (a^\rho_\mu a^\sigma_\nu - a^\sigma_\mu a^\rho_\nu) f_{\rho\sigma} ,$$

$$f'^{\mu\nu} = \frac{1}{2} (a^{\mu'}_\rho a^{\nu'}_\sigma - a^{\mu'}_\sigma a^{\nu'}_\rho) f^{\rho\sigma}$$

$$(IX-22) \quad \varphi_{\mu\nu} = \frac{1}{2} (a^\rho_\mu a^\sigma_\nu - a^\sigma_\mu a^\rho_\nu) \varphi_{\rho\sigma} ,$$

$$\varphi'^{\mu\nu} = \frac{1}{2} (a^{\mu'}_\rho a^{\nu'}_\sigma - a^{\mu'}_\sigma a^{\nu'}_\rho) \varphi^{\rho\sigma}$$

فتحافظ معادلات ماكسويل ( $M_1$ ) و ( $M_2$ ) و ( $M_2^*$ ) و ( $M_3$ ) على صيغتها في جميع الهياكل الاسنادية لدى إجراء تحويل لورنتز<sup>(3)</sup>.

#### 4) نظرية لورنتز في الإلكترونات - موتر الطاقة والزخم

أ - المجال المجهري والتيار الرباعي: تكتب معادلات المجال المجهري كما يلي:

$$(IX-23) \quad \text{curl } h - \frac{1}{c} \frac{\partial e}{\partial t} = \frac{4 \pi}{c} \rho v$$

$$(IX-24) \quad \text{curl } e + \frac{1}{c} \frac{\partial h}{\partial t} = 0$$

(IX-25)

$$\text{div } e = 4 \pi \rho$$

(IX-26)

$$\text{div } h = 0$$

ويمكن إعادة كتابة هذه المعادلات بصياغة نسبية رباعية بإدخال الموتر.

$$(IX-27) \quad \varphi_{\mu\nu} = \begin{bmatrix} 0 & h_3 & -h_2 & e_1 \\ -h_3 & 0 & h_1 & e_2 \\ h_2 & -h_1 & 0 & e_3 \\ -e_1 & -e_2 & -e_3 & 0 \end{bmatrix}$$

وكتافة التيار الرباعية:

$$(IX-28) \quad v = (v^1, v^2, v^3). \quad j^\mu = \left( \frac{4 \pi}{c} \rho v, \ddot{4} \pi \rho \right)$$

فتكتب المعادلات من (IX-23) إلى (IX-26) بالصيغة

$$(L_1) \quad \partial_\rho \varphi^{\mu\rho} = J^\mu$$

$$(L_2) \quad \partial_\rho \varphi_{\mu\nu} + \partial_\nu \varphi_{0\mu} + \partial_\mu \varphi_{\nu\rho} = 0$$

(3) لقد بين بوانكاريه أن معادلات ماكسويل تحافظ على صيغتها في جميع هياكل الاسناد بتحويل لورنتز.

H. POINCARÉ. C.R. Ac. Sc., 140, 1905, 1504; Rend. Pal., 21, 1906, 129;

A. EINSTEIN. Ann. d. Phys., 17, 1905, 891;

H. MINKOWSKI Gott Nach. 1908, 53, Math. Ann. 68, 1910, 472.

تختصر المعادلة ( $L_1$ ) المعادلتين (IX-23) و (IX-25) مع جانب أيمن غير منعدم، و ( $L_2$ ) تختصر المعادلتين (IX-24) و (IX-26) بدون جانب أيمن. ومن  $L_1$  نستنتج معادلة الإستمرارية:

(IX-29)

$$\partial_{\mu} j^{\mu} = 0$$

واستناداً إلى التحديد (IX-28) يكون المتجه الرباعي  $j_{\mu}$  متناسباً مع السرعة الكونية للشحن الكهربائية أي:

(IX-30)

$$j_{\mu} = 4 \pi \rho_0 u_{\mu}$$

حيث  $\rho_0$  هي كثافة الشحن الكهربائية في هيكل الاسناد الذاتي، أي الكثافة كما يقيسها مشاهد يتحرك مع الشحن الكهربائية (فتكون الشحن ثابتة بالنسبة إليه). نجد فعلاً إذا أخذنا بعين الاعتبار المعادلات (IX-30) و (VII - 12).

$$(IX-31)_1 \quad j_p = 4\pi\rho_0 u_p = - \frac{4 \pi \rho_0 v^p}{c \sqrt{1 - \beta^2}} = - \frac{4 \pi \rho}{c} v^p$$

$$(IX-31)_2 \quad j_0 = 4\pi\rho_0 u_0 = \frac{4\pi\rho_0}{\sqrt{1 - \beta^2}} = 4 \pi \rho$$

مع:

(IX-32)

$$\rho = \frac{\rho_0}{\sqrt{1 - \beta^2}}$$

فتكون كمية الشحن الكهربائية في الحجم  $dV$  استناداً إلى (V - 43) و (IX-32):

$$(IX-33) \quad dq = \rho dV = \frac{\rho_0}{\sqrt{1 - \beta^2}} dV_0 \sqrt{1 - \beta^2} = \rho_0 dV_0 = dq_0.$$

وهي ثابتة في التحويل. بشكل خاص تكون شحنة الإلكترون  $q$  متساوية في كل هياكل الاسناد اللورنتزية.

ب - قوة لورنتز: تتيح الصيغة المتجهية لقوة لورنتز:

$$(IX-34) \quad \mathbf{f} = \rho \left( \mathbf{e} + \left[ \frac{\mathbf{v}}{c} \wedge \mathbf{h} \right] \right)$$

أن نحدد المركبات الفضائية الثلاث  $f^p$  للمتجه الرباعي:

$$(IX-35) \quad \boxed{f_{\mu} = \frac{1}{4\pi} \varphi^{\rho\mu} j_{\rho}}$$

إذ ان هذه الصيغة تعطى بالتفصيل:

$$(IX-36) \quad f^p = \frac{1}{4\pi} (\varphi_{pq} j^q + \varphi_{p0} j^0)$$

ونجد بعد استعمال (IX-27) و (IX-31)

$$(IX-37) \quad f^p = \rho \left( e_p + \varphi_{pq} \frac{v^q}{c} \right) = \rho \left( e_p + \left[ \frac{\mathbf{v}}{c} \wedge \mathbf{h} \right]_p \right).$$

أما المركبة الرابعة فهي

$$(IX-38) \quad f^0 = \frac{1}{4\pi} \varphi^{p0} j_p = \frac{\rho}{c} \varphi_{p0} v^p = \rho \left( \frac{\mathbf{v}}{c} \cdot \mathbf{e} \right).$$

وتمثل استناداً إلى (IX-37) القدرة Power  $f \cdot \frac{d\mathbf{l}}{dx^0}$  للقوى الكهربائية.

ج - موتر الطاقة والزخم أو موتر ماكسويل:

لنحدد الموتر من الرتبة الثانية:

$$(IX-39) \quad \tau_{\mu}^{\lambda} = -\varphi_{\mu\rho} \varphi^{\lambda\rho} + \frac{1}{4} \delta_{\mu}^{\lambda} \varphi_{\rho\sigma} \varphi^{\rho\sigma}$$

أو:

$$(IX-40) \quad \tau_{\mu\nu} = g_{\nu\lambda} \tau_{\mu}^{\lambda} = -\varphi_{\mu\rho} \varphi_{\nu}^{\rho} + \frac{1}{4} g_{\mu\nu} \varphi_{\rho\sigma} \varphi^{\rho\sigma}$$

حيث:

$$(IX-41) \quad g_{\mu\nu} = \eta_{\mu\nu} = \delta_{\mu\nu} (-1, -1, -1, +1).$$

مما يعني أن هذا الموتر متناظر:

$$(IX-42) \quad \tau_{\mu\nu} = \tau_{\nu\mu}$$

ويمكن أن نكتب مركباته بشكل جدول:

$$(IX-43) \quad \tau_{\mu\nu} = \begin{vmatrix} \tau_{11} & \tau_{12} & \tau_{13} & -4\pi S_1 \\ \tau_{21} & \tau_{22} & \tau_{23} & -4\pi S_2 \\ \tau_{31} & \tau_{32} & \tau_{33} & -4\pi S_3 \\ -4\pi S_1 & -4\pi S_2 & -4\pi S_3 & 4\pi\omega \end{vmatrix}$$

حيث:

$$(IX-44) \quad \tau_{pq} = - (e_p e_q + h_p h_q) + \frac{1}{2} \delta_{pq} (e^2 + h^2)$$

$$(IX-45) \quad s_p = \frac{1}{4\pi} [e \wedge h]_p$$

$$(IX-46) \quad \omega = \frac{1}{8\pi} (e^2 + h^2).$$

ترتبط المركبات  $\tau_{p0}$  لهذا الموتر بكثافة الزخم لتوزيع الشحن أما  $\tau_{00}$  فهي كثافة الطاقة.

لنحسب تباعد موتر الصيغة (IX-39) نجد:

$$(IX-47) \quad \partial_\lambda \tau_\mu^\lambda = - (\partial_\lambda \varphi_{\mu\rho}) \varphi^{\lambda\rho} - \varphi_{\mu\rho} \partial_\lambda \varphi^{\lambda\rho} + \frac{1}{4} \partial_\mu (\varphi_{\rho\sigma} \varphi^{\rho\sigma})$$

أي إذا أخذنا بعين الاعتبار تخالف التناظر بالمؤشرات  $\lambda$  و  $\rho$  والتحديد  $(L_1)$  للتيار:

$$(IX-48) \quad \partial_\lambda \tau_\mu^\lambda = - \frac{1}{2} (\partial_\lambda \varphi_{\mu\rho} + \partial_\rho \varphi_{\lambda\mu}) \varphi^{\lambda\rho} + \varphi_{\mu\rho} j^\rho + \frac{1}{4} \partial_\mu (\varphi_{\rho\sigma} \varphi^{\rho\sigma})$$

ويمكن أن نكتب إذا استعملنا معادلة ماكسويل  $(M_2)$

$$\partial_\lambda \tau_\mu^\lambda = \frac{1}{2} (\partial_\mu \varphi_{\rho\lambda}) \varphi^{\lambda\rho} + \varphi_{\mu\rho} j^\rho + \frac{1}{4} \partial_\mu (\varphi_{\rho\sigma} \varphi^{\rho\sigma})$$

أو:

$$(IX-50) \quad \begin{aligned} \frac{1}{2} (\partial_\mu \varphi_{\rho\lambda}) \varphi^{\lambda\rho} &= \frac{1}{2} \eta^{\lambda\sigma} \eta^{\sigma\tau} (\partial_\mu \varphi_{\rho\lambda}) \varphi_{\sigma\tau} \\ &= \frac{1}{4} \eta^{\lambda\sigma} \eta^{\rho\tau} \partial_\mu (\varphi_{\rho\lambda} \varphi_{\sigma\tau}) \\ &= \frac{1}{4} \partial_\mu (\varphi_{\rho\lambda} \varphi^{\lambda\rho}) = - \frac{1}{4} \partial_\mu (\varphi_{\rho\sigma} \varphi^{\rho\sigma}) \end{aligned}$$

وتكتب المعادلة (IX-49) أيضاً:

(IX-51)

$$\partial_\lambda \tau_\mu^\lambda = \varphi_{\mu\rho} j^\rho$$

وإذا رجعنا إلى المعادلة (IX-35) نرى أن الجانب الأيمن لهذه المعادلة يظهر فيه المتجه الرباعي:

(IX-52)

$$4 \pi f_\mu = \varphi_{\rho\mu} j^\rho$$

الذي تمثل مركباته الفضائية قوة لورنتز. فنكتب إذاً:

(IX-53)

$$\partial_\lambda \tau_\mu^\lambda = -4 \pi f_\mu$$

أما المركبة الرابعة لهذه المعادلة (أي إذا وضعنا  $\mu = 0$ ) فتكتب:

(IX-54)

$$\partial_\rho \tau_0^\rho + \partial_0 \tau_0^0 = -4 \pi f_0$$

أي استناداً إلى المعادلات (IX-43) و (IX-38):

(IX-55)

$$\frac{1}{c} \frac{\partial \omega}{\partial t} + \text{div } s = -\rho \left( \frac{v}{c} \cdot e \right).$$

تنقل هذه المعادلة قاعدة بوينتنگ (52 - III) إلى نظرية لورنتز، فالصيغة (IX-53) تحدد قوة لورنتز وأيضاً قانون حفظ الطاقة الكهربائية.

### 5) معادلات لورنتز ومعادلات ماكسويل

يمكن أن نستخلص معادلات ماكسويل من معادلات لورنتز المجهرية إذا افترضنا أن المادة ساكنة<sup>(4)</sup> (ارجع إلى المقطع الخامس من الفصل الرابع). إذا يمكن اثبات معادلات ماكسويل (I) و (II) و (III) و (V) في هياكل الاسناد المرتبطة بالأجسام الموصلة أو الناقلة. وفي هذه الهياكل تكون العلاقتان  $D = E$  و  $B = \mu H$  بين المجال والتحريض الكهرمغناطيسيين صحيحتين. نرسم إلى الكميات المقيسة في هيكل الاسناد الذاتي بوضع مؤشر (0) فتكون المعادلات التالية المستنتجة كما في الفصل الرابع صحيحة في هذا الهيكل.

H.A. LORENTZ. The Theory of electrons (Leipzig. 1916).

(4)



$$(I)^0 \quad \text{curl}^{(0)} H \left\{ \begin{array}{c} \rho \\ \mu\nu \end{array} \right\} - \frac{1}{c} \frac{\partial D^{(0)}}{\partial t} = \frac{4\pi}{c} I^{(0)} \quad \left| \begin{array}{l} \text{curl}^{(0)} E^{(0)} + \frac{1}{c} \frac{\partial B^{(0)}}{\partial t} = 0 \\ \text{div}^{(0)} B^{(0)} = 0 \end{array} \right.$$

$$(III)^0 \quad \text{div}^{(0)} D^{(0)} = 4\pi\rho^{(0)}$$

$$(II)^0 \quad \begin{cases} (1) & D^{(0)} = \epsilon E^{(0)} \\ (2) & B^{(0)} = \mu H^{(0)} \\ (3) & I^{(0)} = \sigma_c E^{(0)} \end{cases}$$

وبشكل خاص تعبر المعادلة 3 - (II)<sup>0</sup> عن قانون أوم في هيكل الاسناد المرتبط بالمادة.

لقد رأينا في المقطع الأول من هذا الفصل أن مجموعتي المعادلات (I) و (III) لا تتغيران من هيكل إلى آخر باستعمال تحويل لورنتز. إذ تتحول المركبات  $J_\mu$  مثل مركبات المتجه الرباعي ومركبات المتجهات الثلاثية  $H$  و  $D$  من جهة و  $E$  و  $B$  من جهة ثانية مثل مركبات موترين متخالفين التناظر من الرتبة الثانية، لذلك نحدد هذين الموترين وكثافة التيار كما يلي:

$$(IX - 56) \quad f_{\mu\nu}^{(0)} = \begin{vmatrix} 0 & H_3^{(0)} & -H_2^{(0)} & D_1^{(0)} \\ -H_3^{(0)} & 0 & H_1^{(0)} & D_2^{(0)} \\ H_2^{(0)} & -H_1^{(0)} & 0 & D_3^{(0)} \\ -D_1^{(0)} & -D_2^{(0)} & -D_3^{(0)} & 0 \end{vmatrix}$$

$$\varphi'_{\mu\nu} = \begin{vmatrix} 0 & B_3^{(0)} & -B_2^{(0)} & E_1^{(0)} \\ -B_3^{(0)} & 0 & B_1^{(0)} & E_2^{(0)} \\ B_2^{(0)} & -B_1^{(0)} & 0 & E_3^{(0)} \\ -E_1^{(0)} & -E_2^{(0)} & -E_3^{(0)} & 0 \end{vmatrix}$$

$$(IX-57) \quad J_\mu^{(0)} = \left( -\frac{4\pi}{c} I^{(0)}, 4\pi\rho^{(0)} \right)$$

مما يجعل مجموعات المعادلات (I)<sup>0</sup> و (III)<sup>0</sup> و (II)<sup>0</sup> تكتب كما يلي:

$$(M_1)^0 \quad \partial_\rho^{(0)} f_{\mu\rho}^{(0)} = J_\mu^{(0)}$$

$$(M_3)^0 \quad \partial_\rho^{(0)} \varphi_{\mu\nu}^{(0)} + \varphi_{\nu\rho}^{(0)} \partial_\mu^{(0)} + \partial_\mu^{(0)} \varphi_{\nu\rho}^{(0)} = 0$$

$$(1) f_{p0}^{(0)} = \epsilon \varphi_{p0}^{(0)}$$

$$(M_4)^{(0)} \quad (2) f_{pq}^{(0)} = \frac{1}{\mu} \varphi_{pq}^{(0)}$$

$$(3) J_p^{(0)} = \frac{4\pi\sigma}{c} \varphi_{p0}^{(0)}$$

فإذا أجرينا تحويل لورنتز تحول المعادلات  $(M_1)^{(0)}$  و  $(M_2)^{(0)}$  إلى المعادلات  $(M_1)$  و  $(M_2)$  الصالحة في أي هيكل إسناد لورنتزي<sup>(5)</sup>.

$$(M_1) \quad \partial_\rho f^{\mu\rho} = J^\mu$$

$$(M_2) \quad \partial_\rho \varphi_{\mu\nu} + \partial_\nu \varphi_{\rho\mu} + \partial_\mu \varphi_{\nu\rho} = 0$$

أما المعادلات  $(M_4)^{(0)}$  فتتغير صيغتها بالذات من هيكل إسناد إلى آخر عند إجراء تحويل لورنتز. فصيغتها تناسب فقط الهيكل الذاتي ولا يمكن كتابتها في هياكل الإسناد الأخرى.

### أ - كثافة التيار الرباعية:

يمكن أن نحسب كثافة التيار  $J_\mu$  التي تدخل في معادلات ماكسويل  $(M_1)$  من الكثافة  $J_\mu^{(0)}$  في هيكل الإسناد الذاتي للمادة بواسطة تحويل لورنتز. تمثل المركبات  $\rho^{(0)}$  و  $I^{(0)}$  للمتجه الرباعي  $J^{(0)}$  القيم الوسطية  $\bar{\rho}$  و  $\bar{\rho V}$  لكثافة الشحن الكهربائية وكثافة تيار التحرك كما يحددان في النظرية المجهرية. فإذا أجرينا تحويل لورنتز إلى هيكل الإسناد S نجد:

$$(IX-58) \quad J_\mu = a_{\mu\lambda}^{\lambda(0)} J_\lambda^{(0)} = a_{\mu 0}^{0(0)} J_0^{(0)} + a_{\mu p}^{p(0)} J_p^{(0)}$$

وبشكل خاص إذا كان التحويل دون دوران تكون قيم المعاملات كما في المعادلات (VI - 62) و (VI - 63) فنجد للصيغة (IX-58)<sup>(6)</sup>:

H. MINKOWSKI. Gött Nach. 1908, 53. Math. Ann., 68, 1910, 472. (5)

نجد فعلاً: (6)

$$a_0^{0(0)} = u_0 = \frac{1}{\sqrt{1 - \beta^2}}, \quad a_p^{0(0)} = a_0^{p(0)} = u_p, \quad a_p^{r(0)} = a_r^{p(0)} = \delta_p^r + \frac{au_p}{u_s u^s} u^r$$

وتقود هذه إلى الصيغ (IX-59)<sub>1</sub> أو (IX-59)<sub>2</sub>.

$$(IX-59)_1 \quad J_p = J_p^{(0)} - v_p \left\{ J_r^{(0)} v^r \frac{\alpha}{v^2} - \frac{J_0^{(0)}}{c \sqrt{1 - \beta^2}} \right\}$$

$$(IX-59)_2 \quad J_0 = \frac{J_0^{(0)} - \frac{J_r^{(0)} v^r}{c}}{\sqrt{1 - \beta^2}}$$

حيث:

$$(IX-60) \quad v_2 \sum_r (v^r)_2, \quad \beta_2 = \frac{v^2}{c^2}$$

$$(IX-61) \quad \alpha = \frac{1}{\sqrt{1 - \beta^2}} - 1$$

وإذا رجعنا إلى صيغ السرعة الرباعية، تكتب المعادلات (IX-59) أيضاً<sup>(7)</sup>:

$$(IX-62)_1 \quad J_p = J_0^{(0)} u_p + J_p^{(0)} + \frac{\alpha u_p}{u_s u^s} (J_r^{(0)} u^r)$$

$$(IX-62)_2 \quad J_0 = J_0^{(0)} u^r - J_r^{(0)} u^r$$

ويمكن أن نكتب أيضاً الصيغة (IX-62)<sub>1</sub> بالشكل التالي:

$$(IX-63) \quad J_p = J_p^{(0)} + \rho_1 u_p$$

إذا حددنا  $\rho_1$  بأنها:

$$(IX-64) \quad \rho_1 = J_0^{(0)} + \frac{\alpha}{u_s u^s} J_r^{(0)} u^r$$

ولكن تجزيء  $J_p$  إلى  $J_p^{(0)}$  و  $\rho_1 u_p$  في (IX-63) ليس ثابتاً في تحويل لورنتز<sup>(8)</sup> ويمكن أن نكتب الصيغ (IX-62) بطريقة ثابتة في التحويل  $u$  بوضع:

(7) طبعا في حالة التحويل الخاص  $u = u_1$  تصبح (IX-59):

$$J_1 = \frac{J_1^{(0)} - \beta J_0^{(0)}}{\sqrt{1 - \beta^2}}, \quad J_2 = J_2^{(0)}, \quad J_3 = J_3^{(0)}, \quad J_0 = \frac{J_0^{(0)} - \beta J_1^{(0)}}{\sqrt{1 - \beta^2}}$$

(8) انظر في الصفحة 197 من المرجع [16] C.MOLLER.

(IX-65)

$$J_{\mu} = J_0^{(0)} u_{\mu} + I_{\mu}$$

حيث يرمز  $I_{\mu}$  إلى المتجه الرباعي:

$$(IX-66) \quad I_{\mu} = a_{\mu}^{r(0)} J_r^{(0)} = (a_p^{r(0)} J_r^{(0)}, -J_r^{(0)} u^r)$$

الذي يطابق  $J_r^{(0)}$  في الهيكل الاسنادي الذاتي ( $u^r = 0$ ) إذ نجد:

$$(IX-67) \quad I_{\mu}^{(0)} = (J_r^{(0)}, 0).$$

هكذا حتى عندما تكون كثافة الشحن منعدمة في هيكل الاسناد الذاتي ( $J_0^{(0)} = 0$ ) نجد قيمة كثافة الشحن في هيكل اسناد غاليلي آخر مساوية لـ:

$$(IX-68) \quad J_0 = I_0 = -J_r^{(0)} u^r$$

نتيجة لتيار النقل الكهربائي ذي القيمة  $J_r^{(0)}$  في الهيكل الاسنادي الذاتي. أما إذا كان تيار النقل منعدماً في الهيكل الذاتي كما هو حال الأجسام الكهرونافذة ( $J_r^{(0)} = 0$ ) نجد في هيكل الاسناد الأخير:

$$(IX-69) \quad J_{\mu} = J_0^{(0)} u_{\mu}$$

أي أن كثافة التيار متناسبة مع السرعة الرباعية للجسم.

### ب - العلاقات بين المجال والتحريض:

خلافاً للمعادلات (I) و (III) الثابتة في التحويل لا تحافظ العلاقات (II) على صيغتها عند إجراء تحويل لورنتز. فالمعادلات  $(M_4)^0$  صالحة فقط في الهيكل الاسنادي الذاتي للمادة. أما في الهياكل الأخرى فنحدد المتجهات الرباعية:

$$(IX-70) \quad \bar{E}_{\mu} = \varphi_{\mu\rho} u^{\rho}, \quad \bar{B}_{\mu} = \varphi_{\mu\rho} u^{\rho}$$

$$(IX-71) \quad \bar{D}_{\mu} = f_{\mu\rho} u^{\rho}, \quad \bar{H}_{\mu} = a_{\mu\rho}^* u^{\rho}$$

التي تدخل فيها الموترات  $\varphi_{\mu\rho}$  و  $f_{\mu\rho}$  المحددة بالمعادلات (IX-8) والموترات الثنوية المحددة بالمعادلات (IX-18).

فإذا استعملنا الصيغ (IX-8) للموتَّرات  $\varphi_{\mu\rho}$  و  $f_{\mu\rho}$  نلاحظ أن المركبات  $\bar{E}_\mu$  و  $\bar{B}_\mu$  و  $\bar{D}_\mu$  و  $\bar{H}_\mu$  تكتب بالصيغ:

$$(IX-72) \quad \bar{E}_\mu = \frac{1}{\sqrt{1-\beta^2}} \left( \tilde{E}, \left( \tilde{E} \cdot \frac{v}{c} \right) \right)$$

$$\bar{B}_\mu = \frac{1}{\sqrt{1-\beta^2}} \left( \tilde{B}, \left( \tilde{B} \cdot \frac{v}{c} \right) \right)$$

$$(IX-73) \quad \bar{D}_\mu = \frac{1}{\sqrt{1-\beta^2}} \left( \tilde{D}, \left( \tilde{D} \cdot \frac{v}{c} \right) \right) ,$$

$$\bar{H}_\mu = \frac{1}{\sqrt{1-\beta^2}} \left( \tilde{H}, \left( \tilde{H} \cdot \frac{v}{c} \right) \right)$$

حيث وضعنا:

$$(IX-74) \quad \tilde{E} = E + \left( \frac{v}{c} \wedge B \right) , \quad \tilde{B} = B + \left( \frac{v}{c} \wedge E \right)$$

$$(IX-75) \quad \tilde{D} = D + \left( \frac{v}{c} \wedge D \right) , \quad \tilde{H} = H + \left( \frac{v}{c} \wedge H \right).$$

أما في هيكل الاسناد الذاتي ( $v = 0$ ) فتصبح المتجهات الرباعية في الصيغة (IX-72) و (IX-73):

$$(IX-76) \quad \bar{E}_\mu = (E^{(0)}, 0) \quad \bar{B}_\mu = (B^{(0)}, 0)$$

$$(IX-77) \quad \bar{D}_\mu = (D^{(0)}, 0) \quad \bar{H}_\mu = (H^{(0)}, 0).$$

هكذا تكون صيغة المعادلتين الأوليين ( $M_4$ ) في أي هيكل إسناد غاليلي

$$(IX-78) \quad \bar{D} = \epsilon \tilde{E} , \quad \tilde{H} = \frac{1}{\mu} \tilde{B}$$

أي:

$$(IX-79) \quad \bar{D}_\rho = \epsilon \bar{E}_\rho , \quad \bar{H}_\rho = \frac{1}{\mu} \bar{B}_\rho$$

أو:

(IX-80)

$$f_{\rho\sigma} u^\sigma = \epsilon \varphi_{\rho\sigma} u^\sigma$$

(IX-81)

$$f^*_{\rho\sigma} u^\sigma = \frac{1}{\mu} \varphi^*_{\rho\sigma} u^\sigma$$

وتكتب أيضاً الصيغة (IX-81) بالصيغة التالية

$$(IX-82) \quad f_{\mu\nu} u_\rho + f_{\rho\mu} u_\nu + f_{\nu\rho} u_\mu = \frac{1}{\mu} (\varphi_{\mu\nu} u_\rho + \varphi_{\rho\mu} u_\nu + \varphi_{\nu\rho} u_\mu).$$

أما المعادلة الثالثة في (M<sub>4</sub>) فتصبح:

(IX-83)

$$J^\rho - u^\rho (J^\mu u_\mu) = -\frac{4\pi\sigma c}{c} \varphi^{\rho\sigma} u_\sigma.$$

يمثل الجانب الأيسر لهذه المعادلة تيار النقل أي التيار العام  $J^\rho$  ينقص منه تيار التحرك:

$$(IX-84) \quad u^\rho (J_\mu u_\mu) = u^\rho (J^\mu u_\mu)^{(0)} = u^\rho j^{(0)(0)}.$$

فتعني المعادلة (IX-83) إذاً أن تيار النقل  $I^\rho - \frac{4\pi}{c}$  متناسب مع المجال  $\bar{E}^\rho = \varphi^{\rho\lambda} u_\lambda$  بمعامل نسبة  $\sigma c - \frac{4\pi}{c}$ . وهذه هي الصيغة النسبية لقانون أوم.

ويمكن أن نكتب الصيغ المتجهية التالية بحل المعادلات (IX-80) و (IX-82) بالنسبة إلى D و B:

$$(IX-85) \quad D = \frac{1}{1-\epsilon\mu\beta^2} \left\{ \epsilon(1-\beta^2) E + (\epsilon\mu - 1) \left[ \left[ \frac{\mathbf{v}}{c} \wedge \mathbf{H} \right] - \epsilon \frac{\mathbf{v}}{c} \left( \frac{\mathbf{v}}{c} \cdot \mathbf{E} \right) \right] \right\}$$

$$(IX-86) \quad B = \frac{1}{1-\epsilon\mu\beta^2} \left\{ \mu(1-\beta^2) H - (\epsilon\mu - 1) \left[ \left[ \frac{\mathbf{v}}{c} \wedge \mathbf{E} \right] - \mu \frac{\mathbf{v}}{c} \left( \frac{\mathbf{v}}{c} \cdot \mathbf{H} \right) \right] \right\}$$

وتشكل هذه المعادلات تعميماً للصيغ المتجهية<sup>0</sup> (II) إلى هيكل إسناد غاليلي.

أما إذا كان الجسم غير مشحون:

$$(IX-87) \quad \epsilon\mu = 1$$

نجد أن العلاقات:

$$(IX-88) \quad D = \epsilon E \quad , \quad B = \mu H$$

تبقى صالحة في جميع هياكل الاسناد الغاليلية.

إذا أردنا الاحتفاظ بالصيغ المؤتدية، يمكن أن نكتب<sup>9</sup> العلاقة بين  $f_{\mu\nu}$  و  $\varphi_{\mu\nu}$ . لذلك نضرب المعادلة (IX-82) بالمتجه  $u^p$  وندعم المؤشر  $p$  أخذين بعين الاعتبار علاقة التناظر:

$$(VII - 13) \quad u_p u^p = 1$$

فنجد:

$$(IX-89) \quad f_{\mu\nu} + (f_{\rho\mu} u_\nu + f_{\nu\rho} u_\mu) u^p = \frac{1}{\mu} \varphi_{\mu\nu} + \frac{1}{\mu} (\varphi_{\rho\mu} u_\nu + \varphi_{\nu\rho} u_\mu) u^p$$

أي باستعمال الصيغة (IX-82):

$$(IX-90) \quad f_{\mu\nu} = \frac{1}{\mu} \varphi_{\mu\nu} + \left( \frac{1-\epsilon\mu}{\mu} \right) (\varphi_{\rho\mu} u_\nu + \varphi_{\nu\rho} u_\mu) u^p.$$

والعلاقة العكسية هي:

$$(IX-91) \quad \varphi_{\mu\nu} = \mu f_{\mu\nu} - \left( \frac{1-\epsilon\mu}{\epsilon} \right) (f_{\rho\mu} u_\nu + f_{\nu\rho} u_\mu) u^p.$$

أما إذا كان الجسم غير مشحون ( $\epsilon\mu = 1$ ) فنجد:

$$(IX-92) \quad f_{\mu\nu} = \epsilon\varphi_{\mu\nu} = \frac{1}{\mu} \varphi_{\mu\nu}.$$

## 6) موتر الطاقة والزخم

لنحدد الموتر غير المتناظر من الرتبة الثانية:

$$(IX-93) \quad (\tau\mu^\nu)_M = -\varphi_{\mu\rho} f^{\nu\rho} + \frac{1}{4} \delta_\mu^\nu \varphi_{\rho\sigma} f^{\rho\sigma}$$

الذي يطابق موتر ماكسويل في الفراغ (الخلاء) ( $f_{\mu\nu} = \varphi_{\mu\nu}$ ). وإذا حسبنا التباعد  $\partial_\nu \tau_\mu^\nu$  كما فعلنا للمعادلة (IX-48) نجد:

$$(IX-94) \quad \partial_\nu (\tau\mu^\nu)_M = \varphi_{\mu\rho} J^\rho + \frac{1}{4} (\varphi^{\rho\sigma} \partial_\mu f_{\rho\sigma} - f_{\rho\sigma} \partial_\mu \varphi^{\rho\sigma}).$$

بدلاً من (IX-51). وإذا أخذنا بعين الاعتبار (IX-90) مفترضين أن  $\epsilon$  و  $\mu$  ثابتان نجد:

$$(IX-95) \quad \varphi^{\rho\sigma} \partial_\mu f_{\rho\sigma} - f_{\rho\sigma} \partial_\mu \varphi^{\rho\sigma} = 4 \left( \frac{1-\epsilon\mu}{\mu} \right) \varphi^{\rho\sigma} \varphi_{\sigma\lambda} u^\lambda \partial_\mu u_\rho.$$

ومن ثم:

$$(IX-96) \quad \partial_\nu (\tau\mu^\nu)_M = \varphi_{\mu\rho} j^\rho - \left( \frac{1-\epsilon\mu}{\mu} \right) \varphi^{\sigma\rho} \varphi_{\sigma\lambda} u^\lambda \partial_\mu u_\rho.$$

فإذا كان الجسم قليل التشتيت ( $\epsilon\mu \neq 1$ ) نجد كما في حالة موتر ماكسويل:

$$(IX-97) \quad \partial_\nu (\tau\mu^\nu)_M = \varphi_{\mu\rho} J^\rho.$$

لنحسب مركبات الموتر  $(\tau_\mu^\nu)_M$  منطلقين من:

$$(IX-98) \quad (\tau\mu^\rho)_M = g^{\rho\nu} (\tau_{\mu\nu})_M = \eta^{\rho\nu} (\tau_{\mu\nu})_M, \quad \eta^{\rho\nu} = \delta^{\rho\nu} (-1 -1 -1 +1)$$

مع:

$$(IX-99) \quad (\tau_{\mu\nu})_M = \begin{vmatrix} \tau_{11} & \tau_{12} & \tau_{13} & -4\pi s_{10} \\ \tau_{21} & \tau_{22} & \tau_{23} & -4\pi s_{20} \\ \tau_{31} & \tau_{32} & \tau_{33} & -4\pi s_{30} \\ -4\pi s_{01} & -4\pi s_{02} & -4\pi s_{03} & 4\pi\omega \end{vmatrix}$$

فنجد استناداً إلى الصيغة (IX-93)

$$(IX-100) \quad \tau_{pq} = - (E_p D_q + H_p B_q) + \frac{1}{2} \delta_{pq} [(E \cdot D) + (H \cdot B)]$$



$$(IX-101) \quad s_{p0} = \frac{1}{4\pi} [\mathbf{B} \wedge \mathbf{D}]_p, \quad s_{0p} = \frac{1}{4\pi} [\mathbf{E} \wedge \mathbf{H}]_p$$

$$(IX-102) \quad \mathbf{W} = \frac{1}{8\pi} (\mathbf{E}\mathbf{D} + \mathbf{H}\mathbf{B}).$$

يسمى موتر الصيغة (IX-93) موتر منكوفسكي. وقد اقترح استبداله بالموتر المتناظر من الرتبة الثانية:

$$(IX-103) \quad (\tau_{\mu}^{\nu})_s = -\frac{1}{2} (\varphi_{\mu\rho} f^{\nu\rho} + f_{\mu\rho} \varphi^{\nu\rho}) + \frac{1}{4} \delta_{\mu}^{\nu} \varphi_{\rho\sigma} f^{\rho\sigma}$$

ف نجد عندئذ بدلاً من (IX-94)

$$(IX-104) \quad \partial_{\nu} (\tau_{\mu}^{\nu})_s = \varphi_{\mu\rho} J^{\rho} - \frac{1}{2} (f_{\mu\rho} \partial_{\nu} \varphi^{\nu\rho} - \varphi_{\mu\rho} \partial_{\nu} f^{\nu\rho}) \\ - \frac{1}{4} (\partial_{\nu} f_{\mu\rho} + \partial_{\rho} f_{\nu\mu} + \partial_{\mu} f_{\rho\nu}) \varphi^{\nu\rho}.$$

وإذا كان الجسم قليل التشثيت ( $\epsilon\mu \neq 1$ ) نجد:

$$(IX-105) \quad (\tau_{\mu}^{\nu})_M = (\tau_{\mu}^{\nu})_s$$

وإذا كانت  $\epsilon$  و  $\mu$  ثابتتين إضافة إلى ذلك نجد

$$(IX-106) \quad \partial_{\nu} (\tau_{\mu}^{\nu})_s = \partial_{\nu} (\tau_{\mu}^{\nu})_M = \partial_{\nu} \tau_{\mu}^{\nu} = \varphi_{\mu\rho} J^{\rho}.$$

### 7 استعمال الإحداثيات المنحنية

لقد درسنا حتى الآن الظواهر الكهرمغناطيسية باستعمال محاور متعامدة ومنظمة حسب القاعدة:

$$g_{\mu\nu} = \eta_{\mu\nu}, \quad \eta_{\mu\nu} = \delta_{\mu\nu} (-1, -1, -1, +1)$$

فتكون الصيغة الأساسية  $ds^2$  ثابتة في تحويل لورنتز وبالصيغة (VI - 22).

### 1 - معادلات ماكسويل:

تحافظ معادلات ماكسويل على صيغتها في جميع هياكل الاسناد المتعامدة والمنظمة. ولكنها لا تكون كذلك إذا استعملنا نظام إحداثيات منحنية بشكل عام، فتتغير عندئذ مركبات الموتر الأساسي  $g_{\mu\nu}$  من نقطة إلى أخرى. لكتابة معادلات

ماكسويل بصيغة ثابتة في التحويل يجب كما رأينا في الفصل السادس أن نستبدل المشتقات العادية بالمشتقات الموافقة للتغير. فنجد بدلاً من المعادلة (M<sub>1</sub>):

(IX-107)

$$\nabla_{\rho} f^{\mu\rho} = J^{\mu}$$

أما المعادلتان المتكافئتان equivalent:

(M<sub>2</sub>)

$$\partial_{\rho}\varphi_{\mu\nu} + \partial_{\nu}\varphi_{\rho\mu} + \partial_{\mu}\varphi_{\nu\rho} = 0$$

أو:

(M<sub>3</sub>)

$$\varphi_{\mu\nu} = \partial_{\mu}\varphi_{\nu} - \partial_{\nu}\varphi_{\mu}$$

فتبقيان صالحتين في الإحداثيات المنحنية<sup>(10)</sup>.

ومن المناسب استبدال المؤثر  $f^{\mu\nu}$  والتيار  $J^{\mu}$  بالكثافات المؤترة:

(IX-108)

$$\mathcal{F}^{\mu\nu} = \sqrt{-g} f^{\mu\nu} \quad (g = \det. g_{\mu\nu})$$

(IX-109)

$$J^{\mu} = \sqrt{-g} j^{\mu}.$$

فتكتب معادلة ماكسويل (IX-107) بالصيغة<sup>(11)</sup>:

(10) في الصيغ (M<sub>2</sub>) و (M<sub>3</sub>) يمكن استبدال المشتقات الموافقة للتغير بالمشتقات العادية بسبب التناظر في معاملات الاتصال إذ إن:

$$\nabla_{\rho}\varphi_{\mu\nu} + \nabla_{\nu}\varphi_{\rho\mu} + \nabla_{\mu}\varphi_{\nu\rho} \equiv \partial_{\rho}\varphi_{\mu\nu} + \partial_{\nu}\varphi_{\rho\mu} + \partial_{\mu}\varphi_{\nu\rho} +$$

$$\left\{ \begin{matrix} \sigma \\ \mu\rho \end{matrix} \right\} \varphi_{\sigma\nu} + \left\{ \begin{matrix} \sigma \\ \nu\rho \end{matrix} \right\} \varphi_{\mu\sigma} + \left\{ \begin{matrix} \sigma \\ \rho\nu \end{matrix} \right\} \varphi_{\sigma\mu} + \left\{ \begin{matrix} \sigma \\ \mu\nu \end{matrix} \right\} \varphi_{\rho\sigma} + \left\{ \begin{matrix} \sigma \\ \rho\mu \end{matrix} \right\} \varphi_{\nu\rho} + \left\{ \begin{matrix} \sigma \\ \nu\mu \end{matrix} \right\} \varphi_{\sigma\rho}.$$

ولكن الكميات التي تدخل فيها الرموز  $\left\{ \begin{matrix} \sigma \\ \mu\rho \end{matrix} \right\}$  تنعدم أزواجاً بسبب تناظر هذه الرموز بالنسبة إلى المؤشرات السفلى والتناظر المتخالف لمؤشرات المؤثر  $\varphi_{\mu\nu}$ . وكذلك نجد:

$$\varphi_{\mu\nu} = \nabla_{\mu}\varphi_{\nu} - \nabla_{\nu}\varphi_{\mu} = \partial_{\mu}\varphi_{\nu} - \partial_{\nu}\varphi_{\mu} + \left\{ \begin{matrix} \sigma \\ \nu\mu \end{matrix} \right\} \varphi_{\sigma} - \left\{ \begin{matrix} \sigma \\ \mu\nu \end{matrix} \right\} \varphi_{\sigma} = \partial_{\mu}\varphi_{\nu} - \partial_{\nu}\varphi_{\mu}.$$

(11) استناداً إلى المعادلة (XIV-132) نكتب:

$$\begin{aligned} \partial_{\rho}\mathcal{F}^{\mu\sigma} &= \partial_{\rho}(\sqrt{-g} f^{\mu\sigma}) = \sqrt{-g} \left( \partial_{\rho} f^{\mu\sigma} + f^{\mu\sigma} \frac{\partial_{\rho} \sqrt{-g}}{\sqrt{-g}} \right) = \sqrt{-g} \left( \partial_{\rho} f^{\mu\sigma} + \left\{ \begin{matrix} \rho \\ \sigma\rho \end{matrix} \right\} f^{\mu\sigma} \right). \end{aligned}$$

$$(M_1) \quad \partial_\rho \mathcal{F}^{\mu\rho} = J^\mu.$$

ومن جهة ثانية يستبدل التحديد (IX-18) للموترات التثوية بالصيغ:

$$(IX-110) \quad \varphi^{\mu\nu*} = \frac{1}{2\sqrt{-g}} \epsilon^{\mu\nu\rho\sigma} \varphi_{\rho\sigma}, \quad \varphi^*_{\mu\nu} = -\frac{\sqrt{-g}}{2} \epsilon_{\mu\nu\rho\sigma} \varphi^{\rho\sigma}$$

حيث  $\epsilon_{\mu\nu\rho\sigma} = \epsilon^{\mu\nu\rho\sigma}$  هي رموز التبادل المحددة بالمعادلة (IX-19). هكذا يمكن أن نكتب المعادلة (M<sub>2</sub>) بالصيغة:

$$(M_2)^* \quad \partial_\rho (\sqrt{-g} \varphi^{\mu\rho*}) = 0$$

أو:

$$(IX-111) \quad \nabla_\rho \varphi^{\mu\rho*} = 0$$

تكتب إذا معادلات ماكسويل بالصيغ:

$$(M_1) \quad \partial_\rho (\sqrt{-g} f_{\mu\rho}) = J^\mu \quad \text{أو} \quad \nabla_\rho f^{\mu\rho} = J^\mu$$

$$(M_2)^* \quad \partial_\rho (\sqrt{-g} \varphi^{\mu\rho*}) = 0 \quad \text{أو} \quad \nabla_\rho \varphi^{\mu\rho*} = 0$$

ومنها نستنتج معادلة الاستمرارية:

$$(IX-112) \quad \nabla_\mu J^\mu = 0.$$

ومن جهة ثانية إذا كان الجسم قليل التشثيت  $\epsilon\mu = 1$  و  $\epsilon$  و  $\mu$  ثوابت نجد استناداً إلى (M<sub>3</sub>):

$$(IX-113) \quad \nabla^\nu \varphi_{\mu\nu} = \nabla^\nu \nabla_\mu \varphi_\nu - \nabla^\nu \nabla_\nu \varphi_\mu.$$

= ومن جهة ثانية:

$$\nabla_\rho f^{\mu\rho} \equiv \partial_\rho f^{\mu\rho} + \left\{ \begin{matrix} \mu \\ \sigma\rho \end{matrix} \right\} f^{\sigma\rho} + \left\{ \begin{matrix} \rho \\ \sigma\rho \end{matrix} \right\} f^{\mu\sigma}.$$

ولكن الحد الثاني من الجانب الأيمن ينعدم إذ إن الموتر  $f^{\mu\rho}$  متخالف التناظر. نستنتج إذا:

$$\nabla_\rho f^{\mu\rho} \equiv \partial_\rho f^{\mu\rho} + \left\{ \begin{matrix} \rho \\ \sigma\rho \end{matrix} \right\} f^{\mu\sigma}$$

ف نجد:

$$\partial_\rho \mathcal{F}^{\mu\rho} = \sqrt{-g} \nabla_\rho f^{\mu\rho} = \sqrt{-g} J^\mu = J^\mu.$$

الجانب الأيسر لهذه المعادلة يكتب أيضاً  $\mu J_\mu = \mu \nabla^\nu f_{\mu\nu}$  استناداً إلى المعادلات (IX-92) و (IX-107) فنجد في الفضاء الإقليدي<sup>(12)</sup>:

$$(IX-114) \quad \mu J_\mu = \nabla_\mu \nabla^\nu \varphi_\mu - \square \varphi_\mu$$

أو:

$$(IX-115) \quad \square \varphi_\mu = -\mu J_\mu$$

إذا فرضنا شرط لورنتز:

$$(IX-116) \quad \nabla^\nu \varphi_\nu = 0$$

وحدّدنا المؤثر operator  $\square$  بأنه:

$$(IX-117) \quad \square = \nabla^\rho \nabla_\rho = f^{\rho\sigma} \nabla_\rho \nabla_\sigma.$$

وإذا أحللنا الصيغة (IX-115) في  $(M_3)$  يمكن أن نكتب أيضاً:

$$(IX-118) \quad \square \varphi_{\mu\nu} = -\mu(\partial_\mu J_\nu - \varphi_\nu J_\mu).$$

### ب - مسار شحنة نقطية

استناداً إلى الميكانيك النسبي تكتب معادلة حركة جسيم خاضع للقوة  $F^\mu$  بالصيغة:

$$(VIII - 159) \quad F^\mu = m_0 c^2 u^\rho \nabla_\rho u^\mu$$

حيث  $u^\mu$  هو متجه السرعة الرباعي في نظام الاحداثيات المنحنية بشكل عام

$$(IX-119) \quad u^\mu = \frac{dy^\mu}{ds}.$$

وتكتب أيضاً المعادلة (VIII - 159) بالصيغة:

$$(IX-120) \quad F^\mu = m_0 c^2 \left( \frac{d^2 y^\mu}{ds^2} + \left\{ \begin{matrix} \mu \\ \sigma\rho \end{matrix} \right\} \frac{dy^\sigma}{ds} \frac{dy^\rho}{ds} \right).$$

(12) إذا كان الفضاء إقليدياً (حيث كل المنحنيات منعدمة) يجوز تغيير ترتيب المشتقات الموافقة للتغير (انظر (XV-135)) اي:

$$\nabla^\nu \nabla_\mu \varphi_\rho = \nabla_\mu \nabla^\nu \varphi_\rho.$$

في حالة جسيم مشحون تكون  $F^\mu$  قوة لورنتز:

$$(IX-35) \quad f^\mu = \frac{1}{4\pi} \varphi^{\rho\mu} j_\rho.$$

التي يمكن ربطها بموتر ماكسويل:

$$(IX-39) \quad \tau_\mu^\nu = -\varphi_{\mu\rho} \varphi^{\nu\rho} + \frac{1}{4} \delta_\mu^\nu \varphi_{\rho\sigma} \varphi^{\rho\sigma}$$

بالصيغة (أنظر (IX-53)):

$$(IX-121) \quad 4\pi f_\mu = -\nabla_\nu \tau_\mu^\nu$$

فتكون معادلة المسار:

$$(IX-122) \quad m_0 c^2 \left( \frac{d^2 y^\mu}{ds^2} + \left\{ \begin{matrix} \mu \\ \sigma\rho \end{matrix} \right\} \frac{dy^\sigma}{ds} \frac{dy^\rho}{ds} \right) = \frac{1}{4\pi} \varphi^{\rho\mu} j_\rho.$$

في الفراغ تكون كثافة التيار متناسبة مع سرعة الجسيم الرباعية كما رأينا في المعادلة:

$$(IX-30) \quad j_\rho = 4\pi\rho_0 u_\rho$$

فتكتب إذا معادلة المسار (IX-122):

$$(IX-123) \quad \frac{d}{ds} \left( u^\mu + \left\{ \begin{matrix} \mu \\ \sigma\rho \end{matrix} \right\} u^\sigma dy^\rho \right) = \frac{P_0}{m_0 c^2} \varphi^{\rho\mu} u_\rho$$

أو:

$$(IX-124) \quad \frac{dy^\lambda}{ds} \left( \sigma^\lambda u^\mu + \left\{ \begin{matrix} \mu \\ \sigma\lambda \end{matrix} \right\} u^\sigma \right) = \frac{P_0}{m_0 c^2} \varphi^{\rho\mu} u_\rho$$

أي:

$$(IX-125) \quad \boxed{u^\lambda \nabla_\lambda u^\mu = \frac{P_0}{m_0 c^2} \varphi^{\rho\mu} u_\rho.}$$

لقد كتبت المعادلات في هذا المقطع بنظام إحداثيات منحنية بشكل عام. وتحافظ هذه المعادلات على صيغتها في التحويل العام للإحداثيات.

$$y'^\mu = a^\mu{}_\nu y^\nu, \quad y^\mu = a^\mu{}_\nu y'^\nu$$

حيث تخضع المعاملات  $a_{\rho}^{\nu}$  و  $a_{\mu}^{\rho'}$  للشرط

$$a_{\mu}^{\rho'} a_{\rho}^{\nu} = a_{\mu}^{\rho} a_{\rho}^{\nu'} = \delta_{\mu}^{\nu}$$

ولكن  $a_{\nu}^{\mu'} = \frac{\partial y^{\mu}}{\partial y'^{\nu}}$  و  $a_{\nu}^{\mu} = \frac{\partial y'^{\mu}}{\partial y^{\nu}}$  وتتغير تبعاً لإحداثيات النقطة في الفضاء.

نشير إلى أنه في حالة الفضاء الإقليدي يمكن دائماً العودة إلى استعمال المحاور المستقيمة المتعامدة والمنظمة وفقاً للمعادلة (VI - 28). فتصبح معادلات ماكسويل بالصيغة  $(M_1)$  و  $(M_2)$  و  $(M_3)$ . وتحافظ هذه المعادلات على هذه الصيغة في تحويلات لورنتز بمعامل  $a_{\nu}^{\mu}$  و  $a_{\nu}^{\mu'}$  ثابتة وخاضعة للشروط  $(VI - 42)_b$  التي تميز تحويلات هيكل الاسناد الغاليلية.

## ب - امتدادات نظرية ماكسويل

(8) استخلاص معادلات ماكسويل من مبدأ الفعل المستقر Stationary action

لننتقل من التكامل المكتوب بإحداثيات منحنية بشكل عام.

$$(IX-126) \quad \mathcal{A} = \int \mathcal{L} d\tau, \quad d\tau = dy^1 \wedge dy^2 \wedge dy^3 \wedge dy^0$$

والمحسوب من الكثافة العددية<sup>(13)</sup> (السلمية).

$$(IX-127) \quad \mathcal{L} = \sqrt{-g} L.$$

نفترض أن الدالة  $L$  ثابتة في التحويل وتتغير تبعاً للكُمون  $\varphi_{\mu}$  مباشرة أو من خلال المجال الكهرمغناطيسي:

$$(IX-128) \quad \varphi_{\mu\nu} = \partial_{\mu}\varphi_{\nu} - \partial_{\nu}\varphi_{\mu}.$$

لنعط المتغيرات  $\varphi_{\mu}$  تغيراً  $\delta\varphi_{\mu}$  منعماً على حدود التكامل، ولنفرض الشرط:

$$(IX-129) \quad \delta\mathcal{A} = 0$$

(13) باستعمال الكثافة العددية نؤمن ثبات  $\mathcal{L}d\tau = L \cdot \sqrt{-g} d\tau$  في التحويل إذ إن  $\sqrt{-g} d\tau$  ثابتة في التحويل (ارجع إلى المعادلة (XIV-128)) والكثافة  $\mathcal{L}$  تطابق  $L$  إذا كان هيكل الاسناد متعامداً ومنظماً.

لكل تغيير  $\delta\varphi_\mu$ . نحدّد الكميات:

$$(IX-130) \quad \mathcal{F}^{\mu\nu} = \frac{\partial \mathcal{L}}{\partial \varphi_{\mu\nu}}, \quad J^\mu = \frac{\partial \mathcal{L}}{\partial \varphi_\mu}.$$

فنجد (14):

$$(IX-131) \quad \delta\mathcal{A} = \int \delta\mathcal{L}d\tau = \int \left( \frac{1}{2} \frac{\partial \mathcal{L}}{\partial \varphi_{\mu\nu}} \delta\varphi_{\mu\nu} + \frac{\partial \mathcal{L}}{\partial \varphi_\mu} \delta\varphi_\mu \right) d\tau \\ = \int \left( \frac{1}{2} \mathcal{F}^{\mu\nu} \delta\varphi_{\mu\nu} - J^\mu \delta\varphi_\mu \right) d\tau$$

وإذا حسبنا التكامل بالتجزىء نجد:

$$(IX-132) \quad \delta\mathcal{A} = \int \left[ \frac{1}{2} \mathcal{F}^{\mu\nu} (\partial_\mu \delta\varphi_\nu - \partial_\nu \delta\varphi_\mu) - J^\mu \delta\varphi_\mu \right] d\tau \\ = - \int \partial_\nu (\mathcal{F}^{\mu\nu} \delta\varphi_\mu) d\tau + \int (\partial_\nu \mathcal{F}^{\mu\nu} - J^\mu) \delta\varphi_\mu d\tau$$

يمكن تحويل التكامل الأول في الجانب الأيمن إلى تكامل على السطح المحيط بالحجم الرباعي الذي نحسب عليه التكامل فلا يعطي أيّة مساهمة لأن  $\delta\varphi_\mu$  منعدمة على هذا السطح كما افترضنا أعلاه. يقود الشرطان (IX-129) إذاً إلى المعادلة:

$$(IX-133) \quad \partial_\nu \mathcal{F}^{\mu\nu} = J^\mu.$$

هكذا نحصل على معادلة ماكسويل (IX-133) إذا افترضنا التحديد في الصيغة (IX-128) للمجال الكهرمغناطيسي ومبدأ الفعل المستقر (IX-129) مطبقاً على الكثافة العددية  $\mathcal{L}$  دون أي تحديد لصيغة هذه الكثافة. ونستطيع أن نكتب أيضاً:

$$(IX-134) \quad d\mathcal{L} = \frac{1}{2} \mathcal{F}^{\mu\nu} d\varphi_{\mu\nu} - J^\mu d\varphi_\mu$$

دون أي تحديد إضافي للدالة  $\mathcal{L}$ . والصيغة (IX-134) هي تعبير عن التحديدات (IX-130).

في الفراغ ( $\epsilon = \mu = 1$ ) نجد  $f_{\mu\nu} = \varphi_{\mu\nu}$ . وإذا لم يكن هناك شحن كهربائية أو

(14) إن المتغيرات التي تدخل في تغير  $\delta\mathcal{L}$  ليست مستقلة لأن  $\varphi_{\mu\nu} = -\varphi_{\nu\mu}$  لذلك ظهر المُعامل  $\frac{1}{2}$ .

تبار يمكن أن نختار الصيغة:

$$(IX-135) \quad L = \frac{1}{4} \varphi^{\mu\nu} \varphi_{\mu\nu}$$

للكثافة العددية وما هذه إلا الثابت  $H^2 - E^2$  في هياكل الاسناد المتعامدة والمنظمة.

إنطلاقاً من الكثافة الاختيارية  $\mathcal{L}(\varphi_{\mu\nu}, \varphi_\mu)$  نحصل على المعادلة (IX-133) أي معادلة ماكسويل ( $M_1$ ) ولكن لا يمكن أن نستخلص أية علاقة بين التحريض والمجال تميز النظرية الكهرمغناطيسية. لهذه الغاية يجب أن نختار الدالة  $\mathcal{L}$  المتغيرة تبعاً للمجالات والكمون بطريقة مناسبة.

هكذا إذا استعملنا الصيغة (IX-135) نجد:

$$(IX-136) \quad \mathcal{F}^{\mu\nu} = \frac{\partial \mathcal{L}}{\partial \varphi_{\mu\nu}} = \sqrt{-g} \varphi^{\mu\nu}$$

ولكن استعمال مبدأ الفعل المستقر لا يقود حتماً إلى المعادلات الخطية بين التحريض والمجال كما في نظرية ماكسويل. بل العكس من ذلك إذا اخترنا  $\mathcal{L}$  بطريقة مناسبة يمكن أن نصل إلى علاقات غير خطية فنتحاشى بذلك بعض صعوبات نظرية ماكسويل. ونظريات مي Mie وبورن - إنفلد Born-Infeld تدخل في هذا النطاق.

(9) نظرية مي<sup>(15)</sup> Mie:

تتمثل كثافة الطاقة الكهرمغناطيسية في نظرية ماكسويل بالمركبة  $\tau_0^0$  لموتر منكوفسكي (IX-93) حتى في حال تواجد المادة. ولكن هذا الموتر يشمل فقط التفاعلات الكهرمغناطيسية ولا يأخذ بالحسبان طاقة وزخم المادة ذاتها. والنسبية العامة لا تغير هذا المفهوم كما سنرى لاحقاً بل تحافظ على علم التحريك وعلم التحريك الكهربائي مستقلين الواحد عن الآخر.

ومن الممكن عكس ذلك أن نلغي هذه الثنائية ونفترض أن الطاقة الميكانيكية والطاقة الكهرمغناطيسية ليستا متغايرتين بل إن لهما جذوراً كهرمغناطيسية واحدة. هذا هو مبدأ نظرية مي. وتطمح هذه المحاولة إلى تعليل وجود الشحن الكهربائية وميزاتها استناداً إلى خصائص المجال. بالعكس من ذلك لا تستطيع نظرية لورنتز



تفسير وجود الشحن الكهربائية إلا بتأثير قوى غير كهرمغناطيسية. لتحاكي إدخال هذه القوى ينطلق مي من مفهوم غير ثنائي للمجال والمادة.

يفترض مي أن المجال محدد تماماً بعشر كميات فيزيائية. فاختار في البدء الكميات الأساسية التالية: التحريض الكهربائي  $D$  والتحريض المغناطيسي  $B$  والكمون المتجهي  $A$  وكثافة الشحن  $\rho$ ، أما الكميات الأخرى  $E$  و  $H$  والكمون العددي  $V$  وكثافة التيار  $I$  فتتغير تبعاً للكميات  $D$  و  $B$  و  $A$  و  $\rho$ . وافترض القوانين التالية لتغيير هذه الكميات مع الوقت:

$$(IX-137) \quad \frac{1}{c} \frac{\partial D}{\partial t} - \text{curl } H = - \frac{4 \pi}{c} I$$

$$(IX-138) \quad \frac{1}{c} \frac{\partial B}{\partial t} + \text{curl } E = 0$$

$$(IX-139) \quad \frac{1}{c} \frac{\partial A}{\partial t} + \text{grad } V = - E$$

$$(IX-140) \quad \frac{1}{c} \frac{\partial \rho}{\partial t} + \text{div } \frac{I}{c} = 0$$

وتتطابق هذه القوانين مع المعادلات (I) و (IV) و (III) في نظرية ماكسويل. ولكن هذه الأخيرة تفترض أن (IX-138) و (IX-139) تستخلص من المعادلتين  $B = \text{curl } A$  و  $\text{div } D = 4\pi\rho$  التي ليس لهما مثل في نظرية مي. إذ إن الكميات  $B$  و  $D$  و  $A$  و  $\rho$  مستقلة.

والمعادلة (IX-97) في نظرية ماكسويل التي تعبر عن قانون حفظ الطاقة في الأجسام القليلة التشثيت تصبح إذا  $\mu = 1$  المعادلة المتجهية:

$$(IX-141) \quad H \cdot \frac{1}{c} \frac{\partial B}{\partial t} + E \cdot \frac{1}{c} \frac{\partial D}{\partial t} + \text{div } [E \wedge H] = - \frac{4 \pi}{c} (I \cdot E).$$

ونحصل على المعادلة ذاتها في نظرية مي إذا حسبنا الجداء العددي لجانبي المعادلة (IX-137) بالمتجه  $E$  والمعادلة (IX-138) بالمتجه  $H$  وجمعنا النتيجتين. ومن جهة ثانية إذا حسبنا الجداء العددي للمعادلة (IX-139) بالمتجه  $I$  و ضربنا المعادلة (IX-140) بالكمية  $4\pi V$  وجمعنا النتيجتين نجد:

$$(IX-142) \quad 4\pi \left( \frac{I}{c^2} \frac{\partial A}{\partial t} + \frac{v}{c} \frac{\partial \rho}{\partial t} \right) + \frac{4 \pi}{c} \text{div } (I \cdot V) \\ = - \frac{4 \pi}{c} (I \cdot E).$$

ولكن تأويل هذه المعادلة يختلف تماماً عما هو في نظرية ماكسويل. إذ إن الحد  $IE - \frac{4\pi}{c}$  (الذي كان يعبر عن توليد طاقة غير كهرمغناطيسية من تغيرات طاقة المجال) لا يمكن أن يكون له معنى فيزيائي في نظرية مي التي تعتبر كل أنواع الطاقة كهرمغناطيسية. ولكن إذا طرحنا المعادلة (IX-142) من المعادلة (IX-141) نحصل على معادلة لا يظهر فيها الحد (IE)  $-\frac{4\pi}{c}$  فتكون هذه هي معادلة حفظ الطاقة الكهرمغناطيسية بالصيغة:

$$\frac{1}{c} \frac{\partial \omega}{\partial t} + \text{div } \Sigma = 0$$

حيث

$$dW = EdD + HdB - 4\pi \left( \frac{1}{c} dA + Vdp \right)$$

$$\Sigma = [E \wedge H] - \frac{4\pi}{c} (I.V)$$

فالمسألة إذاً هي إيجاد W وهذا ما يعادل تحديد الدالة

$$L = - (E.D) + 4\pi pV + \omega$$

انطلاقاً من العلاقة

$$dl = HdB - DdE + 4\pi \left( \rho dV - \frac{1}{c} dA \right) = \frac{1}{2} f^{\mu\nu} d\varphi_{\mu\nu} - J^\mu d\varphi_\mu$$

أخذين بالحسبان التحديدات (IX-8) و (IX-2).

وهكذا يرجع استنتاج معادلات المجال من الكثافة العددية

$$(IX-148) \quad d\mathcal{L} = d \sqrt{-g} L(\varphi_{\mu\nu}, \varphi_\mu) = \frac{1}{2} \mathcal{F}^{\mu\nu} d\varphi_{\mu\nu} - J^\mu d\varphi_\mu$$

ذات الصيغة غير المحددة إلى استعمال طريقة المقطع السابق. وتكون العلاقات المستخلصة من (IX-148) باستعمال مبدأ الفعل المستقر صالحة «خارج الشحن الكهربيائية». ولكن في نظرية مي نفترض أنه ليس هناك «خارج الشحن الكهربيائية». فالشرط  $J_\mu = 0$  هو حالة حدية. لذلك يجب استبدال الكثافة العددية (IX-148) بالدالة:

(IX-149)

$$L_m = \frac{1}{4} \varphi_{\mu\nu} \varphi^{\mu\nu} - f(\pm \sqrt{\varphi_\mu \varphi^\mu})$$

حيث  $f$  هي دالة عددية تتغير تبعاً للكُمون الكهرمغناطيسي ولا تتغير من هيكل إسناد إلى آخر باستعمال تحويل لورنتز.

### الحالة الخاصة للسكون مع تناح كروي

في حالة السكون تقبل المعادلات من (IX-137) إلى (IX-140) الحل:

$$(IX-150) \quad E = -\text{grad } V, \quad H = I = 0$$

ووفقاً للمعادلات (IX-30) و (IX-150) نجد  $\frac{\partial \mathcal{L}}{\partial \varphi_p} = \frac{\partial \mathcal{L}}{\partial \varphi_{pq}} = 0$

( $p, q = 1, 2, 3$ ) مما يعني أن الثابت في التحويل  $L_m$  يصبح في حالة السكون:

$$(IX-151) \quad L_m = -\frac{1}{2} \sum_r \varphi_{r0} \varphi_{r0} - f(V), \quad \varphi_0 = -V.$$

وإذا طبقنا التحديدات (IX-130) على الصيغة (IX-151) نجد:

$$(IX-152) \quad f^{p0} = \frac{\partial L_m}{\partial \varphi_{p0}} = \varphi^{p0}$$

$$(IX-153) \quad j^0 = 4\pi p = -\frac{\partial L_m}{\partial \varphi_0} = f'(\varphi_0) = -f'(V).$$

أما المعادلات (IX-137) - (IX-140) التي تعادل في هذه الحالة  $\text{div } D = 4\pi p$  فتكتب استناداً إلى المعادلات (IX-152) و (IX-150) و (IX-153).

$$(IX-154) \quad \text{div } E = -\text{div grad } v = -f'(V).$$

فإذا كان مصدر المجال ذا تناح كروي نستعمل الإحداثيات القطبية فنجد:

$$(IX-155) \quad \text{div grad } V = \frac{1}{r^2} \frac{\partial}{\partial r} \left( r^2 \frac{\partial V}{\partial r} \right) = f'(V).$$

إذاً يجب أن نبحث عن حلول المعادلة (IX-154) المتناهية والمتواصلة والخاضعة للشرط الحدي  $V \rightarrow 0$  إذا  $r \rightarrow \infty$ . أما شحنة الجسيمة فتحسب بتكامل كثافة الشحنة الكهربائية على كامل الفضاء أي<sup>(16)</sup>:

(16) في الإحداثيات الكروية:

$ds^2 = -dr^2 - r^2(d\theta^2 + \sin^2\theta d\varphi^2) + c^2 dt^2$   
 $g_{11} = -g_{00} = -1, \quad g_{22} \sin^2\theta = g_{33} = -r^2 \sin^2\theta, \quad \sqrt{-g} = r^2 \sin\theta.$

$$\begin{aligned}
 \text{(IX-156)} \quad q &= \int \int \int \rho \sqrt{-g} \, dr \, d\theta \, d\varphi \\
 &= \frac{1}{4\pi} \int \int \int r^2 f'(V) \sin\theta \, dr \, d\theta \, d\varphi \\
 &= \int_0^\infty r^2 f'(V) \, dr = \int \frac{\partial}{\partial r} \left( r^2 \frac{\partial V}{\partial r} \right) dr \\
 &= \left[ r^2 \frac{\partial V}{\partial r} \right]_0^\infty.
 \end{aligned}$$

ومن جهة ثانية تحسب كتلة الجسيم بتكامل كثافة الطاقة على كامل الفضاء:

$$\text{(IX-157)} \quad m = \frac{1}{c^2} \int \int \int W \sqrt{-g} \, dr \, d\theta \, d\varphi = \frac{4\pi}{c^2} \int_0^\infty W r^2 dr.$$

حيث استناداً إلى المعادلات (IX-146) و (IX-149) و (IX-153) نجد أن:

$$\text{(IX-158)} \quad W = \frac{E^2}{2} - f(V) + V f'(V).$$

وأن:

$$\text{(IX-159)} \quad m = \frac{4\pi}{c^2} \int r^2 \left[ \frac{1}{2} \left( \frac{\partial V}{\partial r} \right)^2 - f(V) + V f'(V) \right] dr.$$

وإذا حسبنا التكامل بالتجزئ آخذين بعين الاعتبار (IX-155) نجد:

$$\begin{aligned}
 \text{(IX-160)} \quad \int r^2 \left( \frac{\partial V}{\partial r} \right)^2 dr &= \int \left[ \frac{\partial}{\partial r} \left( r^2 V - \frac{\partial V}{\partial r} \right) \left( -V \frac{\partial}{\partial r} \right) \left( r^2 \frac{\partial V}{\partial r} \right) \right] dr \\
 &= - \int V r^2 f'(V) \, dr.
 \end{aligned}$$

مما يعطي:

$$\text{(IX-161)} \quad m = \frac{4\pi}{c^2} \int r^2 \left[ \frac{V}{2} f'(V) - f(V) \right] dr.$$

يعني هذا أن خصائص الجسيم الذي هو مصدر المجال مثل كتلته وشحنته يمكن حسابهما من دالة الكمون العددي  $V$  في حالة السكون. حسب مفهوم مي ليس الإلكترون جسيماً منحصراً في نقطة معينة بل يمتد ليشمل كل الفضاء. وباختيار مناسب للدالة  $f(V)$  يمكن استنتاج تكاملات فضائية متناهية وقادرة على تمثيل الشحنة الكهربائية والكتلة للإلكترون.

أحد الاعتراضات الأساسية على هذه النظرية يتعلق بالدور البارز التي يعطيه للكمون الكهربائي. ففي النظرة العادية للكهرمغناطيسية ليس للكمون الكهربائي معنى فيزيائي مباشر مثل المجال. ولا يحدّد بدقة إذ يمكن أن يزداد عليه تدرج آية دالة عددية. ومن جهة ثانية فإن الصيغة (IX-149) للدالة  $L_m$  تبقى اصطناعية والدالة  $f$  تبقى فيها اختيارية.

وقد أتت نظرية بورن - انفلد Born-Infeld لتعالج هذه الصعوبات المهمة وذلك بحساب خصائص المصدر بالنسبة إلى المجال الكهرمغناطيسي وليس الكمون. ولكن دالة الفعل تتعدّد جذرياً عن الصيغ الماكسويلية الثابتة في التحويل وليس فقط بزيادة الدالة  $f$  الاختيارية. بيد أن الاختيار الطبيعي لدالة فعل مناسبة واستبعاد الفرضيات غير المعلّلة المرتبطة باختيار الدالة  $f(V)$  هي تعديلات أساسية بدأت مع نظرية بورن - انفلد وتحققت بطريقة أفضل مع نظرية أينشتاين - شرودينغر الموحدة.

### (10) نظرية بورن - انفلد<sup>(17)</sup>

1 - لنحدّد نظام إحداثيات اختيارية  $x^\mu (x^1 = x, x^2 = y, x^3 = z, x^0 = ct)$  مع  $g_{\mu\nu}$  كموتر القياس. ونفترض أن الكميات الفيزيائية الأساسية في النظرية هي المركّبات الست للمجال الكهرمغناطيسي  $\varphi_{\mu\nu}$  (وليس المركّبات العشر  $\varphi_\mu$  و  $\varphi_{\mu\nu}$  كما في نظرية مي) أما المركّبات المخالفة للتغير للمجال فهي:

$$(IX-162) \quad \varphi^{\mu\nu} = g^{\mu\rho} g^{\nu\sigma} \varphi_{\rho\sigma}$$

ونحدّد المجال الثنوي بالصيغ العادية:

$$(IX-163) \quad \varphi^{\mu\nu*} = \frac{1}{2\sqrt{-g}} \epsilon^{\mu\nu\rho\sigma} \varphi_{\rho\sigma} \quad , \quad \varphi_{\mu\nu}^* = - \frac{\sqrt{-g}}{2} \epsilon_{\mu\nu\rho\sigma} \varphi^{\rho\sigma} \quad ,$$

$$(\varphi^{\mu\nu*} = g^{\mu\rho} g^{\nu\sigma} \varphi_{\rho\sigma}^* )$$

حيث  $\epsilon^{\mu\nu\rho\sigma} = \pm 1, 0$  هو رمز ليفي Levi وسيفيتا Civita للتبادل.

يستعمل بورن وانفلد دالة الفعل وهي دالة عددية:

M. BORN. Proc. Roy. Soc., A, 143, 1934, 410. Ann. Inst. H. Poincaré. 1973; M. Born (17) et L. INFELD. Proc. Roy. Soc. A, 144, 1934, 425.

$$(IX-164) \quad \mathcal{L}_B = (\sqrt{-\pi} - \sqrt{-g})$$

حيث  $g$  هو محدد determinant المركبات  $g_{\mu\nu}$  لموتر القياس و  $\pi$  هو محدد الموتر:

$$(IX-165) \quad \pi_{\mu\nu} = g_{\mu\nu} + \varphi_{\mu\nu}$$

ويمكن أن نحسب  $\pi$  تبعاً للمحددات  $g$  و  $\varphi$ . لذلك نحدد المركبات المخالفة للتغير  $g^{\mu\nu}$  لموتر القياس حسب المعادلة ( $g_{\mu\rho}g^{\nu\rho} = \delta_{\mu}^{\nu}$ ) أي:

$$(IX-166) \quad gg^{\mu\nu} = \text{mineur } g_{\mu\nu},$$

ف نجد بحساب بسيط للمحددات أن:

$$(IX-167) \quad \pi = g + \varphi + \frac{g}{2} g^{\mu\rho} g^{\nu\sigma} \varphi_{\mu\nu} \varphi_{\rho\sigma}$$

وتكتب (IX-165) أيضاً بالصيغة:

$$(IX-168) \quad \mathcal{L}_B = \sqrt{-g} (L_B - 1)$$

حيث (18):

$$(IX-169) \quad L_B = \left( 1 + \frac{\varphi}{g} + \frac{1}{2} g^{\mu\rho} g^{\nu\sigma} \varphi_{\mu\nu} \varphi_{\rho\sigma} \right)^{\frac{1}{2}}$$

ونلاحظ أن  $L_B$  ترتبط بكميتين أساسيتين في نظرية ماكسويل وثابتتين في التحويل من هيكل إسناد إلى آخر، وتساوي هاتان الكميتان

$$(IX-170) \quad F = H^2 - E^2 = \frac{1}{2} \varphi_{\mu\nu} \varphi^{\mu\nu} = \frac{1}{2} g^{\mu\rho} g^{\nu\sigma} \varphi_{\mu\nu} \varphi_{\rho\sigma}$$

$$(IX-171) \quad G(E \cdot H) = \frac{1}{4} \varphi_{\mu\nu} \varphi^{\mu\nu*} = \frac{1}{8\sqrt{-g}} \epsilon^{\mu\nu\rho\sigma} \varphi_{\mu\nu} \varphi_{\rho\sigma} = \sqrt{\frac{\varphi}{-g}}$$

(18) إذا كان المجال ضعيفاً ( $\varphi_{\mu\nu} \ll 1$ ) نجد:

$$\mathcal{L}_B = \frac{\sqrt{-g}}{4} \varphi_{\mu\nu} \varphi^{\mu\nu} \quad \text{و} \quad L_B \approx 1 + \frac{1}{4} \varphi_{\mu\nu} \varphi^{\mu\nu}$$

أي صيغة نظرية ماكسويل في حالة الفراغ (الخلاء).

فتكتب  $L_B$ :

$$(IX-172) \quad L_B = (1 + F - G^2)^{\frac{1}{2}} .$$

ويمكن أن نحدّد المجال المرافق conjugate

$$(IX-173) \quad \sqrt{-g} f^{\mu\nu} = \frac{\partial \mathcal{L}_B}{\partial \varphi_{\mu\nu}} = \sqrt{-g} \left( 2 \frac{\partial L}{\partial F} \varphi^{\mu\nu} + \frac{\partial L}{\partial G} \varphi^{\mu\nu*} \right)$$

أي:

$$(IX-174) \quad \boxed{f^{\mu\nu} = \frac{\varphi^{\mu\nu} - G\varphi^{\mu\nu*}}{L}}$$

مما يعني أن المجالين المترافقين  $f^{\mu\nu}$  و  $\varphi_{\mu\nu}$  يرتبطان بعلاقات غير خطية (IX-174).2 - لنفترض أن المجال الأساسي  $\varphi_{\mu\nu}$  يخضع للعلاقة:

$$(IX-175) \quad \varphi_{\mu\nu\rho} \equiv \partial_\mu \varphi_{\nu\rho} + \partial_\rho \varphi_{\mu\nu} + \partial_\nu \varphi_{\rho\mu} = 0$$

أو:

$$(IX-176) \quad \partial_\rho (\sqrt{-g} \varphi^{\mu\rho*}) = 0.$$

مما يعني أن المجال  $\varphi_{\mu\nu}$  يشتق من كمون  $\varphi_\nu$  أي:

$$(IX-177) \quad \varphi_{\mu\nu} = \partial_\mu \varphi_\nu - \partial_\nu \varphi_\mu.$$

فإذا طبقنا مبدأ التغيرات variation principle على الدالة  $\mathcal{L}_B$  نصل إلى نتائج قريبة من نتائج المقطع الثامن من هذا الفصل. إذ يمكن تطبيق هذه النتائج على الكثافة  $\mathcal{L}_B$  التي تتغير تبعاً للكمون  $\varphi_\mu$  من خلال المجال  $\varphi_{\mu\nu}$ . فإذا وضعنا:

$$(IX-178) \quad \sqrt{-g} f^{\mu\nu} = \frac{\partial \mathcal{L}_B}{\partial \varphi_{\mu\nu}}$$

نجد بدلاً عن المعادلة (IX-133) المعادلة:

$$(IX-179) \quad \partial_\rho (\sqrt{-g} f^{\mu\rho}) = 0.$$

مما يعني أن معادلات ماكسويل (IX-133) قد استبدلت بالمعادلات (IX-179) التي تختلف عنها بانعدام الجانب الأيمن لأن الكمون  $\varphi_\mu$  لا يدخل مباشرة في دالة الفعل. ولكن الصيغة (IX-172) للدالة  $L_B$  تقود إلى العلاقات (IX-174) بين التحريضات والمجالات. وهي علاقات غير خطية خلافاً لفرضيات ماكسويل.

3 - تحدّد كثافة التيار بالمتجه الرباعي:

$$(IX-180) \quad J^\mu = \partial_\rho (\sqrt{-g} \varphi^{\mu\rho}).$$

ولكن استناداً إلى المعادلة (IX-179) نجد:

$$(IX-181) \quad \partial_\rho (\sqrt{-g} f^{\mu\rho}) = \partial_\rho \left[ \sqrt{-g} \left( 2 \frac{\partial L}{\partial F} \varphi_{\mu\rho} + \frac{\partial L}{\partial G} \varphi^{\mu\rho*} \right) \right] = 0.$$

فيذا أخذنا بعين الاعتبار المعادلة (IX-181) نجد:

$$(IX-182) \quad -J^\mu = \frac{1}{2 \frac{\partial L}{\partial F}} \left[ 2\varphi^{\mu\rho} \partial_\rho \left( \frac{\partial L}{\partial F} \right) + \varphi^{\mu\rho*} \partial_\rho \left( \frac{\partial L}{\partial G} \right) \right].$$

4 - الحالة الخاصة لمجال دائم ذي تناح كروي

لنفترض أن المجال الكهرمغناطيسي ناتج عن توزيع ثابت للشحن الكهربائية بتناح كروي. من المستحسن في هذه الحالة أن نستعمل الإحداثيات الكروية:

$$(IX-183) \quad y^1 = r, \quad y^2 = \theta, \quad y^3 = \varphi, \quad y^0 = ct.$$

فنجد:

$$(IX-184) \quad ds^2 = -dr^2 - r^2 (d\theta^2 + \sin^2\theta d\varphi^2) + c^2 dt^2$$

التي تُستنتج من الصيغة العامة:

$$(IX-185) \quad ds^2 = g_{\mu\nu} dy^\mu dy^\nu$$

بوضع:

$$(IX-186) \quad g_{11} = \frac{1}{g^{11}} = -1, \quad g_{22} = \frac{1}{g^{22}} = r^2,$$



$$g_{23} = \frac{1}{g^{23}} = -r^2 \sin^2 \theta, \quad g_{00} = \frac{1}{g^{00}} = 1,$$

$$(IX-187) \quad \sqrt{-g} = r^2 \sin \theta.$$

باستعمال هذه الإحداثيات ينحصر المجال الدائم  $\varphi_{\mu\nu}$  بالمرَكِّبات  $\varphi_{\mu 0}$  والتحريض  $f^{\mu\nu}$  بالمرَكِّبات  $f^{\mu 0}$ . ومن جهة ثانية ينحصر التناحي الكروي بالمرَكِّبات  $\varphi_{10}$  و  $f^{10}$  فقط. نجد إذا استناداً إلى الصيغ (IX-179) و (IX-187) أن:

$$(IX-188) \quad \partial_1 (r^2 f^{01}) = \partial_1 (r^2 g^{00} g^{11} f_{01}) = \partial_1 (r^2 f_{10}) = 0$$

ومن ثم:

$$(IX-189) \quad f_{10} = g_{11} g_{00} f^{10} = -f^{10} = \frac{k}{r^2}$$

حيث k هي ثابت التكامل Integration constant.

في هذه الحالة الخاصة تكتب العلاقات غير الخطية في الصيغة (IX-174) بالصيغة:

$$(IX-190) \quad f^{10} = \frac{\varphi^{10}}{\sqrt{1 + \varphi^{10}\varphi_{10}}}, \quad G = 0.$$

فنجد هكذا أن:

$$(IX-191) \quad f^{10}f_{10} = \frac{\varphi^{10}\varphi_{10}}{1 + \varphi^{10}\varphi_{10}}$$

ونتيجة لذلك نجد:

$$(IX-192) \quad \varphi_{10}\varphi^{10} = \frac{f^{10}f_{10}}{1 - f^{10}f_{10}}$$

أي إذا أخذنا بعين الاعتبار الصيغة (IX-189) نجد:

$$(IX-193) \quad \varphi_{10} = -\varphi^{10} = \frac{f^{01}}{\sqrt{1 - f^{01}f_{01}}} = \frac{k}{r^2} \frac{1}{\sqrt{1 + \frac{k^2}{r^4}}}$$

لنسمَّ b النسبة بين صيغة المجالات بالوحدات العادية أي E, B, H, D وصيغها

بالوحدات الطبيعية أي:

$$(IX-194) \quad E = b (\varphi_{10}, \varphi_{20}, \varphi_{30}) , \quad B = b (\varphi_{23}, \varphi_{31}, \varphi_{12})$$

$$(IX-195) \quad D = b (f_{10}, f_{20}, f_{30}) , \quad H = b (f_{23}, f_{31}, f_{12}).$$

فنجذ استناداً إلى (IX-189) و (IX-193):

$$(IX-196) \quad D_r = b f_{10} = b \frac{k}{r^2}$$

$$(IX-197) \quad E_r = b \varphi_{10} = \frac{b k}{r^2} \frac{1}{\sqrt{1 - \frac{k^2}{r^4}}}$$

وإذا وضعنا:

$$(IX-198) \quad kb = q , \quad b = \frac{q}{r_0^2} ,$$

نجد الصيغ التالية للمركبات الشعاعية:

$$(IX-199) \quad D_r = \frac{q}{r^2} , \quad E_r = \frac{q}{r_0^2} \frac{1}{\sqrt{1 + \left(\frac{r}{r_0}\right)^4}}$$

يكون المجال  $E_r$  متناهياً في المركز ( $r = 0$ ) إذ تبلغ قيمته:

$$(IX-200) \quad b = \frac{q}{r_0^2} = (E_r)_{r=0}.$$

فالثابت  $b$  يمثل «المجال المطلق».

يمكن إذا أن نعتبر مصدر المجال إما كنقط شاذة (مفردة) singular points تكون مجال تحريض  $D_r$  لا متناه في مركز المصدر، وإما كتوزيع متواصل في كل الفضاء يولّد مجالاً  $E_r$  متناهياً في المركز. طبقاً التأويل الثاني هو الذي يعبر عن لا ثنائية المجال والجسيم. فانكار التباين بين المجال والمصدر هو من النتائج الأساسية لنظرية بورن. ويعود هذا إلى لا خطية العلاقات بين المجال والتحريض التي هي بدورها نتيجة للصيغة (IX-165) أو (IX-172) التي نختارها لدالة لاغرانج lagrangian في هذه النظرية.

في هذه النظرية تمتد الشحنة الكهربائية مبدئياً لتشمل كل الفضاء. وجميع

مميزاتها تحدّد تبعاً للمجال (وليس الكمون كما في نظرية مي). كذلك تتيج الكثافة المتجهية  $J^\mu$  المحدّدة بالصيغة (IX-180) أن نربط الكثافة الحرة للشحنة والتيار الحر تبعاً للمجال (وليس الاحداثيات).

وبشكل خاص يمكن أن نحدّد شحنة الجسيم بحساب التكامل للكثافة الحرة  $J^0$  على كامل الفضاء (بما فيه مركز الشحنة). والقيمة المتناهية للمجال في المركز تتيج للتكامل أن يكون بقيمة متناهية وقادراً بالتالي على تمثيل الشحنة الكهربائية  $q$ .  
وفعلاً إذا كان المجال دائماً بتناحٍ كروي تصبح الصيغة (IX-182) كما يلي:

$$(IX-201) \quad -j^0 = \frac{1}{\sqrt{1 + \frac{k^2}{r^4}}} \quad \varphi^{01} \cdot \partial_1 \left( \sqrt{1 + \frac{k^2}{r^4}} \right)$$

$$= \frac{k}{r^2} \frac{1}{1 + \frac{k^2}{r^4}} \cdot \frac{\partial}{\partial r} \left( \sqrt{1 + \frac{k^2}{r^4}} \right)$$

وإذا استعملنا المعادلات (IX-186) و (IX-187) و (IX-183) نكتب المعادلة (IX-201) كما يلي:

$$(IX-202) \quad j^0 = \frac{2k^3}{r^7 \left(1 + \frac{k^2}{r^4}\right)^{3/2}} = \frac{2}{r \left(1 + \frac{r^4}{k^2}\right)^{3/2}}$$

وتكون قيمة الكثافة:

$$(IX-203) \quad \rho = \frac{b}{4\pi} \quad J^0 = \frac{b}{4\pi} \sqrt{-g} \quad J^0 = \frac{qr^2 \sin \theta}{r_0^2 \cdot 2\pi r \left(1 + \frac{r^4}{r_0^4}\right)^{3/2}}$$

وإذا حسبنا التكامل على كل الفضاء (بما فيه المنطقة المحيطة بالمركز) نجد:

$$(IX-204) \quad \int \rho \, dr \, d\theta \, d\varphi = \int_0^\infty \int_0^\pi \int_0^{2\pi} \rho \, dr \, d\theta \, d\varphi$$

$$= \frac{2q}{r_0^3} \int_0^\infty \frac{r^2 \, dr}{\frac{r}{r_0} \left(1 + \frac{r^4}{r_0^4}\right)^{3/2}}$$

$$= q \int_0^{\frac{\pi}{2}} \cos \psi \, d\psi = q$$

حيث وضعنا:

$$(IX-205) \quad \operatorname{tg} \psi = \frac{r^2}{r_0^2}$$

هكذا يقود توزيع الشحنة بالكثافة الحرة  $\rho$  إلى صيغة متناهية لشحنة الجسيم بحساب التكامل على كل الفضاء. هذه النتيجة ومفاهيم الشحنة التي تنتج عنها ترتبط في هذه النظرية بكون العلاقات بين التحريض والمجالات لا خطية.

### الاثباتات التجريبية للنسبية الخاصة

مقارنة نظرية النسبية الخاصة مع التجربة لا تشمل فقط اثبات صحة مبادئ النظرية بل تتعدى ذلك إلى كل الاستنتاجات والتوقعات المستخلصة من هذه النظرية، وتشمل حالياً هذه المقارنة جزءاً كبيراً من الفيزياء الكلاسيكية والكمومية. فقد استعملت مبادئ النسبية الخاصة كأساس لبناء أو تحويل نظريات فيزيائية عديدة. وتشكل نتائج هذه النظريات عند مقارنتها بالتجربة محكاً لصحة الفرضيات الأساسية للنسبية الخاصة.

ومن أكثر هذه النظريات شهرة هي النظرية الكمومية النسبية للإلكترون كما صاغها ديراك عام 1932. وتطبق هذه النظرية على كل جسم مشحون ذي سرعة عالية ودومة  $\frac{1}{2}$ . وتقود هذه النظرية النسبية مباشرة إلى توقع عزم مغنطيسي ذاتي للإلكترون كان يفترض اعتباطياً في النظريات غير النسبية. فتجد الظواهر المتعلقة بالدومة مكاناً بصورة تلقائية في هذه النظرية النسبية، وإثباتات هذه الظواهر تجريبياً تشكّل إثباتاً غير مباشر لنظرية النسبية الخاصة. وبشكل خاص فقد أجريت قياسات على البنية الدقيقة fine structure للأشعة  $H_\alpha$  للهيدروجين أو  $D_\alpha$  للدوتريوم deuterium. وتتفق القيم التجريبية تماماً مع التوقعات النظرية المتعلقة بتوزيع شدة الإشعاع حسب النظرية النسبية للبنية الدقيقة.

كما أن نظرية ديراك المعدلة يمكن أن تستعمل لبناء نظرية نسبية للجسيمات بأي دومة سواء أكانت صحيحة أو نصف صحيحة. وبطريقة أخرى استطاعت النظرية الكمومية للمجالات أن تصل إلى صياغة نسبية مقبولة بأعمال شوينغر Schwinger وفاينمان Feynman ودايسون Dyson. والتحرك الكهربائي الكمومي

هو حالة خاصة للنظرية الكمومية للمجالات ويشكل امتداداً للتحريك الكهربائي النسبي.

لن نتطرق هنا إلى الترابط ولا إلى النتائج التجريبية للتوسعات المنبثقة مباشرة أو غير مباشرة عن النسبية الخاصة. بل سنكتفي بدراسة بعض الإثباتات التجريبية للمبادئ الأساسية للنسبية الخاصة. وقد ذكرنا بعضاً منها في الفصول السابقة. سنكتفي هنا بعرض مفصل للبعض الآخر.

### أ - تباطؤ الساعات

يرتبط الوقت الذاتي  $\Delta\tau$  الذي تقيسه ساعة ثابتة في هيكل اسناد  $S'$  بالوقت  $t$  الذي يقيسه مشاهد في هيكل إسناد غاليلي آخر  $S$  بالعلاقة (44 - V) أي:

$$(X-1) \quad \Delta t = \frac{\Delta\tau}{\sqrt{1 - \beta^2}} > \Delta\tau.$$

مما يعني أن فاصلاً زمنياً  $\Delta\tau$  مقيساً في هيكل الاسناد الذاتي هو دائماً أقل من قيمته  $\Delta t$  إذا قيس في هيكل آخر: فالساعات في هيكل إسناد متحرك تتباطأ بالنسبة إلى مشاهد في هيكل إسناد غاليلي آخر.

### (1) ظاهرة دوبلر وتباطؤ الساعات

لنتفحص ساعة مؤلفة من ذرة تحدث فيها ارتجاجات بتردد ذاتي  $\nu_0$  (وهو التردد المقيس في هيكل الاسناد المرتبط بالذرة). أما في هيكل اسناد آخر فيكون هذا التردد استناداً إلى الصيغة (X-1) بقيمة:

$$(X-2) \quad \nu = \nu_0 \sqrt{1 - \beta^2} < \nu_0$$

أي أن المشاهد يلاحظ نقصاناً في تردد (أي زيادة في طول موجة) الإشعاع الصادر عن الذرة المتحركة بالنسبة إلى المطياف ويظهر هذا بانزياح هذه الأشعة نحو الأحمر . red shift

ولكن إضافة إلى التغير (X-2) في التردد (وهو من الدرجة الثانية أي أنه متناسب مع  $\beta^2$ ) هناك ظاهرة دوبلر الكلاسيكية (التقليدية) (انظر المقطع الثالث من الفصل الخامس) التي هي من الدرجة الأولى وبالتالي تغطي على التباطؤ النسبي (X-2).

إذا كانت  $\theta$  هي الزاوية بين اتجاه انتشار الأشعة واتجاه حركة مصدرها يكون

التردد حسب ظاهرة دوبلر الكلاسيكية:

$$(X-3) \quad v = \frac{v_0}{1 - \beta \cos \theta}$$

فيإذا أضفنا ظاهرة التباطؤ النسبي (X-2) إلى ظاهرة دوبلر الكلاسيكية (X-3) نحصل على الصيغة التالية للتردد المقيس:

$$(X-4) \quad \boxed{v = \frac{v_0 \sqrt{1 - \beta^2}}{1 - \beta \cos \theta}}$$

وبشكل خاص إذا كانت الزاوية  $\theta = \frac{\pi}{2}$ ، تختفي ظاهرة دوبلر الكلاسيكية ويبقى فقط التباطؤ النسبي (X-2). لذلك يسمى التباطؤ النسبي في الصيغة (X-2) ظاهرة دوبلر المستعرضة transversal.

ويمكن أن نحصل على الصيغة (X-4) مباشرة من نظرة إجمالية ونسبية لظاهرة دوبلر. وذلك بتطبيق قواعد المقطع 8 من الفصل السابع في الحالة الخاصة  $n = 1$  أي لانتشار الموجات في الخلاء (أو في الهواء تقريباً). لذلك نفترض أن مصدر الموجة يتحرك باتجاه Ox وأن الموجة تنتشر بالإتجاه on. ( $\widehat{on} = \theta$ ) (انظر الرسم 30) ليلتقطها مشاهد في النقطة P من هيكل الاسناد S(Ox, Oy). إحداثيات النقطة P هي (x, y) في S و (x', y') في هيكل الاسناد S'(O'x', O'y') المرتبط بالمصدر المتحرك. نفترض أن S' يتحرك بسرعة  $\omega$  بحيث يتطابق المحور O'x' مع المحور Ox ويتطابق الهيكلان الاسناديان في الوقت  $t = t' = 0$ .

الوقت اللازم كي يصل صدر الموجة الأولى من O إلى P هو:

$$(X-5) \quad t_1 = \frac{1}{c} = \frac{x \cos \theta + y \sin \theta}{c}$$

فيكون عدد الموجات التي وصلت في الوقت t إلى النقطة P من S:

$$v(t - t_1)$$

وهذا العدد لا يتغير من هيكل إلى آخر فنجد إذا العلاقة:

$$(X-6) \quad v \left( t - \frac{1}{c} \right) = v' \left( t' - \frac{1'}{c} \right)$$

حيث  $v'$  هو تردد الموجات في هيكل الاسناد الذاتي  $S'$  للمصدر أي:

$$(X-7) \quad v' = v_0.$$

ومن جهة ثانية  $\frac{l'}{c}$  تمثل الوقت اللازم للموجة  $OM$  كي تصل إلى النقطة  $P$ ، كما يقاس في هيكل الاسناد  $S'$ . يمكن أن نكتب لهذا الوقت صيغة مشابهة للصيغة (X-5) تبعاً للإحداثيات  $x'y'$  للنقطة  $P$  في  $S'$ :

$$(X-8) \quad \frac{l'}{c} = \frac{x' \cos \theta' + y' \sin \theta'}{c}$$

حيث  $\theta'$  هي زاوية الإنتشار في  $S'$ .

باستعمال (X-8) يمكن أن نكتب (X-6) كما يلي:

$$(X-9) \quad v \left( t - \frac{x \cos \theta + y \sin \theta}{v} \right) = v' \left( t' - \frac{x' \cos \theta' + y' \sin \theta'}{c} \right)$$

وإذا استعملنا قانون تحويل لورنتز الخاص:

$$(X-10) \quad x = \frac{x' + vt'}{\sqrt{1 - \beta^2}}, \quad y = y', \quad t = \frac{t' + \frac{\beta}{c} x'}{\sqrt{1 - \beta^2}}$$

نصل إلى معادلة تطابقية يجب أن يتساوى فيها معامل المتغيرات  $x'$  و  $y'$  و  $t'$  لأن  $v'$  و  $\theta'$  هي طبعاً مستقلة عن موقع النقطة  $P$ . فنجد:

$$(X-11) \quad \frac{v(1 - \beta \cos \theta)}{\sqrt{1 - \beta^2}} = v', \quad \frac{v(\beta - \cos \theta)}{\sqrt{1 - \beta^2}} = -v' \cos \theta'$$

$$v \sin \theta = v' \sin \theta'$$

وما هذه إلا العلاقات (VII - 67) و (VII - 68) و (VII - 69) التي اثبتناها في الفصل السابع في الحالة الخاصة  $n = 1$  أي  $u = u' = c$  ومنها نستخلص العلاقات التالية:

$$(X-12) \quad \boxed{v' = \frac{v(1 - \beta \cos \theta)}{\sqrt{1 - \beta^2}}}$$



$$(X-13) \quad \boxed{\text{tg } \theta' = \frac{\sqrt{1 - \beta^2} \sin \theta}{\cos \theta - \beta}}$$

أي:

$$\cos \theta' = \frac{\cos \theta - \beta}{1 - \beta \cos \theta}, \quad \sin \theta' = \frac{\sqrt{1 - \beta^2} \sin \theta}{1 - \beta \cos \theta}$$

ولكن  $\nu' = \nu_0$  أي التردد الذاتي للذرة. فنجد إذاً:

$$(X-14) \quad \boxed{\nu = \frac{\nu_0 \sqrt{1 - \beta^2}}{1 - \beta \cos \theta}}$$

وتغير التردد من  $\nu_0$  إلى  $\nu$  هو ظاهرة دوبلر في النظرية النسبية. أما تغير الزاوية  $\theta'$  إلى  $\theta$  فهو ظاهرة الزينغ أي التغير في اتجاه الأشعة بسبب حركة المصدر بالنسبة إلى المشاهد.

وإذا كانت المشاهدة تتم في اتجاه حركة المصدر (ظاهرة دوبلر الطولية longitudinal) تكون  $\theta = 0$ ، ونستخلص من الصيغة (X-11) أن:

$$(X-15) \quad \theta' = 0, \quad \nu = \nu_0 - \frac{\sqrt{1 + \beta}}{1 - \beta}$$

فليس هناك ظاهرة زينغ في هذه الحالة.

أما إذا كانت المشاهدة بالاتجاه العمودي على حركة المصدر (ظاهرة دوبلر المستعرضة)  $\theta = \frac{\pi}{2}$  فنجد:

$$(X-16) \quad \cos \theta' = -\beta, \quad \nu = \nu_0 \sqrt{1 - \beta^2}.$$

فتكون ظاهرة دوبلر عندئذ نتيجة لتباطؤ الساعات فقط.

## 2) تجارب ايفز وستيلول

تظهر مقارنة المعادلات (X-15) و (X-16) أن ظاهرة دوبلر غير النسبية هي من الدرجة الأولى بينما التصحيح الناتج عن تباطؤ الساعات هو من الدرجة الثانية. طبعاً يمكن أن نلغي الظاهرة من الدرجة الأولى بالمشاهدة في اتجاه عمودي على

حركة المصدر. ولكن أي خطأ في تقدير الزاوية  $\theta$  يغطي تماماً على مساهمة الكميات النسبية من الدرجة الثانية ويجعل اثبات نظرية النسبية خداعاً.

أما في تجربة إيفز وستيلول<sup>(1)</sup> فيشاهد في الوقت ذاته الإشعاعان الصادران عن المصدر ذاته باتجاهين متعاكسين. فنحصل على الترددان:

$$(X-17) \quad \nu_1 = \frac{\nu_0 \sqrt{1 - \beta^2}}{1 - \beta \cos \theta}, \quad \nu_2 = \frac{\nu_0 \sqrt{1 - \beta^2}}{1 + \beta \cos \theta}$$

عملياً تكون زاوية المشاهدة صغيرة جداً. أما أطول موجات المشاهدة فتخضع للعلاقة:

$$(X-18) \quad \frac{\lambda_1 + \lambda_2}{2} = \frac{\lambda_0 (1 - \beta \cos \theta)}{2 \sqrt{1 - \beta^2}} + \frac{\lambda_0 (1 + \beta \cos \theta)}{2 \sqrt{1 - \beta^2}} = \frac{\lambda_0}{\sqrt{1 - \beta^2}}$$

فيكون الفرق بين هذه القيمة الوسطية وطول الموجة الذاتي (أي إذا كانت الذرة ساكنة):

$$(X-19) \quad \Delta_2 \lambda = \frac{\lambda_1 + \lambda_2}{2} - \lambda_0 \approx \lambda_0 \frac{\beta^2}{2}$$

ومن جهة ثانية تتيج مشاهدة الأشعة الصادرة بزاوية  $\theta$  صغيرة جداً قياس الظاهرة من الدرجة الأولى (أي الظاهرة الكلاسيكية تقريباً):

$$(X-20) \quad \Delta_1 \lambda \approx \lambda_0 \beta.$$

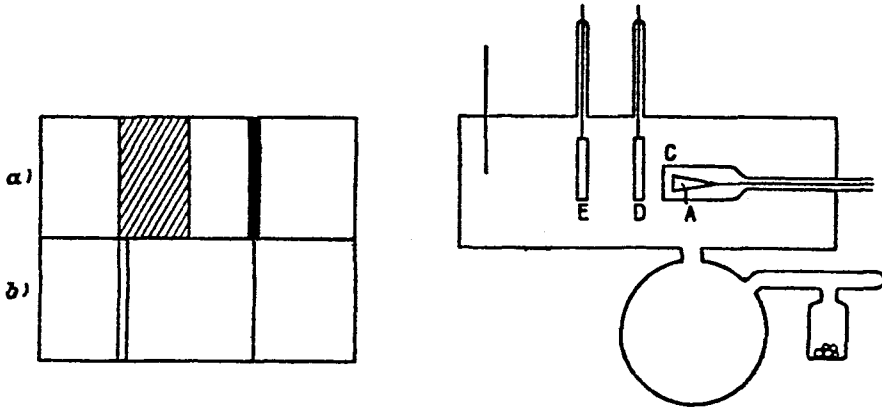
فتقارن التجربة بين  $\Delta_2 \lambda$  و  $\Delta_1 \lambda$ .

استعمل إيفز وستيلول مصابيح أشعة الأتنية كما عدلها باتو Batho وديمبستر<sup>(2)</sup> Dempster. تتيج هذه المصابيح الحصول على ذرات متحركة بسرعة واحدة. لكي يكون قياس  $\Delta_2 \lambda$  ممكناً يجب أن نختار ذرات تصدر عنها أشعة ذات طول موجة  $\lambda_0$  دقيق جداً. لذلك تشرّد ذرات الهيدروجين بواسطة الإلكترونات الصادرة عن سلك

H.E. IVES et G.R. STILLWELL. Journ. Opt. Soc. America, 28, 1938, 215; H.E. IVES. (1) Journ. Opt. Soc. Amreica, 31, 1941, 369; R. LENNUIER. Revue Scientifique, 85, 1947, 740.

H.F. BATHO et A.J. DEMPSTER. Astr. Journ. 75, 1932, 34. (2)

ترفع حرارته كهربائياً، ثم تسرع جزيئات الهيدروجين بواسطة كمون عالٍ (يصل إلى 40 000 فلت) بين مسريين متقاربين D و E (انظر الرسم 33). ويكون ضغط الهيدروجين ضعيفاً جداً كي لا يحصل أي تصادم أو تبدل في الشحن في الفسحة الصغيرة DE (نحصل على هذا الضغط الضعيف بتغطيس أنبوب من الفحم في الهواء السائل). ثم تنفصل الجزيئات المشرّدة  $H_2$  و  $H_3$  إلى ذرات غير مشحونة. بهذه الطريقة يمكن الحصول على ذرات ذات سرعة واحدة ونشاهد إشعاعها (إشعاعات سلسلة بالمر Balmer).



الشكل 33 - تجربة ايفز وستيلول

في الأجهزة العادية لأشعة القناة لا تكون للذرات سرعة واحدة، فتتوسع أشعتها بظواهر دوبلر من الدرجة الأولى. فييدو طيف الأشعة الذاتية للذرات والأشعة المشاهدة المزاحة بتأثير دوبلر كما في الصورة (a). أما في جهاز ايفز وستيلول فيكون الطيف دقيقاً لدرجة أنه يمكن قياس الإزاحة  $\Delta\lambda$  التي هي من الدرجة الثانية كما في الرسم (b) الذي يظهر خطين متقاربين ناتجين عن الجزيئات  $H_2$  و  $H_3$  المسرّعة.

وقد شوهد الإشعاع تحت زاوية  $7^\circ$  مع اتجاه أشعة القناة. وتستقبل الأشعة هذه لتدخل المطياف الموضوع في مركز مرآة مقعّرة صغيرة M محورها باتجاه المشاهدة. فتسلك الأشعة الصادرة عن كل ذرة الخطوط المستقيمة التي تصل المرآة إلى مدخل المطياف وذلك بالإتجاهين. وتتوفر هكذا ظروف لتطبيق القاعدة (X-18).

وعند وضع فرق الكمون لتسريع الذرات تُسبب ظاهرة دوبلر من الدرجة الأولى انزياحاً مقداره  $\Delta\lambda = 20\text{A}$  للأشعة  $H_\beta = 4.861\text{A}$ . مثلاً فرق الكمون 20 000 فلت

الذي استعمله ايفز وستيلول بسبب انتقالاً مقداره مليمتران في الجهاز. فنجد استناداً إلى (X-20).

$$(X-21) \quad \beta \neq \frac{20}{5000} = 0.004.$$

ونتوقع انزياحاً ناتجاً عن ظاهرة الدرجة الثانية قيمته:

$$(X-22) \quad \Delta_2\lambda = \frac{\lambda_0}{2} \beta^2 = \frac{\Delta_1\lambda}{2} \quad \beta = \frac{20}{2} \times 0.004 = 0.04 \text{ A.}$$

مما يقود إلى انتقال قيمته:

$$\frac{2 \times 0.04}{20} = 0.004 \text{ mm.}$$

ولكن هذا الانتقال هو بمقدار نصف وسع الأشعة  $H_\beta$  المستعملة إذ إن البنية الدقيقة لا تظهر. ويمكن أن نتساءل عما إذا كانت الظاهرة المقيسة ناتجة عن الفرق بين الشدة النسبية للمركبات غير المفصولة للأشعة  $H_\beta$ . للإجابة على هذا الانتقال أعاد إيفز وستيلول تجربتهما باستعمال فرق كمون قيمته 43.000 فلط.

مع كل هذه الاحتياطات (واحتياطات أخرى) فقد ظهر اتفاق ممتاز بين  $\Delta_2\lambda$  المتوقعة استناداً إلى المعادلة (X-19) والقيم المقيسة وذلك لعدة قيم لكمون التسريع أي لعدة قيم لـ  $\beta$  تصل  $\beta = 0.007$ . فتكون الظاهرة المشاهدة متفقة مع توقعات النسبية الخاصة.

### (3) العمر الوسطي للميزونات<sup>(3)</sup>

الميزونات Meson المكتشفة في الأشعة الكونية هي جسيمات مشحونة أو غير مشحونة تتراوح بين كتلة الإلكترون وكتلة البروتون. والميزون  $\mu$  (بكتلة تساوي 200 ضعف كتلة الإلكترون) يتفتت بعد عمر وسطي  $\tau$  إلى إلكترون ونيوترينو neutrino (وهو جسيم غير مشحون وبدون كتلة). وقد شوهد هذا التفتت على صور التقطت في حجرة ولسون<sup>(4)</sup> أو بواسطة عدادات أوجيه<sup>(5)</sup>.

(3) انظر أيضاً: R. LENNUIER. Revue Scientifique, fasc. 12, 1947, p.740.

(4) WILLIAMS et ROBERTS. Nature, 145, 1940, 102.

(5) P. AUGER et MAZE. C.R. Ac. Sc. 213, 1941, 381; MAZE et CHAMINADE. C.R. Ac. Sc. 214, 1942, 266; CHAMINADE, FRÉON et MAZE. C.R. Ac. Sc., 218, 1944, 402.

فالعدادات تتيج قياس العمر الوسطي  $\tau_0$  للميزونات الساكنة. لذلك يوقف الميزون في قطعة معدنية. ويمكن بواسطة عدادات تسجيل دخول الميزون الساقط على المعدن وخروج الإلكترون الناتج عن التفتت. عملياً يؤخّر انطلاق عدّاد الدخول كي يتوافق مع انطلاق عدّاد الخروج. مما يتيح معرفة عدد الميزونات  $N(\Delta t)$  التي تتفتت في الوقت  $t$ . فنجد:

$$(X-23) \quad y = \log \frac{N(\Delta t)}{t} \quad \text{حيث وضعنا:} \quad y = -\frac{\Delta t}{\tau_0} + c^{ic}$$

وإذا قيس انحناء الخط  $y = -\frac{1}{\tau_0} \Delta t$  نعرف قيمة العمر الوسطي  $\tau_0$  للميزون الساكن. فنجد قيمة تتراوح بين  $\tau_0 = 2.7 \pm 0.6$  و  $\tau_0 = 2.15 \pm 0.07 \cdot 10^{-6} \text{ sec}$ . فتكون القيمة التقريبية لعمر الميزون:  $0.5 \cdot 10^{-6} \text{ sec}$ .<sup>(7)</sup>

$$(X-24) \quad \tau_0 \approx 2.2 \cdot 10^{-6} \text{ sec.}$$

ويتحرك الميزون في الفضاء الأعلى بسرعة قريبة من سرعة الضوء ويتمكن من اختراق عدة كيلومترات قبل التفتت. لذلك يجب أن نفترض أن حياة الميزون في الفضاء الأعلى تزيد كثيراً عن قيمتها عندما يكون الميزون ساكناً كي تتيج له قطع هذه المسافات. فالعمر الوسطي  $\tau_0 = 2.2 \cdot 10^{-6} \text{ sec}$  يناسب مسافة وسطية:

$$(X-25) \quad L = v \cdot \tau_0 \approx c \cdot \tau_0 \approx 3 \cdot 10^8 \cdot 2.2 \cdot 10^{-6} = 600 \text{ mètres.}$$

ولكن  $\tau_0$  هو في الواقع العمر الوسطي في هيكل الإسناد الذاتي للميزون. أما في هيكل إسناد آخر يتحرك فيه الميزون بسرعة  $v$  فيكون عمره الوسطي:

$$(X-26) \quad \tau = \frac{\tau_0}{\sqrt{1 - \beta^2}}$$

حسب توقعات النسبية الخاصة لتمدّد الفترات الزمنية. ويناسب هذا مسافة وسطية مساوية لـ:

$$(X-27) \quad L = \tau v \approx \frac{\tau_0 c}{\sqrt{1 - \beta^2}} = W \frac{\tau_0}{m_0 c}$$

NERESON et ROSSI. Phys. Rev. 64, 1943, 199. (6)

CACCIAPUOTI et RICCIONI. Rucerca Sc. 12, 1941, 874. (7)

حيث  $W$  هي طاقة الميزون أي:

$$(X-28) \quad W = \frac{W_0}{\sqrt{1 - \beta^2}} = \frac{m_0 c^2}{\sqrt{1 - \beta^2}} .$$

ف نجد إذا:

$$(X-29) \quad \frac{L}{W} = \frac{\tau_0}{m_0 c} = c^{ie} .$$

وبعد ثبوت هذه القاعدة تجريبياً، قام روسي Rossi وهول Hall<sup>(8)</sup> بقياس المسافة  $L$  لميزونات بطاقة  $W = (5.0 \pm 0.7) \cdot 10^8 \text{ e.v}$  فوجدوا أن:

$$(X-30) \quad L = (4.5 \pm 0.6) 10^5 \text{ cm}$$

مما يعطي إذا كانت كتلة الميزون 200 ضعف كتلة الإلكترون<sup>(9)</sup>:

$$(X-31) \quad \tau_0 = 2.4 \pm 0.3 \cdot 10^{-6} \text{ sec} .$$

ولكن الطاقة  $W = 5 \cdot 10^8 \text{ e}$ . تناسب استناداً إلى الصيغة (X-27):

$$(X-32) \quad \sqrt{1 - \beta^2} = \frac{\tau_0 c}{L} = \frac{2.4 \cdot 10^{-6} \cdot 3 \cdot 10^{10}}{4.5 \cdot 10^5}$$

أي:  $\beta = 0.99$ .

هكذا يكون قانون تباطؤ الساعات مثبتاً تجريبياً من السرعة الخفيفة:

$$\beta = \frac{\Delta \lambda}{\lambda} \approx \frac{1}{250} \approx 0.004$$

في تجربة إيفز وستيلول إلى السرع العالية ( $\beta = 0.99$ ).

ROSSI et HALL. Phys. Rev. 59, 1941, 223.

(8)

L. LEPRINCE-RINGUET et S. CORODETZKY. C.R. Ac. Sc., 213, 1941, 756.

(9)

### ب - تغيير الكتلة مع السرعة

#### (4) حركة جسيم مشحون في مجال كهرومغناطيسي

تتحرك الجسيمات في مجال قوة وفقاً للقانون النسبي (VIII - 24):

$$t = \frac{dp}{dt}$$

فإذا كان الجسيم مشحوناً ويتحرك في مجال كهرومغناطيسي يخضع لتأثير قوة لورنتز التي تكتب استناداً إلى الصيغ (VIII - 25) و (IX - 35) و (IX - 30) بالصيغة:

$$(X-33) \quad F^p = \frac{f^p}{\sqrt{1 - \beta^2}} = \frac{1}{\sqrt{1 - \beta^2}} \frac{1}{4\pi} \varphi^{pp} j_p = \rho \varphi^{pp} u_p.$$

ولكن استناداً إلى (VII - 12):

$$(X-34) \quad u^p = \frac{v^p}{c\sqrt{1 - \beta^2}}, \quad \beta^2 = \frac{v^2}{c^2} = \sum_p \frac{(v^p)^2}{c^2}$$

حيث وضعنا:

$$(X-35) \quad u^p = \frac{dx^p}{ds}, \quad v^p = \frac{dx^p}{dt}.$$

فتكتب الصيغة (X-33) أيضاً:

$$(x-36) \quad f^p = \frac{\rho}{c} \varphi^{pp} v_p.$$

وتكون معادلة حركة الجسيم المشحون في المجال الكهرومغناطيسي:

$$(X-37) \quad \frac{d}{dt} \frac{m_0 v^p}{\sqrt{1 - \beta^2}} = \frac{q}{c} \varphi^{pp} v_p.$$

لنضرب المعادلة (X-37) بالمركبة  $v_p$  ونجمع كل المؤشرات  $p$  فنجد:

$$(X-38) \quad v_p \frac{d}{dt} \frac{m_0 v^p}{\sqrt{1 - \beta^2}} = \frac{q}{c} v_p \varphi^{pp} v_p = \frac{q}{c} v_p \varphi^{0p} v_0.$$

ولكن:

$$(X-39) \quad v_p v^p = - \sum_p (v^p)^2 = -c^2 \beta^2$$

$$(X-40) \quad \varphi^{p0} = \partial^p \varphi^0 - \partial^0 \varphi^p.$$

فتكتب المعادلة (X-38) بالصيغة:

$$(X-41) \quad \frac{d}{dt} \left( \frac{m_0 c^2 \beta^2}{\sqrt{1 - \beta^2}} \right) - \frac{m_0 c^2}{2 \sqrt{1 - \beta^2}} \frac{d\beta^2}{dt} = q (v_p \partial^p \varphi^0) - q (v_p \partial^0 \varphi^p)$$

أو:

$$(X-42) \quad m_0 c^2 \frac{d}{dt} \frac{1}{\sqrt{1 - \beta^2}} = q \left( \frac{\partial \varphi^0}{dt} - \frac{\partial \varphi^0}{\partial t} \right) - \frac{q}{c} v_p \frac{\partial \varphi^p}{\partial t}$$

إذ إن:

$$(X-43) \quad \frac{d\varphi^0}{dt} = \frac{\partial \varphi^p}{\partial t} + v^p \frac{\partial \varphi^0}{\partial x^p}$$

فتصبح معادلة حركة الجسيم المشحون في المجال الكهرمغناطيسي:

$$(X-44) \quad \frac{d}{dt} \left( \frac{m_0 c^2}{\sqrt{1 - \beta^2}} + q\varphi^0 \right) = q \left( \frac{\partial \varphi^p}{\partial t} - \frac{v^p}{c} \frac{\partial \varphi^p}{\partial t} \right)$$

لنفترض أن الجسيم بدأ الحركة بدون سرعة في مجال كهربائي يشتق من دالة الكمون  $V$  (كما هو الحال في أجهزة فان دوغراف van de Graaf مثلا) فنجد مباشرة من المعادلة (X-44):

$$(X-45) \quad \frac{m_0 c^2}{\sqrt{1 - \beta^2}} + q\varphi^0 = c^{ie}$$

أي إذا أخذنا بعين الإعتبار الشروط الابتدائية:

$$(X-46) \quad m_0 c^2 + qV = \frac{m_0 c^2}{\sqrt{1 - \beta^2}}$$

ومنها نستنتج أن:

$$(X-47) \quad v = \frac{\sqrt{\frac{2qV}{m_0} \left( 1 + \frac{qV}{2m_0 c^2} \right)}}{1 + \frac{qV}{m_0 c^2}}$$



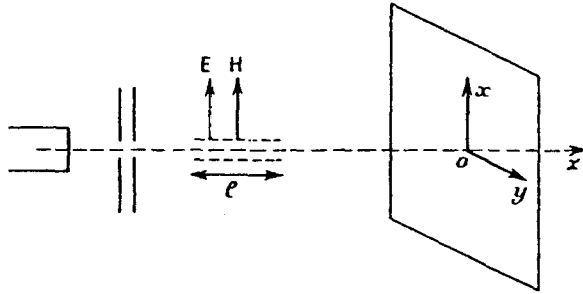
5 انحراف جسيمات مشحونة تحت تأثير مجال كهربائي ومجال مغنطيسي متوازيين ومتعامدين على السرعة الابتدائية<sup>(10)</sup>:

تتوقع نظرية لورنتز في الإلكترونات تغير الكتلة مع السرعة حسب القاعدة:

$$(X-48) \quad m = \frac{m_0}{\sqrt{1 - \beta^2}}$$

وتجربة رايلي Rayleigh وبراس Brace التي حاولت الكشف عن ربح الأثير كانت ترمي حقيقة إلى تحديد تأثير تقلص الطول على قرينة الإنكسار لجسم شفاف متحرك. والنتيجة السلبية لهذه التجربة يمكن أن تفسر بالافتراض أن تغير الكتلة وفقاً للمعادلة (X-48) يعوّض تماماً عن تأثير التقلص في الطول.

ولكن العلاقة (X-48) تستخلص مباشرة من نظرية الإلكترون ذي الشكل المتبدل التي اقترحها لورنتز بدلاً عن نظرية ابراهام حول الإلكترون المتماusk. والتجارب التي كانت ترمي إلى التأكد من العلاقة (X-48) كان من الممكن أن تفصل بين هاتين النظريتين للإلكترون. وأكثر هذه التجارب<sup>(11)</sup> كانت بإخضاع حزمة من الأشعة المهبطية محددة جانبياً بحواجز لتأثير مجال كهربائي E ومجال مغنطيسي H متوازيين الواحد على الآخر ومتعامدين على الإتجاه الابتدائي للحزمة (الرسم 34).



الشكل 34 - انحراف حزمة الكترونية في مجال كهربائي ومجال مغنطيسي متوازيين.

Cf. W. GERLACH. Handbuch der Phys. XXII Berlin 1926. p.61-82. (10)

W. KAUFMANN. Gött. Nachr. Math. nat. Klasse, 1901, 143; A.H. BUCHERER. (11)

Vern. d. Deutschen, Phys. Ges., 6, 1908, 688; G. NEUMANN. Ann. d. Phys., 45, 1914,

529; Ch. E. Guye et Ch. LAVANCHY. Arch. ds Genève., 41, 1916, 353 et 441;

W. GERLACH, H. d. Phys. 22, 1926, 61.

بغيب المجال تسقط حزمة الأشعة المهبطية في النقطة O. ولكن المجال الكهربائي E يحدث انحرافاً  $x = \frac{1}{2} \frac{e}{m} E \frac{l^2}{v^2}$  حيث l هي المسافة التي يمتد عليها المجالان E و H. أما المجال المغنطيسي H فيحدث انحرافاً عمودياً على السطح المحدد بالمجال H وباتجاه الحزمة  $y = \frac{1}{2} \frac{e}{m c} H \frac{l^2}{v}$ . واشترك المجالين يولّد انحرافين x و y خاضعين للمعادلة:

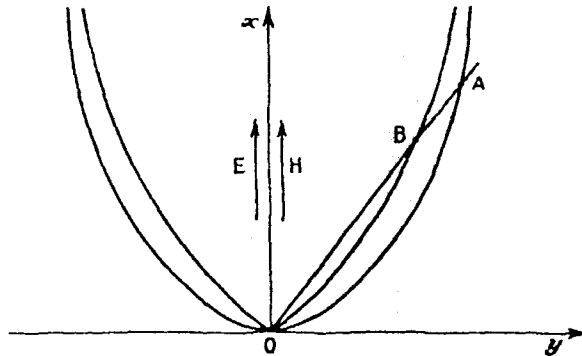
$$(X-49) \quad \frac{y^2}{x} = \frac{1}{2} \frac{e}{m} \frac{H^2}{E} \frac{l^2}{c^2} .$$

فالجسيمات التي لها النسبة  $\frac{e}{m}$  ذاتها ولكنها بسرر مختلفة تقع في مواقع على القطع المكافئ:

$$(X-50) \quad \frac{y^2}{x} = \frac{e}{m} \frac{H^2}{E} \frac{l^2}{2c^2} = c^{ie}$$

مع

$$x = \frac{e}{2m} E \frac{l^2}{v^2} , \quad y = \frac{e}{2mc} H \frac{l^2}{v} .$$



الشكل 35 - توزيع مواقع الجسيمات التي لها ذات النسبة  $\frac{e}{m}$

أما إذا كانت الكتلة تتغير مع السرعة فلا تقع الجسيمات التي لها النسبة  $\frac{e}{m}$  ذاتها على القطع المكافئ بل على منحني من الدرجة الرابعة نحصل عليه بإلغاء  $v$  بين المعادلتين:

$$(X-51)_1 \quad x = \frac{e E}{2 m} \frac{l^2}{v^2} \sqrt{1 - \beta^2}$$

$$(X-51)_2 \quad y = \frac{e E}{2' mc} \frac{l^2}{v} \sqrt{1 - \beta^2}$$

ف نجد :

$$(X-52) \quad \frac{y^2}{x} = \left( \frac{y^2}{x} \right)_{\text{parab.}} \cdot \sqrt{1 - \beta^2}$$

لا تمس هذه الخطوط المحور Oy في نقطة الأصل O ولا تقع الجسيمات في O إذا كانت السرعة  $v$  لا متناهية كما في النظريات غير النسبية بل إذا بلغت سرعة الضوء  $c$ . ويشكّل الخط المستقيم المماس على الخط المقوس في النقطة O زاوية  $\alpha$  مع المحور Ox بقيمة:

$$(X-53) \quad \text{tg } \alpha = \left( \frac{y}{x} \right)_{v \rightarrow c} = \frac{H}{E}$$

ومن جهة ثانية تتوزّع الجسيمات ذات السرعة الواحدة والكتل المتنوعة على الخطوط المستقيمة المنطلقة من نقطة الأصل:

$$(X-54) \quad \frac{y}{x} = \frac{H}{E} \frac{v}{c}$$

وإذا تغيّرت الكتلة مع السرعة كما في نظرية النسبية الخاصة يكون موقع الجسيم ذو السرعة المعينة  $v$  على مقطع الخط المستقيم (X-54)<sub>2</sub> المناسب لهذه السرعة وللقطع المكافئ الكلاسيكي بشرط أن نقلص الكمية  $\frac{y^2}{x}$  بالنسبة  $\sqrt{1 - \beta^2}$  وفقاً للمعادلة (X-52). فينتقل هكذا الموقع من A إلى النقطة B.

في تجربة غاي Guye ولافانشي Lavanchy<sup>(12)</sup> يغيّر المجالان الكهربائي والمغناطيسي للحصول على انحرافات متساوية لحزمتين من الأشعة المهبطية بسرعات مختلفة. فيمكن هكذا استنتاج نسبة الكتلتين  $m$  و  $m'$  من نسب المجالات. وكانت قياساتهما ممكنة لإلكترونات ذات سرعة تتراوح بين  $0.22c$  و  $0.49c$ .

وقد حسّن هذه القياسات ناكن Nacken<sup>(13)</sup> عام 1935 باستعمال إلكترونات ذات طاقة 200 كيلو فلوأ أي  $\beta = 0.7$ .

فتبين أن الصيغة (X-48) متّفقة تماماً مع التجربة. بينما التوقعات غير النسبية

GUYE et LAVANCHY. Arch. Sc. Phys. Nat. Genève, 41, 1916, 286, 353 et 441. (12)

M. NACKEN. Ann. d. Phys., 25, 1935, 313. (13)

المبنية على فرضيات أبراهام لا تتفق أبداً مع هذه التجارب. مما يعني صحة تغير الكتلة مع السرعة.

وتثبت أيضاً صحة هذا التغير وسائل تسريع الجسيمات الثقيلة (بروتونات وإلكترونات وجسيمات) بواسطة المجال المغناطيسي في السيكلوترون (المسرّع الحلقي) cyclotron. تتبع هذه الجسيمات مساراً دائرياً تحت تأثير المجال المغناطيسي المتعامد على سرعة الجسيمات. ويكون التردد ثابتاً إذا لم تتغير الكتلة<sup>(4)</sup> ويزداد الشعاع ( $v = r\omega$ ) مع كل دفع لهذه الجسيمات. وإذا وصلت الجسيمات إلى السرعة العالية (تبلغ  $\beta$  القيمة 0.145 للدوترونات ذات الطاقة 20 MeV) يبدأ التردد بالتناقص بسبب زيادة  $m(v)$ . مما يسبب نوعاً من كبح السرعة يمكن التغلب عليه بتوافق المجال المسرّع مع حركة الجسيم المشحون سواء بتغيير شدة المجال المغناطيسي الذي يجب أن يزداد كلما ازدادت الكتلة [السنكروترون synchrotron (مسرّع تزامني)] أو بتغيير تردد المجال المسرّع فيخفض هذا التردد كلما ازدادت الكتلة (وتسمى هذه الأجهزة سنكروسيكلوترون synchrocyclotron أو مسرّعاً حلقياً متزامناً)].

## 6) التصادم المرن بين الجسيمات

لندرس التصادم المرن elastic collision لجسيمين بكتلة ذاتية متساوية  $m_0$  في هيكل إسناد المختبر S. يكون أحد هذين الجسيمين  $P_0$  ساكناً في النقطة O، أما الثاني  $P_1$  فيتحرك بسرعة  $v_1$ . بعد التصادم في النقطة O يسير الجسيमान على الخطين  $OP'_1$  و  $OP'_2$  بالسرعتين  $V'_1$  و  $V'_2$  في الهيكل الاسنادي S.

نختار المحاور Ox و Oy في السطح المستوي ( $OP_1, OP'_1$ ) بحيث يكون المحور Ox باتجاه  $OP'_1$  أي  $V'_1$ . إستناداً لمبدأ حفظ الزخم تكون السرعة  $V'_2$  أيضاً في السطح xOy. واتجاه السرعة  $V_1$  و  $V'_1$  و  $V'_2$  يعني اتجاه الزخم  $P_1$  و  $P'_1$  و  $P'_2$ .

لتكن  $\varphi$  و  $\theta$  زاويتي المحاور  $OP_1$  و  $OP'_2$  مع Ox. فتكون  $\theta$  أيضاً الزاوية بين مساري الجسيمين بعد التصادم. إستناداً إلى مبدأ حفظ الزخم نجد بالإسقاط على المحاور Ox و Oy.

(14) نجد استناداً إلى (IX-34):

$$\nu = \frac{\omega}{2\pi} = \frac{eH}{2\pi mc} \quad \text{أو} \quad m\omega^2 r = \frac{e}{c} \omega r H \quad \text{أو} \quad f = m\psi = \frac{e}{c} [V \wedge h]$$

$$(X-55) \quad P_1 \cos \varphi = P'_1 + P'_2 \cos \theta$$

$$(X-56) \quad P_1 \sin \varphi = P'_2 \sin \theta.$$

فينتج عن هاتين المعادلتين:

$$(X-57) \quad 2P'_1 P'_2 \cos \theta = P_1^2 - P_1'^2 - P_2'^2$$

ومن جهة ثانية يعطي قانون حفظ الطاقة العلاقة:

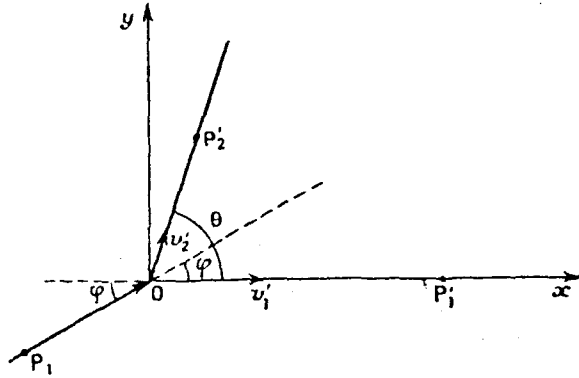
$$(X-58) \quad m_1 + m_0 = m'_1 + m'_2.$$

ويجب أن نأخذ بعين الاعتبار العلاقة:

$$(X-59) \quad \frac{p^2}{c^2} = m^2 - m_0^2 \quad \text{أو} \quad \frac{W_2}{c^2} = p^2 + m_0^2 c^2$$

فتصبح المعادلة (X-57):

$$(X-60) \quad \begin{aligned} \frac{2}{c^2} P'_1 P'_2 \cos \theta &= (m_1^2 - m_0^2) - (m_1'^2 + m_2'^2 - 2m_0^2) \\ &= m_1^2 + m_0^2 - m_1'^2 - m_2'^2 \end{aligned}$$



الشكل 36 - التصادم المرن لجسيمين

ولكن استناداً إلى (X-58) نكتب

$$(X-61) \quad m_1 = m'_1 + m'_2 - m_0$$

مما يعطي

$$(X-62) \quad \frac{2}{c^2} P'_1 P'_2 \cos \theta = 2 (m_0^2 + m'_1 m'_2 - m'_1 m'_0 - m'_2 m'_0)$$

أي:

$$(X-63) \quad \frac{P'_1 P'_2}{c^2} \cos \theta = (m'_2 - m_0) (m'_1 - m_0)$$

أ - في الميكانيك غير النسبي  $m_0 = m'_1 = m'_2$  فنجد:

$$(X-64) \quad \theta = \frac{\pi}{2} \quad \cos \theta = 0 \quad (\text{إذا } P'_1 P'_2 \neq 0 \text{ أي:})$$

مما يعني أن الجسيمين يتبعان مسارين متعامدين بعد التصادم.

ب - في الميكانيك النسبي يشكّل المساران بعد التصادم زاوية  $\theta$  بحيث إن:

$$(X-66) \quad \cos \theta = \frac{(m'_2 - m_0) (m'_1 - m_0)}{\sqrt{(m_1'^2 - m_0^2) (m_2'^2 - m_0^2)}} \\ = \sqrt{\frac{(m'_2 - m_0) (m'_1 - m_0)}{(m_2' + m_0) (m_1' + m_0)}}$$

ولكن إذا  $P'_1 P'_2 \neq 0$  نجد:

$$(X-67) \quad m'_2 = \frac{m_0}{\sqrt{1 - \beta_2^2}} > m_0, \quad m'_1 = \frac{m_0}{\sqrt{1 - \beta_1^2}} > m_0$$

أي:

$$(X-68) \quad (m'_2 - m_0) (m'_1 - m_0) > 0$$

ومن ثم:

$$(X-69) \quad \cos \theta > 0, \quad 0 < \theta < \frac{\pi}{2}$$

فتكون زاوية المسارين بعد التصادم دائماً زاوية حادة.

ويمكن كتابة هذه النتائج بصيغ مختلفة قليلاً وذلك باستعمال الزوايا  $\phi$  و  $\psi$  التي

تشكلها  $OP'_1$  و  $OP'_2$  مع المسار الأصلي  $OP_1$  فنجد:

$$(X-70) \quad \theta = \varphi + \psi$$

مما يعطي:

$$(X-71) \quad \operatorname{tg} \varphi \operatorname{tg} \psi = \operatorname{tg} \varphi \operatorname{tg} (\theta - \varphi) = \frac{\operatorname{tg} \varphi \operatorname{tg} \theta - \operatorname{tg}^2 \varphi}{\operatorname{tg} \varphi + \operatorname{tg} \theta \operatorname{tg}^2 \varphi}$$

ولكن استناداً إلى المعادلات (X-66) و (X-55) و (X-56) و (X-59):

$$(X-72) \quad \operatorname{tg}^2 \theta = \frac{2m_0 (m'_1 + m'_2)}{(m'_2 - m_0) (m'_1 - m_0)}$$

$$(X-73) \quad \operatorname{tg}^2 \varphi = \frac{\sin^2 \theta}{\left(\frac{P'_1}{P'_2} + \cos \theta\right)^2} = \frac{2m_0 (m'_2 - m_0)}{(m'_1 - m_0) (m'_1 + m'_2)}$$

فتصبح الصيغة (X-71) بعد أخذ الصيغة (X-58) بالحسبان:

$$(X-74) \quad \operatorname{tg} \varphi \operatorname{tg} \psi = \frac{2m_0}{m'_1 + m'_2} = \frac{2m_0}{m_0 + m_1}$$

وإذا كانت للجسيمات  $P_0$  و  $P_1$  كتل متساوية في حالة السكون نجد:

$$(X-75) \quad m_1 = \frac{m_0}{\sqrt{1 - \frac{v_1^2}{c^2}}} \quad \left(\beta = \frac{v_1}{c}\right).$$

أي:

$$(X-76) \quad \operatorname{tg} \varphi \operatorname{tg} \psi = \frac{2\sqrt{1 - \beta^2}}{1 + \sqrt{1 - \beta^2}}$$

وفي الحدود غير النسبية ( $\beta \rightarrow 0$ ) نحصل على النتيجة الكلاسيكية (X-64):

$$(X-77) \quad \theta = \varphi + \psi \rightarrow \frac{\pi}{2} \quad \text{أي:} \quad \operatorname{tg} \theta = \operatorname{tg}(\varphi + \psi) \rightarrow \infty$$

وتتفق تماماً هذه النتائج مع التجربة. فإذا كانت السرعة الأصلية قليلة بالمقارنة مع  $c$  نلاحظ وفقاً للميكانيك الكلاسيكي أن المسارات النهائية  $OP'_1$  و  $OP'_2$  متعامدة.

وهذا ما نحصل عليه فعلاً في حجرة ولسون إذا اصطدمت جسيمة  $\alpha$  مع نواة الهليوم.

أما إذا كانت سرعة القذيفة غير قليلة بالنسبة إلى سرعة الضوء، تُظهر التجربة صحة توقعات النسبية الخاصة. وإذا اصطدم إلكترون سريع بالكترون ساكن مثلاً في حجرة ولسون نلاحظ أن المسارات تشكّل زاوية حادة بعد الاصطدام. وقد أثبتت تجارب تشامبيون<sup>(15)</sup> صحة الصيغ (X-69) وذلك بقياس مباشر للزوايا  $\theta$  و  $\varphi$  لعدة سرع أصلية. وأكدت ذلك صور رائعة أخذت في حجرة ولسون. وتظهر إحدى هذه الصور<sup>(16)</sup> اصطدام إلكترون سريع ( $\beta = 0.968$ ) بالكترون ساكن فيشكل الإلكترون بعد الإصطدام زاوية  $60^\circ$ . وتظهر صورة أخرى<sup>(17)</sup> أيضاً اصطداماً مرناً لإلكترون سريع ( $\beta = 0.93$ ) بالكترون ساكن فيشكل الإلكترونان بعد الاصطدام زاوية  $72^\circ$ .

## 7) ظاهرة كمبتون

لندرس الآن اصطدام فوتون طاقته:

$$(X-78) \quad E = h\nu.$$

بالكترون ساكن. لا نستطيع أن نطبّق على الفوتون القواعد النسبية التي تدخل فيها الكمية  $\frac{1}{\sqrt{1-\beta^2}}$  لأن  $\beta_{\text{photon}} = 1$  للفوتون. بيد أن العلاقة

$$(X-79) \quad \frac{W_2}{c^2} = P^2 + \mu_0^2 c^2$$

تبقى صحيحة للفوتون وبشكل عام للجسيمات ذات الكتلة الذاتية  $\mu_0$  المنعدمة فتصبح تلك العلاقة في حالة الفوتون  $\gamma$  ( $\mu_0 = 0$ ):

$$(X-80) \quad P = \frac{W}{c} = \frac{h\nu}{c}.$$

لنفترض أن الفوتون يسقط باتجاه  $MM'$  متوازٍ مع المحور  $Ox$ . بعد الإصطدام يخرج الفوتون باتجاه  $O\gamma$  بينما يتراجع الإلكترون الساكن في  $E$  قبل الاصطدام على المسار  $E\epsilon$ .

F.C. CHAMPION, Proc. Roy. Soc. A 136, 1932, 630. (15)

M<sup>me</sup> P. CURIE. Radioactivité. t. I Paris 1935, PI. XVI. (16)

L. LEPRINCE RINGUET. Thèse Paris, 1936, PI. VI. (17)



نرمز بالكميات  $\nu$  و  $W$  و  $P$  إلى تردد وطاقة وزخم الفوتون قبل الاصطدام و  $\nu'$  و  $W'$  و  $P'$  إلى هذه الكميات بعد الاصطدام وترمز  $m_0$  إلى كتلة الإلكترون و  $\nu$  إلى سرعته بعد الاصطدام. تكتب قوانين حفظ الطاقة والزخم بالصيغ:

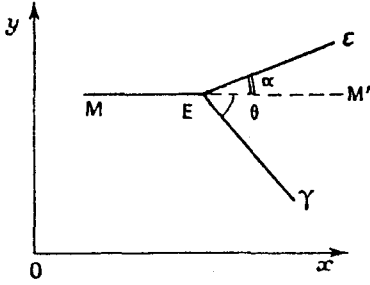
$$(X-81) \quad W + m_0c^2 = W' + \frac{m_0c^2}{\sqrt{1 - \beta^2}} \quad \left( \beta = \frac{v}{c} \right)$$

$$(X-82) \quad P = P' + \frac{m_0v}{\sqrt{1 - \beta^2}}.$$

إذا أسقطنا المعادلة (X-82) على المحاور  $Ox$  و  $Oy$  نجد (أنظر إلى الرسم 37):

$$(X-83)_1 \quad P = P' \cos \theta + \frac{m_0v}{\sqrt{1 - \beta^2}} \cos \alpha$$

$$(X-83)_2 \quad 0 = -P' \sin \theta + \frac{m_0v}{\sqrt{1 - \beta^2}} \sin \alpha.$$



الشكل 37 - اصطدام فوتون بإلكترون

وإذا شكَّنا استناداً إلى العلاقات (X-83)<sub>1</sub> و (X-83) الصيغة  $\sin^2 \alpha + \cos^2 \alpha$  وأحللنا في النتيجة الزَّخمين  $P$  و  $P'$  بقيم الصيغة (X-80) نجد:

$$(X-84) \quad \frac{m_0^2 v^2 c^2}{1 - \beta^2} = h^2 (\nu^2 + \nu'^2 - 2\nu\nu' \cos \theta).$$

ولكن من جهة ثانية تكتب المعادلة (X-81) بالصيغة:

$$(X-85) \quad \frac{m_0c^2}{\sqrt{1 - \beta^2}} = h (\nu - \nu') + m_0c^2.$$

فإذا حسبنا تربيع هذه المعادلة وطرحنا من المعادلة (X-84) نجد:

$$(X-86) \quad m_0^2 c^4 = -2h^2 \nu \nu' (1 - \cos \theta) + m_0c^2 [m_0c^2 + 2h (\nu - \nu')].$$

أي:

$$(X-87) \quad 2h\nu\nu' \sin^2 \frac{\theta}{2} = m_0c^2 (\nu - \nu').$$

وإذا استبدلنا  $\nu$  و  $\nu'$  بالكميات  $\frac{c}{\lambda}$  و  $\frac{c}{\lambda'}$  نجد:

$$(X-88) \quad \lambda' - \lambda = \frac{2h}{m_0c} \sin^2 \frac{\theta}{2}.$$

ويسمى هذا التغيير في قيمة طول الموجة ظاهرة كمبتون Compton ويبلغ مداه الأعلى إذا كانت الزاوية  $\theta = \pi$  أي إذا تراجع الفوتون في الإتجاه المعاكس لإتجاه السقوط. فيصبح عندئذ طول موجته:

$$(X-89) \quad \lambda' = \lambda + \frac{2h}{m_0c}.$$

أما إذا انحرف الضوء بزاوية قائمة ( $\theta = \frac{\pi}{2}$ ) فيزداد طول موجته بالمقدار:

$$(X-90) \quad \Delta\lambda = \frac{h}{m_0c}$$

وتسمى هذه الكمية طول موجة كمبتون Compton wavelength.

إن تكيف النظريات الكمومية مع الصياغة النسبية يعطي عدداً كبيراً من التطبيقات التي تشكّل إثباتاً من هذه النظريات. ولكي لا نبتعد عن النظريات الكلاسيكية عرضنا هنا أبسط هذه الإثباتات وهي ظاهرة كمبتون. فالتكوين الدقيق لطيف الهيدروجين (سومرفلد Sommerfeld) والميكانيك الموجي النسبي وإدخال دومة الإلكترون (ديراك) وأخيراً الصياغة النسبية للنظريات الكمومية للمجالات تشكّل كلها امتدادات مثمرة وبديعة للنسبية الخاصة.

### ج - تعادل الكتلة والطاقة

#### (8) نقص الكتلة والطاقة النووية

تتوقع نظرية النسبية (كما رأينا في الفصل الثامن المقطع 6) أن تكون الكتلة  $M_0$  لتشكل ثابت من الجسيمات المترابطة أقل من مجموع كتل الجسيمات التي تكوّنه. ونقص الكتلة:

$$(X-91) \quad \Delta m = \sum_i (m_i)_0 - M_0 = \frac{\Delta E}{c^2} > 0$$

يتناسب مع طاقة الترابط  $\Delta E$  بين الجسيمات (وهي الطاقة التي يجب إمدادها للجسم كي ينقسم إلى الجسيمات التي تكوّنه).

أما إذا كان التشكيل غير ثابت فتكون كتلته أكبر من مجموع كتل الجسيمات التي تكوّنه (أو التشكيلات التي يمكن أن ينقسم إليها) أي أن:

$$(X-92) \quad \Delta m = \sum_i (m_i)_0 - M_0 = - \frac{\Delta E}{c^2} < 0.$$

ويمكن أن يتفتت الجسم إلى مركّباته فيعطي الطاقة  $\Delta E$ .

وقد ثبت فعلاً وجود نقص في كتل النواة الذرية الثابتة إذ تكون طاقة ترابط النُوَيَات مرتفعة جداً. وباستعمال مطياف الكتلة mass spectrograph للنواة الأكثر ثباتاً (أي ذات طاقة الارتباط العالية) تأكدت تجريبياً صحة العلاقة:

$$(X-93) \quad \Delta m = \sum_i (m_i)_0 - M_0 > 0.$$

وأبسط مثل على ذلك هو الدوتريون deuteron  ${}^2_1\text{D}$  وهو نواة الهيدروجين الثقيل<sup>(18)</sup> فكئلته (في نظام للوحدات تكون فيه كتلة الأكسجين 16 UM) هي:

$$M_0 = 2.01417 \text{ UM}$$

ولكن نواة الدوتريون تتألف من بروتون ( $m_p = 1.00727$ ) ونيوترون ( $m_n = 1.00866$ ) فنجد إذاً:

$$\Delta m = \sum m_i - M_0 = 0.00233 \text{ UM}$$

أي:

$$\Delta m = 0.0387 \times 10^{-25} \text{ gr.}$$

### 9) ميزانية التفاعلات النووية

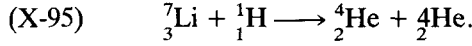
يمكن أن نتأكد من صحة العلاقة النسبية:

$$(X-94) \quad \Delta E = \Delta m \cdot c^2$$

من القياسات المتعلقة بالتفاعلات النووية التي تحوّل تشكيلاً له نقص كتلة معين إلى

تشكيلات أخرى بفرق كتلة مختلف. فتكون الخسارة في الكتلة الناتجة عن التفاعل النووي معادلة لربح في الطاقة في هذا التفاعل.

أ - من المعروف أن الليثيوم  $^{19}_3\text{Li}$  يتحول إلى تشكيل غير ثابت إذا رجم ببروتونات سريعة، وينقسم هذا التشكيل إلى جسيمين  $\alpha$ :



يعطينا مطياف الكتلة للنوى  ${}^7_3\text{Li}$  و  ${}^1_1\text{H}$  و  ${}^4_2\text{H}$  (بنظام الوحدات  $16 = 0$ ) فرق الكتلة<sup>(20)</sup>:

$$(X-96) \quad \Delta m = 7.0166 + 1.0076 - (2 \times 4.0028) = 0.0186 \text{ UM}$$

أي:

$$(X-97) \quad \Delta m = 0.309 \times 10^{-25} \text{ gr.}$$

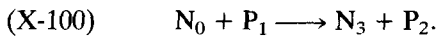
$$(X-98) \quad \Delta m \cdot c^2 = 27.7 \times 10^{-6} \text{ erg.}$$

وتمثل الطاقة (X-98) فرق الطاقة الحركية للجسيمات  $\alpha$  الناتجة عن التفاعل والطاقة الحركية للبروتون الراجم. وتثبت التجربة أن الفرق في هذه الطاقات الحركية هو<sup>(21)</sup>:

$$(X-99) \quad \Delta E = 17.28 \pm 0.03 \text{ MeV} = (27.6 \pm 0.05) \times 10^{-6} \text{ erg.}$$

فتكون مقارنة الصيغ (X-98) و (X-99) تأكيداً رائعاً لصحة العلاقة (X-94).

ب - لنفترض أن نواة  $N_0$  ساكنة في هيكل الإسناد S تُقذف بجسيمات سريعة  $P_1$ . فيتحول التشكيل غير الثابت من هذه الجسيمات إلى نواة نهائية  $N_3$  وجسيم خفيف  $P_2$ . فيُكتب التفاعل:



للتأكد من صحة العلاقة (X-94) بين الكتلة والطاقة يجب أن نقيس الفرق في الكتلة

J.D. COCKROFT et G.T.S. WALTON. Proc. Roy. Soc. A 137, 1932, 229. (19)

K.T. BAINBRIDGE et E.B.JORDAN, Phys. Rev., 51, 1937, 384; H.BETHE et M.S. (20)

LIVINGSTON, Rev. Mod. Phys., 9, 1937, 370.

N.M. Smith. Phys. Rev., 56, 1939, 548. (21)

بواسطة مطياف الكتلة وأن نقيس الطاقة الناتجة عن التفاعل النووي. هذه الطاقة هي الفرق بين الطاقة الحركية بعد وقبل التفاعل. وتكتب قوانين حفظ الطاقة والزخم بالصيغ التالية:

$$(X-101) \quad E = T_2 + T_3 - T_1 \quad (T_0 = 0)$$

$$(X-102) \quad P_3 = P_1 - P_2 \quad (P_0 = 0)$$

حيث ترمز  $T_0$  و  $T_1$  و  $T_2$  و  $T_3$  إلى الطاقات الحركية وترمز  $P_0$  و  $P_1$  و  $P_2$  و  $P_3$  إلى زخم الجسيمات  $N_0$  و  $P_1$  و  $P_2$  و  $N_3$ . لنفترض أن النواة النهائية  $N_3$  ثقيلة وسرعتها خفيفة بحيث انه يمكن حساب طاقتها بالصيغة الكلاسيكية فنجد:

$$(X-103) \quad P^2 = m^2 v^2 = 2mT.$$

ومن جهة ثانية إذا كانت  $\theta$  الزاوية التي يشكّلها الجسيم الأخير  $P_2$  مع الجسيم الراجع  $P_1$  تكتب المعادلة (X-102) بالصيغة:

$$(X-104) \quad P_3^2 = P_1^2 + P_2^2 - 2P_1P_2 \cos \theta$$

أي إذا استعملنا (X-103):

$$(X-105) \quad m_3 T_3 = m_1 T_1 + m_2 T_2 = 2 \sqrt{m_1 T_1 m_2 T_2} \cos \theta.$$

في أكثر الأحيان يدرس إصدار الجسيمات بزاوية  $\theta = \frac{\pi}{2}$  فتكون طاقة هذه الجسيمات:

$$(X-106) \quad T_3 = \frac{m_1 T_1 + m_2 T_2}{m_3}$$

وإذا أحلنا هذه النتيجة في (X-101) نجد:

$$(X-107) \quad E = T_2 + \frac{m_1 T_1 + m_2 T_2}{m_3} - T_1 = \frac{(m_3 + m_2)}{m_3} T_2 - \frac{(m_3 - m_1)}{m_3} T_1.$$

لتحديد  $E$  يكفي إذاً أن نقيس الطاقات  $T_1$  و  $T_2$  للجسيم الراجع والجسيم الصادر. إذا كان الجسيم مشحوناً، يكون قياس طاقته بقياس المسافة الوسطية التي تقطعها في مادة معينة. فالدراسة المسبقة للإصدار الإشعاعي radioactive emissions تتيح

معرفة العلاقة بين الطاقة والمسافة التي يقطعها البروتون والدوترون إذ تقاس طاقتها مباشرة بالإنحراف المغنطيسي. ولا يمكن استعمال هذه الطريقة لقياس طاقة جسيمات غير مشحونة مثل النيوترونات. فهذه تقاس غير مباشرة من المسافة الوسطية التي تقطعها بروتونات متراجعة ناتجة عن رجم مادة تحتوي على الهيدروجين بهذه النيوترونات.

تتفق النتائج التجريبية دائماً مع التوقعات المستندة إلى العلاقة (X-94) بين الطاقة والكتلة بدقة تصل إلى 1% لعدد كبير من التفاعلات المتنوعة.

ج - أخيراً تجارب تكوين أزواج من الجسيمات ذات الشحن المتقابلة والطاقة  $2m_0c^2$  من إشعاع كهرمغناطيسي بطاقة  $E_0 = hv_0$  والتفاعل المعاكس أي اختفاء الأزواج إلى فوتونات  $2m_0c^2 \rightarrow hv_0$  تعطي علاقة تعادل الطاقة والكتلة (X-94) معنى خاصاً في حالة التحول الكامل لطاقة الإشعاع إلى كتلة أو العكس.

مسألة:

يتحرك جسيم من جسيمات الإشعاع الكوني بسرعة قريبة من سرعة الضوء.

أ - إحسب مركبات المجالين الكهربائي E والمغنطيسي H اللذين يكونهما هذا الجسيم.

ب - إثبت أن هذا المجال يطابق مجال حزمة قصيرة للموجات الأحادية اللون (انظر المرجع [9] P.138 (p. G. BERGMANN).

الحل:

أ - نحسب أولاً المجال في هيكل إسناد الجسيم الذاتي  $S'$  وهو مجال كهربائي  
بحث:

$$(1) \quad \varphi'^{p0} = \partial'^p \left( \frac{q}{r'} \right) = \frac{q x'^p}{r'^3} \quad (r'^2 = \sum_p (x'^p)^2).$$

ثم ننتقل إلى هيكل إسناد المختبر S المتحرك بسرعة  $-v$  بالنسبة إلى  $S'$ . نختار Ox باتجاه  $v$  فتكتب العلاقات (IX - 5) كما يلي:

$$(2) \quad \varphi^{10} = \varphi'^{10}, \quad \varphi^{20} = \frac{\varphi'^{20}}{\sqrt{1 - \beta^2}}, \quad \varphi^{30} = \frac{\varphi'^{30}}{\sqrt{1 - \beta^2}}$$

$$\varphi^{23} = 0, \quad \varphi^{31} = -\frac{\beta\varphi'^{20}}{\sqrt{1-\beta^2}}, \quad \varphi^{12} = \frac{\beta\varphi'^{30}}{\sqrt{1-\beta^2}}$$

ثم نستعمل قوانين التحويل الخاص لكتابة صيغة  $\varphi^{p0}$  في أي هيكل إسناد غاليلي:

$$\varphi'^{10} = q \left[ \frac{(x-vt)^2}{(1-\beta^2)} + y^2 + z^2 \right]^{-\frac{3}{2}} \frac{x-vt}{\sqrt{1-\beta^2}}$$

$$\varphi'^{20} = qy \left[ \frac{(x-vt)^2}{1-\beta^2} + y^2 + z^2 \right]^{-\frac{3}{2}}$$

$$\varphi'^{30} = qz \left[ \frac{(x-vt)^2}{1-\beta^2} + y^2 + z^2 \right]^{-\frac{3}{2}}$$

فيذا أحلنا هذه الصيغ في (2) نجد:

$$\varphi^{10} = q \frac{(x-vt)^2}{\rho^2}, \quad \varphi^{20} = \frac{qy}{\rho^2}, \quad \varphi^{30} = \frac{qz}{\rho^2},$$

$$\varphi^{23} = 0, \quad \varphi'^{31} = -\frac{\beta qy}{\rho^3}, \quad \varphi'^{12} = \frac{\beta qz}{\rho^2}$$

حيث:

$$\rho = (1-\beta^2)^{\frac{1}{2}} \left( \frac{(x-vt)^2}{1-\beta^2} + y^2 + z^2 \right)^{\frac{1}{2}}$$

ب - في الحالة  $v = c$  يبلغ  $|E| = \sqrt{\Sigma_p E_p^2}$  مداه الأعلى إذا  $t_0 = \frac{x}{v}$ . إذا وضعنا  $t = t_0$ ، نجد  $|E| = |H|$  ويكون  $E$  باتجاه  $Ox$  وعمودياً على  $H$ .

الجزء الثالث

---

النسبية العامة



## النسبية العامة

### أ - قانون نيوتن للجاذبية

#### (1) قانون نيوتن للجاذبية والتجربة

يعطي قانون نيوتن صيغة قوة التجاذب بين جسمين. فإذا كان الجسمان نقطتين يبعدان مسافة  $r$  تكون القوة متناسبة عكسياً مع  $r^2$  ومتناسبة مع ثابتين  $M'$  و  $M$  يميزان الجسمين:

$$(XI - 1) \quad F = -K \frac{MM'}{r^2}$$

تمثل  $M$  كتلة جاذبية الجسم الأول و  $M'$  كتلة جاذبية الجسم الثاني. أما  $K$  فهي ثابت عام وقيمه تتغير تبعاً لنظام الوحدات المستعمل لقياس الكتلة.

#### 1.1 - الاختلافات بين قانون نيوتن والتجربة

لقد حقق قانون نيوتن نجاحاً كبيراً. فقد قال بوانكاريه مثلاً إن الميكانيك السماوي celestial mechanics لم يكن يرمي إلا للتأكد من صحة قانون نيوتن للجاذبية. وبين مجموعة الإثباتات الساطعة كانت الاختلافات الوحيدة التي ظهرت في منتصف القرن التاسع عشر تتعلق بحركة الكواكب الكبيرة<sup>(1)</sup>.

Cf. G. CHAZY [19] v.1, p.140.

(1)

فقد استأنف لوفيرييه Le Verrier عام 1850 أعمال لابلاس بدراسة حركة الكواكب المعروفة في ذلك العصر. وأثبت بشكل خاص أن نقطة رأس perihelion عطارد Mercury تتقدم بزاوية قدرها 38 ثانية كل قرن بالمقارنة مع التوقعات النيوتنية. وأكدت حوالي عام 1880 أعمال نيوكمب Newcomb بقياسات أكبر وأدق نتيجة لوفيرييه وقدّر تقدم نقطة رأس عطارد بقيمة 42 ثانية من الزوايا كل قرن. كما أشار نيوكمب إلى خلافين آخرين محتملين مع نظرية نيوتن وهما تقدم نقطة رأس المريخ التي تزيد بقيمة 8 ثوانٍ من الزوايا كل قرن عن القيم المحسوبة استناداً إلى نظرية نيوتن (وهذا يزيد عن ثلاثة أضعاف الخطأ المحتمل في القياس)، وتقدم نقطة عقدة node مسار كوكب الزهرة وقيمه 10 ثوانٍ كل قرن (وهذا يزيد عن خمسة أضعاف الخطأ المحتمل)<sup>(2)</sup>.

عدا هذه الاختلافات الثلاثة المتعلقة بحركة الكواكب الكبيرة كانت اختلافات أخرى غير أكيدة. وأهم اثنين منها كانا يتعلقان بحركة القمر وحركة مذنب إنكي Encke.

فالإختلاف البسيط في حركة القمر (وقد أشار إليه هالي Halley عام 1693) يمكن تفسيره بفرضية تغير انحراف مركز eccentricity شكل الأرض (لابلاس)، أو بتباطؤ حركة الأرض بسبب المد والجزر مما يسبب تسارعاً متغيراً في حركة القمر. كذلك تظهر حركة مذنب إنكي تسارعاً متغيراً قد يكون عائداً إلى تيارات النيازك.

نوجز فنقول إن الاختلاف الأساسي والذي لا تفسير له بين التوقعات النيوتنية والتجربة يتعلق بحركة الكواكب الكبيرة وخصوصاً تقدم نقطة رأس عطارد.

## 2.1 - التفسيرات «النيوتنية» لهذه الاختلافات

لتفسير ابتعاد التوقعات النيوتنية عن التجربة اقترحت عدة فرضيات يمكن وصفها بأنها «نيوتنية» بمعنى أنها لا تغير قانون نيوتن الأساسي المستند إلى التفاعل عن بعد.

**حلقة من الكواكب الصغيرة:** افترض لوفيرييه وجود كوكب أقرب إلى الشمس من

(2) اكدت أيضا هذه الأرقام أعمال دوليتل DOOLITTLE عام (1912) وأعمال روس ROSS وقد اعتبر بوانكاريه أن الخلاف بين نظرية نيوتن والتجربة أكيد في حالة مسار عطارد ومحتمل في حالة مسار الزهرة ومشكوك فيه كثيرا في حالة مسار المريخ.

كوكب عطارد مما يسبب تقدم نقطة رأس عطارد. ولكن هذا الكوكب لم يشاهد رغم أن خصائصه المقترحة تجعل ذلك ممكناً. لذلك افترض بعضهم وجود حلقة من الكواكب الصغيرة أقرب إلى الشمس من كوكب عطارد. هذه الفرضية يمكن أن تفسر خروج حركة المريخ عن القاعدة ولكنها لا تستطيع تفسير الاختلافات في مسارات الزهرة والمريخ في الوقت ذاته.

**لا كُروية الشمس أو الطوق الشمسي:** لتفسير تقدم نقطة رأس عطارد يكفي ألا تكون الشمس كروية تماماً. ولكن مقابلة قطر الشمس القطبي وقطرها الإستوائي (قياسات أورز Auwers عام 1832) لا تؤيد هذه الفرضية كما يبدو. ومن جهة ثانية إذا كانت هذه الفرضية صحيحة فإنها تقود إلى تباطؤ عقدة عطارد التي تساوي تقريباً تقدم نقطة أوج مساره وهذا ما لم يشاهد.

**ضوء البروج zodiacal light وفرضية سيليجر Seeliger:** إن وجود ضوء البروج يشير إلى أن الشمس تحيط بها مادة منتشرة بشكل عدسة محدبة الوجهين biconvex. وهذه المادة تمتد بكثافة متناقصة إلى أبعد من مدار الأرض. وبشكل مسطح البروج سطح التناظر لهذه المادة. ويكفي وجود هذه المادة لتقدم نقطة رأس عطارد. ولا تستطيع هذه الفرضية كما أحيها سيليجر أن تفسر بالوقت ذاته الاختلافات في حركة الكواكب الكبيرة إلا إذا حدد توزيع كثافة هذه المادة كي تسبب ضوء البروج. وهذا التوزيع غير الصحيح على الأرجح هو اعتباطي. وتعادل هذه الفرضية جزئياً على الأقل فرضية حلقة الكواكب داخل مسار عطارد وتمائلها بغياب التبريرات.

يبدو إذاً أن الفرضيات النيوتنية لتفسير الاختلافات الثلاثة الأساسية بين نظرية نيوتن للجاذبية والتجربة هي غير كافية واعتباطية بالوقت ذاته.

### 3.1 - القوانين غير النيوتنية للجاذبية

من الممكن أن نحاول تفسير الاختلافات بين قانون نيوتن للجاذبية والتجربة بتعديل خفيف لهذا القانون للإلتقاء بالنتائج التجريبية.

**قانون هول Hall:** أول قانون غير نيوتني للجاذبية اقترحه هول عام (1895) والذي اقترح استبدال قانون نيوتن بالقانون:

$$(XI-2) \quad F(r) = -K \frac{MM'}{r^N}$$

فنجد فعلاً تقدماً أو تباطؤاً لنقطة رأس الكواكب تبعاً لاختيار  $N$  أكبر أو أصغر من العدد  $2^{(3)}$ .

ويُستخلص من تقدم نقطة رأس عطارد أن  $N = 2.000.000 \times 16$ . ولكن إذا حافظنا على قيمة  $K$  ذاتها لا ينطبق هذا القانون على حركة القمر.

قانون نيوتن مع حد تصحيحي: يمكن اقتراح زيادة حد تصحيحي إلى قانون نيوتن الأساسي  $\frac{1}{r^2}$ . ويكون هذا الحد التصحيحي  $\frac{1}{r^2}$  مع  $(n = 3,4,5)$ :

$$(XI-3) \quad F = -K \frac{MM'}{r^2} \left( 1 + \frac{\alpha}{r^n} \right)$$

ويجب أن يكون المعامل  $\alpha$  إيجابياً كي يسبب تقدم نقطة الرأس (وليس تباطؤها). ولكن تبين أنه ليس هناك معامل  $\alpha$  يعطي نتيجة مقبولة لتقدم نقطة رأس عطارد والكواكب الأخرى، ولتقدم حضيض القمر perigee (وهي أقرب نقطة من مساره إلى الأرض). وقد طرح ديكومب Decombes الصيغة

$$(XI-4) \quad F(r) = -K \frac{MM'}{r^2} \left( 1 + \frac{\alpha}{r^3} \right)$$

التي يمكن ربطها، حسب واضعها، بالتفاعلات الكهربائية. ويتغير المعامل  $\alpha$  تبعاً لكتلة الكوكب وشعاعه والتحريض الكهربائي. ونشير أيضاً إلى صيغة أخرى لقانون الجاذبية:

$$(XI-5) \quad F(r) = -K \frac{MM'}{r^2} e^{-\alpha r}.$$

اقترحها لابلان وتذكّرنا بصيغة مماثلة لتحويل قوة كولون كي تصبح قوة يوكاوا Yukawa للتفاعلات النووية.

استعمال فضاء غير إقليدي: أخيراً يمكن أن نفترض أن قانون نيوتن يطبّق في فضاء إهليلجي أو كروي أي غير إقليدي بشكل عام. عندئذ يجب استبدال المسافة  $r$  بين الجسمين المتجاذبين بصيغتها في الفضاء الإهليلجي أو الكروي. فإذا كان الفضاء كروياً بشعاع  $R$  تصبح المسافة  $R \arcsin \frac{r}{R}$  فنجد القوة:

(3) يكون تقدم نقطة الرأس  $\pi(N-2)$  لكل الكواكب.

$$(XI-6) \quad F(r) = - \frac{KMM'}{R^2 \left( \arcsin \frac{r}{R} \right)^2} \approx - \frac{KMM'}{r^2} \left( 1 + \frac{r^2}{3R^2} \right).$$

ولكن يصعب الاحتفاظ بهذه الصيغة لأنه يجب أن تعطى R كمية غير معقولة للحصول على تقدير صحيح لتقدم نقطة الرأس.

## 2) كمون الجاذبية وخصائصه - تعادل الكتلة الجاذبية والكتلة العطالية

تدخل في صيغة قانون نيوتن للتفاعل عن بعد

$$(XI-1) \quad \boxed{F = -K \frac{MM'}{r^2}}$$

الكتلة M و M' للجسمين. وتسمى هذه «الكتلة الجاذبية» وتلعب دوراً مماثلاً لدور الشحنة الكهربائية في قانون كولون.

ومن جهة ثانية تدخل في صياغة القانون الأساسي للميكانيك الكلاسيكي:

$$(XI-7) \quad \boxed{F = m\gamma}$$

كتلة m تميز جسم الإختبار وتمثل نوعاً ما «معارضة الجسم للتسريع» وتسمى «الكتلة العطالية».

ونعلم أن الأجسام تسقط في الفراغ بالسرعة ذاتها مهما كانت كتلتها. فإذا قارنا (XI-1) و (XI-7) نستنتج أن هذه الخاصية المثبتة تجريبياً تعني أن تسارع الجسم الساقط يساوي  $\gamma = - \frac{M}{m} \left( K \frac{M'}{r^2} \right)$ . ويكون هذا التسارع متساوياً بين كل الأجسام إذا كانت الكتلة الجاذبية متناسبة مع الكتلة العطالية بنسبة واحدة لكل الأجسام:

$$(XI-8) \quad \frac{M}{m} = C$$

فيكتب قانون نيوتن للجاذبية (XI-1):

$$(XI-9) \quad G = KC^2 \quad \text{مع } F = -KC^2 \frac{mm'}{r^2} = -G \frac{mm'}{r^2}$$

وإذا افترضنا مع نيوتن تطابق الكتلة الجاذبية مع الكتلة العطالية نجد:

$$(XI-10) \quad F = -G \frac{MM'}{r^2} \quad \text{ومن ثم } G = 1, M = m, K = G$$

هذا هو الاصطلاح المستعمل عادة<sup>(4)</sup>. على كل حال يأخذ قانون نيوتن الصيغة التالية باستعمال الكتلة العطالية  $m$  و  $m'$

$$(XI-11) \quad F = -G \frac{mm'}{r^2}$$

ويمكن أن نكتب أيضا:

$$(XI-12) \quad F = m \text{ grad } U$$

مع:

$$(XI-13) \quad -U = G \frac{m'}{r}$$

وتسمى  $G$  ثابت نيوتن للجاذبية وقيمه العددية:

$$(XI-14) \quad G = 6.664 \times 10^{-8} \text{ cm}^3 \text{ gr}^{-1} \text{ sec}^{-2}$$

أما الدالة  $U$  فتسمى كمون نيوتن للجاذبية. ويساوي تدرُّج هذه الدالة تسارع جسم الإختبار الناتج عن قوى الجاذبية. ولا يتغير هذا التسارع مع طبيعة جسم الإختبار وبالتالي كتلته:

$$(XI-15) \quad \gamma = \text{grad } U.$$

تقود إذا فرضية نيوتن (XI-8)، بتساوي كتلة الجاذبية وكتلة العطالة، إلى تسارع  $\gamma$  مستقل عن جسم الإختبار.

(4) طبعا يمكن أن نختار مثلاً:

$$C = \sqrt{G}, \quad M = \sqrt{G} m \quad K = 1 \Rightarrow F = -\frac{MM'}{r^2}$$

من الناحية النظرية هذه النتيجة مميزة<sup>(5)</sup>. وقد جاءت نتيجةً لتجارب كلاسيكية عن سقوط الأجسام. هذه التجارب التي دعمت فرضية نيوتن (XI-8) كانت أولاً بسيطة وغير متقنة. وأعيدت الدراسة التجريبية لتعادل الكتلة العطالية والجاذبية بأساليب متنوعة مثل تجارب نيوتن وبسل Bessel حول اهتزاز النُواس وبطرق مختلفة تماماً مع تجارب أوتفوس Eötvös وزيمان Zeeman وساوزرنز Southernns<sup>(6)</sup>. تستعمل تجارب ساوزرنز خصائص الإشعاع لنواة أكسيد اليورانيوم ذي النقص الكبير في الكتلة. بيد أن أكثر التجارب حسماً في هذا الموضوع كانت تجارب أوتفوس<sup>(7)</sup> وزيمان<sup>(8)</sup>. نوضح هنا باختصار مبدأ هذه التجارب لأن نتيجتها كانت أساس مفهوم أينشتاين للجاذبية<sup>(9)</sup>.

يوضع جسمان  $A_1$  و  $A_2$  بكتلتي جاذبية متقاربتين  $M_1$  و  $M_2$  وكتلتي عطالة  $m_1$  و  $m_2$  على طرفي ذراع ميزان التوائي torsion balance. يخضع الجسمان إلى قوة الجاذبية الأرضية باتجاه مركز الأرض ومتناسبة مع الكتلة الجاذبية أي:

$$(XI-16) \quad F_1 = M_1\gamma \quad , \quad F_2 = M_2\gamma$$

ومن جهة أخرى يخضعان إلى القوة الطاردة centrifugal force بسبب دوران الأرض حول ذاتها. وتتناسب هذه القوة مع الكتلة العطالية للجسم وبالاتجاه  $HA_1$  نحو محور الأرض. فإذا كانت  $\omega$  السرعة الزاوية لهذا الدوران و  $\varphi$  زاوية خط العرض في مكان التجربة تكون هذه القوى:

$$(XI-17) \quad f_1 = m_1\omega^2 A_1 H = m_1\omega^2 R \cos \varphi \quad f_2 = m_2\omega^2 R \cos \varphi$$

(5) تختلف هذه النتيجة تماماً عن تلك التي نجدها في الكهرباء السكونية مثلاً. إذ نجد في هذه الحالة:

$$F = m\gamma \quad \text{و} \quad F = -q \text{ grad } V$$

ومن ثم:

$$\gamma = - \frac{q}{m} \text{ grad } V.$$

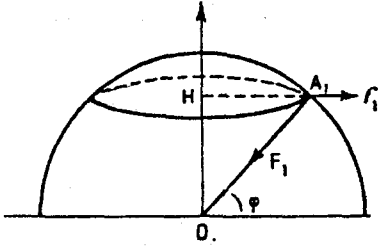
مما يعني أن التسارع يتغير مع النسبة  $\frac{q}{m}$ . فهو يتغير إذا من جسم إختبار إلى آخر.

(6) L. SOUTHERNS. Proc. Roy. Soc. London. A84, 1910, 325.

(7) R.V. EOTVOS. Math, u. Naturw. Ber. aus. Ungarn., 8, 1890, 65; Ann. d. Phys., 59, 1896, 354; R. V. EOTVOS, D. Pekar et E. FEKETE, Ann. d. Phys, 68, 1922, 11.

(8) P. ZEEMAN. Proc. Roy. Amst. 20, 1917, 542.

(9) M.VON LAUE, [24] V.II. يمكن الإطلاع على تفصيل أكبر حول هذه التجربة في المرجع



الشكل 38 - تجربة أوتفوس وزيمان

وتتوازن القوى  $F$  و  $f$  مع شد خيط الميزان الالتوائي. ونلاحظ أن العزم الزاويّ الإجمالي لهذه القوى يسبب ليّ الخيط فيدور ذراع الميزان بزاوية  $\alpha$ . وإذا بدّلنا مواقع الجسمين  $A_1$  و  $A_2$  تصبح زاوية الدوران  $-\alpha'$ . ويتيح الفرق  $\alpha - \alpha'$  أن نقيس الفرق  $\frac{M_1}{m_1} - \frac{M_2}{m_2}$ . وقد أثبتت التجارب التي أجريت بهذه الطريقة أن الزوايا  $\alpha$  و  $\alpha'$  متساوية بدقة عالية مما يثبت أن النسبة  $M/m$  متساوية لكل الأجسام مهما كان اتجاه هذه الأجسام بالنسبة للأرض.

### (3) قانون بواسون

لنطبق قانون غاوس على توزيع من الكتل  $m_1$  في حجم  $V$  داخل سطح  $S_1$  فنجد النتيجة التالية المشابهة لتلك التي وجدناها في الكهرباء السكونية<sup>(10)</sup>: يتناسب تدفق قوى الجاذبية على السطح  $S$  مع مجموع الكتل داخل السطح  $S$ :

$$(XI-18) \quad \int_S \gamma_n dS = 4\pi G \Sigma m_i$$

حيث  $n$  هو المتجه الأحادي العمودي على جزء السطح  $dS$ .

لإثبات ذلك نطلق من المعادلة:

$$\int_S \gamma_n dS = \int_S |\gamma| \cos(\gamma, n) dS = \int_S |\gamma| dS_n = \int_{\omega} |\gamma| r^2 d\omega,$$

حيث  $dS_n$  هي إسقاط  $dS$  على السطح المستوي العمودي على  $\gamma$ ، و  $d\omega$  هي الزاوية الممسّمة التي يشاهد بها الجزء  $dS$  من السطح.

(10) يستنتج هنا قانون غاوس بالصيغة (XI-18) أو (XI-19) من الصيغ (XI-13) و (XI-15) لقانون نيوتن. عكس ذلك إذا رفضنا أن نبني نظرية ماكسويل على مبدأ التفاعل عن بعد يجب أن نفترض قانون غاوس في الكهرباء السكونية (وهو مثبت تجريبياً) ومنه نستنتج قانون كولون.



ولكن باستعمال (XI-13) و (XI-15) أي قانون نيوتن نجد:

$$|\gamma| = |\text{grad } U| = G \frac{m_1}{r^2} .$$

وبالتالي:

$$\int_S \gamma_n dS = Gm_i \int_S d\omega = 4\pi Gm_i .$$

وإذا كان توزيع الكتل متواصلاً بكثافة  $\mu$  في وحدة الحجم نجد بطريقة مماثلة:

$$(XI-19) \quad \int_S \gamma_n dS = 4\pi G \int_V \mu dV .$$

مما يعطي:

$$(XI-20) \quad \int_V \text{div } \gamma dV = 4\pi G \int_V \mu dV .$$

ومن هنا نستخلص العلاقة المحلية:

$$(XI-21) \quad \text{div } \gamma = 4\pi G\mu$$

أو باستعمال العلاقة (XI-15):

$$(XI-22) \quad \text{div grad } U = 4\pi G\mu$$

أي:

$$\Delta U = 4\pi G\mu$$

مع:

$$(XI-23) \quad \Delta = \sum_p \frac{\partial^2}{(\partial x^p)^2} , \quad p = 1, 2, 3 .$$

وهذا هو قانون بواسون. وإذا استعملنا تحديد  $U$  نجد أن قانون بواسون يعادل قانون نيوتن للتفاعل عند بعد. والقانونان ثابتان في تحويل غاليليو وليس في تحويل لورنتز.

#### 4) قانون نيوتن ومبدأ النسبية الخاصة

لا يتفق قانون نيوتن مع متطلبات النسبية الخاصة. من الطبيعي إذاً أن نبحث عن صيغة لقانون الجاذبية لا تتغير بتحويل لورنتز. فيكون قانون نيوتن صيغة

تقريبية لها. ولكن الصياغة النسبية لقانون الجاذبية ليس عملاً سهلاً. والنموذج الذي يقدمه علم التحريك الكهربائي الكلاسيكي بنظرية لورنتز في الإلكترونات مثلاً لا يمكن تقليده بسهولة لصياغة قانون تفاعل الكتل.

وبشكل خاص أي تعميم نسبي لقانون بواسون (XI-23) يكون باستبدال مؤثر لابلاس  $\Delta \equiv \sum_p \frac{\partial^2}{(\partial x^p)^2}$  بمؤثر دالمبرت  $\Delta - \frac{1}{c^2} \frac{\partial^2}{\partial t^2}$  فنجد في نظام متعامد للإحداثيات أن:

$$(XI-24) \quad \eta^{\rho\sigma} \partial_\rho \partial_\sigma U = 4\pi G\mu \quad (\rho, \sigma = 1, 2, 3, 0).$$

تدخل في قانون غاوس للكهرباء السكونية كثافة الشحنة الكهربائية  $\rho$  بدلاً من كثافة الكتلة  $\mu$ . والكثافة  $\rho$  هي المركبة الرابعة للمتجه الرباعي  $z^{\mu}$  والتعميم النسبي لقانون غاوس يكون بتوسيع الكمون الكهربائي  $V$  إلى الكمون المتجهي الرباعي  $A^{\mu}$ . ولكن نتائج علم التحريك النسبي للأجسام المتواصلة مختلفة تماماً عن علم التحريك الكهربائي. فالكثافة  $\mu$  لا تظهر كدالة عددية ولا كمركبة متجه رباعي. إستناداً إلى النسبية الخاصة ترتبط الكمية  $\mu c^2$  بكثافة الطاقة  $W$  أي المركبة  $M_{00}$  للموتر المتناظر من الرتبة الثانية  $M_{\mu\nu}$  (انظر المعادلة (VIII - 147)). يجب إذاً أن يكون الكمون الجاذبي أيضاً موثراً من الرتبة الثانية ويكون جهد الجاذبية  $U$  أحد مركباته. سنرى أن هذه النتيجة هي التي تستخلص من النسبية العامة.

في الواقع لقد استنتج أينشتاين القانون النسبي للجاذبية من تعميم لمبدأ النسبية. فهو ليس تصحيحاً لقانون موجود مسبقاً بل امتداد طبيعي للأفكار الرئيسية في النسبية الخاصة.

### ب - مبدأ التكافؤ واستعمال الفضاء غير الإقليدي

يقول مبدأ النسبية بتكافؤ هياكل الإسناد لدراسة الظواهر الفيزيائية وصياغة القوانين التي تسيرها. وتحصّر النسبية الخاصة هذا التكافؤ بهياكل الإسناد الغاليلية، أما النسبية المعممة فتوسعه ليشمل الهياكل المتسارعة. فيتيح مبدأ التكافؤ equivalence principle هذا (أو مبدأ النسبية العامة) احتواء الظواهر الناتجة عن القوى الوهمية fictive forces أي القوى التي يسببها استعمال هياكل الإسناد المتسارعة ولكنه يقود كما سنرى لاحقاً إلى ظهور بنية غير إقليدية للفضاء.

ولكن مبدأ التكافؤ المعمم هذا يبقى محصوراً في قوى العطالة ويترك القوى

«الحقيقية» ومنها قوى الجاذبية خارج هذه الصياغة الهندسية. في الواقع أن مبدأ التكافؤ كما جاء في التوسيع الأول لمبدأ النسبية (عام 1911) على يد أينشتاين ما هو إلا دمج محلي لقوى الجاذبية وقوى العطالة. وهذا التكافؤ المحلي أتاح بعد ذلك (عام 1916) إعطاء مبدأ النسبية المعممة كل معناه: وهو دمج هياكل الاسناد العطالية وهياكل الاسناد المتسارعة أي احتواء قوى العطالة في بنية غير إقليدية للمكان والزمان. مما يقود إلى اعتبار قوى الجاذبية بنية محلية غير إقليدية. ويعبر عن قانون الجاذبية بشروط البنية الهندسية.

لقد تكوّن إذا مبدأ التكافؤ بالتدرج فرضية فوق فرضية. فاعتبار قوى الجاذبية قوى عطالية يلغي جزئياً التمييز بين القوى الحقيقية والقوى الوهمية ويتيح تفسير تأثير قوى الجاذبية بظهور تسارعات مناسبة. ثم إن فرضية التكافؤ بين هياكل الاسناد العطالية وهياكل الاسناد المتسارعة وبالتالي بين هياكل الاسناد العطالية والهياكل التي تظهر فيها قوى الجاذبية تشكّل مبدأ للنسبية المعممة وتتيح تأويلاً جديداً لهذه القوى. أما قوة لورنتز والقوى النووية فتحافظ طبعاً في النسبية العامة على تأويلها الظاهري phenomenologic أي الخارج عن الصياغة الهندسية. ثم يأتي دور النظريات الموحدة لتحاول الصياغة الهندسية العامة الذي يفترضها المبدأ العام للنسبية وبالوقت ذاته لتحاول صياغة نظرية كاملة للمجال البحت.

### 5) هياكل الإسناد المتسارعة وقوى العطالة الوهمية - صدور مبدأ النسبية الخاصة

نعبّر عن مبدأ النسبية الخاصة بمحافظته القوانين الفيزيائية على صيغها في تحويل لورنتز. كما يفترض هذا المبدأ استحالة الكشف عن الحركة المستقيمة بسرعة ثابتة لأي هيكل اسناد بإجراء أية تجربة فيزيائية. طبعاً هذه الاستحالة لا تشمل هياكل الإسناد المتسارعة<sup>(11)</sup>. إذ إن حركة هذه الهياكل يمكن الكشف عنها بواسطة تجربة ميكانيكية (نوأس فوكو Foucault) أو ضوئية (تجربة هارس Harress وسانيك Sagnac).

#### 1.5 - نوأس فوكو

إذا كان النوأس يهتز في القطب بدون احتكاك يدور سطح اهتزازه  $360^\circ$  خلال 24

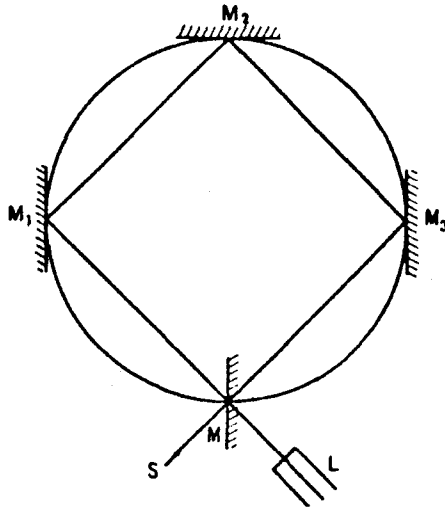
(11) لدراسة التأثيرات الضوئية للحركات المتسارعة يرجع إلى:

E. DURAND, Ann. de Phys. 20, 1945, 535 à 544; 21, 1946, 216 à 231.

ساعة بالإتجاه المعاكس لدوران الأرض. أما إذا أجريت التجربة في نقطة أخرى من سطح الأرض، فإن سطح الإهتزاز يدور بسرعة مغايرة. فتظهر هذه التجربة دوران الأرض حول نفسها. مما يدل على أن تجربة ميكانيكية يمكن أن تظهر دوران هيكل الاسناد الذي يستعمل لدراستها إذا كان متسارعاً.

## 2.5 - تجارب هارس وسانيك وبوغاني

تشكّل هذه التجارب النظير الضوئي لتجربة فوكو الميكانيكية وترمي إلى إظهار دوران طبق بواسطة تجربة ضوئية. تسقط حزمة ضوئية على مرآة نصف شفافة  $M$  تحت زاوية  $45^\circ$  فتفصل الحزمة إلى حزمتين تتبعان المسار المغلق ذاته ولكن بالإتجاهين كما في الرسم 39. ثم يتم انسحاب هذا المسار مع دوران الطبق بسرعة ثابتة. ويمكن أن يكون هذا المسار داخل منشورات prisms من الزجاج<sup>(12)</sup>، أو أنبوب مملوء ماء ومثبت إلى الطبق الدائر (بوغاني Pogany). ويمكن أيضاً استعمال مرايا موضوعة على إطار الطبق<sup>(13)</sup> (انظر الرسم 39). فيتبع الضوء مساراً متعدداً الأضلاع ليصبح في حال عدد كبير من المرايا دائرة تحيط بمساحة  $y$ . ويمكن تحديد الفرق في الوقت الذي تستغرقه الحزمتان لاجتياز هذا المسار في الإتجاهين بواسطة جهاز



الشكل 39 - تجربة سانيك

للتداخل. ويثبت مصدر الضوء وجهاز التداخل إلى الطبق الدائر ويؤلفان مع المرايا تشكيلاً ضوئياً واحداً يدور بسرعة ثابتة. وتثبت مراقبة هدب التداخل في هيكل الإسناد المرتبط بالطبق قبل وخلال الدوران أن الشعاع الذي يتبع المسار في اتجاه دوران الطبق يستغرق وقتاً أقل من الشعاع المنتشر في الإتجاه المعاكس كي يقطع المسار. إذا كانت  $\omega$  هي السرعة الزاوية الثابتة لدوران الطبق يكون الفرق في الوقت في هيكل إسناد الطبق مساوياً لـ:

F. HARRESS. Dissertation. Iena. 1912.

(12)

G.SAGNAC. C.R. Ac. Sc., 157, 1913, 708 et 1410; J. Phys., 4, 1914, 177.

(13)

$$(X-25) \quad \Delta t = 4 \frac{\omega y}{c^2}$$

فنستخلص النتيجة التالية عن هياكل الاسناد المتسارعة:

تبدو الحركات المتسارعة كأنها تقود إلى تحديد للحركة المطلقة. وفي حال غياب هياكل إسناد محدّدة بأجسام صلبة أخرى قد نضطر إلى القبول بأن هذه الحركة هي مطلقة (دوران الأرض مثلاً من تجربة فوكو) بالنسبة إلى «شكل» فارغ هو الفضاء المطلق.

ولكن بعد التحليلات التي وردت في النسبية الخاصة تبدو هذه النتيجة غير مقنعة تماماً. وقد نتساءل عما إذا كانت هذه الحركة المطلقة مرتبطة حتماً بوجود أجسام أخرى أي وجود أجسام سماوية بعيدة. هذا هو على الأقل رأي ماخ E.Mach.

## (6) التكافؤ المحلي لقوى الجاذبية وقوى العطالة

### 1.6 - سابقان لأينشتاين: هرتز وماخ

لقد ميّز نيوتن بين القوى الحقيقية الناتجة عن الخصائص الفيزيائية للأجسام التي تولّدها والقوى الوهمية الناتجة عن استعمال هيكل إسناد متسارع.

وتتميز قوى العطالة (القوة الطاردة وقوة كوريوليس) بأنها تولّد تسارعاً مستقلاً عن خصائص جسم الإختبار التي تؤثر عليه (ومنها طبعاً كتلته). ومن هنا تسمية هذه القوى بأنها وهمية إذ إنه يمكن إلغاؤها باختيار هيكل إسناد مناسب. والفضاء المطلق هو الهيكل المميّز الذي يتيح إلغاء القوى العطالية الوهمية التي أدخلت اصطناعياً لأخذ تسارع الهيكل المستعمل بعين الإعتبار. وتبقى في هيكل الإسناد المطلق فقط القوى الحقيقية. وتتخذ فيه القوانين الفيزيائية صيغتها الطبيعية. ويضمن مفهوم الفضاء المطلق إذا صحة مبدأ العطالة وإمكانية التمييز بين القوى الحقيقية والقوى الوهمية.

وقد رفض هرتز ثم ماخ القبول بفكرة الفضاء المطلق وذلك بمحاولة تبرير القوى العطالية باعتبارات أخرى. فقد أراد هرتز تحويل التفاعلات الكهربائية والمغناطيسية عن بعد إلى تفاعلات تماس contact actions. وحاول تطبيق الطريقة ذاتها على قوى الجاذبية. ولكن الحركة المستقيمة للأجسام الحرة هي نتيجة لمبدأ العطالة. والحركات المختلفة المتأنتية عن تأثير قوى العطالة ناتجة عن تفاعلات مع أجسام

أخرى حسب هرتز. وهذه التفاعلات تحدّد المسارات وفقاً لمبدأ غاوس في الإكراه الأقل القائل بأن المسار الفعلي الذي يتبعه الجسم هو الذي يبتعد أقل ما يكون عن الحركة المستقيمة وبسرعة ثابتة. فيكون مبدأ العطالة حالة خاصة لمبدأ الإكراه الأقل فهو لا يكون في غياب القوى بل في غياب الكتل المخبأة.

وتعلل انتقادات ماخ الصفة المميزة لهياكل الإسناد العطالية بتدخل الكتل البعيدة التي لا يمكن إغناء تأثيرها. فإذا كانت الأرض وحيدة في الفضاء بغياب الأجرام السماوية الأخرى مثلاً تكون كل الهياكل متكافئة أي هياكل إسناد عطالية. فلا يمكن إذا مشاهدة دوران نؤاس فوكو في هذه الحالة المثالية.

هكذا ظهر مبدأ التكافؤ الممكن بين القوى العطالية الوهمية وقوى الجاذبية الحقيقية بتأثير الأجرام السماوية البعيدة. وسيكون التكافؤ هذا أساس نظرية أينشتاين.

## 2.6 - صيغة مبدأ التكافؤ المحلي لقوى العطالة وقوى الجاذبية<sup>(14)</sup>

تبين انتقادات أينشتاين أن التمييز بين قوى العطالة الوهمية وقوى الجاذبية هو خداع إذا تفحصنا منطقة محدودة من المكان والزمان. وتنشأ هذه النتيجة عن خاصية أساسية لقوى الجاذبية  $\tau$  فهي تماماً مثل قوى العطالة تعطي أجسام الإختبار تسارعاً مستقلاً عن كتلة هذه الأجسام. فيكون التكافؤ بين الكتلة الجاذبية والكتلة العطالية (المؤكد تجريبياً) هو الذي يبطل أساس كل تمييز محلي بين القوى العطالية وقوى الجاذبية.

في هذه الحالة يمكن أن نتوقع أن قوى الجاذبية (مثلها مثل القوى العطالية) يمكن تعديلها وحتى إلغاؤها باختيار مناسب لهياكل الإسناد. لنذكر المثل التقليدي لجسم يسقط داخل مصعد يسقط سقوطاً حراً. إذ يبدو الجسم ثابتاً بالنسبة للمصعد أي على ارتفاع ثابت فوق أرضية المصعد. أما إذا كان المصعد يسقط بتسارع أكبر من تسارع الجاذبية  $g$ ، فإن الجسم يرتفع داخل المصعد ليلتصق بسقفه. وإذا كان تسارع المصعد أقل من  $g$  فإن الجسم يسقط حتى الأرضية. فاختيار هيكل إسناد متسارع مناسب (هيكل إسناد المصعد في المثل) أي ظهور قوى العطالة يعدل إذا (ويُلغى أحياناً) تأثير الجاذبية كما يراها مشاهد في هذا الهيكل.

A. EINSTEIN. Jahrb. F. Rad. und El. 4, 1907, 411; Ann, d. Phys., 35, 1911, 898; 38, (14) 1912, 443; Phys. Zs., 14, 1913, 1249.

بتعبير آخر لا يمكن الكشف عن حركة هيكل إسناد متسارع بواسطة تجربة داخل هذا الهيكل، إذ إن الأمر سيان بين أن يكون هذا الهيكل متحركاً بتسارع أو ثابتاً شرط تغيير قيمة الجاذبية. لا نستطيع إذن أن نميز في منطقة محدودة من الفضاء بين القوى العطالية الوهمية وقوى الجاذبية الحقيقية فهي متكافئة تماماً.

أما في المناطق الواسعة فإن هذا التكافؤ يختفي جزئياً. فوجود مجال جاذبية في منطقة واسعة يسبب تقارب خطوط القوى مثلاً. فلا يمكن إخفاء مجال الجاذبية تماماً لصالح مجال عطالة. وبدون الفصل الكامل لتأثيرات كل من هذين المجالين يمكن فقط أن نؤكد أن مجموعهما ليس عطالياً تماماً.

ونصنع مبدأ التكافؤ المحلي كما يلي:

في منطقة محدودة من الفضاء هناك تكافؤ بين مجال الجاذبية ومجال القوى الناتج عن حركة متسارعة (مجال تسارع)، ولا يمكن التمييز بين هذين المجالين بواسطة أية تجربة محلية.

هذه هي صيغة مبدأ النسبية المعممة. فالنسبية الخاصة تنص على تكافؤ هياكل الإسناد الغاليلية فيكون مفهوم السرعة نسبياً. أما الصيغة السابقة لمبدأ التكافؤ فتفترض التكافؤ المحلي بين هياكل الإسناد المتسارعة وذلك بإدخال قوى الجاذبية أو كما سنرى لاحقاً بتغيير الهندسة. فيصبح التسارع نسبياً أيضاً.

### (7) مبدأ استعمال الفضاء غير الإقليدي

مع بداية عام 1913 بدأ أينشتاين يفكر أن التكافؤ بين قوى الجاذبية وقوى العطالة يجب أن يؤدي إلى تعديل الهندسة. فتوصل إلى افتراض وجود فضاء غير إقليدي. بيد أن التعبير عن قانون الجاذبية بشروط تُفرض على التكوين الهندسي لفضاء ريمان Riemann (1917)، لا يمكن أن يستنتج بدقة من المبادئ الأولية التي طرحها أينشتاين عام 1911. بل هو نتيجة حدس رائع intuition يتيح ترتيباً منطقياً للنتائج المعروفة حتى ذلك الوقت.

وقبل عرض النظرية الريمانية للجاذبية سنثبت في هذا المقطع والمقطع التالي كيف أصبحت صياغة نظرية غير إقليدية ضرورية. أي كيف أن التكافؤ المحلي لقوى الجاذبية وقوى العطالة ثم التكافؤ المعمم بين كل هياكل الإسناد المتسارعة يقودان حتماً إلى الهندسة غير الإقليدية.

بدون أن نبتعد عن الميكانيك النيوتني يمكن أن نثبت أن تأثير قوة F يمكن

صياغته بتكوين هندسي<sup>(15)</sup>. تستند صياغة مبدأ النسبية على مفهوم هياكل الإسناد الغاليلية المتكافئة. فإذا كان جسيم يتحرك تحت تأثير مجال قوة  $F$  يمكن أن نحافظ على صيغة مبدأ العطالة إذا درسنا الحركة في هيكل إسناد بطريقة مناسبة.

لذلك نفترض أن السرعة هي  $v$  و  $v + Fdt$  في الوقتين  $t$  و  $t + dt$  في هيكل الإسناد الثابت  $S_0$ . لنفترض أن هيكل  $S(t)$  يتحرك بالسرعة  $u$  بالنسبة إلى  $S_0$  ويصبح  $S'(t + dt)$  متحركاً بالسرعة  $u'$  بالنسبة إلى  $S_0$ . تتساوى سرعة الجسم  $v - u$  بالنسبة إلى  $S(t)$  مع سرعته  $v + Fdt - u'$  بالنسبة إلى  $S'(t + dt)$  إذا:

$$(XI-26) \quad u' - u = F dt.$$

عندئذ يكون مبدأ العطالة صحيحاً لأن سرعة الجسم المتحرك تبقى ذاتها بالنسبة إلى الهيكلين الإسناديين المتكافئين  $S$  و  $S'$ . ولكن في صياغة هذا المبدأ يجب تحوير معنى تكافؤ الهياكل: فالهيكلان  $S$  و  $S'$  بأصلي محاور  $O$  و  $O'$  متقاربين تفاضلياً يعتبران متكافئين إذا كانا محددتين بمحاور متوازية بالمعنى الهندسي للكلمة ويتحرك الواحد بالنسبة إلى الآخر بحركة مستقيمة وبسرعة  $F dt$ .

في حالة مجال جاذبية غير متسق non uniform يكون تكافؤ هيكلين محدداً تدريجياً من نقطة إلى نقطة قريبة. وقد يتغير مع المسار المتبع من أصل محاور الأول  $O$  إلى أصل محاور الثاني  $O'$ . ويقول كارتان E.Cartan «إذا أردنا أن نكون دقيقين في تحليلنا يكون كل ما قمنا به هو اختيار اصطلاح للكلمة. ولكن هذا يثبت أهمية اختيار الكلام المناسب في تقدم العلوم».

بيد أن الميكانيك النيوتني يفرض تحديداً للتكافؤ متناقضاً مع مبادئ النسبية الخاصة. إذ يعبر عن التعادل بطريقة مخالفة تماماً عما هي في الفضاء الرباعي للزمان والمكان. فإذا كانت  $e_p (e_1 e_2 e_3)$  هي المتجهات الأحادية لمحاور الفضاء و  $e_0$  هو المتجه الأحادي لمحور الوقت يكون التكافؤ العادي في غياب أي تغير  $de_p$ . فنجد العلاقات:

$$(XI-27) \quad de_p = 0 \quad , \quad de_0 = F^p e_p dt.$$

(15) نستعيد هنا تحليلاً طرحه كارتان في:



ولا يستمر هذا التحديد للتكافؤ في التحويلات النسبية التي تمزج تغيرات الزمان بتغيرات المكان. مما يعني أن التكافؤ الذي كان يتيح صياغة مبدأ العطالة المعمم في نطاق الميكانيك النيوتني لا يتفق مع مبدأ النسبية. وإذا جعلنا من مبدأ النسبية قانوناً أساسياً كما فعل أينشتاين يجب أن نحور في قانون الجاذبية كي يحافظ على صيغته في كل هياكل الإسناد الغاليلية. فيبدو هذا القانون كعلاقة بين كميات فيزيائية في فضاء غير إقليدي. سنرى أن صياغة هذا القانون تحتاج فقط إلى تقوُّس curvature الفضاء الرباعي للزمان والمكان. فنستبدل مجال الجاذبية بتحديد الخطوط الكونية للجسيمات المادية أي الخطوط التقاصرية للفضاء الرباعي. وهذه الطريقة ترجع عملياً إلى استبدال علم التحريك بعلم الحركة. ولكن علم الحركة هذا يحتوي ما يعادل مفهوم القوة من خلال الهندسة التي تفرضها على الفضاء.

باستبدال قوى العطالة وبالتالي قوى الجاذبية بتحويلات في بنية الفضاء الهندسية نفترض وجود تشكيل غير إقليدي يتحرك فيه الجسم كأنه حر. حسب مبدأ العطالة يجب أن تكون المسارات الممكنة لهذا الجسم نوعاً من تعميم للخطوط المستقيمة الإقليدية. ولكن الطريق الأقصر بين نقطتين على سطح منحني هو الخط التقاصري. هكذا يستبدل تأثير «الكتل المخبأة» في نظرية هرتز والنجوم البعيدة في نظرية ماخ بالبنية الهندسية للفضاء الرباعي الأكثر تعقيداً في النسبية العامة. وهذه البنية تفرض على الجسيمات الحرّة أن تتبع مسارات تقاصرية في الفضاء غير الإقليدي. فالتكافؤ بين قوى العطالة وقوى الجاذبية يعود في الأصل إلى البنية الهندسية للفضاء. وتأثير الأجسام المادية على جسيم الإختبار لا يكون بواسطة قوى جاذبية بل بإحداث تقوُّس في الفضاء. والفضاء الإقليدي هو الفضاء الفارغ تماماً من المادة.

هكذا يتيح الفضاء غير الإقليدي توسيع مبدأ النسبية ليشمل هياكل الإسناد المتسارعة التي تحددها إحداثيات مقوَّسة. ويعني هذا أن قوانين الفيزياء تحافظ على صيغتها ليس فقط في تحويلات لورنتز ولكن في أي تحويل للإحداثيات.

ومن الممكن طبعاً تحديد هياكل إسناد إحداثيات وتحويلات في فضاء إقليدي ولكن يصبح عندئذ بالإمكان تحديد تكافؤ صالح في كل الفضاء. أما التكافؤ بين هياكل الإسناد المتسارعة والهياكل العطالية فليس له إلا معنى محلي. وهو كذلك في فضاء غير إقليدي إذ يكون هذا التكافؤ بعدم التمييز بين منطقة صغيرة من التشكيل غير الإقليدي والفضاء الإقليدي المماس عليه في هذه النقطة.

هكذا يكون استعمال الفضاء غير الإقليدي وبالتحديد الفضاء الريماني قد أتاح ليس فقط توضيح مبدأ التكافؤ بل أيضاً حدوده.

### (8) دراسة حالة خاصة: الطبقة الدائر

لنتفحص طبقتين  $S$  و  $S_0$  لهما محور واحد. ولنفترض أن  $S$  يدور بالنسبة إلى  $S_0$  بسرعة زاوية ثابتة  $\omega$  حول المحور المشترك.  $S_0$  هو هيكل إسناد غاليلي يتمثل مثلاً بالمختبر الذي تجري فيه التجربة. نفترض أن القياسات على  $S$  و  $S_0$  والتي يقوم بها المشاهد المرتبط بـ  $S_0$  بواسطة مقياس للطول مرتبط بالهيكل  $S_0$  تقود هذا المشاهد إلى تحديد هندسة إقليدية. لنقابل قياسات الطول والوقت التي تجري في الهياكل الإسنادية  $S$  و  $S_0$ .

### 1.8 - الهندسة على جسم دائر - قياس المسافات

لا يمكن مبدئياً تطبيق مبدأ النسبية الخاصة وبالتالي قاعدة تحويل لورنتز على الطبقة الدائر لأنه ليس هيكل إسنادياً عطالياً. ولكن يمكن أن نوسع صلاحية مبدأ النسبية كما يلي:

تطراً على أجهزة القياس من مساطر وساعات مرتبطة بالطبقة الدائر  $S$  تحولات نتيجة القوى الطاردة. فاستناداً إلى مبدأ النسبية الخاصة ليس هناك أجسام صلبة بالمعنى الصحيح. هذه القوى تغير معيار الطول ومعيار الوقت في الهيكل  $S$  ليأخذ قيمة محدّدة بعد الأخذ بالحسبان كل التصحيحات الناتجة عن القوى الوهمية المتعلقة بالهياكل الإسنادية المتسارعة.

لنفترض في وقت معين أن نسبة أطوال المساطر  $dt$  و  $dl_0$  المرتبطة بالهياكل الإسنادية  $S$  و  $S_0$  بالتتالي تساوي النسبة ذاتها للأطوال في هياكل الإسناد  $S'$  و  $S_0$  حيث  $S'$  هو هيكل الإسناد الغاليلي المرتبط بالمسطرة  $dl$  في الوقت المذكور. ويعني هذا أن المساطر المرتبطة بالطبقة الدائر خاضعة فقط لظاهرة تقلص لورنتز بعد إجراء التصحيحات الناتجة عن ظواهر التسريع.

ففي الإحداثيات القطبية  $(r, \theta)$  تكون المسافة بين نقطتين متقاربتين تفاضلياً  $(r, \theta)$  و  $(r + dr, \theta + d\theta)$  من الهيكل  $S$  محدودة بالعلاقة:

$$(XI-28) \quad d\sigma^2 = dr^2 + r^2 d\theta^2$$

وذلك بالنسبة للمشاهد في  $S_0$  إذا قيست بمعيار الطول في هيكل الإسناد  $S_0$ . ولكن، بالنسبة لهذا المشاهد، إذا كان معيار الطول في  $S$  موضوعاً في الإتجاه الشعاعي لا يتغير طوله لأن سرعة الجسم في هذا الإتجاه منعدمة. أما إذا كان موضوعاً بالإتجاه العمودي على الشعاع في نقطة  $P$  ( $OP = r$ ) تكون سرعته  $v = \omega r$  فيتقلص ويبدو للمشاهد في  $S_0$  بطول  $dl_0 \sqrt{1 - \frac{\omega^2 r^2}{c^2}}$  بدلاً من  $dl_0$  كما هو في  $S$ . وتكون المسافة بين النقطتين  $(r, \theta)$  و  $(r + dr, \theta + d\theta)$  مقيسةً بمعيار الطول في هيكل الإسناد المتسارع  $S$ :

$$(XI-29) \quad d\sigma^2 = dr^2 + \frac{r^2 d\theta^2}{1 - \frac{\omega^2 r^2}{c^2}}$$

وبشكل خاص تبدو الدائرة:

$$(XI-30) \quad r = c^{ie}$$

إذا قيست في هيكل الإسناد  $S_0$  ( $\omega = 0$ ) كأنها بمحيط:

$$(XI-31) \quad S_0 = \int ds_0 = r \int_0^{2\pi} d\theta = 2\pi r$$

أما إذا قيست بمعايير الطول المرتبطة بهيكل الإسناد المتسارع  $S$  فيكون محيطها مختلفاً:

$$(XI-32) \quad S = \int d\sigma = \frac{r}{\sqrt{1 - \frac{\omega^2 r^2}{c^2}}} \int_0^{2\pi} d\theta = \frac{S_0}{\sqrt{1 - \frac{\omega^2 r^2}{c^2}}} > S_0$$

وتكون مساحتها:

$$(XI-33) \quad y = \int_0^{2\pi} \int_0^{2\pi} \frac{rd\theta}{\sqrt{1 - \frac{\omega^2 r^2}{c^2}}} dr = \frac{2\pi c^2}{\omega^2} \left( 1 - \sqrt{1 - \frac{\omega^2 r^2}{c^2}} \right)$$

فإذا كانت سرعتها  $v = r\omega$  خفيفة بالنسبة إلى سرعة الضوء  $c$  نجد:

$$(XI-34) \quad y \# \pi r^2 \left( 1 + \frac{\omega^2 r^2}{4c^2} \right)$$

إن النتائج (XI-29) و (XI-32) و (XI-33) صالحة لكل عملية قياس بواسطة معايير مرتبطة بالهيكل الإسنادي المتسارع. ولكن هذه المعايير هي المعايير الطبيعية التي يستعملها المشاهد المرتبط بالهيكل الدائر S. هكذا تبدو الهندسة الطبيعية للمشاهد S والمصاغة بواسطة معايير في هيكله الإسنادي الذاتي غير إقليدية<sup>(16)</sup>.

هكذا يجد المشاهد في S أن نسبة محيط الدائرة في S إلى قطرها يزيد عن  $\pi$ :

$$(XI-35) \quad \frac{S}{2r} = \frac{S_0}{2r \sqrt{1 - \frac{\omega^2 r^2}{c^2}}} = \frac{\pi}{\sqrt{1 - \frac{\omega^2 r^2}{c^2}}} > \pi$$

نستخلص إذاً أن الهندسة الطبيعية في الطبقة الدائرية ليست إقليدية وأنها تبتعد عن الهندسة الإقليدية كلما زادت المسافة إلى محور الدوران.

#### الخطوط التقاصرية<sup>(17)</sup>:

تحدّد هندسة S بالصيغة الأساسية للمسافة في الفضاء ذي البعدين:

$$(XI-36) \quad ds^2 = g_{ab} dy^a dy^b, \quad a, b = 1, 2.$$

فإذا اخترنا الإحداثيات:

$$(XI-37) \quad y^1 = r, \quad y^2 = 0$$

نجد استناداً إلى الصيغة (XI-29) أن:

$$(XI-38) \quad g_{11} = 1, \quad g_{22} = \frac{r^2}{1 - \frac{r^2 \omega^2}{c^2}}, \quad g_{12} = g_{21} = 0.$$

(16) تستند ضمنياً هذه النتيجة إلى الفرضية التالية: يقبل المشاهد في S أن القياسات المنفذة على S و  $S_0$  باستعمال معايير  $S_0$  الغاليلية تقود إلى هندسة إقليدية. وتستند هذه الفرضية بدورها إلى الصفة المميزة للقياسات الغاليلية وبالتالي إلى إمكانية الكشف على الحركة المطلقة، للهيكل الإسنادي S. هذه إمكانية (المتوفرة تجريبياً) تعارض (من الناحية المبدئية بالذات) تكافؤ الهياكل الإسنادية الغاليلية المثبتة تجريبياً أيضاً) وتبادلية النتائج المستخلصة من هذا التكافؤ.

Cf. P. LANGEVIN, C.R. Ac. Sc. 173, 1921, p.831; 200, 1935, p.48; 205, 1937, p.304; Cf. (17) aussi O. COSTA de BEAUREGARD [11] p.45; H. ARZELIES [8] p.153; C. MOLLER [16] p.241. A.S. EDDINGTON [22] p.112; B. KURSUNOGLY, space-time on the rotating disk, Proc. Camb. Phil. Soc. 47, 1951, p.177.

تتبع الجسيمات الحرة في سيرها الخطوط التقاصرية في الهيكل الإسنادي S. استناداً إلى (XV - 154) تحدّد هذه الخطوط بالمعادلة:

$$(XI-39) \quad \frac{d^2y}{d\sigma^2} + \left\{ \begin{matrix} c \\ ab \end{matrix} \right\} \frac{dy^a}{d\sigma} \frac{dy^b}{d\sigma} = 0.$$

حيث تحدّد رموز كريستوفل Christoffel بالعلاقة:

$$(XI-40) \quad \left\{ \begin{matrix} c \\ ab \end{matrix} \right\} = \frac{1}{2} g^{ad} (\varphi_a g_{bd} + \varphi_b g_{ad} + \partial_d g_{ab}) , \quad a, b, c, d = 1, 2.$$

فنجذ باستعمال الصيغ (XI-38) أن:

$$(XI-41) \quad g^{11} = \frac{1}{g} \text{ minor } g_{11} = \frac{g_{22}}{g} = 1 ,$$

$$g^{22} = \frac{1}{g} \text{ minor } g_{22} = \frac{g_{11}}{g} = \frac{1 - \frac{r^2 \omega^2}{c^2}}{r^2}$$

$$g^{12} = g^{21} = \frac{1}{g} \text{ minor } g_{12} = 0$$

وبالتالي تكون قيم رموز كريستوفل غير المنعدمة:

$$(XI-42) \quad \left\{ \begin{matrix} 1 \\ 22 \end{matrix} \right\} = -\frac{1}{2} g^{11} \partial_1 g_{22} = \frac{-r}{\left(1 - \frac{r^2 \omega^2}{c^2}\right)^2}$$

$$\left\{ \begin{matrix} 2 \\ 12 \end{matrix} \right\} = \left\{ \begin{matrix} 2 \\ 21 \end{matrix} \right\} = \frac{1}{2} g^{22} \partial_1 g_{22} = \frac{1}{r \left(1 - \frac{r^2 \omega^2}{c^2}\right)}$$

فيذا أحلنا هذه النتيجة في المعادلة (XI-39) نجد:

$$(XI-39)_1 \quad \frac{d^2r}{d\sigma^2} - \frac{r}{\left(1 - \frac{r^2 \omega^2}{c^2}\right)^2} \left(\frac{d\theta}{d\sigma}\right)^2 = 0. \quad \text{إذا } c = 1$$

$$(XI-39)_2 \quad \frac{d^2\theta}{d\sigma^2} + \frac{2}{r \left(1 - \frac{r^2 \omega^2}{c^2}\right)} \frac{dr}{d\sigma} \frac{d\theta}{d\sigma} = 0 \quad \text{إذا } c = 2$$

أو:

$$(XI-43) \quad \frac{d}{d\sigma} \left( \frac{r^2}{1 - \frac{r^2 \omega^2}{c^2}} \frac{d\theta}{d\sigma} \right) = 0.$$

ونستنتج من الصيغة (XI-43) أن:

$$(XI-44) \quad \frac{r^2}{1 - \frac{r^2 \omega^2}{c^2}} \frac{d\theta}{d\sigma} = K$$

وإذا أحلنا هذه النتيجة في (XI-39) نجد:

$$(XI-45) \quad \left( \frac{dr}{d\sigma} \right)^2 = 1 - \frac{r^2}{1 - \frac{r^2 \omega^2}{c^2}} \left( \frac{d\theta}{d\sigma} \right)^2 = 1 - \frac{k^2}{r^2} \left( 1 - \frac{r^2 \omega^2}{c^2} \right)$$

أو:

$$(XI-46) \quad \frac{dr}{d\theta} \frac{d\theta}{d\sigma} = \frac{dr}{d\theta} \frac{k}{r^2} \left( 1 - \frac{r^2 \omega^2}{c^2} \right)$$

$$= \pm \sqrt{1 - \frac{k^2}{r^2} \left( 1 - \frac{\omega^2 r^2}{c^2} \right)}$$

فإذا وضعنا  $K = 0$  نجد:

$$\frac{dr}{d\sigma} = 1, \quad \frac{d\theta}{d\sigma} = 0,$$

فتكون الخطوط  $c^{te}$   $\theta = c^{te}$  (أي الخطوط الشعاعية للطبق S) خطوطاً تقاصرية (جيويديسية) في الحالات العامة  $K \neq 0$ . نكتب معادلة الخطوط التقاصرية بالصيغة:

$$(XI-47) \quad \frac{dr}{d\theta} = \pm \frac{1}{K} \frac{r^2}{1 - \frac{r^2 \omega^2}{c^2}} \sqrt{1 + \frac{k^2 \omega^2}{c^2} - \frac{k^2}{r^2}}.$$

لنضع:

$$(XI-48) \quad \rho = \frac{r}{K} \sqrt{1 + \frac{\omega^2 k^2}{c^2}}$$

فتكتب المعادلة (XI-47) بالصيغة:

$$(XI-49) \quad \frac{1}{\rho^2 \sqrt{1 - \frac{1}{\rho^2}}} \frac{d\rho}{d\theta} = \pm 1 + \frac{\frac{k^2 \omega^2}{c^2}}{1 + \frac{k^2 \omega^2}{c^2}} \frac{1}{\sqrt{1 - \frac{1}{\rho^2}}} \frac{d\rho}{d\theta}$$

وإذا حسبنا تكامل هذه المعادلة نجد:

$$(XI-50) \quad \text{Arc cos } \frac{1}{\rho} = \pm (\theta - \theta_0) + \frac{\frac{k^2 \omega^2}{c^2}}{1 + \frac{k^2 \omega^2}{c^2}} \sqrt{\rho^2 - 1}$$

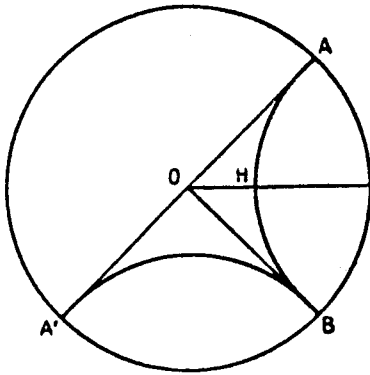
ويمكن أن نختار نقطة الإنطلاق بحيث تكون  $\theta_0 = 0$  فنكتب:

$$(XI-51) \quad \theta = \pm \text{Arc cos } \frac{a}{r} \mp \frac{a \omega^2}{c^2} \sqrt{r^2 - a^2}$$

حيث:

$$(XI-52) \quad a = \frac{K}{\sqrt{1 + \frac{k^2 \omega^2}{c^2}}}$$

وفي الحالة الخاصة  $k = 0$  نجد استناداً إلى (XI-44) أن  $\theta = C^{tc}$  تكون الخطوط الشعاعية خطوطاً تقاصرية.



الشكل 40 - المثلث الجيوديزي

ونلاحظ بسهولة أن مجموع زوايا مثلث مقوس مؤلف من ثلاثة خطوط تقاصرية تقل عن  $\pi$ . لإثبات ذلك ننتقل من أن الزاوية  $\varphi$  بين الخط المحدد بالنقط  $M(y^a)$  و

$M + \delta M(y^a + \delta y^a)$  والنقطة  $M(y^a)$  والخط المحدد بالنقطة  $M + dM(y^a + dy^a)$  هي <sup>(18)</sup>:

$$(XI-53) \quad \cos \varphi = \frac{g_{ab} dy^a \delta y^b}{\partial \sigma \delta \sigma} \quad a, b = 1, 2$$

حيث:

$$(XI-54) \quad d\sigma^2 = g_{ab} dy^a dy^b,$$

$$\delta\sigma^2 = g_{ab} \delta y^a \delta y^b$$

والإحداثيات هنا هي  $y^1 = r$  و  $y^2 = \theta$  فإذا أخذنا بعين الاعتبار الصيغة (XI-38) نجد:

(18) انظر مثلاً الصفحة 226 من المرجع [16] C.MOLLER الذي يثبت قاعدة الصيغة (XI-53) كما يلي:

يمكن تمثيل أي سطح ببعدين في فضاء إقليدي ثلاثي بإحداثيات ديكرارته  $(x, y, z)$  بالصيغة:

$$(1) \quad x^1 = f(y^1 y^2), \quad x^2 = g(y^1 y^2), \quad x^3 = h(y^1 y^2).$$

حيث  $f$  و  $g$  و  $h$  دوال بالمتغيرات  $y^1$  و  $y^2$ . المسافة بين النقطتين المحدتين بالإحداثيات  $y^a + dy^a$  و  $y^a$  مع  $(a = 1, 2)$  هي:

$$(2) \quad ds^2 = \sum_p (dx^p)^2, \quad (p = 1, 2, 3).$$

وتكتب أيضاً بالصيغة:

$$(3) \quad ds^2 = g_{ab} dy^a dy^b$$

مع:

$$(4) \quad g_{ab} = \frac{\partial f}{\partial y^a} \frac{\partial f}{\partial y^b} + \frac{\partial g}{\partial y^a} \frac{\partial g}{\partial y^b} + \frac{\partial h}{\partial y^a} \frac{\partial h}{\partial y^b}$$

ومن جهة ثانية تحدد الزاوية  $\theta$  بين الاتجاهين المحدين بـ  $dx^p$  و  $\delta x^p$  بالعلاقة:

$$(5) \quad \cos \theta = \frac{dx^p \delta x^p}{ds \delta s}, \quad ds = \sqrt{\sum (dx^p)^2}, \quad \delta s = \sqrt{\sum (\delta x^p)^2}, \quad (p = 1, 2, 3).$$

وإذا فاضلنا العلاقة (1) نجد:

$$(6) \quad \cos \theta = \frac{g_{ab} dy^a \delta y^b}{ds \delta s} = \frac{g_{ab} dy^a \delta y^b}{\sqrt{g_{cd} dy^c dy^d} \sqrt{g_{ef} dy^e dy^f}}, \quad (a, b, \dots = 1, 2).$$



$$(XI-55) \quad \cos \varphi = \frac{dr}{d\sigma} \frac{\delta r}{\delta \sigma} + \frac{r^2}{1 - \frac{\omega^2 r^2}{c^2}} \frac{d\theta}{d\sigma} \frac{\delta \theta}{\delta \sigma}$$

واستناداً إلى (XI-44) و (XI-45) يمكن أن نكتب:

$$(XI-56) \quad \cos \varphi = \sqrt{1 + \frac{k_1^2 \omega^2}{c^2} - \frac{k_1^2}{r^2}} \sqrt{1 + \frac{k_2^2 \omega^2}{c^2} - \frac{k_2^2}{r^2}} + K_1 K_2 \frac{1 - \frac{r^2 \omega^2}{c^2}}{r^2}$$

حيث  $K_1$  و  $K_2$  هي قيم  $K$  المناسبة تبعاً للكميات  $\left(\frac{dr}{d\sigma} \frac{d\theta}{d\sigma}\right)$  و  $\left(\frac{\partial r}{\partial \sigma} \frac{\partial \theta}{\partial \sigma}\right)$ .

الرسم 40 يظهر مثلثاً تقاصرياً  $HA \cdot OHA$  هو الخط التقاصري العمودي على الشعاع. والنقطة  $A$  هي على محيط الطبق بالشعاع الحدي  $R = \frac{c}{\omega}$ . لنحسب الكميات  $K_1$  و  $K_2$  و  $K_3$  للخطوط التقاصرية  $OH$  و  $HA$  و  $OA$  فنجد:

— في حالة الخطوط  $OH$  و  $OA$  تكون  $\frac{d\theta}{d\sigma} = 0$ . فنجد استناداً إلى (XI-44)

أن:

$$K_1 = K_3 = 0$$

— في حالة الخط  $HA$  تكون  $\left(\frac{dr}{d\sigma}\right) = 0$  في النقطة  $H$ . فنجد استناداً إلى

(XI-43):

$$K_2 = \frac{r_0}{\sqrt{1 - \frac{\omega^2 r_0^2}{c^2}}} \quad r_0 = OH.$$

فإذا أطلعنا في (XI-44) هذه القيمة لـ  $K_2$  نجد في النقطة  $H$  من الخط التقاصري  $HA$ :

$$\left(\frac{d\theta}{d\sigma}\right)_H = K_2 \frac{1 - \frac{r_0^2 \omega^2}{c^2}}{r_0^2} = \frac{\sqrt{1 - \frac{\omega^2 r_0^2}{c^2}}}{r_0}$$

نستطيع الآن أن نطبق القاعدة (XI-55) في النقطة  $H(r_0, \theta = 0)$  ثم في النقطة A  $(r = \frac{c}{\omega}, \theta)$  لتحديد زوايا المثلث التقاصري  $\varphi_H$  و  $\varphi_A$  في هاتين النقطتين بواسطة القيم  $K_1$  و  $K_2$  و  $K_3$  فنجد:

$$\text{— في النقطة H: } \left( r = r_0, K_1 = 0, K_2 = \frac{r_0}{\sqrt{1 - \frac{\omega^2 r_0^2}{c^2}}} \right)$$

$$(XI-57) \quad \varphi_H = \frac{\pi}{2} \quad \text{ومن ثم: } \cos \varphi_H = 0$$

$$\text{— في النقطة A: } \left( r = \frac{c}{\omega}, K_1 = \frac{-r_0}{\sqrt{1 - \frac{\omega^2 r_0^2}{c^2}}}, K_3 = 0 \right)$$

$$(XI-58) \quad \varphi_A = 0. \quad \text{ومن ثم: } \cos \varphi_A = 1$$

— في النقطة O حيث الهندسة إقليدية:

$$(XI-59) \quad \varphi_0 < \frac{\pi}{2}.$$

ومنها نستنتج أن مجموع زوايا المثلث التقاصري هي بين 0 و  $\pi^{(19)}$ :

$$(XI-60) \quad \varphi_{OHA} = \varphi_0 + \varphi_H + \varphi_A < \pi.$$

## 2.8 - قياس الوقت

### الوقت المحلي

لنقارن قياسات الوقت التي تجري في الهياكل الإسنادية S و  $S_0$ . لنفترض أن ساعتين H و  $H_0$  مرتبطتان بالهيكلين S و  $S_0$  قد جرى مزامنتهما في وقت نعتبره أصل الوقت ( $t = 0$ ) عندما كان موقعهما متلاصقين. بعد ذلك تشير هاتان الساعتان إلى الوقت t و  $t_0$  على التوالي. وكما افترضنا في قياس المسافات نفترض هنا أن علاقة

(19) بشكل خاص كل زوايا المثلث التقاصري AA'B هي منعدمة فيكون مجموع زوايا هذا المثلث منعدما

$\varphi_{AA'B} = 0$

الوقت  $t$  بالوقت  $t_0$  هي العلاقة ذاتها للوقت  $t'$  بالوقت  $t_0$ . ويعني  $t'$  الوقت الذي تشير إليه الساعة  $H'$  المرتبطة بهيكل إسناد عطالي  $S'$  متحرك بالنسبة إلى  $S_0$  بالسرعة ذاتها التي تتحرك بها الساعة  $H$  في الوقت المشار إليه، يعني هذا أن الوقت  $t$  الذي تشير إليه الساعة  $H$  يرتبط بالوقت  $t_0$  بقاعدة لورنتز:

$$(XI-61) \quad t = t_0 \sqrt{1 - \frac{\omega^2 r^2}{c^2}}$$

لنفترض أن الساعة  $H$  تلتقي بالساعة  $H_0$  من جديد وتتوقف. يلاحظ عندئذ كل من المشاهدين في  $S$  و  $S_0$  أن الساعة  $H$  متأخرة عن الساعة  $H_0$ . وهذه حالة خاصة من مسألة مفارقة الساعات. ويرجع المشاهد في  $S_0$  هذا التأخير إلى التسريع الذي حصل للساعة  $H$  خلال حركتها. ولكن المشاهد في  $S$  يرى أن الساعة  $H$  ثابتة دائماً. لذلك عليه أن يفترض أن هناك مجال جاذبية في هيكله الإسنادي الذاتي  $S$  (الذي هو دائماً ساكن بالنسبة إليه). ويشتق هذا المجال من الكمون  $U = -\frac{\omega^2 r^2}{c^2}$ . ويظهر تأثيره بتأخير سير الساعات في  $S$  بحيث يكون الوقت  $t$  في  $S$ .

$$(XI-62) \quad t = t_0 \sqrt{1 + \frac{2U}{c^2}}$$

مما يعني أنه يتغير حسب موقع الساعة  $H$ . وكل الساعات التي هي على مسافة واحدة من محور الدوران تشير إلى الوقت ذاته. الوقت  $t$  المحدد بالصيغة (XI-61) يسمى «الوقت المحلي في  $S$ »<sup>(20)</sup>.

فإذا استعملنا الوقت المحلي لتحديد سرعة الضوء نجد بسهولة أن هذه السرعة تتغير من نقطة إلى أخرى في الهيكل الإسنادي  $S$ . فالموجة الضوئية في الهيكل الإسنادي  $S_0$  تتحرك وفقاً للقاعدة:

$$(XI-63) \quad ds_0^2 = -dx_0^2 - dy_0^2 - dz_0^2 + c^2 dt_0^2 = 0$$

(20) نشير هنا إلى تناظر  $H$ . Arzelies في الصفحة 166 من المرجع [8] الذي يستبدل مفهوم الوقت المحلي بالوقت المركزي  $t_e$  الذي هو الوقت الذي تشير إليه الساعات المتباطئة بالنسبة  $\frac{r^2 \omega^2}{c^2}$ . فيكون الوقت المركزي  $t_e$  هو الوقت الذي تشير إليه ساعات الهيكل  $S_0$  أي:

$$t_e = \frac{t}{\sqrt{1 - \frac{r^2 \omega^2}{c^2}}} = t_0.$$

أي إذا استعملنا الإحداثيات الاسطوانية  $(x_0 = r_0 \cos \theta_0, y_0 = r_0 \sin \theta_0, z_0)$ :

$$(XI-64) \quad ds_0^2 = -dr_0^2 - r_0^2 d\theta_0^2 - dz_0^2 + c^2 dt_0^2 = 0.$$

ولكن الهيكل الإسنادي  $S_0$  يدور بالنسبة إلى الهيكل الإسنادي  $S$  بالسرعة  $\omega - \text{أي}$ :

$$(XI-65) \quad r = r_0, \quad \theta = \theta_0 - \omega t_0, \quad z = z_0.$$

فإذا أحللنا هذه الصيغ في (XI-64) نجد أن الموجة تتحرك في  $S$  وفقاً للقاعدة:

$$(XI-66) \quad -dr^2 - r^2 d\theta^2 - dz^2 \mp 2\omega r^2 d\theta dt + c^2 \left(1 - \frac{r^2 \omega^2}{c^2}\right) dt^2 = 0$$

وإذا استعملنا الصيغة (XI-61) نكتب أيضاً:

$$(XI-67) \quad -dr^2 - r^2 d\theta^2 - dz^2 \mp \frac{2\omega r^2 d\theta dt}{\sqrt{1 - \frac{r^2 \omega^2}{c^2}}} + c^2 dt^2 = 0$$

أو:

$$(XI-68) \quad d\sigma_e^2 \pm \frac{2\omega r^2}{\sqrt{1 - \frac{r^2 \omega^2}{c^2}}} d\theta dt - c^2 dt^2 = 0.$$

حيث  $d\sigma_e^2$  هو مربع المسافة التفاضلية في الإحداثيات الإسطوانية:

$$(XI-69) \quad d\sigma_e^2 = dr^2 + r^2 d\theta^2 + dz^2.$$

فتكون سرعة الضوء في هيكل الإسناد  $S$  باستعمال الوقت المحلي:

$$(XI-70) \quad V = \frac{d\sigma_e}{dt}$$

ونجد استناداً إلى (XI-68):

$$(XI-71) \quad V^2 = c^2 \mp \frac{2\omega r^2}{\sqrt{1 - \frac{r^2 \omega^2}{c^2}}} \frac{d\theta}{dt}$$

### الوقت الطبيعي

تدخل في الصيغة (XI-68) المسافة التفاضلية الإقليدية  $d\sigma_e$ . أما الهندسة الطبيعية للطبق فتحدّد بالصيغة الفضائية غير الإقليدية:

$$(XI-72) \quad d\sigma^2 = dr^2 + \frac{r^2 d\theta^2}{1 - \frac{r^2 \omega^2}{c^2}} + dz^2.$$

فإذا أحلنا الصيغة (XI-72) في المعادلة (XI-66) نجد:

$$(XI-73) \quad -d\sigma^2 + c^2 d\tau^2 = 0$$

حيث:

$$(XI-74) \quad d\tau = \sqrt{1 - \frac{r^2 \omega^2}{c^2}} \left( dt_0 - \frac{\omega r^2 d\theta}{c^2 \left( 1 - \frac{r^2 \omega^2}{c^2} \right)} \right)$$

$\tau$  هو الوقت الطبيعي المرتبط بالهندسة الطبيعية للطبق. فإذا استعملنا هذا الوقت  $\tau$  تكون سرعة الضوء ثابتة  $c$ . مما يعني أنه يمكن ضبط ساعات  $S$  بتبادل إشارات ضوئية انطلاقاً من الوقت الذي تشير إليه ساعة معينة  $H_1$ . لتزامن الساعة  $H_1$  في أصل الوقت  $t = 0$  مع ساعة هيكل الإسناد  $S_0$  التي تتلاصق مع  $H_1$ . ثم نضبط الساعة  $H$  في الهيكل  $S$  بمقارنتها مع  $H_1$  بواسطة تبادل إشارات ضوئية. يتغير الوقت  $\tau$  الذي تشير إليه الساعة  $H$  استناداً إلى المعادلة (XI-74) مع المسار الذي سار عليه الضوء من  $H_1$  إلى  $H$ . ونحصل عليه بحساب تكامل الصيغة (XI-74) مع الافتراض أن  $dt_0 = 0$ . وبشكل خاص إذا سار الضوء من  $H_1$  إلى  $H$  على دائرة شعاعها  $r$  حول المحور نجد:

$$(XI-75) \quad \tau_0 = \frac{\pm r^2 \omega}{c^2 \sqrt{1 - \frac{r^2 \omega^2}{c^2}}} \int_0^{2\pi} d\theta = \frac{\pm 2\pi \omega r^2}{c^2 \sqrt{1 - \frac{\omega^2 r^2}{c^2}}}$$

$$= \pm \frac{2\omega y}{c^2 \sqrt{1 - \frac{\omega^2 r^2}{c^2}}}$$

حيث  $y$  هي مساحة الدائرة ذات الشعاع  $r$  والتي يسير عليها الضوء. وإذا افترضنا أن  $v = \omega r$  صغيرة بالنسبة إلى سرعة الضوء  $c$  نجد:

$$(XI-76) \quad \tau_0 = \pm \frac{2w y}{c^2} .$$

أما إذا ضُبطت الساعة H على الساعة H<sub>1</sub> بواسطة إشارات تسير على دائرة شعاعها r وتدور حول المحور عدداً من المرات يساوي q، يكون فرق الوقت بين الساعة H والساعة H<sub>1</sub> مساوياً لـ  $\pm \frac{2wqy}{c^2}$  مما يعني أن الوقت الطبيعي في نقطة معينة محدّدة فقط بإمكانية زيادة  $q\tau_0$ <sup>(21)</sup>.

وإذا اجتاز شعاعان ضوئيان بإتجاهين متعاكسين مساراً متعدّداً الاضلاع إلى درجة يمكن اعتباره دائرة شعاعها r يكون فرق الوقت الذي يستغرقه الشعاعان للعودة إلى نقطة الانطلاق:

$$(XI-77) \quad \Delta\tau = \frac{4 w y}{c^2}$$

وتتفق هذه النتيجة مع تجربة تداخل الضوء المنتشر في الهواء (تجربة سانياك).

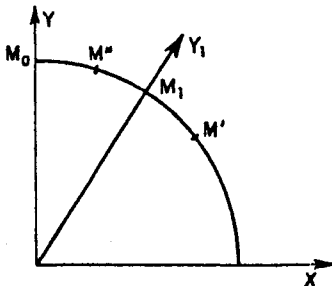
أما إذا درسنا حركة جسمين سرعتهم +V و -V بالنسبة إلى الطبقة الدائر بدلاً من حركة إشارتين ضوئيتين (فوتونين) فإننا نجد النتيجة ذاتها:

الفرق بين الوقت الذي يستغرقه الجسمان لا يتغير مع السرعة V ويساوي<sup>(22)</sup>:

(21) طبعاً إذا ضبطت ساعة على H<sub>1</sub> وتحركت على دائرة من الطبقة S وذلك ببطء كي لا تؤثر حركتها على سير عملها، يطابق الوقت الذي تشير إليه عند عودتها إلى H<sub>1</sub> الوقت الذي تشير إليه الساعة H<sub>1</sub>. ولكنه يختلف بالكميات  $q\tau_0$  عن الوقت الذي تشير إليه الساعة H.

(22) لنفترض أن جسماً M يتحرك على دائرة شعاعها r انطلاقاً من انطلاقة M<sub>0</sub> بسرعة V<sub>0</sub> بالنسبة إلى S<sub>0</sub> و V بالنسبة إلى S، خلال الوقت dt<sub>0</sub> ينتقل المحور OY في S إلى OY<sub>1</sub>. ويصبح الجسم في M' و M'' إذا كان يتحرك باتجاه دوران الطبقة أو الإتجاه المعاكس بالتوالي. فتكون المسافة التي قطعها في هيكل الإسناد S<sub>0</sub>.

$$(1) \quad d\sigma_0 = V_0 dt_0 = dl_0 \pm r_0\omega dt_0$$



الشكل 41 - الجسم المتحرك على الطبقة الدائر

حيث  $dl_0$  هي طول القوس  $M_1M'$  (أو  $M_1M''$ ) في  $S_0$ . نجد إذا:

$$(2) \quad V_1 0 = \frac{dl_0}{dt_0} \pm r_0 \omega$$

أما في هيكل الاسناد S فنجد

$$(3) \quad V = \frac{dl}{d\tau}$$

وإذا استعملنا الوقت الطبيعي والهندسية الطبيعية للطبق نجد:

$$(4) \quad dl = \frac{dl_0}{\sqrt{1 - \frac{r^2 \omega^2}{c^2}}}, \quad d\tau = \sqrt{1 - \frac{r^2 \omega^2}{c^2}} \left( dt_0 \pm \frac{\omega r^2 d\theta}{c^2 \left( 1 - \frac{r^2 \omega^2}{c^2} \right)} \right)$$

$$(5) \quad dl \sqrt{1 - \frac{r^2 \omega^2}{c^2}} = rd\theta$$

وبمقابلة الصيغ (2) و (3) و (4) و (5) نجد

$$(6) \quad V = \frac{V_0 \mp r\omega}{1 \mp \frac{\omega^2}{c^2} V_0}, \quad V_0 = \frac{V \pm r\omega}{1 \pm \frac{\omega^2}{c^2} V}$$

فإذا انطلق متحركان معا من  $M_0$  بالسرعتين  $+V$  و  $-V$ . بالنسبة إلى S يكون الوقت الطبيعي الذي يستغرقه كل منهما لقطع المسافة  $dl_0$  (استناداً إلى (0) و(1)).

$$(dt_0)_1 = \frac{dl_0}{(V_0)_1 - r\omega} = \frac{dl_0}{V} \frac{1 + \frac{\omega r}{c^2} V}{1 - \frac{\omega^2 r^2}{c^2}},$$

$$(dt_0)_2 = \frac{dl_0}{(V_0)_2 - r\omega} = \frac{-dl_0}{V} \frac{1 - \frac{\omega r}{c^2} V}{1 - \frac{\omega^2 r^2}{c^2}},$$

ويكون الفرق بين هذين الوقتين

$$\Delta t_0 = (dt_0)_1 - (dt_0)_2 = \frac{2dl_0}{c^2} \frac{\omega r}{1 - \frac{\omega^2 r^2}{c^2}}$$

=

$$(XI-77) \quad \Delta\tau = \frac{4 \omega y}{c^2} .$$

وفي الحالة الخاصة لانتشار شعاعين ضوئيين في منشورات زجاجية (تجربة هارس) أو في أنبوب ماء ملتصق بالطبق الدائر (تجربة بوغاني) تكون النتيجة مستقلة عن قيمة  $V = \frac{c}{n}$ . هكذا تثبت تجربة التداخل صحة النتيجة (XI-77)<sup>(23)</sup>.

### ج - قانون أينشتاين للجاذبية

حسب مبادئ النسبية العامة تمتص قوى الجاذبية محلياً في بنية الفضاء الرباعي غير الإقليدي للمكان والزمان<sup>(24)</sup>. ويفترض أينشتاين أن الفضاء هو ريماني رباعي ويختلف هذا الفضاء عن الفضاء الإقليدي بتقوس يعبر عنه موتر ريمان - كريستوفل  $G^p_{\mu\nu\sigma}$  (انظر المعادلة (110 - XV)).

وتحدد خصائص فضاء ريمان بكاملها بالموتر الأساسي  $g_{\mu\nu}$ . إذ إن مُعامل الارتباط القريب  $\Gamma^p_{\mu\nu}$  يتطابق مع رموز كريستوفل في كل نقطة:

$$= \text{وهو مستقل عن } V. \text{ وبعد اجتياز الدائرة بكاملها } \left( \int dl_0 = 2\pi r \right) \text{ يصبح هذا الفرق}$$

$$\Delta t_0 = \frac{4 \omega \mathcal{P}}{c^2 \left( 1 - \frac{\omega^2 r^2}{c^2} \right)} \# \frac{4\omega \mathcal{P}}{c^2} .$$

لنخصص المتحرك  $M_1$  بساعة  $H_1$  والمتحرك  $M_2$  بساعة  $H_2$ ، تتحركان معهما ومتزامتان لدى انطلاقهما مع ساعة  $H$  ثابتة في هيكل الإسناد  $S$  وتُضبطان على  $H$  بواسطة تبادل الإشارات الضوئية. فتشيران إذا إلى الوقت الطبيعي. ويشير كل من الساعتين إلى الوقت ذاته عند عودة المتحركين  $M_1$  و  $M_2$  إلى نقطة الانطلاق. مما يعني أن فرق الوقت الطبيعي الذي يستغرقه الجسمان لقطع الدائرة منعدم إذا قيس في هيكل كل منهما (لأن الجسمين يقطعان المسافة ذاتها بالسرعة ذاتها). ولكن الساعة  $H_1$  التي تدور باتجاه دوران الطبق تؤخر الوقت  $\frac{2 \omega \mathcal{P}}{c^2}$  و  $H_2$  التي تدور بالاتجاه المعاكس لدوران الطبق تقدم الوقت  $\frac{2 \omega \mathcal{P}}{c^2}$  بالنسبة إلى  $H$  (ارجع إلى (XI-76)). مما يعني أن  $M_1$  المتحرك باتجاه دوران الطبق يستغرق وقتاً أطول من  $M_2$  للقيام بدورة كاملة. فيكون فرق الوقت المقاس بالوقت الطبيعي للطبق بواسطة الساعة ذاتها  $H$  يساوي  $\frac{4 \omega \mathcal{P}}{c^2}$ .

(23) لمزيد من المعلومات عن حركة الأجسام على الطبق الدائر في مختلف الهياكل الاسنادية ومختلف تحديدات الوقت يرجع إلى الصفحة 175 من المرجع [8] H.ARZELIES ولبقابلة القياسات في هيكل الاسناد  $S_0$  وفي هيكل اسناد متسارع  $S$  يرجع إلى الصفحة 233 من المرجع [16] C.MOLLER.

(24) A.EINSTEIN, Berl. Ber. 1915, p.778, 799, 844; Ann. d. Phys. 49, 1916, p.769.



$$(XI-78) \quad \Gamma_{\mu\nu}^{\rho} = \left\{ \begin{matrix} \rho \\ \mu\nu \end{matrix} \right\} = \frac{1}{2} g^{\rho\sigma} (\partial_{\mu}g_{\nu\sigma} + \partial_{\nu}g_{\mu\sigma} - \partial_{\rho}g_{\mu\nu}).$$

وموتر التقوس:

$$(XI-79) \quad G_{\mu\nu}^{\rho} = \partial_{\sigma} \left\{ \begin{matrix} \rho \\ \mu\nu \end{matrix} \right\} - \partial_{\nu} \left\{ \begin{matrix} \rho \\ \mu\sigma \end{matrix} \right\} + \left\{ \begin{matrix} \lambda \\ \mu\nu \end{matrix} \right\} \left\{ \begin{matrix} \rho \\ \lambda\sigma \end{matrix} \right\} - \left\{ \begin{matrix} \lambda \\ \mu\sigma \end{matrix} \right\} \left\{ \begin{matrix} \rho \\ \lambda\nu \end{matrix} \right\}$$

يحدّد بمعرفة المركّبات  $g_{\mu\nu}$  للموتر الأساسي ومشتقاتها الأولى والثانية. مما يعني أن كل خصائص فضاء ريمان تحدّد بالصيغة الأساسية:

$$(XI-80) \quad ds^2 = g_{\mu\nu} dy^{\mu} dy^{\nu}.$$

### 9) قانون الجاذبية خارج المادة

يعبر عن قانون الجاذبية خارج المادة بشروط على بنية الفضاء أي بقيود تفرض على تقوس الفضاء الرباعي الذي يميّز وحده الفضاء الريماني عن الفضاء الإقليدي.

ونحصل على هذه الشروط بجعل بعض التركيبات الخطية linear combination من مركّبات موتر التقوس منعدمة. ويفرض أينشتاين على مركّبات موتر التقوس الشروط العشرة التالية:

$$(XI-81) \quad G_{\mu\nu\rho}^{\rho} = G_{\mu\nu 1}^1 + G_{\mu\nu 2}^2 + G_{\mu\nu 3}^3 + G_{\mu\nu 0}^0 = 0.$$

يسمى موتر التقوس المنكمش  $G_{\mu\nu} = G_{\mu\nu\rho}^{\rho}$  «موتر ريتشي Ricci» وصيغته استناداً إلى (XI-79) هي:

$$(XI-82) \quad G_{\mu\nu} = G_{\mu\nu\rho}^{\rho} = \partial_{\rho} \left\{ \begin{matrix} \rho \\ \mu\nu \end{matrix} \right\} - \partial_{\nu} \left\{ \begin{matrix} \rho \\ \mu\rho \end{matrix} \right\} + \left\{ \begin{matrix} \lambda \\ \mu\nu \end{matrix} \right\} \left\{ \begin{matrix} \rho \\ \lambda\rho \end{matrix} \right\} - \left\{ \begin{matrix} \lambda \\ \mu\rho \end{matrix} \right\} \left\{ \begin{matrix} \rho \\ \lambda\nu \end{matrix} \right\}.$$

يفترض أينشتاين إذا أن «قانون الجاذبية خارج المادة يصاغ بانعدام موتر ريتشي».

$$(XI-83) \quad \boxed{G_{\mu\nu} = 0}$$

قد يبدو أن هذه الشروط مقيدة أكثر من اللازم إذ إنها تشكل عشر معادلات

تفاضلية بين مركبات  $g_{\mu\nu}$  العشرة. مما يعني مبدئياً تحديد المركبات  $g_{\mu\nu}$  تحديداً كاملاً وبالتالي اختيار الهيكل الإسنادي. وهذا يبدو غير معقولاً لأن هيكل الإسناد يجب أن يبقى اختيارياً<sup>(25)</sup>. في الواقع يمكن أن تفرض الشروط (XI-83) لأن المركبات  $G_{\mu\nu}$  ترتبط بالمعادلات التطابقية الأربع التالية:

$$(XI-84) \quad \nabla_{\rho} \left( G_{\mu}^{\rho} - \frac{1}{2} \delta_{\mu}^{\rho} G \right) \equiv 0$$

حيث وضعنا:

$$(XI-85) \quad G_{\mu}^{\rho} = g^{\rho\sigma} G_{\mu\sigma}, \quad G = g^{\mu\nu} G_{\mu\nu}.$$

فيكون عدد المعادلات المستقلة المستخلصة من الشروط (XI-83) هو  $10 - 4 = 6$  مما يتيح الإبقاء على اختيارية هيكل الإسناد:

بشكل عام لنفترض أن معادلات الجاذبية يعبر عنها بالشروط:

$$(XI-86) \quad \boxed{S_{\mu}^{\rho} = 0}$$

حيث  $S_{\mu}^{\rho}$  هو الموتر  $g^{\rho\nu} S_{\mu\nu}$  الذي يرتبط فقط بالمركبات  $g_{\mu\nu}$  ومشتقاتها الأولى والثانية. ولنفترض أيضاً أن المعادلات العشر (XI-86) يمكن تقليصها إلى ستة شروط للإبقاء على الصفة الاختيارية لهيكل الإسناد. وذلك بإخضاع المركبات  $S_{\mu}^{\rho}$  إلى قوانين الحفظ Conservation law:

$$(IX - 87) \quad \boxed{\nabla_{\rho} S_{\mu}^{\rho} \equiv 0}$$

لقد أثبت كارتان أن الموتر الوحيد الذي يستوفي هذه الشروط هو<sup>(26)</sup>:

$$(XI-88) \quad \boxed{S_{\mu}^{\rho} = G_{\mu}^{\rho} - \frac{1}{2} \delta_{\mu}^{\rho} G}$$

D.HILBERT, Gött. Nachr., 1915, p. 395.

(25)

(26) في الواقع إن الموتر  $S_{\mu}^{\rho}$  المرتبط بـ  $g_{\mu\nu}$  ومشتقاتها الأولى والثانية والخاضع للمعادلة (XI-87) يكتب بشكل عام:

$$S_{\mu}^{\rho} = h \left[ G_{\mu}^{\rho} - \frac{1}{2} \delta_{\mu}^{\rho} (G - 2\lambda) \right].$$

نفترض أن  $\lambda = 0$  و  $h = 1$ .

حيث  $G_{\mu\nu}$  هو موتر ريتشي المحدد بالصيغة (XI-82). الشرط في الصيغة (XI-86) يقود إلى  $G = 0$  وبالتالي:

$$(XI-83) \quad G_{\mu\nu} = 0$$

هذه هي معادلات الجاذبية خارج المادة وبغياب المجال الكهرمغناطيسي.

### 10) قانون الجاذبية داخل المادة أو ضمن مجال كهرمغناطيسي

تتميز المادة والمجال الكهرمغناطيسي بموتر الرّخم والطاقة  $T_{\mu}^{\nu}$  الحفظي:

$$(XI-89) \quad \nabla_{\rho} T_{\mu}^{\rho} = 0.$$

في هذه الحالة يعبر قانون الجاذبية عن توازن تأثيرات الموتر الحفظي  $S_{\mu}^{\rho}$  ذي الأصل الهندسي وتأثيرات الموتر الحفظي  $T_{\mu}^{\rho}$  الذي يرتبط بالمادة أو المجال الكهرمغناطيسي (أصله إذاً غير جاذبي). فيُكتب قانون الجاذبية بالصيغة:

$$(XI-90) \quad \boxed{S_{\mu}^{\rho} = \chi T_{\mu}^{\rho}}$$

حيث  $\chi$  ثابت مرتبط بثابت الجاذبية  $G$ . فتقود المعادلات التتابقية (XI-87) إلى معادلات حفظ الموتر  $T_{\mu}^{\rho}$  (XI-89).

وإذا استعملنا الصيغة (XI-88) للموتر  $S_{\mu}^{\rho}$  يمكن أن نكتب قانون الجاذبية بالصيغة:

$$(XI-91) \quad G_{\mu}^{\rho} - \frac{1}{2} \delta_{\mu}^{\rho} G = \chi T_{\mu}^{\rho}$$

أو:

$$(XI-92) \quad G_{\mu\nu} - \frac{1}{2} g_{\mu\nu} G = \chi T_{\mu\nu}.$$

### 11) مسارات جسيم غير مشحون في مجال جاذبي الخطوط التقاصرية (الجيوديسية):

إذا كانت المادة مؤلفة من جسيمات غير مشحونة لا تعطي أية تأثيرات كهرمغناطيسية أو حرارية إلخ... يصبح الموتر  $T_{\mu}^{\rho}$  مساوياً لموتر المادة  $M_{\mu}^{\rho}$ .

واستناداً إلى المعادلة (VIII-166) العائدة للغازات المثالية وفي حال غياب الضغط ( $P = 0$ ) يمكن أن نكتب:

$$(XI-93) \quad M_{\mu}{}^{\rho} = \mu_0 c^2 u_{\mu} u^{\rho}.$$

أما إذا كانت المادة مؤلفة من جسيمات مشحونة فتكون مجالاً كهرومغناطيسياً. فإذا كان هذا المجال يخضع لمعادلات ماكسويل يكون موتر الطاقة والزخم هو موتر ماكسويل:

$$(XI-94) \quad \tau_{\mu}{}^{\rho} = -\varphi_{\mu\sigma} \varphi^{\rho\sigma} + \frac{1}{4} \delta_{\mu}{}^{\rho} \varphi_{\lambda\sigma} \varphi^{\lambda\sigma}$$

فتصبح المعادلة  $\nabla_{\rho} T_{\mu}{}^{\rho} = 0$  بالصيغة:

$$(XI-95) \quad \nabla_{\rho} (M_{\mu}{}^{\rho} + \tau_{\mu}{}^{\rho}) = 0$$

أي استناداً إلى الصيغ (XI-93) و (XI-94) تصبح:

$$(XI-96) \quad u^{\rho} \nabla_{\rho} u_{\mu} = -\frac{1}{\mu_0 c^2} \varphi_{\mu\rho} j^{\rho} = -\frac{4\pi\rho_0}{\mu_0 c^2} \varphi_{\mu\rho} u^{\rho} = \frac{4\pi}{\mu_0 c^2} f_{\mu}$$

حيث وضعنا:

$$(XI-97) \quad j^{\rho} = \nabla_{\sigma} \varphi^{\rho\sigma} \quad , \quad f_{\mu} = \frac{1}{4\pi} \varphi_{\rho\mu} j^{\rho}.$$

فتكون معادلة مسار جسيم غير مشحون ( $\rho = 0$ ):

$$(XI-98) \quad u^{\rho} \nabla_{\rho} u_{\mu} = 0$$

أي إذا أخذنا بعين الاعتبار التحديد  $u^{\mu} = \frac{dy^{\mu}}{ds}$

$$(XI-99) \quad \boxed{\frac{d^2 y^{\rho}}{ds^2} + \left\{ \begin{matrix} \rho \\ \mu\nu \end{matrix} \right\} \frac{dy^{\mu}}{ds} \frac{dy^{\nu}}{ds} = 0}$$

ونحصل أيضاً على هذه المعادلة انطلاقاً من مبدأ التغيرات

$$(XI-100) \quad \boxed{\delta \int ds = 0}$$

لتطبيقه على الصيغة الأساسية:

$$(XI-101) \quad ds^2 = g_{\mu\nu} dy^\mu dy^\nu.$$

إن مسارات الجسيمات غير المشحونة المحددة بالمعادلة (XI-98) هي إذا الخطوط الأقصر أي الخطوط التقاصرية في فضاء ريمان ذي الصيغة الأساسية (XI-101) والذي يمتص المجال الجاذبي في بنيته الهندسية. يمكن إذا اعتبار هذه الجسيمات حرة في هذا الفضاء فتسلك تبعاً لذلك الخطوط التقاصرية (XI-99).

يمكن دائماً أن نكتب معادلة مسارات الجسيمات الحرة بالصيغة (XI-99) لدى استعمال أية إحداثيات مقوَّسة. وهذا صحيح لكل فضاء ذي ارتباط قريب محدّد بالرموز  $\left\{ \begin{matrix} \rho \\ \mu\nu \end{matrix} \right\}$  أي في حالة الفضاء الريماني وأيضاً الفضاء الإقليدي. ولكن في حالة الفضاء الإقليدي يمكن دائماً أن نختار إحداثيات منظّمة ومتعامدة فتكون الرموز  $\left\{ \begin{matrix} \rho \\ \mu\nu \end{matrix} \right\}$  منعدمة. ويمكن بذلك أن ندرس منطقة واسعة من هذه الفضاء. في هذه الحالة الخاصة تصبح معادلة الحركة  $\left( \frac{d^2x^\mu}{ds^2} = \frac{du^\mu}{ds} = 0 \right)$ ، أي أن مركّبات السرعة الكونيّة ثابتة. مما يعني أن الجسم الحر يسير على خط مستقيم بسرعة ثابتة.

أما في حالة الفضاء الريماني فلا يمكن تحويل معادلة الخطوط التقاصرية (XI-99) إلى الصيغة  $u^\mu = c^{te}$  باختيار مناسب للإحداثيات يكون صالحاً في منطقة واسعة من الفضاء. وتمثّل المعادلة (XI-99) حركة جُسيم حر في فضاء ريمان أي جُسيماً خاضعاً فقط لمجال الجاذبية. أما حركة جُسيم مشحون ( $\rho \neq 0$ ) فتكون حسب المعادلة (XI-96) ويختلف مساره عن الخط التقاصري بسبب وجود الطرف الأيمن من المعادلة (XI-96)<sup>(27)</sup>.

(27) يمكن أن نثبت أن مسارات الجسيمات المشحونة هي الخطوط التقاصرية في فضاء فينسلر Finster ذي الصيغة الأساسية:

$$ds = \sqrt{g_{\mu\nu} dy^\mu dy^\nu} + \frac{e}{m} \varphi_\mu dy^\mu.$$

فكل جسيم فضاء فينسلر خاص بها حسب قيمة النسبة  $\frac{e}{m}$  لهذا الجسيم. (انظر الصفحة 155 من المرجع [25] A. Lichnerowicz).

## توسعات النسبية العامة وبعض نتائجها

### أ - المعادلات التقريبية

#### 1) كمون الجاذبية في الصيغة التقريبية النيوتنية

لنفترض أن مجال الجاذبية ضعيف بحيث يكون الفضاء الرباعي للمكان والزمان إقليدياً تقريبياً. يمكن إذاً إيجاد نظام إحداثيات  $x^\mu$  بحيث لا يختلف المتر الأساسي  $g_{\mu\nu}$  إلا قليلاً عن قيمته الغاليلية:

$$(XII-1) \quad \eta_{\mu\nu} = \delta_{\mu\nu} (-1, -1, -1, +1).$$

فنكتب:

$$(XII-2) \quad g_{\mu\nu} = \eta_{\mu\nu} + h_{\mu\nu} \quad , \quad g^{\mu\nu} = \eta^{\mu\nu} + h^{\mu\nu}.$$

ونهمل الصيغ التي يدخل فيها مربع الكميات  $h_{\mu\nu}$  ومشتقاتها.

الخطوط التقاصرية في فضاء ريمان المحددة بالمعادلة:

$$(XII-3) \quad \frac{d^2 x^\rho}{ds^2} + \left\{ \begin{matrix} \rho \\ \mu\nu \end{matrix} \right\} \frac{dx^\mu}{ds} \frac{dx^\nu}{ds} = 0$$

تمثل مسارات الجسيمات غير المشحونة في مجال الجاذبية. لنفترض أن سرعة هذه الجسيمات خفيفة بالنسبة إلى سرعة الضوء:

$$(XII-4) \quad \frac{dx^\rho}{dx^0} \ll 1 \quad (x^0 = ct). \quad \text{أو} \quad \frac{dx^\rho}{ds} \ll c$$

حيث المؤشرات اللاتينية p,q,r تأخذ القيم 1-3 بينما المؤشرات اليونانية  $\mu, \nu, \rho, \dots$  تأخذ القيم 1,2,3,0 فنجد:

$$(XII-5) \quad \left( \frac{ds}{dx^0} \right)^2 = g_{pq} \frac{dx^p}{dx^0} \frac{dx^q}{dx^0} + 2g_{p0} \frac{dx^p}{dx^0} + g_{00} \approx g_{00} \quad (p, q = 1, 2, 3)$$

وبالتالي استناداً إلى (XII-4) و (XII-2):

$$(XII-6) \quad \left\{ \begin{matrix} p \\ \mu\nu \end{matrix} \right\} \frac{dx^\mu}{ds} \frac{dx^\nu}{dx^0} \approx \left\{ \begin{matrix} p \\ 00 \end{matrix} \right\} \left( \frac{dx^0}{ds} \right)^2 \\ \approx \frac{g^{pq}}{2g_{00}} (2\partial_0 g_{0q} - \partial_q g_{00}) \approx - \left( \partial^0 g_{0p} - \frac{1}{2} \partial_p g_{00} \right)$$

إذا كانت الجسيمات تتحرك ببطء تكون المشتقات  $\partial_0 = \frac{1}{c} \frac{\partial}{\partial t}$  صغيرة بالمقارنة مع المشتقات  $\partial_p = \frac{\partial}{\partial x^p}$ . يمكن إذا إهمال الأولى مقابل الثانية. فتكتب المعادلات الثلاث الأولى (XII-3) بالصيغة:

$$(XII-7) \quad \frac{d^2 x^p}{ds^2} = - \frac{1}{2} \partial_p g_{00}.$$

ولكن استناداً إلى (XII-5):

$$(XII-8) \quad \frac{d^2 x^p}{ds^2} \approx \frac{d^2 x^p}{(dx^0)^2} = \frac{1}{c^2} \frac{d^2 x^p}{dt^2}.$$

مما يتيح أن نكتب (XII-7) بالصيغة:

$$(XII-9) \quad \boxed{\frac{d^2 x^p}{ds^2} = - \frac{c^2}{2} \partial_p g_{00} = \frac{\partial U}{\partial x^p}}$$

حيث وضعنا:

$$(XII-10) \quad \boxed{U = \frac{c^2}{2} h_{00} + c^2 e}$$

نستنتج إذا في حالة فضاء يحتوي فقط أجساماً ذات كتلة صغيرة وتتحرك بسرعة خفيفة ( $v < c$ ) أن مسارات الجسيمات (أي الخطوط التقاصرية) مطابقة لتلك التي

نحصل عليها باستعمال الميكانيك النيوتني الكلاسيكي مع قوى تساوي تدرج الكمون  $U$ .

بهذه الصيغة التقريبية تدخل المركبة  $g_{00}$  وحدها في معادلات الحركة. لذلك يمكن اعتبارها دالة عددية  $U$  وتجاهل الصفة المؤثرة الحقيقية لمجال الجاذبية. أما في النظرية الكاملة فإن مجال الجاذبية يتمثل بموتر متناظر من الرتبة الثانية. وتدخل كل مركباته العشر  $g_{\mu\nu}$  في تحديد حركة الجسيمات.

(2) معادلات مجالات الجاذبية في نظام إحداثيات متساوية درجة الحرارة وشبه غاليلية:

لنتفحص معادلات المجال (XI-90) في «الداخل» أي في حالة وجود المادة أو المجال الكهرمغناطيسي. وهي معادلات بطرف أيمن:

$$(XII-11) \quad S_{\mu\nu} \equiv G_{\mu\nu} - \frac{1}{2} g_{\mu\nu} G = \chi T_{\mu\nu}.$$

ويدخل فيها موتر ريتشي:

$$(XII-12) \quad G_{\mu\nu} = \partial_\rho \left\{ \begin{matrix} \rho \\ \mu\nu \end{matrix} \right\} - \partial_\nu \left\{ \begin{matrix} \rho \\ \mu\rho \end{matrix} \right\} + \left\{ \begin{matrix} \lambda \\ \mu\nu \end{matrix} \right\} \left\{ \begin{matrix} \rho \\ \lambda\rho \end{matrix} \right\} \\ - \left\{ \begin{matrix} \lambda \\ \mu\rho \end{matrix} \right\} \left\{ \begin{matrix} \rho \\ \lambda\nu \end{matrix} \right\}$$

والتقوس الرقمية:

$$(XII-13) \quad G = g^{\mu\nu} G_{\mu\nu}.$$

ويمكن أن نتأكد بسهولة أن الصيغ (XII-12) و  $G_{\mu\nu}$  (XII-13) و  $G$  تكتب أيضا:

$$(XII-14) \quad G_{\mu\nu} = -\frac{1}{2} g^{\rho\sigma} \partial_\rho \partial_\sigma g_{\mu\nu} - \frac{1}{2} \sigma^\rho \partial_\rho g_{\mu\nu} \\ - \frac{1}{2} (g_{\mu\rho} \partial_\nu \sigma^\rho + g_{\nu\rho} \partial_\mu \sigma^\rho) + g^{\lambda\tau} g^{\rho\sigma} (\partial_\rho g_{\mu\lambda} \partial_\sigma g_{\nu\tau} \\ - [\lambda\rho, \mu] [\tau\sigma, \nu]).$$

$$(XII-15) \quad G = -g^{\rho\sigma} \partial_\rho \partial_\sigma \log \sqrt{-g} - \sigma^\rho \partial_\rho \log \sqrt{-g} - \partial_\rho \sigma^\rho \\ - \frac{1}{2} \left\{ \begin{matrix} \lambda \\ \rho\sigma \end{matrix} \right\} \partial_\lambda g^{\rho\sigma}.$$



لنحدّد الرموز التالية:

$$(XII-16) \quad [\mu\nu, \rho] = g_{\rho\sigma} \left\{ \begin{matrix} \sigma \\ \mu\nu \end{matrix} \right\} = \frac{1}{2} (\partial_\mu g_{\nu\rho} + \partial_\nu g_{\mu\rho} - \partial_\rho g_{\mu\nu}).$$

والكمية المتّجهية<sup>(1)</sup>:

$$(XII-17) \quad \sigma^\lambda = -g^{\rho\sigma} \left\{ \begin{matrix} \lambda \\ \rho\sigma \end{matrix} \right\} = \frac{1}{\sqrt{-g}} \partial_\mu (\sqrt{-g} g^{\mu\lambda})$$

نلاحظ أن الصيغ (XII-14) و (XII-15) تصبح أسهل إذا اخترنا نظام إحداثيات  $y^\rho$  بحيث يكون:

$$(XII-18) \quad \sigma^\lambda = 0.$$

هذه الإحداثيات المميّزة تسمى إحداثيات تساوي درجة الحرارة وتحدّد كما يلي:  
تكتب الصيغة (XII-17) للكميات  $\sigma^\lambda$  بالصيغة:

$$(XII-19) \quad \square f^{(\lambda)} = g^{\rho\sigma} \nabla_\rho \nabla_\sigma f^{(\lambda)} = g^{\rho\sigma} \left( \partial_\rho \partial_\sigma - \left\{ \begin{matrix} \tau \\ \rho\sigma \end{matrix} \right\} \partial_\tau \right) f^{(\lambda)} \\ = -g^{\rho\sigma} \left\{ \begin{matrix} \lambda \\ \rho\sigma \end{matrix} \right\} = \sigma^\lambda.$$

مع:

$$\partial_\tau f^{(\lambda)} = \partial_\tau y^\lambda = \delta_\tau^\lambda.$$

الدوّالّ الأربع  $y^\lambda = f^{(\lambda)}$  هي حلول للمعادلة (XII-18) أي  $\square f^{(\lambda)} = 0$  فتحدّد إذا  
تشكيلات تساوي درجة الحرارة مميّزة  $f^{(\lambda)} = c^{te}$ .

(1) وذلك لأن:

$$\begin{aligned} -g^{\rho\sigma} \left\{ \begin{matrix} \lambda \\ \rho\sigma \end{matrix} \right\} &= -\frac{1}{2} g^{\rho\sigma} g^{\lambda\tau} (2\partial_\rho g_{\sigma\tau} - \partial_\tau g_{\rho\sigma}) \\ &= -\partial_\rho (g^{\rho\sigma} g^{\lambda\tau} g_{\sigma\tau}) + g_{\sigma\tau} \partial_\rho (g^{\rho\sigma} g^{\lambda\tau}) + \frac{1}{2} g^{\lambda\rho} \frac{\partial_\rho g}{g} \\ &= -\partial_\rho g^{\rho\lambda} + \partial^\rho \partial_\rho g^{\lambda\tau} + \delta_\sigma^\lambda \partial_\rho g^{\rho\sigma} + \frac{1}{2} g^{\lambda\sigma} \frac{\partial_\rho g}{g} \\ &= \partial_\rho g^{\rho\lambda} + g^{\lambda\rho} \partial^\rho \frac{\sqrt{-g}}{\sqrt{-g}} = \frac{1}{\sqrt{-g}} \partial_\rho (\sqrt{-g} g^{\lambda\rho}) \end{aligned}$$

باستعمال  $dg = gg^{\mu\nu} dg_{\mu\nu} + g^{\rho\sigma} g_{\sigma\tau} = \delta_\tau^\rho$  (ارجع إلى الفصل XV المقطع الخامس).

فشرط تساوي درجة الحرارة يعني اختيار نظام إحداثيات بحيث إن<sup>(2)</sup>:

$$(XII-20) \quad \square = \nabla_\rho \nabla_\rho = g^{\rho\sigma} \nabla_\rho \nabla_\sigma. \quad \text{مع } \square y^\lambda = 0$$

بهذا الشرط تتخذ معادلات الجاذبية (XII-11) الصيغة البسيطة:

$$(XII-21) \quad -\frac{1}{2} g^{\rho\sigma} \partial_\rho \partial_\sigma g_{\mu\nu} + g^{\lambda\tau} g^{\rho\sigma} (\partial_\rho g_{\mu\lambda} \partial_\sigma g_{\nu\tau} - [\lambda\rho, \mu] [\tau\sigma, \nu]) \\ + \frac{1}{2} g_{\mu\nu} g^{\rho\sigma} \partial_\rho \partial_\sigma \log \sqrt{-g} + \frac{1}{4} g_{\mu\nu} \left\{ \begin{matrix} \lambda \\ \rho\sigma \end{matrix} \right\} \partial_\lambda g^{\rho\sigma} = \chi T_{\mu\nu}.$$

### التقريب شبه الغاليلي

لنفترض الآن أن مجال الجاذبية ضعيف. فنختار نظام إحداثيات بحيث يختلف الموتر الأساسي قليلاً عن الموتر الغاليلي:

$$(XII-1) \quad \eta_{\mu\nu} = \delta_{\mu\nu} (-1, -1, -1, +1).$$

فنضع<sup>(3)</sup>:

$$(XII-22)_1 \quad g_{00} = 1 + h_{00} = 1 + \epsilon^2 \frac{h_{00}}{2} + 0(\epsilon^4)$$

$$(XII-22)_2 \quad g_{p0} = h_{p0} = \epsilon^3 \frac{h_{p0}}{3} + 0(\epsilon^5) \quad (p, q = 1, 2, 3)$$

$$(XII-22)_3 \quad g_{pq} = -\delta_{pq} + h_{pq} = -\delta_{pq} + \epsilon^2 \frac{h_{pq}}{2} + 0(\epsilon^4)$$

مع:

$$(XII-23) \quad \epsilon^2 = \frac{1}{c^2}.$$

نقول إن مجموعة المعادلات هي من الدرجة الثانية إذا اكتفينا بالكميات الصغيرة

(2) عن إحداثيات تساوي درجة الحرارة يرجع إلى:

G. DARMOIS. [20] Ch. III

De DONDER. [21] p.40.

J. CHAZY. [19] v. II, p.143.

(3) إن نشر Expansion الكميات  $h_{\mu\nu}$  على الكميات الصغيرة  $\epsilon, \epsilon^2, \epsilon^3$  هو كفي ولكن سنرى أن هذا الاختيار يفرضه الكميات الصغيرة التي تدخل في موتر الزخم والطاقة (انظر المعادلة XII-43).

$\epsilon^2$  و  $\epsilon^3$ . فتدخل في المعادلات فقط الكميات  $h_2$  و  $h_3$  ويمكن إهمال حاصل ضرب (جاء) هذه الكميات ( $\leq \epsilon^4$ ).

نستطيع أن نثبت أنه من الممكن دائماً أن نختار هيكلًا إسناديًا شبه غاليلي ومتساوي درجة الحرارة بالوقت ذاته<sup>(4)</sup>. فاختيار هيكل إسنادي شبه غاليلي يجعل المتجه  $\sigma^\lambda$  غائباً في كل درجات التقريب. فتأخذ معادلات الجاذبية الصيغة البسيطة (XII-21). ونستطيع استعمال الصيغ (XII-22) للمركبات  $g_{\mu\nu}$  في كتابة هذه المعادلات. ويجب أن نضيف إلى هذه المعادلات النتائج التالية التي نحصل عليها من (XII-22):

$$(XII-24) \quad g = \text{dét. } g_{\mu\nu} = -1 - \epsilon^2 \left( \frac{h_{00}}{2} - \sum_p \frac{h_{pp}}{2} \right) + O(\epsilon^4)$$

$$(XII-25)_1 \quad g^{00} = \frac{1}{g} \quad \min \quad g_{00} = 1 - \epsilon^2 \frac{h_{00}}{2} + O(\epsilon^4)$$

$$(XII-25)_2 \quad g^{0p} = \frac{1}{g} \quad \min \quad g_{0p} = \epsilon^3 \frac{h_{p0}}{3} + O(\epsilon^5)$$

$$(XII-25)_3 \quad g^{pq} = \frac{1}{g} \quad \min \quad g_{pq} = -\delta_{pq} - \epsilon^2 \frac{h_{pq}}{2} + O(\epsilon^4).$$

وإذا أحلنا (XII-22) و (XII-24) و (XII-25) في المعادلات (XII-21) نجد بالتقريب المستعمل:

$$(XII-26)_1 \quad -\frac{1}{2} \eta^{\rho\sigma} \partial_\rho \partial_\sigma \left[ \frac{h_{00}}{2} - \frac{1}{2} \left( \frac{h_{00}}{2} - \sum_p \frac{h_{pp}}{2} \right) \right] = \sum \frac{T_{00}}{\epsilon^2}$$

$$(XII-26)_2 \quad -\frac{1}{2} \eta^{\rho\sigma} \partial_\rho \partial_\sigma \frac{h_{p0}}{3} = \sum \frac{T_{p0}}{\epsilon^3}$$

$$(XII-26)_3 \quad -\frac{1}{2} \eta^{\rho\sigma} \partial_\rho \partial_\sigma \left[ \frac{h_{pq}}{2} + \frac{1}{2} \delta_{pq} \left( \frac{h_{00}}{2} - \sum_p \frac{h_{pp}}{2} \right) \right] = \sum \frac{T_{pq}}{\epsilon^2}$$

وإلى هذه المعادلات يجب أن نضيف شرط تساوي درجة الحرارة (XII-18) الذي يكتب أيضاً بالصيغة التالية:

$$(XII-27) \quad \sigma_\mu = g_{\mu\nu} \sigma^\nu = -g^{\rho\sigma} [\rho\sigma, \mu] = 0$$

أي:

$$(XII-28) \quad \sigma_\mu = -g^{\rho\sigma} \left( \partial_\rho g_{\sigma\mu} - \frac{1}{2} \partial_\mu g_{\rho\sigma} \right) = 0.$$

(4) ارجع إلى الصفحة 147 من المرجع [19] V. II. J. CHAZY.

فنجذ إذاً في هذا الهيكل الإسنادي شبه الغاليلي:

$$(XII-29) \quad \sigma^\mu = \eta^{\rho\sigma} \partial_\rho \frac{h_{\sigma\mu}}{2} - \frac{1}{2} \partial_\mu \frac{h}{2} = 0$$

حيث وضعنا:

$$(XII-30) \quad \frac{h}{2} = \eta^{\rho\sigma} \frac{h_{\rho\sigma}}{2}.$$

وتكتب المعادلة (XII-28) أيضاً بالصيغة:

$$(XII-31) \quad \eta^{\rho\sigma} \partial_\rho \left[ \frac{h_{\sigma\mu}}{2} - \frac{1}{2} \eta_{\sigma\mu} \frac{h}{2} \right] = 0.$$

مما يعني أن مجال الجاذبية الضعيف يخضع للمعادلات (XII-26) و (XII-31) الصحيحة بالدرجة التقريبية الثانية في هيكل إسناد تساوي درجة الحرارة شبه الغاليلي.

وإذا وضعنا:

$$(XII-32) \quad \gamma_{\mu\nu} = \frac{h_{\mu\nu}}{p} - \frac{1}{2} \eta_{\mu\nu} \frac{h}{p} \quad \left( \frac{h}{p} = \eta^{\rho\sigma} \frac{h_{\rho\sigma}}{p} \right)$$

أو العلاقة العكسية:

$$(XII-33) \quad \frac{h_{\mu\nu}}{p} = \gamma_{\mu\nu} - \frac{1}{2} \eta_{\mu\nu} \frac{\gamma}{p} \quad \left( \frac{\gamma}{p} = \eta^{\rho\sigma} \frac{\gamma_{\rho\sigma}}{p} \right),$$

نجد أن المعادلات التقريبية في الدرجة الأولى (XII-26) و (XII-31) تكتب بالصيغ التالية:

$$(XII-34)_1 \quad -\frac{1}{2} \eta^{\rho\sigma} \partial_\rho \partial_\sigma \frac{\gamma_{00}}{2} = \chi_2 T_{00}$$

$$(XII-34)_2 \quad -\frac{1}{2} \eta^{\rho\sigma} \partial_\rho \partial_\sigma \frac{\gamma_{0p}}{3} = \chi_3 T_{p0}$$

$$(XII-34)_3 \quad -\frac{1}{2} \eta^{\rho\sigma} \partial_\rho \partial_\sigma \frac{\gamma_{pq}}{2} = \chi_2 T_{pq}$$

$$(XII-35) \quad \eta^{\rho\sigma} \partial_\rho \frac{\gamma_{\sigma\mu}}{p} = 0.$$

وتكتب أيضاً بالصيغ:

$$(XII-36) \quad \square \gamma_{\mu\nu} = -2\chi T_{\mu\nu}$$

$$(XII-37) \quad \eta^{\rho\sigma} \partial_\rho \gamma_{\sigma\mu} = 0$$

حيث وضعنا:

$$(XII-38) \quad \square = \eta^{\rho\sigma} \partial_\rho \partial_\sigma = \partial_0^2 - \sum_p \partial_p^2$$

$$(XII-39) \quad \gamma_{pq} = \epsilon^2 \frac{\gamma_{pq}}{2}, \quad \gamma_{p0} = \epsilon^3 \frac{\gamma_{p0}}{3}, \quad \gamma_{00} = \epsilon^2 \frac{\gamma_{00}}{2}.$$

(3) تطبيق في حالة جسم متواصل يمكن اعتباره غازاً مثالياً

يمثل الموتر  $T_{\mu\nu}$  مساهمة مصادر المجال. لنفترض أن هذه المصادر هي جسيمات غير مشحونة تكوّن جسماً متواصلًا يشبه الغاز المثالي. فلا يحتوي الموتر  $T_{\mu\nu}$  أية مساهمة كهرمغناطيسية (يمثلها موتر ماكسويل  $\tau_{\mu\nu}$ ) ويساوي إذا الموتر المادي  $M_{\mu\nu}$  للغاز المثالي (أنظر المعادلة (VIII-166)).

$$(XII-40) \quad T_{\mu\nu} = M_{\mu\nu} = (\mu_0 c^2 + p) u_\mu u_\nu - p g_{\mu\nu}.$$

وتدخل في هذه الصيغة السرعة الكونية:

$$(XII-41)_1 \quad u_p = g_{pq} u^q + g_{p0} u^0 = \left( g_{pq} \frac{v^q}{c} + g_{p0} \right) u^0, \quad p, q = 1, 2, 3$$

$$(XII-41)_2 \quad u_0 = g_{p0} u^p + g_{00} u^0 = \left( g_{p0} \frac{v^p}{c} + g_{00} \right) u^0$$

حيث وضعنا:

$$(XII-42) \quad v^p = \frac{dx^p}{dt}, \quad u^p = \frac{dx^p}{ds},$$

$$u^0 = \frac{dx^0}{ds} = c \frac{dt}{ds} = \frac{dt}{d\tau} = \frac{1}{\sqrt{1 - \beta^2}}$$

فيذا أحلنا (XII-41) في (XII-40) واكتفينا بالحدّين الأكثر أهمية نجد:

$$(XII-43)_1 \quad M_{00} \approx \mu_0 c^2$$

$$(XII-43)_2 \quad M_{p0} \approx \mu_0 v_p c$$

$$(XII-43)_3 \quad M_{pq} \approx \mu_0 v_p v_q + p \delta_{pq}.$$

وإذا استعملنا هذه النتيجة نستطيع أن نكتب المعادلات (XII-34) فنجد بالتقريب من الدرجة الثانية:

$$(XII-44)_1 \quad \square \frac{\gamma_{00}}{2} = 2\chi\mu_0 c^4$$

$$(XII-44)_2 \quad \square \frac{\gamma_{p0}}{3} = -2\chi\mu_0 \nu_p c^4$$

$$(XII-44)_3 \quad \square \frac{\gamma_{pq}}{2} = -2\chi c^2 (\mu_0 \nu_p \nu_q + p\delta_{pq}).$$

ويكون الجانب الأيمن من المعادلات (XII-44) متناهيًا إذا كان الثابت  $\chi$  من درجة  $\epsilon^4 = \frac{1}{c^4}$  أي:

$$(XII-45) \quad \chi = \epsilon^4 \chi_1 = \frac{\chi_1}{c^4}$$

فتكتب المعادلات (XII-44) كما يلي:

$$(XII-46)_1 \quad \square \frac{\gamma_{00}}{2} = -2\chi_1 \mu_0$$

$$(XII-46)_2 \quad \square \frac{\gamma_{p0}}{3} = -2\chi_1 \mu_0 \nu_p$$

$$(XII-46)_3 \quad \square \frac{\gamma_{pq}}{2} = 0.$$

### الحلول السكونية

لنبحث عن الحلول السكونية للمعادلات (XII-46) أي التي لا تتغير فيها المركبات  $h_{\mu\nu}$  مع الوقت. فنجد مجموعة المعادلات التالية

$$(XII-47)_1 \quad \Delta \frac{\gamma_{00}}{2} = 2\chi_1 \mu_0$$

$$(XII-47)_2 \quad \Delta \frac{\gamma_{p0}}{3} = 2\chi_1 \mu_0 \nu_p$$

$$(XII-47)_3 \quad \Delta \frac{\gamma_{pq}}{2} = 0$$

إذ إن:

$$(XII-48) \quad \square = \partial_0^2 - \Delta, \quad \Delta = \sum_p \partial_p^2$$

حل المعادلة (XII-47)<sub>3</sub> هو:

$$(XII-49) \quad \gamma_{pq} = \frac{h_{pq}}{2} - \frac{1}{2} \eta_{pq} \frac{h}{2} = \frac{h_{pq}}{2} + \frac{1}{2} \delta_{pq} \left( \frac{h_{00}}{2} - \sum_r \frac{h_{rr}}{2} \right) = 0$$

الذي يقود (بعد عملية الجمع) إلى:

$$(XII-50) \quad \sum_p \gamma_{pp} = \frac{3}{2} \frac{h_{00}}{2} - \frac{1}{2} \sum_p \frac{h_{pp}}{2} = 0.$$

لنضع كما في المعادلة (XII-10):

$$(XII-51) \quad U = -\frac{c^2}{2} h_{00} = -\frac{1}{2} \frac{h_{00}}{2} + 0(\epsilon^4).$$

فنجِد استناداً إلى (XII-50):

$$(XII-52) \quad \frac{h_{00}}{2} = -2U$$

المعادلة:

$$(XII-53) \quad \sum_p \frac{h_{pp}}{2} = -6U$$

وإذا أحلنا هذه الصيغ في (XII-49) و (XII-32) نجد:

$$(XII-54) \quad \frac{h_{pq}}{2} = -2U\delta_{pq}$$

$$(XII-55) \quad \begin{aligned} \gamma_{00} &= \frac{h_{00}}{2} - \frac{1}{2} \eta_{00} \left( \frac{h_{00}}{2} - \sum_r \frac{h_{rr}}{2} \right) \\ &= \frac{1}{2} \left( \frac{h_{00}}{2} + \sum_r \frac{h_{rr}}{2} \right) = -4U. \end{aligned}$$

فتكتب إذا المعادلة (XII-47)<sub>1</sub> بالصيغة:

$$(XII-56) \quad \Delta U = -\frac{\chi_1}{2} \mu_0.$$

وما هذه إلا معادلة بواسون:

$$(XI-23) \quad \Delta U = -4\pi G\mu_0$$

المستنتجة من قانون نيوتن للجاذبية الكونية. لذلك يكفي أن نضع:

$$(XII-57) \quad \chi_1 = 8\pi G$$

أي<sup>(5)</sup>:

$$(XII-58) \quad \chi = \frac{\chi_1}{c^4} = \frac{8\pi G}{c^2}.$$

ولكن استناداً إلى (XI-14):

$$(XII-59) \quad G = 6.664 \times 10^{-2} \text{ cm}^2 \text{ gr}^{-1} \text{ sec}^{-2}.$$

فتكون قيمة الثابت  $\chi$  إذا:

$$(XII-60) \quad \chi = \frac{8\pi G}{c^2} = 2.073 \times 10^{-48} \text{ cm}^{-1} \text{ gr}^{-1} \text{ sec}^{-2}.$$

وتكتب المعادلات (XII-47) بالصيغة:

$$(XII-61) \quad \Delta U = -\frac{\chi c^4}{2} \mu_0 = -4\pi G \mu_0$$

(5) نكتب أحيانا  $\chi = \frac{8\pi G}{c^2}$  إذا استعملنا الصيغة:

$$M_{\mu\nu} = \mu_0 u_\mu u_\nu$$

للموتر المادي بدلاً من (XII-40).

ومن جهة ثانية يمكن أن نعتمد نظاماً جديداً للوحدات بحيث إن:

$$c = 1, \quad G = 1.$$

يكفي لذلك أن نغير وحدة الوقت والكتلة مع المحافظة على وحدة الطول. في هذا النوع من الوحدات:

$$[L]' = [L] = 1 \text{ cm.}$$

$$[T]' = [T] \quad \frac{c'}{c} = \frac{1}{3.10^{10}} = 3.33.10^{-11} \text{ sec.}$$

$$[M]' = [M] \quad \frac{G'}{G} \frac{[T]^2}{[T]'^2} = \frac{(3.10^{10})^2}{6.66.10^{-2}} = 1.35.10^{28} \text{ gr.}$$

فتكتب المعادلة (XI-90) في هذا النظام للوحدات:

$$S_{\mu\nu} = G_{\mu\nu} - \frac{1}{2} g_{\mu\nu} G = 8\pi T_{\mu\nu}.$$



$$(XII-62) \quad \Delta \gamma_{p0} = 2\chi c^4 \mu_0 \nu_p = 16\pi G \mu_0 \nu_p.$$

الكمون الجانبي  $U$  الذي يكونه في النقطة  $P(r)$  توزيع متواصل وسكوني لكثافة كتلة  $\mu_0(r')$  حول النقطة  $M'(r')$  يمكن أن يكتب بالصيغة التالية (وهي صيغة تقريبية حتى الدرجة التي نعمل بها).

$$(XII-63) \quad U = \frac{\chi c^4}{8\pi} \int \frac{\mu_0(r') d^3V}{|r - r'|}$$

والكمون  $U$  الذي تكونه في النقطة  $P(r)$  عدة أجسام  $A$  و  $B$  بكثافات كتلة  $\mu_A$  و  $\mu_B$  .. هو:

$$(XII-64) \quad U = \sum_{A=1}^N U_A$$

حيث  $U_A$  مثلاً هي حل المعادلة:

$$(XII-65) \quad \Delta U_A = -\frac{\chi c^4}{2} \mu_A = -4\pi G \mu_A$$

ويكتب الكمون  $U$  أيضاً بالصيغة (XII-63) بتحديد الكثافة الإجمالية:

$$(XII-67) \quad \mu_0 = \sum_{A=1}^N \mu_A.$$

ومن جهة ثانية إذا كانت  $\nu_p^A$  مركبات سرعة الجسم  $A$  تكتب المعادلة (XII-62) أيضاً بالصيغة:

$$(XII-67) \quad \Delta \gamma_{p0} = 16\pi G \sum_{A=1}^N \mu_A \nu_p^A = -4 \sum_{A=1}^N \nu_p^A \Delta U_A$$

حيث أخذنا بعين الاعتبار المعادلة (XII-65). ولكن  $\nu_p$  ثابت عملياً لكامل الجسم  $A$  نجد إذا:

$$(XII-68) \quad \Delta \gamma_{p0} = -4 \sum_{A=1}^N \Delta (\nu_p^A U_A)$$

أي:

$$(XII-69) \quad \gamma_{p0} = \frac{h_{p0}}{3} = -4 \sum_{A=1}^N \nu_p^A U_A = 4 \sum_{A=1}^N \nu_p^A U_A.$$

نشير إلى أن الكثافة  $\mu_0$  دخلت في المعادلة (XII-47) من خلال موتر المادة  $M_{\mu\nu}$  حيث تمثل  $\mu_0$  كثافة الكتلة العطالية. أما في تحديد الكمون النيوتني (XI-23) فتمثل  $\mu$  كثافة الكتلة الجاذبية. مما يعني أن مبادئ هذه النظرية تقود إلى تكافؤ الكتلة الجاذبية والكتلة العطالية.

### تكافؤ الكتلة الجاذبية والكتلة العطالية

تعبّر الكتلة العطالية عن مدى ردة فعل الجسم على القوى العطالية. بينما الكتلة الجاذبية تمثل مدى ردة فعل الجسم على قوى الجاذبية. واستناداً إلى قانون نيوتن للجاذبية تمثل الكتلة الجاذبية أيضاً قدرة الجسم على تكوين مجال جاذبية خاص به.

يأخذ مبدأ تكافؤ الكتلة الجاذبية والكتلة العطالية صيغتين تبعاً لتعبيره عن سلوك جسيم الاختبار في المجال الجاذبي أو لتكوين هذا المجال بمصدر أو أكثر.

أ - فالجسيم الخاضع لمجال جاذبي يتبع خطأ تقاصرياً في فضاء ريمان. وتحدّد خصائص هذا الفضاء وبالتالي مسار جسيم الاختبار بالمعادلات  $S_{\mu\nu} = \chi T_{\mu\nu}$  التي لا تدخل فيها خصائص جسيم الاختبار. وفي ما يتعلق بجسيم الاختبار، فإن مبدأ السير على الخطوط التقاصرية هو تعبير عن تكافؤ قوى العطالة وقوى الجاذبية وهو بالتالي تعبير عن تكافؤ الكتلة العطالية والكتلة الجاذبية (وهذه الأخيرة تمثل ردة الفعل على المجال الجاذبي). مما يلغي أي تمييز بين النوعين من الكتلة.

ب - يتحدّد مجال الجاذبية داخل جسم متواصل أي تتحدّد خصائص فضاء ريمان من خصائص الجسم المادي بالمعادلات:

$$(XI-92) \quad S_{\mu\nu} \equiv G_{\mu\nu} - \frac{1}{2} g_{\mu\nu} G = \chi T_{\mu\nu}$$

ولكن الموتر  $T_{\mu\nu}$  الذي يظهر في هذه المعادلة تدخل فيه الكتلة العطالية  $m_i$  للجسيمات أو الكثافة العطالية  $\mu_0$  للجسم الذي يكون هذا المجال (ارجع إلى المعادلة (XII-40)).

المعادلات التقريبية (XII-47) أو (XII-56) تقبل الحلول (XII-63). فإذا افترضنا أن المجال الجاذبي المكوّن بالأجسام البعيدة A, B, C... ضعيف، نجد:

$$(XII-70) \quad g_{\mu\nu} = \eta_{\mu\nu} + \frac{1}{c^2} h_{\mu\nu}, \quad h_{\mu\nu} = -2\delta_{\mu\nu} \sum_{A=1}^N U_A$$

حيث:

$$(XII-71) \quad U_A = \frac{\chi c^4}{8\pi} \int \frac{(\mu_A)_i d^3V}{|r - r'|} \approx \frac{\chi c^4}{8\pi r} (m_A)_i$$

$(m_A)_i$  ترمز إلى الكتلة العطالية للجسم A الذي يكون المجال. ومن جهة ثانية إذا كان قانون الجاذبية خارج الجسم

$$(XI-83) \quad G_{\mu\nu} = 0$$

صالحاً، علينا أن نستبدل الصيغة (XII-56) بالتقريب:

$$(XII-72) \quad \Delta U = 0.$$

ف نجد الحل:

$$(XII-73) \quad U_A = \frac{G \sum_{A=1}^N (m_A)_g}{r}$$

حيث  $(m_A)_g$  ثابت يظهر في كتابة حل المعادلة (XII-72). وهذا الثابت لا يرتبط إلا بخصائص الجسم الذي يكون مجال الجاذبية. ويمثل الكتلة الجاذبية للجسم<sup>(6)</sup>.

ولكن في التقريب المستعمل (مجال ضعيف وأجسام بعيدة) تصبح المعادلتان (XII-71) و (XII-73) متطابقتين فنجد إذاً:

$$(XII-74) \quad Gm_g = \frac{\chi c^4}{8\pi} m_i$$

أي:

$$(XII-75) \quad m_g = m_i$$

إذا وضعنا<sup>(7)</sup>:

$$(XII-58) \quad \chi = \frac{8\pi G}{c^4}$$

(6) تستخلص أيضاً هذه النتيجة من حل شفارتزشيلد SCHWARZCHILD مكتوب بالإحداثيات المتناحية في التقريب ذاته.

(7) أو  $\varphi = 8\pi$  في نظام الوحدات  $c=1, G=1$ .

هذه هي إذا شروط تواصل continuity حلول المعادلات (XI-92) (داخل المادة) و (XI-83) (خارج المادة) التي تشكّل صيغة مبدأ التكافؤ للمجالات التي تكوّن بها توزيعات المادة<sup>(8)</sup>. وتعبّر هذه الشروط عن تكافؤ الكتلة العطالية والكتلة الجاذبية للجسيمات أو توزيعات المادة التي تكوّن المجال.

#### 4) المعادلات خارج المادة

نحصل على معادلات الجاذبية خارج المادة وفي غياب المجال الكهرومغناطيسي بحذف المؤثر  $T_{\mu\nu}$  من المعادلات (XII-47).

#### 1.4 - الحلول السكونية

إذا اكتفينا بالحالات السكونية والتقريب النيوتني نجد خارج المادة بدلاً من المعادلة (XII-47) المعادلة:

$$(XII-76) \quad \Delta \gamma_{\mu\nu} = 0.$$

ومن جهة ثانية تبقى شروط تساوي درجة الحرارة (XII-37) دون تغيير:

$$(XII-37) \quad \eta^{\sigma\rho} \partial_\rho \gamma_{\sigma\mu} = 0.$$

يمكن أن نبحث عن حل خاص لهذه المعادلات بتركيب خطي للكميات  $\frac{1}{r}$  و  $\partial_p \left(\frac{1}{r}\right)$  و  $\partial_p \partial_q \left(\frac{1}{r}\right)$  بمعامل ثابت كفي<sup>(9)</sup> فنجد:

$$(XII-77) \quad \gamma_{00} = -\frac{4a}{r}, \quad a = c^{te}$$

أما بقية الكميات  $\gamma_{\mu\nu}$  فهي منعدمة. وإذا رجعنا إلى التحديدات (XI-30) و (XII-33) نجد:

$$(XII-78) \quad \frac{h_{00}}{2} = \frac{\gamma_{00}}{2} - \frac{1}{2} \eta_{00} = \frac{1}{2} \frac{\gamma_{00}}{2}$$

(8) تطابق الكميات (XI-71) و (XII-73) يعني عملياً تطابق الكمون (XII-71) مع حلول معادلة بواسون (XI-23) حيث  $\mu$  تعني كثافة الكتلة الجاذبية  $\mu_g$ . ولكن معادلة بواسون تستنتج من قانون نيوتن للجاذبية إذا افترضنا تكافؤ الكتلة الجاذبية والكتلة العطالية.

(9) انظر الصفحة 186 من المرجع [9] P.G.BERGMANN حيث تجد توسعاً في حلول المعادلات (XII-76) و (XII-37).

$$(XII-79) \quad \frac{h_{pq}}{2} = \frac{\gamma_{pq}}{2} - \frac{1}{2} \eta_{pq} \frac{\gamma}{2} = \frac{1}{2} \delta_{pq} \frac{\gamma_{00}}{2}.$$

والمركبات الوحيدة  $h^{\mu\nu}$  غير المنعدمة هي:

$$(XII-80) \quad \frac{h_{11}}{2} = \frac{h_{22}}{2} = \frac{h_{33}}{2} = \frac{h_{00}}{2} = -\frac{2a}{r}.$$

ولكن استناداً إلى الصيغة (XII-10) نجد:

$$(XII-10) \quad U = -\frac{c^2}{2} h_{00} = -\frac{1}{2} \frac{h_{00}}{2} = -\frac{1}{4} \gamma_{00} = \frac{a}{r}.$$

فنضع إذاً:

$$(XII-81) \quad a = Gm'$$

إذا كان الكمون ناتجاً عن كتلة  $m'$ . نستنتج إذاً أن:

$$(XII-82) \quad \frac{a}{r} = \frac{Gm'}{r} = U.$$

بهذا الاختيار للإحداثيات وبالتقريب المستعمل نجد:

$$g_{\mu\nu} = \eta_{\mu\nu} + \frac{1}{c^2} \frac{h^{\mu\nu}}{2} + O(\epsilon^4).$$

وتكون الصيغة الأساسية (باستعمال (XII-80):

$$(XII-83) \quad ds^2 = -\left(1 + \frac{2U}{c^2}\right) (dx^2 + dy^2 + dz^2) + \left(1 - \frac{2U}{c^2}\right) c^2 dt^2.$$

#### 2.4 - موجات الجاذبية

إذا درسنا الحلول غير السكونية خارج المادة نجد الموجات الجاذبية المتكوّنة من مجال متغيّر بسرعة والتي لا مثال لها في نظرية نيوتن للجاذبية.

وإذا اكتفينا بالمعادلة التقريبية:

$$(XII-84) \quad \square \frac{\gamma^{\mu\nu}}{2} = 0,$$

يمكن أن نحدّد الحلول ذات صيغة الموجة المستقيمة. وصيغتها إذا كانت منتشرة باتجاه  $OX$  هي:

$$(XII-85) \quad \gamma_{\mu\nu} = \frac{\gamma_{\mu\nu}}{2} (x^1 - x^0).$$

وتسمح شروط الإحداثيات بإدخال قيود أخرى على هذه الحلول. إذ يمكن أن نثبت<sup>(10)</sup> أن تديلاً مناسباً للإحداثيات يجعل هذه الموجات محدّدة بالمركبات غير المنعدمة:

$$(XII-86) \quad \frac{\gamma_{22}}{2} = -\frac{\gamma_{23}}{2} \quad \text{أو} \quad \frac{\gamma_{23}}{2},$$

وتتيح هذه الإمكانية وضع  $\frac{\gamma_{22}}{2} = -\frac{\gamma_{33}}{3}$  إذا أردنا المحاور بزاوية  $\frac{\pi}{2}$  حول  $ox$ .

ولا تعود تظهر هذه الموجات المستقيمة إذا عدنا إلى المعادلات الدقيقة للمجال. فالحلول الدقيقة التي يمكن أن نحصل عليها هي موجات أسطوانية. وقد درس هذه الموجات أينشتاين وروزن<sup>(11)</sup> ثم بونور<sup>(12)</sup> W.B. Bonnor. ويشرح برغمان<sup>(13)</sup> غياب موجات الجاذبية المستقيمة كما يلي: تنقل هذه الموجات طاقة تكوّن مجالاً جاذبياً مستقراً stationnary. ويؤثر هذا المجال حسب مبادئ النظرية في هندسة الفضاء الريماني. ولكن الموجة المستقيمة تحمل طاقة ثابتة ومحدّدة في كل نقطة من الفضاء مما يعني أن ابتعاد الفضاء الرباعي عن التكوين الإقليدي يمكن أن يزداد إلى ما لا نهاية في كل الاتجاهات.

نشير أيضاً إلى أن التجارب لم تكشف عن وجود موجات الجاذبية وأن أهميتها تبقى حتى الآن نظرية بحتة<sup>(14)</sup>.

## 5) معادلات المجال وحركة المصادر

تختلف معادلات المجال الجاذبي عن معادلات المجال الكهرومغناطيسي. فتكون نتائجها إذاً غير متشابهة. فمعادلات الجاذبية غير خطية إذ يدخل فيها حاصل

- 
- (10) لدراسة الموجات الجاذبية المستقيمة ارجع إلى الصفحة 188 من المرجع [9] P.G. BERGMANN  
 (11) A. EINSTEIN et ROSEN «On gravitational waves» Journ. Franklin. Inst. 223, 1937, 43.  
 (12) W.B. BONNOR. Ann. Inst. H. Poincaré XV fasc. III, 1957, 146; Nature, 181 1958, (12) 1196.  
 (13) P.G. BERGMANN [9] p. 189.  
 (14) نشير إلى النتائج الأخيرة لبيروني PIRANI Actes du Congrès sur la gravitation-Chapel Hill 1957.

دوال الكمون الجاذبي ومشتقاتها الأولى. أما معادلات المجال الكهرمغناطيسي فهي خطية إذ لا يدخل فيها حاصل المجال ومشتقاته على الأقل في الصياغة الماكسويلية.

هكذا تكون العلاقة بين المجال ومصادره مختلفة تماماً في النظريتين. لننظر مثلاً في مجال مجموعة من الجسيمات المشحونة. يمكن مبدئياً فصل مجال أحد الجسيمات عن المجال الإجمالي. وذلك لأن كلا من هذين المجالين والفرق بينهما يشكّل حلولاً لمعادلات المجال الكهرمغناطيسي الخطية<sup>(15)</sup>. ومن جهة ثانية إن القوة المؤثرة على شحنة كهربائية (قوة لورنتز) مستقلة تماماً عن معادلات ماكسويل. مما يعني أن وجود قوى غير كهرمغناطيسية على الشحنة لا يغير في شيء من معادلات ماكسويل.

أما في حالة المجال الجاذبي فلا يمكن فصل المجال الجاذبي المؤثر على جسيم معين عن المجال الإجمالي لمجموعة من الجسيمات. فالفرق بين هذين المجالين ليس حلاً لمعادلات الجاذبية غير الخطية. أضف إلى ذلك أن معادلات المجال ليست مستقلة عن القوى التي تؤثر على جسيم ذي كتلة: فالقوى غير الجاذبية التي تؤثر على هذا الجسيم تحدث تغيرات في المؤثر  $T_{\mu\nu}$  وبالتالي في معادلات المجال.

في الكهرتحريرية الكلاسيكية لا يمكن استخلاص حركة الجسيم من معادلات المجال. أما في النظرية غير الخطية مثل النسبية العامة فإن حركة الجسيمات ترتبط ارتباطاً وثيقاً بمعادلات المجال. وفعلاً يمكن أن نثبت بطريقتين مختلفتين أنه يمكن استخلاص حركة جسيم غير مشحون من المعادلات غير الخطية للمجال الجاذبي. فتظهر معادلات الحركة كشروط يجب التقيد بها في كل درجات التقريب approximation لتأمين صحة معادلات المجال.

## 1.5 - استخلاص معادلات الحركة من معادلات المجال

### دون جانب ثان أو طريقة النقط الشاذة

أ - معادلات المجال في مختلف درجات التقريب: لقد توسّعت طريقة النقط الشاذة بأعمال أينشتاين وأنفلد وهوفمان<sup>(16)</sup>. وتنطلق هذه الطريقة من معادلات

(15) في الواقع هذا التمييز ليس محددًا تماماً.

A. EINSTEIN, L. INFELD, B. HOFFMANN. Ann. Math. 39, 1938, 65. (16)

A. EINSTEIN, L. INFELD. Ann. Math. 41, 1940, 455; Canad. J. Math. 1, 1949, 209.

L. INFELD et P. R. WALLACE, Phys. Rev. 57, 1940, 797.

= L. INFELD et A. SCRILD, Rev. of Mod. Phys. 21, 1949, 408.

المجال المكتوبة لخارج المادة حيث ينعدم المتوتر  $M_{\mu\nu}$ . وتدخّل المصادر كنقط شاذة في هذا المجال وتكون معادلات المجال دون جانب أيمن صالحة خارج سطوح مغلقة محيطة بهذه النقط الشاذة.

من المناسب استبدال معادلات المجال:

$$(XI-83) \quad G_{\mu\nu} = 0$$

بالمعادلات:

$$(XII-87) \quad S^*_{\mu\nu} \equiv G_{\mu\nu} - \frac{1}{2} \eta_{\mu\nu} \eta^{\rho\sigma} G_{\rho\sigma} = 0.$$

وفعالاً إذا وضعنا كما في المعادلات (XII-1) و (XII-2):

$$(XII-88) \quad g_{\mu\nu} = \eta_{\mu\nu} + h_{\mu\nu}, \quad \eta_{\mu\nu} = \delta_{\mu\nu} (-1, -1, -1, +1).$$

وأحللنا الصيغ (XII-88) في المعادلة (XII-87) تظهر الصيغ:

$$(XII-89) \quad \gamma_{\mu\nu} = h_{\mu\nu} - \frac{1}{2} \eta_{\mu\nu} \eta^{\rho\sigma} h_{\rho\sigma}$$

المحدّدة في الدرجة الثانية من التقريب بالمعادلة (XII-32). وإذا أحللنا الصيغة (XII-88) في المعادلة (XII-87) نجد المجموعة التالية من المعادلات<sup>(17)</sup>:

$$(XII-90)_1 \quad \partial_p^2 \gamma_{00} + 2A_{00} = 0$$

$$(XII-90)_2 \quad \partial_p^2 \gamma_{0r} - \partial_p \partial_r \gamma_{0p} + 2A_{0r} = 0$$

$$(XII-90)_3 \quad \partial_p^2 \gamma_{rs} - \partial_p \partial_r \gamma_{ps} - \partial_p \partial_s \gamma_{pr} + \delta_{rs} \partial_p \partial_q \gamma_{pq} + 2A_{rs} = 0$$

حيث:

$$(XII-91)_1 \quad 2A_{00} = -\partial_p \partial_q \gamma_{pq} + G'_{pp} + G'_{00}$$

L. INFELD, Acta Phys. Polo. XIII, 1954, 187.

PHAM TAN HOANG. Thèse, Paris (1957)0 La méthode des Singularités pour les équations du mouvement en Relativité Générale et en théorie du champ unifié.

(17) في هذا المقطع تكرر المؤشر يعني الجمع حتى وإن كان المؤشران مكتوبين كليهما في الأعلى أو في الأسفل.



$$(XII-91)_2 \quad 2A_{Or} = \partial_r \partial_0 \gamma_{00} - \partial_0 \partial_p \gamma_{pr} + 2G'_{Or}$$

$$(XII-91)_3 \quad 2A_{rs} = \partial_0^2 (\delta_{rs} \gamma_{00} - \gamma_{rs}) - 2\delta_{rs} \partial_0 \partial_p \gamma_{p0} + \partial_0 \partial_r \gamma_{s0} + \partial_0 \partial_s \gamma_{r0} + 2 \left( G'_{rs} + \frac{1}{2} \delta_{rs} (G'_{00} - G'_{pp}) \right).$$

وتمثل  $G'_{\mu\nu}$  الصيغ التربيعية المشكّلة انطلاقاً من الموتر  $g_{\mu\nu}$  ومشتقاته الأولى.

وبالافتراض أن مجال الجاذبية ضعيف ( $h_{\mu\nu} \ll 1$ ) يمكن أن نعتد نظام إحداثيات شبه غاليلي وأن ننشر المركبات  $g_{\mu\nu}$  كما في (XII-22) حسب القوى المتزايدة للكمية الصغيرة  $\epsilon = \frac{1}{c}$ . واستناداً إلى نتائج المقطع السابق نجد للموتر  $\gamma_{\mu\nu}$  نشرًا بالصيغ التالية:

$$(XII-92)_1 \quad \gamma_{00} = \epsilon^2 \frac{\gamma_{00}}{2} + \dots + \epsilon^{2\ell-2} \frac{\gamma_{00}}{2\ell-2} + O(\epsilon^{2\ell}).$$

$$(XII-92)_2 \quad \gamma_{0p} = \epsilon^3 \frac{\gamma_{0p}}{3} + \dots + \epsilon^{2-1} \frac{\gamma_{0p}}{2\ell-2} + O(\epsilon^{2\ell+\ell})$$

$$(XII-92)_3 \quad \gamma_{pq} = \epsilon^4 \frac{\gamma_{pq}}{4} + \dots + \epsilon^{2\ell} \frac{\gamma_{pq}}{2\ell} + O(\epsilon^{2\ell+2}).$$

نحل هذه الصيغ في المعادلات (XII-90) في حالة شبه السكون (أي في حالة كون مشتقة الزمان  $\partial_0 = \frac{1}{c} \frac{\partial}{\partial t}$  أعلى من مشتقة المكان  $\partial_p = \frac{\partial}{\partial x^p}$  بدرجة في الكمية الصغيرة  $\epsilon$ ). فنتخذ المعادلات (XII-90) شكل المعادلات التقريبية في الدرجة  $\ell$ :

$$(XII-93)_1 \quad \partial_p^2 \frac{\gamma_{00}}{2\ell-2} + 2 \frac{A_{00}}{2\ell-2} = 0$$

$$(XII-93)_2 \quad \partial_p^2 \frac{\gamma_{00}}{2\ell-1} - \partial_p \partial_r \frac{\gamma_{0p}}{2\ell-1} + 2 \frac{A_{Or}}{2\ell-2} = 0$$

$$(XII-93)_3 \quad \partial_p^2 \frac{\gamma_{rs}}{2\ell} - \partial_p \partial_r \frac{\gamma_{ps}}{2\ell} - \partial_p \partial_s \frac{\gamma_{pr}}{2\ell} + \delta_{rs} \partial_p \partial_q \frac{\gamma_{pq}}{2\ell} + 2 \frac{A_{rs}}{2\ell} = 0.$$

ب - حل معادلات المجال: لنفترض أن المادة تتألف من النقط الشاذة  $1 \dots k \dots n$  ولنحسب تكامل (XII-93) على السطح المغلق  $S$  المحيط بكل نقطة شاذة ذات الإحداثيات  $\xi_p^k$ .

في المعادلة  $(XII-93)_1$  الكمية  $A_{00}$  معروفة في كل درجات التقريب. تتيح إذا هذه المعادلة تحديد  $\gamma_{00}$ . ولكن هذا التحديد ليس كاملاً في الدرجة  $2\ell - 2$  بل يمكن زيادة كميات متناسبة مع  $\psi = \frac{1}{r}$ . لذلك نتوقع وجود عدد  $k$  من النقط القطبية  $(\bar{\gamma}_{00}^{(p)})$  وعدد  $k$  من ثنائيات القطب  $(\bar{\gamma}_{00}^{(d)})$  تعطي الصيغة:

$$(XII-94) \quad \bar{\gamma}_{00} = \bar{\gamma}_{00}^{(p)} + \bar{\gamma}_{00}^{(d)}.$$

ويصبح حل المعادلة  $(XII-93)_1$ :

$$(XII / 95) \quad \gamma'_{00} = \gamma_{00} + \bar{\gamma}_{00}.$$

حيث الكميات التي يعلوها خط ترمز إلى الحلول الناتجة عن وجود النقط الشاذة. لإيجاد الحلول المتعلقة بوجود جسيمات تفترض أن مساهمات النقط القطبية  $(\bar{\gamma}_{00}^{(p)})$  ومساهمات ثنائيات القطب  $(\bar{\gamma}_{00}^{(d)})$  هي بالصيغة التالية:

$$(XII-96) \quad \bar{\gamma}_{00}^{(p)} = - \frac{k}{4m} \frac{k}{2\ell-2} \psi$$

$$(XII-96) \quad \bar{\gamma}_{00}^{(d)} = \frac{k}{8r} \frac{k}{2\ell-2} \partial_r \psi$$

حيث  $S_k$  و  $m$  تتغير مع الوقت و  $\psi$  هي الدوال  $\frac{1}{r}$  لثنائيات القطب  $k$  الموجود في النقطة  $(\xi_p)$  أي:

$$(XII-98) \quad \left( \frac{k}{r} \right)^2 = \left( x^p - \frac{k}{\xi} P \right) \left( x^p - \frac{k}{\xi} P \right). \quad \text{مع} \quad \psi = \frac{1}{k} \frac{1}{r}$$

لنحسب تكامل المعادلات  $(XII-93)_2$  و  $(XII-93)_3$  على السطح  $S$  بعد تبديل  $\gamma_{\mu\nu}$  و  $A_{\mu\nu}$  بالموترات  $\gamma'_{\mu\nu}$  و  $A'_{\mu\nu}$  لأخذ النقط الشاذة بالحسبان. نلاحظ أولاً أن الحدود terms في المعادلات  $(XII-93)_2$  و  $(XII-93)_3$  التي تعطي مساهمة في التكامل على السطح هي  $A'_{\mu r}$  وحدها. إذ إن الحدود الأخرى تكتب دائماً بالصيغة:

$$(XII-99) \quad \partial_p \{ F_{\mu[rp]} \} = \partial_p \{ \partial_p \gamma_{\mu r} - \partial_r \gamma_{\mu p} + \delta_{\mu r} \partial_s \gamma_{ps} - \delta_{\mu p} \partial_s \gamma_{rs} \}$$

حيث  $F_{\mu[rp]}$  متخالفة التناظر بالمؤشرات  $r$  و  $p$  فيكون تكامل تباعد  $F_{\mu(rp)}$  منعوماً

بالتطابق على السطح  $S$ . علينا إذاً أن نحسب التكاملات المتعلقة بالحدود  $A'_{\mu r}$  وأن نجعلها منعدمة. وتكون المعادلات  $(XII-93)_2$  و  $(XII-93)_3$  قابلة للتكامل إذا:

$$(XII-100) \quad \frac{1}{4\pi} \int A'_{\mu r} n_r dS \equiv \frac{1}{4\pi} \int A_{\mu r} n_r dS + \frac{1}{4\pi} \int \bar{A}_{\mu r} = 0.$$

$A_{\mu r}$  تتعلق بالحلول بدون نقط شاذة و  $\bar{A}_{\mu r}$  ترتبط بمساهمة النقط الشاذة أي النقط القطبية وثنائيات القطب.  $n_r$  هي مركبات المتجه الأحادي العمودي على السطح في النقطة  $x^r$  أي:

$$(XII-101) \quad n_r = \cos(x^r, n).$$

لننظر أولاً في التكامل المتعلق بـ  $A_{\mu r}$ . يمكن أن نثبت أنه لا يتغير مع السطح  $S$  بل مع الوقت فقط<sup>(18)</sup>. فنجد إذاً:

(18) فعلاً لنفترض أن معادلات المجال صحيحة في الدرجة  $2\ell-2$ .

$$(1) \quad S_{\mu\nu} = 0$$

في هذه الحالة تصبح المعادلات التوافقية (XI-84) للموتر  $S_{0\mu}$

$$(2) \quad \partial_r S_{0r} = 0$$

لأن الحدود الإضافية الداخلية في هذه المعادلات التوافقية يمكن صياغتها بواسطة الموتر  $S_{\mu\nu}$  المنعدم استناداً إلى (1). ويسبب المعادلة (1) والتحديد (XII-87) للموتر  $S_{\mu\nu}^*$  يعبر عن المعادلة (2) بالدرجة  $2\ell-2$  من التقريب بالمعادلة  $\partial_r S_{0r} = 0$ . وما صيغة  $S_{0r}^*$  إلا  $(XII-90)_2$  بحيث تقود المعادلة (2) حتماً إلى:

$$(3) \quad \partial_r A_{0r} = 0$$

وبطريقة مشابهة إذا كانت معادلات المجال تحتوي بالإضافة إلى المعادلة (1) على

$$(4) \quad S_{0m} = 0$$

تصبح معادلات الحفظ (XI-84) إذا ما طبقت على  $S_{rs}$

$$(5) \quad \partial_r S_{rs} = 0$$

وتختفي بقية الحدود بسبب معادلات المجال (1) و (4). أخيراً تعادل المعادلة (5) الشرط  $\partial_r S_{rs} = 0$ . فتعادل إذا استناداً إلى الصيغة  $(XII-90)_3$  لـ  $S_{rs}^*$  الشرط

$$(6) \quad \partial_r A_{rs} = 0$$

$$(XII-102) \quad \frac{1}{4\pi} \int A_{\mu r} n_r dS \equiv c_\mu(\tau)$$

ويأخذ شرط قابلية التكامل في (XII-100) الصيغة التالية:

$$(XII-103) \quad c_\mu(\tau) = -\frac{1}{4\pi} \int \bar{A}_{\mu r} n_r dS.$$

ولا تنعدم الكميات  $c_\mu(\tau)$  بشكل عام. لذلك يجب وجود النقط القطبية وثنائيات القطب لتأمين وجود حلول للمعادلات (XII-93).

بالشرط الإضافي  $S_r = 0$  الذي يقود إلى اختفاء ثنائيات القطب في الدرجة  $2\ell - 2$  من التقريب توفر المعادلات (XII-103) وجود حلول للمعادلة (XII-93)<sub>3</sub>. وتحدد هذه الشروط الثلاثة حركة النقط الشاذة فتظهر معادلات حركة النقط الشاذة كشرط وجود حلول لمعادلات المجال (XII-93) في درجة التقريب المعينة.

ج - اختيار نظام الإحداثيات: يمكن أن نسهل صياغة معادلة المجال وحلولها باختيار نظام إحداثيات مناسب. وهذا الاختيار ممكن بفضل وجود أربع كميات كيفية تدخل في كل درجة تقريب<sup>(19)</sup>.

لنختار مثلاً نظام إحداثيات تساوي درجة الحرارة محدداً بالشروط التالية (انظر (XII-18)):

$$(XII-104) \quad g_{\mu\nu} \left\{ \begin{matrix} \rho \\ \mu\nu \end{matrix} \right\} = 0 \quad \text{أو} \quad \partial_p (\sqrt{-g} g^{\mu\rho}) = 0.$$

= هكذا بفضل معادلات الحفظ الأربع تقود معادلات المجال في الدرجات  $2\ell - 2$  و  $2\ell - 1$  من التقريب إلى الشروط (3) و (6) في الدرجات  $2\ell - 1$  و  $2\ell$ .

وتعني هذه الشروط الصحيحة دائماً استناداً إلى معادلات المجال أن التكاملات على السطح والمتعلقة بـ  $A_{\mu r}$  مستقلة تماماً عن شكل السطح وتتغير فقط مع الوقت. فنجد إذا المعادلة (XII-102) بسبب معادلات الحفظ (XI-84).

(19) إذا كانت  $\gamma_{mn}$  و  $\gamma_{0m}^*$  و  $\gamma_{00}^*$  تمثل حلولاً للمعادلات (XII-93) تكون الكميات

$$\begin{aligned} \gamma_{00} &= \gamma_{00} \\ 2\ell-2 \quad 2\ell-2 \\ \gamma_{0m} &= \gamma_{0m} + \partial_m a_0 \\ 2\ell-1 \quad 2\ell-2 \quad 2\ell-1 \\ \lambda_{mn} &= \lambda_{mn} \times \partial_n a_m - \partial_m a_n - \delta_{mn} \partial_r a_r + \delta_{mn} \partial_0 a_0 \\ 2\ell \quad 2\ell \quad 2\ell \quad 2\ell \quad 2\ell \quad 2\ell-1 \end{aligned}$$

(مع  $a_0$  و  $a_m$  اختيارية) أيضاً حلولاً للمعادلات (XII-93).

فنلاحظ أن المعادلات:

$$(XII-105)_1 \quad \frac{\partial_0}{1} \gamma_{00} - \partial_p \frac{\gamma_{0p}}{2\ell-2} = 0$$

$$(XII-105)_2 \quad \frac{\partial_0}{1} \gamma_{0r} - \partial_s \frac{\gamma_{rs}}{2\ell} = 0$$

تشكل في الحالة  $\ell = 2$  التقريب الأول للمعادلة (XII-104).

نختار إذا نظام إحداثيات بحيث تكون المعادلات (XII-105) مستوفاة<sup>(20)</sup>. فتأخذ معادلات المجال (XII-93) الصيغة البسيطة التالية:

$$(XII-106)_1 \quad \partial_p^2 \gamma_{00} + 2A_{00} = 0$$

$$(XII-106)_2 \quad \partial_p^2 \gamma_{0r} + \partial_p \partial_r \gamma_{0p} + 2A_{0r} = 0$$

$$(XII-106)_3 \quad \partial_p^2 \gamma_{rs} - \partial_r \partial_0 \gamma_{0s} - \partial_s \partial_0 \gamma_{0r} + \delta_{rs} \partial_p \partial_0 \gamma_{0p} + 2A_{rs} = 0$$

حيث:

$$(XII-107)_1 \quad 2 \frac{A_{00}}{2\ell-2} = -\partial_p \frac{\partial_0}{1} \frac{\gamma_{0p}}{2\ell-3} + \frac{G'_{pp}}{2\ell-2} + \frac{G'_{00}}{2\ell-2}$$

$$(XII-107)_2 \quad 2 \frac{A_{0r}}{2\ell-2} = \frac{\partial_0}{1} \partial_r \frac{\gamma_{00}}{2\ell-2} - \frac{\partial_0^2}{2} \frac{\gamma_{0r}}{2\ell-3} + 2 \frac{G'_{0r}}{2\ell-2}$$

$$(XII-107)_3 \quad 2 \frac{A_{rs}}{2\ell} = -\frac{\partial_0^2}{2} \left( \delta_{rs} \frac{\gamma_{00}}{2\ell-2} + \frac{\gamma_{rs}}{2\ell-2} \right) + \frac{\partial_0}{1} \partial_r \frac{\gamma_{s0}}{2\ell-1} + \frac{\partial_0}{1} \partial_s \frac{\gamma_{r0}}{2\ell-1} + 2$$

$$\left[ \frac{G'_{rs}}{2\ell} + \frac{1}{2} \delta_{rs} \left( \frac{G'_{00}}{2\ell} - \frac{G'_{pp}}{2\ell} \right) \right].$$

(20) يختار أينشتاين وانفدل الشروط التالية:

$$\partial_0 \gamma_{00} - \partial_r \gamma_{0r} = 0 \quad , \quad \partial_r \frac{\lambda_{rs}}{2\ell} = 0$$

وقد أجرى فام تان هوانغ PHAN TAN HOANG حسابات مستندة إلى استعمال شرط تساوي درجة الحرارة (XII-104) والتقريب (XII-105) (اطروحة «بارسي» 1957).

د - التقريب من الدرجة الثانية: في الدرجة الثانية من التقريب ( $\ell = 2$ ) نجد استناداً إلى (XII-107) و (XII-92):

$$(XII-108)_1 \quad 2 \frac{A_{00}}{2} = 0$$

$$(XII-108)_2 \quad 2 \frac{A_{0r}}{3} = \partial_0 \partial_r \gamma_{00}$$

$$(XII-108)_3 \quad 2 \frac{A_{rs}}{4} = -\frac{\partial_0^2}{2} \delta_{rs} \gamma_{00} + \frac{\partial_0}{1} \frac{\partial_r}{3} \frac{\gamma_{s0}}{2} + \frac{\partial_0}{1} \frac{\partial_s}{3} \frac{\gamma_{r0}}{2} + \frac{1}{4} \\ \partial_r \gamma_{00} \partial_s \gamma_{00} + \frac{1}{2} \frac{\gamma_{00}}{2} \partial_{rs}^2 \frac{\gamma_{00}}{2} - \frac{3}{8} \delta_{rs} \partial_p \gamma_{00} \partial_p \gamma_{00}$$

حيث الحدود الثلاثة الأخيرة تأتي من  $G'_{\mu\nu}$

فيإذا أحلنا  $(XII-108)_1$  و  $(XII-108)_2$  في  $(XII-106)_1$  و في  $(XII-106)_2$  نجد بعد أخذ (XII-105)<sub>1</sub> بالحسبان:

$$(XII-109)_1 \quad \partial_p^2 \gamma_{00} = 0$$

$$(XII-109)_2 \quad \partial_p^2 \gamma_{0r} = 0$$

في حالة غياب نقط شاذة تُستوفي هذه المعادلات بالحل الخاص:

$$(XII-10) \quad \frac{\gamma_{00}}{2} = 0 \quad , \quad \frac{\gamma_{0r}}{3} = 0.$$

ونستنتج من ذلك استناداً إلى المعادلات (XII-108) أن التكاملات في الصيغة (XII-102) منعدمة:

$$(XII-111) \quad c_0(\tau) \equiv \frac{1}{4\pi} \int \bar{A}_{0r} n_r dS = 0,$$

$$c_r(\tau) \equiv \frac{1}{4\pi} \int \bar{A}_{rs} n_s dS = 0.$$

وتمثل هذه شروط قابلية المعادلات  $(XII-93)_2$  و  $(XII-93)_3$  للحلول في درجة التقريب الثانية.

$\alpha$  — لنفحص الآن حل المعادلة  $(XII-93)_1$ :

$$(XII-114) \quad \frac{\gamma_{00}}{2} = -\frac{k}{4m\psi}$$

المناسب لوجود عدد  $k$  من النقط القطبية دون وجود ثنائيات القطب.  $\psi$  هي بالصيغة  $\bar{A}_{0r}$  (XII-98) و  $m$  هي دالة في  $\tau = \dot{x}$ . فإذا أحلنا (XII-114) في المعادلة (XII-108)<sub>2</sub> نجد:

$$(XII-115) \quad 2 \bar{A}_{0r} \approx -4 \partial_r \left( \frac{k}{m} \psi \right)$$

حيث وضعنا:

$$(XII-116) \quad m = \frac{\partial m}{\partial \tau}$$

وأهملنا الحدود التي هي بدرجة أقل من  $\left( \frac{k}{r} \right)^{-2}$  مثل (استناداً إلى (XII-98)).

$$(XII-117) \quad \partial_0 \psi = \partial_0 \left( \frac{1}{\frac{k}{r}} \right) = - \frac{1}{2 \left( \frac{k}{r} \right)^3}$$

$$\partial_0 \left( \frac{k}{r} \right)^2 = \frac{(x^p - \xi_p)}{\left( \frac{k}{r} \right)^3} \quad \xi_p = - \xi_p \partial_p \psi$$

حيث:

$$(XII-118) \quad \xi_p = \frac{\partial \xi_p}{\partial \tau}$$

فإذا أحلنا (XII-115) في المعادلة (XII-112) نجد حالاً أن هذا الشرط مستوفى إذا:

$$(XII-119) \quad \frac{k}{m} = 0, \quad \frac{k}{m} = c^{te}$$

مما يعني أنه في التقريب من الدرجة الثانية  $\ell = 2$  تكون الكتل مستقلة عن الوقت.

$\beta$  - لنرجع الآن إلى الشروط (XII-113) التي تشكل معادلات الحركة. كي نكتب صيغة  $\bar{A}_{rs}$  استناداً إلى (XII-108)<sub>3</sub> نحتاج إلى صيغة  $\gamma_{0r}$  بالإضافة إلى  $\gamma_{00}$  وحسب التقريب (XII-105)<sub>1</sub> لشروط تساوي درجة الحرارة نكتب:

$$(XII-120) \quad \partial_p \bar{\gamma}_{0p} = \partial_0 \bar{\gamma}_{00} = -4 \frac{k}{m} \partial_0 \psi$$

وإذا أخذنا (XII-117) بعين الاعتبار نجد إذاً:

$$(XII-121) \quad \partial_p \bar{\gamma}_{0p} = 4m \xi_p^k \partial_p \psi^k$$

أي:

$$(XII-122) \quad \bar{\gamma}_{0p} = 4m \xi_p^k \partial_p \psi^k$$

ونكتب المعادلة (XII-108)<sub>3</sub> بالصيغة البسيطة:

$$(XII-123) \quad A_{rs} = 2m \partial_0 \partial_s \xi_r^k \psi^k + 2\partial_r U \partial_s U + 4U \partial_{rs}^2 U - 3\delta_{rs} \partial_p U \partial_p U$$

مع:

$$(XII-124) \quad U = \frac{1}{4} \bar{\gamma}_{00} = -Gm\psi^k$$

لحساب الحدود التربيعية ننشر الدالة U بالقرب من النقطة  $x^p = \xi_p^k$  فنجد إذاً

$\ell \neq k$

$$(XII-125) \quad \bar{U} = U + (x^p - \xi_p^k) \tilde{\partial}_p \bar{U} + \frac{1}{2\ell} (x^p - \xi_p^k) (x^q - \xi_q^k) \tilde{\partial}_{pq}^2 \bar{U} + \dots$$

حيث الكميات التي تعلوها إشارة ~ تعني قيم U و  $\partial_p U$  و  $\partial_{pq}^2 U$  في النقطة  $x^p = \xi_p^k$ .  
وإذا حسبنا مختلف الحدود في (XII-123) وأحطناها في هذه المعادلة نجد:

$$(XII-126) \quad \bar{A}_{rs} = 2m \partial_s \xi_r^k \psi^k + 2 \left( \partial_r U \Sigma_1' \tilde{\partial}_s \bar{U} + \partial_s U \Sigma_1' \tilde{\partial}_r \bar{U} \right) \\ + 4\partial_{rs} U \Sigma_1' (x^p - \xi_p^k) \tilde{\partial}_p \bar{U} - 6\delta_{rs} \partial_p U \Sigma_1' \tilde{\partial}_p \bar{U}$$

حيث أهملنا الحدود بدرجة أدنى وترمز  $\Sigma_1'$  إلى الجمع لكل القيم  $\ell \neq k$ .

لنحسب تكامل الصيغة (XII-126) على السطح S حول النقطة  $x^p = \xi_p^k$  فنجد:

$$(XII-127) \quad c_r(\tau) = -\frac{1}{4\pi} \int \bar{A}_{rs} n_s dS = -2Gm \left( \xi_r^k + \Sigma_\ell' \tilde{\partial}_r \bar{U} \right)$$

وبشكل خاص تكتب الشروط (XII-113) إذا  $\ell = 2$ :



$$(XII-128) \quad \xi_k^r = - \sum_1^k \tilde{\partial}_r U_2^{\ell}$$

هذه هي معادلات الحركة المتوقعة في الميكانيك النيوتني: الجسم النقطي ذو الإحداثيات  $x^p = \xi_p$  يخضع لقوة مشتقة من الكمون  $-\sum_1^k U'$  وباستعمال التقريب من الدرجات المتتالية التي تدخل فيها حسابات مشابهة لما سبق يمكن أن نستنتج من معادلات المجال معادلات الحركة في الدرجة الأعلى من التقريب.

2.5 - استخلاص معادلات الحركة من معادلات المجال مع جانب ثانٍ أو طريقة موثر الطاقة: هذه الطريقة للحصول على معادلات الحركة هي من أعمال دارموا (21)G. Darmois ودي دوندر (22)Th. de Donder. وقد قام بحساب الحلول بطرق متنوعة فوك (23)V.A. Fock وبأبا بترو (24)A. Papapetrou ودو بتروفا (25)de Petrova وهينكن (26)F.Hennequin.

ننطلق من معادلات المجال المكتوبة داخل المادة والصالحة للتوزيع المتواصل للمادة غير المشحونة والغير قابلة للإستقطاب. نفترض كما فعلنا في المقطع الثالث من هذا الفصل أن هذا التوزيع من المادة يشبه غازاً مثالياً. فتدخل مساهمته من خلال المؤثر المادي:

$$(XII-129) \quad M_{\mu\nu} = (\mu_0 c^2 + p) u_\mu u_\nu - p g_{\mu\nu}.$$

وتكون معادلات المجال بالصيغة:

$$(XII-130) \quad S_{\mu\nu} \equiv G_{\mu\nu} - \frac{1}{2} g_{\mu\nu} G = \chi M_{\mu\nu}.$$

نختار إحداثيات تساوي درجة الحرارة المحددة بالمعادلة (XII-18). لقد حسبنا في المقطع الثاني صيغة  $S_{\mu\nu}$  في هذه الإحداثيات الخاصة. فتكون معادلات المجال بالصيغة (XII-21).

G. DARMOIS. [20] (21)

Th. de DONDER. [21]. (22)

V.A. FOCK. J. Phys. Ac. Sc. U.R.S.S., 1, 1939, 81. (23)

A. PAPETROU. Proc. Phys. Soc., 64, 1951, 37. (24)

PETROVA. Zh. eksper. teor. Fiz., 19, 1949, 989. (25)

F. HENNEQUIN. Thèse de doctoral, Paris, 1956. (26)

وإذا اعتمدنا هيكلًا اسنادياً شبه غاليلي يسمح لنا بكتابة صيغ النشر (XII-22) للموتر  $g_{\mu\nu}$  يمكن أن نكتب المعادلات (XII-130) في أية درجة للتقريب. وفي الدرجة الثانية تأخذ هذه المعادلات الصيغة (XII-47). وحلولها كما وجدنا في المقطع الثالث تحدّد بالمعادلات (XII-52) و (XII-54) و (XII-69) أي<sup>(27)</sup>:

$$(XII-131) \quad \frac{h_{pq}}{2} = -2 \delta_{pq} \Sigma_A U_A \quad , \quad \frac{h_{00}}{2} = -2 \Sigma_A U_A$$

$$(XII-132) \quad h_{p0} = 4 \Sigma_A \hat{v}_p U_A$$

حيث  $U_A$  تعني الكمون الناتج عن الجسم  $A$  ذي الكثافة  $\mu_A$ . ويخضع هذا الكمون للمعادلة:

$$(XII-133) \quad \Delta U_A = - \frac{\chi}{2} c^4 \mu_A = - 4\pi G \mu_A.$$

هكذا تكون الكميات  $h_{\mu\nu}$  محدّدة في مختلف درجات التقريب. ويمكن إحلال قيمها (XII-131) و (XII-132) في معادلات حركة الغاز المثالي. فحركة الغاز المثالي غير المشحون في مجال الجاذبية ذي الكمون  $g_{\mu\nu}$  تحدّد بالمعادلة (VIII-194) حيث توضع  $F_p = 0$ . فنجد هكذا:

$$(XII-134) \quad \frac{d}{dt} \int M_p^0 d^3V = \frac{c}{2} \int M^{p\sigma} \partial_p g_{p\sigma} d^3V.$$

فيذا اكتفينا بالتقريب من الدرجة الثانية نجد المعادلتين:

$$(XII-135) \quad \frac{1}{c} M_p^0 = \frac{\sqrt{-g}}{c} (\mu_0 c^2 + p) u_p u^0 \approx - \mu_0 v^p$$

$$(XII-136) \quad M^{p\sigma} \partial_p g_{p\sigma} = \sqrt{-g} [(\mu_0 c^2 + p) u^p u^\sigma \partial_p g_{p\sigma} - p g^{p\sigma} \partial_p g_{p\sigma}] \\ \approx - 2\mu_0 \partial_p U$$

حيث أخذنا بالحسبان المعادلتين (VII-191) و (XII-152) وصيغ  $u_p$  و  $u_0$  المحسوبة في المعادلات (XII-41).

(27) هنا  $a^p$  إلى إحداثيات مركز كتلة الجسم. فإذا رجعنا إلى طريقة النقط الشاذة تكون  $a^p$  مساوية لـ  $\xi_p^k$  التي ترمز إلى إحداثيات الجسم  $k$ . مما يعني أن  $\dot{a}^p$  هي  $\dot{\xi}_p^k$  وأن  $\Sigma^k U_R(A)$  هي  $G\Sigma^k/m$ . ونحتفظ بهاتين الطريقتين بالترميز لتسهيل قراءة المؤلفات الأصلية.

هكذا تكون حركة جسم A الناتجة عن (XII-134) وفق المعادلة:

$$(XII-137) \quad \frac{d}{dt} \int \mu_A \dot{v}_p d^3V_A = \int \mu_A \partial_p U d^3V_A.$$

في الدرجة الثانية من التقريب. ولكن كتلة الجسم<sup>(28)</sup> هي:

$$(XII-138) \quad m_A = \int \mu_A d^3V_A$$

والسرعة  $\dot{v}_p$  ثابتة على كامل الجسم A. فتكتب المعادلة (XII-137) بالصيغة:

$$(XII-139) \quad \frac{d}{dt} (m_A \dot{v}_p) = \int \mu_A \partial_p U d^3V_A.$$

ويكتب الكمون بالصيغة التالية:

$$(XII-140) \quad U = U_A + \Sigma' U_B (A).$$

حيث  $U_A$  هو الكمون الذي يكوّنه الجسم A في النقطة  $x(A)$  بداخله. و  $U_B(A)$  هو الكمون (الثابت عملياً على كامل الجسم A) الذي يكونه الجسم B في نقطة  $x(A)$  من الجسم A. وترمز  $\Sigma'$  إلى أن الجمع يجب أن يكون على كل الأجسام B ما عدا A. فنجد من (XII-140):

$$(XII-141) \quad \int \mu_A \partial_p U d^3V_A = m_A \partial_p (\Sigma' U_B (A)) + \int \mu_A \partial_p U_A d^3V_A$$

وتحدّد هكذا حركة الجسم A بالمعادلة:

$$m_A \ddot{a}^p = m_A \partial_p (\Sigma' U_B (A)) + \int \mu_A \partial_p U_A d^3V_A$$

حيث  $a^p$  هي إحداثيات مركز كتلة A.

وتتبسط المعادلة (XII-142) إذا كان الجسم A ذا تناظر كروي فنجد في هذه الحالة:

$$(XII-143) \quad \partial_p U_A = \frac{\partial U_A}{\partial r} \quad \frac{\partial r}{\partial x^p} = \frac{\partial U_A}{\partial r} \quad \frac{x^p - a^p}{r}$$

$$(XII-144) \quad r^2 = (x^p - a^p) (x^p - a^p). \quad \text{حيث:}$$

(28) قد يكون من الطبيعي اعتماد تحديد الصيغة (VIII-187) للكتلة إذ ان هذا التحديد يدخل في معادلات الحفظ. ولكن هذا يرجع عملياً إلى التحديد (XIII-138) في درجة التقريب المستعملة في هذا المقطع.

ونجد إذاً:

$$(XII-145) \quad \int \mu_A \partial_p U_A d^3V_A = \int \mu_A \frac{\partial U_A}{\partial r} \frac{x^p - a^p}{r} d^3V_A = 0.$$

هكذا استناداً إلى المعادلة (XII-142) وفي الدرجة الثانية من التقريب تتيح نظرية النسبية العامة أن نستخلص من معادلات المجال معادلات الحركة التالية:

(XII-146)

$$a^p = \partial_p (\Sigma' U_B (A)).$$

التي تتفق مع المعادلات النيوتنية للحركة. وقد قام المؤلفون في المراجع<sup>(26,25,24,23)</sup> من الصفحة 398 بالحسابات في درجات التقريب الأعلى فأنت النتائج متفقة مع نتائج طريقة النقط الشاذة.

### ب - دراسة حل دقيق ولكن في حالة خاصة لمعادلات المجال: حل شفارتزشيلد

#### (6) مجال الجاذبية حول جسم ذي تناظر كروي

إن التحديد الدقيق لمجال الجاذبية حول جسم غير مشحون ذي تناظر كروي له أهمية خاصة إذا أردنا دراسة النتائج التجريبية لنظرية النسبية العامة. وقد قام شفارتزشيلد Schwarzschild<sup>(29)</sup> بدراسة هذا الموضوع. ويعطي فعلاً هذا الحل قيمة المجال الجاذبي تقريباً حول الأجرام السماوية. بنية فلك ريمان حول هذه الأجسام محدّدة بالصيغة الأساسية:

$$(XII-147) \quad ds^2 = g_{\mu\nu} dy^\mu dy^\nu.$$

لتحديد المتوتر  $g_{\mu\nu}$  نستعمل معادلات مجال الجاذبية قرب هذه الأجسام أي المعادلات التفاضلية العشر:

$$(XII-148) \quad G_{\mu\nu} = G^p_{\mu\nu} = \partial_\rho \left\{ \begin{matrix} \rho \\ \mu\nu \end{matrix} \right\} - \partial_\nu \left\{ \begin{matrix} \rho \\ \mu\rho \end{matrix} \right\} + \left\{ \begin{matrix} \lambda \\ \mu\nu \end{matrix} \right\} \left\{ \begin{matrix} \rho \\ \lambda\rho \end{matrix} \right\} - \left\{ \begin{matrix} \lambda \\ \mu\rho \end{matrix} \right\} \left\{ \begin{matrix} \rho \\ \lambda\nu \end{matrix} \right\} = 0.$$

ونعرف أن هذه المعادلات ليست مستقلة إذ إنها ترتبط بالمعادلات التوافقية الأربعة (XI-84). فتتيح إذا المعادلات (XII-148) تحديد ست من دوال الكمون (6=4-10). أما المركبات الأربعة الأخرى من المؤثر  $g_{\mu\nu}$  فتبقى اختيارية ومرتبطة بهيكل الإسناد المستعمل.

وحساب رموز كريستوفل:

$$(XII-149) \quad \left\{ \begin{matrix} \rho \\ \mu\nu \end{matrix} \right\} = \frac{1}{2} g^{\rho\sigma} (\partial_\mu g_{\nu\sigma} + \partial_\nu g_{\mu\sigma} - \partial_\sigma g_{\mu\nu})$$

يسهل كثيراً إذا كان الجسم الذي يكون المجال ذا تناظر كروي فتكون الصيغة  $ds^2$  ذاتها بتناظر كروي مما يتيح تحديد صيغتها مسبقاً وحصر عدد المركبات  $g_{\mu\nu}$  الواجب حسابها.

لنستعمل إذا الإحداثيات الكروية:

$$(XII-150) \quad y^1 = r, \quad y^2 = \theta, \quad y^3 = \varphi, \quad y^0 = ct.$$

فتكتب الصيغة الأساسية  $ds^2$  في حالة الفضاء الريماني ذي التناظر الكروي وفي حالة السكون بالصيغة<sup>(30)</sup>:

(30) بشكل أعم يمكن أن نبث عن الطول المتناظرة كروياً بالصيغة

$$(1) \quad ds^2 = g_{00} (dy^0)^2 + 2g_{p0} dy^p dy^0 + g_{pq} dy^p dy^q,$$

حيث الإحداثيات  $y^p$  تخضع للعلاقة

$$r^2 = \sum_{p=1}^3 (y^p)^2.$$

ويمكن تبسيط الصيغة (1) إلى

$$(2) \quad ds^2 = g_{00} (dy^0)^2 - g_{pq} dy^p dy^q$$

وذلك بوضع

$$X_p = \frac{y^p}{r} \quad \text{حيث} \quad g_{pq} = \delta_{pq} - D(r) \chi_p \chi_q$$

فتمحصل على الحل السكوني

$$g_{00}(r) = 1 - \frac{2G_m}{rc^2}, \quad g_{pq} = -\delta_{pq} - \frac{\frac{2G_m}{rc^2}}{1 - \frac{2G_m}{rc^2}} \chi_p \chi_q, \quad g_{p0} = 0.$$

ارجع إلى الصفحة 198 من المرجع [9] P.G BERGMANN,

$$(XII-151) \quad ds^2 = \alpha dr^2 - \beta (d\theta^2 + \sin^2\theta d\varphi^2) + \sigma c^2 dt^2.$$

فتصبح الصيغة  $ds^2$  متطابقة مع الصيغة الأساسية للفضاء الإقليدي في الإحداثيات الكروية.

لتحديد مركبات الموتر الأساسي يلزمنا تحديد الدوال الثلاث  $\alpha$  و  $\beta$  و  $\sigma$  دوال في  $r$ . إذ إن:

$$(XII-153) \quad g_{11} = -\alpha, \quad g_{22} = -\beta, \quad g_{33} = -\beta \sin^2\theta, \quad g_{00} = \sigma,$$

إذا حسبنا انطلاقاً من الصيغة (XII-153) رموز كريستوفل (XII-149) ثم مركبات موتر ريتشي لكتابة معادلات المجال (XII-148) نجد أن إحدى الدوال  $\alpha$  و  $\beta$  و  $\sigma$  تبقى اختيارية. هذه الخاصية ترجع إلى معادلات الحفظ (XI-84). نختار عادة:

$$(XII-154) \quad \beta = r^2.$$

من المناسب استعمال الترميز:

$$(XII-155) \quad \sigma = e^{2\ell}, \quad \sigma = e^{2n}.$$

فتصبح مركبات الموتر الأساسي:

$$(XII-156) \quad g_{11} = -e^{2\ell}, \quad g_{22} = -r^2, \quad g_{33} = -r^2 \sin^2\theta, \quad g_{00} = e^{2n},$$

ورموز كريستوفل:

$$\left\{ \begin{matrix} 1 \\ 11 \end{matrix} \right\} = \ell', \quad \left\{ \begin{matrix} 1 \\ 33 \end{matrix} \right\} = \left\{ \begin{matrix} 1 \\ 22 \end{matrix} \right\} \cos^2\theta = -re^{2\ell} \cos^2\theta, \quad \left\{ \begin{matrix} 1 \\ 00 \end{matrix} \right\} = n'e^{2(R-1)}$$

$$(XII-157) \quad \left\{ \begin{matrix} 2 \\ 33 \end{matrix} \right\} = \sin\theta \cos\theta, \quad \left\{ \begin{matrix} 2 \\ 12 \end{matrix} \right\} = \left\{ \begin{matrix} 3 \\ 13 \end{matrix} \right\} = \frac{1}{r},$$

$$\left\{ \begin{matrix} 3 \\ 23 \end{matrix} \right\} = -\operatorname{tg}\theta, \quad \left\{ \begin{matrix} 0 \\ 10 \end{matrix} \right\} = n'$$

وإذا أحلنا هذه النتيجة في المعادلات (XII-148) نجد أن المركبات غير المنعدمة تطابقاً لمركبات ريتشي تعطي المعادلات:

$$(XII-158)_1 \quad G_{11} = -n'' + n'^2 + \ell' \left( \frac{2}{r} + n' \right) = 0$$

$$(XII-158)_2 \quad G_{22} = G_{33}/\cos^2 \theta = 1 + re^{-2l} \left( \ell' \frac{1}{r} - n' \right) = 0$$

$$(XII-158)_3 \quad G_{00} = e^{2(n-\ell)} \left( n'' + n'^2 - n' \left[ \ell' - \frac{2}{r} \right] \right) = 0.$$

لنشكل المعادلة (XII-158)<sub>1</sub> + (XII-158)<sub>3</sub> فنجد:

$$(XII-159) \quad \log \alpha \sigma = c^{te} \quad \text{أو} \quad \ell' + n' = 0$$

ومنها نستنتج أن:

$$(XII-160) \quad \alpha \sigma = c^{te} = 1$$

إذ إن العلاقات الحدية (XII-152) تفرض:

$$r \rightarrow \infty \quad \text{إذا} \quad \alpha \sigma \rightarrow 1$$

لنضع إذاً:

$$(XII-161) \quad l + n = 0.$$

في المعادلة (XII-158)<sub>2</sub> فيمكن أن نكتب معادلتين: الأولى هي:

$$(XII-162) \quad e^{2n} (2rn' + 1) = k^2$$

والثانية هي المعادلة المشتقة من هذه.

ولتأمين الشروط الحدية (XII-159) (الصالحة إذا  $n' = 0$ ) علينا أن نختار  $k^2 = 1$ . عندئذ نحل (XII-162) فنجد:

$$(XII-163) \quad e^{2Rr} = - \frac{2a}{c^2}$$

أي:

$$(XII-164) \quad \sigma = 1 - \frac{2a}{c^2 r} = \frac{1}{\alpha}$$

حيث  $\frac{a}{c^2}$  هي ثابت تكامل.

فتكون الصيغة الأساسية للفضاء الريماني حول جسم ساكن ذي تناظر كروي:

$$(XII-165) \quad ds^2 = \frac{dr^2}{1 - \frac{2a}{rc^2}} - r^2 (d\theta^2 + \sin^2 \theta d\varphi^2) + \left( 1 - \frac{2a}{rc^2} \right) c^2 dt^2$$

وإذا ابتعدنا عن الجسم  $r \rightarrow \infty$  يتفق هذا الحل مع الشروط الحدية (XII-152) أي أن الصيغة الأساسية تصبح إقليدية.

بدلاً من استعمال الإحداثيات القطبية الكروية (XII-150) يمكن أن نستعمل الإحداثيات  $r_1, \theta, \varphi$  حيث:

$$(XII-166) \quad r = \left(1 + \frac{a}{2r_1 c^2}\right)^2 r_1$$

ومنها:

$$(XII-167) \quad dr = \left(1 - \frac{a^2}{4r_1^2 c^4}\right) dr_1, \quad \sigma = \frac{\left(1 - \frac{a}{2r_1}\right)^2}{\left(1 + \frac{a}{2r_1}\right)^2}$$

مما يتيح كتابة الصيغة الأساسية (XII-165) كما يلي:

$$(XII-168) \quad ds^2 = - \left(1 + \frac{a}{2r_1 c^2}\right)^4 (dr_1^2 + r_1^2 d\theta^2 + r_1^2 \sin^2 \theta d\varphi^2) + \frac{\left(1 - \frac{a}{2r_1}\right)^2}{\left(1 + \frac{a}{2r_1}\right)^2} c^2 dt^2.$$

لنحدّد الآن الإحداثيات:

$$(XII-169) \quad x^1 = r_1 \sin \theta \cos \varphi, \quad y^1 = r_1 \sin \theta \sin \varphi, \quad z^1 = r_1 \cos \theta.$$

المسماة الإحداثيات المتناحية isotropic. فتصبح الصيغة الأساسية (XII-168):

$$(XII-170) \quad ds^2 = - \left(1 + \frac{a}{2r_1 c^2}\right)^4 [(dx^1)^2 + (dy^1)^2 + (dz^1)^2] + \frac{\left(1 - \frac{a}{2r_1}\right)^2}{\left(1 + \frac{a}{2r_1}\right)^2} c^2 dt^2.$$

إذا ابتعدنا عن الجسم يمكن أن نكتب الصيغة التقريبية إذا  $r_1$  كبيرة:

$$(XII-171) \quad ds^2 = - \left(1 + \frac{2U}{c^2}\right) [(dx^1)^2 + (dy^1)^2 + (dz^1)^2] + \left(1 - \frac{2U}{c^2}\right) c^2 dt^2$$



حيث وضعنا:

$$(XII-172) \quad U = \frac{a}{r_1}$$

ولكن الصيغة (XII-171) ما هي إلا الصيغة (XII-83) التي حصلنا عليها في المقطع §4 باستعمال طريقة تقريبية. في الصيغة (XII-83) تعني الدالة  $U$  الكمون النيوتني:

$$(XII-173) \quad U = \frac{K m'}{r}$$

فنستنتج إذا أن:

$$a = K M'$$

ومن جهة ثانية إذا رجعنا إلى المعادلة (XII-164) نجد أن الثابت  $a$  يرتبط بخصائص الجسم الذي يكون المجال الجاذبي فهي إذا كتلته العطالية  $m'$ . نجد إذا:

$$M' = \frac{K_1}{K} m' \quad \text{أي:} \quad a = K_1 m'$$

ويكتب قانون نيوتن بالصيغة:

$$F = -K \frac{M M'}{r^2} = -\frac{K_1^2}{K} \frac{m m'}{r^2} = -G \frac{m m'}{r^2}$$

وإذا اخترنا  $K_1 = K$  يمكن أن نكتب:

$$M' = m' \quad , \quad K_1 = K = G \quad , \quad a = G M' = G m'$$

أي:

$$(XII-174) \quad \sigma \approx \frac{1}{\alpha} = 1 - \frac{2G_m}{c^2 r}$$

ملاحظة: بدلاً من الحالة السكونية كان من الممكن أن نبحث عن الحلقات ذات التناظر الكروي المتغيرة مع الوقت. فتصبح المركبات  $g_{\mu\nu}$  دوالاً في البعد  $r$  والوقت  $t$  وقد تبين أن هذا الحل يرجع حتماً إلى حلول المعادلات المتعلقة بالحالة السكونية<sup>(31)</sup>.

BIRKHOFF. Relativity and Modern Physics, Harvard University Press. 1923, p.253. - (31) H.MINEUR. Bulletin de la Société Math. de France, 56, 1928, 50.

كان هذا العمل يرمي إلى دراسة مجال الجاذبية للنجوم الملتبته المتغيرة مع الوقت. وهو مجال ذو تناظر كروي ولكنه متغير مع الوقت.

## (7) المجال بالقرب من جسيم مشحون ذي تناظر كروي

في هذه الحالة يكون لمعادلات المجال جانب أيمن يمثل مساهمة المجال الكهرومغناطيسي. لنفترض أن هذه المساهمة تتمثل خارج المادة بموتر ماكسويل  $\tau_{\mu\nu}$ .

$$(XII-175) \quad T_{\mu\nu} = \tau_{\mu\nu} = -\varphi_{,\mu\nu}\varphi^{,\mu\rho} + \frac{1}{4} g_{\mu\nu}\varphi_{,\rho\sigma}\varphi^{,\rho\sigma}.$$

فتستبدل معادلات المجال (XII-148) بالمعادلات:

$$(XII-176) \quad S_{\mu\nu} \equiv G_{\mu\nu} - \frac{1}{2} g_{\mu\nu} G = \chi T_{\mu\nu} = \chi \tau_{\mu\nu}.$$

وإذا ضربنا هذه المعادلات بـ  $g^{\mu\nu}$  وجمعنا على كل المؤشرات نجد:

$$(XII-177) \quad T = g^{\mu\nu} T_{\mu\nu} \quad \text{مع} \quad -G = \chi T$$

وإذا أحلنا هذه النتيجة في (XII-176) نجد:

$$(XII-178) \quad G_{\mu\nu} = \chi \left( T_{\mu\nu} - \frac{1}{2} g_{\mu\nu} T \right).$$

ولكن نلاحظ أن الكمية  $\tau$  الثابتة في التحويل والمشكلة بواسطة مركبات موتر ماكسويل تنعدم بالتطابق أي:

$$(XII-179) \quad \tau = g^{\mu\nu} \tau_{\mu\nu} = -\varphi_{,\mu\rho}\varphi^{,\mu\rho} + \frac{1}{4} \delta_{\mu}^{\mu} \varphi_{,\rho\sigma}\varphi^{,\rho\sigma} \equiv 0.$$

فتصبح معادلات الجاذبية خارج المادة وبوجود مجال كهرومغناطيسي

$$(XII-180) \quad G_{\mu\nu} = \chi \tau_{\mu\nu}$$

لنحصر اهتمامنا بالحالات السكونية. إذا استعملنا الإحداثيات القطبية تكون المركبة الوحيدة للمجال الكهربائي هي:

$$(XII-181) \quad \varphi_{10} = \frac{e}{r^2}$$

وتكون المركبات  $g_{\mu\nu}$  غير المنعدمة بالصيغة (XII-153)

فيذا أحلنا هذه النتيجة في المعادلة (XII-175) نجد:

$$(XII-182)_1 \quad \tau_{11} = \frac{1}{4} g_{11} (2\varphi_{10} g^{11} g^{00} \varphi_{10}) - \varphi_{10} g^{00} \varphi_{10}$$

$$= -\frac{1}{2} g^{00} \varphi_{10} \varphi_{10} = -\frac{1}{2 \sigma} \frac{e^2}{r^4}$$

$$(XII-182)_2 \quad \tau_{22} = \frac{\tau_{33}}{\cos^2 \theta} = \frac{1}{4} g_{22} (2\varphi_{10} g^{11} g^{00} \varphi_{10}) = \frac{1}{2 \alpha \sigma} \frac{e^2}{r^4}$$

$$(XII-182)_3 \quad \tau_{00} = \frac{1}{4} g_{00} (2\varphi_{10} g^{11} g^{00} \varphi_{10}) - \varphi_{01} g^{11} \varphi_{01}$$

$$= -\frac{1}{2} g^{11} \varphi_{01} \varphi_{01} = \frac{1}{2 \alpha} \frac{e^2}{r^4}$$

وتتعدم مركبات  $\tau_{\mu\nu}$  الأخرى. فإذا أطللنا هذه المركبات في الجانب الأيمن لمعادلات المجال (XII-180) نجد بحساب مشابه لحساب المقطع السابق الحل التالي<sup>(32)</sup>:

$$(XII-183) \quad \beta = r^2, \quad \sigma = \frac{1}{\alpha} = 1 - \frac{2G_m}{c^2 r} + \frac{\chi e^2}{2r^2}.$$

الثوابت  $e$  و  $m$  تميز الجسيم الذي يولد مجال الجاذبية ويدخل في الحساب بطرق مختلفة تماماً:  $m$  هي ثابت تكامل تظهر مع حلول معادلات المجال ذاتها، أما  $e$  فتدخل من خلال موتر ماكسويل وهي معطيات خارجية عن صيغة مجال الجاذبية ولكن وجودها يؤثر في مجال الجاذبية.

### (8) مسار جسيم غير مشحون بالقرب من جسم ذي تناظر كروي

يسير الجسيم غير المشحون في مجال الجاذبية على أحد الخطوط التقاصرية في الفضاء الريماني. ومعادلات هذه الخطوط هي:

$$(XII-184) \quad \frac{d^2 y^p}{ds^2} + \left\{ \begin{matrix} \rho \\ \mu\nu \end{matrix} \right\} \frac{dy^\mu}{ds} \frac{dy^\nu}{ds} = 0.$$

وفي الحالة الخاصة لمجال الجاذبية يولد جسم ذو تناظر كروي من المناسب استبدال رموز كريستوفل  $\left\{ \begin{matrix} \rho \\ \mu\nu \end{matrix} \right\}$  بقيمها المحسوبة بالنسبة للكومن:

G.B. JEFFERY, Proc. Roy. Soc., 99 A, 123.

H. RASSNER, Ann. d. Phys., 50, 1916, 106.

H. WEYL, Ann. d. Phys., 54, 1917, 117; [27].

$$(XII-185) \quad g_{00} = -\frac{1}{g_{11}} = \left(1 - \frac{2_m G}{c^2 r}\right), \quad g_{22} = \frac{g_{33}}{\sin^2 \theta} = -r^2.$$

لنكتب أولاً المعادلة (XII-184) للمؤشر  $\rho = 2$ . فإذا وضعنا  $y^1 = r$  و  $y^2 = \theta$  و  $y^3 = \varphi$  نجد:

$$(XII-184)_2 \quad \frac{d^2 \theta}{ds^2} + \frac{2}{r} \frac{dr}{ds} \frac{d\theta}{ds} - \cos \theta \sin \theta \left(\frac{d\varphi}{ds}\right)^2 = 0.$$

فإذا اخترنا نظام الإحداثيات الكروية بحيث تكون الحركة الابتدائية في السطح المستوي  $\theta = \frac{\pi}{2}$  تقود الشروط الابتدائية  $\frac{d\theta}{ds} = 0$  و  $\cos \theta = 0$  إلى  $\frac{d^2 \theta}{ds^2} = 0$ . مما يعني أن الحركة تستمر في هذا السطح  $\theta = \frac{\pi}{2}$ .

وتكتب المعادلات (XII-184) للمؤشر  $\rho = 3$  و  $\rho = 0$  بالصيغ:

$$(XII/184)_3 \quad \frac{d^2 \varphi}{ds^2} + \frac{2}{r} \frac{d\varphi}{ds} \frac{dr}{ds} = 0$$

$$(XII-184)_4 \quad \frac{d^2 t}{ds^2} + \frac{\sigma'}{\sigma} \frac{dr}{ds} \frac{dt}{ds} = 0, \quad \left(\sigma' = \frac{d\sigma}{ds}\right)$$

ويحسب تكامل هذه المعادلات فنجد:

$$(XII-186) \quad r^2 \frac{d\varphi}{ds} = \frac{h}{c}, \quad \frac{dt}{ds} = \frac{k}{\sigma c^2},$$

حيث  $h$  و  $k$  ثابتا تكامل.

يمكن عندئذ حل المعادلة (XII-184) للمؤشر  $\rho = 1$ . ونحصل على النتيجة ذاتها إذا استعملنا الصيغة الأساسية (XII-165):

$$(XII-187) \quad ds^2 = -\frac{1}{\sigma} dr^2 - r^2 (d\theta^2 + \sin^2 \theta d\varphi^2) + \sigma c^2 dt^2$$

والغينا  $dt$  و  $ds$  من هذه الصيغة باستعمال (XII-186). فنجد هكذا:

$$(XII-188) \quad \frac{1}{\sigma} \left(\frac{h}{r^2 c} \frac{\partial r}{\partial \varphi}\right)^2 + \frac{h^2}{c^2 r^2} - \frac{k}{\sigma c^2} = -1.$$

لنضع الآن:

$$(XII-189) \quad \frac{1}{r} = u.$$

فنكتب (XII-188) بالصيغة التالية إذا أخذنا (XII-174) بالحسبان:

$$(XII-190) \quad \left( \frac{\partial u^2}{\partial \varphi} \right) + u^2 = - \frac{c^2}{h^2} \left( 1 - \frac{k^3}{c^4} \right) + \frac{2G_m}{h^2} u + \frac{2G_m}{c^2} u^3.$$

وإذا حسبنا التفاضل بالنسبة إلى  $\rho$  وقابلنا مع (XII-188) نجد معادلات المسارات:

$$(XII-191) \quad \frac{d^2 u}{d\varphi^2} + u = \frac{G_m}{h^2} + \frac{3G_m u^2}{G^2}$$

$$(XII-192) \quad r^2 \frac{d\varphi}{ds} = \frac{h}{c},$$

أو استناداً إلى (XII-186) نجد:

$$(XII-193) \quad r^2 \frac{d\varphi}{dt} = \frac{h\omega c}{k} = \frac{hc}{k} \left( 1 - \frac{2G_m}{rc^2} \right).$$

وتتفق هذه المعادلات مع حركة الأجرام السماوية لدرجة عالية من الدقة. ولكي تشكل أثباتاً تجريبياً للنسبية العامة يجب أن تقود إلى توقعات مختلفة عن توقعات نظرية نيوتن فتفصل التجربة هكذا لصالح إحدى هاتين النظريتين.

في الميكانيك النيوتني تحدّد مسارات جسيم الاختبار في مجال جاذبية جسم ساكن ذي تناظر كروي بالمعادلات:

$$(XII-194) \quad \frac{d^2 u}{d\varphi^2} + u = \frac{G_m}{h^2}$$

$$(XII-195) \quad r^2 \frac{d\varphi}{dt} = h.$$

التي تختلف عن معادلات النسبية العامة (XII-191) و (XII-192)  $\frac{3G_m}{c^2} u^2$  فإذا كانت سرعة جسيم الاختبار صغيرة بالنسبة إلى  $c$  يكون هذا الحد صغيراً جداً كي تستطيع التجربة الكشف عنه. إذ إن:

$$(XII-196) \quad \frac{\frac{3G_m u^2}{c^2}}{\frac{G_m}{h^2}} = \frac{3h^2 u^2}{c^2} = 3 \left( r \frac{d\varphi}{ds} \right)^2 = 3 \left( \frac{r}{c} \frac{d\varphi}{d\tau} \right)^2$$

فتكون عندئذ سرعة الجسيم  $r \frac{d\varphi}{d\tau}$  صغيرة بالمقارنة مع سرعة الضوء  $c$ .

ولكن يمكن الكشف عن الحد الإضافي في الصيغة (XII-191) ببعض الحالات الخاصة التي سندرسها الآن.

## 9) مقارنة حل سفارتزشيلد مع التجربة

## 1.9 - تقدم نقطة رأس الكواكب

لقد رأينا أن من أهم التباينات بين توقعات الميكانيك النيوتني والتجربة يتعلق بحركة الكوكب عطارد إذ إن نقطة رأسه تتقدم بزاوية 43 ثانية من كل قرن. وتستخلص هذه من المعادلة النيوتنية (XII-194) ذات الحل:

$$(XII-197) \quad u_0 = \frac{mG}{h^2} [1 + A \cos(\varphi - \bar{\omega})].$$

حيث  $A$  و  $\bar{\omega}$  ثابتاً تكامل وترمز  $A$  إلى انحراف المسار عن المركز وترمز  $\bar{\omega}$  إلى اتجاه نقطة الرأس.

لنكتب المعادلة الكلاسيكية لمسار إهليلجي بمحاور  $a$  و  $b$  مستعملين إحداثيات قطبية مركزها في إحدى البؤرتين:

$$(XII-198) \quad \frac{1}{r} = \frac{1 + e \cos \varphi}{a(1 - e^2)} = \frac{1}{p} (1 + e \cos \varphi)$$

حيث:

$$(XII-199) \quad e = \frac{r_{\max} - r_{\min}}{r_{\max} + r_{\min}}$$

$$(XII-200) \quad p = \frac{b^2}{a} = a(1 - e^2)$$

فإذا قابلنا الصيغ (XII-197) و (XII-198) نجد:

$$(XII-201) \quad \frac{Gm}{h^2} = \frac{1}{p}, \quad A = e$$

وتكتب الصيغة (XII-201) أيضاً بالصيغة:

$$(XII-202) \quad h^2 = (Gm)p = Gma(1 - e^2).$$

لنرجع الآن إلى معادلة الحركة (XII-191) المستخلصة من النسبية العامة، ولنحسب حلول هذه المعادلة بالتقريب المتتالية وذلك بوضع الصيغة (XII-197) التي

هي حل تقريبي للمعادلة (XII-191) في الحد الذي يدخل في هذه المعادلة إضافة إلى المعادلة الكلاسيكية (XII-194) فنجد هكذا:

$$(XII-203) \quad \frac{d^2u}{d\varphi^2} + u \approx + \frac{6G^3m^2}{c^2h^4} e \cos(\varphi - \bar{\omega}).$$

الحدود الأخرى تعطي مساهمات صغيرة جداً ويمكن إهمالها. أما الحد  $\cos(\varphi - \bar{\omega})$  في الصيغة (XII-203) فيدخل فيه التردد frequency الذاتي وقد يسبب ظواهر طنين resonance. وتقبل المعادلة (XII-203) الحل الخاص:

$$(XII-204) \quad u_1 = \frac{G^3m^3}{c^2h^4} e\varphi \sin(\varphi - \bar{\omega})$$

أما الحل بدرجة التقريب الثانية فنحصل عليه بجمع (XII-197) و (XII-204) فنجد:

$$(XII-205) \quad u = u_0 + u_1 = \frac{mG}{h^2} [1 + e \cos(\varphi - \bar{\omega} = \delta\bar{\omega})]$$

حيث وضعنا:

$$(XII-206) \quad \delta\bar{\omega} = \frac{3m^2G^2}{c^2h^2} \varphi.$$

بالمقارنة مع (XII-202) نستنتج أن:

$$(XII-207) \quad \frac{\delta\bar{\omega}}{\varphi} = \frac{3m^2G^2}{c^2h^2} = \frac{3mG}{ac^2(1 - e^2)}$$

فيكون تقدم نقطة الرأس بعد دورة كاملة للكوكب (أي  $\varphi = 2\pi$ ):

$$(XII-208) \quad \delta\bar{\omega} = \frac{6\pi mG}{ac^2(1 - e^2)}$$

وفي الحالة الخاصة لمسار حول الشمس نجد:

$$(XII-209) \quad m = 1.983 \times 10^{33} \text{ gr.}$$

$$(XII-210) \quad \frac{2mG}{c^2} = \frac{2 \times 1.983 \times 10^{33} \times 6.66 \times 10^{-8}}{9 \times 10^{20}} = 2.95 \times 10^5 \text{ cm.}$$

$$\begin{aligned}
 \text{(XII-211)} \quad \delta \bar{\omega} &= \frac{3\pi \times 2.95 \times 10^5}{a(1-e^2)} \text{ rad} \\
 &= \frac{360 \times 3600}{2\pi} \cdot \frac{3\pi \times 2.95 \times 10^5}{a(1-e^2)} \text{ seconds of angles} \\
 &= \frac{57.348 \times 10^{10}}{a(1-e^2)} \text{ seconds of angles}
 \end{aligned}$$

فإذا كانت  $T$  هي دورة الكوكب مقيسة بالأيام الأرضية يكون تقدم نقطة الرأس في قرن كامل:

$$\text{(XII-212)} \quad d\Omega = \frac{100 T_{\text{earth}}}{T_{\text{planet}}} \delta \bar{\omega} = \frac{36.252 \delta \bar{\omega}}{T}$$

أي:

$$\text{(XII-213)} \quad d\Omega = \frac{20946.357 \times 10^{12}}{a(1-e^2) T}$$

قد تكون قيمة التصحيح  $\delta \bar{\omega}$  كبيرة للكواكب الصغيرة (إذ تكون  $a$  صغيرة) إذا كان انحراف مسارها عن المركز كبيراً. وانحراف المسار عن المركز كبير في حالة الكوكب عطارد ذي معطيات المسار التالية:

$$\text{(XII-214)} \quad \begin{cases} a = 5.8 \times 10^{12} \text{ cm} \\ e = 0.2056 \\ T = 87.97 \text{ days} \end{cases}$$

ومن هنا نستنتج أن:

$$\text{(XII-215)} \quad a(1-e^2) = 5.555 \times 10^{12}$$

فإذا أحلنا هذه القيمة في الصيغة (XII-213) نجد القيمة التالية لتقدم نقطة رأس عطارد:

$$\text{(XII-216)} \quad d\Omega = \frac{20 \times 946.36 \times 10^{12}}{5.55 \times 87.97 \times 10^{12}} = 42'' ,9.$$

ويتفق هذا التوقع تماماً مع التجربة.



## 2.9 - انحراف الأشعة الضوئية في مجال الجاذبية

يبقى حل شفارتزشيلد مقبولاً في حالة انتشار الضوء في مجال الجاذبية لجسم ساكن ذي تناظر كروي بدلاً عن جسم اختيار كتلته  $m$ . فتكون مسارات الأشعة الضوئية أيضاً الخطوط التقاصرية ولكنها «بطول» منعدم. والشرط لذلك:

$$(XII-217) \quad ds = 0$$

يقود ذلك استناداً إلى الصيغة (XII-192) إلى:

$$(XII-218) \quad h \rightarrow \infty.$$

فتصبح معادلة مسارات الأشعة الضوئية استناداً إلى (XII-191) و (XII-218):

$$(XII-219) \quad \frac{d^2u}{d\varphi^2} + u = \frac{3Gmu^2}{c^2}$$

لنحسب حلول (XII-219) بالتقريب المتتالية. حل هذه المعادلة دون جانب أيمن هو:

$$(XII-220) \quad u_0 = \frac{\cos \varphi}{R},$$

حيث  $R$  هي ثابت تكامل. لنستبدل  $u$  بهذه الصيغة في الحد  $\frac{3Gmu^2}{c^2} \ll 1$ . فنجد لمعادلة الحركة هذه مع جانب أيمن الحل الخاص:

$$(XII-221) \quad u_1 = \frac{G}{c^2} \frac{m}{R^2} (\cos^2 \varphi + 2 \sin^2 \varphi).$$

ويكون حل المعادلة (XII-219) في التقريب الثاني بالصيغة:

$$(XII-222) \quad u = u_0 + u_1 = \frac{\cos \varphi}{R} + \frac{G}{c^2} \frac{m}{R^2} (\cos^2 \varphi + 2 \sin^2 \varphi),$$

$$\left( u = \frac{1}{r} \right).$$

وإذا استعملنا الإحداثيات الديكارتية  $(x = r \cos \varphi, y = r \sin \varphi)$  نجد معادلة المسارات:

$$(XII-233) \quad x = R - \frac{mG}{c^2 R} \frac{x^2 + 2y^2}{\sqrt{x^2 + y^2}}$$

ويعبر الحد الأخير من هذه المعادلة عن ابتعاد الشعاع الضوئي عن الخط المستقيم  $x = R$ . وقيمة الزاوية  $\alpha$  لهذا الانحناء هي:

$$(XII-225) \quad \alpha = \frac{2mG}{c^2 R} \left( \frac{x^2 + 2y^2}{\sqrt{x^2 + y^2}} \right)_{y \gg x} = \frac{4mGy}{c^2 R}$$

وهي ضعف القيمة التي نتوقعها باستعمال النظرية النيوتنية إذ نجد:

$$(XII-225) \quad U = \frac{Gm}{r} \quad \text{مع} \quad \gamma = \text{grad } U$$

فإذا كان الجسيم يتحرك على مسار متواز مع Oy على مسافة R من جسم كتلته m تكون معادلة الحركة:

$$(XII-226) \quad \frac{d^2x}{dt^2} = Gm \frac{\partial}{\partial x} \left( \frac{1}{r} \right) = - \frac{Gm}{r^2} \frac{\partial r}{\partial x} = - \frac{Gmx}{r^3}$$

وإذا كانت سرعة الجسيم تساوي سرعة الضوء نجد:

$$(XII-227) \quad \frac{d^2y}{dt^2} = 0 \quad , \quad \frac{dy}{dt} = c.$$

فتكون قيمة التسارع إذا  $x = R$

$$(XII-228) \quad \frac{d^2x}{dt^2} = c^2 \frac{d^2x}{dy^2} = - \frac{GmR}{(R^2 + y^2)^{\frac{3}{2}}}$$

أي تقريباً:

$$(XII-229) \quad x = R - \frac{Gmy}{c^2 R}$$

وتكون قيمة انحراف الأشعة الضوئية:

$$(XII-230) \quad \alpha' = \frac{2mG}{c^2 R}$$

ولقد قيس فعلاً انحراف الأشعة الضوئية في مجال جاذبي شديد وذلك بمراقبة النجوم الثابتة المتواجدة مثلاً في اتجاه قريب من اتجاه الشمس. ويمكن إجراء هذا القياس في حال كسوف الشمس إذ يكون ضوء الشمس خافتاً مما يتيح مشاهدة النجوم. تنحرف الأشعة القادمة من هذه النجوم عند مرورها في مجال جاذبية الشمس. فإذا كان ذلك صحيحاً يجب أن تشاهد هذه النجوم باتجاه مغاير قليلاً عن اتجاهها عندما لا تكون الشمس في هذا الاتجاه. وبعض النجوم التي تحجبها الشمس عادة تصبح مرئية بسبب تقوُّس الأشعة الضوئية.

وقد جرت خلال كسوف عام 1919 مشاهدة نجوم في مجموعة النجوم القلاص Hyades القريبة ظاهرياً عندئذ من الشمس. وتتفق القيمة المقيسة لهذا الانحراف مع توقعات نظرية أينشتاين. ولكن القيمة المقيسة تقريبية في الواقع بسبب صغرها ( $\alpha = 1''75$ ).

نشير أيضاً إلى النتائج التي حصل عليها كامبل Campbell وترمبلر Trumpler<sup>(33)</sup> اللذان وجدوا:

$$(XII-231) \quad \alpha_1 = 1''72 \pm 0''11, \quad \alpha_2 = 1''82 \pm 0''15.$$

بيد أن الظواهر المقيسة هي في حدود دقة التجربة.

### ج - نتيجة أخرى للنسبية العامة: انزياح الطيف نحو الأحمر

تشكّل التجارب المتعلقة بتقدم نقطة رأس عطارد وانحراف الأشعة الضوئية قرب الأجسام اختباراً لحل سفارتزشيلد. أما انزياح الطيف نحو الأحمر رغم أنه يمكن تفسيره بالاستناد إلى بعض خصائص هذا الحل فهو لا يرتبط حتماً بالمسارات قرب الأجسام التي تتوقعها النسبية العامة.

يجب أولاً التمييز بين الانزياح نحو الأحمر الذي ندرسه في هذا المقطع، والانزياح نحو الأحمر الذي اكتشفه هبل Hubble عام 1929 في طيف السديم Nebula خارج المجرات. فهذه الظاهرة التي يكون فيها الانزياح كبيراً تبقى صعبة الفهم. وهناك نظريتان لتفسيرها:

W.W. CAMPBELL et R. TRUMPLER. Lick Observatory Bull. 11, 1923, 41 et 13, 1928, (33) 130.

M.W. OVENDEN. Sci. Progr. 40, 1952, 645.

S.A. MITCHELL. Eclipses of the Sun, 1951 (New-York, Columbia Univ. Press).

a - النظريات الكونية cosmological التي تعرض عدة نماذج للكون المتوسع.

b - نظريات «تعتق» Aging الضوء لدى مروره في الفضاء الكوني.

لن ندرس في هذا الكتاب ظاهرة هبل بل سنكتفي بدرس الانزياح نحو الأحمر في الأشعة الصادرة عن جسم موجود في مجال جاذبية جسم آخر ساكن وبتناظر كروي (كمجال الشمس مثلاً).

الذرات التي تكوّن الحدود الغازية لنجمة ثابتة تشكّل مصادر ضوئية في مجال جاذبية النجمة. ويمكن اعتبار هذه الذرات ساعات يقاس وقتها الذاتي بواسطة ارتجاجاتها. التردد الذاتي  $\nu_0$  لهذه الذرة هو عدد الارتجاجات في وحدة الوقت الذاتي.

$$(XII-232) \quad ds^2 = c^2 d\tau^2. \quad \text{مع} \quad \nu_0 = \frac{dN}{d\tau}$$

لنعتمد نظام إحداثيات تكون فيه النجمة الساكنة والسرعة الوسطية للذرة منعدمة والصيغة الأساسية في موقع الذرة:

$$(XII-233) \quad ds^2 = g_{00}c^2 dt^2.$$

المشاهد الثابت في هذا الهيكل الإسنادي يعتبر أن تردد الذرة هو:

$$(XII-234) \quad \nu = \frac{dN}{dt} = \nu_0 \sqrt{g_{00}}.$$

ولكن الصيغة الأساسية قرب النجمة هي صيغة شفارتزشيلد ولا تحتوي في هذه الحالة إلا على الحد المتناسب مع  $dt^2$ . واستناداً إلى الصيغة (XII-164) نجد:

$$(XII-235) \quad g_{00} = \sigma = 1 - \frac{2m}{rc^2} G.$$

فإذا أحلنا هذه النتيجة في المعادلة (XII-234) نجد:

$$(XII-236) \quad \nu = \sqrt{1 - \frac{2m}{rc^2}} G \nu_0 \approx \nu_0 \left( 1 - \frac{mG}{rc^2} \right)$$

وبالتالي:

$$(XII-237) \quad \frac{\Delta\nu}{\nu_0} = - \frac{mG}{rc^2}$$

فالمشاهد الموجود على الأرض مثلاً يجد أن تردد الذرات على سطح الشمس يقل عن التردد الذاتي بالكمية  $\Delta\nu$ . فإذا كانت  $M$  و  $R$  ترمز إلى كتلة وشعاع الشمس نجد:

$$(XII-238) \quad \frac{\Delta\nu}{\nu_0} = - \frac{MG}{c^2 R}$$

ولكن التردد  $\nu_0$  هو تقريباً تردد إشعاع ذرة من ذات النوع على سطح الأرض. وذلك لأن المسافة بين النجمة إلى هذه الذرة الأرضية هي كبيرة إلى درجة يمكن فيها اعتبار  $g_{00} = 1$  فيكون الفرق  $\Delta\nu$  منعدماً. هكذا تبدو خطوط طيف ذرات النجوم زائحة نحو الأحمر إذا قورنت بخطوط طيف الذرات الأرضية من ذات النوع.

يكبر هذا الانزياح كلما اشتد المجال الجاذبي للنجمة. ففي حالة الشمس نجد:

$$(XII-239) \quad M = 1.983 \times 10^{33} \text{ gr.}, \quad R = 6.95 \times 10^{10} \text{ cm.}$$

ومن ثم:

$$(XII-240) \quad \frac{\Delta\nu}{\nu_0} = - 2.10 \times 10^{-6}.$$

وتكون هذه الظاهرة ثلاثين مرة أكبر للذرات على سطح النجم المسمى رفيق الشُّعْرَى اليمانية Sirius ذي الكثافة القريبة من كثافة الماء. وتتفق القيم المقاسة في هذه الحالة مع توقعات النسبية العامة<sup>(34)</sup>.

مع ذلك نشير إلى أن الانزياح نحو الأحمر يفترض فقط الصيغة (XII-235) للكُمون  $g_{00}$  أي:

$$(XII-241) \quad g_{00} = 1 + U.$$

وأن هذا الانزياح يتفق تماماً مع أية نظرية تتوقع تغيُّراً في التردد بالصيغة (XII-236) وهذا هو حال النظريات الإقليدية للجاذبية (بيركهوف Birkhoff وموشينسكي Moshinsky<sup>(35)</sup>). فرغم أن هذا الانزياح يمكن تفسيره باستعمال نتائج

SAINT-JOHN. Astrophys. Journ. 1928, 67, 165. (34)

ADAMS. Proc. Nat. Acad., 1925, 11, 383.

D.M. POPPER. Astrophys. Journ., 120, 1954, 316.

G.P. KUIPER.

BIRKHOFF. Proc. Nat. Acad., 1943, 29, 231. (35)

النسبية العامة فإنه لا يمكن اعتباره اثباتاً للتأويل الهندسي للجاذبية. إذ يمكن تفسيره أيضاً في نطاق كون مينكوفسكي ومبادئ النسبية الخاصة.

ونشير أيضاً أنه بالرغم من أن الظواهر الثلاث التي درسناها هنا تتفق تجريبياً مع توقعات النسبية العامة، فإن الظاهرتين الأخيرتين تبقيان على حدود دقة القياسات التجريبية.

يبقى أن السند الأقوى لنظرية النسبية التي تتفق معها التجارب دون أن تفرضها هو في تناسقها الداخلي وبساطة مبادئها والتعميم الطبيعي لمبدأ النسبية الذي تطرحه. إذ تقدم هذه النظرية التفسير الطبيعي الوحيد لتكافؤ الكتلة الجاذبية والكتلة العطالية. فهي المثل الرائع لنظرية حقيقية للمجالات، أي النظرية التي تكون فيها حركة المصادر جزءاً من قوانين المجال.

يبدو إذاً من المغري أن نحاول توسيع هذه النظرة الإندماجية لتشمل المجال الكهرمغناطيسي الذي يبقى بعيداً كل البعد عن الصياغة الهندسية. وبعد أن كانت النظرية الكهرمغناطيسية نموذجاً لصيغة مبدأ النسبية الخاصة تبقى رافضة الانصياع لفكرة النسبية العامة. إذ تبقى مساهمة المجال الماكسويلي بالموتر  $T_{\mu\nu}$  خارجية عن النظرية النسبية العامة. وحركة الأجسام المشحونة تنتج عن قوى مستقلة تماماً عن المجال الجاذبي.

وعكس ذلك يمكن أن نتأمل أن الصياغة الهندسية لمجال معمم تتيح توسيع نتائج حركة الجسيمات غير المشحونة لتتطبق على حركة الجسيمات المشحونة: فتكون حركتها ناتجة عن توافق معادلات المجال. أخيراً قد تبدو هذه الأولية لمفهوم المجال كتمهيد لنظرية المجال البحث تستخلص فيها خصائص الجسيمات بكاملها من خصائص المجال. وتبقى هذه الطموحات الواسعة بعيدة كل البعد عن التحقيق حتى في النطاق الكلاسيكي. طبعاً تبقى مفاهيم النظريات الكمومية إلى درجة كبيرة خارج نطاق النسبية العامة. إذ إن تكميم المعادلات غير الخطية مثل معادلات مجال الجاذبية يطرح مسائل صعبة لم تتبين أية حلول أو تأويلات واضحة لها.

## النظريات التوحيدية للكهرمغناطيسية والجاذبية الصفات المميزة لنظرية المجال البحث

### النظريات التوحيدية والنظريات غير الثنائية non dualist

نعني عادة بالنظرية التوحيدية تأويلاً مشابهاً (وغالباً هندسياً) للظواهر الكهرمغناطيسية والجاذبية. فتشكّل معادلات المجال التي تستخلص من هذه النظرية شروط بنية الفضاء غير الإقليدي.

وتطلق أيضاً صفة التوحيدية على النظرية التي تحاول دمج مفاهيم المجال والجسيم. مبدئياً ليس هناك قاسم مشترك بين هذين النوعين من المحاولات التوحيدية إلا تشابه الاسم. بيد أن محاولات قد جرت لصياغة نظريات تجمع بين هذين النوعين من التوحيد: صياغة هندسية للمجال الكهرمغناطيسي والمجال الجاذبي ودمج خصائص الجسيمات بالمجال المعمّم. حالياً ليس هناك نظرية مصاغة من هذا النوع حتى في النطاق الكلاسيكي البحث. ورغم عدم التوصل حتى الآن إلى صياغة نظرية حقيقية للمجال البحث يمكن أن نفكر أن نظرية توحيدية للمجال المعمّم (الكهرمغناطيسي والجاذبي) قد تتيح استخلاص حركة النقط الشاذة (أي مصادر المجال) من معادلات المجال المعمّم. فلا يبدو وجود هذه النقط الشاذة خارجياً عن المجال. بل إن حركة هذه النقط الشاذة تستخلص من الشروط التي يخضع لها المجال.

هناك إذا قرابة بين هاتين العمليتين للدمج: تأويل موحد للمجال وعدم التمييز بين المجال ومصادر المجال أو استخلاص حركة الجسيمات من الشروط المفروضة على المجال، (وهذا موضوع مختلف تماماً).

لتحاشي أي التباس سنحتفظ بالتعبير «النظريات التوحيدية» لمحاولات دمج النظرية الكهرمغناطيسية بالجاذبية، وسنطلق على محاولات الدمج بين مصادر المجال والمجال ذاته اسم «النظريات غير الثنائية».

## أ - النظريات التوحيدية

### 1) النظريات التوحيدية قبل النسبية العامة

يمكن أن نتساءل أولاً إلى أي مدى يجب إيجاد رابط بين الكهرمغناطيسية والجاذبية. فالشحن والكتل تتفاعل عن بعد حسب القانون  $\frac{1}{r^2}$ . رغم هذا الشبه الشكلي لم يكن بالإمكان صياغة نظرية توحيدية unified theory تلعب فيها الشحنة دوراً مشابهاً لدور الكتلة الجاذبية.

وقد جرت محاولة (فوبل - وين Föppl-Wien) لصياغة التفاعلات الجاذبية على نموذج التفاعلات الكهربائية عن بعد. وذلك بتحويل قوة الجاذبية إلى نوع من الموازنة بين التفاعلات وبين الشحن بصياغة مشابهة لنظرية لورنتز في الإلكترونات. ولكن تعارض إشارات القوى النيوتنية والكولونية (في حالة الشحن بإشارة واحدة) يقود إلى اختلافات كبيرة بين النظريتين مما يجعل دمج النظريتين مستحيلاً.

وبعد صياغة النسبية الخاصة أصبح من المألح إيجاد صياغة توحيدية أو على الأقل التوصل إلى قانون للجاذبية يتفق مع النسبية الخاصة على نموذج البصريات.

فقد ربحت البصريات الجولة في صراعها مع الميكانيك الكلاسيكي (التقليدي) وأصبحت معادلات ماكسويل الثابتة في تحويل لورنتز نموذجاً للفيزياء النسبية. هكذا حلت النظريات النسبية للمجال محل نظريات التفاعل عن بعد التي هيمنت على كل الفيزياء في أوائل القرن التاسع عشر لتكون رائدة في الفيزياء. وبانقلاب الأدوار هذا أصبح على الجاذبية أن تتبع نموذج البصريات.

ولكن رغم المحاولات المبتكرة لم تبدُ أيّة نظرية نسبية للجاذبية مقبولة. وبشكل خاص اصطدمت محاولات منكوفسكي ثم محاولات منكوفسكي وبوانكاريه بالتناقض بين المحافظة على الشحن الكهربائية والكتلة المتغيرة مع السرعة. فقد انتهت إلى الفشل جميع المحاولات لصياغة نظريات توحيدية حتى عام 1916 وهو تاريخ صياغة النسبية العامة.



## (2) النسبية العامة وصياغة النظريات التوحيدية

لقد اقترح أينشتاين تأويلاً عميقاً وفريداً للظواهر الجاذبية عندما اقترح نظرية النسبية العامة. فأصبح قانون الجاذبية المعبر عنه بشروط بنية فضاء ريمان متفقاً مع نظرية النسبية. وتتيح هذه النظرية الجديدة إيجاد نظرية نيوتن في التقارب الأول، ومعالجة بعض التناقضات بين التجربة ونظرية نيوتن وأهمها تقدم نقطة رأس عطارد.

ولكن مسألة العلاقات مع الكهرمغناطيسية نقلت إلى ساحة أخرى. فالتأويل الهندسي للجاذبية يعزلها تماماً عن بقية الفيزياء وعن الكهرمغناطيسية بشكل خاص. فالنظرية التوحيدية لم تعد بتقريب ظواهر متباعدة نوعاً ما، بل بتوسيع الصياغة الهندسية للجاذبية كي تشمل الكهرمغناطيسية، وإلا يجب القبول بالصفة المميّزة للظواهر الجاذبية وتدخلها بطريقة فريدة في تحديد حركة الجسيمات المشحونة.

## (3) تأويل المجال الكهرمغناطيسي والمجال الجاذبي حسب النظريات التوحيدية

بعد النسبية العامة أصبح الهدف لأكثر النظريات التوحيدية توسيع الصياغة الهندسية التي ظهر نجاحها في حال المجال الجاذبي لتشمل المجال الكهرمغناطيسي.

تصوغ النسبية العامة قوانين الجاذبية بعشرة شروط على بنية تقوُّس الفضاء الريماني الرباعي. إذ إن هذا التقوُّس هو الميزة الوحيدة للفضاء الريماني. لكن هذه الإمكانية لتأويل قوانين الجاذبية كشرط بنية هندسية لا تترك مجالاً لمحاولات تأويل مشابهة للكهرمغناطيسية. وذلك لأن الإمكانات التي تتركها البنية الريمانية لا تسمح بوجود شروط إضافية تتناسب مع معادلات ماكسويل. لاستخلاص الكهرمغناطيسية من البنية الهندسية يجب إذاً توسيع النطاق الريماني والرباعي للنسبية العامة. فيمكن عندئذ التحرك في اتجاهين مختلفين تماماً.

### 1 - النظريات الريمانية بأبعاد أكثر من أربعة

مع المحافظة على الصفة الريمانية للفضاء يمكن توسيع أبعاده ليصبح خمسة أو ستة أبعاد. نشير في هذا النطاق إلى محاولات كالوزا <sup>(1)</sup> Kaluza عام 1921 ونظرية

KALUZA. Sitzungsber. d. Preuss. Akad. d. Wiss., 1921, p.966.

(1)

أينشتاين - ماير Einstein-Mayer<sup>(2)</sup> عام 1931 والنظريات الإسقاطية projective<sup>(3)</sup>، ونذكر أيضاً النظريات الأحداث بخمس عشرة متغيرةً للمجال (جوردان Jordan<sup>(4)</sup>) وتيري Thiry<sup>(5)</sup> ونظرية بودولانسكي Podolanski<sup>(6)</sup> بستة أبعاد). ويظهر الدور المساعد، للفضاء ذي الأبعاد الخمسة في النظريات الإسقاطية. ودمج الكهرمغناطيسية والجاذبية لا يتخذ معنىً فيزيائياً حقيقياً إلا في هذا الفضاء الخماسي المساعد والذي ليس هو الفضاء الفيزيائي ذاته. ومن المفيد في هذا الصدد مقابلة هذا التأويل بالتأويل الذي تفترضه مثلاً نظرية أينشتاين - برغمان - بارغمان Einstein - Bergmann<sup>(7)</sup> Bargmann أو نظرية بودولانسكي المذكورة أعلاه. إذ إن هذه النظرية تحاول تأويل الفضاء الخماسي أو السداسي كفضاء فيزيائي حقيقي ولكن بتركيب خاص. فالفضاء الخماسي الذي تقترحه نظرية أينشتاين - برغمان - بارغمان ينغلق على نفسه في الاتجاه الخامس. وفضاء بودولانسكي السداسي هو بشكل طبقات بحيث تكون نقط طبقة معينة هي نقط الفضاء الرباعي للزمان والمكان. تبقى هذه المحاولات أمينة على روحية النسبية العامة إذ تحاول إدخال فضاء ريماني لا يستعمل فقط صياغة توحيدية مقبولة بل بشكل فضاءً فيزيائياً حقيقياً.

وتتميز النظريات الخماسية باستطاعتها تأويل مسارات الجسيمات المشحونة كفضائل من الخطوط التقاصرية. كل فصيلة منها تناسب قيمة  $\frac{e}{m}$ . وما هذه إلا تعميم للنتائج التي حصلت عليها النسبية العامة في حالة الجسيمات غير المشحونة.

غير أن عدداً كبيراً من الفيزيائيين يعتبر هذه المحاولات اصطناعية. فنجاح صياغة مناسبة للفضاء الخماسي يُقنَع فقط التقصير في إيجاد تطوير مناسب في الفضاء الرباعي الذي يبقى وحده الفضاء الفيزيائي الحقيقي. فالصياغة الاسطوانية (التي تعتبر كل كمية فيزيائية دالةً بأربع إحداثيات وليس خمساً) تبقى نقطة الضعف في الصياغات الخماسية. إذ إنها تحدّ من تباير covariance المعادلات لأن الإحداثية  $x^5$  تلعب دوراً خاصاً. فتقود إلى استحالة تحقيق الإندماج التوحيدي الكامل كما فعلت

EINSTEIN-MAYER. Berl. Ber., 1931, p.541; 1932, p.130. (2)

O. VELEN. Projective Relativitätstheorie, Berlin, 1933. (3)

W. PAULI. Ann. d. Phys., 18, 1933, 305.

JORDAN Ann. Phys., 1947, p.219. (4)

Y. R. THIRY. C.R. Ac. Sc., 226, 1948, 216 et 1881; Thèse, Paris (1950). (5)

PODOLANSKI. Proc. Roy. Soc., 201, 1950, 234. (6)

A. EINSTEIN, V. BARGMANN, P.G. BERGMANN. Theodore von Kármán Anni- (7)  
versary volume. Pasadena, 1941, p.212.

النظرية الكهرمغناطيسية مثلاً بدمج المجالين الكهربائي والمغناطيسي.

ب - النظريات الرباعية غير الريمانية

خلافًا لذلك يمكن الإحتفاظ برباعية الفضاء الفيزيائي، ولكن مقابل ذلك يجب التخلي عن الصفة الريمانية لهذا الفضاء، وذلك لاستيعاب شروط هندسية جديدة. فيصبح هكذا تركيب الفضاء أكثر تعقيداً.

التشكيلات الهندسية ذات الارتباط التآلفي يمكن أن تحتوي بشكل عام على فتل torison ونوعين من التقوس:

α - التقوس الريماني العادي أي «تقوس الدوران» المحدد برموز ريمان - كريستوفل Reimann-Christoffel:

$$\Omega_{\rho\mu} = R^{\rho}_{\mu\sigma} [dy^{\rho} \delta y^{\sigma}]$$

β - تقوس «تشابه الوضع» Homothetic المحدد بالثابت في التحويل:

$$\Omega = \Omega^{\mu}_{\mu} = R^{\mu}_{\mu\nu\sigma} [dy^{\nu} \delta y^{\sigma}]$$

γ - أخيراً يرتبط الفتل الذي أدخله كارتان Cartan بصفة اللاتناظر في مُعامل الارتباط التآلفي  $\Gamma^{\rho}_{\mu\nu}$  التي تعمم رموز كريستوفل  $\left\{ \begin{smallmatrix} \rho \\ \mu\nu \end{smallmatrix} \right\}$ .

$$\Omega^{\rho} = \Gamma^{\rho}_{\mu\nu} [dy^{\mu} \delta y^{\nu}]$$

في الواقع لم يلاحظ أكثر العاملين في هذا الموضوع مجموعة عناصر بنية الفضاء (أي الفتل والتقوسات) التي يمكن أن يستعملوها. لذلك استمرت النظريات التوحيدية مدة طويلة تبدو نظريات كيفية، يمكن دائماً إجراء تعديلات عليها.

في الواقع ان الإمكانات التي يمكن أن تطمح النظريات التوحيدية إليها في نطاق التشكيلات الهندسية ذات الارتباط التآلفي تنحصر في إمكانية استعمال عناصر البنية الهندسية الثلاثة (الفتل والتقوسين). فهناك نظريات بدون فتل ولكن بتقوسين مثل نظرية ويل Weyl<sup>(8)</sup> ونظريات يدخل فيها فتل دون تقوسات مثل نظرية أينشتاين<sup>(9)</sup> عام

H. WEYL. Sitzungsberichte d. Preuss Akad d. Wiss., 1918, 465; Ann. d. Phys., 59, 1919, (8) 101; [27] Chap. XI.

A. EINSTEIN, Théorie unitaire du champ physique, Ann. Inst., II. Poincaré. 1931. (9)

1929. أخيراً يمكن طرح نظريات بأي ارتباط تآلفي مع فتل وتقوسين. وقد أتاحت هذه الإمكانية لأينشتاين أن يطور نظرية توحيدية عامة تشكل الإمتداد الطبيعي لنظرية الجاذبية<sup>(10)</sup>.

#### 4) النظريات التوحيدية الكلاسيكية وامكانية توقعات جديدة

لا يمكن إنكار الفائدة المنهجية للنظريات التوحيدية في النطاق الكلاسيكي. فهي تتيح عملية دمج هندسي واسع يقود طبيعياً إلى معادلات الجاذبية والكهرومغناطيسية. ولكن يؤخذ على هذه النظريات الإكتفاء بهذا الدمج دون محاولة إيجاد توقعات مبتكرة خاصة بها. فرغم أنه من المفيد أن نشرك معادلات ماكسويل في صياغة أينشتاين للنسبية العامة، فقد يكون مخيباً للأمل أن لا نستطيع الذهاب أبعد من ذلك. ومن الطبيعي أن نفكر أن عملية مهمة مثل دمج الكهرومغناطيسية والجاذبية يجب أن تقود إلى توسعات نظرية جديدة. للأسف ظهرت النظريات التوحيدية أغلب الأحيان رافضة لأي شيء يتعدى المنهجية البحتة.

أما النظريات ذات المركبات الخمس عشرة للمجال ونظرية أينشتاين - شرودنغر الحديثة فإنها تحاول أن تتحاشى هذا المأخذ. بتخليها عن الدمج البسيط بين نظريتين كاملتي الصياغة تخلص هذه النظريات إلى قوانين تشكل قوانين أينشتاين وماكسويل الصيغة التقريبية الأولى لها.

نستطيع مثلاً تأويل نتائج النظرية لخمس عشرة متغيرة للمجال بالافتراض أن معامل الجاذبية  $\chi$  ليس ثابتاً<sup>(11)</sup> أو أن هناك استقطاباً للفراغ<sup>(12)</sup> أو أنه من المفيد ادخال فضاء مطابق conformal<sup>(13)</sup>. وتستخلص من معادلات المجال في هذه النظرية معادلات الحركة للجسيمات المشحونة. ويمكن تحديد هذه الحركة بالدقة التي نتوخاها بطريقة التقارب المتتالية.

ومن جهة ثانية تقود نظرية أينشتاين - شرودنغر إلى معادلات كهرومغناطيسية غير خطية وتدخل فيها حدود ناتجة عن الجاذبية. فيكون هناك ترابط وثيق بين

A. EINSTEIN. The Meaning of Relativity (Appendix II). (10)

M.A. TONNELAT. La Théorie du champ unifié d'Einstein, GAUTHIER-VILLARS 1955.

Y. THIRY. Thèse, Paris 1950. (11)

A. LICHNEROWICZ. [25], p.201. (12)

F. HENNEQUIN. Thèse, Paris, 1955. (13)

الكهرمغناطيسية والجاذبية. وتتيح أخيراً هذه النظرية تحاشي بعض الصعوبات التي تعترض الكهرمغناطيسية الخطية.

عملياً يمكن أن تقود هذه النظريات إلى توقعات يمكن مقارنتها بالتجربة إذا كانت الظواهر المتوقعة في نطاق الإمكانات التجريبية المتاحة. لننظر مثلاً في تغيرات معامل الجاذبية  $\chi$  المرتبطة بالنسبة  $\frac{e}{m}$  في بعض تأويلات النظريات بخمس عشرة متغيرة للمجال. قد يظهر هذا التوقع متفقاً مع وجود مغناطيس الدوران أي تكوين مجال مغناطيسي بدوران الأجسام غير المشحونة ( $\mu \neq 0, \rho = 0$ ). وما هذه إلا ظاهرة بلاكت Blackett التي اقترحت لها صيغة تجريبية empirical. للأسف يبدو أن مغناطيس الدوران هذا، إذا كان موجوداً فعلاً، له تأثيرات أقل بكثير مما تتوقعه قاعدة بلاكت. إن أي اختفاء أو تحوير في هذه الظاهرة لا يؤكد (ولا ينفي طبعاً) تأويلات نظرية جوردان - تيري Jordan-Thiry.

وكذلك هو حال التأثيرات بين المجال الجاذبي والمجال الكهرمغناطيسي التي تتوقعها نظرية أينشتاين - شرودنغر. فوجود تيار يرجع فقط إلى تقويس الفضاء يبقى أبعد من أن تكشفه التجربة. والظواهر المميزة التي تتوقعها هذه النظرية التوحيدية صغيرة إلى درجة أنه لا يمكن اعتمادها كاختبار تجريبي للنظرية، أو كدليل على التأويل الفيزيائي للكيميائ الهندسية المنبثقة عن النظرية ذاتها. وتعود هذه الصعوبات إلى الضعف في الوسائل التجريبية في مجالات هذه النظريات.

## 5) النظريات التوحيدية والنظريات الكمومية

يشكل وجود النظريات الكمومية الحاجز الأكثر صعوبة لصياغة النظريات التوحيدية. فقد بقيت حتى الآن كل محاولات التوحيد بين مجال الجاذبية والمجال الكهرمغناطيسي المكتم في مرحلة ما قبل الولادة. ويمكن أن نتساءل أيضاً هل أن مجال الجاذبية ذاته يمكن تكميته، وهل من المناسب أن نحاول تكميته. وتتنوع محاولات تكميم مجال الجاذبية تبعاً للصياغة الكلاسيكية المستعملة كأساس لهذا التكميم.

### 1.5 - النظريات الخطية

تفترض هذه النظريات أن ظواهر الجاذبية تخضع بدقة لمعادلات خطية. ويمكن استخلاص هذه المعادلات من التقريب شبه الغاليلي لقانون أينشتاين. ولكن هذه في الواقع طريقة استكشافية heuristic لا ترتبط مبدئياً بأي تأويل غير إقليدي دقيق.

ويمكن أيضاً أن نستخلص المعادلات الخطية للجاذبية من معادلات المجال لجسيم ذي دومة 2 أو من معادلات الموجة لهذا الجسيم.

في هذه الحالات يصبح من الأسهل تصور تقريب بين هذه المعادلات الخطية وبين المعادلات الكهرمغناطيسية التي هي أيضاً خطية. ومن جهة ثانية ليس هناك مبدئياً صعوبات تعترض تكميم المعادلات الخطية للجاذبية لأن ذلك التكميم يستعمل تكافؤ التغيير في فضاء مينكوفسكي أي فقط في تحويلات لورنتز.

ولكن للأسف عند تجريد هذه المعادلات من التأويل الهندسي الذي هو محور النسبية العامة تصبح كيفية إلى درجة كبيرة. فهي تتيح سهولة خادعة لأنها لا تستند إلى بدهاء ولا إلى التجربة. عكس ذلك إن مجرد عدم وجود موجات الجاذبية يبدو أنه يبعد نظرية الجاذبية عن أية صياغة خطية واضحة.

## 2.5 - النظريات غير الخطية

تفترض هذه النظريات أن مجال الجاذبية يخضع للمعادلات التفاضلية المنبثقة عن نظرية أينشتاين. ولكنها تستغل نتائج النسبية العامة بطريقة مختلفة.

فإما أن تفترض هذه النظريات أن معادلات أينشتاين تشكل صياغة مقبولة ولكنها يجب أن تعتبر في فضاء إقليدي تماماً، ويكفي لذلك افتراض تكافؤ تغيير تحويلات لورنتز فقط<sup>(14)</sup>. وإما أن تعطي هذه النظريات للمعادلات غير الخطية التأويل غير الإقليدي الذي اقترحه أينشتاين. يجب عندئذ قبول تكافؤ التغيير العام لهذه المعادلات في أي تحويل للإحداثيات. في هذه الحالة الأخيرة تعترض طريقة التكميم صعوبات عديدة. يظهر حالياً إذاً أنه لا يمكن الحصول على قوانين مكممة للجاذبية بطريقة واضحة.

حتى إذا افترضنا أن تكميم مجال الجاذبية هدف مرجو دون قيود، فإننا لم نصل بعد إليه بطريقة مرضية. إما أن ينطبق هذا التكميم على معادلات خطية اصطناعية إلى درجة كبيرة، أو أنه يصطدم بصعوبات تجعله كلفياً. ومن جهة ثانية يظهر أن تكميم المجالات الأخرى محتم مما يدعونا إلى الاعتقاد أن صياغة النظريات التوحيدية هدف طبيعي ما دمنا في النطاق الكلاسيكي. ومن نواح كثيرة يمكن أن يكون هذا الهدف مصدر تقدم إذ إنه قد ينبج صياغة غير خطية للنظرية الكهرمغناطيسية مع الفوائد

(14) ارجع مثلاً إلى

GUPTA, Quantification du champ de gravitation d'Einstein. Approximation linéaire, Proc. Phys. Soc., 65 n°3, 1952, p.161.

(وأيضاً العقبات) المرتبطة بهذه الصياغة غير الخطية. فقد يعطي تأويلاً أكثر اقناعاً لحركة المصادر، وقد يكشف عن ارتباط بين المجالات. أخيراً قد يزيل الاعتباطية في صياغة النسبية العامة المتعلقة باختيار المتر  $T_{\mu\nu}$ . فهو إذا التوسع الطبيعي لنظريات المجال ويتطلب فقط مقارنتها مع التجربة.

أما في مجال التكميم فيبدو أن صياغة النظريات التوحيدية أو حتى نظرية الجاذبية وحدها لم تتحقق حتى الآن بطريقة مرضية. وقد لا تتحقق أبداً أو قد يكون هذا الهدف بدون معنى.

لقد ظهر في السنوات الأخيرة أن النظرية الكمومية للمجالات قد حققت بعض طموحات الفيزياء النظرية. فقد نجحت بأن تتفق مع التجربة بشكل رائع. ولا شك في أن نجاح نظرية فيزيائية يقاس بمقدرتها على التوقع. إن وجود نظريات استنتاجية ومنبثقة عن مبدأ هندسي بسيط وقابل للتوسعات المنطقية هو طريق صعب ولكنه جذاب. لذلك نأمل أن تكون النظريات التوحيدية قادرة على صياغة توقعات جديدة يمكن مقابلتها مع التجربة، وأن تنجح الكهرياء التحريكية الكمومية بإيجاد تنسيق أوثق بين هذه التوسعات. وقد يكون هذا مبدأ التقريب الحقيقي الذي لا يمكن وليس من المعقول أن نشرع به بطريقة منهجية. ولكنه يبقى لا غنى عنه لاستكمال نظريات المجال.

## ب - النظريات غير الثنائية

### (6) المجال ومصادره

تبقى العلاقة بين المجال ومصادره، كما كانت دائماً، إحدى أصعب المسائل التي على الكهرياء التحريكية حلها في النطاق الكلاسيكي كما في النطاق الكمومي. إذا أردنا تبسيط المسألة إلى أقصى حدود نقول إن فكرة المصادر النقطية تصطدم بالصعوبات المعروفة للطاقة الذاتية اللامتناهية. ولكن مفهوم المصادر الكبيرة يخالف متطلبات النسبية وتلازمه فرضيات كيفية في أغلب الأحيان. بين النظريات العديدة التي صيغت حول هذا الموضوع نستطيع أن نميز بين النظريات الثنائية والنظريات غير الثنائية.

أ - النظريات الثنائية تفترض أن الجسيمات التي هي مصادر المجال تبقى مع خصائصها المميزة مثل الكتلة والشحنة الكهربائية مستقلة عن المجال ذاته. في هذا السياق نذكر مثلاً الأبحاث التي تتحاشى صعوبات الطاقة اللامتناهية بإدخال مجالين يعوض الواحد عن الآخر. وقد طُوِّرت نظريات مبنية على أسس مختلفة منذ ذلك الحين

وتشكّل حالياً الكهرباء التحريكية الكلاسيكية.

ب - عكس ذلك تفترض النظريات غير الثنائية أن المصدر والمجال ليسا مستقلين الواحد عن الآخر.

لنتحاشَ فرضيات البنية structure كما في النظريات القديمة للإلكترون التي لا تصلح للصياغة النسبية. لقد صيغت نظريات تدخل فيها أوقات متعدّدة أو نظريات غير خطية. وقد ظهر أن النظريات من كلا النوعين غير صالحة للتكميم.

لقد تطرقنا مثلاً في الفصل التاسع إلى مبادئ نظرية مي Mie ونظرية بورن وانفدل. هذه الأخيرة تستند إلى وجود علاقات غير خطية بين المجال والتحريض الكهرمغناطيسي. وهذه اللاخطية تتيح تحديد مجال كهرمغناطيسي متناه في كل نقطة من الفضاء حتى في موقع الجسيم النقطي بدلاً من المجال الماكسويلي اللامتناهي في موقع الجسيم النقطي.

ويتيح هذا تحديد كميات مميزة للجسيم مثل شحنته وربما كتلته تبعاً للكميات المميزة للمجال، وكذلك كثافات الشحنة والتيار والكتلة. هذا الدمج ممكن ما دام المجال الكهربائي (الذي يميز الشحنة) يبقى متناهياً في موقع الشحنة، وهذه الخاصية ناتجة عن لاخطية المعادلات في هذه النظرية.

بطبيعة الحال نظرية بورن هي نظرية كهرمغناطيسية وإقليدية بحتة، وليس لها أية علاقة مباشرة مع النظريات التوحيدية.

## 7) اللاخطية ومميزات نظرية المجال البحث

هناك ميزة مشتركة لإلكترونية بورن ونظريات الجاذبية هي اللاخطية. واستناداً إلى نتائج النسبية العامة هذه اللاخطية شرط ضروري ولكنه غير كافٍ<sup>(15)</sup> لاستنتاج حركة النقط الشاذة من معادلات المجال.

### 1.7 - استخلاص معادلات الحركة

تبنى الكهرباء التحريكية الكلاسيكية على معادلات ماكسويل التي هي معادلات

(15) يجب أن تخضع أيضاً معادلات المجال إلى أربع معادلات تطابقية على الأقل. وهذا ليس صحيحاً في حالة الكهرباء التحريكية (حتى الكهرباء التحريكية غير الخطية) انظر الصفحة 241 من المرجع Berg-



تفاضلية جزئية من الرتبة الأولى. وهي معادلات خطية (أي لا يدخل فيها جداء دوال المجال أو مشتقاتها). فيكون حاصل جمع أو طرح حلين لهذه المعادلات حلاً أيضاً لهذه المعادلات. إذا كوّن جسيما مجالين كهرمغناطيسيين عندما يكون كل منهما منفرداً يكون كل من هذين المجالين حلاً لمعادلات ماكسويل. وإذا كان الجسيما مجتمعين يكونان معاً مجالاً كهرمغناطيسياً يساوي مجموع المجالين. وهذا المجموع هو أيضاً حل لمعادلات ماكسويل. في هذه الحالة يستحيل أن نستخلص من معادلات ماكسويل شرطاً إضافياً لتمييز تفاعل الشحنتين أي قانون كولون. لإيجاد هذا الشرط الإضافي يجب أن يكون المجال الإجمالي للجسيمين مجتمعين حلاً لمعادلات المجال في حالة توفر هذا الشرط وفقط في هذه الحالة. وهذا الشرط المفروض على معادلات المجال ذاتها يشكل بالضبط معادلات الحركة للجسيمين. ولكن إذا كانت معادلات المجال خطية فإن هذا الشرط ليس ضرورياً لأن مجموع المجالات الجزئية هو دائماً حل مناسب لمعادلات المجال.

هذا الشرط الإضافي لا يمكن إذا استخلاصه من معادلات المجال بل يجب فرضه مستقلاً عن هذه المعادلات: ويشكل هذا الشرط صيغة قوة لورنتز.

أما إذا كانت معادلات المجال غير خطية لا يكون مجموع مجالين يشكّلان حلين لهذه المعادلات حلاً لهذه المعادلات أيضاً. فالمجال الإجمالي لجسيمين ليس حلاً إلا إذا توفرت بعض شروط الإنسجام. هذه الشروط يمكن عند الاقتضاء أن تشكل معادلات الحركة لهذين الجسيمين. فتكون حركة الجسيمين محدّدة بمعادلات المجال ذاتها: وهذه الحركة هي تماماً ما يجعل شروط الإنسجام محققة.

ومعادلات الجاذبية التي يقترحها أينشتاين ليست خطية. الجانب الأيسر من المعادلات  $S_{\mu\nu}$  هو دالة في المشتقات الثانية لكمون الجاذبية  $g_{\rho\sigma}$  وجداء المشتقات الأولى  $S_{\mu\nu} (\partial_\lambda^2 g_{\rho\sigma}, \partial_\lambda g_{\rho\sigma}, g_{\rho\sigma})$ . أما الجانب الأيمن  $T_{\mu\nu}$  فيمثل مساهمة المادة التي تكون مجال الجاذبية. يمكن إذا أن نستخلص معادلات الحركة (أي في التقريب الأول قانون نيوتن) من قانون مجال الجاذبية. لذلك يمكن اعتبار النسبية العامة نظرية للمجال أكثر كمالاً من الكهرباء التحريكية.

## 2.7 - دمج مصادر المجال بالمجال ذاته

في المحاولات الأخيرة لأينشتاين كانت الجسيمات تندمج في بنية المجال ذاته إذ «يمكن أن نعتبر المادة كمناطق من الفضاء حيث المجال شديد جداً... فالحجر الذي يسقط هو في هذه النظرة مجال متغير تسقط فيه المنطقة ذات شدة المجال الأكبر

بسرعة الحجر. في هذه الفيزياء الجديدة ليس هناك مكان للمادة والمجال بالوقت ذاته لأن المجال هو الحقيقة الوحيدة».

وفعلاً يحاول أينشتاين أن يستخلص مساهمة المادة (أي الجانب الأيسر  $T_{\mu\nu}$  في معادلات المجال) من المساهمة الهندسية البحتة (الجانب الأيمن أي  $S_{\mu\nu}$ ) للمجال المعمم. لذلك يجب طبعاً أن يحتوي الموتر  $S_{\mu\nu}$  المساهمة المحتملة للمجال الكهرمغناطيسي. هكذا تبدو النظرية غير الثنائية الكاملة في منظار النسبية العامة (أي اندماج المصادر بالمجال) حتماً نظرية توحيدية (لمجال الجاذبية في المجال الكهرمغناطيسي).

يبدو إذاً أن النظرية التوحيدية في الفيزياء لا تكون بانسجام داخلي إلا إذا كانت توحيدية مضاعفة وذلك:

أ - بدمج المجال الكهرمغناطيسي ومجال الجاذبية بحيث تشتمل على الكهرباء التحريكية الكلاسيكية.

ب - بدمج المجال المعمم هذا بالجسيمات فتكون حركة الجسيمات مستخلصة من معادلات المجال.

«إن النظرية المنسجمة للمجال، يقول أينشتاين، تفرض أن تكون جميع عناصرها متواصلة... ومن هنا نستخلص أن الجسم ليس له مكان كمفهوم أساسي في نظرية المجال. لهذا السبب لا يمكن اعتبار نظرية ماكسويل كاملة بالإضافة إلى كون هذه النظرية لا تشمل الجاذبية».

### ج - النظريات التوحيدية وغير الثنائية

لنقارن نتائج نظرية أينشتاين بنتائج الكهرباء التحريكية عند بورن - انفلد مثلاً.

ففي النظريتين نحاول أن ندمج مصادر المجال بالمجال ذاته. فهما نظريتان غير ثنائيتين. وفي النظريتين نستعمل معادلات غير خطية. وهذه المعادلات غير الخطية شرط أساسي للحصول على معادلات الحركة. ولكنها لا تشكل شرطاً كافياً لتحقيق هذا الهدف. فنظرية بورن - انفلد مثلاً إذا تركت إلى وسائلها الذاتية لا تقود إلى قانون كولون. وعكس ذلك نستطيع أن نحصل على معادلات حركة الجسيمات المشحونة إذا كانت معادلات مجال الجاذبية تحتوي في جانبها الأيمن مساهمة المجال الكهرمغناطيسي. نستطيع إذاً أن نسير باتجاه تطوير منسجم لنظرية المجال البحث باعتماد نظرية توحيدية من نوع نظرية أينشتاين - شروندغر.

فهذه النظرية هي غير ثنائية وغير خطية مثل نظرية بورن. ولكنها إضافة إلى ذلك تقود إلى تأويل توحيدي (للمجال الكهرمغناطيسي ومجال الجاذبية) بينما نظرية بورن - انفلد لا تعني إلا الكهرومغناطيسية. ومن جهة ثانية يتيح التأويل الهندسي، الذي هو في أساس هذه النظرية، إعطاء هذه النظرية تعليلاً حدسياً intuitively وأيضاً تحاشي الاعتباطية التي تدخل في التحديدات الجديدة لدالة الفعل ولموتر الطاقة المعمم.

ومن الطبيعي أن تكون الصعوبات متعددة في تأويل نظرية مزدوجة التوحيد (أي توحيدية وغير ثنائية). ونظرية أينشتاين - شرودنجر تعطي أمثلة متعددة عن هذه الصعوبات التي ربما بقيت مستعصية. ولكنها تشير إلى السبيل الذي قد يقود إلى نتائج مهمة إذا أدخلت عليها تعديلات.

هذا البحث عن التوحيد من خلال النظريات الكلاسيكية للمجال لا يؤكد تعلق أينشتاين بشكل محدد للنظرية. ولا يفسر «كتمسك وثيق بالنظرية الكلاسيكية». وفعلاً يتساءل أينشتاين عن ماهية النظرية الكلاسيكية. فنظرية نيوتن كانت تستعمل مفاهيم القوى التي استبدلت بالمجال المتواصل في نظرية هرتز وماكسويل التي كانت كلاسيكية أيضاً ولكن بطريقة أخرى. والنسبية العامة تعرض علينا صيغة مختلفة تقود إلى نظرية المجال البحث دون أن يكون نجاحها كاملاً. بيد أن النظرية الكلاسيكية موجودة كما يقول أينشتاين ولكنها «موجودة كمنهاج». فهي لا تعطي أية حجة نهائية للذين يشككون بمفهوم المتواصل ذاته. «فهذا الشك جدير بالاعتبار ولكن أين السبيل الآخر؟».

هل إن الصياغة الهندسية أي بشكل أدق هل إن النظرية الفيزيائية بمجملها ومن ضمنها الهندسة التي تقترضها هي مسألة يمكن التحقق منها؟ في الواقع يطرح السؤال مع ما يشمل من أمور كيفية كما في باقي الفيزياء. فحيوية المتطلبات التوحيدية ذاتها تجعلها تبحث على تحقيق ذاتها في المعطيات التي يقدمها لها كل عصر أي حالياً في صياغات رياضية تسندها وتقودها بالوقت ذاته. هذه الصياغة غالباً ما تتقدم على التأويل الحدسي للنتائج التي تقود إليها. والصعوبات تكمن عندئذ في غموض التحقيقات الذي تفرضه المعطيات التجريبية غير المؤكدة في أكثر الأحيان (النظريات الكونية) وفي صعوبة التكيف مع أساليب أخرى في مجالات مختلفة (كتلك التي تقترحها النظريات الكمومية مثلاً).

إن السبيل الذي تفتحه النظريات التوحيدية يطلب مزيداً من التعمق أكثر من التوسع فيه. عندئذ يمكن أن يكون مدخلاً مفيداً إلى اندماج ضروري ولكنه صعب.

## الجزء الرابع

---

### ملحق في الرياضيات

## الاستدلال في الفضاء المتجهي الإقليدي<sup>(1)</sup>

نقول إن الفضاء بعدد أبعاد  $n$  هو فضاء متجهي إذا كانت عناصره  $A, B, \dots$  (كل منها محدد بمركبات عددها  $n$ ) لها الخصائص العادية للمتجهات: التبادلية commutativity والتشاركية associativity والتوزيعية distributivity وتسمى العناصر  $A, B, \dots$  متجهات.

ويوصف الفضاء المتجهي بأنه إقليدي إذا كان لكل متجهين  $A$  و  $B$  جداء نرمرز إليه بالصيغة  $(A, B)$  له الخصائص العادية للجداء السلمي.

اصطلاح الجمع: نستعمل دائماً اصطلاح الجمع التالي: إذا تكرر مؤشر مكتوب في الأعلى وفي الأسفل في حاصل الضرب يعني ذلك الجمع على قيم هذا المؤشر سواء كتبت علامة الجمع  $\Sigma$  أو لا:

$$A_{\mu}B^{\mu} = A_1B^1 + A_2B^2 + \dots + A_nB^n$$

وليس لهذا المؤشر (الذي يعني ببساطة عملية الجمع) قيمة محددة: فهو مؤشر صامت ويمكن استبداله بأي مؤشر آخر  $(A_{\lambda}B^{\lambda} = A_{\mu}B^{\mu})$ .

وتنطبق نتائج هذا الفصل على أي فضاء إقليدي عدد أبعاده  $n$ . ولكن التطبيقات

(1) نستعمل الجزء  $A$  من هذا الفصل في الفصل السادس. الصياغة الرباعية للنسبية الخاصة «إلا أن هذه الصياغة للنسبية الخاصة تحد من بعض فرضيات الجزء  $A$  بحصرها في هياكل الإسناد المتعامدة والمنظمة. مع ذلك من المفيد كما ذكرنا في مقدمة الفصل السادس إدخال طريقة الاستدلال العامة للفضاء الإقليدي. وقد تركنا هذه الدراسة إلى الملحق في الرياضيات وهو موضوع هذا الفصل.

التي سنتطرق إليها هي في الفضاء الرباعي الإقليدي. وكما درج الاستعمال تأخذ المؤشرات اليونانية  $\mu, \nu, \rho, \sigma, \dots$  القيم 0, 1, 2, 3.

## أ - استعمال المحاور المستقيمة

### (1) التغير والتغير المخالف

ليكن S هيكلًا اسنادياً محدداً بالإحداثيات المستقيمة  $x^\mu$ . لكل محور متجه أحادي  $e_\mu$ . مما يجعل كل متجه A يكتب بالصيغة:

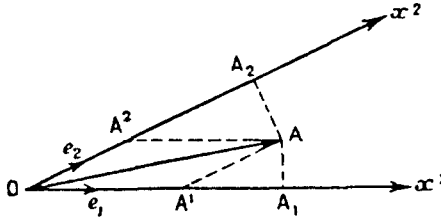
$$(XI-1) \quad A = A^\mu e_\mu$$

تمثل الكميات  $A^\mu$  إسقاطات projections المتجه A بالتوازي على محاور الإحداثيات. وتسمى هذه الكميات المركبات المخالفة للتغير contravariant components للمتجه A (انظر الرسم 42).

ومن جهة ثانية نحدد الكميات:

$$(XIV-2) \quad A_\mu = A \cdot e_\mu$$

وهي الإسقاطات العمودية للمتجه A على المحاور ونسميها المركبات الموافقة للتغير covariant components للمتجه A.



الشكل 42 - استعمال المحاور المنحنية.

ونسمي  $g_{\mu\nu}$  الجداء العددي (السلمي) للمتجهات القاعدية Base vectors:

$$(XIV-3) \quad (e_\mu \cdot e_\nu) = g_{\mu\nu}.$$

وتكون الأعداد  $g_{\mu\nu}$  والمتجهات الاحادية القاعدية  $e_\mu$  ثابتة في الفضاء أي أنها لا تتغير من نقطة إلى أخرى في الفضاء إذ إننا نستعمل إحداثيات مستقيمة. واستناداً إلى تحديدها بالذات تكون الكميات  $g_{\mu\nu}$  متناظرة أي:

$$(XIV-4) \quad g_{\mu\nu} = g_{\nu\mu}.$$

وتحسب المركبات الموافقة للتغير من المركبات المخالفة للتغير باستعمال الكميات  $g_{\mu\nu}$ .  
إذ إن:

$$(XIV-5) \quad A_\mu = A \cdot e_\mu = A^\nu (e_\nu \cdot e_\mu) = g_{\mu\nu} A^\nu.$$

وأخيراً نحدد الكميات  $g^{\mu\nu}$  بالعلاقة:

$$(XIV-6) \quad g_{\mu\rho} g^{\nu\rho} = \delta_\mu^\nu.$$

فنستنتج من العلاقات (XIV-5) و (XIV-6) أن:

$$(XIV-7) \quad g^{\mu\rho} A_\rho = g^{\mu\rho} g_{\rho\sigma} A^\sigma = \delta_\sigma^\mu A^\sigma = A^\mu.$$

مما يعني أن المركبات الموافقة للتغير والمركبات المخالفة للتغير لمتجه معين ترتبط بالعلاقة:

$$(XIV-8) \quad A_\mu = g_{\mu\nu} A^\nu, \quad A^\mu = g^{\mu\nu} A_\nu.$$

لتكن  $g$  محددة الأعداد  $g_{\mu\nu}$  أي:

$$(XIV-9) \quad g = \text{Det. } g_{\mu\nu}.$$

فنستنتج بسهولة من المعادلة (XIV-6) أن المحدد الأصغر minor لـ  $g_{\mu\nu}$  هو:

$$(XIV-10) \quad \text{minor } g_{\mu\nu} = g g^{\mu\nu}.$$

حالة خاصة: هيكل الإسناد المتعامدة: إذا كانت الإحداثيات متعامدة نجد من التحديد (XIV-3) أن:

$$(XIV-11) \quad e_\mu \cdot e_\nu = \delta_{\mu\nu}.$$

حيث:

$$(XIV-12) \quad \delta_{\mu\nu} = \begin{cases} 0 & \mu \neq \nu \\ 1 & \mu = \nu. \end{cases} \quad \begin{array}{l} \text{إذا} \\ \text{إذا} \end{array}$$

إذا:

$$(XIV-13) \quad g_{\mu\nu} = \delta_{\mu\nu}$$

ومنها استناداً إلى (XIV-8):

$$(XIV-14) \quad A^\mu = A_\mu.$$

مما يعني إذا كنا نستعمل الإحداثيات المتعامدة والمنظمة ( $g_{\mu\nu} = \delta_{\mu\nu}$ ) أنه لا ضرورة للتمييز بين المركبات المكافئة التحويل والمركبات المعاكسة التحويل. لذلك لا يستعمل هذا التمييز في المسائل المتعلقة بالفضاء الثلاثي الإقليدي شرط أن نستعمل الاحداثيات المتعامدة والمنظمة وهذا دائما ممكن.

## (2) تنظيم المتجهات - الجداء العددي (السلمي) لمتجهين

يحدد الجداء السلمي لمتجهين A و B في فضاء متجهي بالصيغة:

$$(XIV-15) \quad A \cdot B = (A^\mu e_\mu) \cdot (B^\nu e_\nu) = A^\mu B^\nu (e_\mu \cdot e_\nu).$$

أي استناداً إلى الصيغة (XIV-3):

$$(XIV-16) \quad A \cdot B = g_{\mu\nu} A^\mu B^\nu.$$

ويكون المتجهان متعامدين إذا انعدم جداؤهما العددي أي:

$$(XIV-17) \quad A \cdot B \equiv g_{\mu\nu} A^\mu B^\nu = 0$$

والجداء السلمي لمتجه A بنفسه يسمى تنظيم Norm المتجه. تنظيم المتجه هو مربع قياسه (مقداره) Modulus:

$$(XIV-18) \quad |A|^2 = g_{\mu\nu} A^\mu A^\nu.$$

وإذا كان تنظيم المتجه يساوي الوحدة نقول إن المتجه منظم أو أحادي.

نقول إن الفضاء الإقليدي أصولي إذا كان تنظيم أي متجه غير الصفر إيجابياً.

وبشكل خاص يشكل طول المتجه ds ذي المركبات  $dx^\mu$  الصيغة الأساسية للفضاء الإقليدي:

$$(XIV-19) \quad ds^2 = g_{\mu\nu} dx^\mu dx^\nu.$$

حالة خاصة: استعمال الإحداثيات المتعامدة: إذا استعملنا نظام محاور متعامدة للفضاء المتجهي أي:

$$(XIV-13) \quad g_{\mu\nu} = \delta_{\mu\nu},$$



ويكون الجداء السلمي للمتجهين  $A$  و  $B$ :

$$(XIV-20) \quad A \cdot B = g_{\mu\nu} A^\mu B^\nu = \sum_\mu A^\mu B^\mu.$$

أما التنظيم (أي مربع طول المتجه) فيكون استناداً إلى (XIV-20):

$$(XIV-21) \quad |A|^2 = g_{\mu\nu} A^\mu A^\nu = \sum_\mu (A^\mu)^2.$$

وبشكل خاص تكون الصيغة الأساسية في هذا الفضاء:

$$(XIV-22) \quad ds^2 = \sum_\mu (dx^\mu)^2.$$

تعمّم إذا الصيغ (XIV-20) و (XIV-21) و (XIV-22) التحديدات المعروفة في الفضاء الثلاثي للجداء السلمي وطول المتجه والمسافة بين نقطتين متقاربتين  $M(x^\mu)$  و  $M'(x^\mu + dx^\mu)$ .

### 3) تبديل المحاور المتعامدة

لنحول المتجهات الأحادية القاعدية  $e_\mu$  للمحاور  $x^\mu$  إلى المتجهات الأحادية القاعدية  $e'_\mu$  للمحاور  $x'^\mu$  وفق العلاقة:

$$(XIV-23) \quad e'_\mu = a^\nu_\mu e_\nu.$$

ومُعَامِل التحويل هنا  $a^\nu_\mu$  هي أعداد ثابتة تميّز تحويل المحاور المنحنية.

تكون المتجهات الجديدة  $e'_\mu$  مستقلة عن بعضها إذا:

$$(XIV-24) \quad a = |a^\nu_\mu| \neq 0.$$

وبالعكس تكتب المتجهات  $e_\mu$  بالنسبة إلى  $e'_\mu$  حسب القاعدة:

$$(XIV-25) \quad e_\mu = a^{\nu'}_\mu e'_{\nu'}$$

مع:

$$(XIV-26) \quad a' = |a^{\omega'}_\mu| \neq 0.$$

فإذا قارنا (XIV-23) و (XIV-25) نجد:

$$(XIV-27) \quad e'_\mu = a^\nu_\mu e_\nu, \quad e = a^\nu_\mu a^{\rho'}_\nu e'_{\rho'}$$

$$e_\mu = a^{\nu'}_\mu e'_{\nu'} = a^{\nu'}_\mu a^{\rho'}_{\nu'} e_{\rho'}.$$

أي شرط تعامد التحويل:

$$(XIV-28) \quad a_{\mu}^{\nu}, a_{\nu}^{\rho'} = a_{\nu}^{\rho} a_{\mu}^{\nu'} = \delta_{\mu}^{\rho} \quad ,$$

مع:

$$(XIV-29) \quad \delta_{\mu}^{\rho} = \begin{cases} 0 & \mu \neq \rho \\ 1 & \mu = \rho \end{cases} \quad \begin{array}{l} \text{إذا:} \\ \text{إذا:} \end{array}$$

والشروط (XIV-28) تعادل تحديد المعامل  $a_{\mu}^{\nu}$  بالنسبة إلى  $a_{\rho}^{\sigma'}$  المستخلصة من العلاقات الخطئية (XIV-23) والعلاقات المعاكسة لها. إذ نجد:

$$(XIV-30) \quad a_{\mu}^{\nu'} = \frac{\text{minor } a_{\nu'}^{\mu'}}{[a]} \quad , \quad a_{\mu}^{\nu} = \frac{\text{minor } a_{\nu}^{\mu}}{[a']}$$

ومنها نستنتج الشروط (XIV-28).

واستناداً إلى خصائص المحدّات نجد بشكل خاص:

$$(XIV-31) \quad [a] [a'] = 1.$$

كل متجه  $X$  يكتب بالصيغة:

$$(XIV-32) \quad X = x^{\mu} e_{\mu}$$

وتكون مركباته المخالفة للتغير  $x^{\mu}$  في نظام المحاور المستقيمة ذات القاعدة  $e_{\mu}$  و  $x'^{\mu}$  في نظام المحاور المستقيمة ذات القاعدة  $e'_{\mu}$  كما يلي:

$$(XIV-33) \quad X = c^{\mu} e_{\mu} = x'^{\mu} e'_{\mu}$$

أي:

$$(XIV-34) \quad x^{\mu} a_{\rho}^{\nu'} e'_{\nu} = x'^{\mu} e'_{\mu} \quad , \quad x'^{\mu} a_{\mu}^{\nu} e_{\nu} = x^{\mu} e_{\mu}$$

لأي من المتجهات القاعدية  $e_{\mu}$  و  $e'_{\mu}$ . نجد إذا قواعد التحويل:

$$(XIV-35) \quad x^{\mu} = a_{\nu}^{\mu} x'^{\nu}.$$

والقواعد العكسية:

$$(XIV-36) \quad x'^{\mu} = a_{\nu}^{\mu'} x^{\nu}.$$

## 4) الثوابت والمتجهات والموترات

## 1.4 - الكميات الثابتة في التحويل

تكون كمية فيزيائية ثابتة في التحويل إذا كانت تحافظ على قيمتها في التحويل (XIV-23). سنكتفي في هذا الفصل بتحويلات المحاور المستقيمة فتكون المعاملات  $a'^{\nu}_{\mu}$  و  $a^{\nu}_{\mu}$  لا تتغير من نقطة إلى أخرى في الفضاء. كمثال على الثوابت في التحويل نذكر الصيغة الأساسية  $ds^2$  ومؤشر دالمبر d'Alembert  $\square$ :

$$(XIV-37) \quad ds^2 = dx_{\mu} dx^{\mu} , \quad \square = \frac{\partial^2}{\partial x_{\mu} \partial x^{\mu}}$$

## 2.4 - المتجهات

نقول إن  $A$  هو متجه إذا كان محددًا بالمركبات الموافقة للتغير  $A_{\mu}$  التي تتحول مثل المتجهات  $e_{\mu}$  في التحويل. أما المركبات المخالفة للتغير  $A^{\mu}$  فتتحول مثل الإحداثيات  $x^{\mu}$ .

وفعالاً نجد لتحويل المركبات الموافقة للتغير:

$$(XIV-38) \quad A_{\mu} = A \cdot e_{\mu} = A a'^{\nu}_{\mu} e'_{\nu} = a'^{\nu}_{\mu} A'_{\nu}$$

وللتحويل المخالف:

$$(XIV-39) \quad A'_{\mu} = A e'_{\mu} = A a^{\nu}_{\mu} e_{\nu} , \quad e_{\nu} = a^{\nu}_{\mu} e'_{\mu} , \quad A_{\nu}$$

ومن جهة ثانية إذا أظهرنا المركبات المخالفة للتغير يمكن أن نكتب:

$$(XIV-40) \quad A = A^{\mu} e_{\mu} = A'^{\mu} e'_{\mu}$$

أي:

$$(XIV-41) \quad A^{\mu} a'^{\nu}_{\mu} e'_{\nu} = A'^{\mu} e'_{\mu} , \quad A'^{\mu} \cdot a^{\nu}_{\mu} e_{\nu} = A^{\mu} e_{\mu}.$$

فتكون قواعد التحويل للمركبات المخالفة للتغير:

$$(XIV-42) \quad A^{\mu} = a^{\mu}_{\nu} A'^{\nu} , \quad A'^{\mu} = a'^{\mu}_{\nu} A^{\nu}.$$

3.4 - باستعمال المركبات الموافقة للتغير والمخالف للتغير: يمكن أن نشكل الصيغ:

$$(XIV-43) \quad C_{\mu\nu} = A_{\mu}B_{\nu} , \quad C^{\mu\nu} = A^{\mu}B^{\nu} , \quad C'_{\mu} = A_{\mu}B^{\nu}.$$

التي تتحول حسب القواعد التالية

$$(XIV-44) \quad C'_{\mu\nu} = A'_{\mu} B'_{\nu} = a^{\rho}_{\mu} a^{\sigma}_{\nu} A_{\rho} B_{\sigma} = a^{\rho}_{\mu} a^{\sigma}_{\nu} C_{\rho\sigma}$$

$$(XIV-45) \quad C'^{\mu\nu} = A'^{\mu} B'^{\nu} = a^{\mu'}_{\rho} a^{\nu'}_{\sigma} A^{\rho} B^{\sigma} = a^{\mu'}_{\rho} a^{\nu'}_{\sigma} C^{\rho\sigma}$$

$$(XIV-46) \quad C'^{\nu}_{\mu} = A'_{\mu} B'^{\nu} = a^{\rho}_{\mu} a^{\nu'}_{\sigma} A_{\rho} B^{\sigma} = a^{\rho}_{\mu} a^{\nu'}_{\sigma} C^{\rho}_{\sigma}$$

كل كمية فيزيائية تتحول حسب هذه القواعد عند تحويل القاعدة تسمى موترًا من الرتبة الثانية Second rank tensor.

بشكل عام الموتر من الرتبة n هو كمية ذات مركبات تحدّد بعدد من المؤشرات يساوي n وفق قانون التحويل:

$$(XIV-47) \quad A'_{\mu\nu\dots\rho\sigma} = a^{\alpha}_{\mu} a^{\beta}_{\nu} \dots a^{\gamma}_{\rho} a^{\delta}_{\sigma} A_{\alpha\beta\dots\gamma\delta}$$

$$(XIV-48) \quad A'^{\mu\nu\dots\rho\sigma} = a^{\mu'}_{\alpha} a^{\nu'}_{\beta} \dots a^{\rho'}_{\gamma} a^{\sigma'}_{\delta} A^{\alpha\beta\dots\gamma\delta}$$

$$(XIV-49) \quad A'^{\rho\sigma}_{\mu\nu} = a^{\alpha}_{\mu} a^{\beta}_{\nu} \dots a^{\rho'}_{\gamma} a^{\sigma'}_{\delta} A^{\gamma\delta}_{\alpha\beta}$$

أو العلاقة العكسية:

$$(XIV-50) \quad A_{\mu\nu\dots\rho\sigma} = a^{\alpha'}_{\mu} a^{\beta'}_{\nu} \dots a^{\gamma'}_{\rho} a^{\delta'}_{\sigma} A'_{\alpha\beta\dots\gamma\delta}$$

$$(XIV-51) \quad A^{\mu\nu\dots\rho\sigma} = a^{\mu}_{\alpha} a^{\nu}_{\beta} \dots a^{\rho}_{\gamma} a^{\sigma}_{\delta} A'^{\alpha\beta\dots\gamma\delta}$$

$$(XIV-52) \quad A^{\rho\sigma}_{\mu\nu} = a^{\alpha'}_{\mu} a^{\beta'}_{\nu} \dots a^{\rho}_{\gamma} a^{\sigma}_{\delta} A'^{\gamma\delta}_{\alpha\beta}$$

### (5) الموترات المتناظرة والموترات المتخالفة المتناظر

يكون الموتر متناظرًا symmetric بالنسبة إلى المؤشرين  $\mu$  و  $\nu$  إذا كانت مركباته  $A_{\mu\nu}$  (أو  $A^{\mu\nu}$ ) تخضع للعلاقة:

$$(XIV-53) \quad A_{\mu\nu..} = A_{\nu\mu..}$$

فنرمز إليه عندئذ بالكتابة  $A_{(\mu\nu)}$  (وأحيانا  $A_{\mu\nu}$ ).

ويكون الموتر متخالف التناظر antisymmetric بالنسبة إلى المؤشرين  $\nu$  و  $\mu$  إذا كانت مركباته تخضع للعلاقة:

$$(XIV-54) \quad A_{\mu\nu} = - A_{\nu\mu}$$

فنرمز إليه عندئذ بالكتابة  $A_{[\mu\nu]}$  (أو أحيانا  $A^{\mu\nu}$ ).

كل موتر يمكن كتابته كمجموع موتر متناظر وموتر متخالف التناظر:

$$(XIV-55) \quad A_{\mu\nu..} = \frac{1}{2} (A_{\mu\nu} + A_{\nu\mu}) + \frac{1}{2} (A_{\mu\nu} - A_{\nu\mu}) = A_{(\mu\nu)} + A_{(\mu\nu)}.$$

كما يمكن أن نتأكد أن صفتي التناظر لا تبدلان عند تغيير المتجهات القاعدية.

ملاحظة: كل موتر يشكل كائناً هندسياً مستقلاً. بمعنى أن تحويل المحاور المنحنية (XIV-23) يعطي الموتر مركبات يمكن حسابها تماماً من المركبات القديمة ومُعامل التحويل  $a^{\nu}_{\mu}$  و  $a^{\mu}_{\nu}$ .

### 6) تحويل الموتر الأساسي - الحالة الخاصة لهياكل الإسناد المتعامدة

تستخلص قاعدة تحويل مركبات الموتر المتناظر  $g_{\mu\nu}$  من تحديده (XIV-3) مباشرة

$$(XIV-56) \quad g'_{\mu\nu} = (e'_{\mu} \cdot e'_{\nu}) = a^{\rho}_{\mu} a^{\sigma}_{\nu} (e_{\rho} \cdot e_{\sigma}) = a^{\rho}_{\mu} a^{\sigma}_{\nu} g_{\rho\sigma}$$

أو العلاقة العكسية:

$$(XIV-57) \quad g_{\mu\nu} = (e_{\mu} \cdot e_{\nu}) = a^{\rho}_{\mu} a^{\sigma}_{\nu} (e'_{\rho} \cdot e'_{\sigma}) = a^{\rho}_{\mu} a^{\sigma}_{\nu} g'_{\rho\sigma}.$$

أما تحويل المركبات المخالفة للتغير  $g^{\mu\nu}$  فيستخلص مباشرة من المعادلات (XIV-56) و (XIV-57) بعد أخذ المعادلة (XIV-6) بعين الاعتبار فنجد<sup>(2)</sup>

(2) نجد فعلاً استناداً إلى المعادلات (XIV-6) و (XIV-56)

$$= g'_{\rho\sigma} g'^{\rho\sigma} = a^{\lambda}_{\rho} a^{\delta}_{\sigma} g_{\lambda\delta} g'^{\rho\sigma} = \delta^{\tau}_{\tau}$$

$$g'^{\mu\nu} = a^{\mu'}_{\rho} a^{\nu'}_{\sigma} g^{\rho\sigma}.$$

أو العلاقة العكسية

$$g^{\mu\nu} = a^{\mu}_{\rho} a^{\nu}_{\sigma} g'^{\rho\sigma}.$$

ونتأكد من ثبات الصيغة الأساسية  $ds^2$ :

$$(XIV-60) \quad ds^2 = dx_{\mu} dx^{\mu}$$

في التحويل انطلاقاً من (XIV-56) إذ نجد:

$$(XIV-61) \quad ds'^2 = a_{\mu\nu} dx'^{\mu} dx'^{\nu} = g_{\mu\nu} dx^{\mu} dx^{\nu} = ds^2.$$

الحالة الخاصة لهياكل الإسناد المتعامدة

إذا كانت هياكل الإسناد المستقيمة المحددة بالمتجهات القاعدية  $e_{\mu}$  و  $e'_{\mu}$  متعامدة

نجد:

$$(XIV-62) \quad g_{\mu\nu} = (e_{\mu} \cdot e_{\nu}) = \delta_{\mu\nu} \quad , \quad g'_{\mu\nu} = (e'_{\mu} \cdot e'_{\nu}) = \delta_{\mu\nu}$$

أي استناداً إلى (XIV-57):

$$(XIV-63) \quad \delta_{\mu\nu} = a^{\rho}_{\mu} a^{\sigma}_{\nu} \delta_{\rho\sigma} = \sum_{\rho} a^{\sigma}_{\mu} a^{\rho}_{\nu}$$

وإذا ضربنا بـ  $a^{\lambda'}_{\lambda}$  وجمعنا على المؤشر  $\nu$  آخذين بعين الاعتبار شروط التعامد (XIV-28) نجد:

$$(XIV-64) \quad a^{\nu'}_{\lambda} \delta_{\mu\nu} = a^{\nu'}_{\lambda} \sum_{\rho} a^{\rho}_{\mu} a^{\rho}_{\nu} = a^{\lambda}_{\mu}$$

أي:

$$(XIV-65) \quad a^{\mu'} = a_{\mu'}$$

= لنضرب بـ  $a^{\nu}_{\tau} a^{\delta'}_{\pi}$  ولنجمع على المؤشرات المتكررة فنجد:

$$a^{\nu}_{\tau} a^{\sigma'}_{\pi} a^{\lambda}_{\rho} a^{\sigma}_{\sigma} g_{\lambda\delta} g'^{\rho\tau} = \delta^{\tau}_{\sigma} a^{\nu}_{\tau} a^{\sigma'}_{\pi} = \delta^{\nu}_{\pi}$$

$$\delta^{\lambda}_{\pi} a^{\nu}_{\tau} a^{\lambda}_{\rho} g_{\lambda\delta} g'^{\rho\tau} = a^{\nu}_{\tau} a^{\lambda}_{\rho} g_{\lambda\pi} g'^{\rho\tau} = \delta^{\nu}_{\pi}$$

$$g^{\mu\pi} a^{\nu}_{\tau} a^{\lambda}_{\rho} g_{\lambda\pi} g'^{\rho\tau} = g^{\mu\pi} \delta^{\nu}_{\pi}$$

وإذا ضربنا بـ  $g^{\mu\pi}$  نجد

$$\delta^{\mu}_{\lambda} a^{\nu}_{\tau} a^{\lambda}_{\rho} g'^{\rho\tau} = a^{\mu}_{\rho} a^{\nu}_{\tau} g'^{\rho\tau} = g^{\mu\nu}$$

وتقود هذه العلاقة إلى معادلة المحدّات [a] و [a'] التي تتعلق بالتحويل:

$$(XIV-66) \quad [a'] = [a].$$

ومن جهة ثانية تخضع هذه المحدّات استناداً إلى (XIV-28) إلى المعادلة:

$$(XIV-31) \quad [a] [a'] = 1$$

فإذا قارنا المعادلات (XIV-31) و (XIV-66) نجد:

$$(XIV-67) \quad [a] = [a'] = \pm 1$$

### 7) دوران المحاور في الفضاء الرباعي الإقليدي

لننظر في تحويل المحاور:

$$(XIV-23) \quad e'_\mu = a^\nu_\mu e_\nu, \quad e_\mu = a^\nu_\mu e'_\nu$$

الخاضع للشروط:

$$(XIV-28) \quad a^\rho_\mu a^\nu_\rho = \delta^\nu_\mu$$

التي تؤمن المحافظة على أطوال المتجهات (أو نُظْمها).

يكون هذا التحويل دوراناً إذا توفر الشرطان التاليان:

أ - الكميات  $g_{\mu\nu}$  و  $g'_{\mu\nu}$  (المرتبطة بالجداء السلمي للمتجهات) متساوية:

$$(XIV-68) \quad g'_{\mu\nu} = (e'_\mu \cdot e'_\nu) = (e_\mu \cdot e_\nu) = g_{\mu\nu}.$$

نجد إذا:

$$(XIV-69) \quad a^\rho_\mu, a^\sigma_\nu, g_{\rho\sigma} = g_{\mu\nu}$$

أي إذا ضربنا بـ  $a^\lambda_\nu$  وجمعنا على المؤشرات المتكررة مستعملين (XIV-28) نجد:

$$(XIV-70) \quad a^\rho_\mu, g_{\rho\lambda} = a^\lambda_\nu g_{\mu\nu}.$$

وأحياناً كثيرة تكون المحاور متعامدة بحيث ان الشرط (XIV-70) مع

ب- يجب الافتراض أن:  $g_{\mu\nu} = g'_{\mu\nu} = \delta_{\mu\nu}$  (XIV-65) أي:

$$(XIV-65) \quad a^{\lambda}_{\mu'} = a^{\mu}_{\lambda}$$

ب - يجب الافتراض أن:

$$(XIV-71) \quad [a] = [a'] = +1$$

نعلم استناداً إلى المقطع السابق أن الشرطين (XIV-65) و (XIV-31) يقودان إلى  $[a] = [a'] = \pm 1$  فإذا فرضنا الاختيار (XIV-71) يكون الهيكلان الإسناديان المتعامدان المحددان بالمتجهات  $e_{\mu}$  و  $e'_{\mu}$  «باتجاه واحد» ويمكن الانتقال من أحدهما إلى الآخر بدوران.

خلافاً لذلك إذا اخترنا  $[a] = [a'] = -1$  يكون الهيكلان الإسناديان «باتجاه معاكس» ويمكن الانتقال من أحدهما إلى الآخر بدوران يضاف إليه انعكاس.

بالمختصر يكون دوران المحاور المتعامدة في الفضاء الإقليدي الرباعي محددًا بالعلاقات التالية:

(XIV-23)

$$e'_{\mu} = a^{\nu}_{\mu} e_{\nu}, \quad e_{\mu} = a^{\nu'}_{\mu} e'_{\nu'}$$

مع:

(XIV-28)

$$a^{\rho}_{\mu}, a^{\nu'}_{\rho} = \delta^{\nu}_{\mu}$$

ومن جهة ثانية:

(XIV-65)

$$a^{\lambda}_{\mu'} = a^{\mu}_{\lambda}$$

(XIV-71)

$$[a] = [a'] = 1$$

العلاقان (XIV-23) و (XIV-28) صحيحتان لكل تحويل خطي للمحاور المنحنية. أما الشرط (XIV-65) فيؤمن المحافظة على تعامد المحاور. وأخيراً الشرط (XIV-71) يؤمن للتحويل خاصية الدوران.



## ب - استعمال الإحداثيات المنحنية

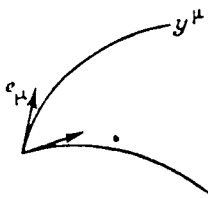
### (8) الانتقال من إحداثيات منحنية إلى إحداثيات أخرى في فضاء متجهي إقليدي

لقد درسنا تحويلات هيكل إسناد مستقيم ( $x^\mu$ ) إلى هيكل إسناد مستقيم آخر ( $x'^\mu$ ). ويمكن دائماً في حالة فضاء متجهي إقليدي أن ندرس الظواهر المتعلقة بمنطقة واسعة من الفضاء في هيكل إسناد مستقيم ويمكن أن نختاره متعامداً. فنتخذ الصيغة الأساسية  $ds^2$  الشكل المختصر (XIV-22).

وقد يكون من الممكن في بعض الحالات، بل من المستحسن، أن توصف الظواهر في هيكل إسناد إحداثيات منحنية ( $y^\mu$ ). للانتقال من المركبات  $A_{\mu\nu}^{\rho\sigma}$  لموتر في هيكل الإسناد ( $M, y^\mu$ ) إلى مركبات هذا الموتر  $A'_{\mu\nu}{}^{\rho\sigma}$  في هيكل الإسناد ( $M', y'^\mu$ ) يجب أولاً ربط هذين الهيكلين ( $M, y^\mu$ ) و ( $M', y'^\mu$ ). وبتعبير آخر يجب تحديد هيكل الإسناد ( $M', y'^\mu$ ) بالنسبة إلى هيكل الإسناد ( $M, y^\mu$ ) وهذا ما سنفعله الآن.

### 1.8 - الإحداثيات المنحنية وهيكل الإسناد الطبيعية المشاركة لها

عند استعمال الإحداثيات المنحنية تخصص كل نقطة  $M$  من الفضاء بإحداثيات منحنية ( $y^\mu$ ). ويعني هذا أنه إذا تركت جميع هذه الإحداثيات ثابتة ما عدا واحدة منها  $y^\mu$  تتحرك النقطة  $M$  على خط منحني نرسم إليه أيضاً بـ  $y^\mu$  في الشكل 43.



الشكل 43 -

المرجع الطبيعي المشارك

ونسماه خط الإحداثية  $y^\mu$  في النقطة  $M$ . في حالة الإحداثيات المستقيمة تكون خطوط الإحداثيات جميعها مستقيمة. لنرسم في النقطة  $M$  الخطوط المستقيمة المماسية على خطوط الإحداثيات وذات المتجهات الأحادية  $e_\mu^{(3)}$ . أي تحرك  $dM$  للنقطة  $M$  يكتب كما يلي باستعمال هذه المتجهات الأحادية:

(3) لندرس مثلاً نظام إحداثيات كروية قطبية  $(r, \theta, \phi)$ . خطوط الإحداثيات هي الخط الشعاعي وخط الطول وخط العرض التي تمر في النقطة  $M$ . والخطوط هذه متعامدة في النقطة  $M$ . وهيكل الإسناد الطبيعي المشارك في النقطة  $M$  يتألف من المتجهات الأحادية المماسية على هذه الخطوط. وهو أيضاً هيكل إسناد متعامد وأحادي. ولكن الموتر الأساسي  $g_{\mu\nu}$  في النقطة  $M$  ليس  $\delta_{\mu\nu}$  بهذه الإحداثيات المنحنية  $y^\mu(r, \theta, \phi)$  بل يتغير من نقطة إلى أخرى. ونعني هنا بالمتجهات الأحادية مقياس الطول. ففي =

$$(XIV-72) \quad dM = e_\mu dy^\mu \quad (1).$$

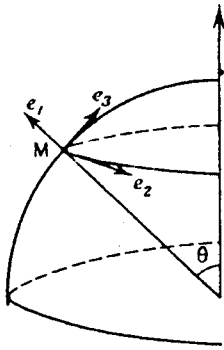
تشكل المحاور المستقيمة  $e_\mu$  هيكل الإسناد الطبيعي المشارك للإحداثيات المنحنية في النقطة  $M(y^\mu)$ .

وإذا اخترنا نظاماً آخر للإحداثيات المنحنية  $(y'^\mu)$  في النقطة  $M$  نحدّد هيكلًا إسنادياً طبيعياً جديداً بواسطة المتجهات  $e'_\mu$  المماسية على الخطوط  $y'^\mu$ . فنجد عندئذ:

$$(XIV-73) \quad dM = e'_\mu dy'^\mu$$

أي:

$$(XIV-74) \quad e'_\mu = \frac{\partial M}{\partial y'^\mu} = \frac{\delta M}{\delta y^\nu} \frac{\partial y^\nu}{\partial y'^\mu} = a^\nu{}_\mu e_\nu$$



الشكل 44 - خطوط الإحداثيات، هيكل الإسناد الطبيعي المشارك.

الإحداثيات المستقيمة  $x', y', z'$  تكون المحاور المستقيمة المنطقية من  $M$  متوازية مع هيكل الإسناد  $Oxyz$  فنجد

$$(1) \quad e'_1 = 1, \quad e'_2 = 1, \quad e'_3 = 1 \quad g'_{pq} = e'_p \cdot e'_q = \delta_{pq}$$

نلاحظ بسهولة أن الانتقال من  $e_3$  إلى  $e_\mu$  المحددة سابقاً كمتجهات مماسة على الخطوط  $y_r, y_0$  و  $y_r$  لا يسمح بالقول أن المتجهات  $e_\mu$  لها طول يساوي وحدة الطول. إذ يمكن أن نكتب استناداً إلى (XIV-25)

$$(2) \quad e_p = a^q{}_p e'_q$$

وبما أن المحاور  $e'_q$  متعامدة وطولها يساوي وحدة الطول نجد:

$$(3) \quad (e_p^2) = (a_p^1)^2 + (a_p^2)^2 + (a_p^3)^2$$

والمعامل  $a_p^q = \frac{\partial x'^q}{\partial x^p}$  حيث:

$$x'^1 = x, \quad x'^2 = y, \quad x'^3 = z, \\ x^1 = r, \quad x^2 = \theta, \quad x^3 = \varphi$$

تُستنتج من علاقات التحويل:

$$(4) \quad x = x'^1 = r \sin \theta \cos \varphi, \quad y = x'^2 = r \sin \theta \sin \varphi, \quad z = x'^3 = r \cos \theta.$$

فإذا أطلنا قيمها في المعادلة (3) نجد:

$$(5) \quad e_1 = 1, \quad e_2 = r, \quad e_3 = r \sin \theta.$$

ومنها قيم  $g_{\mu\nu} = (e_\mu \cdot e_\nu)$  في الإحداثيات  $r, \theta, \varphi$  انظر الصفحة 81 من [35] LICHNEROWICZ.

إذا كانت النقطة  $M$  تحدّد بمتغير بسيط  $\xi$  بطريقة أحادية نعني بـ  $dM$  المتجه التفاضلي:

$$dOM = dO'M = \xi' d\xi$$

وهو لا يتغير مع أصل المحاور الاختياري  $O$  أو  $O'$  بل مع النقطة  $M$  فقط.

حيث وضعنا:

$$(XIV-75) \quad a_{\mu'}^{\nu} = \frac{\partial y^{\nu}}{\partial y'^{\mu}} .$$

أما العلاقات العكسية فهي:

$$(XIV-76) \quad e_{\mu} = a_{\mu}^{\nu'} e_{\nu}' .$$

مع:

$$(XIV-77) \quad a_{\mu}^{\nu'} = \frac{\partial y'^{\nu}}{\partial y^{\mu}} .$$

وتكون الصيغة الأساسية بالإحداثيات المنحنية  $(y^{\mu})$  و  $(y'^{\mu})$ :

$$(XIV-78) \quad ds^2 = g_{\mu\nu} dy^{\mu} dy^{\nu} = g'_{\mu\nu} dy'^{\mu} dy'^{\nu}$$

حيث حدّدنا كما في المعادلة (XIV-3):

$$(XIV-79) \quad g_{\mu\nu} = (e_{\mu} \cdot e_{\nu}) \quad , \quad g'_{\mu\nu} = (e'_{\mu} \cdot e'_{\nu}) .$$

أما إذا كان هيكل الإسناد متعامداً ومنظماً فتكون المركبات  $g_{\mu\nu}$  مساوية لـ  $\delta_{\mu\nu}$  وإذا كانت الإحداثيات منحنية فتحدّد  $g_{\mu\nu}$  في النقطة M بواسطة هيكل الإسناد الطبيعي المؤلف من المحاور المنحنية  $e_{\mu}$  المشاركة للإحداثيات  $y^{\mu}$  فنجد دائماً:

$$(XIV-80) \quad g_{\mu\nu} = (e_{\mu} \cdot e_{\nu}) = a_{\mu}^{\rho'} a_{\nu}^{\sigma'} (e'_{\rho} \cdot e'_{\sigma}) = a_{\mu}^{\rho'} a_{\nu}^{\sigma'} a'_{\rho\sigma} .$$

2.8 - لتكن M و M' نقطتين متقاربتين تفاضلياً في الفضاء المتجهي الإقليدي. بحيث أن  $OM' = OM + dM$ . للاختصار نرسم إلى  $OM'$  و  $OM$  بـ M' و M على التوالي. عند استعمال الإحداثيات المنحنية  $y^{\mu}$  في النقطة M نحدّد هيكلًا اسنادياً طبيعياً مشاركاً  $e_{\mu}$  في هذه النقطة. ويصبح هذا الهيكل الإسنادي  $e_{\mu} + de_{\mu}$  في النقطة  $M + dM$ . وعلينا وصل طريقة الاستدلال المحدّدة بـ  $(M + dM, e_{\mu} + de_{\mu})$  بتلك المحدّدة بـ  $(M, e_{\mu})$ . لذلك يجب تحديد  $dM$  و  $de_{\mu}$  بالنسبة إلى هيكل الإسناد الطبيعي في النقطة M.

$$(XIV-81)$$

$$dM = \omega^{\mu} e_{\mu}$$

$$(XIV-82)$$

$$de_{\mu} = \omega_{\mu}^{\nu} e_{\nu}$$

حيث:

$$(XIV-83) \quad \omega^\mu = dy^\mu \quad , \quad \omega_\mu^\nu = \Gamma_{\mu\rho}^\nu dy^\rho,$$

وبما أن  $\omega_\mu^\nu$  هي دالة خطية في التغيرات  $dy^\rho$  يمكن أن نكتب:

$$(XIV-84) \quad dM = dy^\mu e_\mu$$

$$(XIV-85) \quad de_\mu = \Gamma_{\mu\rho}^\nu e_\nu dy^\rho.$$

ومنها نستنتج:

$$(XIV-86) \quad dg_{\mu\nu} = d(e_\mu \cdot e_\nu) = \Gamma_{\mu\rho}^\lambda (e_\lambda \cdot e_\nu) dy^\rho + \Gamma_{\nu\rho}^\lambda (e_\mu \cdot e_\lambda) dy^\rho \\ = (\Gamma_{\mu\rho,\nu} + \Gamma_{\nu\rho,\mu}) dy^\rho$$

حيث وضعنا:

$$(XIV-87) \quad \Gamma_{\mu\rho}^\lambda h_{\lambda\nu} = \Gamma_{\mu\rho,\nu}.$$

ومن جهة ثانية نكتب استناداً إلى (XIV-84):

$$(XIV-88) \quad \partial_\mu M = e_\mu.$$

والشروط:

$$(XIV-89) \quad \partial_\nu e_\mu = \partial_\mu e_\nu, \quad \text{أو} \quad \partial_\nu(\partial_\mu M) = \partial_\mu(\partial_\nu M)$$

يعبر عنها، إذا استعملنا (XIV-85)، بالعلاقة:

$$(XIV-90) \quad \Gamma_{\mu\nu}^\lambda \cdot e_\lambda = \Gamma_{\nu\mu}^\lambda \cdot e_\lambda$$

أو:

$$(XIV-91) \quad \Gamma_{\mu\nu}^\lambda = \Gamma_{\nu\mu}^\lambda \quad , \quad \Gamma_{\mu\nu,\rho} = \Gamma_{\nu\mu,\rho}.$$

مما يعني أن المعامل  $\Gamma_{\mu\nu}^\lambda$  متناظر في تبديل المؤشرات  $\mu$  و  $\nu$ . وإذا كتبنا المعادلة (XIV-86) بالصيغة:

$$(XIV-92)_1 \quad \Gamma_{\mu\rho,\nu} + \Gamma_{\nu\rho,\mu} = \partial_\rho g_{\mu\nu}.$$

ثم بادلنا  $\mu$  و  $\rho$  ثم  $\nu$  و  $\rho$  في (XIV-90) نجد:

$$(XIV-92)_2 \quad \Gamma_{\rho\mu,\nu} + \Gamma_{\nu\mu,\rho} = \partial_\mu g_{\rho\nu}$$

$$(XIV-92)_3 \quad \Gamma_{\mu\nu,\rho} + \Gamma_{\rho\nu,\mu} = \partial_\nu g_{\mu\rho}$$

لنجمع المعادلات (XIV-92)<sub>2</sub> و (XIV-92)<sub>3</sub> ونطرح منها المعادلة (XIV-92)<sub>1</sub> نجد:

$$(XIV-93) \quad \Gamma_{\mu\nu,\rho} = \frac{1}{2} (\partial_\mu g_{\nu\rho} + \partial_\nu g_{\mu\rho} - \partial_\rho g_{\mu\nu}),$$

حيث أخذنا بعين الاعتبار تناظر  $\Gamma_{\mu\nu,\rho}$  المعبر عنه بالعلاقة (XIV-91).

أخيراً إذا حدّدنا الرموز:

$$(XIV-94) \quad [\mu\nu, \rho] = \frac{1}{2} (\partial_\mu g_{\nu\rho} + \partial_\nu g_{\mu\rho} - \partial_\rho g_{\mu\nu})$$

$$(XIV-95) \quad \left\{ \begin{matrix} \rho \\ \mu\nu \end{matrix} \right\} = \frac{1}{2} g^{\rho\sigma} (\partial_\mu g_{\nu\sigma} + \partial_\nu g_{\mu\sigma} - \partial_\sigma g_{\mu\nu})$$

ويكتب المعامل  $\Gamma_{\mu\nu}^\rho$  بالصيغ التالية:

$$(XIV-96) \quad \Gamma_{\mu\nu,\rho} = (\mu\nu, \rho) \quad , \quad \Gamma_{\mu\nu}^\rho = \left\{ \begin{matrix} \rho \\ \mu\nu \end{matrix} \right\}.$$

تسمى الصيغ (XIV-94) و (XIV-95) رموز كريستوفل Christoffel من النوع الأول ومن النوع الثاني على التوالي. فالمعامل  $\Gamma_{\mu\nu}^\rho$  الذي يطابق رموز كريستوفل تكتب صيغه تبعاً للكميات  $g_{\mu\nu}$  (المحدّدة في هيكل الإسناد الطبيعي في  $M$ ) ومشتقاتها الأولى. مما يتيح كتابة التغيرات  $dM$  و  $de_\mu$  في هيكل الإسناد  $M$ . نكون هكذا قد ربطنا بين الهيكلين الإسناديين  $(M, e_\mu)$  و  $(M+Md, e_\mu + de_\mu)$ .

**ملاحظة (1):** المعامل  $\Gamma_{\mu\nu}^\rho$  الذي يحدّد التغيرات  $de_\mu$  أي التي تربط بين الهيكلين الإسناديين الطبيعيين في النقط المتقاربة تفاضلياً في الفضاء يسمى معامِل الارتباط

القريب. ولا تشكل هذه الكميات مركبات موتر من الرتبة الثالثة<sup>(4)</sup>.

ملاحظة (2): إذا ستملنا إحداثيات منحنية للفضاء المتجهي الإقليدي يتغير هيكل الإسناد الطبيعي المشترك من نقطة إلى أخرى. وتتغير أيضاً الكميات  $g_{\mu\nu}$  من نقطة إلى أخرى استناداً إلى تحديدها  $g_{\mu\nu} = (e_\mu \cdot e_\nu)$ . فهي إذا دوال في الإحداثيات  $y^\alpha$ . أما الارتباط القريب الذي يحدّد العلاقة بين هيكلين إسناديين طبيعيين متقاربين تفاضلياً فيعبر عنه برموز كريستوفل.

أما إذا ستملنا إحداثيات مستقيمة فتكون هيكل الإسناد الطبيعية متوازية في كل النقط. وتكون الكميات  $g_{\mu\nu}$  متساوية في كل النقط من الفضاء فهي إذا ثابتة. وينعدم بالتطابق المعامل  $\Gamma_{\mu\nu}^\rho$  الذي يعبر عن تغيرات هيكل الإسناد الطبيعي من نقطة إلى نقطة متقاربة تفاضلياً.

(4) إذا أجرينا تحويل إحداثيات منحنية في النقطة M نكتب باستعمال (XIV-25):

$$(1) \quad e_\mu = a_\mu^{\nu'} e'_{\nu'}$$

ومنها:

$$(2) \quad de_\mu = a_\mu^{\nu'} de'_{\nu'} + (da_\mu^{\nu'}) e'_{\nu'}$$

واستناداً إلى (XIV-82):

$$(3) \quad de_\mu = a_\mu^{\nu'} \omega_{\nu'}^\rho e'_\rho + (da_\mu^{\nu'}) e'_{\nu'} = (da_\mu^{\nu'} + a_\mu^{\nu'} \omega_{\nu'}^\rho) e'_\rho = (da_\mu^{\nu'} + a_\mu^{\nu'} \omega_{\nu'}^\rho) a_\rho^\sigma e_\sigma.$$

ولكن أيضاً في النقطة M:

$$(4) \quad de_\mu = \omega_\mu^\sigma e_\sigma.$$

نجد إذا بمقابلة (3) و (4):

$$(5) \quad \omega_\mu^\sigma = \Gamma_{\mu\lambda}^\sigma dy^\lambda = (da_\mu^{\nu'} + a_\mu^{\nu'} \omega_{\nu'}^\rho) a_\rho^\sigma,$$

أي:

$$(6) \quad \Gamma_{\mu\lambda}^\sigma = (\partial_\lambda a_\mu^{\nu'} + a_\mu^{\nu'} \Gamma_{\nu'\tau}^\rho a_\lambda^{\tau'}) a_\rho^\sigma,$$

لأن:

$$\omega_{\nu'}^\rho = \Gamma_{\nu'\tau}^\rho dy^{\tau'} = \Gamma_{\nu'\tau}^\rho a_\lambda^{\tau'} dy^\lambda$$

إضافة إلى الحد  $a_\mu^{\nu'} a_\lambda^{\tau'} a_\rho^\sigma, \Gamma_{\nu'\tau}^\rho$  الذي يظهر إذا كانت الرموز  $\Gamma_{\mu\lambda}^\sigma$  مركبات موتر تشير إلى أن تحويل هيكل الإسناد يدخل أيضاً في الحساب  $\partial_\lambda a_\mu^{\nu'} = a_\mu^{\nu'}, \partial_\lambda a_\mu^{\nu'} = a_\mu^{\nu'}, \partial_\lambda \partial_\mu y^{\rho'} = a_\mu^{\nu'}$  فتحويل الإحداثيات المنحنية يظهر إذا أن معاميل الارتباط القريب لا يتحول مثل مركبات موتر.

لا يستعمل هذا الإثبات أية فرضية تناظر للكميات  $\Gamma_{\mu\nu}^\rho$ . أما إذا افترضنا أن هذه الكميات غير متناظرة فإن الجزء المتخالف للتناظر منها  $\frac{1}{2} (\Gamma_{\mu\nu}^\rho - \Gamma_{\nu\mu}^\rho)$  يتحول مثل مركبات موتر لأن الحد الإضافي  $\partial_\mu \partial_\nu - \partial_\nu \partial_\mu$  يختفي في هذه الحالة.

وفي الحالة الخاصة جداً لإحداثيات مستقيمة ومتعامدة تكون الكميات  $g_{\mu\nu}$  ثابتة ومساوية لرموز كرونكر  $\delta_{\mu\nu}$ .

### (9) العلاقات التفاضلية بين مركبات الموتر الأساسي

لتكن  $g$  محدّدة المركبات المشابهة للتغير  $g_{\mu\nu}$ :

$$(XIV-9) \quad g = \det g_{\mu\nu}.$$

نثبت أيضاً هنا أن:

$$(XIV-10) \quad \text{minor } g_{\mu\nu} = gg^{\mu\nu}$$

وذلك باستعمال التحديد:

$$\sum_{\mu} g_{\mu\rho} \text{ min. } g_{\mu\nu} = g\delta_{\rho\nu}$$

والعلاقة:

$$(XIV-6) \quad g_{\mu\rho} g^{\mu\sigma} = \delta_{\rho}^{\sigma}.$$

ولكن نجد أيضاً:

$$(XIV-97) \quad dg = \sum_{\mu\nu} \text{min } g_{\mu\nu} \cdot dg_{\mu\nu} = gg^{\mu\nu} dg_{\mu\nu}$$

وإذا استعملنا (XIV-6):

$$(XIV-98) \quad dg = - gg_{\mu\nu} dg^{\mu\nu}$$

ومن جهة ثانية

$$(XIV-99) \quad \begin{aligned} dg_{\mu\nu} &= d(g_{\mu\rho} g_{\nu\sigma} g^{\rho\sigma}) \\ &= g_{\mu\rho} g_{\nu\sigma} dg^{\rho\sigma} + \delta_{\nu}^{\rho} dg_{\mu\rho} + \delta_{\mu}^{\sigma} dg_{\nu\sigma} \\ &= g_{\mu\rho} g_{\mu\sigma} dg^{\rho\nu} + 2dg_{\mu\nu}. \end{aligned}$$

فنجد إذاً:

$$(XIV-100) \quad dg_{\mu\nu} = - g_{\mu\rho} g_{\nu\sigma} dg^{\rho\sigma}.$$

والعلاقة العكسية:

$$(XIV-101) \quad dg^{\mu\nu} = -g^{\mu\rho} g^{\nu\sigma} dg_{\rho\sigma}.$$

لنرجع الآن إلى التحديد (XIV-95) لرموز كريستوفل. فإذا وضعنا  $\rho = \nu$  نجد:

$$(XIV-102) \quad \left\{ \begin{matrix} \rho \\ \mu\rho \end{matrix} \right\} = \frac{1}{2} g^{\rho\sigma} \partial_\mu g_{\rho\sigma}$$

وإذا أخذنا (XIV-97) بعين الاعتبار يمكن أن نكتب<sup>(6)</sup>:

$$(XIV-103) \quad \left\{ \begin{matrix} \rho \\ \mu\nu \end{matrix} \right\} = \frac{1}{2g} \partial_\mu g = \partial_\mu \log \sqrt{|g|}$$

### 10) المشتقات الموافقة للتغير

أ - مع تغير هياكل الإسناد من  $(M, e_\mu)$  إلى  $(M+dM, e_\mu+de_\mu)$  تتبدل المركبات المخالفة للتغير  $A^\mu$  لمتجه  $A$  كما أن هيكل الإسناد الطبيعي المحدد المشارك للإحداثيات المنحنية في  $M$  يتغير أيضاً. لنكتب:

$$(XIV-1) \quad A = A^\mu e_\mu$$

فيكون تغير  $A$ :

$$(XIV-104) \quad dA = dA^\mu \cdot e_\mu + A^\mu de_\mu = (dA^\mu + \omega_\rho^\mu A^\rho) e_\mu = \nabla A^\mu e_\mu.$$

وتكون المركبات المخالفة للتغير للمتجه  $dA$  إذا قيست في هيكل الإسناد الطبيعي في  $M$ :

$$(XIV-105) \quad \nabla A^\mu = dA^\mu + \omega_\sigma^\mu A^\sigma = dA^\mu + \Gamma_{\sigma\rho}^\mu A^\sigma dy^\rho.$$

تشكل الكميات  $\nabla A^\mu$  مركبات متجه (استناداً إلى تحديدها بالذات). فيكون للكميات  $\nabla_\rho A^\mu = \frac{\nabla A^\mu}{dy^\rho}$  صفة موثرية وقيمتها:

$$(XIV-106) \quad \nabla_\rho A^\mu \equiv \frac{\nabla A^\mu}{dy^\rho} = \partial_\rho A^\mu + \Gamma_{\sigma\rho}^\mu A^\sigma.$$

(5) في حالة فضاء إقليدي ومحاور متعامدة ومنظمة مع إحداثية رابعة حقيقية ( $x^0=d$ ) نجد:

$$g = g_{11} g_{22} g_{33} g_{00} = -1$$



أما الكميات  $A^\sigma$   $\Gamma_{\sigma\rho}^\mu$  فليست مركبات موتر وكذلك حال المشتقات العادية  $\partial_\rho A^\mu$ . وتسمى الكميات  $\nabla_\rho A^\mu$  المشتقات الموافقة للتغير أو المشتقات المطلقة للمركبات  $A^\mu$ . وتسمى  $\nabla A^\mu$  التفاضلية المطلقة المركبة  $A^\mu$  وتمثل التغير الحقيقي للمتجه  $A$  مقيساً في هيكل الإسناد  $(y^\mu)$  المحدد في  $M$ . ويشمل هذا التغير الدلومي تغير المركبات  $A^\mu$  وتغير هيكل الإسناد الطبيعي لدى الانتقال من النقطة  $M(y^\mu)$  إلى النقطة القريبة منها تفاضلياً  $M + dM (y^\mu + dy^\mu)$ . فالتفاضلية المطلقة والمشتقة الموافقة للتغير لهما صفات موترية.

ب - استناداً إلى (XIV-104) تمثل التفاضلية المطلقة  $\nabla A^\mu$  لمركبات متجه  $A$  المركبات المخالفة للتغير  $(dA)^\mu$  للمتجه  $dA$  أي تغير  $A$ . وكذلك تمثل التفاضلية المطلقة  $\nabla A_\mu$  لمركبات متجه  $A$  المركبات الموافقة للتغير  $(dA)_\mu$  للمتجه  $dA$  أي تغير  $A$ . يعني هذا أن:

$$(XIV-107) \quad \nabla A_\mu = (dA)_\mu = dA \cdot e_\mu$$

أي استناداً إلى (XIV-2) و (XIV-82):

$$(XIV-108) \quad \nabla A_\mu = d(A \cdot e_\mu) - A de_\mu = dA_\mu - A \omega_\mu^\sigma e_\sigma.$$

أو:

$$(XIV-109) \quad \nabla A_\mu = dA_\mu - \omega_\mu^\sigma A_\sigma = dA_\mu - \Gamma_{\mu\rho}^\sigma A_\sigma dy^\rho.$$

والمشتقة الموافقة للتغير للمركبات  $A_\mu$  تكتب بالصيغة:

$$(XIV-110) \quad \nabla_\rho A_\mu \equiv \frac{\nabla A_\mu}{d y_\rho} = \partial_\rho A_\mu - \Gamma_{\mu\rho}^\sigma A_\sigma.$$

نشير إلى أن العلاقة (XIV-109) تقود إلى:

$$(XIV-111) \quad \nabla e_\mu \equiv de_\mu - \omega_\mu^\sigma e_\sigma \equiv 0.$$

أي باستعمال (XIV-79) التي تمثل تحديد  $g_{\mu\nu}$  في هذا الفضاء الإقليدي<sup>(6)</sup>:

(6) إذا كان الفضاء غير إقليدي لا تكون العلاقة (XIV-79) تحديداً بسيطاً لـ  $g_{\mu\nu}$  ولا تكون هذه العلاقة صالحة للتفاضل differentiable ولا تكون العلاقة (XIV-112) صحيحة حتماً. وإذا كانت  $\nabla g_{\mu\nu} \neq 0$  لا يمكن تحديد وحدة للطول واحدة في كل النقط في هذا الفضاء (أنظر الفصل الخامس عشر المعادلة XV-76).

$$(XIV-112) \quad \nabla g_{\mu\nu} \equiv 0.$$

ومن البديهي أنه يمكن إيجاد رابط بين التحديدات (XIV-104) و (XIV-107) باستعمال الموتر الأساسي. فاستناداً إلى (XIV-107) يمكن أن نكتب:

$$(XIV-113) \quad (dA)_\mu = dA \cdot e_\mu = \nabla A^p (e_p \cdot e_\mu) = g_{\mu p} \nabla A^p.$$

وإذا قارنا الصيغ (XIV-107) و (XIV-113) يمكن أن نكتب<sup>(7)</sup>:

$$(XIV-114) \quad \nabla A_\mu = g_{\mu p} \nabla A^p$$

ج - المشتقة الموافقة للتغير لموتر: يمكن الحصول على المشتقة الموافقة للتغير أو المطلقة لموتر بتعميم الصيغ (XIV-106) و (XIV-110) فنجد:

$$(XIV-115) \quad \begin{aligned} \nabla_\rho A_{\mu\nu}{}^{\sigma\tau} &= \partial_\rho A_{\mu\nu}{}^{\sigma\tau} + \Gamma_{\lambda\rho}^\sigma A_{\mu\nu}{}^{\lambda\tau} + \Gamma_{\lambda\rho}^\tau A_{\mu\nu}{}^{\sigma\lambda} + \dots \\ &\quad - \Gamma_{\mu\rho}^\lambda A_{\lambda\nu}{}^{\sigma\tau} - \Gamma_{\nu\rho}^\lambda A_{\mu\lambda}{}^{\sigma\tau} - \dots \end{aligned}$$

حيث الإشارة (+) تؤخذ للمؤشرات المخالفة للتغير والإشارة (-) تؤخذ للمؤشرات الموافقة للتغير.

د - المشتقة الموافقة للتغير للموتر الأساسي: بتطبيق العلاقة (XIV-115) على مركبات الموتر الأساسي  $g_{\mu\nu} = e_\mu \cdot e_\nu$  نجد:

(7) يمكن كتابة صيغة التفاضل المطلق  $\nabla A_\mu$  مباشرة من (XIV-114) و (XIV-105) إذ إن:

$$\begin{aligned} \nabla A_\mu &= g_{\mu p} (dA^p + \Gamma_{\sigma\lambda}^p A^\sigma dy^\lambda) = dA_\mu - A^p (dg_{\mu p}) + g_{\mu p} \Gamma_{\sigma\lambda}^p A^\sigma dy^\lambda \\ &= dA_\mu - A^p (\Gamma_{\mu\lambda}^\sigma g_{\sigma p} + \Gamma_{\rho\lambda}^\sigma g_{\mu\sigma}) dy^\lambda + g_{\mu\sigma} \Gamma_{\rho\lambda}^\sigma A^\rho dy^\lambda \\ &= dA_\mu - \Gamma_{\mu\lambda}^\sigma A_\sigma dy^\lambda \end{aligned}$$

إذا:

$$\begin{aligned} dg_{\mu p} &= d(e_\mu \cdot e_p) = e_\mu^\sigma \omega_\rho^\sigma e_\sigma + e_p^\sigma \omega_\mu^\sigma e_\sigma \\ &= (\Gamma_{\rho\lambda}^\sigma g_{\mu\sigma} + \Gamma_{\mu\lambda}^\sigma g_{\rho\sigma}) dy^\lambda. \end{aligned}$$

ولكن هذه الطريقة تفترض أن  $g_{\mu p} = e_\mu \cdot e_p$  صالحة للتفاضل أي أن  $\nabla g_{\mu p} = 0$ . هذا هو الحال في الفضاء الإقليدي ولكن هذا الإثبات لا يمكن تعميمه على الفضاء غير الإقليدي.

$$(XIV-116) \quad \nabla_{\rho} g_{\mu\nu} = \partial_{\rho} g_{\mu\nu} - \Gamma^{\sigma}_{\mu\rho} g_{\sigma\nu} - \Gamma^{\sigma}_{\nu\rho} g_{\mu\sigma}$$

وذلك لأن الارتباط القريب لفضاء متجهي إقليدي يعبر عنه بواسطة رموز كريستوفل. فنجد إذاً:

$$(XIV-117) \quad \nabla_{\rho} g_{\mu\nu} = \partial_{\rho} g_{\mu\nu} - \left\{ \begin{matrix} \sigma \\ \mu\rho \end{matrix} \right\} g_{\sigma\nu} - \left\{ \begin{matrix} \sigma \\ \nu\rho \end{matrix} \right\} g_{\mu\sigma}.$$

ولكن استناداً إلى التحديد (XIV-95) للرموز  $\left\{ \begin{matrix} \rho \\ \mu\nu \end{matrix} \right\}$  نتعدم الصيغة (XIV-117) بالتطابق. مما يعني أنه إذا كان الفضاء المتجهي إقليدياً نجد دائماً:

$$(XIV-118) \quad \boxed{\nabla_{\rho} g_{\mu\nu} \equiv 0.}$$

وكذلك نجد للمركبات المخالفة للتغير:

$$(XIV-119) \quad \boxed{\nabla_{\rho} g^{\mu\nu} \equiv 0.}$$

### 11 الكثافات الموترية

الكثافات الموترية هي حاصل  $\sqrt{-g}$  بموتر. وترمز  $g$  هنا إلى محددة الموتر الأساسي. فإذا كان  $A^{\mu\nu}_{\rho\sigma}$  موترًا نحدّد الكثافة الموترية بأنها:

$$(XIV-120) \quad \boxed{a^{\mu\nu}_{\rho\sigma} = \sqrt{-g} a^{\mu\nu}_{\rho\sigma}}$$

وبشكل خاص تحدّد كثافة عددية لكل دالة سلمية  $A$  بالصيغة:

$$(XIV-121) \quad a = \sqrt{-g} A.$$

وتتحول مثل  $\sqrt{-g}$  في تحويل هياكل الإسناد. في هذا التحويل نجد:

$$(XIV-122) \quad g'_{\mu\nu} = a^{\rho}_{\mu} a_{\nu} g_{\rho\sigma}$$

أي:

$$(XIV-123) \quad g' = a^2 g, \quad a = \det a^{\rho}_{\mu}, \quad = \frac{1}{a'}, \quad (a' = \det. a^{\rho}_{\mu}).$$

مما يعني أن الكثافة العددية تتحول وفقاً للقاعدة:

$$(XIV-124) \quad a' = \sqrt{-g'} \quad A' = a \sqrt{-g} A = aa$$

هكذا نجد أنه علينا أن نستبدل الحجم التفاضلي:

$$(XIV-125) \quad d\tau = dy^1 \wedge dy^2 \dots \wedge dy^n.$$

بالحجم الثابت في التغيير:

$$(XIV-126) \quad \sqrt{-g} \, d\tau = \sqrt{-g} \, dy^1 \wedge dy^n.$$

ذلك أنه استناداً إلى قاعدة جاكوبي Jacobi تتحول (XIV-125) كما يلي:

$$(XIV-127) \quad d\tau' = d\tau \, \text{determ.} \frac{dy'^\rho}{dy^\sigma} = a' \, d\tau = \frac{1}{a} \, d\tau$$

فتكون الكمية (XIV-126) ثابتة فعلاً في التحويل أي أن:

$$(XIV-128) \quad \sqrt{-g'} \, d\tau' = a \sqrt{-g} \, \frac{1}{a} \, d\tau = \sqrt{-g} \, d\tau.$$

يسهل استعمال الكثافات المؤثرية في أغلب الأحيان صياغة معادلات المجال في الفضاء الريماني أو في الفضاء الإقليدي عند استعمال إحداثيات منحنية.

فحساب المشتقة الموافقة للتغير للكثافة  $a^{\mu\nu\dots} = \sqrt{-g} \, A^{\mu\nu\dots}$  يعطي:

$$(XIV-129) \quad \nabla_\rho a^{\mu\nu\dots} = \sqrt{-g} \, \nabla_\rho A^{\mu\nu\dots} \\ = \sqrt{-g} \left( \partial_\rho A^{\mu\nu\dots} + \left\{ \begin{matrix} \mu \\ \sigma\rho \end{matrix} \right\} A^{\sigma\nu\dots} + \left\{ \begin{matrix} \nu \\ \sigma\rho \end{matrix} \right\} A^{\mu\sigma\dots} \right)$$

أو:

$$(XIV-130) \quad \nabla_\rho a^{\mu\nu} = \partial_\rho a^{\mu\nu} + \left\{ \begin{matrix} \mu \\ \sigma\rho \end{matrix} \right\} a^{\sigma\nu} + \left\{ \begin{matrix} \nu \\ \sigma\rho \end{matrix} \right\} a^{\mu\sigma} - a^{\mu\nu} \frac{\partial_\rho \sqrt{-g}}{\sqrt{-g}} \\ = \partial_\rho a^{\mu\nu} + \left\{ \begin{matrix} \mu \\ \sigma\rho \end{matrix} \right\} a^{\sigma\nu} + \left\{ \begin{matrix} \nu \\ \sigma\rho \end{matrix} \right\} a^{\mu\sigma} - \left\{ \begin{matrix} \sigma \\ \sigma\rho \end{matrix} \right\} a^{\mu\nu}.$$

لننظر في الحالة الخاصة لمؤثر متخالف التناظر من الرتبة الثانية ذي المركبات المخالفة للتغير  $A^{\mu\nu}$ . باستعمال (XIV-130) نجد في حساب تباعد كثافتها:

$$(XIV-131) \quad \nabla_\rho a^{\mu\rho} = \partial_\rho a^{\mu\rho}$$

أو:

(XIV-132)

$$\nabla_{\rho} A^{\mu\rho} = \frac{1}{\sqrt{-g}} \partial_{\rho} (\sqrt{-g} A^{\mu\rho}).$$

مما يعني أن استعمال الكثافة المتوترية يجعل حساب المشتقات الموافقة للتغير يرجع إلى حساب المشتقات العادية.

وكذلك إذا كانت  $A^{\rho}$  مركبات متجه  $A$  بكثافة  $A^{\rho} = \sqrt{-g} a^{\rho}$  نجد باستعمال (XIV-130):

$$(XIV-133) \quad \nabla_{\rho} a^{\rho} = \partial_{\rho} a^{\rho}$$

أي:

(XIV-134)

$$\nabla_{\rho} A^{\rho} = \frac{1}{\sqrt{-g}} \partial_{\rho} a^{\rho}$$

الأجوبة:

$$f = \frac{R^2}{R^2 + \frac{1}{4} (\xi^2 + \eta^2)}, \quad \xi = \frac{2R \cos \varphi}{1 + \sin \varphi} \cos \theta, \quad \eta = \frac{2R \cos \varphi}{1 + \sin \varphi} \sin \theta.$$

5 - أكتب المعادلات (XV - 134) و (XV - 135) وأوجد المعادلات التي تعمم (XV - 138) و (XV - 139) في حالة فضاء ذي فتل  $(\Gamma_{\mu\nu} \neq \Gamma_{\nu\mu}^{\rho})$  إضافة إلى التقوس.

## تمارين

1 - إثبت أن خصائص التناظر والتناظر المتخالف للموترات لا تتبدل عند إجراء تحويل عام للإحداثيات.

2 إثبت أن الصيغ:

$$\varphi_{\mu\nu} = \partial_\mu \varphi_\nu - \partial_\nu \varphi_\mu$$

$$\varphi_{\mu\nu\rho} = \partial_\mu \varphi_{\nu\rho} + \partial_\rho \varphi_{\mu\nu} + \partial_\nu \varphi_{\rho\mu}$$

تتحول مثل موترات.

3 - يكتب مؤثر لابلاس في الإحداثيات المنحنية كما يلي:

$$\Delta f = g^{\mu\nu} \Delta_\mu \Delta_\nu f$$

أ - وسّع هذه الصيغة باستعمال رموز كريستوفل.

ب - إثبت أن هذه الصيغة يمكن كتابتها بصيغة تباعد:

$$\frac{1}{\sqrt{-g}} \partial_\rho (\sqrt{-g} V^\rho)$$

ج - اعطِ صيغة المؤثر  $\Delta$  لإحداثيات متعامدة بحيث ان الصيغة الأساسية هي:

$$ds^2 = \sum c_i (\sum_i h_i^2 (d\xi^i)^2)$$

حيث  $h_i$  هي دوال تبعاً لـ (P.G. Bergmann)  $\xi'$ .

الاستدلال في التشكيلات القياسية غير الإقليدية  
وتطبيقه على فضاء ريمان

(1) الفضاء القياسي والفضاء الإقليدي المُماس

يتميز الفضاء القياسي بالخاصية التالية: يمكن تحديد مقياس الطول اختيارياً في كل نقطة من هذا الفضاء. ويتغير بشكل عام هذا المقياس من نقطة إلى أخرى في الفضاء.

لتكن  $y^\mu$  الإحداثيات المنحنية المستعملة للاستدلال في هذا التشكيل. المسافة الفاصلة بين النقطتين  $M_0(y^\mu)$  و  $M'(y^\mu + dy^\mu)$  من هذا الفضاء تحدّد بالصيغة الرباعية التفاضلية:

$$(XV-1) \quad ds^2 = g^{\mu\nu} dy^\mu dy^\nu$$

وتكتب أيضاً:

$$(XV-2) \quad dM^2 = g_{\mu\nu} dy^\mu dy^\nu.$$

في حالة الفضاء الرباعي تكون الكميات العشر  $g_{\mu\nu}$  دوالاً متواصلة ويمكن تفاضلها بالنسبة إلى الإحداثيات  $y^\mu$ .

لنقرن هذا الفضاء القياسي بفضاء إقليدي في النقطة  $M_0 \equiv m_0$  بمحاور مستقيمة أصلها في النقطة  $m_0$ . ولنضع على كل من هذه المحاور المقياس ذاته للطول. وهذا ممكن لأننا حدّدنا مقياساً للطول في كل نقطة من الفضاء القياسي. ونختار المتجهات الأحادية  $(e_\mu)_0$  لهذا الفضاء الإقليدي بحيث تكون العلاقة:

$$(XV-3) \quad (e_\mu)_0 (e_\nu)_0 = (g_{\mu\nu})_0.$$

صحيحة في النقطة  $m_0$ . وتمثل الكميات  $(g_{\mu\nu})_0$  قيم  $g_{\mu\nu}$  في النقطة  $M_0 \equiv m_0$ . نجد إذاً بالقرب من  $M_0$  استناداً إلى (XV-2) و (XV-3) أن:

$$(XV-4) \quad (dM)_0^2 = (g_{\mu\nu})_0 dy^\mu dy^\nu = (e_\mu)_0 (e_\nu)_0 dy^\mu dy^\nu = (e_\mu dy^\mu)_0^2$$

أي:

$$(XV-5) \quad \left( \frac{\partial M}{\partial y^\mu} \right)_0 = (e_\mu)_0$$

فتكون المتجهات  $(e_\mu)_0$  باتجاه المحاور المماسية على خطوط الإحداثيات  $y^\mu$  في النقطة  $M_0$  أي بتعبير آخر، الهيكل الإسنادي الطبيعي في النقطة  $M_0$ . نقول إن المتجهات  $(e_\mu)_0$  تشكل قاعدة «الفضاء المماس» في النقطة  $M_0$  على التشكيل غير الإقليدي. وهذا الفضاء المماس على التشكيل غير الإقليدي هو فضاء إقليدي بصيغة أساسية:

$$(XV-6) \quad ds^2 = g_{\mu\nu} dy^\mu dy^\nu$$

تمثل مربع المسافة بين النقطتين  $m_0$  و  $m = m_0 + dm_0$  من هذا الفضاء المماس بالقرب من النقطة  $M_0 \equiv m_0$  ويدخل في هذه الصيغة المعامل:

$$(XV-7) \quad \bar{g}_{\mu\nu} = \bar{e}_\mu \cdot \bar{e}_\nu$$

وقيمته في النقطة  $m_0$  في هيكل الإسناد المحدد بالمتجهات  $(e_\mu)_0$  هي:

$$(XV-8) \quad (\bar{g}_{\mu\nu})_0 = (e_\mu)_0 (e_\nu)_0.$$

فإذا قابلنا الصيغ (XV-3) و (XV-8) نجد:

$$(XV-9) \quad (g_{\mu\nu})_0 = (\bar{g}_{\mu\nu})_0$$

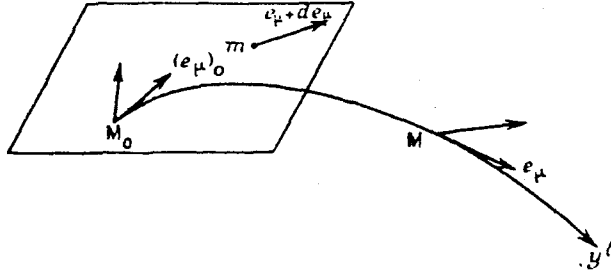
مما يعني أنه يمكن اختيار إحداثيات بحيث تكون الصيغ الأساسية للفضاء القياسي والفضاء الإقليدي المماس متطابقة في النقطة  $M = m_0$ . نقول إن الصيغ الأساسية مماسة في هذه النقطة.

## (2) الارتباط التالفي

لنفترض أن النقطتين  $M_0(y_0^p)$  و  $M(y_0^p + dy^p)$  متقاربتين تفاضلياً في التشكيل



القياسي ولنحدّد المتّجهات الأحادية  $(e_\mu)_0$  و  $e_\mu$  ذات الأصول في  $M_0$  و  $M$  المماسّة على خطوط الإحداثيات  $y_0^p$  و  $y^p$ . تشكل أنظمة المحاور  $(e_\mu)_0$  و  $e_\mu$  الهيكلين الإسناديين الطبيعيين في النقطتين  $M_0$  و  $M$  وتحدّدان هكذا الفضاءين الإقليديين المماسين على التشكيل القياسي في هاتين النقطتين.



الشكل 45 - الاستدلال في الفضاء المماس في النقطة القريبة.

نريد إيجاد علاقة بين النقطة  $M$  والمتّجهات  $e_\mu$  (من الفضاء الإقليدي المماس في النقطة  $M$ ) والنقطة  $m$  والمتّجهات  $(e_\mu)_0$  (من الفضاء الإقليدي المماس في  $M_0$ ) تتيح هذه العلاقة ربط هياكل الإسناد المحلية التي تحدّد الفضاء الإقليدي المماس على التشكيل القياسي من نقطة إلى نقطة قريبة.

عند تغير الإحداثيات من  $y^p$  إلى  $y'^p = y^p + dy^p$  تتغير النقطة  $M(y^p)$  والمتّجهات  $e_\mu(y^p)$  في الفضاء الإقليدي المماس في النقطة  $M$  بالكميات:

(XV-10)

$$dM = dy^\mu e_\mu$$

(XV-11)

$$de_\mu = \omega_\mu^\nu e_\nu = \Gamma_{\mu\rho}^\nu e_\nu dy^\rho$$

ونخصص لكل نقطة  $M$  من التشكيل القياسي «النقطة الصورة»  $m = m_0 + dm$  في الفضاء الإقليدي المماس في النقطة  $M_0$ . كذلك نخصص للمتّجه  $e_\mu(M)$  من التشكيل القياسي «المتجه الصورة»  $\bar{e}_\mu + d\bar{e}_\mu$  من الفضاء الإقليدي. بهذه الطريقة يتمثل التشكيل القياسي القريب من  $M_0$  في الفضاء الإقليدي المماس في النقطة  $M_0$ . والمعامل  $\Gamma_{\mu\rho}^\nu$  الذي يتيح الربط بين الفضاء الإقليدي المماس في النقطة  $M_0$  والنقطة  $M$  القريبة تفاضلياً يسمى «معامل الارتباط التآلفي في التشكيل القياسي».

## 3) التمثيل من الدرجة الأولى

لنكتب العلاقات (XV-10) و (XV-11) في النقطة  $M_0 \equiv m_0$  من الفضاء الإقليدي المماس في  $M_0$ :

$$(XV-12) \quad (dM)_0 = dy^\mu (e_\mu)_0$$

$$(XV-13) \quad (de_\mu)_0 = (\Gamma_{\mu\rho}^\nu)_0 (e_\nu)_0 dy^\rho.$$

فإذا كان التغير  $dy^\nu = y^\nu - y_0^\nu$  تفاضلياً من الدرجة الأولى تكون الكميات (XV-13) و (XV-12) من الدرجة الأولى أيضاً.

ومن جهة ثانية إن المتجهات  $\bar{e}'_\mu (m')$  المحددة في النقطة  $m + dm$  من الفضاء الإقليدي والقريبة تفاضلياً من النقطة  $m$  تكتب أيضاً  $\bar{e}_\mu + d\bar{e}_\mu$  في الفضاء الطبيعي في  $m$  مع:

$$(XV-14) \quad dm = dy^\mu \bar{e}_\mu$$

$$(XV-15) \quad d\bar{e}_\mu = \omega_\mu^\nu \bar{e}_\nu = \left\{ \bar{\omega}_{\mu\rho}^\nu \right\} \bar{e}_\nu dy^\rho,$$

حيث الرموز التي فوقها خط تعود إلى الكميات المحسوبة من المتوتر  $g_{\mu\nu}$  للفضاء الإقليدي.

ونجد بشكل خاص في الفضاء الإقليدي المماس في  $M_0$  على التشكيل القياسي:

$$(XV-16) \quad (dm)_0 = dy^\mu (e_\mu)_0$$

$$(XV-17) \quad d(e_\mu)_0 = \left\{ \bar{\omega}_{\mu\rho}^\nu \right\} (e_\nu)_0 dy^\rho.$$

لإثبات ذلك ننطلق من:

$$(XV-18) \quad (\bar{e}_\mu)_0 = (e_\mu)_0.$$

وإذا قابلنا العلاقات (XV-12) و (XV-16) نجد:

$$(XV-19) \quad (dM)_0 = (dm)_0$$

أي:

$$(XV-20) \quad \left( \frac{\partial M}{\partial y^\mu} \right)_0 = \left( \frac{\partial m}{\partial y^\mu} \right)_0 = (e_\mu)_0.$$

ونستخلص نتائج المقطع الأول من تمثيل التشكيل القياسي تمثيلاً من الدرجة الأولى بالفضاء الإقليدي المماس على التشكيل القياسي في النقطة  $M_0 \equiv m_0$ .

ومن جهة ثانية نجد بشكل عام:

$$(XV-21) \quad (de_\mu)_0 \neq d(e_\mu)_0.$$

وذلك لأن المتجهات  $e_\mu$  المماسية لخطوط الإحداثيات  $y^\mu$  في التشكيل القياسي تطابق متجهات الفضاء الطبيعي الإقليدي  $\bar{e}_\mu$  في النقطة  $M_0 \equiv m_0$  ولكنها لا تتطابق في النقطة القريبة تفاضلياً: فتغير الإحداثيات  $dy^p$  يقود إلى تغير المتجهات  $(e_\mu)_0$  في التشكيل القياسي لتصبح  $(e_\mu)_0 + (de_\mu)_0$  ولتصبح  $(e_\mu)_0 + d(e_\mu)_0$  في الفضاء المماس. وهذه المتجهات الجديدة ليست متساوية بشكل عام.

كذلك استناداً إلى (XV-13) و (XV-17) نجد:

$$(XV-22) \quad (\Gamma_{\mu\nu}^\rho)_0 \neq \left\{ \begin{matrix} \rho \\ \mu\nu \end{matrix} \right\}_0.$$

وعكس ذلك إذا افترضنا أن:

$$(XV-23) \quad (de_\mu)_0 = d(e_\mu)_0.$$

نجد إذا ضربنا عددياً بالمتجه  $(\bar{e}_\mu)_0 = (e_\mu)_0$  ثم بادلنا المؤشرات  $\mu$  و  $\nu$  وجمعنا المعادلتين:

$$(XV-24) \quad (e_\nu)_0 (de_\mu)_0 + (e_\mu)_0 (de_\nu)_0 = (e_\nu)_0 d(e_\mu)_0 + (e_\mu)_0 d(e_\nu)_0$$

أي:

$$(XV-25) \quad d(e_\mu)_0 (e_\nu)_0 = (de_\mu e_\nu)_0$$

أو:

$$(XV-26) \quad (dg_{\mu\nu})_0 = d(e_\mu)_0 (e_\nu)_0 = d(g_{\mu\nu})_0.$$

وإذا حذفنا المؤشر (0) نجد بالقرب من كل النقطة M:

$$(XV-27) \quad dg_{\mu\nu} = d(e_\mu \cdot e_\nu).$$

#### (4) التمثيل من الدرجة الثانية

إذا أردنا مقارنة التغيرات التفاضلية في نقطتين متقاربتين علينا أن نستعمل تمثيلاً من الدرجة الثانية للتشكيل القياسي في الفضاء الإقليدي المماس في النقطة  $M$ .

نفترض مثلاً أن النقطة  $M$  تتبع مساراً مغلقاً تفاضلياً. لإعطاء تمثيل للتغيرات المتتالية  $dM$  و  $de_\mu$  علينا ارجاعها إلى الفضاء الإقليدي المماس في نقطة معينة  $m_0 \equiv M_0$ . ومن المناسب أن نختار هذه النقطة داخل المسار التفاضلي بحيث تكون قريبة من كل نقط المسار.

لكل نقطة  $M$  من التشكيل القياسي تخصص نقطة  $m$  من الفضاء الإقليدي المماس في النقطة  $m_0$ . والمتجهات الأحادية المماسية على خطوط الإحداثيات  $y^\mu$  في النقطة  $M$  يستدل عليها في الفضاء الإقليدي المماس في  $M_0$  كما يلي:

$$(XV-28) \quad e_\mu = (e_\mu)_0 + (\omega_\mu^\nu)_0 (e_\mu)_0 = (e_\mu)_0 + (\Gamma_{\mu 0}^\nu)_0 (y^\rho - y_0^\rho) (e_\nu)_0$$

حيث أخذنا بعين الاعتبار (XV-13).

والانتقال من النقطة  $M$  والمتجهات  $e_\mu(M)$  إلى النقطة  $M'$  القريبة تفاضلياً وهيكل الإسناد الطبيعي  $e'_\mu(M')$  يعبر عنه بالتغيرات (XV-10) و (XV-11):

$$(XV-10) \quad dm = \omega^\mu e_\mu = dy^\mu e_\mu$$

$$(XV-11) \quad de_\mu = \omega_\mu^\nu e_\nu = \Gamma_{\mu 0}^\nu e_\nu dy^\rho.$$

المقيسة في الفضاء المماس في النقطة  $m \equiv M$ . وإذا قيست هذه التغيرات في الفضاء المماس في النقطة الثابتة  $m_0 \equiv M_0$ . نجد (بإحلال (XV-28) في (XV-10) و (XV-11):

$$(XV-29) \quad (dm)_0 = [dy^\mu + (\Gamma_{\nu 0}^\mu)_0 (y^\rho - y_0^\rho) dy^\nu] (e_\mu)_0$$

$$(XV-30) \quad (de_\mu)_0 = [\omega_\mu^\nu + (\Gamma_{\sigma 0}^\nu)_0 (y^\rho - y_0^\rho) \omega_\mu^\sigma] (e_\nu)_0.$$

هذه العلاقات التي تدخل فيها الكميات  $dy^\nu (y^\rho - y_0^\rho)$  التي هي جداء كميات تفصالية من الدرجة الأولى تسمى التمثيل من الدرجة الثانية.

ونكتب استناداً إلى العلاقة (XV-29):

$$(XV-31) \quad \left( \frac{\partial^2 m}{\partial y^\mu \partial y^\nu} \right)_0 = (\Gamma_{\nu\mu}^\rho)_0 (e_\rho)_0.$$

ومن ثم

$$\left( \frac{\partial^2 m}{\partial y^\mu \partial y^\nu} \right)_0 \neq \left( \frac{\partial^2 m}{\partial y^\nu \partial y^\mu} \right)_0$$

أي أن الإنتقال  $dm$  غير صالح للتكامل بشكل عام.

ومن جهة ثانية إذا قابلنا (XV-29) و (XV-30) مع صيغ التغيرات الإقليدية المكتوبة حتى الدرجة الثانية (ضمناً).

$$(XV-33) \quad dm_0 = [dy^\mu + \left\{ \begin{matrix} \bar{\mu} \\ \nu\rho \end{matrix} \right\}_0 (y - y_0^\rho) dy^\nu] (e_\mu)_0$$

$$(XV-34) \quad d(e_\mu)_0 = [(\omega_\mu^\nu)_0 + \left\{ \begin{matrix} \bar{\nu} \\ \sigma\rho \end{matrix} \right\}_0 (y_\rho - y_0^\rho) (\omega_\mu^\sigma)_0] (e_\nu)_0$$

$$(XV-35) \quad \frac{\partial^2 m}{\partial y^\mu \partial y^\nu} \neq \left( \frac{\partial^2 m}{\partial y^\mu \partial y^\nu} \right)_0 ; \frac{\partial (e_\nu)_0}{\partial y^\mu} \neq \left( \frac{\partial e_\nu}{\partial y^\mu} \right)_0. \quad \text{نجد:}$$

بمعنى آخر يكون التشكيل القياسي مماساً في كل نقطة منه على فضاء إقليدي  $\left( \left( \frac{\partial M}{\partial y^\mu} \right)_0 = \left( \frac{\partial m}{\partial y^\mu} \right)_0 \right)$  ولكن هذا التماس ليس صحيحاً في الدرجة الثانية.

### 5) المتجهات والموترات المرتبطة بالتشكيلات القياسية

لنفترض تشكيلاً قياسياً والهيكل الإسنادي الطبيعي في كل نقطة  $M$ . مما يحدّد الفضاء الإقليدي المماس المقترن بهذا التشكيل القياسي بالتقريب من نقطة إلى أخرى. في كل نقطة يتميز الفضاء بهيكل إسناد ذي موتر قياسي  $g_{\mu\nu}$  بحيث إن:

$$(XV-9) \quad (\bar{g}_{\mu\nu})_0 = (g_{\mu\nu})_0$$

لنفترض أن متّجهاً أو موترأ يحدّد بمركباته في نظام المحاور في الفضاء الإقليدي المماس. نحصل هكذا على مجال متّجهي أو موترّي في التشكيل القياسي.

إذا أجرينا تحويلاً في الإحداثيات وبالتالي تحويلاً في هيكل الإسناد الطبيعي في النقطة ذاتها  $M$  تتحول مركبات المتّجّه أو الموتر كما بيّنا في الفصل الرابع عشر (انظر المعادلات (XIV-44) إلى (XIV-52))، طبعاً تتغير معاملات التحويل  $a_\mu^\nu$  و  $a_\nu^\mu$  من نقطة إلى أخرى في التشكيل القياسي.

وفي كل نقطة M من التشكيل تنطبق التحديدات التي جاءت في الفصل الرابع عشر على الفضاء الإقليدي المماس. فالمركبات المخالفة للتغير  $A^\mu$  تحدّد على المحاور  $e_\mu$  بالصيغة:

$$(XV-36) \quad A = A^\mu e_\mu$$

ومن جهة ثانية إذا شكلنا الجداء العددي (السلمي):

$$(XV-37) \quad A e_\mu = A^\mu$$

نحصل على المركبات الموافقة للتغير للمتجه A. وترتبط هذه المركبات بالمركبات المخالفة للتغير بالعلاقة (المشابهة لـ (XIV-5)):

$$(XV-38) \quad A_\mu = (a^p e_p) e_\mu = g_{\mu p} A^p,$$

ونحدّد كما في المعادلة (XIV-6) المركبات المخالفة للتغير للموتر القياسي بحيث إن:

$$(XV-39) \quad g_{\mu\rho} g^{\nu\rho} = \delta_\mu^\nu.$$

مما يتيح كتابة العلاقة العكسية للعلاقة (XV-38) بالصيغة التالية (كما فعلنا في الفصل الرابع عشر):

$$(XV-40) \quad g^{\mu\rho} A_\rho = g^{\mu\rho} g_{\mu\sigma} A^\sigma = \delta_\sigma^\mu A^\sigma = A^\mu$$

ونعمّم كما في الفصل الرابع عشر العلاقات (XV-38) و (XV-40) لمركبات أي موتر بمؤشرات موافقة للتغير عددها p ومؤشرات مخالفة للتغير عددها q فنجد:

$$(XV-41) \quad A_{\mu'} = g_{\mu\rho} g_{\rho\sigma} A^{\rho\sigma}, \quad A^{\mu\nu} = g^{\mu\rho} g^{\nu\sigma} A_{\rho\sigma}.$$

$$(XV-42) \quad A^{\mu\nu\dots\rho\sigma\dots} = g^{\mu\lambda} g^{\nu\tau} \dots g_\rho g_\sigma \dots A_{\lambda\tau\dots}$$

أخيراً يكتب الجداء السلمي كما في الصيغة (XIV-16) كما يلي:

$$(XV-43) \quad A \cdot B = A^\mu B_\mu = g_{\mu\nu} A^\mu B^\nu.$$

ومعيار أو مربع قياس متجه A هو

$$|A|^2 = A_\mu A^\mu = g_{\mu\nu} A^\mu A^\nu$$

وبشكل خاص مربع قياس المتجه  $dM(dy^p)$  في الفضاء الإقليدي المماس في  $M$  هو:

$$(XV-45) \quad |dM|^2 = dy_\mu dy^\mu = g_{\mu\nu} dy^\mu dy^\nu.$$

أخيراً يخضع المؤثر القياسي  $g_{\mu\nu}$  في كل نقطة  $M$  من التشكيل القياسي إلى القواعد (XIV-97) وما يليها من الفصل السابق:

لنفرض أن محدّدة المؤثر  $g_{\mu\nu}$  هي  $g$  أي:

$$(XV-46) \quad g = \det. g_{\mu\nu}$$

نستنتج كما المعادلة (XIV-10) وانطلاقاً من المعادلة (XV-39) أن:

$$(XV-47) \quad \text{minor } g_{\mu\nu} = gg^{\mu\nu}.$$

وحسب قواعد اشتقاق derivation المحدّات نجد هنا أيضاً العلاقات (XIV-97) و (XIV-98) و (XIV-100) أي في كل نقطة  $M$  من التشكيل:

$$(XV-48) \quad dg = gg^{\mu\nu} dg_{\mu\nu} = -gg_{\mu\sigma} dg^{\mu\sigma}$$

$$(XV-49) \quad dg_{\mu\nu} = -g_{\mu\rho} g_{\nu\sigma} dg^{\rho\sigma}$$

$$(XV-50) \quad dg^{\mu\sigma} = -g^{\mu\rho} g^{\nu\sigma} dg_{\rho\sigma}$$

سنحاول في ما يلي ربط المتجهات والمؤثرات المحددة في نقطتين متقاربتين تفاضلياً من التشكيل. وهذا ممكن إذا كنا نعرف كيف نصل من نقطة إلى نقطة قريبة الفضاء الإقليدي المماس في كل نقطة أي إذا كنا نعرف الربط القريب للتشكيل.

## (6) الاشتقاق المكافئ

كتحديد نقول إن المتجه  $e'_\mu(M')$  متكافئ مع المتجه  $e_\mu(M)$  أو إن  $e'_\mu(M')$  هو حصيلة نقل  $e_\mu(M)$  بالتوازي إذا كانت صورة الأصل  $e_\mu + de_\mu$  في الفضاء الإقليدي المماس في  $M$  متكافئة مع  $e_\mu(M)$ .

نحدّد المتجه  $A$  بمركباته المخالفة للتغير في كل نقطة. وبنبي علاقة بين مركبات المتجه  $A(y^p)$  في  $M$  ومركبات المتجه  $A'(y'^p)$  في نقطة  $M'$  قريبة تفاضلياً من  $M$  وذلك من خلال الصورة  $A + dA$  للمتجه  $A$  في الفضاء الإقليدي المماس في  $M$ . فيكون المتجه  $dA$  التغير الحقيقي أو المطلق للمتجه  $A$  عند الانتقال من  $M$  إلى  $M'$ .

ويعود هذا التغيير إلى تغير المركبات المخالفة للتغيير  $A^\mu$  عند الانتقال من  $M$  إلى  $M'$  وإلى التغير في هيكل الإسناد عند هذا الانتقال. فإذا كتبنا:

$$(XV-36) \quad A = A^\mu e_\mu$$

نجد في الفضاء المماس في  $M$ :

$$(XV-51) \quad dA = dA^\mu \cdot e_\mu + A^\mu de_\mu = (dA^\mu + \omega_\rho^\mu A^\rho) e_\mu = DA^\mu \cdot e_\mu.$$

فيكون التغير الحقيقي لمركبات المتجه  $A$  المخالفة للتغير في الفضاء المماس في النقطة  $M$ :

$$(XV-52) \quad DA^\mu = dA^\mu + \omega_\sigma^\mu A^\sigma = dA^\mu + \Gamma_{\sigma\rho}^\mu A^\sigma dy^\rho.$$

واستناداً إلى التحديد (XV-51) تشكل هذه التغيرات الحقيقية مركبات موترية (بينما التغيرات  $dA^\mu$  ليس لها صفة موترية استناداً إلى (XV-52)). وتمثل  $dA^\mu$  التفاضلية المطلقة absolute differential للمركبات المخالفة للتغير  $A^\mu$  أو التغيرات المطلقة (المستقلة عن طريقة التمثيل المعتمدة) عند الانتقال من  $M$  إلى  $M'$ .

ونحدد المشتقة الموافقة للتغير  $D_\rho A^\mu$  (أو  $A^\mu_{;\rho}$ ) للمركبات  $A^\mu$  بأنها نسبة التغير المطلق  $DA^\mu$  على التغير  $dy^\rho$  في الإحداثيات:

$$(XV-53) \quad D_\rho A_\mu \equiv A^\mu_{;\rho} \equiv \frac{DA^\mu}{dy^\rho} \equiv \partial_\rho A^\mu + \Gamma_{\sigma\rho}^\mu A^\sigma.$$

ولهذه المشتقات الموافقة صفة موترية محدّدة (مثلها مثل  $DA^\mu$ ). ويمثل التفاضل المطلق  $DA^\mu$  المركبات المخالفة للتغير  $(dA)^\mu$  للتغير  $dA$  بالنسبة إلى القاعدة  $e_\mu$  في الفضاء الإقليدي المماس في  $M$ . وكذلك التفاضل المطلق  $DA_\mu$  للمركبات الموافقة للتغير هي المركبات الموافقة للتغير  $(dA)_\mu$  ذاته بالنسبة إلى القاعدة  $e_\mu$ :

$$(XV-54) \quad DA_\mu = (dA)_\mu = dA \cdot e_\mu.$$

وتكتب أيضاً هذه العلاقة بالصيغة:

$$(XV-55) \quad DA_\mu = d(A \cdot e_\mu) - A \cdot de_\mu.$$



وإذا أخذنا بعين الاعتبار (XV-37) و (XV-11):

$$(XV-56) \quad DA_\mu = dA_\mu - \omega_\mu^\sigma A_\sigma e_\sigma.$$

نحصل على:

$$(XV-57) \quad DA_\mu = dA_\mu - \omega_\mu^\sigma A_\sigma = dA_\mu - \Gamma_{\mu\rho}^\sigma A_\sigma dy^\rho.$$

ومنها نحصل بسهولة على المشتقة الموافقة  $D_\rho A_\mu$  أو  $A_{\mu\rho}$ :

$$(XV-58) \quad D_\rho A_\mu \equiv A_{\mu\rho} = \frac{DA_\mu}{dy^\rho} = \partial_\rho A_\mu - \Gamma_{\mu\rho}^\sigma A_\sigma.$$

والتحديد (XV-58) يقود حتماً إلى:

$$(XV-59) \quad De_\mu \equiv de_\mu - \omega_\mu^\sigma e_\sigma \equiv 0.$$

ونجد أيضاً باستعمال (XV-54) و (XV-51):

$$(XV-60) \quad (dA)_\mu = dA \cdot e_\mu = (DA^\rho) e_\rho \cdot e_\mu = g_{\mu\rho} DA^\rho$$

وإذا قارنا هذه النتيجة مع (XV-54) نجد:

$$(XV-61) \quad DA_\mu = g_{\mu\rho} DA^\rho.$$

أن الشرط:

$$(XV-62) \quad Dg_{\mu\nu} = 0.$$

ضروري لعدم تناقض الصيغ (XV-53) و (XV-58) في التشكيل القياسي حيث  $A_\mu = g_{\mu\rho} A^\rho$ . فإذا كان الشرط  $Dg_{\mu\nu} = 0$  مستوفى أي إذا كانت مركبات الموتر  $g_{\mu\nu} = (e_\mu \cdot e_\nu)$  قابلة للتفاضل وفي هذه الحالة فقط إذا أطلنا (XV-52) في (XV-62) نجد التحديد (XV-58).

ويمكن أن نعمم بسهولة التحديدات (XV-53) و (XV-58) إلى الموتر  $A_{\mu\nu..}{}^{\lambda\sigma..}$ . فالمشتقة الموافقة لهذا الموتر هي:

$$(XV-63) \quad D_\rho A_{\mu\nu..}{}^{\lambda\sigma..} \equiv A_{\mu\nu..}{}^{\lambda\sigma..}{}_\rho = \partial_\rho A_{\mu\nu..}{}^{\lambda\sigma..} - \Gamma_{\mu\rho}^\tau A_{\tau\nu..}{}^{\lambda\sigma..} - \Gamma_{\nu\rho}^\tau A_{\mu\tau..}{}^{\lambda\sigma..} \\ + \Gamma_{\mu\rho}^\tau A_{\mu\nu..}{}^{\tau\sigma..} + \Gamma_{\rho}^\sigma A_{\mu\nu..}{}^{\lambda\tau..}$$

وفي الحالة الخاصة للموتر الأساسي  $g_{\mu\nu}$  نجد:

$$(XV-64) \quad D_\rho g_{\mu\nu} = \partial_\rho g_{\mu\nu} - \Gamma_{\mu\rho}^\sigma g_{\nu\sigma} - \Gamma_{\nu\rho}^\sigma g_{\mu\sigma}.$$

ويكتب الشرط (XV-60) إذا بالصيغة:

$$(XV-65) \quad \partial_{\rho\mu\nu} = \Gamma_{\mu\rho}^\sigma (e_\sigma e_\nu) + \Gamma_{\nu\rho}^\sigma (e_\mu e_\sigma).$$

واستناداً إلى (XV-11) يكتب بالصيغة:

$$(XV-66) \quad \partial_\rho g_{\mu\nu} = (\partial_\rho e_\mu) e_\nu + (\partial_\rho e_\nu) e_\mu = \partial_\rho (e_\mu \cdot e_\nu).$$

إن الشرط (XV-60) يعني أن  $g_{\mu\nu} = e_\mu \cdot e_\nu$  الصحيحة في النقطة M قابلة للتفاضل. وسنرى في المقطع القادم أن هذه الخاصية تعبر عن إمكانية تحديد مقياس الطول المطلق ذاته في كل نقطة من التشكيل القياسي<sup>(1)</sup>.

## 7 الانتقال المتوازي لمتجه

لنفترض أن الشرطين (XV-60) و (XV-66) مؤمنان. استناداً إلى (XV-52) و (XV-57) يكتب التغير الحقيقي لمركبات متجه نتيجة للتغير  $dy^\rho$  في الإحداثيات:

$$(XV-67) \quad DA^\mu = dA^\mu + \Gamma_{\nu\rho}^\mu A^\nu dy^\rho = (A^\mu + dA^\mu) - (A^\mu - \Gamma_{\nu\rho}^\mu A^\nu dy^\rho)$$

$$(XV-68) \quad DA_\mu = dA_\mu - \Gamma_{\mu\rho}^\sigma A_\sigma dy^\rho = (A_\mu + dA_\mu) - (A_\mu + \Gamma_{\mu\rho}^\sigma A_\sigma dy^\rho).$$

فهو إذا فرق كميتين:

— الكمية الأولى  $A^\mu + dA^\mu$  (أو  $A^\mu + dA_\mu$ ) وهي القيمة التي تأخذها المركبات  $A^\mu$  (أو  $A_\mu$ ) إذا نقل المتجه A من M إلى M' بأية طريقة.

— الكمية الثانية  $A^\mu - \Gamma_{\nu\rho}^\mu A^\nu dy^\rho$  (أو  $A_\mu + \Gamma_{\mu\rho}^\sigma A_\sigma dy^\rho$ ) وهي القيمة التي تأخذها المركبات  $A^\mu$  (أو  $A_\mu$ ) إذا نقل المتجه A من M إلى M' بانتقال متواز. فيكون التغير في مركبات متجه ينقل متوازيًا على نفسه:

(1) وتعني كما سنرى في الملاحظة في أسفل الصفحة 479 أن التشكيل القياسي ليس له تقوس تشابه الوضع homothety curvature (انظر إلى المعادلات (19) و (20) في تلك الملاحظة).

$$(XV-69) \quad (dA^\mu)_{11} = -\Gamma_{\nu\rho}^\mu A^\nu dy^\rho$$

$$(XV-70) \quad (dA_\mu)_{11} = \Gamma_{\mu\rho}^\sigma A_\sigma dy^\rho$$

بهذا الاصطلاح يكون التغير الحقيقي في المركبات  $A^\mu$  و  $A_\mu$ :

$$(XV-71) \quad DA^\mu = dA^\mu - (dA^\mu)_{11}$$

$$(XV-72) \quad DA_\mu = dA_\mu - (dA_\mu)_{11}$$

ويساوي الفرق بين التغيرات في مركبات المتجه المنقول من  $M$  إلى  $M'$  بأية طريقة والتغيرات الناتجة عن انتقال متواز.

وإذا كان المتجه  $A'(M')$  ينتج فعلاً عن انتقال متواز للمتجه  $A(M)$  نجد  $dA^\mu = (dA^\mu)_{11}$  وبالتالي استناداً إلى (XV-71) و (XV-72):

$$(XV-73) \quad DA^\mu \equiv 0$$

$$(XIV-74) \quad DA^\mu \equiv 0.$$

وتعني هذه النتيجة أنه: إذا نُقل متجه متوازياً على نفسه يكون التفاضل المطلق لمركباته منعدماً وبالتالي تكون مشتقته الموافقة منعدمة.

نستنتج من التحديدات (XV-51) أن الصورة  $A + dA$  للمتجه  $A'(M')$  في الفضاء الإقليدي المماس على التشكيل القياسي في النقطة  $M$  تكون مساوية للمتجه  $A$  إذا كان المتجه  $A'$  ناتجاً عن انتقال  $A$  متوازياً على نفسه. يعني هذا أن مفهوم التوازي في نقطتين متقاربتين تفاضلياً يعبر عنه بالتوازي في المعنى العادي للكلمة أي تساوي مركبات المتجه  $A$  ومركبات المتجه  $A + dA$  (الذي هو صورة  $A'$ ) في الفضاء الإقليدي المماس.

نشير أخيراً أنه إذا كان المتجه  $A$  ينقل متوازياً مع نفسه يجب أخذ الشرط التالي بعين الاعتبار:

$$(XV-74) \quad dA^\mu = -\Gamma_{\sigma\rho}^\mu A^\sigma dy^\rho \quad \text{أو} \quad DA^\mu = 0$$

لحساب تغير مربع قياس هذا المتجه :

$$(XV-75) \quad d(\ell^2) = d(g_{\mu\nu} A^\mu A^\nu) = dg_{\mu\nu} A^\mu A^\nu + 2g_{\mu\sigma} A^\nu dA^\mu.$$

فإذا أحللنا (XV-74) في (XV-75) وأخذنا الصيغة (XV-64) بعين الاعتبار نجد:

$$(XV-76) \quad d(\ell^2) = dg_{\mu\nu} \cdot A^\mu A^\nu - 2g_{\mu\nu} A^\nu \Gamma_{\sigma\rho}^\mu A^\sigma dy^\rho$$

$$= (dg_{\mu\nu} - \Gamma_{\mu\rho}^\lambda g_{\lambda\nu} dy^\rho - \Gamma_{\nu\rho}^\lambda g_{\lambda\mu} dy^\rho) A^\mu A^\nu$$

$$= (Dg_{\mu\nu}) A^\mu A^\nu$$

يعبرُ الشرط (XV-62) (أي  $Dg_{\mu\nu} = 0$ ) إذاً عن المحافظة على قياس المتجه إذا نقل متوازياً على نفسه.

وبشكل خاص المتجهات  $e_\mu$  تُنقل دائماً متوازياً على نفسها لأن  $(De_\mu \equiv de_\mu - \Gamma_{\mu\rho}^\sigma e_\sigma dy^\rho = 0)$  القياسي. مما يعني بفضل هذا الشرط (XV-62) أنه يمكن تحديد مقياس مطلق للطول.

## 8) شروط قابلية التكامل وتكوين الفضاء

### 1.8 - الفضاء الإقليدي

يكون الفضاء إقليدياً إذا كانت شروط قابلية التكامل للكميات:

$$(XV-10) \quad dm = e_\mu dy^\mu$$

$$(XV-11) \quad de_\mu = \omega_\mu^\nu e_\nu = \Gamma_{\mu\rho}^\nu e_\nu dy^\rho$$

متوفرة. فنجد إذاً حسبنا التكامل على مسار مغلق تفاضلي

$$(XV-77) \quad \int dm = 0$$

$$(XV-78) \quad \int de_\mu = 0$$

1 - قابلية  $dm$  للتكامل: يعبرُ عن هذا الشرط بتناظر معامل الارتباط التآلفي.

فعلاً إذا كان التغيير  $dm$  قابلاً للتكامل يكون التغيير  $dm$  مستقلاً عن المسار المتبّع للذهاب من  $m_0$  إلى  $m$  في الفضاء الإقليدي المماس. نجد إذاً:

$$(XV-79) \quad \partial_\mu \partial_\nu m = \partial_\nu \partial_\mu m$$

أو استناداً إلى (XV-10):

$$(XV-80) \quad \partial_\mu e_\nu = \partial_\nu e_\mu.$$

وإذا أخذنا (XV-11) بعين الاعتبار نجد كما للمعادلة (XIV-90):

$$(XV-81) \quad \Gamma_{\mu\nu}^\rho e_\rho = \Gamma_{\nu\mu}^\rho e_\rho$$

أي<sup>(2)</sup>:

$$(XV-82)$$

$$\Gamma_{\mu\nu}^\rho = \Gamma_{\nu\mu}^\rho$$

ب - قابلية  $de_\mu$  للتكامل: يعبر عن هذا الشرط ببعض القيود التي يجب أن تخضع لها مركبات المتوتر الأساسي  $g_{\mu\nu}$  ومشتقاته من الدرجة الأولى والثانية<sup>(3)</sup> فإذا كان بالإمكان إيجاد نظام إحداثيات بحيث تستوفي المركبات  $g_{\mu\nu}$  هذه الشروط يكون الفضاء إقليدياً. لم نكتب هذه القيود في الفصل الرابع عشر ولكن أخذنا بعين الاعتبار النتيجة التالية لقابلية  $de_\mu$  للتكامل:

1 - لا يتغير مقياس الطول  $A$  المحدد في الفضاء المماس الإقليدي إذا نُقل متوازياً على نفسه على مسار مغلق تفاضلي<sup>(4)</sup>. وبالفعل إذا كان  $\ell$  طول المقياس  $A$  نجد استناداً إلى (XV-76):

$$(XV-76) \quad d(\ell^2) = (Dg_{\mu\nu}) A^\mu A^\nu.$$

حيث وضعنا:

$$(XV-83) \quad Dg_{\mu\nu} = dg_{\mu\nu} - \Gamma_{\mu\rho}^\lambda g_{\lambda\nu} dy^\rho - \Gamma_{\nu\rho}^\lambda g_{\mu\lambda} dy^\rho.$$

ينعدم التغير  $d(\ell^2)$  إذا  $Dg_{\mu\nu} = 0$  أي استناداً إلى (XV-66) إذا:

$$(XV-66) \quad d_\rho g_{\mu\nu} = d_\rho (e_\mu \cdot e_\nu).$$

أي أن العلاقة  $g_{\mu\nu} = (e_\mu \cdot e_\nu)$  صالحة للتفاضل.

(2) تعني هذه الخاصية غياب الفتل torsion في الفضاء الإقليدي (انظر المعادلة (5) من الملاحظة في أسفل الصفحة 479).

(3) تعني هذه القيود غياب التقوس أي المتوتر  $R^\nu{}_{\mu\rho\sigma}$  (انظر المعادلة (5) في الملاحظة في أسفل الصفحة 479).

(4) يعني هذا أن الفضاء ليس له تقوس تشابه الوضع.

لقد استعملنا ضمناً في الفصل الرابع عشر (أنظر (XV-86)) العلاقاتين (XV-82) و (XV-66) الصالحتين في الفضاء الإقليدي بغية تحديد صيغة الارتباط التآلفي تبعاً لـ  $g_{\mu\nu}$  ومشتقاتها. ويكفي الشرطان (XV-82) و (XV-66) للوصول إلى هذا الهدف. وفعالاً إذا وسعنا (XV-66) نجد:

$$(XV-84) \quad D_\rho g_{\mu\nu} = 0 \quad \text{أي} \quad d_\rho g_{\mu\nu} = \Gamma_{\mu\rho}^\sigma g_{\sigma\nu} + \Gamma_{\nu\rho}^\sigma g_{\mu\sigma}$$

وإذا فعلنا كما للمعادلة (XIV-92) أخذين بعين الاعتبار (XV-82) نجد النتائج التي وصلنا إليها سابقاً وهي:

$$(XV-85) \quad \Gamma_{\mu\nu}^\rho = \left\{ \begin{matrix} \rho \\ \mu\nu \end{matrix} \right\}.$$

مع:

$$(XV-86) \quad \left\{ \begin{matrix} \rho \\ \mu\nu \end{matrix} \right\} = \frac{1}{2} g^{\rho\sigma} (\partial_\mu g_{\sigma\nu} + \partial_\nu g_{\mu\sigma} - \partial_\sigma g_{\mu\nu}).$$

أي أن الارتباط التآلفي في الفضاء الإقليدي يساوي رموز كريستوفل في كل نقطة.

ولكن هذا الشرط المستوفى في الفضاء الإقليدي غير كاف لتحديد بنية هذا الفضاء. فهو يعبر فعالاً عن (XV-82) و (XV-66) أي (XV-77) وإحدى نتائج (XV-78). ويتحقق الشرط (XV-78) (أي يكون الفضاء إقليدياً) إذا كان الارتباط التآلفي المعبر عنه بـ (XV-85) يخضع إضافة إلى ذلك إلى بعض القيود التي تعني تماماً غياب التقوس. فإذا لم يكن الأمر كذلك أي إذا لم يكن ممكناً اختيار نظام إحداثيات بحيث يكون الارتباط القريب  $\left\{ \begin{matrix} \rho \\ \mu\nu \end{matrix} \right\}$  يخضع للشروط الناتجة عن (XV-78) عندئذ يكون الفضاء ريمانياً.

## 2.8 - الفضاء الريماني

يكون الفضاء ريمانياً إذا خضع للشروط التالية:

أ - التغير  $dm$  قابل للتكامل:

$$(XV-77) \quad \int dm = 0$$

ويعبر عن هذا الشرط بتناظر معامل الارتباط التآلفي:

$$(XV-82) \quad \Gamma_{\mu\nu}^\rho = \Gamma_{\nu\mu}^\rho$$

ب - تحديد مقياس مطلق للطول ممكن: إذا عدنا إلى (XV-66) يعني هذا الشرط أن:

$$(XV-87) \quad d_p g_{\mu\nu} = d_p (e_\mu \cdot e_\nu) \quad \text{أو} \quad D_p g_{\mu\nu} = 0$$

ومن المعادلات (XV-82) و (XV-87) نجد كما في حالة الفضاء الإقليدي:

$$(XV-85) \quad \Gamma_{\mu\nu}^p = \left\{ \begin{matrix} p \\ \mu\nu \end{matrix} \right\}$$

ج - لكن التغيير  $de_\mu$  ليس قابلاً للتكامل: وهذا يعني أنه من غير الممكن أن نختار نظام إحداثيات بحيث تخضع المركبات  $g_{\mu\nu}$  للشروط الناتجة عن (XV-78). فالفضاء إذا مقوس. سندرس هذا التقوس في المقطع التاسع.

### 3.8 - التشكيل القياسي بشكل عام

قبل دراسة الحالة الخاصة للفضاء الريماني لندرس خصائص التشكيل القياسي بشكل عام بحيث يكون التغيران  $dm$  و  $de_\mu$  غير قابلين للتكامل<sup>(5)</sup>:

(5) يمكن معالجة التكاملات (XV-88) و (XV-89) بالطريقة ذاتها التي سنستعملها في دراسة الفضاء الريماني في المقطع 9.

لنتفحص المسار المغلق المؤلف من متوازي الأضلاع التفاضلي ذي الأضلاع الناتجة عن التغيرات  $d$  و  $\delta$ . فتكون مساحته:

$$(1) \quad ds^{\sigma\rho} = \frac{1}{2} (dy^\sigma \delta y^\rho + dy^\rho \delta y^\sigma)$$

ويمكن أن نبدل التكاملات (XV-88) و (XV-89) المحسوبة على هذا المسار إلى تكاملات سطوح باستعمال قاعدة ستوكس فنجد:

$$(2) \quad \int dm = \iint (dm)' , \quad \int de_\mu = \iint (de_\mu)'$$

حيث وضعنا:

$$(3) \quad (dm)' = d\delta m - \delta dm , \quad (de_\mu)' = d\delta e_\mu - \delta de_\mu.$$

يتم حساب  $(dm)'$  و  $(de_\mu)'$  كما هو محدد في المعادلات (3) بدون صعوبة باستعمال العلاقات (XV-29) و (XV-30) المتعلقة بالفضاء الإقليدي المماس في النقطة الثابتة  $M_0$  المتقاربة تفاضلياً من كل نقط المسار. فإذا أحلنا (XV-29) و (XV-30) في المعادلات (3) وأهملنا الدرجة الثالثة نجد:

أ - من جهة:

$$(4) \quad (dm)' = \Omega^p e_p$$

حيث وضعنا:

$$(5) \quad \Omega^p = - (\Gamma_{\mu\nu}^p - \Gamma_{\nu\mu}^p) ds^{\mu\nu}.$$

الكميات  $\Omega^p$  تشكل مركبات متجه يمثل الفتل التشكيل القياسي. الشرط (XV-82) يقود إذا إلى عدم وجود هذا الفتل. وبالعكس اختفاء الفتل هذا يظهر في تناظر معامل الارتباط التآلفي (كما يظهر من المعادلة (5)).

ب - من جهة ثانية:

$$(6) \quad (de_\mu)^\nu = \Omega_\mu^\nu e_\nu$$

مع:

$$(7) \quad \Omega_\mu^\nu = -R_{\mu\rho\sigma}^\nu ds^{\rho\sigma}$$

حيث:

$$(8) \quad R_{\mu\rho\sigma}^\nu = \partial_\sigma \Gamma_{\mu\rho}^\nu - \partial_\rho \Gamma_{\mu\sigma}^\nu + \Gamma_{\mu\rho}^\lambda \Gamma_{\lambda\sigma}^\nu - \Gamma_{\mu\sigma}^\lambda \Gamma_{\lambda\rho}^\nu$$

الموترات  $\Omega_\mu^\nu$  و  $R_{\mu\rho\sigma}^\nu$  تمثل تقوس التشكيل القياسي. وبشكل خاص:

$$(9) \quad \int dl = 1 \int \int \Omega$$

حيث:

$$(10) \quad \Omega = \Omega_{\mu}^{\mu} = -R_{\mu\rho\sigma}^{\mu} ds^{\rho\sigma}.$$

الكمية  $\Omega$  الثابتة في التحويل تسمى تقوس تشابه الوضع أو التقوس الجزأ للتشكيل. أما الموتر  $\Omega_\mu^\nu$  الذي يحسب منه التقوس  $\Omega$  فهو التقوس الدوراني. ونجد استناداً إلى المعادلات (10) و (8) أن:

$$(11) \quad \Omega = -(\partial_\sigma \Gamma_{\mu\rho}^\mu - \partial_\rho \Gamma_{\mu\sigma}^\mu) ds^{\rho\sigma}.$$

ولا يتغير مقياس الطول على المسار المغلق ( $\int dl = 0$ ) إذا:

$$(12) \quad \Gamma_{\mu\rho}^\mu = \partial_\rho \psi.$$

حيث  $\psi$  أية دالة. وهذا هو الحال في الفضاء الإقليدي والفضاء الريماني حيث المعادلة (12) مستوفاة دائماً. وبالفعل نجد (انظر إلى (XIV-103)):

$$(13) \quad \Gamma_{\mu\rho}^\mu = \left\{ \begin{matrix} \mu \\ \mu\rho \end{matrix} \right\} = \frac{1}{2} g^{\mu\sigma} \partial_\rho g_{\mu\sigma} = \frac{1}{2} \partial_\rho g = \partial_\rho \log \sqrt{-g}.$$

أ - هكذا يتميز التشكيل القياسي بفتل واحد وتقوسين:

$$(14) \quad \Omega^\mu \neq 0, \quad \Omega_{\nu}^{\mu} \neq 0, \quad \Omega \neq 0$$

بـ حيث إن:

$$(15) \quad \Gamma_{\mu\nu}^\rho \neq \Gamma_{\nu\mu}^\rho, \quad R_{\nu\rho\sigma}^\mu \neq 0, \quad d_\rho g_{\mu\nu} \neq d_\rho (e_\mu \cdot e_\nu).$$

ب - التشكيل القياسي الريماني هو بدون فتل وله تقوس واحد فتكون شروط بنيتها:

$$(16) \quad \Omega^\mu = 0, \quad \Omega_{\nu}^{\mu} \neq 0, \quad \Omega = 0$$

ويعبر عنها بالعلاقات:

$$(17) \quad \Gamma_{\mu\nu}^\rho = \Gamma_{\nu\mu}^\rho, \quad R_{\nu\rho\sigma}^\mu \neq 0, \quad d_\rho g_{\mu\nu} = d_\rho (e_\mu \cdot e_\nu).$$



(XV-88)

$$\int dm \neq 0$$

(XV-89)

$$\int de_\mu \neq 0$$

إستناداً إلى المعادلة (XV-88) إن صورة مسار تفاضلي مغلق في الفضاء الإقليدي المماس ليست مغلقة: نقول إن الفضاء ذو فتل.

ومن جهة ثانية استناداً إلى المعادلة (XV-89) إن مقياس الطول لا يمكن توجيهه وبشكل عام لا يمكن نقله. نقول إن للتشكيل القياسي تقوُّس دوران. وإذا لم يكن نقل مقياس الطول ممكناً نقول إن للتشكيل تقوُّساً مجزأً. وإذا كان للتشكيل تقوُّس مجزأً لا يمكن أن نحدّد مقياساً مطلقاً للطول لأي مقياساً واحداً في كل نقطة من التشكيل. ولكن هذا التقوُّس المجزأ يمكن أن يختفي وبالتالي يمكن تحديد مقياس مطلق للطول دون أن يكون التغير  $de_\mu$  قابلاً للتكامل. نقول في هذه الحالة إن للتشكيل ثباتاً في المعيار Gauge invariant (ويل H.Weyl). وإذا لم يكن للتشكيل فتل إضافة إلى ذلك تكون بنية التشكيل ريمانية.

### (9) تقوُّس فضاء ريمان - موتر ريمان كريستوفل

في حالتي الفضاء الإقليدي والفضاء الريماني يقود شرطاً قابلية  $dm$  للتكامل وثبات المعيار إلى:

$$(XV-85) \quad \Gamma_{\mu\nu}^\rho = \left\{ \begin{matrix} \rho \\ \mu\nu \end{matrix} \right\}.$$

ج - أخيراً التشكيل القياسي الإقليدي (حيث  $dm$  و  $de_\mu$  قابلة للتكامل) ليس له فتل ولا تقوُّس:

(18)

$$\Omega^\mu = 0, \quad \Omega_\nu^\mu = 0, \quad \Omega = 0$$

وهي شروط معادلة للشروط:

(19)

$$\Gamma_{\mu\nu}^\rho = \Gamma_{\nu\mu}^\rho, \quad R_{\nu\rho\sigma}^\mu = 0, \quad d_\rho g_{\mu\nu} = d_\rho (e_\mu \cdot e_\nu).$$

وتعتبر عن الشروط الأولى والأخيرة من (17) و (19) المشتركين للتشكيلات الريمانية والإقليدية بالمعادلة:

$$(20) \quad \Gamma_{\mu\nu}^\rho = \left\{ \begin{matrix} \rho \\ \mu\nu \end{matrix} \right\}$$

والاختلاف بين الفضاء الريماني والفضاء الإقليدي يظهر لدى حساب التكامل:

$$(XV-90) \quad \int de_{\mu}$$

على مسار مغلق تفاضلي. فإذا كان بالإمكان اختيار نظام إحداثيات بحيث ينعدم التكامل (XV-90) يكون الفضاء إقليدياً. أما إذا كان هذا الاختيار مستحيلًا فإن الشرط  $\int de_{\mu} \neq 0$  يتيح تحديد تقوس. وهذا التقوس هو صفة مميزة لفضاء ريمان.

إذا طرأ على الإحداثيات تغير  $dy^{\rho}$  يحدث تغيرٌ في المتجه  $e_{\mu}(M)$  ليصبح  $e'_{\mu}(y^{\rho} + dy^{\rho})$  وتكون صورة هذا المتجه في الفضاء الإقليدي المماس في النقطة M المتجه  $e_{\mu} + de_{\mu}$  بحيث إن:

$$(XV-91) \quad de_{\mu} = \omega_{\mu}^{\nu} e_{\nu} = \left\{ \begin{matrix} \nu \\ \mu\sigma \end{matrix} \right\} e_{\nu} dy^{\sigma}$$

لأن الارتباط التآلفي في التشكيل الريماني له الصيغة (XV-85). وكما فعلنا في المقطع §4 ندرس التغيرات المتلاحقة للمتجه  $e_{\mu}$  في الفضاء الإقليدي المماس في النقطة  $M_0$  القريبة تفاضلياً من كل نقط المسار. فنجد كما في المعادلة (XV-30):

$$(XV-92) \quad (de_{\mu})_0 = \left[ \omega_{\mu}^{\nu} + \left\{ \begin{matrix} \nu \\ \sigma\rho \end{matrix} \right\}_0 (y^{\rho} - y_0^{\rho}) \omega_{\mu}^{\sigma} \right] (e_{\nu})_0.$$

لنحسب تكامل (XV-92) على مسار C له شكل متوازي الأضلاع تنتج ضلوعه عن التغيرات d و  $\delta$ . تتيح قاعدة ستوكس الرياضية تحويل التكامل على مسار (XV-90) إلى التكامل السطحي:

$$(XV-93) \quad \int de_{\mu} = \int \int d\delta e_{\mu} - \delta de_{\mu} = \int \int (de_{\mu})'$$

حيث وضعنا:

$$(XV-94) \quad (de_{\mu})' = d\delta e_{\mu} - \delta de_{\mu}.$$

وإذا أحلنا الصيغة (XV-92) في هذه الصيغة نجد:

$$(XV-95) \quad (de_{\mu})' = d \left[ \omega_{\mu}^{\nu}(\delta) + \left\{ \begin{matrix} \nu \\ \sigma\rho \end{matrix} \right\}_0 (y^{\rho} - y_0^{\rho}) \omega_{\mu}^{\sigma}(\delta) \right] (e_{\nu})_0 \\ - \delta \left[ \omega_{\mu}^{\nu}(d) + \left\{ \begin{matrix} \nu \\ \sigma\rho \end{matrix} \right\}_0 \omega_{\mu}^{\sigma}(d) \right] (e_{\nu})_0$$

أي:

$$(XV-96) \quad (de_\mu)' = [(\omega_\mu^v)'] + \left\{ \begin{matrix} v \\ \sigma\rho \end{matrix} \right\}_0 [dy^\rho \omega_\mu^\sigma(\delta) - \delta y^\rho \omega_\mu^\sigma(d)] \\ + \left\{ \begin{matrix} v \\ \sigma\rho \end{matrix} \right\}_0 (y^\rho - y_0^\rho) \omega_\mu^\sigma] (e_v)_0$$

حيث وضعنا:

$$(XV-97) \quad (\omega_\mu^v)' = d\omega_\mu^v(\delta) - \delta\omega_\mu^v(d)$$

الحدان الأولان في الجانب الأيمن من المعادلة (XV-96) هما من الدرجة الثانية في التغيرات  $d$  و  $\delta$ . فإذا أهملنا الحدود من الدرجة الثالثة أي الحد الثالث في الصيغة (XV-96) والفرق بين  $\left\{ \begin{matrix} \mu \\ \nu\rho \end{matrix} \right\}_0$  و  $\left\{ \begin{matrix} \mu \\ \nu\rho \end{matrix} \right\}$  نجد:

$$(XV-98) \quad (de_\mu)' = [(\omega_\mu^v)' + \left\{ \begin{matrix} v \\ \sigma\rho \end{matrix} \right\} [dy^\rho \omega_\mu^\sigma(\delta) - \delta y^\rho \omega_\mu^\sigma(d)]] (e_v)_0$$

وإذا أخذنا بعين الاعتبار المعادلة (XV-91) التي تكتب أيضاً بالصيغة:

$$(XV-99) \quad \omega_\mu^v(d) = \left\{ \begin{matrix} v \\ \mu\rho \end{matrix} \right\} dy^\rho, \quad \omega_\mu^v(\delta) = \left\{ \begin{matrix} v \\ \mu\rho \end{matrix} \right\} \delta y^\rho,$$

تصبح الصيغة (XV-98):

$$(XV-100) \quad (de_\mu)' = \left\{ (\omega_\mu^v)' + \omega_\sigma^v(d) \omega_\mu^\sigma(\delta) - \omega_\sigma^v(\delta) \omega_\mu^\sigma(d) \right\} (e_\mu)_0.$$

أي:

$$(XV-101) \quad (de_\mu)' = \left\{ (\omega_\mu^v)' - [\omega_\mu^\sigma \omega_\sigma^v] \right\} (e_v)_0.$$

حيث وضعنا:

$$(XV-102) \quad [\omega_\mu^\sigma \omega_\mu^v] = \omega_\mu(d) \omega_\sigma^v(\delta) - \omega_\mu^\sigma(\delta) \omega_\sigma^v(d).$$

الصيغة (XV-100) للتغيرات  $(de_\mu)'$  تقودنا إلى تحديد المؤثر من الرتبة الثانية ذي المركبات:

$$(XV-103) \quad \Omega_\mu^v = (\omega_\mu^v)' - [\omega_\mu^\sigma \omega_\sigma^v].$$

فيكون تكامل  $de_\mu$  بالصيغة:

$$(XV-104) \quad \int de_\mu = \int \int \Omega_\mu^\nu e_\nu.$$

الموتر  $\Omega_\mu^\nu$  يحدّد انحناء فضاء ريمان.

ويمكن أن نكتب الصيغة (XV-103) بالصيغة التفصيلية:

$$(XV-105) \quad \Omega_\mu^\nu = \left( \left\{ \begin{matrix} \nu \\ \mu\rho \end{matrix} \right\} \delta y^\rho \right) - \delta \left( \left\{ \begin{matrix} \nu \\ \mu\rho \end{matrix} \right\} dy^\rho \right) - \\ \left\{ \begin{matrix} \sigma \\ \mu\rho \end{matrix} \right\} dy^\rho \left\{ \begin{matrix} \nu \\ \sigma\lambda \end{matrix} \right\} \delta y^\lambda + \left\{ \begin{matrix} \sigma \\ \mu\rho \end{matrix} \right\} \delta y^\rho \left\{ \begin{matrix} \nu \\ \sigma\lambda \end{matrix} \right\} dy^\lambda$$

حيث أخذنا بعين الاعتبار (XV-99) ونلاحظ أن (XV-105) تكتب أيضاً:

$$(XV-106) \quad \Omega_\mu^\nu = \left( \partial_\lambda \left\{ \begin{matrix} \nu \\ \mu\rho \end{matrix} \right\} + \left\{ \begin{matrix} \sigma \\ \mu\rho \end{matrix} \right\} \left\{ \begin{matrix} \nu \\ \sigma\lambda \end{matrix} \right\} \right) dy^\lambda \delta y^\rho \\ \left( \partial_\lambda \left\{ \begin{matrix} \nu \\ \mu\rho \end{matrix} \right\} + \left\{ \begin{matrix} \sigma \\ \mu\rho \end{matrix} \right\} \left\{ \begin{matrix} \nu \\ \sigma\lambda \end{matrix} \right\} \right) dy^\rho \delta y^\lambda$$

وأيضاً إذا بادلنا المؤشرين الصامتين  $\lambda$  و  $\rho$  في الحدين الأخيرين:

$$(XV-107) \quad \Omega_\mu^\nu = \left( \partial^\lambda \left\{ \begin{matrix} \nu \\ \mu\rho \end{matrix} \right\} - \partial^\rho \left\{ \begin{matrix} \nu \\ \mu\lambda \end{matrix} \right\} + \left\{ \begin{matrix} \sigma \\ \mu\rho \end{matrix} \right\} \left\{ \begin{matrix} \nu \\ \sigma\lambda \end{matrix} \right\} \right)$$

$$(XV-107) \quad \Omega_\mu^\nu = \left( \partial^\lambda \left\{ \begin{matrix} \nu \\ \mu\rho \end{matrix} \right\} - \left\{ \begin{matrix} \sigma \\ \mu\lambda \end{matrix} \right\} \left\{ \begin{matrix} \nu \\ \sigma\rho \end{matrix} \right\} \right) dy^\lambda \delta y^\rho.$$

نجد الصيغة التي هي بين القوسين مخالفة التناظر بالمؤشرات  $\rho$  و  $\lambda$ . يمكن إذا إظهار مساحة متوازي الأضلاع التفاضلي المبني على التغيرات  $\delta$  و  $d$ :

$$(XV-108) \quad ds^{\lambda\rho} = \frac{1}{2} (dy^\lambda \delta y^\rho - dy^\rho \delta y^\lambda).$$

ف نجد هكذا:

$$(XV-109) \quad \Omega_\mu^\nu = \left( \partial_\lambda \left\{ \begin{matrix} \nu \\ \mu\rho \end{matrix} \right\} - \partial_\rho \left\{ \begin{matrix} \nu \\ \mu\lambda \end{matrix} \right\} + \left\{ \begin{matrix} \sigma \\ \mu\rho \end{matrix} \right\} \left\{ \begin{matrix} \nu \\ \sigma\lambda \end{matrix} \right\} \right. \\ \left. - \left\{ \begin{matrix} \sigma \\ \mu\lambda \end{matrix} \right\} \left\{ \begin{matrix} \nu \\ \sigma\rho \end{matrix} \right\} \right) ds^{\lambda\rho}.$$

لنضع:

$$(XV-110) \quad G_{\mu\rho}^\nu = \partial_\lambda \left\{ \begin{matrix} \nu \\ \mu\rho \end{matrix} \right\} - \partial_\rho \left\{ \begin{matrix} \nu \\ \mu\lambda \end{matrix} \right\} + \left\{ \begin{matrix} \sigma \\ \mu\rho \end{matrix} \right\} \left\{ \begin{matrix} \nu \\ \sigma\lambda \end{matrix} \right\} \\ - \left\{ \begin{matrix} \sigma \\ \mu\lambda \end{matrix} \right\} \left\{ \begin{matrix} \nu \\ \sigma\rho \end{matrix} \right\}$$

فتكتب المركبات  $\Omega_{\mu}^{\nu}$  لموتر. التقوس بالصيغة التالية<sup>(6)</sup>:

(XV-111)

$$\Omega_{\mu}^{\nu} = - G_{\mu\rho\lambda}^{\lambda} ds^{\rho\lambda}$$

موتر التقوس ذو المركبات  $G_{\mu\rho\lambda}^{\nu}$  يسمى موتر ريمان - كريستوفل واستناداً إلى (XV-110) يمكن أن نكتب دائماً:

$$(XV-112) \quad G_{\mu\rho\lambda}^{\mu} = \partial_{\lambda} \left\{ \begin{matrix} \mu \\ \mu\rho \end{matrix} \right\} - \partial_{\rho} \left\{ \begin{matrix} \mu \\ \mu\lambda \end{matrix} \right\}$$

وإذا أخذنا بعين الاعتبار صيغة الرموز:

$$(XV-113) \quad \left\{ \begin{matrix} \mu \\ \mu\rho \end{matrix} \right\} = \frac{1}{2} g^{\mu\sigma} \partial_{\rho} g_{\mu\sigma} = \frac{1}{2g} \partial_{\rho} g = \frac{1}{2} \partial_{\rho} \log g$$

يمكن أن نكتب (XV-112) بالصيغة:

$$(XV-114) \quad G_{\mu\rho\lambda}^{\mu} \equiv \frac{1}{2} (\partial_{\lambda} \partial_{\rho} \log g - \partial_{\rho} \partial_{\lambda} \log g) \equiv 0.$$

ونتأكد من أن:

$$(XV-115) \quad \Omega = \Omega_{\mu}^{\mu} = - G_{\mu\rho\lambda}^{\mu} ds^{\rho\lambda} = 0.$$

الكمية  $\Omega$  الثابتة والمحسوبة من موتر ريمان - كريستوفل تمثل تقوس تشابه الوضع (انظر المعادلة (5) الصفحة 479). وتنعدم هذه الكمية بالتطابق في فضاء ريمان.

ونختصر النتيجة التي وصلنا إليها فنقول إن ارتباط فضاء ريمان يحدّد بالصيغة (XV-85) مثل الفضاء الإقليدي. إضافة إلى ذلك (ومثل الفضاء الإقليدي) يتميز الفضاء الريماني بما يلي:

— إنعدام القتل:

$$\Omega^{\mu} = 0 \quad (\Gamma_{\mu\nu}^{\rho} = \Gamma_{\nu\mu}^{\rho})$$

— إنعدام تقوس تشابه الوضع:

$$\Omega = 0.$$

(6) الموتر  $G_{\mu\rho\lambda}^{\mu}$  ما هو إلا الموتر  $R_{\mu\rho\lambda}^{\mu}$  أي موتر تقوس تشكيل من أي نوع كان حيث استبدلت الرموز  $\Gamma_{\mu\nu}^{\rho}$  بمعامل الارتباط التالفي  $\left\{ \begin{matrix} \rho \\ \mu\nu \end{matrix} \right\}$  (انظر المعادلة (5) في الملاحظة في أسفل الصفحة 479).

ولكنه يتميز عن الفضاء الإقليدي بالتقوس غير المنعدم:

$$\Omega_{\mu}^{\nu} = - G_{\mu\rho\sigma}^{\nu} ds^{\rho\sigma} \neq 0.$$

هكذا إذا انتقل متجه  $A$  متوازياً على نفسه على مسار مغلق وتفاضلي في فضاء ريمان يقود تغير مركباته الموافقة للتغير:

$$(XV-116) \quad dA_{\mu} = \left\{ \begin{matrix} \nu \\ \mu\rho \end{matrix} \right\} A_{\nu} dy^{\rho}, \quad (DA_{\mu})_{11} = 0$$

إلى التغير على هذا المسار:

$$(XV-117) \quad \int dA_{\mu} = \int \int (dA_{\mu})'.$$

واستناداً إلى (XV-103):

$$(XV-118) \quad \int dA_{\mu} = \int \int \Omega_{\mu}^{\nu} A_{\nu} = - \int \int G_{\mu\rho\sigma}^{\nu} A_{\nu} ds^{\rho\sigma}.$$

ومن جهة ثانية تقود تغيرات المركبات المخالفة للتغير:

$$(XV-119) \quad dA^{\mu} = - \left\{ \begin{matrix} \mu \\ \sigma\rho \end{matrix} \right\} A^{\sigma} dy^{\rho}$$

إلى التغيرات على المسار:

$$(XV-120) \quad \int dA^{\mu} = \int \int (dA^{\mu})'$$

ونجد أيضاً<sup>(7)</sup>:

$$(XV-121) \quad \int dA^{\mu} = \int \int \Omega_{\mu}^{\nu} A^{\nu} = - \int \int G_{\nu\rho\sigma}^{\mu} A^{\nu} ds^{\rho\sigma}.$$

(7) إذ أنه استناداً إلى (XV-52):

$$(1) \quad (dA^{\mu})' = d\delta A^{\mu} - \delta dA^{\mu} = -d \left( \left\{ \begin{matrix} \mu \\ \sigma\rho \end{matrix} \right\} A^{\sigma} dy^{\rho} \right) + \delta \left( \left\{ \begin{matrix} \mu \\ \sigma\rho \end{matrix} \right\} A^{\sigma} dy^{\rho} \right)$$

فنجد إذا:

$$\begin{aligned} (2) \quad (dA^{\mu})' &= - \left[ \partial_{\tau} \left\{ \begin{matrix} \mu \\ \sigma\rho \end{matrix} \right\} - \left\{ \begin{matrix} \mu \\ \lambda\rho \end{matrix} \right\} \left\{ \begin{matrix} \lambda \\ \sigma\tau \end{matrix} \right\} \right] A^{\sigma} dy^{\tau} dy^{\rho} \\ &\quad + \left[ \partial_{\tau} \left\{ \begin{matrix} \mu \\ \lambda\rho \end{matrix} \right\} - \left\{ \begin{matrix} \mu \\ \sigma\rho \end{matrix} \right\} \left\{ \begin{matrix} \sigma \\ \lambda\tau \end{matrix} \right\} \right] A^{\lambda} dy^{\tau} dy^{\rho} \\ &= \left[ \partial_{\rho} \left\{ \begin{matrix} \mu \\ \lambda\tau \end{matrix} \right\} - \partial_{\tau} \left\{ \begin{matrix} \mu \\ \lambda\rho \end{matrix} \right\} + \left\{ \begin{matrix} \mu \\ \sigma\rho \end{matrix} \right\} \left\{ \begin{matrix} \sigma \\ \lambda\tau \end{matrix} \right\} - \left\{ \begin{matrix} \mu \\ \sigma\tau \end{matrix} \right\} \left\{ \begin{matrix} \sigma \\ \lambda\rho \end{matrix} \right\} \right] A^{\lambda} dy^{\rho} dy^{\tau} \\ &= \frac{1}{2} G_{\lambda\tau\rho}^{\mu} (dy^{\tau} dy^{\rho} - dy^{\rho} dy^{\tau}) = G_{\lambda\tau\rho}^{\mu} A^{\lambda} ds^{\tau\rho} = - \Omega_{\lambda}^{\mu} A^{\lambda}. \end{aligned}$$

وبالاختصار تقود شروط بنية فضاء ريمان إلى الخصائص التالية:

أ - إنعدام الفتل ( $\Omega^\mu = 0$ ) فيكون مُعامل الارتباط التآلفي متناظراً:

$$(XV-82) \quad \Gamma_{\mu\nu}^\rho = \Gamma_{\nu\mu}^\rho$$

ب - إنعدام تقوُّس تشابه الوضع ( $\Omega = \Omega_\mu^\mu = 0$ ). فلا يتغير طول متجه إذا انتقل متوازياً على نفسه على مسار مغلق تفاضلي. مما يؤمن إمكانية تحديد مقياس للطول متساوٍ في كل نقطة من الفضاء. هكذا نجد استناداً إلى (XV-76):

$$(XV-122) \quad dl^2 \equiv (Dg_{\mu\nu}) A^\mu A^\nu = 0.$$

حيث  $Dg_{\mu\nu}$  هي الصيغة (XV-64). والشرط (XV-122) يفترض إمكانية اختيار إحداثيات بحيث إن:

$$(XV-123) \quad D_\rho g_{\mu\nu} = 0.$$

ومن المعادلات (XV-82) و (XV-123) تستخلص صيغة الارتباط التآلفي تبعاً لـ  $g_{\mu\nu}$  ومشتقاتها الأولى:

$$(XV-124) \quad \Gamma_{\mu\nu}^\rho = \left\{ \begin{matrix} \rho \\ \mu\nu \end{matrix} \right\}.$$

ج - تقوُّس الدوران غير منعدم ( $\Omega_\mu^\nu \neq 0$ ). ويعني هذا أنه من غير الممكن إيجاد نظام إحداثيات بحيث إن  $g_{\mu\nu}$  ومشتقاتها الأولى والثانية تستوفي الشروط:

$$(XV-125) \quad G_{\mu\rho\sigma}^\nu = 0 \quad \text{أو} \quad \Omega_\mu^\nu = 0$$

كما في حالة الفضاء الإقليدي.

إن بنية الفضاء الريماني محدّدة تماماً بالميزات أ وب وج. نشير إلى أن هذه الميزات التي تنحصر بتقوُّسه لا تتعلق إلاً بالموتر  $g_{\mu\nu}$  ومشتقاته الأولى والثانية. ونقول إن خصائص فضاء ريمان تحدّد تماماً بمعرفة الصيغة الأساسية:

$$(XV-126) \quad ds^2 = g_{\mu\nu} dy^\mu dy^\nu.$$

## 10) خصائص موتر ريمان - كريستوفل

يحدّد تقوُّس فضاء ريمان - بموتر ريمان كريستوفل.

$$(XV-110) \quad G_{\mu\nu\sigma}^{\rho} = \partial_{\sigma} \left\{ \begin{matrix} \rho \\ \mu\nu \end{matrix} \right\} - \partial_{\nu} \left\{ \begin{matrix} \rho \\ \mu\sigma \end{matrix} \right\} + \left\{ \begin{matrix} \lambda \\ \mu\nu \end{matrix} \right\} \left\{ \begin{matrix} \rho \\ \lambda\sigma \end{matrix} \right\} \\ - \left\{ \begin{matrix} \lambda \\ \mu\sigma \end{matrix} \right\} \left\{ \begin{matrix} \rho \\ \lambda\nu \end{matrix} \right\}.$$

فإذا خفّضنا المؤشر  $\rho$  نجد المركبات:

$$(XV-127) \quad G_{\mu\nu\rho\sigma} = g_{\mu\lambda} G_{\nu\rho\sigma}^{\lambda}.$$

واستناداً إلى (XV-110) تكتب هذه المركبات بالصيغة:

$$(XV-128) \quad G_{\mu\nu\rho\sigma} = \frac{1}{2} (\partial_{\mu}\partial_{\rho}g_{\nu\sigma} + \partial_{\nu}\partial_{\sigma}g_{\mu\rho} - \partial_{\mu}\partial_{\sigma}g_{\nu\rho}) \\ + \left\{ \begin{matrix} \lambda \\ \nu\sigma \end{matrix} \right\} [\rho\mu, \lambda] - \left\{ \begin{matrix} \lambda \\ \sigma\mu \end{matrix} \right\} [\nu\rho, \lambda].$$

وهي متخالفة التناظر بالمؤشرين  $\rho$  و  $\sigma$  من جهة و  $\mu$  و  $\nu$  من جهة ثانية ولكنها متناظرة في تبديل الأزواج  $\mu\nu$  و  $\rho\sigma$  أي:

$$(XV-129) \quad G_{\mu\nu\rho\sigma} = -G_{\mu\nu\sigma\rho}, \quad G_{\mu\nu\rho\sigma} = -G_{\nu\mu\rho\sigma},$$

$$(XV-130) \quad G_{\mu\nu\rho\sigma} = G_{\rho\sigma\mu\nu}.$$

## موتر ريتشي

إذا ادغمنا المؤشرات  $\rho$  و  $\sigma$  في موتر ريمان - كريستوفل  $G_{\mu\nu\sigma}^{\rho}$  نحصل على موتر من الرتبة الثانية يسمى موتر ريتشي:

$$(XV-131) \quad G_{\mu\nu} = G_{\mu\nu\rho}^{\rho} = \partial_{\rho} \left\{ \begin{matrix} \rho \\ \mu\nu \end{matrix} \right\} - \partial_{\nu} \left\{ \begin{matrix} \rho \\ \mu\rho \end{matrix} \right\} + \left\{ \begin{matrix} \lambda \\ \mu\nu \end{matrix} \right\} \left\{ \begin{matrix} \rho \\ \lambda\rho \end{matrix} \right\} \\ - \left\{ \begin{matrix} \lambda \\ \mu\rho \end{matrix} \right\} \left\{ \begin{matrix} \rho \\ \lambda\nu \end{matrix} \right\}.$$



(نشير إلى أن المؤثر المدغم  $G_{\rho\mu\nu}^{\rho}$  ينعدم دائماً في الفضاء الريماني (انظر المعادلة (XV-114))

المؤثر  $G_{\mu\nu}$  متناظر:

$$(XV-132) \quad G_{\mu\nu} = G_{\nu\mu}.$$

وبواسطته نستطيع أن نحدّد التقوس الريماني الرقمي:

$$(XV-133) \quad G = g^{\mu\nu} G_{\mu\nu} = g^{\mu\nu} G_{\mu\nu\rho}^{\rho} = G_{\nu\rho}^{\rho\nu}.$$

علاقات تطابقية مهمة:

إن وجود التقوس في الفضاء الريماني يقود إلى أن المشتقات  $\nabla_{\rho} \nabla_{\sigma}$  الموافقة من الدرجة الثانية لأي مؤثر لا تعادل المشتقات  $\nabla_{\sigma} \nabla_{\rho}$  للمؤثر ذاته. فإذا رجعنا إلى التحديدات (XV-63) يمكن أن نثبت أن<sup>(8)</sup>:

$$(XV-134) \quad (\nabla_{\rho} \nabla_{\sigma} - \nabla_{\sigma} \nabla_{\rho}) A^{\nu} = -G_{\rho\sigma}^{\nu} A^{\tau}$$

$$(XV-135) \quad (\nabla_{\rho} \nabla_{\sigma} - \nabla_{\sigma} \nabla_{\rho}) A_{\mu} = G_{\mu\rho\sigma}^{\nu} A^{\tau}$$

ونتيجة لذلك:

$$(XV-136) \quad (\nabla_{\rho} \nabla_{\sigma} - \nabla_{\sigma} \nabla_{\rho}) A^{\nu\dots} = -G_{\rho\sigma}^{\nu} A^{\tau\dots} + G_{\mu\rho\sigma}^{\tau} A^{\nu\dots}$$

لنطبق هذه القاعدة على المؤثر  $A_{\mu\nu} = \nabla_{\mu} A_{\nu}$  نجد:

$$(XV-137) \quad [\nabla_{\rho} \nabla_{\sigma} - \nabla_{\sigma} \nabla_{\rho}] \nabla_{\mu} A_{\nu} - G_{\mu\rho\sigma}^{\tau} \nabla_{\tau} A_{\nu} + G_{\nu\rho\sigma}^{\tau} \nabla_{\mu} A_{\tau}.$$

(8) إذ إن:

$$\begin{aligned} (\nabla_{\rho} \nabla_{\sigma} - \nabla_{\sigma} \nabla_{\rho}) A^{\nu} &= [\partial_{\rho} (\nabla_{\sigma} A^{\nu}) - \left\{ \begin{matrix} \lambda \\ \sigma\rho \end{matrix} \right\} \nabla_{\lambda} A^{\nu} + \left\{ \begin{matrix} \nu \\ \lambda\rho \end{matrix} \right\} \nabla_{\sigma} A^{\lambda}] \\ &\quad - [\partial_{\sigma} (\nabla_{\rho} A^{\nu}) - \left\{ \begin{matrix} \lambda \\ \rho\sigma \end{matrix} \right\} \nabla_{\lambda} A^{\nu} + \left\{ \begin{matrix} \nu \\ \lambda\sigma \end{matrix} \right\} \nabla_{\rho} A^{\lambda}] \\ &= [\partial_{\rho} \partial_{\sigma} A^{\nu} + \partial_{\rho} \left( \left\{ \begin{matrix} \nu \\ \lambda\sigma \end{matrix} \right\} A^{\lambda} \right) - \left\{ \begin{matrix} \lambda \\ \sigma\rho \end{matrix} \right\} \nabla_{\lambda} A^{\nu} + \left\{ \begin{matrix} \nu \\ \lambda\rho \end{matrix} \right\} \left\{ \begin{matrix} \lambda \\ \tau\sigma \end{matrix} \right\} A^{\tau}] - [\partial_{\sigma} \partial_{\rho} A^{\nu} \\ &\quad + \partial_{\sigma} \left( \left\{ \begin{matrix} \nu \\ \lambda\rho \end{matrix} \right\} A^{\lambda} \right) - \left\{ \begin{matrix} \lambda \\ \rho\sigma \end{matrix} \right\} \nabla_{\lambda} A^{\nu} + \left\{ \begin{matrix} \nu \\ \lambda\sigma \end{matrix} \right\} \partial_{\rho} A^{\lambda} + \left\{ \begin{matrix} \nu \\ \lambda\sigma \end{matrix} \right\} \left\{ \begin{matrix} \lambda \\ \tau\rho \end{matrix} \right\} A^{\tau}] \\ &= [\partial_{\rho} \left\{ \begin{matrix} \nu \\ \lambda\sigma \end{matrix} \right\} - \partial_{\sigma} \left\{ \begin{matrix} \nu \\ \lambda\rho \end{matrix} \right\} + \left\{ \begin{matrix} \nu \\ \tau\rho \end{matrix} \right\} \left\{ \begin{matrix} \tau \\ \lambda\rho \end{matrix} \right\} - \left\{ \begin{matrix} \nu \\ \tau\sigma \end{matrix} \right\} \left\{ \begin{matrix} \tau \\ \lambda\rho \end{matrix} \right\}] A^{\lambda} \\ &= G_{\lambda\sigma\rho}^{\nu} A^{\lambda} = -G_{\rho\sigma\tau}^{\nu} A^{\tau} \end{aligned}$$

وإذا كتبنا المعادلتين المماثلتين للمعادلة (XV-137) ولكن مع تبادل دوراني للمؤشرات  $\rho, \sigma, \nu$  وجمعناهما إلى المعادلة (XV-137) نجد علاقة يجب أن تنعدم فيها المعاملات  $A_\nu$  و  $\nabla_\mu A_\nu$  بشكل منفصل. فنحصل هكذا على المعادلتين المتطابقتين:

$$(XV-138) \quad G_{\rho\sigma}^\tau + G_{\nu\rho}^\tau + G_{\sigma\nu}^\tau \equiv 0.$$

$$(XV-139) \quad \nabla_\rho G_{\mu\sigma\nu}^\tau + \nabla_\nu G_{\mu\rho\sigma}^\tau + \nabla_\sigma G_{\mu\nu\rho}^\tau \equiv 0.$$

المعادلة (XV-139) تسمى عادة معادلة بيانشي Bianchi المتطابقية.

وإذا رفعنا المؤشر  $\mu$  (بالضرب بـ  $g^{\mu\lambda}$  ذات المشتقة الموافقة المنعدمة) ثم إذا جمعنا على المؤشرات  $\mu$  نحصل على المعادلة:

$$(XV-140) \quad \nabla_\rho G^{\tau\lambda}_{\sigma\nu} + \nabla_\nu G^{\tau\lambda}_{\rho\sigma} + \nabla_\sigma G^{\tau\lambda}_{\nu\rho} \equiv 0.$$

وإذا أدمغنا  $\lambda$  و  $\sigma$  من جهة و  $\tau$  و  $\nu$  من جهة ثانية نجد:

$$(XV-141) \quad \nabla_\rho G^{\nu\sigma}_{\sigma\nu} + \nabla_\nu G^{\nu\sigma}_{\rho\sigma} + \nabla_\sigma G^{\nu\sigma}_{\nu\rho} \equiv 0.$$

وإذا استعملنا الخصائص (XV-129) لتناظر  $G^{\mu\nu}_{\rho\sigma}$  وإذا أخذنا التحديدات (XV-131) و (XV-133) بعين الاعتبار نجد:

$$(XV-142) \quad \nabla_\rho G - 2\nabla_\nu G^\nu_\rho \equiv 0$$

أي المعادلة المتطابقية الأساسية في النسبية العامة:

$$(XV-143) \quad \nabla_\nu \left( G^\nu_\rho - \frac{1}{2} \delta^\nu_\rho G \right) \equiv 0.$$

الموتر:

$$(XV-144)$$

$$S^\nu_\rho = G^\nu_\rho - \frac{1}{2} \delta^\nu_\rho G$$

يسمى موتر أينشتاين. نشير إلى أن تباعده منعدم بالتطابق:

$$(XV-145)$$

$$\nabla_\nu S^\nu_\rho \equiv 0.$$

11) الخطوط التقاصرية (الجيويديسية) في فضاء ريمان  
الخطوط المستقيمة في الفضاء الإقليدي بالإحداثيات المقوسة

الصيغة الأساسية في الفضاء القياسي الرباعي تكتب بالإحداثيات المقوسة بالصيغة:

$$(XV-146) \quad ds^2 = g_{\mu\nu} dy^\mu dy^\nu.$$

فإذا كانت خصائص الفضاء تستخلص كلها من معرفة هذه الصيغة الأساسية يكون الفضاء إقليدياً (إذا انعدم موتر ريمان - كريستوفل) أو ريمانياً (إذا لم ينعدم هذا الموتر).

الخطوط التقاصرية في فضاء ريمان هي «الخطوط الأقرب» أي التي تجعل التكامل  $\int ds$  مستقراً stationnary. وفي الحالة الخاصة لفضاء إقليدي تكون الخطوط التقاصرية مستقيمة. تحدّد إذا الخطوط التقاصرية بالشرط:

$$(XV-147) \quad \delta \int ds = 0.$$

ولكن استناداً إلى (XV-146):

$$(XV-148) \quad 2ds \delta ds = \delta g_{\mu\nu} dy^\mu dy^\nu + g_{\mu\nu} dy^\nu \delta dy^\mu + g_{\mu\nu} dy^\mu \delta dy^\nu.$$

فنكتب (XV-147) بالصيغة التالية:

$$(XV-149) \quad \delta \int ds = \frac{1}{2} \int \left[ \frac{\partial g_{\mu\nu}}{\partial y^\rho} \delta y^\rho \frac{dy^\mu}{ds} \frac{dy^\nu}{ds} + g_{\rho\nu} \frac{dy^\nu}{ds} \frac{d\delta y^\rho}{ds} + g^{\mu\rho} \frac{dy^\mu}{ds} \frac{d\delta y^\rho}{ds} \right] ds$$

وإذا حسبنا التكامل بالتجزئ نجد:

$$(XV-150) \quad \int \delta ds = \frac{1}{2} \int \left[ \frac{\partial g_{\mu\nu}}{\partial y^\rho} \frac{dy^\mu}{ds} \frac{dy^\nu}{ds} - \frac{d}{ds} \left( g_{\rho\nu} \frac{dy^\nu}{ds} + g_{\mu\rho} \frac{dy^\mu}{ds} \right) \right] \delta y^\rho ds + \frac{d}{ds} \left( g_{\rho\nu} \frac{dy^\nu}{ds} \delta y^\rho + g_{\mu\rho} \frac{dy^\mu}{ds} \delta y^\rho \right) ds.$$

ويختفي الحد الأخير من (XV-150) إذا افترضنا أن  $\delta y^p$  تنعدم على حدود التكامل. فيعبر عن الشرط (XV-147) بالمعادلة:

$$(XV-151) \quad \frac{\partial g_{\mu\nu}}{\partial y^p} \frac{dy^\mu}{ds} \frac{dy^\nu}{ds} - \frac{d}{ds} \left( g_{\rho\nu} \frac{dy^\nu}{ds} + g_{\mu\rho} \frac{dy^\mu}{ds} \right) = 0$$

لأن المعادلة (XV-150) يجب أن تكون صحيحة بالتطابق لكل تغير  $\delta y^p$ .

ومن المعادلة (XV-151) نحصل بسهولة على المعادلة:

$$(XV-152) \quad \left( \frac{\partial g_{\mu\nu}}{\partial y^p} - \frac{\partial g_{\rho\nu}}{\partial y^\mu} - \frac{\partial g_{\mu\rho}}{\partial y^\nu} \right) \frac{dy^\mu}{ds} \frac{dy^\nu}{ds} - g_{\rho\nu} \frac{d^2 y^\nu}{ds^2} - g_{\mu\rho} \frac{d^2 y^\mu}{ds^2} = 0.$$

الحدان الأخيران من هذه المعادلة متطابقان. فإذا ضربنا بـ  $g^{\rho\sigma}$  نجد أخيراً:

$$(XV-153) \quad \frac{d^2 y^\sigma}{ds^2} + \frac{1}{2} g^{\sigma\rho} \left( \frac{\partial g_{\mu\rho}}{\partial y^\nu} + \frac{\partial g_{\nu\rho}}{\partial y^\mu} - \frac{\partial g_{\mu\nu}}{\partial y^\rho} \right) \frac{dy^\mu}{ds} \frac{dy^\nu}{ds} = 0.$$

أو:

$$(XV-154) \quad \boxed{\frac{d^2 y^\sigma}{ds^2} + \left\{ \begin{matrix} \sigma \\ \mu\nu \end{matrix} \right\} \frac{dy^\mu}{ds} \frac{dy^\nu}{ds} = 0.}$$

وتكتب غالباً هذه المعادلة بصيغة مختلفة قليلاً، فإذا وضعنا:

$$(XV-155) \quad u^\mu = \frac{dy^\mu}{ds}.$$

تكتب الصيغة (XV-154) تبعاً للدوال  $u^\mu$  بالصيغة:

$$(XV-156) \quad \frac{du^\sigma}{ds} + \left\{ \begin{matrix} \sigma \\ \mu\nu \end{matrix} \right\} u^\mu u^\nu = 0.$$

وإذا أخذنا بعين الاعتبار تحديد التفاضلية المطلقة:

$$(XV-157) \quad \nabla u^\sigma = du^\sigma + \left\{ \begin{matrix} \sigma \\ \mu\nu \end{matrix} \right\} u^\mu dy^\nu,$$

تكتب (XV-156) بالصيغة التالية:

$$(XV-158) \quad \frac{\nabla u^\sigma}{ds} = \frac{du^\sigma}{ds} + \left\{ \begin{matrix} \sigma \\ \mu\nu \end{matrix} \right\} u^\mu u^\nu = 0, \quad \frac{dy^p}{ds} \cdot \frac{\nabla u^\sigma}{dy^p} = 0,$$

أي:

$$(XV-159) \quad \boxed{u^\rho \nabla_\rho u^\sigma = 0.}$$

تحدّد المعادلات (XV-154) و (XV-159) الخطوط التقاصرية في الفضاء الريماني أو الفضاء الإقليدي. فإذا كان الفضاء إقليدياً من الممكن دائماً أن نستعمل إحداثيات غاليلية بحيث يكون:

$$(XV-160) \quad g_{\mu\nu} = \eta_{\mu\nu}.$$

فتصبح المعادلة (XV-158):

$$(XV-161) \quad \frac{du^p}{ds} = 0, \quad \frac{du^0}{ds} = 0$$

واستناداً إلى (VII-12):

$$(XV-162) \quad u^p = \frac{v^p}{c} u^0, \quad u^0 = c \frac{dt}{ds}.$$

فتكتب إذا المعادلات (XV-154) و (XV-159) في هيكل الإسناد الغاليلي:

$$(XV-163) \quad v^p = \frac{dy^p}{dt} = c^{te}, \quad y^p = v^p t + a^p.$$

وما هذه إلا معادلات الخطوط المستقيمة في هذا الهيكل الإسنادي المتعامد والمنظّم.

## تمارين

1 - ننظر في التشكيل القياسي بمعامل ارتباط تآلفي عامة ( $\Gamma_{\mu\nu}^{\rho}$  غير متناظرة) اثبت أن:

$$D_{\rho} \log g = 2 \left[ \left\{ \begin{matrix} \mu \\ \mu\rho \end{matrix} \right\} - \Gamma_{\mu\rho}^{\mu} \right]$$

$$D_{\rho} a = \partial_{\rho} a - a \Gamma_{\mu\rho}^{\mu}$$

$$D_{\rho} A^{\mu\rho} = \frac{1}{\sqrt{-g}} \partial_{\rho} a^{\mu\rho} + \Gamma_{\sigma\rho}^{\mu} A^{\sigma\rho} + 2A^{\mu\sigma} \Gamma_{\sigma} - A^{\mu\sigma} D_{\sigma} \log \sqrt{-g} .$$

حيث وضعنا:

$$a = \sqrt{-g} A \quad , \quad a^{\mu\rho} = \sqrt{-g} A^{\mu\rho} \quad , \quad \Gamma_{\rho} = \Gamma_{\rho\mu}^{\mu} .$$

2 - إثبت أن المعادلات السابقة تصبح أبسط إذا كانت  $\Gamma_{\mu\nu}^{\rho}$  و  $\left\{ \begin{matrix} \rho \\ \mu\nu \end{matrix} \right\}$  متساوية (وهي حالة الفضاء الإقليدي أو الريماني) وإضافة إلى ذلك إذا كان المؤثر  $A^{\mu\rho}$  مخالف التناظر.

3 - أعد معالجة المسألة الثالثة في الفصل الرابع عشر إذا لم تكن مُعاملات الارتباط التآلفي متناظرة. احسب الكميات التالية:

$$\Phi_{\mu\nu} = D_{\mu}\varphi_{\nu} - D_{\nu}\varphi_{\mu}$$

$$\Phi_{\mu\nu\rho} = D_{\mu}\varphi_{\nu\rho} + D_{\rho}\varphi_{\mu\nu} + D_{\nu}\varphi_{\rho\mu}$$

تبعاً للدوال  $\varphi_{\mu\nu}$  و  $\varphi_{\mu\nu\rho}$ .

4 - ننظر في التشكيل القياسي باتجاهين والمؤلف من سطح كرة شعاعها R نستعمل نظاماً للإحداثيات بحيث إن:

$$ds^2 = f(\xi^2 + \eta^2) (d\xi^2 + d\eta^2) \quad , \quad f(0) = 1$$

إحسب  $f(\xi^2 + \eta^2)$  وصيغ  $\xi$  و  $\eta$  تبعاً لـ R و  $\theta$  و  $\varphi$ .